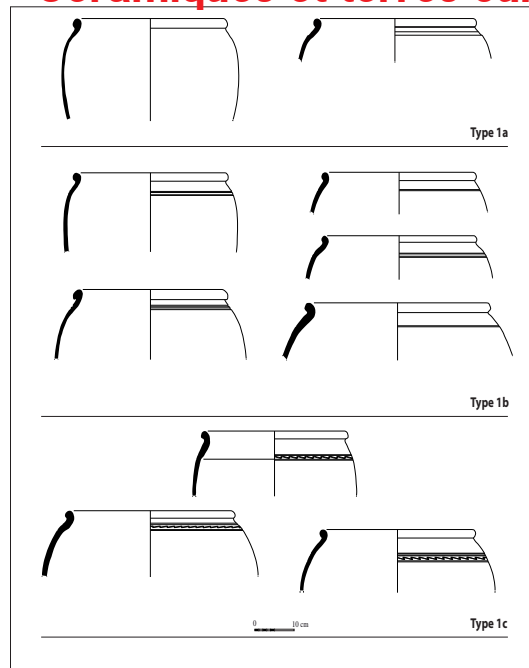


Bretagne, Ille-et-Vilaine, Bais /Louvigné-de-Bais,
Carrière des Vallons, Etang de Daniel -
Ensemble 1

Occupations laténiennes et gallo-romaines

**Vol. 2 Les productions des ateliers de potiers précoces (deuxième moitié du 1er s. av. J.-C.)
- Céramiques et terres cuites gallo-romaines**



sous la direction de :

Jean-Claude Durand

Inrap Grand Ouest
37 rue du Bignon CS 67737
35577 Cesson Sévigné Cedex
Tel. 02 23 36 00 40, grand-ouest@inrap.fr

Novembre 2016

Ille-et-Vilaine, Bais/Louvigné-de-Bais, Carrière des Vallons, Étang de Daniel - Ensemble 1

Occupations laténiennes et gallo-romaines

Vol. 2 - Les productions des ateliers de potiers précoces (deuxième moitié du I^{er} s. av. J.-C.) - Céramiques et terres cuites gallo-romaines

sous la direction de

Jean-Claude Durand

par

**Richard Delage
Jean-Claude Durand
Philippe Lanos
Nicolas Ménez
Hervé Morzadec**

Inrap Grand Ouest
37 rue du Bignon
CS 67737
35577 Cesson-Sévigné

Novembre 2016

Sommaire Vol. 2

407	3. Les ateliers précoces
407	3.1. Introduction
407	3.2. Les fours de potiers
411	3.2.1. Le four 5663
414	3.2.1.1. La fosse de travail nord 5665
415	3.2.1.2. La fosse de travail sud 5660
415	3.2.1.3. La fosse 5662
415	3.2.2. Le four 5000
415	3.2.2.1. La fosse de travail 5666
416	3.2.3. D'autres indices de fours
416	3.2.3.1. La fosse 5293
419	3.2.3.2 sondage 702
419	3.2.3.3 sondage 42 du fossé 48
421	3.2.4. Le four 5506
421	3.2.5. Les datations des fours
423	3.3. Étude de la production céramique de l'atelier par Nicolas Ménez avec la collaboration de Richard Delage
423	3.3.1. Les productions de l'atelier de Bais : éléments de caractérisation
423	3.3.1.1. Les pâtes et les techniques de fabrication
423	3.3.1.2. Typologie/répertoire des formes
645	3.4. Étude pétrographique des productions céramiques des ateliers de La Carrière des Vallons (Louvigné-de-Bais, 35) par Hervé Morzadec
645	3.4.1. Contexte géologique
646	3.4.2. Les éléments architecturaux
646	3.4.2.1. Les fragments de torchis
645	3.4.2.2. Les éléments de plaque foyère
648	3.4.3. Les éléments de barres de four de potier
652	3.4.2.4. Les fragments de tegulae
654	3.4.4. Le mobilier céramique
655	3.4.4.1. La céramique de l'atelier précoce
689	3.4.3.2. synthèse de l'étude pétrographique du mobilier protohistorique
691	3.4.4.2. La céramique gallo-romaine
697	3.5. Terre cuites artisanales de l'atelier : les barres amovibles de four par Richard Delage
697	3.5.1. Technique
697	3.5.2. Morphologie
702	3.5.4. Répartition au sein des contextes
723	3.6. Discussion sur la chronologie des ateliers de potiers précoces Richard Delage, Nicolas Ménez et Jean-Claude Durand
729	3.7. Étude de la céramique des contextes gallo-romains par Richard Delage
729	3.7.1. Références typologiques utilisées
729	3.7.2. Abréviations utilisées
729	3.7.3. Les catégories céramiques
731	3.7.4. Etudes des contextes
833	3.8. Terres cuites architecturales gallo-romaines par R.ichard Delage
833	3.8.1. Les tuiles
837	3.8.2. Autres terres cuites gallo-romaines
837	3.7.2. 1. Les pesons
837	3.7.2. 2. La figurine

847	Conclusion
849	Archéomagnétisme par Philippe Lanos
862	Bibliographie
866	Liste des figures
873	Annexe : datations
879	Inventaires techniques
880	Inventaire céramique de l'atelier et gallo-romaine
896	Terre cuite artisanale (ateliers de potier précoces)
897	Terre cuite architecturale et utilitaire
901	Échantillons pour pétrographie

II. Résultats



Conditions d'utilisation des documents

Les rapports d'opération archéologique (diagnostic, fouille, document final de synthèse, sondage, sauvetage...) sont des documents administratifs communicables au public, en application de la loi n° 78-753 du 17 juillet 1978 modifiée et portant diverses mesures d'amélioration des relations entre l'administration et le public. L'accès à ces documents administratifs s'exerce auprès des administrations qui les ont élaborés ou qui les détiennent, au choix du demandeur et dans la limite de leurs conditions d'accueil. La mise en ligne des rapports **par le SRA Bretagne** a pour objectif de faciliter cette consultation.

La consultation et l'utilisation de ces rapports s'effectuent dans le respect des dispositions du code de la propriété intellectuelle relatives aux droits des auteurs. Notamment en application de l'article L.122-5 du code de la propriété intellectuelle, cela implique que :

- 1) les prises de notes et les copies ou autres formes de reproduction sont autorisées dans la mesure où elles sont strictement réservées à l'usage privé du copiste et non destinées à une utilisation collective;
- 2) toute reproduction du texte, accompagnée ou non de photographies, cartes ou schémas, n'est possible que dans le cadre de courtes citations qui doivent être justifiées, par exemple par le caractère scientifique de l'œuvre à laquelle elles sont incorporées, et sous réserve de l'indication claire du nom de l'auteur et de la source (références exactes et complètes de l'auteur, de son organisme d'appartenance et du rapport);
- 3) la représentation ou la reproduction d'extraits est possible à des fins exclusives d'illustration dans le cadre de l'enseignement et de la recherche, dès lors que le public auquel elle est destinée est majoritairement composé d'élèves, d'étudiants, d'enseignants ou de chercheurs directement concernés, et que son utilisation ne donne lieu à aucune exploitation commerciale.

Le non-respect de ces règles constitue le délit de contrefaçon prévu et sanctionné par les articles L.335-2, L.335-3 et suivants du code de la propriété intellectuelle.

Renseignement :

DRAC Bretagne : <http://www.culture.gouv.fr/Regions/Drac-Bretagne>

Service Régional de l'Archéologie - Centre de documentation archéologique

Campus universitaire de Beaulieu - Avenue Charles Foulon - 35700 Rennes

3. Les ateliers précoces

3.1. Introduction

Dans le premier volume, nous avons présenté les différentes phases d'occupation avec les structures qui se rapportaient à ces différentes périodes. Nous avons également tenté de déterminer les différents éléments pouvant se rapporter à l'activité potière. Cela est rendu difficile par le fait que cette dernière prend place sur un site occupé préalablement. Les seules données que l'on peut raccrocher véritablement à l'atelier sont les fours ainsi que le mobilier produit par ces derniers. Ce sont ces études qui vont concerner directement ce volume.

3.2. Les fours de potiers

La fouille du site de Bais a révélé la présence de deux fours de potiers 5663 et 5000 ainsi que les indices de plusieurs autres. Ils ont été installés dans le comblement supérieur des fossés d'enclos gaulois (fig. 210).

Ces fours de forme circulaire, sont à tirage vertical. Structure à deux volumes, la chambre inférieure est séparée du laboratoire par une sole amovible à barres de terre cuite reposant sur un pilier central de forme cylindrique et d'un chemisage d'argile, percé de carneaux. Le diamètre externe est d'environ 1,20 m avec des parois rubéfiées épaisses de 6 à 10 mm.

Les laboratoires proprement dit des fours (chambre haute) ne sont pas conservés.

Les deux fours fouillés à Bais présentent une même forme générale mais des différences notamment au niveau du pilier central. En effet, il est plus massif et moins épais pour le four 5663 et c'est l'inverse pour le four 5000 (fig. 211).

La mauvaise conservation des parois ne permet pas de déterminer si les barres, côté paroi du four, reposent sur un ressaut ou un contrefort ou s'il s'agit d'une chambre de chauffe simple, les barres pouvant être : «... *solidarisées à la paroi de la chambre par encastrement.*» (Le Dreff 2011, p. 50). Il semble d'après l'étude réalisée par R. Delage que la plupart des barres de Bais présentent, comme sur certains sites en Angleterre, une bi-coloration. En effet : «... *les barres en contact avec les flammes, fumées et gaz de combustion, pour peu que la température ne soit pas trop élevée lors de la cuisson, prennent nécessairement une teinte colorée alors que la partie encastrée dans le mur subit une chaleur sans réoxydation.*» (Delage cf. § Terre cuites artisanales de l'atelier : les barres amovibles de four).

Deux alandiers opposés avaient été aménagés pour chacun d'entre eux. Ils constituent des foyers plutôt étroits puisque leurs dimensions n'excèdent pas 20 cm de long pour une hauteur conservée de 10 cm. Ils s'ouvraient sur des fosses de travail d'environ 1,50 m de longueur sur 1 m de largeur. Pour le four 5663, l'une des fosses est conservée sur une profondeur de 0,60 m avec un emmarchement permettant d'y accéder (fig. 212).

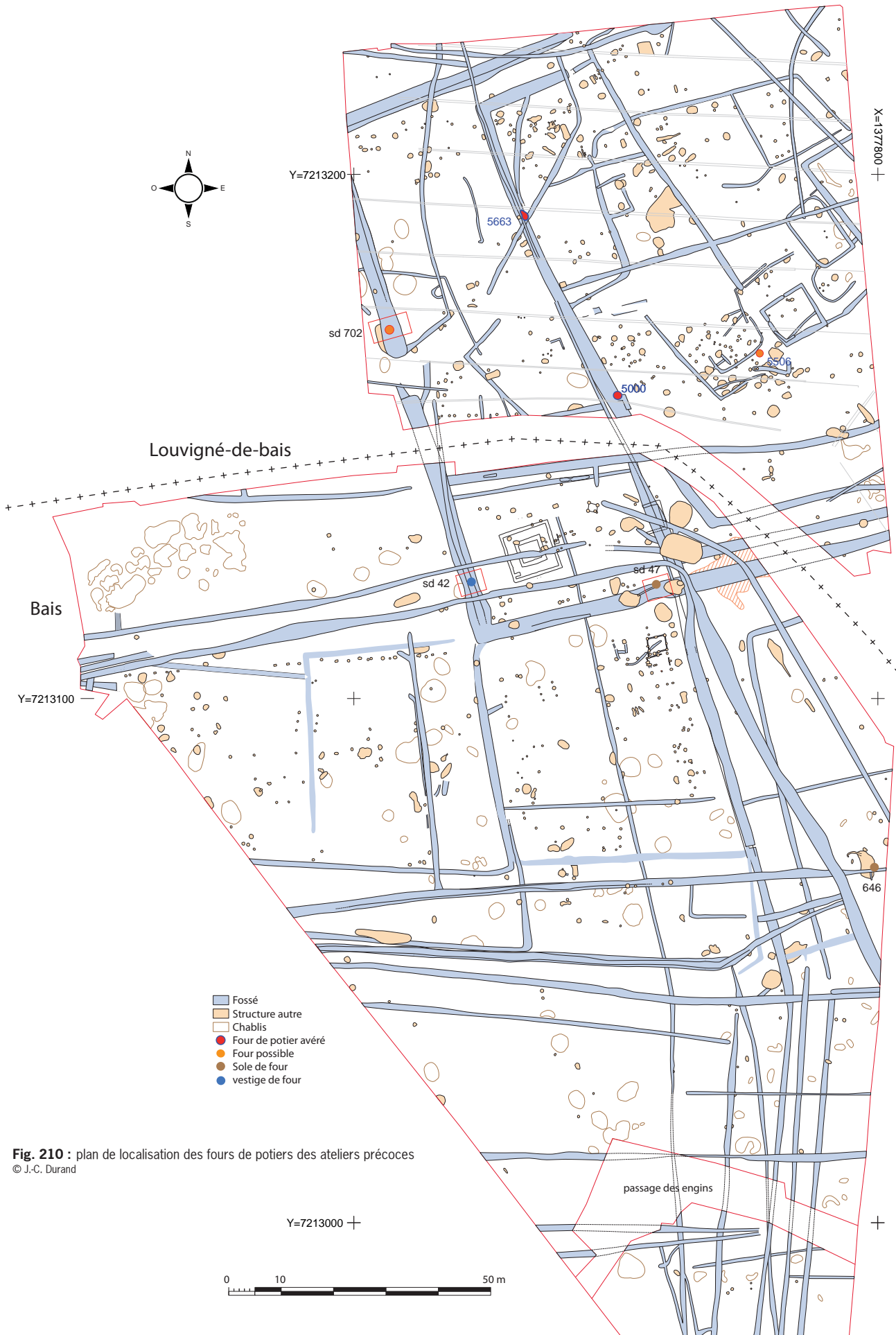


Fig. 210 : plan de localisation des fours de potiers des ateliers précoces
 © J.-C. Durand

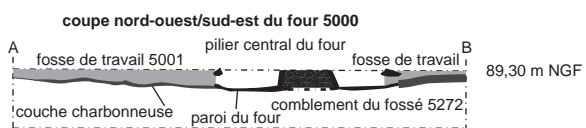
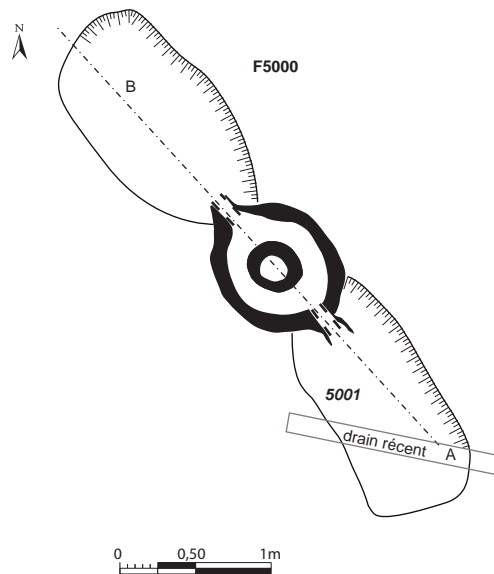
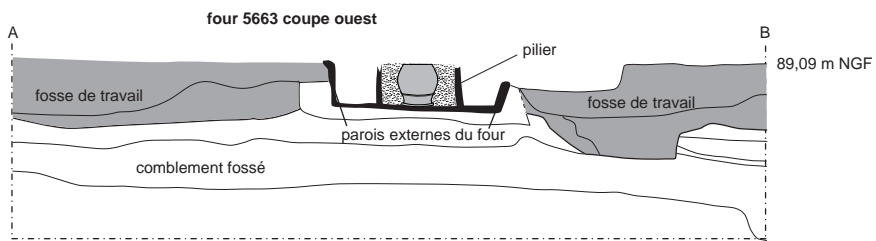
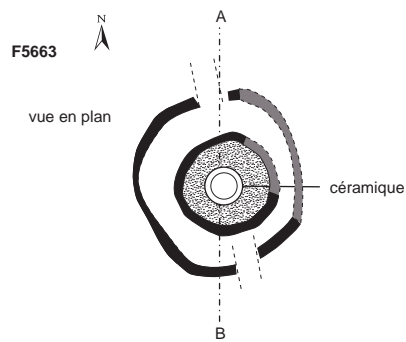


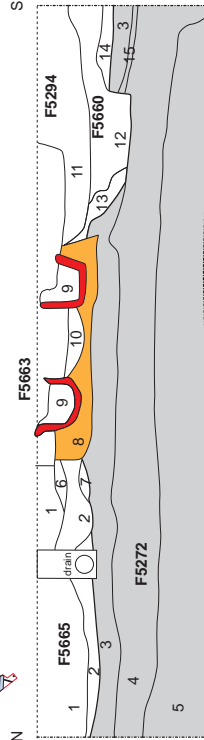
Fig. 211 : vue en plan et coupe des fours F 5663 et F 5000 © cliché : équipe de fouille, DAO J.-C. Durand



vue de la coupe est avec emmarchement dans la fosse de travail © équipe de fouille



coupe est du fossé F5272 et du four F5663 sd 696



5665 us 1 1 : sédiment limono-argileux gris très oxydé compact et hétérogène avec quelques charbons de bois et TCA
us 2 2 : sédiment limono-argileux noir/gris compact et hétérogène très charbonneux avec TCA
us 3 3 : sédiment limono-argileux orange-gris compact et hétérogène avec quelques fragments de TCA
us 4 4 : proche de 3 mais moins argileux

5272 us 1 3 : sédiment limono-argileux gris très oxydé compact et hétérogène
us 2 15 : sédiment limono-argileux gris foncé compact et homogène
us 3 4 : similaire à 1
us 4 5 : sédiment limono-sableux, substrat remanié

5660 us 1 12 : sédiment limoneux peu argileux brun-gris beige très hétérogène et compact avec charbons de bois et tc
us 2 13 : sédiment limono-argileux orange-gris compact et hétérogène avec TCA
us 3 14 : sédiment limono-argileux gris noir compact et hétérogène très charbonneux

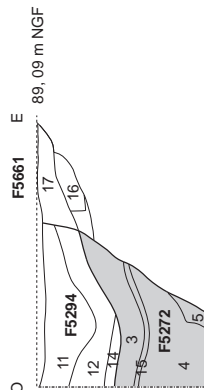
5294 us 1 11 : sédiment limono-argileux très oxydé hétérogène et compact avec charbons de bois et tc

5659 us 1 16 : sédiment limono-argileux gris compact et hétérogène avec charbons de bois

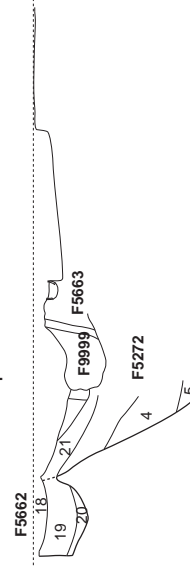
5661 us 1 17 : sédiment limono-argileux gris hétérogène et compact

5664 us 1 8 : sédiment limono-argileux orangé, mélange de substrat

coupe sud sd 695



coupe nord sd 695



5662 us 1 18 : sédiment limono-argileux gris-clair orangé compact et hétérogène avec charbons de bois
us 2 19 : sédiment limono-argileux noir charbonneux avec TCA
us 3 20 : sédiment limono-argileux gris noir compact et hétérogène

Fig. 212 : coupe est du four 5663 © équipe de fouille, DAO J.-C. Durand

3.2.1. Le four 5663

D'axe nord-nord-ouest/sud-sud-est, il a un diamètre externe d'environ 1,15 m. Le pilier central du four 5663, de forme cylindrique, conservé sur 0,30 m de haut pour 0,68 m de diamètre externe et 0,55 m de diamètre interne, présente des parois rubéfiées d'environ 6 mm d'épaisseur (fig. 211). La découverte d'une céramique à l'envers (col contre le sol) à cet emplacement, a d'abord laissé penser que cette dernière avait pu servir de gabarit pour façonner le support. Cependant ses faibles dimensions par rapport au volume interne du pilier permettent d'envisager également un dépôt lors de l'abandon du four, pour le sceller symboliquement ou bien au moment de la fabrication du four. Il est possible également que la masse d'argile pouvant englober la céramique ait disparu au cours des cuissons. Nous pouvons nous étonner de la massivité de ce pilier pouvant créer un espace froid à l'intérieur du four, mais la rubéfaction visible dans la partie basse interne de ce dernier (fig. 213) peut laisser penser que la partie sommitale était ouverte, les barres prenant appuis ainsi non pas sur une plate-forme mais sur une couronne d'argile.



Fig. 213: détail de la rubéfaction interne du pilier du four F 5663 © S. Bourne

La base du four est installée sur le comblement terminal du fossé 5272 (couches grises) (fig. 212). Elle est isolée des autres couches par F5664 us 1 (8 sur la coupe), constituée d'un sédiment limono-argileux orangé mélangé au substrat. Bien visible sur le cliché, il forme un niveau de préparation de 0,20 à 0,30 m d'épaisseur sur lequel a été installé le four.

Le dégagement du pilier central montre une chaleur importante dans le couloir de circulation, provoquant une forte rubéfaction à la base du couloir et du pilier, que l'on ne retrouve pas sur la hauteur de la colonne (fig. 214 et 215). La superposition de deux strates brunes séparées par une couche plus claire, semble indiquer plusieurs phases de cuisson, la dernière pouvant correspondre à l'horizon plus noir en surface. Elle est encore plus marquée sur la coupe longitudinale du four.



Fig. 214: détail du pilier du four F 5663 après dégagement © S. Bourne



Fig. 215: coupe du four et du pilier du four F 5663 © S. Bourne

Le couloir de circulation de la chaleur est comblé d'un sédiment limono-argileux brun comportant de nombreux fragments de terre cuite. C'est dans cet horizon qu'ont été prélevés les charbons de bois de l'analyse anthracologique et pour les datation C14.

Le four est longé sur sa face est par un petit fossé 5341 et recoupé sur le côté sud-est par le fossé 5294 (fig. 212 et 216). Un petit sondage manuel montre que le four est recouvert par l'us 5514 constituée d'un sédiment limono-argileux gris-noir, compact homogène comportant des charbons de bois. Ce niveau vient également sceller la fosse de travail nord du four 5665.

Cette couche a livré 22 tessons de céramique, dont 1 vase de type b et une variante de 2b.

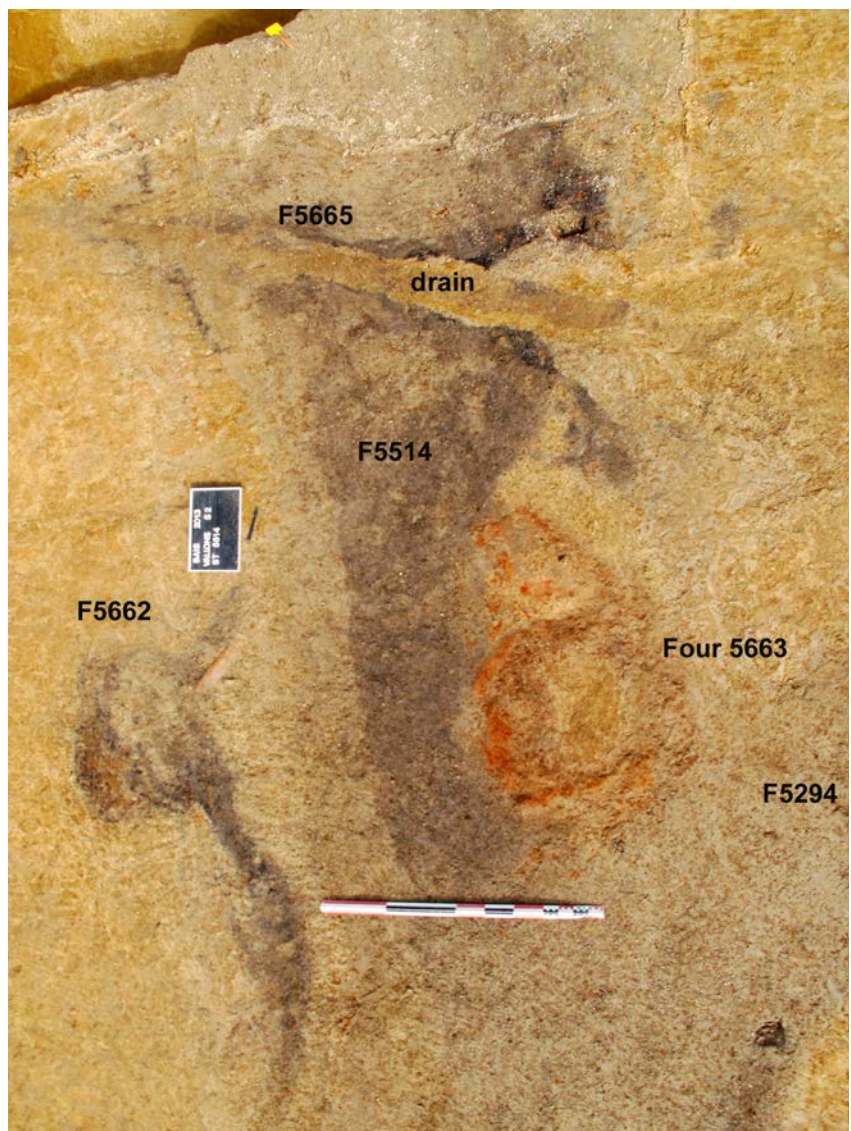


Fig. 216 : vue en plan du four F 5663, des fosses et des fossés avant fouille © H. Morzadec



Fig. 217 : sondage manuel dans la couche 5514 recouvrant le four © H. Morzadec

3.2.1.1. La fosse de travail nord 5665

Cette fosse a été recoupée à la pelle mécanique selon un axe nord/sud, dans le prolongement de la coupe du four 5663. Elle a été suivie sur une longueur de 1,90 m, pour une profondeur conservée de 0,45 m (**fig. 212 et 218**).

Le fond relativement plat semble remonter vers le nord. Elle est principalement comblée des us 1 et 2 (1 et 2 sur la coupe) et elle est recoupée par une tranchée de drain agricole récent. Elle a légèrement entamé le comblement supérieur du fossé 5272 (couche 3). Son extrémité sud semble avoir été creusée dans la couche 5664 d'installation du four, en effet l'us 3 (couche 6 de la coupe) est composée d'un mélange de charbons de bois et de sédiment provenant de cette couche. Le fond de la fosse est tapissé d'un sédiment limono-argileux gris mélangé à un épais horizon de charbons de bois. La partie supérieure est comblée d'un sédiment limono-argileux gris très oxydé compact et hétérogène.

La fouille a livré 77 tessons de céramique dans l'us 1 et 59 dans l'us 2. L'ensemble correspond aux productions de l'atelier, sans type prédominant. Il faut y ajouter 9 fragments de barres de type 1 et 1 fragment de type 2.



Fig. 218: vue de la fosse de travail 5665
© équipe de fouille

3.2.1.2. La fosse de travail sud 5660

Cette fosse de forme oblongue a été recoupée à la pelle mécanique sur une longueur de 1,70 m selon un axe nord/sud dans le prolongement du four (fig. 212) pour une profondeur conservée d'au moins 0,28 m, étant en effet recoupée en oblique par le fossé 5294. Elle vient re-creuser le comblement supérieur du fossé 5272 (couche 1 et 3 de la coupe). La fosse remonte en formant une pente vers le four alors qu'elle forme un emmarchement d'au moins 0,16 m côté sud, indiquant ainsi vraisemblablement un accès pour le potier. Le comblement principal est composé d'un sédiment limoneux peu argileux 5660 us 1 (12 sur la coupe), brun-gris très hétérogène et compact comportant une épaisse couche de charbons de bois ainsi que de la terre cuite. Sur la paroi nord, la couche 13 est mélangé avec le niveau de préparation sous le four 5664 us 1 (8 sur la coupe).

La fouille a livré 66 tessons de céramique appartenant aux productions de l'atelier avec une légère prédominance du type 2. Il faut y ajouter 5 fragments de barres dont 1 en type 1 et 4 en type 2.

3.2.1.3. La fosse 5662

Il faut noter la présence, sur le bord ouest du fossé, d'une fosse de forme circulaire de 0,55 m de diamètre et conservée sur une profondeur de 0,34 m (fig. 212). Le profil est en U avec un fond arrondi. Elle est principalement comblée d'une couche très charbonneuse 5662 us 2 (19 sur la coupe). Cette dernière semble déborder de la fosse pour s'écouler ensuite dans le fossé en passant sous le niveau d'installation du four 5664 us 1 (8 sur la coupe). Lorsque l'on observe une photographie prise avant la fouille du four, cette couche semble se déverser dans le fossé vers le nord et le sud (fig.). Elle est recouverte par une partie du comblement terminal du fossé, mais l'us 2 semble passer sous la couche de préparation de l'installation du four 5664 us 1, lui donnant ainsi une antériorité par rapport à cette dernière.

La fouille a seulement livré 2 fragments de barre de type 1.

Les couches de comblement du fossé 5272 sous le niveau du four 566, ont livré dans le sondage 595 us 3 : 112 tessons de céramique des productions de l'atelier avec 1 individu de type 2d et 2 de type 3b. Ils sont complétés dans le sondage 596 par 24 tessons sans type déterminé. Cela montre que des rejets des productions de l'atelier ont été effectués dans ce fossé, provenant d'autres fours avant l'installation du four 5663.

3.2.2. Le four 5000

Installé sur le bord ouest du fossé 5272, ce four est distant de 5663 d'environ 38 m. Plus petit que le précédent, il a un diamètre externe d'environ 0,85 m pour un diamètre interne de 0,60 m (fig. . Le pilier central plus petit a une paroi plus épaisse. En effet il a un diamètre externe de 0,35 m pour un diamètre interne de 0,15 m et une épaisseur de paroi de 10 mm (fig.). Comme le montre le cliché de la figure, comme pour 5663, la paroi interne du pilier est rubéfiée.

Les alandiers sont mieux conservés que sur l'autre four avec un canal de 0,20 m de longueur sur une hauteur conservée de 0,10 m (fig. 220).

3.2.2.1. La fosse de travail 5666

L'alancier sud-est débouche sur la fosse de travail 5666. C'est une fosse

ovulaire d'environ 1,50 m de longueur sur 0,70 m de largeur et conservée sur une profondeur de 0,25 m (fig. 221). Le creusement est évasé et le fond irrégulier. Elle est recoupée dans sa moitié sud par un drain agricole récent. Le comblement est constitué d'un sédiment limono-argileux gris mélangé à de nombreux charbons de bois, fragments de terre cuite et substrat remanié. Le tout est assez compact et hétérogène. Le fond de la fosse est tapissé d'un liseret de charbons de bois. Elle a été recoupée à la pelle mécanique, dans le sondage 697 selon le même axe que le four, soit nord-ouest/sud-est. Elle est creusée dans le comblement supérieur du fossé 5272.

La fouille a livré 17 tessons de céramique dont le type n'est pas identifiable. Il faut ajouter 17 fragments de barre représentant 4 individus, tous de type 1.

Dans les couches du fossé situées sous la fosse 5666, la fouille a livré dans les us 3 et 4 : 23 tessons de céramique dont 1 individu de type 2d et 1 de type 8b.

Ici aussi la découverte de céramique de l'atelier dans les couches du fossés montre que ces vases ont été produits dans d'autres fours et que les rejets ont été effectués dans un fossé peu comblé.

3.2.3. D'autres indices de fours

3.2.3.1. La fosse 5293

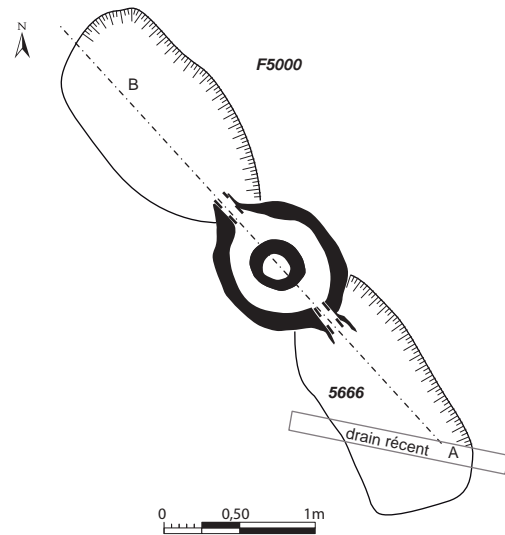
Située en bordure ouest (externe) du fossé 5272, comporte une paroi rubéfiée permettant de la classer au moins parmi les structures de combustion et peut être parmi les vestiges d'un four. De forme ovulaire, elle fait 1,40 m de longueur sur 1,20 m de largeur pour une profondeur conservée de 0,16 m. Les parois sont évasées et le fond est arrondi. Comme pour la fosse 5662, son comblement très charbonneux vient se déverser dans le remplissage du fossé 5272 (fig. 219). Ce qui indique que cette structure a été comblée avant le comblement terminal du fossé (l'horizon charbonneux se situe aux 2/3 du comblement total), donc avant l'installation du four 5663.

La fouille a livré 21 tessons de céramique de l'atelier dans les us 1 et 2. Deux vases du type 2d et 2ind ont été identifiés.

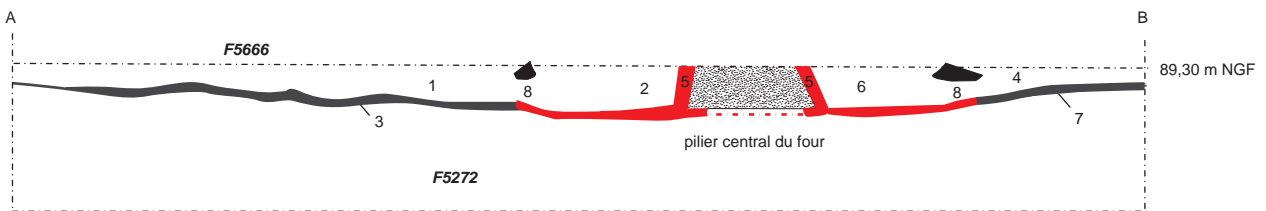
A noter que dans le sondage 675 recoupant la fosse et le fossé, ont été mis au jour 55 tessons de céramique de l'atelier pour 3 individus dont 2 de type 2a.



Fig. 219 : vue de la fosse 5293 © équipe de fouille



coupe nord-ouest/sud-est du four 5000 dans sd 726



- 1 : sédiment limono-argileux gris clair compact hétérogène avec rares charbons de bois et tc
- 2 : sédiment limono-argileux brun clair avec nombreux nodules de terre cuite
- 3 : liseré de charbons de bois
- 4 : sédiment limono-argileux gris clair hétérogène mélangé de substrat avec des charbons de bois
- 5 : paroi du pilier du four
- 6 : identique à 2
- 7 : sédiment limono-argileux gris foncé hétérogène avec nombreux charbons de bois
- 8 : alandier

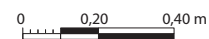
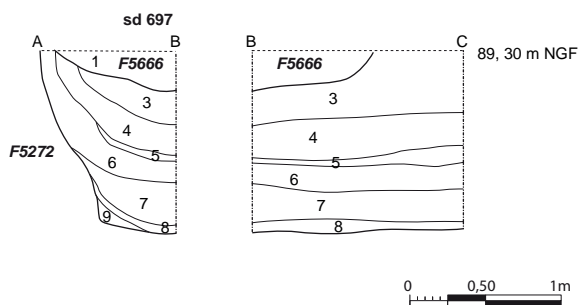


Fig. 220 : plan et coupe du four 5000 © équipe de fouille, DAO J.-C. Durand



- 1 : sédiment limoneux gris mêlé à de nombreux charbons de bois, fragments de terre cuite et substrat remanié hétérogène, assez compact
- 3 : sédiment limoneux gris à gris-brun , légèrement argileux, homogène et compact avec rares charbons de bois
- 4 : sédiment limono-argileux gris clair à gris-brun mêlé à du substrat remanié, homogène et compact
- 5 : sédiment limono-argileux gris hétérogène compact mêlé à du substrat remanié
- 6 : sédiment limono-argileux gris clair homogène compact mêlé à du substrat remanié
- 7 : sédiment argileux gris clair homogène compact mêlé à du substrat remanié
- 8 : sédiment argileux gris clair homogène compact mêlé à du substrat remanié (en proportion moindre par rapport à 7) homogène compact
- 9 : sédiment argileux gris clair homogène compact

Fig. 221 : vue en plan du four 5000 coupe de la fosse travail et du fossé 5272 © N. Menez

3.2.3.2 sondage 702

Dans le fossé 5651, à l'ouverture du sondage 702 sont apparues des traces charbonneuses et rubéfiées. Elles peuvent évoquer les restes de fours (partie rubéfiée) avec les fosses de travail (les concentrations charbonneuses (fig. 222).

La coupe sud-ouest montre à chaque extrémité des creusements très charbonneux.

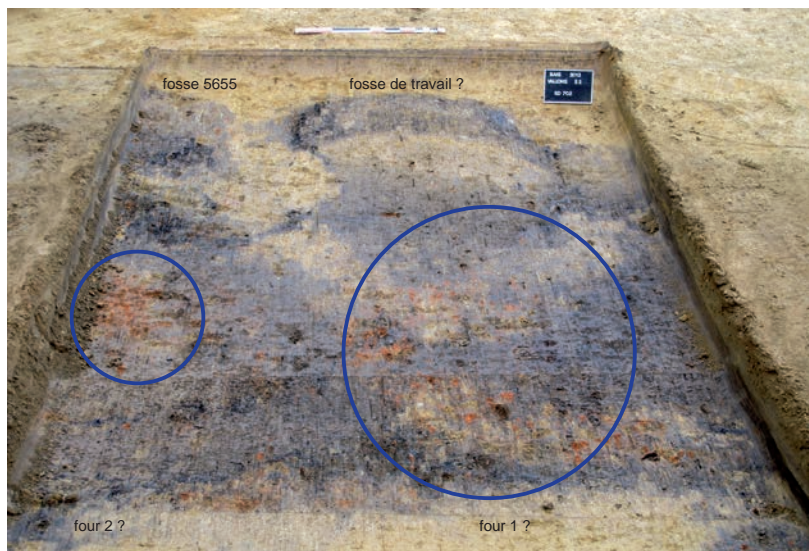


Fig. 222 : vue en plan des indices de four dans le fossé 5651 © J.-C. Durand

La fosse 5655

C'est une fosse ovale d'au moins 4,5 m de largeur et 0,65 m de profondeur, qui vient recouper le fossé 5651 (fig. 225). De profil évasé, le fond est irrégulier. Elle forme une cuvette dans laquelle vient s'intercaler des couches de rejets charbonneux et des ensembles très rubéfiés. Cela évoque les restes de l'installation de fours avec les fosses de rejets.

La fouille a livré 79 tessons de céramique de l'atelier avec une légère dominante pour le type 2 pour un NMI total de 8 vases. Il faut y ajouter 10 fragments de barres de four, pour un NMI de 5 pièces.

3.2.3.3 sondage 42 du fossé 48

Dans le sondage 42 du fossé 28 (pendant côté sud du fossé 5651 de l'enclos E3), un gros morceau de terre cuite, évoque les restes d'un four (fig.).

Cet élément, jeté en vrac dans le comblement du fossé, paraît être associé à une couche très charbonneuse (fig. 223).

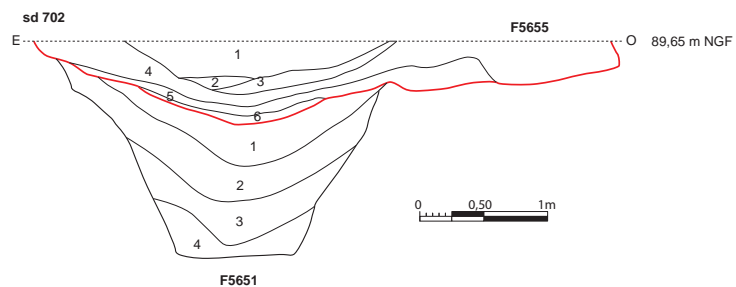
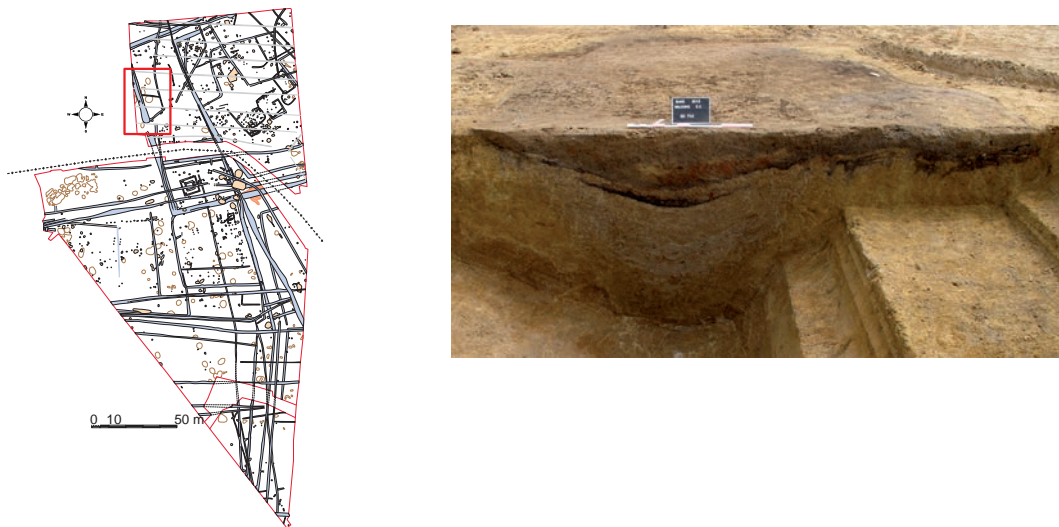
La fouille du sondage a livré 27 tessons de céramique de l'atelier mais pas de morceaux de barres.

Fig. 223 : vue du fragment possible de paroi de four dans le fossé 28 sondage 42 © J.-C. Durand





Fig. 224: position dans la coupe nord de la paroi de four dans le fossé 28 sondage 42 (partie orangée restante après démontage) © J.-C. Durand



- F5655** us 1 : sédiment limono-argileux gris homogène et compact
 us 2 : substrat remanié : sable orange
 us 3 : sédiment limono-argileux gris avec substrat remanié très hétérogène avec rejets de four
 us 4 : sédiment limoneux peu argileux gris noir très charbonneux
 us 5 : substrat très remanié
 us 6 : sédiment limono-argileux noir homogène meuble avec charbons de bois

Fig. 225 : coupe sud-ouest du fossé 5651 et de la fosse 5655 sondage 702 © J.-C. Durand

Deux petites soles de four sont présentes sur le comblement supérieur du fossé 565 (retour sud de la partie sud de l'enclos E3), de chaque côté du sondage 57. Elles viennent sceller un niveau comportant de nombreux rejets de céramique de l'atelier ainsi que de barres de four (fig. 226). Leur position et la proximité des rejets nous incite à les assimiler à des restes de fours de potiers.

Une autre sole de four 646 est présente juste à côté de la fosse 519 qui a livré un très grand nombre de céramiques du dernier quart du I^{er} s., début II^e s. ap. J.-C. Cette céramique produite également sur le site de Bais l'a été avec une pâte différente des productions de la fin de la période gauloise (cf. § *supra* Étude pétrographique par H. Morzadec). L'inventaire de ce mobilier a été réalisé par R. Delage (cf. Étude céramique gallo-romaine).

3.2.4. Le four 5506

Ce four est situé sur le côté sud, à l'extérieur du bâtiment B4, contre la sablière 5111-5537. De forme circulaire, il fait environ 1 m de diamètre, pour une profondeur conservée de 0,35 m. La paroi de terre cuite à une épaisseur d'environ 6 mm. Le fond forme une cuvette non rubéfiée en contact direct avec le substrat (fig. 227). Le four s'ouvre au nord, sur un alandier conservé que sous la forme d'une trace blanchâtre quadrangulaire. Une partie de la paroi ouest du four se confond avec la sablière. La fosse de travail est prise dans la berme de la coupe et se signale simplement par une concentration de charbons de bois. le laboratoire est comblé d'un sédiment limono-argileux gris hétérogène avec charbons de bois et tc (us 2). De part sa position différente des autres fours (pas sur le comblement terminal de fossés) et l'absence de pilier central, ce four évoque plus un four domestique. Il faut également signaler la non présence de barres de four à proximité.

La fouille de l'us 2 a livré 57 tessons de céramique parmi lesquels 4 tessons ne se rattachent pas aux productions de fours et peuvent correspondre à l'occupation plus ancienne du site.

3.2.5. Les datations des fours

Les trois fours avérés ont été datés à partir de charbons de bois trouvés dans leur comblement. Elles ont été réalisées par le laboratoire BETA ANALYTIC.

Ces datations sont très homogènes, (en effet trois se suivent avec un intervalle de 5 ans), mais présentent une fourchette chronologique peu compatible avec la datation des fours par la céramique (cf. § 3.8. Discussion sur la chronologie des ateliers de potiers précoces vol. 2).

En effet les datations calibrées à 2 sigma correspondent plus à La Tène moyenne, alors que la céramique montre une production de fin de La Tène finale. Cette différence peut s'expliquer par "l'effet vieux bois". En effet, lorsque le charbon de bois provient d'un tronc, la datation porte sur l'arbre. Pour obtenir une datation plus juste, il faut l'effectuer sur une petite branche donc la pousse peut être de l'année de l'abattage. C'est peut être le cas pour le four 5663 (dont l'échantillon a été choisi par notre anthracologue) et donc une des trois séquences chronologiques correspond beaucoup plus aux résultats de l'étude céramique. En effet une des dates calibrées proposées est : Cal BC 75 to 55 (Cal BP 2025 to 2005), ce qui rentre dans notre fourchette de 70 av. J.-C. à 20 ap. J.-C.

Pour le four 5000, la datation proposée est :

- Cal BC 390 to 340 (Cal BP 2340 to 2290) and Cal BC 325 to 205 (Cal BP



Fig. 226 : vue du sondage 42 du fossé 565 avec les deux soles de four 1 et 2 ainsi que les rejets de barres de four © J.-C. Durand

2275 to 2155)

Pour le four 5506, la datation proposée est :

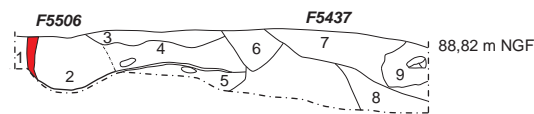
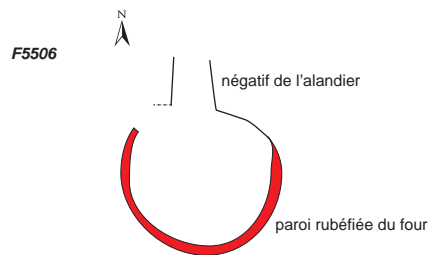
- Cal BC 395 to 345 (Cal BP 2345 to 2295) and Cal BC 320 to 205 (Cal BP 2270 to 2155)

Pour la fosse de travail 5514 du four 5663, la datation proposée est :

- Cal BC 400 to 355 (Cal BP 2350 to 2305) and Cal BC 285 to 230 (Cal BP 2235 to 2180)

Pour le four 5663, la datation proposée est :

- Cal BC 345 to 320 (Cal BP 2295 to 2270) and Cal BC 205 to 85 (Cal BP 2155 to 2035) and Cal BC 75 to 55 (Cal BP 2025 to 2005)



- F5506** 1 : sédiment limono-argileux remanié (terrier?)
 2 : sédiment limono-argileux gris hétérogène compact avec charbons de bois et tc
 3 : sédiment limono-argileux brun-gris hétérogène avec charbons de bois
 4 : sédiment limono-argileux très compact avec niveau charbonneux très fin (alandier?)
 5 : substrat
 6 : sédiment limono-argileux hétérogène brun-gris (Tp?)
- F5437** 7 : sédiment limono-argileux brun-gris avec zone très charbonneuse (9)
 8 : sédiment limono-argileux beige-gris (substrat remanié?)

Fig. 227 : vue en plan et en coupe du four 5506, 1 : avant fouille, 2 : après fouille © cliché équipe de fouille, DAO J.-C. Durand

3.3. Étude de la production céramique de l'atelier par Nicolas Ménez avec la collaboration de Richard Delage

Introduction

La fouille de la Carrière des Vallons (Ens. 1, 2012) a révélé un important corpus de céramiques constitué de 24528 tessons pour 1572 individus estimés (NMI) et 132,40 équivalents-vases (**fig. 228**).

Au sein de ce lot, la majorité des fragments de poterie s'apparente à des productions locales (24390 tessons), tandis que les 138 fragments restants correspondent à des céramiques exogènes, c'est-à-dire non produites sur place (**fig. 229**).

En raison de leur découverte dans des contextes en lien direct avec des vestiges de fours de potiers, mais aussi du fait de leurs pâtes réalisées à base d'argile d'origine locale, ces céramiques indigènes peuvent être considérées comme ayant été produites sur place.

Suivant ce postulat, la présente étude ne s'organise pas comme une étude céramologique classique, le but étant ici avant tout de tenter de caractériser ces productions, tant du point de vue de leur caractéristiques techniques (pâte, techniques de montage, cuisson) que du point de vue morphologique afin, à terme, d'en reconnaître tout ou partie du répertoire typologique.

3.3.1. Les productions de l'atelier de Bais : éléments de caractérisation

3.3.1.1. Les pâtes et les techniques de fabrication

Les pâtes : observations macroscopiques

Dans le cadre de cette étude, le premier objectif a été d'isoler les productions issues de l'atelier dans le but final d'en réaliser une classification.

Pour ce faire, une caractérisation macroscopique systématique des pâtes a été réalisée, principalement en raison de la rapidité de sa mise en œuvre. Inspirés de la méthode développée dans Brulet et al. 2010, trois critères ont ainsi été retenus : la couleur du cœur de la pâte, la fréquence des inclusions et la répartition granulométrique de celles-ci.

Selon ces critères, les productions baiséennes se caractérisent par un cœur de pâte de couleur brune, des inclusions assez nombreuses fines à assez fines réparties de manière homogène, mais également par la présence constante d'inclusions de couleur blanche (**fig. 230**). On notera toutefois que certaines de ces inclusions peuvent être parfois de taille plus importante.

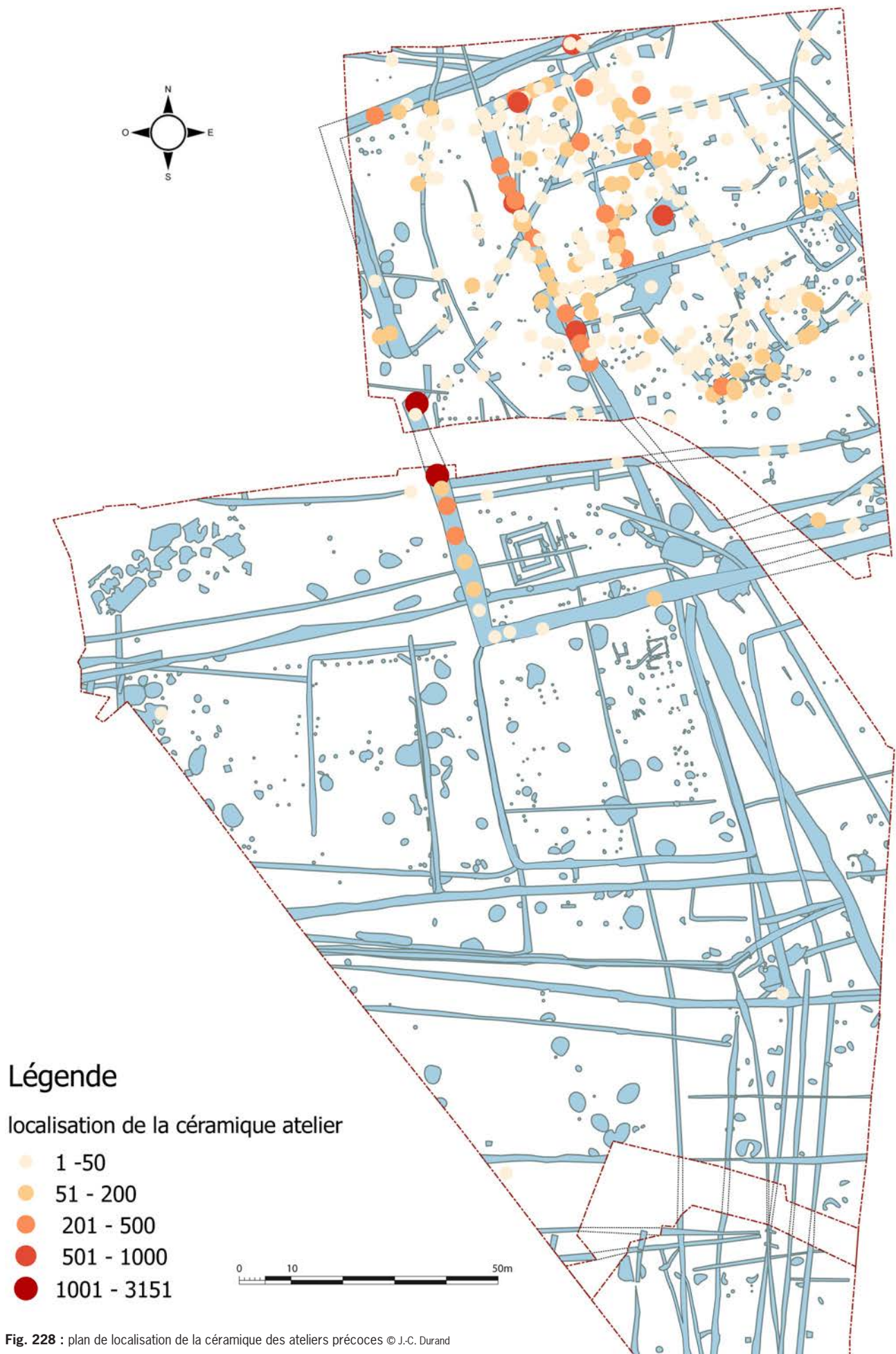


Fig. 228 : plan de localisation de la céramique des ateliers précoces © J.-C. Durand



Fig. 229 : plan de localisation de la céramique dite "exogène" (c'est à dire ne correspondant pas aux productions des ateliers précoces) © J.-C. Durand



Fig. 230 : exemples de pâtes caractéristique des productions baiséennes © N. Ménez

Le tournage/le modelage

L'étude macroscopique des formes recueillies (extrême régularité des individus, finesse de ceux-ci, traces de tournage visibles à l'intérieur des récipients...) révèle que l'essentiel du corpus a été réalisé au tour rapide. Rares sont en effet les individus modelés puisqu'ils ne sont représentés que par 6 occurrences, contre 1534 pour les céramiques tournées.

La cuisson

Du point de vue esthétique, les pâtes de ces productions présentent une variation de couleurs allant du noir au beige en passant par le gris et le orange, dévoilant, de fait, des techniques de cuisson variées.

Au regard de leur état, il ne s'agit pas ici de ratés de cuisson à proprement parler (aucune trace de déformation lors de la cuisson) mais plutôt d'individus dont l'apparence ne devait pas être satisfaisante dans l'optique de leur commercialisation, comme semblent en témoigner les traces de coup de feu ou encore le caractère hétérogène de leur surface.

3.3.1.2. Typologie/répertoire des formes

Introduction

En raison d'une forte fragmentation des individus, la présente typologie repose essentiellement sur les critères morphologiques de la partie supérieure des récipients : forme de la lèvre et du col, présence ou absence d'éléments d'ornementation (baguettes, cannelures). Il ne s'agit donc pas d'une classification basée sur la fonction des récipients.

A partir du corpus des productions locales constitué de 24390 tessons pour 1540 NMI, 13 types différents ont pu être identifiés, certains étant subdivisés en sous-types sur la base de critères morphologiques précis. Au total le corpus comporte donc 21 classes auxquelles s'ajoutent des unicas. D'autres variantes ont parfois été repérées. Peu fréquentes, elles n'ont pas été jugées suffisamment pertinentes pour constituer de nouveaux sous-types.

Catalogue typologique

Type 1

Récipients à lèvre en bourrelet très débordant qui semblent tous, au regard des éléments étudiés, appartenir à de gros vases de stockage (**fig. 213**).

Du point de vue quantitatif, le type 1 représente 17,2 % du NMI de l'ensemble du site, soit 195 individus estimés et 18,6 équivalents-vases.

En fonction de la présence ou de l'absence d'éléments décoratifs/ d'ornementation sur la partie supérieure de la panse, trois sous-types ont pu être caractérisés : 1a, 1b et 1c (**fig. 212**) ; le type 1 ind. correspond pour sa part aux lèvres de récipients rattachés au type 1 mais dont le sous-type n'a pu être déterminé, vraisemblablement en raison de la fragmentation du bord qui n'a pas permis de visualiser la présence – ou l'absence- d'éléments décoratifs caractéristiques.

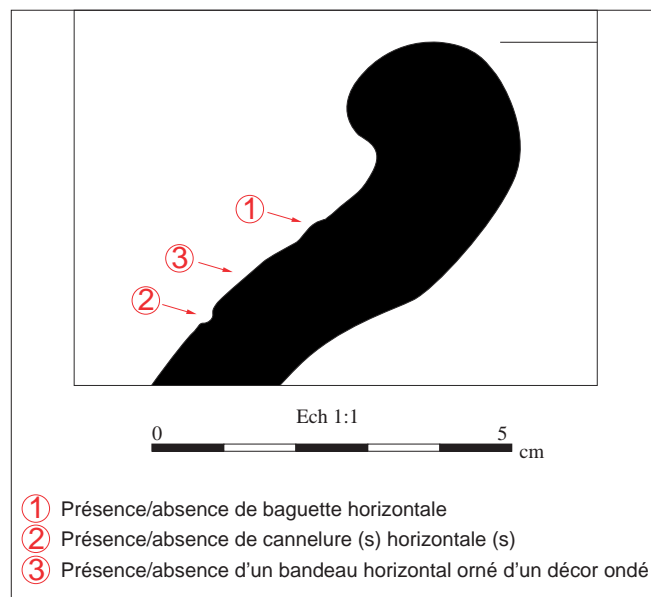


Fig. 231 : éléments morphologiques permettant la caractérisation des sous-types 1a, 1b et 1c

© N. Ménez

La répartition des différentes variantes du type 1 (**fig. 233**), montre que plus du tiers (38,5 %) des individus identifiés appartiennent au sous-type 1b ou à ses variantes. Les deux autres sous-types (1a et 1c)

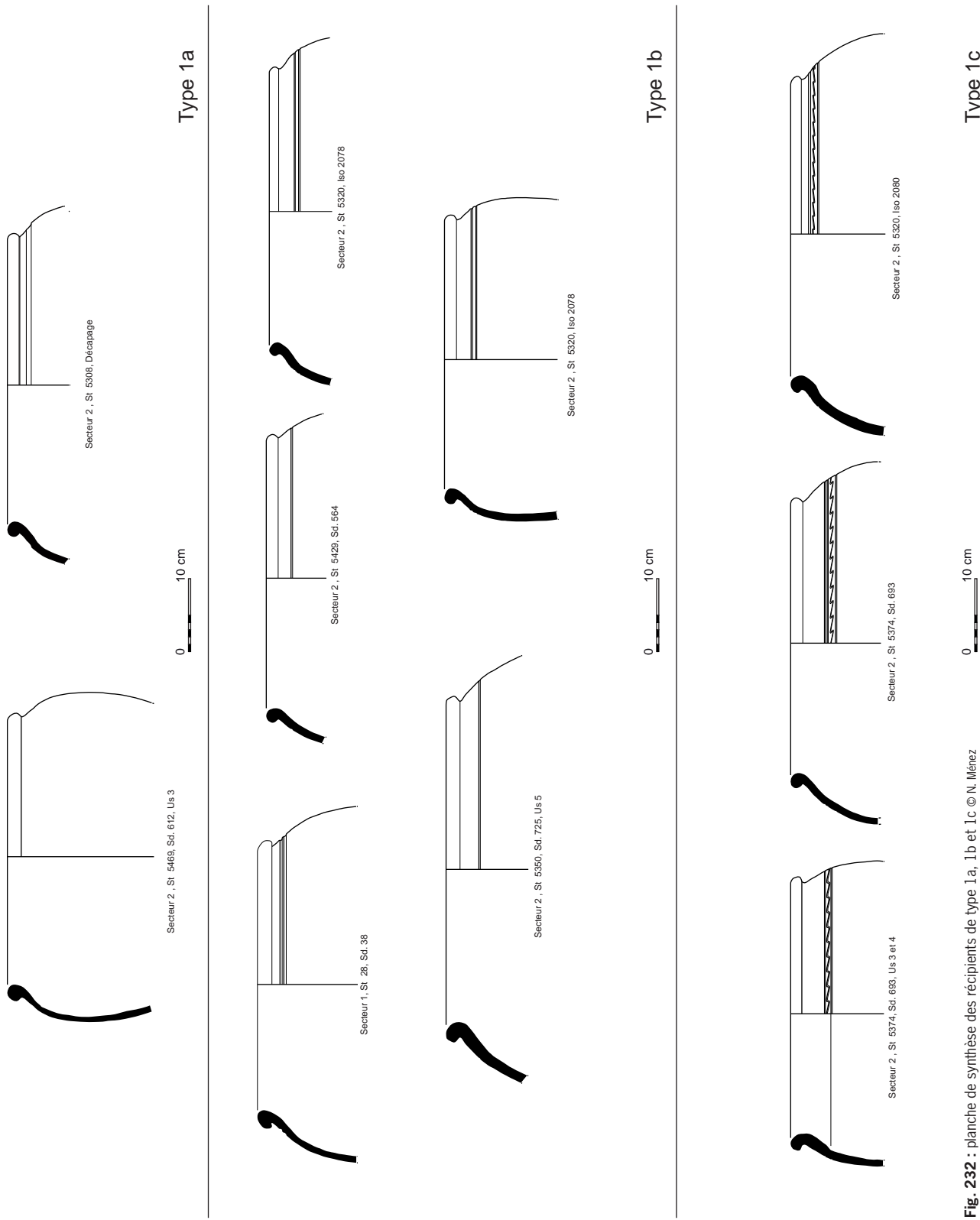


Fig. 232 : planche de synthèse des récipients de type 1 a, 1 b et 1 c © N. Ménez

et leurs variantes sont représentés, respectivement, à hauteur de 11,3 % et 16,4 % NMI.

sous-type	NR	%NR	NMI	%NMI	EqV	%EqV
1a	34	8.9%	22	11.3%	2.48	13.3%
1b	126	33.2%	75	38.5%	8.70	46.8%
1c	56	14.7%	32	16.4%	3.89	20.9%
1ind	164	43.2%	66	33.8%	3.53	19.0%
total	380	17.2%	195	17.2%	18.6	14.4%

Fig. 233 : tableau synthétique des subdivisions du type 1 © N. Ménez

Sous-type 1a :

22 individus de type 1a et 2,48 équivalents-vases ont été recensés sur l'ensemble du site, parmi lesquels on dénombre quelques variantes.

Morphologie

Ce sous-type s'apparente aux récipients à paroi externe lisse (sans décor) ou comportant, en de rares cas, un fin bandeau au niveau de l'épaule. Les lèvres sont quant à elles en majorité arrondies, même si quelques extrémités plus anguleuses peuvent être observées.

Décor et traitements de surface

Aucun décor ou traitement de surface n'est présent autre que des stries de tournage non éliminées par le potier au tournassage.

Formes concernées/fonction (s)

Les récipients correspondent à des pots de grande contenance vraisemblablement utilisés en tant que céramique de stockage.

Diamètres

En ce qui concerne les diamètres d'ouverture de ces individus, on observe qu'ils varient entre 32 et 48 cm (fig. 234) (fig. 235). Le faible nombre d'exemplaires recensés n'autorise toutefois pas à dégager de ces données de grandes tendances morphologiques.

Sous type	diamètre	NR	NMI	EqV
1a	32	1	1	0.09
1a	34	2	1	0.19
1a	37	1	1	0.19
1a	38	3	2	0.23
1a	40	4	2	0.22
1a	42	7	4	0.46
1a	44	7	5	0.49
1a	46	6	4	0.44
1a	48	3	2	0.16

Fig. 234 : tableau récapitulatif des diamètres d'ouverture des individus de type 1a © N. Ménez

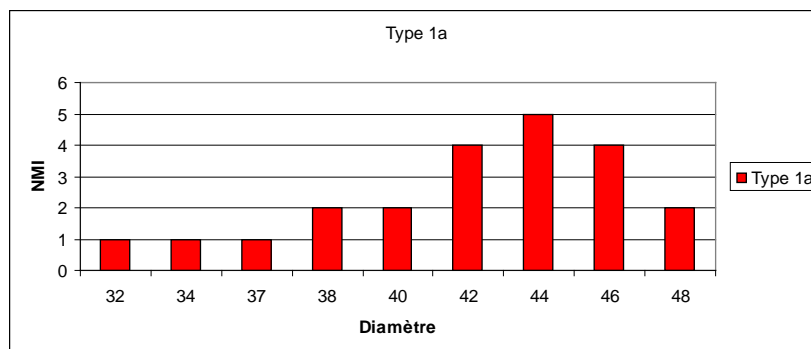


Fig. 235 : histogramme récapitulatif des diamètres d'ouverture des individus de type 1a © N. Ménez

Contextes de découverte

14 contextes ont révélé des récipients de type 1a. Aucun d'entre eux ne se démarque par la présence d'un lot important de récipients de ce type (fig. 236). On observe en effet que la majorité d'entre eux (12 sur 14) livre 1 seul voire 2 individus ; seuls deux contextes permettent de recenser un peu plus de 4 individus.

Type/ s. type	Fait	NR	%NR	NMI	%NMI	EqV	%EqV
1a	/	7	20.6%	4	18.2%	0.47	18.9%
1a	28	1	2.9%	1	4.5%	0.04	1.79%
1a	5092	1	2.9%	1	4.5%	0.06	2.24%
1a	5236	5	14.7%	4	18.2%	0.42	17.0%
1a	5272	2	5.9%	1	4.5%	0.19	7.84%
1a	5286	1	2.9%	1	4.5%	0.11	4.26%
1a	5308	1	2.9%	1	4.5%	0.11	4.48%
1a	5320	4	11.8%	2	9.1%	0.22	8.74%
1a	5350	4	11.8%	2	9.1%	0.31	12.3%
1a	5374	1	2.9%	1	4.5%	0.19	7.84%
1a	5429	1	2.9%	1	4.5%	0.08	3.36%
1a	5469	3	8.8%	1	4.5%	0.13	5.26%
1a	5651	2	5.9%	1	4.5%	0.10	4.03%
1a	5665	1	2.9%	1	4.5%	0.04	1.68%

Fig. 236 : tableau récapitulatif des contextes de découverte des individus de type 1a © N. Ménez

Sous-type 1b :

Bien plus important numériquement que les deux autres sous-types, le sous-type 1b et ses variantes sont représentés par 75 individus estimés et 8,70 équivalents-vases.

Morphologie

Récipients dont l'épaule est ornée d'une ou de plusieurs cannelures horizontales. Les lèvres de ces individus, en majorité arrondies, présentent des épaisseurs et des orientations variables. Il est à noter que de rares exemplaires comportent une cannelure horizontale sur leur lèvre.

Décors et traitements de surface

Aucun décor ni traitement de surface n'est présent sur les récipients de type 1b.

Formes concernées/fonction (s)

Les récipients correspondent à des pots de grande contenance vraisemblablement utilisés en tant que vases de stockage.

Diamètres

Le diamètre d'ouverture de ces récipients varie entre 22 et 48 cm mais la grande majorité d'entre eux (58 individus sur 75) est comprise entre 36 et 44 cm (fig. 237) (fig. 238).

Sous type	diamètre	NR	NMI	EqV
1b	22	1	1	0.08
1b	32	5	3	0.42
1b	34	9	5	0.68
1b	36	16	9	1.28
1b	38	18	12	1.31
1b	40	16	10	1.15
1b	42	20	11	1.60
1b	43	2	1	0.13
1b	44	29	15	1.64
1b	46	7	6	0.27
1b	48	3	2	0.13

Fig. 237: tableau récapitulatif des diamètres d'ouverture des individus de type 1b © N. Ménez

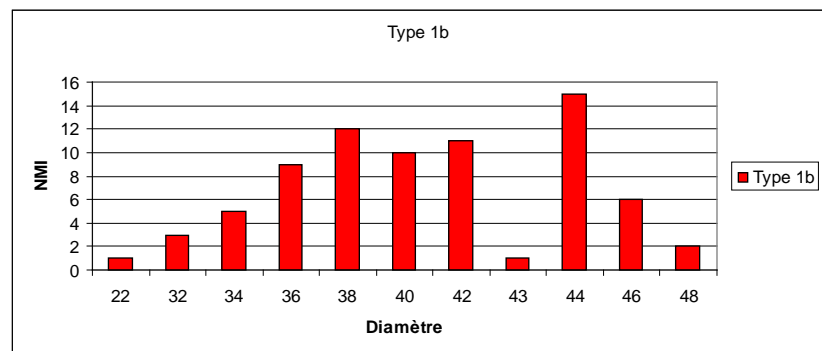


Fig. 238 : histogramme récapitulatif des diamètres d'ouverture des individus de type 1b © N. Ménez

Contextes de découverte

17 structures ont révélé la présence du sous-type 1b. La structure F.5350 en a livré le lot le plus significatif (fig. 239) puisqu'il correspond à 35% des découverts à l'échelle du site (26 individus estimés). Elle se singularise ainsi des autres contextes qui n'en livrent au maximum que 11 exemplaires.

Type/ s. type	Fait	NR	%NR	NMI	%NMI	EqV	%EqV
1b	/	7	5.6%	4	5.3%	0.48	5.49%
1b	28	21	16.7%	11	14.7%	1.14	13.2%
1b	5059	1	0.8%	1	1.3%	0.07	0.83%
1b	5088	1	0.8%	1	1.3%	0.11	1.28%
1b	5190	2	1.6%	1	1.3%	0.09	1.09%
1b	5230	2	1.6%	1	1.3%	0.13	1.53%
1b	5236	12	9.5%	8	10.7%	0.83	9.55%
1b	5252	3	2.4%	2	2.7%	0.18	2.04%
1b	5272	9	7.1%	7	9.3%	0.59	6.77%
1b	5320	6	4.8%	4	5.3%	0.62	7.15%
1b	5350	49	38.9%	26	34.7%	3.72	42.8%
1b	5374	3	2.4%	3	4.0%	0.26	3.00%
1b	5429	5	4.0%	2	2.7%	0.28	3.22%
1b	5514	1	0.8%	1	1.3%	0.04	0.45%
1b	5529	2	1.6%	1	1.3%	0.07	0.83%
1b	5550	1	0.8%	1	1.3%	0.03	0.32%
1b	5655	1	0.8%	1	1.3%	0.04	0.51%

Fig. 239 : tableau récapitulatif des contextes de découverte des individus de type 1b © N. Ménez

Sous-type 1c :

Le sous-type 1c et ses variantes sont représentés par 32 individus estimés correspondant à 3,53 équivalents-vases.

Morphologie

Ce sous-type se caractérise par la présence d'un décor ondé incisé encadré de deux cannelures horizontales au niveau de l'épaule qui est parfois souligné par un léger décrochement. Les lèvres présentent quant à elles des morphologies et des orientations variées.

Décor et traitements de surface

Comme pour le sous-type 1a, seules des stries de tournage sont visibles.

Formes concernées/fonction (s)

Pots de grande contenance vraisemblablement utilisés en tant que vases de stockage.

Diamètres

Les diamètres d'ouverture varient entre 34 et 48 cm (fig. 240) (fig. 241). On observe toutefois que près de la moitié d'entre eux (14 individus sur 32) correspond à un diamètre compris entre 38 et 40 cm.

Sous type	diamètre	NR	NMI	EqV
1c	34	1	1	0.04
1c	36	5	3	0.35
1c	38	16	7	0.87
1c	40	10	7	0.96
1c	42	7	5	0.47
1c	44	7	5	0.50
1c	45	4	1	0.15
1c	46	5	2	0.46
1c	48	1	1	0.09

Fig. 240 : tableau récapitulatif des diamètres d'ouverture des individus de type 1c © N. Ménéz

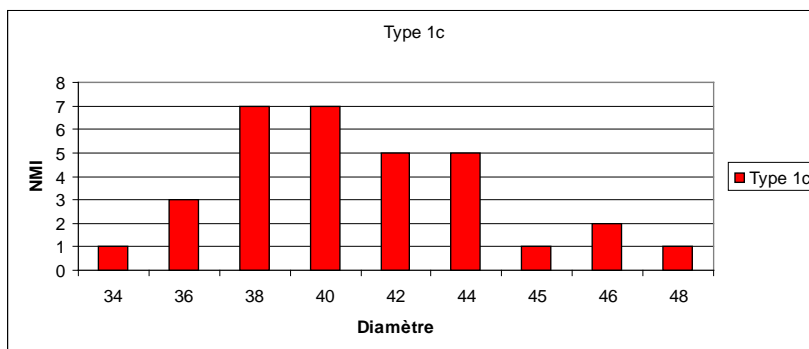


Fig. 241 : histogramme récapitulatif des diamètres d'ouverture des individus de type 1c

Contextes de découverte

Sur les 13 contextes ayant livré des récipients de type 1c (fig. 242), aucun ne se démarque du point de vue quantitatif puisqu'on y dénombre entre 1 et 6 individus.

Type/ s. type	Fait	NR	%NR	NMI	%NMI	EqV	%EqV
1c	/	2	3.6%	1	3.1%	0.08	2.00%
1c	28	2	3.6%	2	6.3%	0.18	4.64%
1c	5050/5236	1	1.8%	1	3.1%	0.10	2.50%
1c	5083	1	1.8%	1	3.1%	0.16	4.00%
1c	5236	16	28.6%	6	18.8%	0.77	19.9%
1c	5272	8	14.3%	5	15.6%	0.44	11.2%
1c	5294	1	1.8%	1	3.1%	0.06	1.57%
1c	5320	3	5.4%	2	6.3%	0.22	5.71%
1c	5335	2	3.6%	1	3.1%	0.16	4.07%
1c	5350	5	8.9%	4	12.5%	0.42	10.9%
1c	5374	10	17.9%	6	18.8%	1.12	28.7%
1c	5665	4	7.1%	1	3.1%	0.15	3.78%
1c	5667	1	1.8%	1	3.1%	0.04	1.07%

Fig. 242 : tableau récapitulatif des contextes de découverte des individus de type 1c © N. Ménez

Type 2

Récipients à lèvre éversée - parfois dotée d'une cannelure interne - dont la partie supérieure correspond à un profil galbé à épaulement assez haut (fig. 244). Du point de vue quantitatif, ce type 2 représente plus de la moitié des individus recensés sur le site (57,5 %), soit 651 NMI et 77,1 équivalents-vases.

Les particularités morphologiques des parties supérieures des récipients de type 2 sont communs aux pots (forme fermée) et aux jattes (forme ouverte), sachant que ces deux classes morphologiques constituent l'immense majorité du corpus. La distinction entre les deux n'est donc pas aisée à faire et ce d'autant plus que d'autres critères comme celui du diamètre ne sont guère d'un grand secours. En effet, il est possible d'observer, sur la base d'un corpus de 35 poteries complètes, que les diamètres d'ouverture inférieure à 28 cm, à savoir l'essentiel du corpus, sont communs aux pots et aux jattes (fig. 311). Au-delà de cette limite en revanche seule la classe des pots semble être concernée (mais le faible nombre d'individu pris en compte ne permet pas d'être catégorique).

Comme pour le type morphologique précédent, c'est la présence ou l'absence d'éléments décoratifs/d'ornementation au niveau de l'épaulement qui permet de caractériser quatre sous-types : 2a, 2b, 2c et 2d (fig. 243). Ici encore, la série des « 2 ind. » correspond aux parties supérieures des récipients rattachés au type 2 mais sans distinction de sous-type.

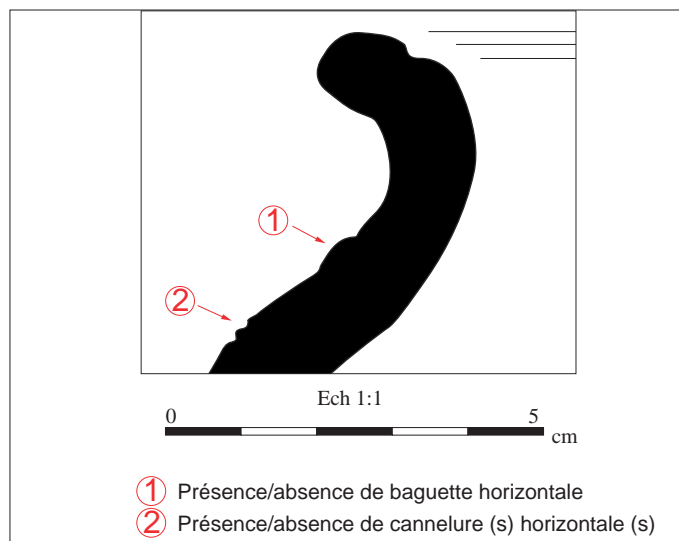
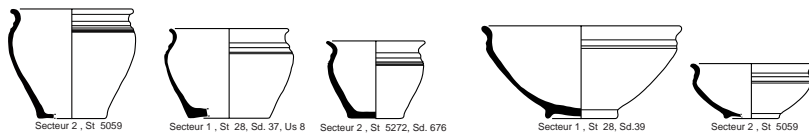
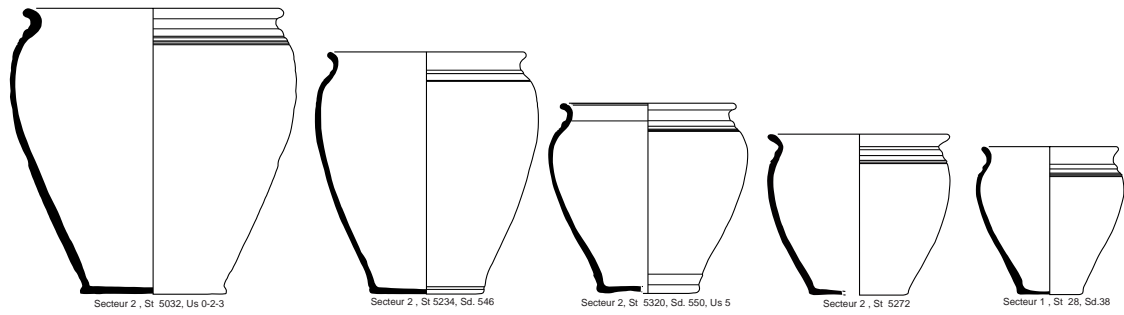


Fig. 243 : éléments morphologiques permettant la caractérisation des sous-types 2a, 2b, 2c et 2d © N.

Ménez

La répartition au sein des différents sous-types (fig. 245), montre que plus du



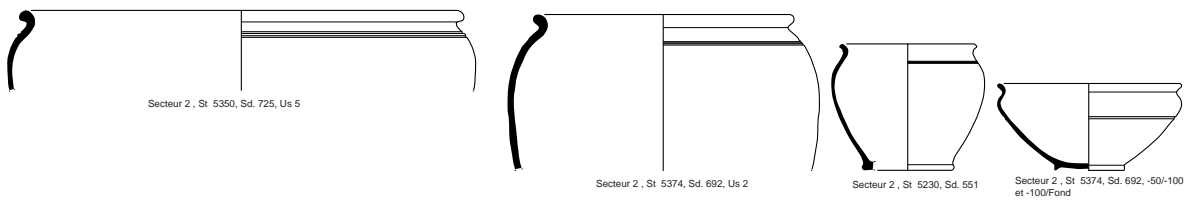
0 10 cm

Type 2a



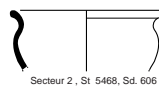
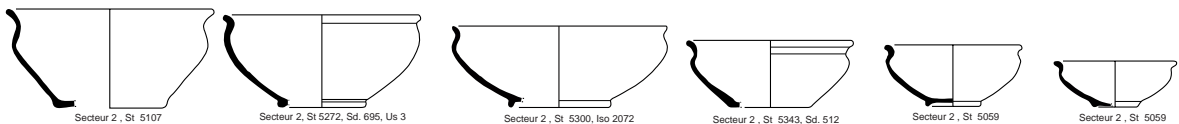
0 10 cm

Type 2b



0 10 cm

Type 2c



0 10 cm

Type 2d

Fig. 244 : planche de synthèse des récipients de type 2a, 2b, 2c et 2d © N. Ménez

tiers (35,9 %) des individus s'apparente au sous-type 2a ou à ses variantes. Vient ensuite le sous-type 2d et ses variantes (25,2% des individus), loin devant le sous-type 2b et ses variantes (10 % des individus). Le sous-type 2d et ses variantes, enfin, semble quant à lui assez marginal puisqu'on n'en dénombre que 19 individus, soit 2,9 % de ceux rattachés au type 2.

Sous-type	NR	%NR	NMI	%NMI	EqV	%EqV
2a	490	38.7%	234	35.9%	39.1	50.7%
2b	145	11.5%	65	10.0%	9.41	12.2%
2c	50	4.0%	19	2.9%	3.57	4.63%
2d	306	24.2%	164	25.2%	21.3	27.6%
2ind	274	21.7%	169	26.0%	3.76	4.88%
total	1265	57.4%	651	57.5%	77.1	59.7%

Fig. 245 : tableau synthétique des subdivisions du type 2 © N. Ménez

Sous-type 2a

Le sous-type 2a et ses variantes sont représentés par 234 individus et 39,1 équivalents-vases.

Morphologie

Récipients dont le col ou l'épaule est orné à la fois d'une baguette horizontale (plus ou moins marquée) associée à une ou à plusieurs cannelures horizontales dont la largeur est variable. La lèvre, éversée à extrémité arrondie, peut quant à elle être parfois légèrement tombante. Les formes correspondent aussi bien à des pots que des jattes. Les pots, de gabarits variés, adoptent en grande majorité un profil ovoïde même si on observe la présence de rares individus au profil globulaire. Les jattes se caractérisent elles aussi par des gabarits variés avec parfois un déplacement de la cannelure horizontale de l'épaule vers la partie médiane de la panse.

Décors et traitements de surface

Un certain nombre de décors et de traitements de surface ont été repérés sur les récipients de type 2a : bandes lustrées externes et internes, décors peignés. Des stries de tournage demeurent également visibles.

Formes concernées/fonction (s)

Les récipients correspondent à des pots et à des jattes. Ils peuvent ainsi avoir servi au stockage de denrées, à leur cuisson, leur préparation ou encore à leur présentation.

Diamètres

L'amplitude des diamètres d'ouverture des individus de type 2a est importante (fig. 246) (fig. 247), puisqu'on dénombre 27 diamètres différents se situant entre 10 et 56 cm.

Sous type	diamètre	NR	NMI	EqV
2a	10	1	1	0.13
2a	12	2	2	0.22
2a	13	2	1	0.24
2a	14	1	1	0.06
2a	15	3	1	0.39
2a	16	28	17	3.51
2a	18	48	24	4.88
2a	19	8	4	0.84
2a	20	42	20	4.21
2a	21	1	1	0.14

Sous type	diamètre	NR	NMI	EqV
2a	22	54	24	3.34
2a	23	9	3	1.04
2a	24	45	23	3.33
2a	26	31	15	2.42
2a	27	3	2	0.34
2a	28	46	18	3.49
2a	30	17	14	1.26
2a	32	16	9	0.71
2a	34	52	17	3.99
2a	36	30	11	2.26
2a	38	20	7	1.03
2a	40	7	4	0.24
2a	42	1	1	0.06
2a	44	3	2	0.13
2a	48	4	3	0.24
2a	50	2	2	0.13
2a	56	3	1	0.18

Fig. 246 : tableau récapitulatif des diamètres d'ouverture des individus de type 2a © N. Ménez

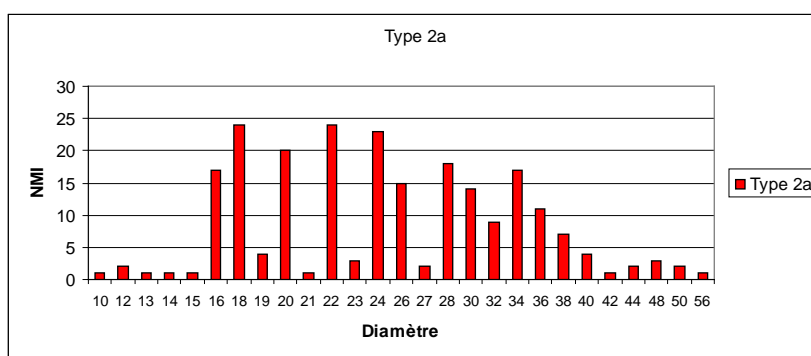


Fig. 247 : histogramme récapitulatif des diamètres d'ouverture des individus de type 2a © N. Ménez

Contextes de découverte

44 contextes ont révélé des récipients de type 2a (fig. 248) mais seuls deux d'entre eux se distinguent par la quantité d'individus qu'ils recèlent : le fossé F.5272 (46 individus, soit près de 20% du NMI total) et le fossé F.28 (29 individus, soit 12,4%). Dans une moindre mesure, deux autres contextes se démarquent aussi : le fait F.5320 (19 individus, 8,1%) et le fait F.5350 (20 individus, 8,5%). Les autres contextes livrent quant à eux entre 1 et 13 individus de type 2a.

Type/ s. type	Fait	NR	%NR	NMI	%NMI	EqV	%EqV
2a	/	49	10.0%	22	9.4%	4.35	11.1%
2a	28	54	11.0%	29	12.4%	5.06	12.9%
2a	5016	2	0.4%	1	0.4%	0.21	0.53%
2a	5032	13	2.7%	4	1.7%	1.24	3.16%
2a	5048	2	0.4%	1	0.4%	0.09	0.23%
2a	5059	5	1.0%	3	1.3%	0.61	1.55%
2a	5083	5	1.0%	1	0.4%	0.34	0.88%
2a	5088	6	1.2%	3	1.3%	0.32	0.82%
2a	5092	24	4.9%	13	5.6%	1.87	4.78%
2a	5098	3	0.6%	2	0.9%	0.34	0.88%
2a	5099	2	0.4%	1	0.4%	0.12	0.30%
2a	5110	2	0.4%	1	0.4%	0.14	0.37%
2a	5126	1	0.2%	1	0.4%	0.07	0.17%
2a	5136	2	0.4%	2	0.9%	0.21	0.54%
2a	5201	1	0.2%	1	0.4%	0.07	0.18%
2a	5224	4	0.8%	1	0.4%	0.22	0.57%
2a	5230	2	0.4%	2	0.9%	0.09	0.22%
2a	5234	1	0.2%	1	0.4%	0.00	0.00%
2a	5235	2	0.4%	1	0.4%	0.00	0.00%
2a	5236	23	4.7%	11	4.7%	1.54	3.95%
2a	5272	98	20.0%	46	19.7%	7.33	18.8%
2a	5275	4	0.8%	2	0.9%	0.32	0.82%

Type/ s. type	Fait	NR	%NR	NMI	%NMI	EqV	%EqV
2a	5295	1	0.2%	1	0.4%	0.09	0.23%
2a	5300	3	0.6%	1	0.4%	0.06	0.14%
2a	5320	41	8.4%	19	8.1%	3.56	9.11%
2a	5327	9	1.8%	1	0.4%	0.92	2.35%
2a	5329	6	1.2%	6	2.6%	0.59	1.51%
2a	5330	1	0.2%	1	0.4%	0.11	0.28%
2a	5343	2	0.4%	1	0.4%	0.17	0.44%
2a	5350	42	8.6%	20	8.5%	2.85	7.29%
2a	5374	24	4.9%	10	4.3%	2.64	6.77%
2a	5448	1	0.2%	1	0.4%	0.10	0.26%
2a	5459	4	0.8%	4	1.7%	0.46	1.17%
2a	5468	1	0.2%	1	0.4%	0.07	0.18%
2a	5507	1	0.2%	1	0.4%	0.11	0.28%
2a	5521	2	0.4%	2	0.9%	0.15	0.39%
2a	5529	7	1.4%	1	0.4%	0.33	0.84%
2a	5536	4	0.8%	1	0.4%	0.18	0.45%
2a	5550	2	0.4%	1	0.4%	0.08	0.21%
2a	565	5	1.0%	3	1.3%	0.23	0.60%
2a	5651	12	2.4%	3	1.3%	0.75	1.93%
2a	5655	2	0.4%	2	0.9%	0.22	0.56%
2a	5663	10	2.0%	1	0.4%	0.51	1.31%
2a	5665	1	0.2%	1	0.4%	0.00	0.00%
2a	Inter. 5343/5093	3	0.6%	2	0.9%	0.30	0.77%

Fig. 248 : tableau récapitulatif des contextes de découverte des individus de type 2a © N. Ménez

Sous-type 2b

Le sous-type 2b et ses variantes sont représentés par 65 individus et 9,41 équivalents-vases.

Morphologie

Récipients dont le col ou l'épaulement est seulement orné d'une baguette horizontale (plus ou moins large et marquée). Comme pour le sous-type précédent, la lèvre éversée est arrondie et peut parfois être légèrement tombante.

Ici encore, ce sous-type regroupe des pots et des jattes. Les pots présentent des gabarits variés et adoptent en grande majorité un profil ovoïde. On recense par ailleurs quelques exemplaires à piédestal. Les jattes comportent elles aussi des gabarits variés mais peu d'exemplaires archéologiquement complets sont conservés.

Décors et traitements de surface

Des restes de décors et de traitement de surface ont été repérés sur quelques récipients de type 2b : bandes lustrées externes et internes, lissage de la paroi externe. Des stries de tournage sont parfois visibles.

Formes concernées/fonction (s)

Les récipients affiliés correspondent à des pots et à des jattes. Ils peuvent ainsi avoir servi au stockage de denrées, à leur cuisson, leur préparation ou encore à leur présentation.

Diamètres

Les diamètres d'ouverture des individus recensés sont, là encore, assez nombreux (21 diamètres différents) et varient entre 14 et 48 cm. Par ailleurs, aucun d'entre eux ne semble mieux représenté que les autres (fig. 249) (fig. 250).

sous type	diamètre	NR	NMI	EqV
2b	14	4	2	0.30
2b	15	2	1	0.23
2b	16	16	5	1.02
2b	17	2	1	0.28
2b	18	12	6	1.29
2b	19	2	2	0.36
2b	20	13	5	0.76
2b	22	10	7	0.79
2b	23	4	1	0.22
2b	24	17	5	1.22
2b	26	11	6	0.60
2b	27	2	1	0.23
2b	28	5	3	0.27
2b	30	7	4	0.41
2b	32	6	2	0.37
2b	34	9	4	0.27
2b	36	3	2	0.24
2b	38	3	2	0.12
2b	42	3	2	0.11
2b	46	7	1	0.21
2b	48	2	1	0.12

Fig. 249 : tableau récapitulatif des diamètres d'ouverture des individus de type 2b © N. Ménez

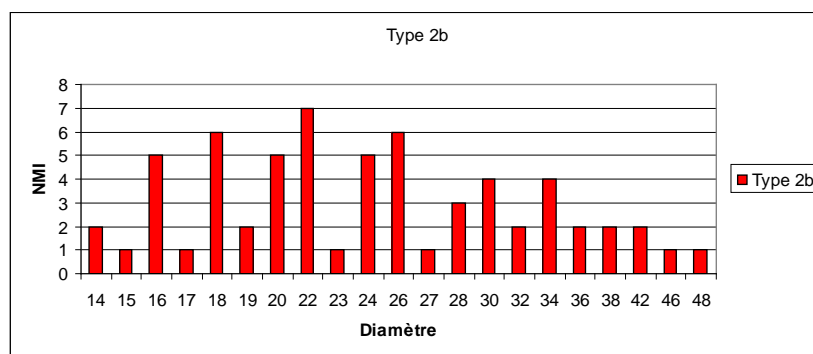


Fig. 250 : histogramme récapitulatif des diamètres d'ouverture des individus de type 2b © N. Ménez

Contextes de découverte

31 contextes ont livré des récipients de type 1b. Aucun d'entre eux ne se distingue par la présence d'un corpus significativement plus important (fig. 251).

Type/ s. type	Fait	NR	%NR	NMI	%NMI	EqV	%EqV
2b	/	3	2.1%	2	3.1%	0.13	1.36%
2b	28	20	13.8%	6	9.2%	1.52	16.1%
2b	5059	3	2.1%	2	3.1%	0.31	3.25%
2b	5078	7	4.8%	1	1.5%	0.21	2.24%
2b	5088	1	0.7%	1	1.5%	0.06	0.65%
2b	5092	18	12.4%	7	10.8%	1.46	15.5%
2b	5093	3	2.1%	1	1.5%	0.19	2.01%
2b	5098	1	0.7%	1	1.5%	0.04	0.44%
2b	5099	4	2.8%	3	4.6%	0.44	4.72%
2b	5166	2	1.4%	1	1.5%	0.12	1.30%
2b	5179	3	2.1%	1	1.5%	0.23	2.48%
2b	5230	4	2.8%	4	6.2%	0.15	1.59%
2b	5234	4	2.8%	1	1.5%	0.00	0.00%
2b	5240	6	4.1%	1	1.5%	0.31	3.31%
2b	5252	1	0.7%	1	1.5%	0.08	0.83%
2b	5264	1	0.7%	1	1.5%	0.13	1.36%
2b	5272	19	13.1%	8	12.3%	1.02	10.8%
2b	5320	5	3.4%	3	4.6%	0.23	2.48%
2b	5335	4	2.8%	3	4.6%	0.59	6.23%
2b	5350	3	2.1%	1	1.5%	0.14	1.48%
2b	5374	10	6.9%	5	7.7%	0.58	6.20%
2b	5429	1	0.7%	1	1.5%	0.03	0.35%
2b	5444	9	6.2%	1	1.5%	0.39	4.13%
2b	5448	1	0.7%	1	1.5%	0.11	1.18%
2b	5459	2	1.4%	1	1.5%	0.23	2.48%

Type/ s. type	Fait	NR	%NR	NMI	%NMI	EqV	%EqV
2b	5469	1	0.7%	1	1.5%	0.07	0.74%
2b	5514	1	0.7%	1	1.5%	0.13	1.33%
2b	565	3	2.1%	1	1.5%	0.23	2.42%
2b	5651	1	0.7%	1	1.5%	0.07	0.74%
2b	5655	1	0.7%	1	1.5%	0.12	1.24%
2b	5660	2	1.4%	1	1.5%	0.06	0.59%
2b	Inter. 5272/5013	1	0.7%	1	1.5%	0.05	0.53%

Fig. 251 : tableau récapitulatif des contextes de découverte des individus de type 2b © N. Ménez

Sous-type 2c

Le sous-type 2c et ses variantes sont représentés par seulement 19 individus estimés et 3,57 équivalents-vases.

Morphologie

Récipients dont le col ou l'épaule est orné d'une ou de plusieurs cannelures horizontales (pas plus de deux en général) à la largeur variable. La lèvre, éversée à extrémité arrondie, peut quant à elle être légèrement tombante.

Au sein de ce sous-type, à l'instar des deux précédents, on recense à la fois des pots et des jattes, mais peu d'entre eux sont conservés de manière intégrale. Les pots présentent des gabarits variés et adoptent en majorité des profils ovoïdes même si l'on recense des exemplaires à profil globulaire. Les jattes ont elles aussi des gabarits variés et on constate parfois le déplacement de la cannelure horizontale de l'épaule en direction de la partie médiane de la panse.

Décor et traitements de surface

Aucun décor ou traitement de surface n'est présent autre que des stries de tournage non éliminées par le potier au tournassage.

Formes concernées/fonction (s)

Les récipients correspondent à des pots et à des jattes. Ils peuvent ainsi avoir servi au stockage de denrées, à leur cuisson, leur préparation ou encore à leur présentation.

Diamètres

Les diamètres d'ouverture des récipients de type 2c varient entre 16 et 56 cm (fig. 252) (fig. 253). Tous les contextes comportent un faible nombre d'individus (entre 1 et 3). Notons que le plus grand diamètre enregistré (56 cm) constitue une exception puisqu'il correspond à la seule mesure au-delà de 40 cm de diamètre.

sous type	diamètre	NR	NMI	EqV
2c	16	3	2	0.19
2c	18	12	2	1.09
2c	20	5	2	0.33
2c	22	3	1	0.19
2c	24	8	3	0.77
2c	26	2	1	0.06
2c	30	1	1	0.03
2c	32	5	2	0.29
2c	34	2	1	0.15
2c	36	3	1	0.15
2c	38	2	1	0.11
2c	40	3	1	0.13
2c	56	1	1	0.08

Fig. 252 : tableau récapitulatif des diamètres d'ouverture des individus de type 2c © N. Ménez

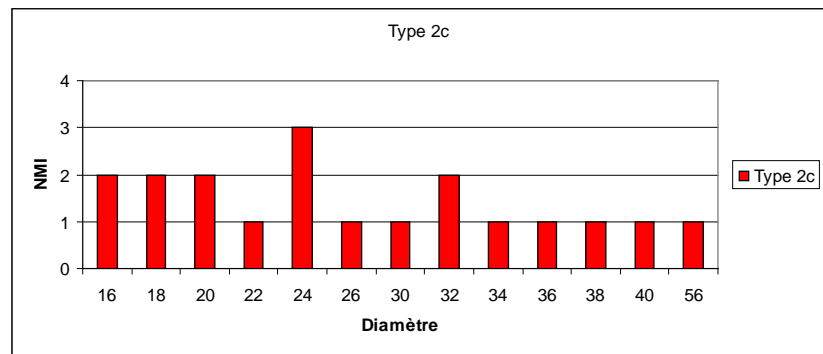


Fig. 253 : histogramme récapitulatif des diamètres d'ouverture des individus de type 2c © N. Ménez

Contextes de découverte

13 contextes livrent des récipients de type 2c (fig. 254). Aucun d'entre eux ne se démarque puisqu'on ne recense qu'entre 1 et 3 individus pour chacun d'entre eux.

Type/ s. type	Fait	NR	%NR	NMI	%NMI	EqV	%EqV
2c	5059	1	2.0%	1	5.3%	0.15	4.20%
2c	5088	5	10.0%	2	10.5%	0.24	6.69%
2c	5092	2	4.0%	1	5.3%	0.06	1.56%
2c	5098	1	2.0%	1	5.3%	0.12	3.27%
2c	5134	3	6.0%	1	5.3%	0.19	5.45%
2c	5179	2	4.0%	1	5.3%	0.15	4.28%
2c	5190	5	10.0%	1	5.3%	0.24	6.61%
2c	5272	6	12.0%	3	15.8%	0.28	7.78%
2c	5275	1	2.0%	1	5.3%	0.12	3.42%
2c	5320	9	18.0%	2	10.5%	1.01	28.4%
2c	5350	3	6.0%	2	10.5%	0.19	5.29%
2c	5374	8	16.0%	2	10.5%	0.62	17.3%
2c	5507	4	8.0%	1	5.3%	0.21	5.76%

Fig. 254 : tableau récapitulatif des contextes de découverte des individus de type 2c © N. Ménez

Sous-type 2d

Le sous-type 2d et ses variantes sont représentés par 164 individus et 21,3 équivalents-vases.

Morphologie

Récipients au col et à l'épaulement lisses.

La lèvre, éversée, présente pour sa part des morphologies variées allant des lèvres assez longues et légèrement tombantes à des petites lèvres à peine marquées.

Contrairement aux trois sous-types précédents, on recense ici une très forte majorité de jattes complétée par quelques rares pots. Les jattes présentent des gabarits variés au profil en esse plus ou moins prononcé ainsi que des épaulements plus ou moins marqués et à la hauteur variable. Les quelques exemplaires de pots enregistrés sont généralement de moyen module et de forme ovoïde.

Décors et traitements de surface

Les récipients de type 2d révèlent quelques restes de décors et de traitement

de surface tels que des bandes lustrées externes et internes, des décors estampés. Des stries de tournage sont parfois visibles.

Formes concernées/fonction (s)

Les récipients correspondent, en très grande majorité à des jattes. Ils peuvent ainsi avoir servi à la préparation et à la présentation de denrées.

Diamètres

Les diamètres d'ouverture sont assez variés (19 diamètres différents) et oscillent entre 14 et 38 cm (fig. 255) (fig. 256). On observe toutefois que près 80 % d'entre eux (131 individus sur 164) ont un diamètre compris entre 18 et 28 cm, qui s'explique par le fait que l'immense majorité des individus recensés ici correspond à des jattes.

sous type	diamètre	NR	NMI	EqV
2d	14	8	2	0.47
2d	16	18	9	1.43
2d	17	1	1	0.27
2d	18	28	21	2.33
2d	19	2	1	0.13
2d	20	29	18	2.64
2d	21	3	1	0.33
2d	22	42	21	3.16
2d	23	6	4	0.56
2d	24	59	27	3.92
2d	25	3	2	0.23
2d	26	45	20	3.02
2d	27	3	2	0.32
2d	28	27	14	1.24
2d	30	9	7	0.61
2d	32	7	1	0.35
2d	34	3	2	0.08
2d	36	1	1	0.06
2d	38	3	1	0.13

Fig. 255 : tableau récapitulatif des diamètres d'ouverture des individus de type 2d © N. Ménez

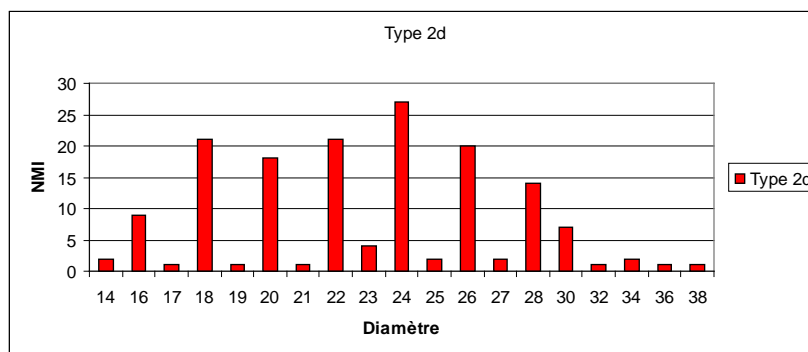


Fig. 256 : histogramme récapitulatif des diamètres d'ouverture des individus de type 2d © N. Ménez

Contextes de découverte

49 contextes ont révélé la présence de récipients de type 2d, ce qui correspond à la plus grande dispersion spatiale pour un type (ou sous-type) donné (fig. 257). Au sein de ceux-ci seul un contexte se distingue du point de vue quantitatif : le fossé F.5272 qui, avec 39 individus, représente 23,8% du NMI total. On remarque par ailleurs, qu'hormis ce fossé, seuls trois contextes livrent au moins 10 individus : F.28 (10 individus pour 6,1%), F.5092 (10 individus pour 6,1%) et F.5320 (11 individus pour 6,7%). Les 45 autres contextes ne comportent qu'entre 1 et 6 individus.

Type/ s. type	Fait	NR	%NR	NMI	%NMI	EqV	%EqV
2d	/	30	9.8%	15	9.1%	2.07	9.71%
2d	28	16	5.2%	10	6.1%	1.08	5.05%
2d	5016	1	0.3%	1	0.6%	0.08	0.37%
2d	5032	3	1.0%	1	0.6%	0.13	0.59%
2d	5048	1	0.3%	1	0.6%	0.06	0.26%
2d	5050/5236	3	1.0%	2	1.2%	0.19	0.89%
2d	5053	1	0.3%	1	0.6%	0.07	0.31%
2d	5056	1	0.3%	1	0.6%	0.05	0.23%
2d	5059	14	4.6%	4	2.4%	1.12	5.27%
2d	5068	2	0.7%	1	0.6%	0.08	0.37%
2d	5083	7	2.3%	2	1.2%	0.52	2.43%
2d	5088	8	2.6%	5	3.0%	0.45	2.13%
2d	5092	15	4.9%	10	6.1%	1.14	5.35%
2d	5098	1	0.3%	1	0.6%	0.04	0.18%
2d	5104	2	0.7%	1	0.6%	0.14	0.65%
2d	5107	15	4.9%	5	3.0%	1.21	5.70%
2d	5136	1	0.3%	1	0.6%	0.07	0.33%
2d	5167	1	0.3%	1	0.6%	0.14	0.65%
2d	5178	1	0.3%	1	0.6%	0.27	1.28%
2d	5187	1	0.3%	1	0.6%	0.04	0.18%
2d	5190	1	0.3%	1	0.6%	0.07	0.33%
2d	5219	3	1.0%	1	0.6%	0.11	0.52%
2d	5228	1	0.3%	1	0.6%	0.07	0.34%
2d	5235	1	0.3%	1	0.6%	0.07	0.34%
2d	5236	5	1.6%	4	2.4%	0.29	1.38%
2d	5272	75	24.5%	39	23.8%	5.34	25.1%
2d	5274	2	0.7%	1	0.6%	0.08	0.37%
2d	5293	1	0.3%	1	0.6%	0.04	0.21%
2d	5300	2	0.7%	1	0.6%	0.12	0.57%
2d	5320	19	6.2%	11	6.7%	1.13	5.33%
2d	5320 + 5391	1	0.3%	1	0.6%	0.00	0.00%
2d	5322	2	0.7%	1	0.6%	0.06	0.26%
2d	5327	1	0.3%	1	0.6%	0.00	0.00%
2d	5329	7	2.3%	7	4.3%	0.67	3.13%
2d	5343	6	2.0%	1	0.6%	0.58	2.70%
2d	5350	1	0.3%	1	0.6%	0.10	0.47%
2d	5352	1	0.3%	1	0.6%	0.05	0.23%
2d	5374	13	4.2%	6	3.7%	0.87	4.09%
2d	5429	3	1.0%	3	1.8%	0.20	0.93%
2d	5468	3	1.0%	1	0.6%	0.23	1.10%
2d	5507	9	2.9%	2	1.2%	0.23	1.08%
2d	5583	6	2.0%	3	1.8%	0.75	3.52%
2d	5627/5622	5	1.6%	2	1.2%	0.21	0.99%
2d	5651	3	1.0%	1	0.6%	0.27	1.25%
2d	5655	3	1.0%	2	1.2%	0.22	1.04%
2d	5665	2	0.7%	1	0.6%	0.10	0.46%
2d	5666	3	1.0%	1	0.6%	0.25	1.17%
2d	722	1	0.3%	1	0.6%	0.12	0.55%
2d	Inter. 5343/5093	1	0.3%	1	0.6%	0.08	0.39%
2d	Inter. 5622/5444	1	0.3%	1	0.6%	0.03	0.16%

Fig. 257 : tableau récapitulatif des contextes de découverte des individus de type 2d © N. Ménez

Type 3

Récipients ouverts à profil simple tronconique dont la lèvre est légèrement rentrante. La morphologie de celle-ci (arrondie ou plate d'une part, à cannelure sommitale d'autre part) permet quant à elle de discriminer deux sous-types : 3a et 3b (fig. 258) (fig. 291).

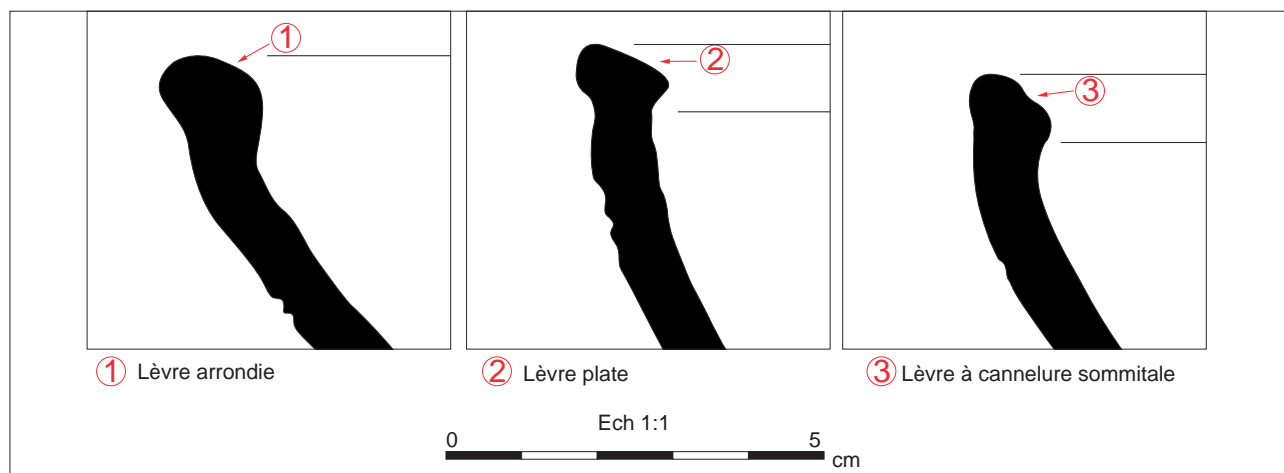


Fig. 258 : éléments morphologiques permettant la caractérisation des sous-types 3a et 3b © N. Ménez

Du point de vue quantitatif, le type 3 représente 14,8% des individus recensés sur le site, soit 168 individus et 17,6 équivalents-vases.

Les deux sous-types qui le composent (3a et 3b) ont une représentation équivalente (48,2% pour le type 3a contre 51,2% pour le type 3b) (fig. 259).

sous-type	NR	%NR	NMI	%NMI	EqV	%EqV
3a	156	45.6%	81	48.2%	8.20	46.6%
3b	181	52.9%	86	51.2%	9.33	53.0%
3ind	5	1.5%	1	0.6%	0.09	0.49%
total	342	15.5%	168	14.8%	17.6	13.6%

Fig. 259 : tableau synthétique des subdivisions du type 3 © N. Ménez

Sous-type 3a

81 individus de type 3a et 8,20 équivalents-vases ont été recensés sur l'ensemble du site.

Morphologie

Récipients présentant une lèvre arrondie ou plate dont l'aspect rentrant est plus ou moins prononcé selon les individus. Ces récipients sont souvent ornés d'une, voire de deux cannelures horizontales plus ou moins larges que l'on rencontre en très forte majorité sur le tiers supérieur de la panse.

Décors et traitements de surface

Aucun décor ou traitement de surface n'est présent autre que des stries de tournage non éliminées par le potier au tournassage.

Formes concernées/fonction (s)

Les récipients correspondent à des jattes et à des écuelles. Ils peuvent ainsi avoir servi à la préparation et à la présentation de denrées.

Diamètres

Les diamètres d'ouverture des vases de type 3a ont une amplitude de 12 à 46 cm (fig. 260) (fig. 261). Toutefois, l'essentiel d'entre eux (63 individus sur 81) est compris entre 22 et 34 cm.

sous type	diamètre	NR	NMI	EqV
3a	12	2	1	0.08
3a	18	5	3	0.36
3a	20	6	4	0.37
3a	22	11	10	0.69
3a	24	19	9	1.36
3a	26	23	10	1.33
3a	28	12	9	0.50
3a	30	11	8	0.52
3a	32	13	9	0.83
3a	34	28	8	1.19
3a	36	2	2	0.07
3a	38	7	2	0.30
3a	40	2	2	0.09
3a	46	3	1	0.13
3a	332	8	1	0.38

Fig. 260 : tableau récapitulatif des diamètres d'ouverture des individus de type 3a © N. Ménez

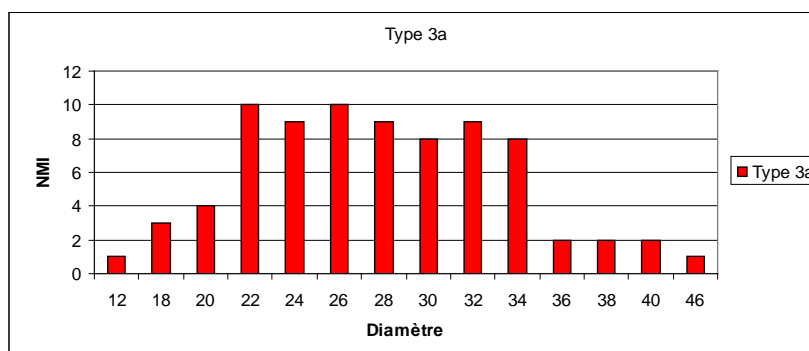


Fig. 261 : histogramme récapitulatif des diamètres d'ouverture des individus de type 3a © N. Ménez

Contextes de découverte

31 contextes ont livré des poteries de type 3a (fig. 262). Un seul se démarque : le fossé F.5272 qui, avec 21 individus recensés, représente 25,9% du NMI total.

Type/ s. type	Fait	NR	%NR	NMI	%NMI	EqV	%EqV
3a	28	34	21.8%	7	8.6%	1.70	20.7%
3a	5056	1	0.6%	1	1.2%	0.04	0.47%
3a	5059	6	3.8%	2	2.5%	0.39	4.74%
3a	5061	4	2.6%	1	1.2%	0.12	1.42%
3a	5083	3	1.9%	3	3.7%	0.11	1.36%
3a	5088	3	1.9%	2	2.5%	0.16	2.00%
3a	5092	6	3.8%	6	7.4%	0.44	5.39%
3a	5095	1	0.6%	1	1.2%	0.04	0.54%
3a	5098	3	1.9%	3	3.7%	0.11	1.32%
3a	5099	5	3.2%	1	1.2%	0.19	2.37%
3a	5107	2	1.3%	1	1.2%	0.08	1.02%
3a	5110	1	0.6%	1	1.2%	0.03	0.41%
3a	5113	1	0.6%	1	1.2%	0.04	0.51%
3a	5179/5180	1	0.6%	1	1.2%	0.03	0.34%
3a	5190	1	0.6%	1	1.2%	0.03	0.41%

Type/ s. type	Fait	NR	%NR	NMI	%NMI	EqV	%EqV
3a	5201/5442	1	0.6%	1	1.2%	0.16	1.90%
3a	5230	2	1.3%	2	2.5%	0.10	1.19%
3a	5236	8	5.1%	5	6.2%	0.31	3.73%
3a	5272	34	21.8%	21	25.9%	1.90	23.2%
3a	5300	2	1.3%	1	1.2%	0.14	1.76%
3a	5320	5	3.2%	3	3.7%	0.38	4.57%
3a	5329	3	1.9%	2	2.5%	0.30	3.66%
3a	5335	16	10.3%	4	4.9%	0.79	9.59%
3a	5350	3	1.9%	3	3.7%	0.10	1.22%
3a	5418	1	0.6%	1	1.2%	0.04	0.51%
3a	5429	1	0.6%	1	1.2%	0.07	0.88%
3a	5507	3	1.9%	1	1.2%	0.19	2.37%
3a	5627/5622	1	0.6%	1	1.2%	0.03	0.41%
3a	5655	1	0.6%	1	1.2%	0.10	1.19%
3a	5660	2	1.3%	1	1.2%	0.04	0.51%
3a	5665	1	0.6%	1	1.2%	0.03	0.41%

Fig. 262 : tableau récapitulatif des contextes de découverte des individus de type 3a © N. Ménez

Sous-type 3b

Le sous-type 3b est représenté, sur l'ensemble du site, par 86 individus et 9,33 équivalents-vases.

Morphologie

Récipients présentant une lèvre à cannelure sommitale, ou « lèvre en Y », qui forme un renflement interne et externe et dont le caractère est plus ou moins prononcé selon les individus. La majeure partie du temps rentrante, cette lèvre peut parfois être droite. Comme pour le sous-type précédent, les récipients de type 3b sont souvent ornés d'une, voire de deux cannelures horizontales plus ou moins large que l'on rencontre en très forte majorité sur le tiers supérieur de la panse.

Décors et traitements de surface

idem type 3a.

Formes concernées/fonction (s)

Les récipients correspondent à des jattes et à des écuelles. Ils peuvent ainsi avoir servi à la préparation et à la présentation de denrées.

Diamètres

Les diamètres d'ouverture sont assez variés puisqu'on en recense pas moins de 12 différents qui s'échelonnent entre 20 et 42 cm (fig. 263) (fig. 264). L'essentiel de ces diamètres (67 individus sur 86) est cependant compris entre 22 et 32 cm, soit quasiment la même variation que celle rencontrée pour le sous-type 3a.

sous type	diamètre	NR	NMI	EqV
3b	20	6	5	0.49
3b	22	25	12	1.32
3b	24	32	15	1.91
3b	26	25	11	1.73
3b	28	10	9	0.63
3b	30	24	11	1.00
3b	32	24	9	1.07
3b	34	13	4	0.51
3b	36	5	4	0.25
3b	38	4	2	0.12
3b	40	8	1	0.26
3b	42	2	1	0.04

Fig. 263 : tableau récapitulatif des diamètres d'ouverture des individus de type 3b © N. Ménez

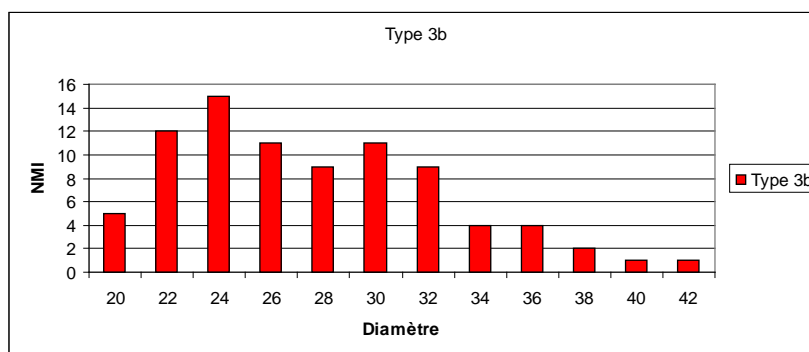


Fig. 264 : histogramme récapitulatif des diamètres d'ouverture des individus de type 3b © N. Ménez

Contextes de découverte

45 contextes ont révélé la présence de récipients de type 3b (fig. 265), mais seul l'un d'entre eux se distingue quantitativement : le fossé F.5272 qui livre 17 individus représentant 19,8% du NMI total. Dans une moindre mesure, on remarque également que le fait F.5320 avec ses 7 individus recensés (8,1%) se détache quelque peu du reste des contextes qui ne comportent qu'entre 1 et 3 individus.

Type/ s. type	Fait	NR	%NR	NMI	%NMI	EqV	%EqV
3b	/	19	10.5%	7	8.1%	1.29	13.8%
3b	28	6	3.3%	3	3.5%	0.41	4.35%
3b	5015	1	0.6%	1	1.2%	0.04	0.42%
3b	5019	2	1.1%	1	1.2%	0.08	0.83%
3b	5028	1	0.6%	1	1.2%	0.04	0.42%
3b	5048	1	0.6%	1	1.2%	0.08	0.83%
3b	5050/5236	8	4.4%	1	1.2%	0.26	2.83%
3b	5053	1	0.6%	1	1.2%	0.06	0.60%
3b	5078	1	0.6%	1	1.2%	0.05	0.54%
3b	5083	4	2.2%	2	2.3%	0.29	3.13%
3b	5088	4	2.2%	3	3.5%	0.20	2.14%
3b	5092	2	1.1%	1	1.2%	0.14	1.55%
3b	5098	2	1.1%	2	2.3%	0.10	1.04%
3b	5106	4	2.2%	2	2.3%	0.17	1.79%
3b	5121	1	0.6%	1	1.2%	0.01	0.15%
3b	5167	1	0.6%	1	1.2%	0.13	1.37%
3b	5167/5104	1	0.6%	1	1.2%	0.02	0.24%
3b	5179/5180	3	1.7%	2	2.3%	0.10	1.10%
3b	5190	1	0.6%	1	1.2%	0.12	1.25%
3b	5228	1	0.6%	1	1.2%	0.07	0.71%
3b	5234	9	5.0%	1	1.2%	0.94	10.1%
3b	5261	1	0.6%	1	1.2%	0.00	0.00%
3b	5270	8	4.4%	1	1.2%	0.17	1.85%
3b	5272	26	14.4%	17	19.8%	1.35	14.4%
3b	5275	1	0.6%	1	1.2%	0.05	0.54%
3b	5278	1	0.6%	1	1.2%	0.04	0.48%
3b	5295	2	1.1%	1	1.2%	0.00	0.00%
3b	5320	14	7.7%	7	8.1%	0.59	6.34%
3b	5329	6	3.3%	2	2.3%	0.38	4.11%
3b	5340	1	0.6%	1	1.2%	0.04	0.42%
3b	5361	5	2.8%	1	1.2%	0.22	2.38%
3b	5366	1	0.6%	1	1.2%	0.04	0.45%
3b	5371	2	1.1%	1	1.2%	0.13	1.34%
3b	5374	10	5.5%	3	3.5%	0.41	4.41%
3b	5375	2	1.1%	1	1.2%	0.10	1.07%
3b	5429	4	2.2%	1	1.2%	0.17	1.79%
3b	5441	1	0.6%	1	1.2%	0.04	0.45%
3b	5454	1	0.6%	1	1.2%	0.03	0.30%
3b	5468	4	2.2%	1	1.2%	0.14	1.49%
3b	5469	4	2.2%	2	2.3%	0.34	3.63%
3b	5518	3	1.7%	1	1.2%	0.08	0.89%
3b	5521	1	0.6%	1	1.2%	0.04	0.45%
3b	5583	5	2.8%	1	1.2%	0.11	1.13%
3b	5651	1	0.6%	1	1.2%	0.08	0.89%
3b	Inter.	1	0.6%	1	1.2%	0.07	0.74%
3b	5343/5093	3	1.7%	1	1.2%	0.11	1.13%
3b	Inter.	3	1.7%	1	1.2%	0.11	1.13%
3b	5622/5444	3	1.7%	1	1.2%	0.11	1.13%

Fig. 265 : tableau récapitulatif des contextes de découverte des individus de type 3b © N. Ménez

Type 4

Récipients à profil simple tronconique ou légèrement arrondi dont la lèvre peut être simple, arrondie ou aplatie (fig. 291).

Du point de vue quantitatif, ce corpus représente seulement 0,7% des individus recensés sur le site, soit 8 individus et 1,06 équivalents-vases.

Décors et traitements de surface

Aucun décor ni traitement de surface n'a été repéré.

Formes concernées/fonction (s)

Les récipients correspondent à des coupes. Ils peuvent ainsi avoir servi au stockage et à la présentation de denrées.

Diamètres

Bien que leur nombre soit limité, les individus de type 4 comportent pas moins de 5 diamètres d'ouverture différents qui varient entre 20 et 36 cm (fig. 266) (fig. 267).

type	diamètre	NR	NMI	EqV
4	20	2	2	0.18
4	26	2	1	0.13
4	28	6	2	0.27
4	34	10	2	0.41
4	36	1	1	0.08

Fig. 266 : tableau récapitulatif des diamètres d'ouverture des individus de type 4 © N. Ménéz

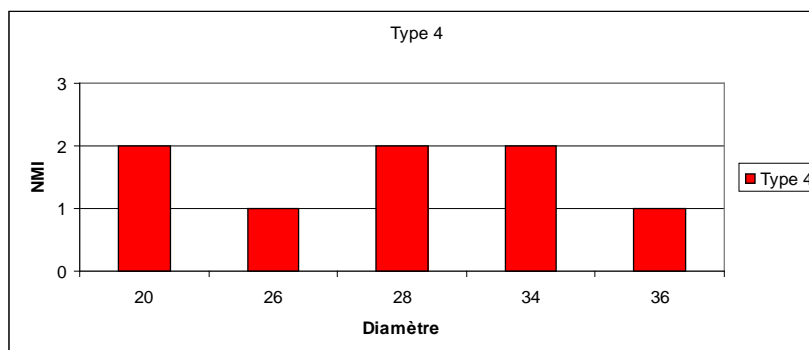


Fig. 267 : histogramme récapitulatif des diamètres d'ouverture des individus de type 4 © N. Ménéz

Contextes de découverte

7 contextes différents sont concernés. Seul un d'entre eux recèle 2 individus : le fait F.5420 (fig. 268).

Type/ s. type	Fait	NR	%NR	NMI	%NMI	EqV	%EqV
4	5092	1	4.8%	1	12.5%	0.11	9.96%
4	5190	1	4.8%	1	12.5%	0.04	4.19%
4	5192	1	4.8%	1	12.5%	0.07	6.55%
4	5272	1	4.8%	1	12.5%	0.08	7.86%
4	5420	7	33.3%	2	25.0%	0.35	32.8%
4	5507	1	4.8%	1	12.5%	0.04	3.67%
4	722	9	42.9%	1	12.5%	0.38	35.4%

Fig. 268 : tableau récapitulatif des contextes de découverte des individus de type 4 © N. Ménéz

Type 5

Récipients fermés à profil simple arrondi rentrant dont la lèvre peut être simple ou aplatie (fig. 291).

Du point de vue quantitatif, le type 5 représente seulement 0,4% des individus recensés sur le site, soit 5 individus et à 1,34 équivalents-vases.

Décors et traitements de surface

Les seuls éléments de décors et/ou liés à des traitements de surface observés sur des récipients de type 5 s'apparentent à des décors peignés. Des stries de tournage sont parfois visibles.

Formes concernées/fonction (s)

Les récipients correspondent à des pots de grande contenance vraisemblablement utilisés en tant que vases de stockage.

Diamètres

La quasi-totalité des individus présente le même diamètre d'ouverture (20 cm) ; un seul se distingue avec un diamètre de 24 cm. (fig. 269) (fig. 270).

type	diamètre	NR	NMI	EqV
5	20	9	3	1.27
5	24	1	1	0.07

Fig. 269 : tableau récapitulatif des diamètres d'ouverture des individus de type 5 © N. Ménez

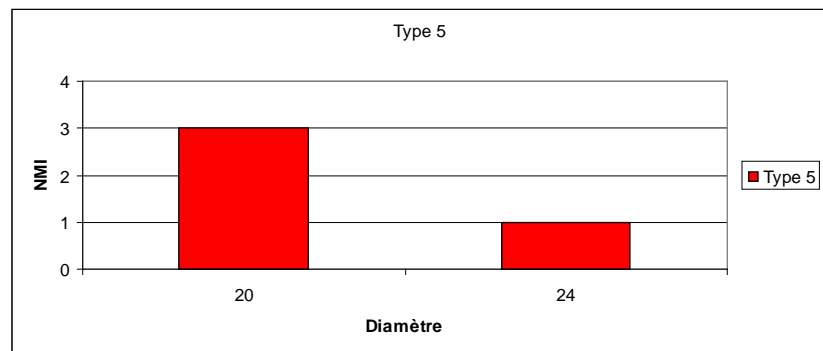


Fig. 270 : histogramme récapitulatif des diamètres d'ouverture des individus de type 5 © N. Ménez

Contextes de découverte

Les trois quarts des individus sont issus du même contexte : le fossé F.5272. Le dernier provient du fait F.5407 (fig. 271).

Type/ s. type	Fait	NR	%NR	NMI	%NMI	EqV	%EqV
5	5272	9	75.0%	3	75.0%	0.88	69.6%
5	5407	3	25.0%	1	25.0%	0.39	30.6%

Fig. 271 : tableau récapitulatif des contextes de découverte des individus de type 5 © N. Ménez

Type 6

Récipients fermés de forme ovoïde ou globulaire à petite lèvre éversée réalisés en céramique fine ou semi-fine.

La présence -ou l'absence- d'éléments décoratifs sur leur partie supérieure permet de définir 2 sous-types : 6a et 6b (fig. 272) (fig. 273).

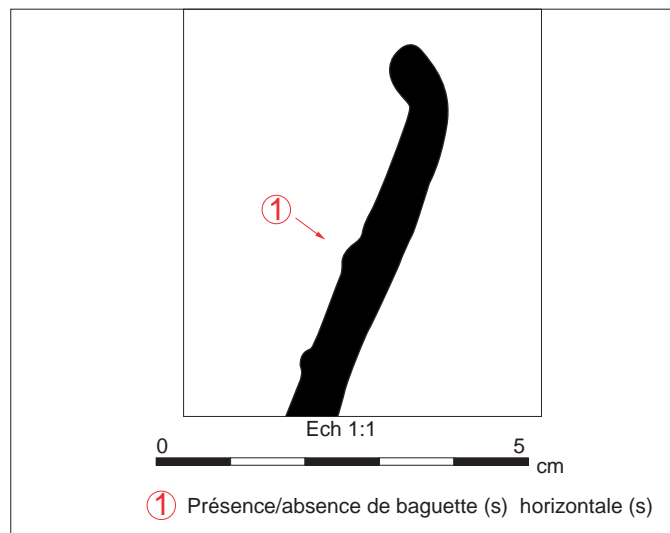


Fig. 272 : éléments morphologiques permettant la caractérisation des sous-types 6a et 6b © N. Ménez

Du point de vue quantitatif, le type 6 représente seulement 0,9% des individus recensés sur le site, soit 10 individus et 0,74 équivalents-vases.

Les deux sous-types qui le composent (6a et 6b) sont présents selon des proportions strictement identiques (40%, 4 individus) (fig. 273).

sous-type	NR	%NR	NMI	%NMI	EqV	%EqV
6a	5	31.3%	4	40.0%	0.32	42.8%
6b	8	50.0%	4	40.0%	0.35	47.3%
6ind	3	18.8	2	2.0%	0.07	10.14%
total	16	0.7%	10	0.9%	0.74	0.57%

Fig. 273 : tableau synthétique des subdivisions du type 6 © N. Ménez

Sous-type 6a

4 individus et 0,32 équivalents-vases ont été recensés sur l'ensemble du site.

Morphologie

Partie supérieure vierge de tout élément décoratif.

Décors et traitements de surface

Aucun décor ni traitement de surface.

Formes concernées/fonction (s)

Petits vases dont la finesse laisse supposer qu'ils pourraient s'apparenter à des gobelets ou à de petites coupes. Ils peuvent ainsi avoir servi de récipients à boire ou à la présentation de denrées.

Diamètres

Les diamètres d'ouverture des individus de type 6a sont compris entre

14 et 22 cm (fig. 274) (fig. 275). Le faible nombre d'exemplaires recensés n'autorise toutefois pas à dégager de ces données de grandes tendances morphologiques.

Sous- type	diamètre	NR	NMI	EqV
6a	14	3	2	0.21
6a	20	1	1	0.05
6a	22	1	1	0.06

Fig. 274 : tableau récapitulatif des diamètres d'ouverture des individus de type 6a © N. Ménez

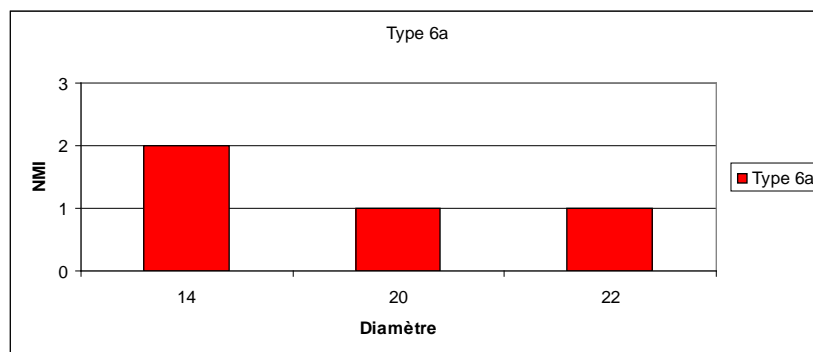


Fig. 275 : histogramme récapitulatif des diamètres d'ouverture des individus de type 6a © N. Ménez

Contextes de découverte

Les 4 individus recensés sur le site sont issus de contextes différents (fig. 276).

Type/ s. type	Fait	NR	%NR	NMI	%NMI	EqV	%EqV
6a	/	1	20.0%	1	25.0%	0.05	15.6%
6a	5320	1	20.0%	1	25.0%	0.04	13.9%
6a	5375	1	20.0%	1	25.0%	0.06	17.4%
6a	5667	2	40.0%	1	25.0%	0.17	52.1%

Fig. 276 : tableau récapitulatif des contextes de découverte des individus de type 6a © N. Ménez

Sous-type 6b

4 individus et 0,35 équivalents-vases ont été découverts sur l'ensemble du site.

Morphologie

Récipients dont la partie supérieure est ornée d'une ou de plusieurs baguettes horizontales plus ou moins marquées dont la largeur est variable. Elles sont parfois associées à une ou plusieurs fines cannelures horizontales.

Décors et traitements de surface

Aucun décor ni traitement de surface.

Formes concernées/fonction (s)

Petits vases dont la finesse laisse supposer qu'ils pourraient s'apparenter à des gobelets ou à de petites coupes. Ils peuvent ainsi avoir servi de récipients à boire ou à la présentation de denrées.

Diamètres

Les diamètres d'ouverture des individus de type 6b sont compris entre 22 et 26 cm (fig. 277) (fig. 278). Le faible nombre d'exemplaires recensés n'autorise toutefois pas à dégager de ces données de grandes tendances morphologiques.

Sous- type	diamètre	NR	NMI	EqV
6b	22	5	2	0.18
6b	24	2	1	0.11
6b	26	1	1	0.06

Fig. 277 : tableau récapitulatif des diamètres d'ouverture des individus de type 6b © N. Ménez

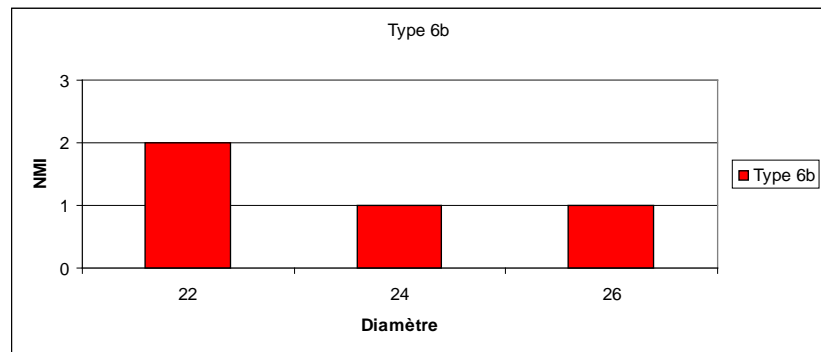


Fig. 278 : histogramme récapitulatif des diamètres d'ouverture des individus de type 6b © N. Ménez

Contexte de découverte

Comme pour le sous-type précédent, les 4 individus de type 6b sont issus de contextes différents (fig. 279).

Type/ s. type	Fait	NR	%NR	NMI	%NMI	EqV	%EqV
6b	5083	2	25.0%	1	25.0%	0.11	30.2%
6b	5320	4	50.0%	1	25.0%	0.14	39.7%
6b	5350	1	12.5%	1	25.0%	0.06	17.5%
6b	Décapage près des st	1	12.5%	1	25.0%	0.04	12.7%

Fig. 279 : tableau récapitulatif des contextes de découverte des individus de type 6b © N. Ménez

Type 7

Ce type réunit, non plus des contenants, mais les couvercles. Fabriqués d'un seul tenant, leur sommet se termine par un bouton de préhension tandis que leur lèvre peut être simple ou bilobée (fig. 291).

Leur surface externe est quant à elle soit ornée d'une ou de plusieurs cannelures horizontales, soit vierge de tout élément décoratif.

Du point de vue quantitatif, ce type 7 représente 1% des individus recensés sur le site, soit 11 individus et 1,27 équivalents-vases.

Décor et traitements de surface

Aucun décor ni traitement de surface.

Formes concernées/fonction (s)

Couvercles. Associés à des pots dont ils assurent l'étanchéité, ils peuvent ainsi avoir servi au stockage, à la cuisson ou encore à la présentation de denrées.

Diamètres

Les diamètres d'ouverture sont assez nombreux (7 diamètres différents) et offrent une grande variabilité puisqu'ils sont compris entre 10 et 46 cm (fig. 280) (fig. 281).

type	diamètre	NR	NMI	EqV
7	10	2	2	0.40
7	16	1	1	0.09
7	18	1	1	0.08
7	30	2	1	0.04
7	36	1	1	0.03
7	38	2	2	0.09
7	46	1	1	0.03

Fig. 280 : tableau récapitulatif des diamètres d'ouverture des individus de type 7 © N. Ménez

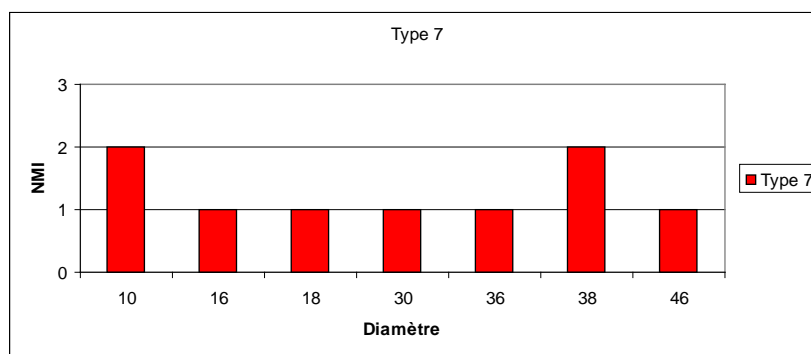


Fig. 281 : histogramme récapitulatif des diamètres d'ouverture des individus de type 7 © N. Ménez

Contextes de découverte

9 contextes ont révélé la présence de couvercles (fig. 282) mais aucun d'entre eux ne se démarque du point de vue quantitatif.

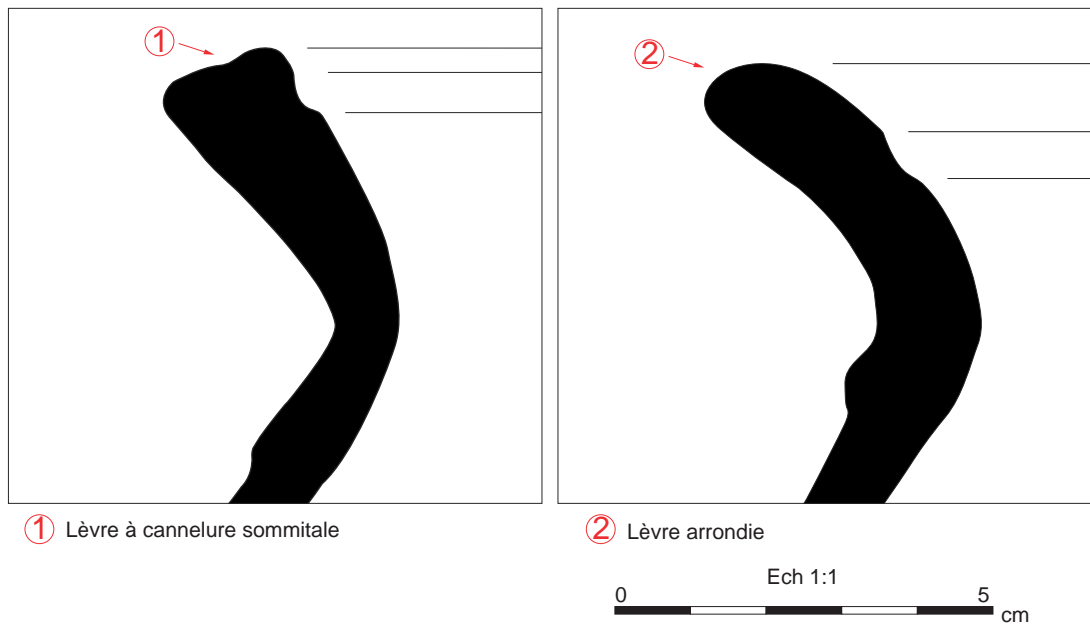
Type/ s. type	Fait	NR	%NR	NMI	%NMI	EqV	%EqV
7	5069	1	8.3%	1	9.1%	0.09	7.00%
7	5085	2	16.7%	1	9.1%	0.04	3.28%
7	5088	2	16.7%	2	18.2%	0.72	56.9%
7	5092	2	16.7%	2	18.2%	0.09	7.44%
7	5162	1	8.3%	1	9.1%	0.03	2.19%

Type/ s. type	Fait	NR	%NR	NMI	%NMI	EqV	%EqV
7	5167/5104	1	8.3%	1	9.1%	0.03	2.62%
7	5320	1	8.3%	1	9.1%	0.18	14.2%
7	5529	1	8.3%	1	9.1%	0.00	0.00%
7	5550	1	8.3%	1	9.1%	0.08	6.56%

Fig. 282 : tableau récapitulatif des contextes de découverte des individus de type 7 © N. Ménez

Type 8

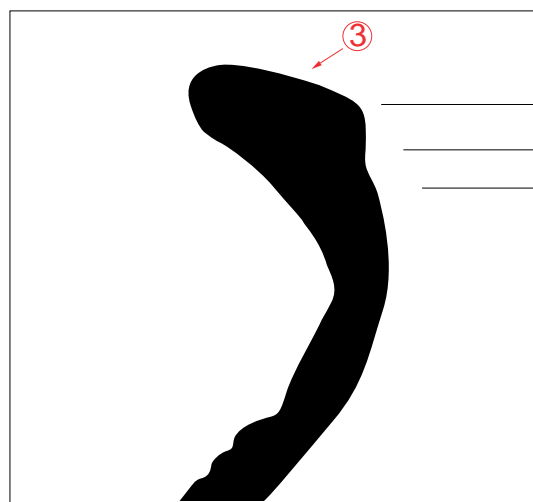
Récipients à longue lèvre éversée. La morphologie de celle-ci (à cannelure sommitale d'une part, arrondie ou plate d'autre part) permet quant à elle de discriminer deux sous-types : 8a et 8b (fig. 283) (fig. 291).



① Lèvre à cannelure sommitale

② Lèvre arrondie

Ech 1:1
0 5 cm



③ Lèvre plate

Fig.1 Fig. 283 : éléments morphologiques permettant la caractérisation des sous-types 8a et 8b

Du point de vue quantitatif, le type 8 représente 1,9% des individus

recensés sur le site, soit 21 individus et 2,30 équivalents-vases. Les deux sous-types qui le composent (8a et 8b) présentent des proportions strictement identiques (33,3%) (fig. 284).

sous-type	NR	%NR	NMI	%NMI	EqV	%EqV
8a	14	36.8%	7	33.3%	1.01	44.0%
8b	17	44.7%	7	33.3%	1.02	44.4%
8ind	7	18.5%	7	33.3%	0.27	11.6%
total	38	1.7%	21	1.9%	2.30	1.78%

Fig. 284 : tableau synthétique des subdivisions du type 8 © N. Ménez

Sous-type 8a

7 individus et 1,01 équivalents-vases ont été mis au jour sur le site.

Morphologie

Récipients présentant une lèvre à cannelure sommitale qui forme un renflement interne et externe, et dont le caractère est plus ou moins prononcé selon les individus. Ces récipients sont invariablement ornés, au niveau de leur épaulement, d'une, voire de plusieurs baguettes horizontales assez affadies dont la largeur fluctue. On les trouve souvent associées à une ou plusieurs cannelures horizontales.

Décor et traitements de surface

Aucun décor ou traitement de surface n'a été observé sur les vases de ce sous-type.

Formes concernées/fonction (s)

Pots de moyenne et de grande contenance et dans une moindre mesure jattes. Ils peuvent ainsi avoir servi au stockage, voire à la préparation de denrées.

Diamètres

Les diamètres d'ouverture des individus de type 8a sont peu nombreux (3 différents) mais affichent surtout une amplitude très faible puisqu'ils sont compris entre 32 et 36 cm (fig. 285) (fig. 286).

type	diamètre	NR	NMI	EqV
8a	32	2	2	0.15
8a	34	1	1	0.06
8a	36	11	4	0.80

Fig. 285 : tableau récapitulatif des diamètres d'ouverture des individus de type 8a © N. Ménez

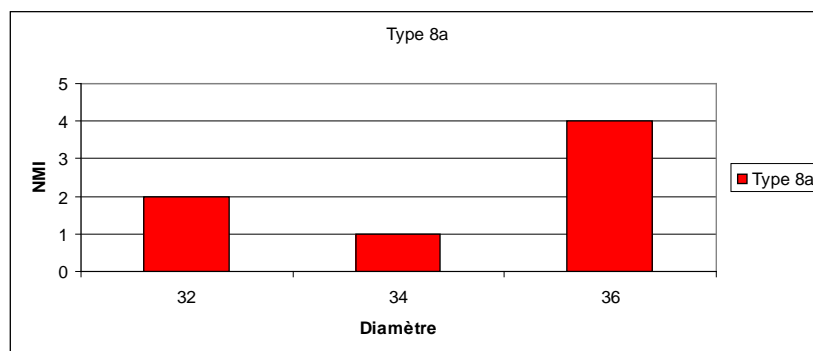


Fig. 286 : histogramme récapitulatif des diamètres d'ouverture des individus de type 8a © N. Ménez

Contextes de découverte

4 contextes ont livré des exemplaires (fig. 287), mais un seul se distingue

quantitativement : le fait F.5107 qui comporte 4 individus.

Type/ s. type	Fait	NR	%NR	NMI	%NMI	EqV	%EqV
8a	5107	11	78.6%	4	57.1%	0.80	79.5%
8a	5110	1	7.1%	1	14.3%	0.06	5.78%
8a	5141	1	7.1%	1	14.3%	0.09	9.35%
8a	5145	1	7.1%	1	14.3%	0.06	5.50%

Fig. 287 : tableau récapitulatif des contextes de découverte des individus de type 8a © N. Ménez

Sous-type 8b

Le sous-type 8b est représenté, sur l'ensemble du site, par 7 individus et 1,02 équivalents-vases.

Morphologie

Récipients présentant une lèvre plus ou moins épaisse à extrémité arrondie ou plate. L'épaule de ces individus peut aussi bien être vierge de toute ornementation qu'être marqué d'une ou de plusieurs baguettes horizontales affadies parfois associées à une ou plusieurs fines cannelures horizontales.

Décors et traitements de surface

Quelques restes de décors par impression et de stries de tournage ont été observés sur de rares récipients de type 8b.

Formes concernées/fonction (s)

Pots de moyenne et de grande contenance. Ils peuvent ainsi avoir servi au stockage, voire à la préparation de denrées.

Diamètres

Les diamètres d'ouverture des individus de type 8b sont compris entre 28 et 42 cm (tab. 36 NM) (fig. 21 NM). Le faible nombre d'exemplaires recensés n'autorise toutefois pas à dégager de ces données de grandes tendances morphologiques.

type	diamètre	NR	NMI	EqV
8b	28	2	1	0.09
8b	29	2	1	0.23
8b	36	8	2	0.39
8b	38	4	2	0.26
8b	42	1	1	0.06

Fig. 288 : tableau récapitulatif des diamètres d'ouverture des individus de type 8b © N. Ménez

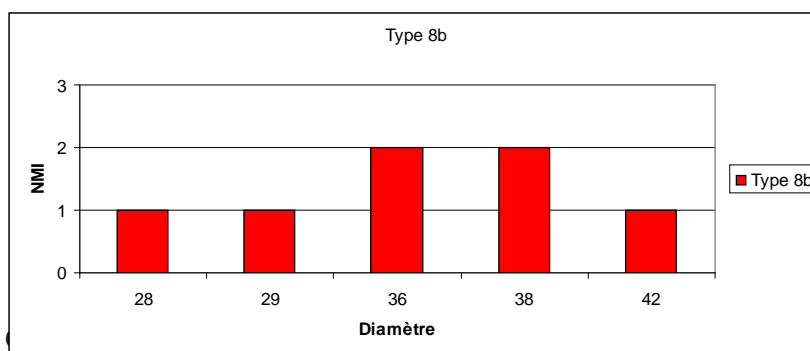


Fig. 289 : histogramme récapitulatif des diamètres d'ouverture des individus de type 8b © N. Ménez

7 contextes ont révélé la présence de récipients de type 8b (fig. 290) mais aucun d'entre eux ne se démarque du point de vue quantitatif.

Type/ s. type	Fait	NR	%NR	NMI	%NMI	EqV	%EqV
8b	/	2	11.8%	1	14.3%	0.11	10.4%
8b	5066	1	5.9%	1	14.3%	0.06	5.72%
8b	5083	2	11.8%	1	14.3%	0.09	8.71%
8b	5272	2	11.8%	1	14.3%	0.15	15.0%
8b	5444	6	35.3%	1	14.3%	0.28	27.2%
8b	5468	2	11.8%	1	14.3%	0.23	22.3%
8b	5666	2	11.8%	1	14.3%	0.11	10.9%

Fig. 290 : tableau récapitulatif des contextes de découverte des individus de type 8b © N. Ménez

Type 9

Récipients à col vertical ou subvertical dont les lèvres simples ou légèrement débordantes affichent des extrémités arrondies ou pointues. Quelques variantes présentent non pas des cols mais des lèvres verticales ou subverticales à extrémité pointue (fig. 311).

Ces récipients sont invariablement décorés, au niveau du col ou de l'épaule, de baguettes ou de cannelures horizontales, les deux pouvant être parfois associées.

Du point de vue quantitatif, le type 9 représente 2,6% des individus recensés sur le site, soit 29 individus et 3,81 équivalents-vases.

Décors et traitements de surface

Aucun décor ni traitement de surface.

Formes concernées/fonction (s)

Les récipients correspondent à des jattes, à des écuelles mais également à quelques rares pots. Ils peuvent ainsi avoir servi à la préparation et à la présentation de denrées ainsi que, dans une moindre mesure, au stockage de celles-ci.

Diamètres

Les diamètres d'ouverture des récipients de type 9 sont relativement nombreux (12 différents) et varient entre 14 et 34 cm (fig. 292) (fig. 293).

type	diamètre	NR	NMI	EqV
9	14	4	4	0.59
9	16	4	1	0.19
9	18	7	4	0.87
9	19	8	1	0.51
9	20	5	4	0.33
9	22	6	2	0.23
9	24	1	1	0.04
9	26	6	2	0.34
9	28	1	1	0.03
9	30	7	4	0.23
9	32	7	1	0.29
9	34	5	3	0.16

Fig. 292 : tableau récapitulatif des diamètres d'ouverture des individus de type 9 © N. Ménez

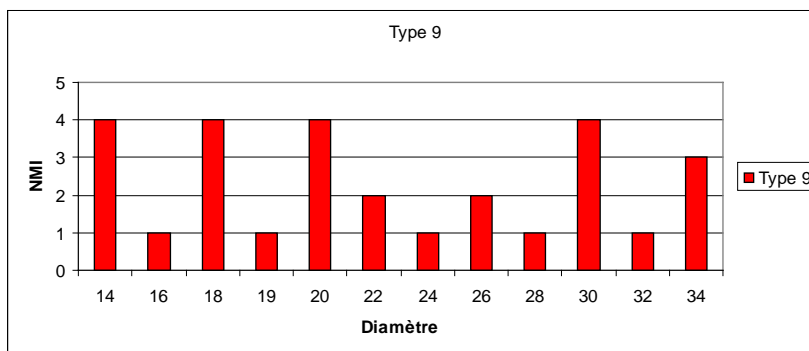


Fig. 293 : histogramme récapitulatif des diamètres d'ouverture des individus de type 9 © N. Ménez

Contextes de découverte

11 contextes ont livré la présence de récipients de type 9 (fig. 294), mais aucun d'entre eux ne se distingue réellement du point de vue quantitatif. Tout au plus peut-on recenser 5 individus au sein des faits F.5236 et F.5374.

Type/ s. type	Fait	NR	%NR	NMI	%NMI	EqV	%EqV
9	/	17	27.4%	5	17.2%	1.11	29.0%
9	28	4	6.5%	4	13.8%	0.31	8.02%
9	5088	1	1.6%	1	3.4%	0.18	4.67%
9	5106	4	6.5%	1	3.4%	0.17	4.52%
9	5236	8	12.9%	5	17.2%	0.54	14.1%
9	5272	7	11.3%	1	3.4%	0.29	7.73%
9	5308	4	6.5%	1	3.4%	0.19	4.96%
9	5320	4	6.5%	3	10.3%	0.18	4.81%
9	5350	3	4.8%	2	6.9%	0.16	4.16%
9	5374	7	11.3%	5	17.2%	0.24	6.42%
9	5375	3	4.8%	1	3.4%	0.44	11.5%

Fig. 294 : tableau récapitulatif des contextes de découverte des individus de type 9 © N. Ménez

Type 10

Ce type réunit les récipients modelés de toute petite taille. Leurs morphologies sont très variées et affichent des degrés de finition très hétérogènes laissant penser qu'il pourrait s'agir là d'essais (fig. 311).

Du point de vue quantitatif, le type 10 représente 0,6% des individus recensés sur le site, soit 7 individus et 2,23 équivalents-vases.

Décors et traitements de surface

Aucun décor ni traitement de surface.

Formes concernées/fonction (s)

Comme évoqué ci-dessus, les récipients ont des formes variées allant du petit pot à l'écuelle en passant par le gobelet. Leurs dimensions très réduites laissent néanmoins fortement penser qu'ils pourraient ne pas avoir été diffusés.

Diamètres

Les diamètres d'ouverture de ces récipients définissent une amplitude faible

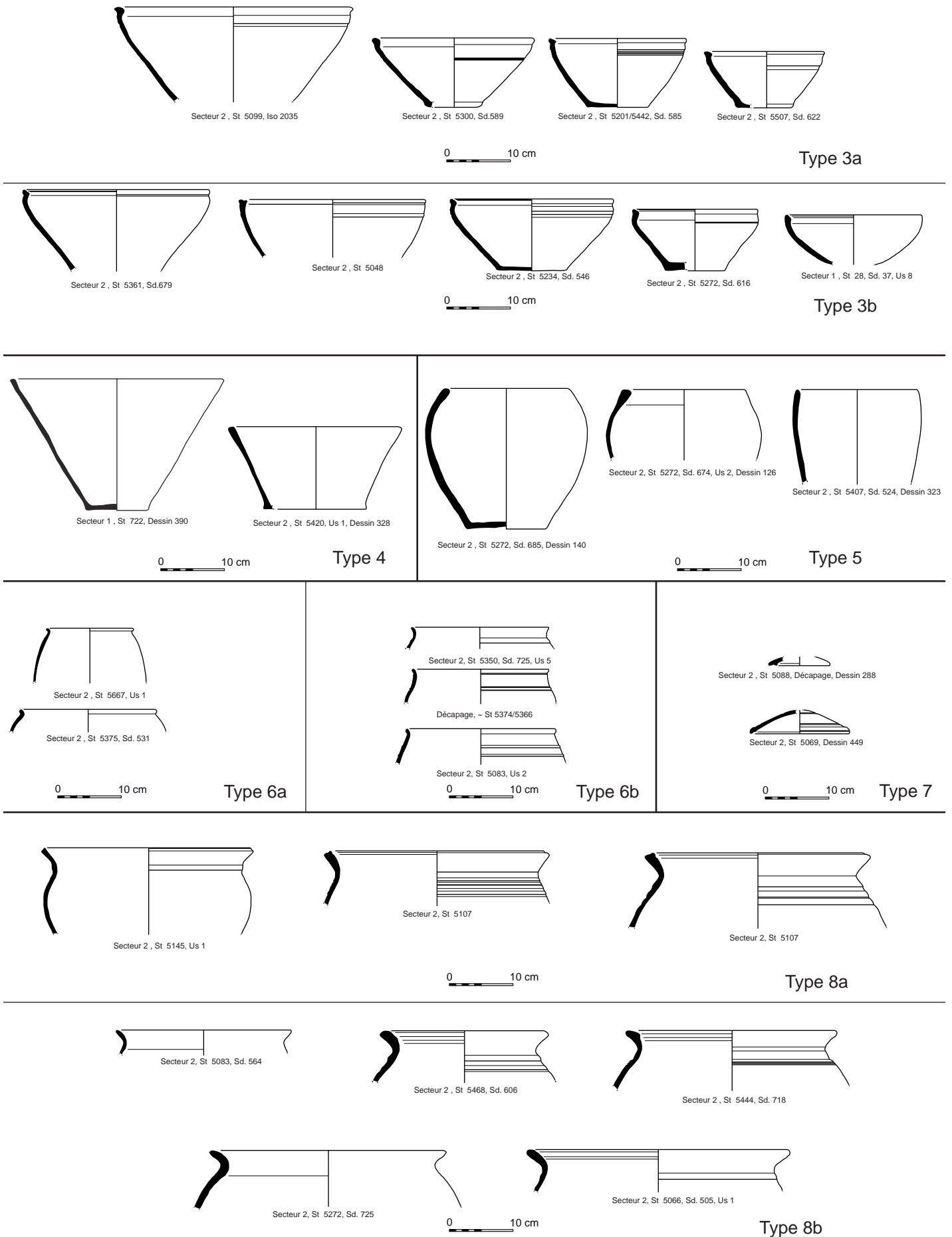


Fig. 291 : planche de synthèse des récipients et individus de type 3, 4, 5, 6, 7 et 8 © N. Ménez

comprise entre 8 et 11 cm (fig. 295) (fig. 296).

type	diamètre	NR	NMI	EqV
10	8	1	1	0.08
10	9	4	1	0.00
10	10	5	4	1.89
10	11	1	1	0.26

Fig. 295 : tableau récapitulatif des diamètres d'ouverture des individus de type 10 © N. Ménez

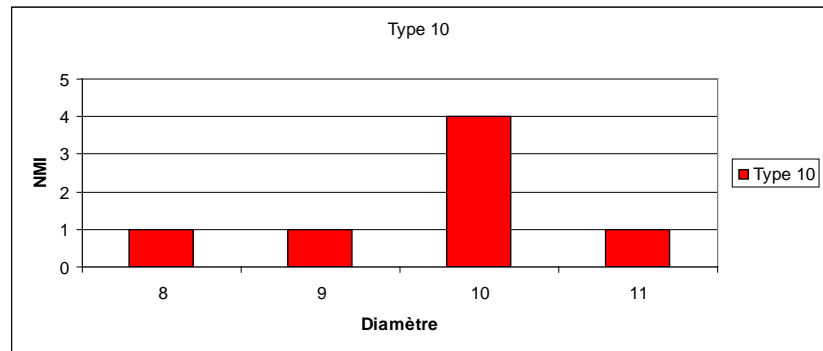


Fig. 296 : histogramme récapitulatif des diamètres d'ouverture des individus de type 10 © N. Ménez

Contextes de découverte

6 contextes ont révélé la présence de récipients de type 10 (fig. 297), mais aucun d'entre eux ne se distingue réellement du point de vue quantitatif.

Type/ s. type	Fait	NR	%NR	NMI	%NMI	EqV	%EqV
10	5059	1	9.1%	1	14.3%	1.00	44.8%
10	5092	1	9.1%	1	14.3%	0.32	14.3%
10	5107	2	18.2%	2	28.6%	0.32	14.5%
10	5329	1	9.1%	1	14.3%	0.08	3.74%
10	5535	4	36.4%	1	14.3%	0.00	0.00%
10	722	2	18.2%	1	14.3%	0.50	22.4%

Fig. 297 : tableau récapitulatif des contextes de découverte des individus de type 10 © N. Ménez

Type 11

Récipients à profil presque droit à lèvre simple parfois soulignée par un épaulement marqué (fig. 311).

Du point de vue quantitatif, ce type 11 représente 0,4% des individus recensés sur le site, soit 4 individus et 0,22 équivalents-vases.

Décor et traitements de surface

Aucun décor ni traitement de surface n'a été repéré sur les récipients de type 11.

Formes concernées/fonction (s)

Coupes ou vases. Ils peuvent ainsi avoir servi au stockage et à la présentation de denrées.

Diamètres

Les diamètres d'ouverture sont compris entre 20 et 28 cm (fig. 298) (fig. 299). Le faible nombre d'exemplaires recensés n'autorise toutefois pas à dégager de ces données de grandes tendances.

type	diamètre	NR	NMI	EqV
11	20	2	2	0.14
11	26	1	1	0.04
11	28	1	1	0.04

Fig. 298 : tableau récapitulatif des diamètres d'ouverture des individus de type 11 © N. Ménez

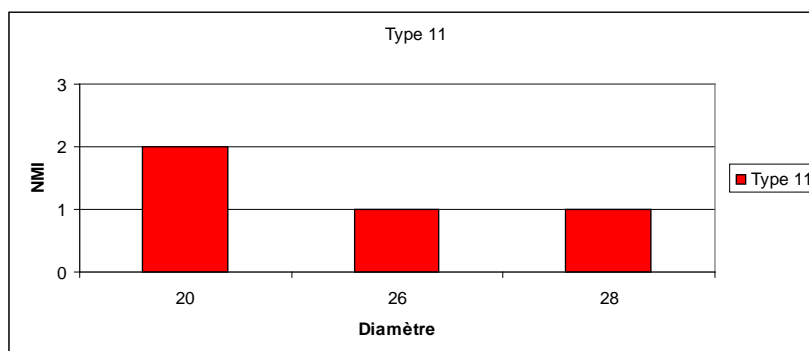


Fig. 299 : histogramme récapitulatif des diamètres d'ouverture des individus de type 11 © N. Ménez

Contextes de découverte

4 contextes ont révélé la présence de récipients de type 11 (fig. 300) mais aucun d'entre eux ne se démarque du point de vue quantitatif.

Type/ s. type	Fait	NR	%NR	NMI	%NMI	EqV	%EqV
11	5083	1	25.0%	1	25.0%	0.07	31.6%
11	5104	1	25.0%	1	25.0%	0.04	18.9%
11	5366	1	25.0%	1	25.0%	0.04	20.2%
11	5375	1	25.0%	1	25.0%	0.07	30.3%

Fig. 300 : tableau récapitulatif des contextes de découverte des individus de type 11

Type 12

A l'instar du type 7 évoqué précédemment (cf. supra), le type 12 ne réunit pas des récipients mais des objets en céramique en forme d'entonnoirs : l'une des extrémités est évasée tandis que l'autre est étroite (fig. 311). Seuls des fragments ont été mis au jour lors de la présente fouille mais des exemplaires complets, permettant de connaître leur morphologie, ont été découverts lors d'une fouille précédente (Mentélé 2011).

Du point de vue quantitatif, le type 12 représente 0,4 % des individus recensés sur le site, soit 4 individus et 0,70 équivalents-vases.

Décor et traitements de surface

Aucun décor ni traitement de surface.

Formes concernées/fonction (s)

Ces céramiques n'ayant jamais été formellement identifiées sur les sites ruraux régionaux en dehors du secteur de la carrière des Vallons, leur fonction demeure incertaine.

Dans son étude du mobilier issu de la fouille de 2008 (Mentélé 2011), A.-F. Chérel propose d'y voir des entonnoirs destinés à faciliter le remplissage de grands vases de stockage, voire le transvasement de denrées liquides d'un récipient à un autre. Toujours dans cette étude, elle suggère également que ces éléments pourraient avoir été associés à l'activité de broyage des céréales (l'entonnoir canalisant alors le passage des grains dans la meule), pourraient avoir servi de conduits d'évacuation (de liquides ou de fumées), ou encore de vases-support.

Ici, le contexte archéologique particulier (atelier de production) permet d'envisager que ces artefacts puissent avoir un lien direct ou indirect avec la production de céramiques. Au regard de leur morphologie particulière, il est possible d'envisager qu'ils aient pu servir à la stabilisation du chargement au sein du laboratoire ou encore aux opérations de tournage des pièces de grandes dimensions.

Diamètres

Les diamètres d'ouverture affichent une très large variabilité puisqu'ils sont compris entre 14 et 42 cm (fig. 301) (fig. 302).

type	diamètre	NR	NMI	EqV
12	14	1	1	0.25
12	16	4	2	0.40
12	42	1	1	0.05

Fig. 301 : tableau récapitulatif des diamètres d'ouverture des individus de type 12

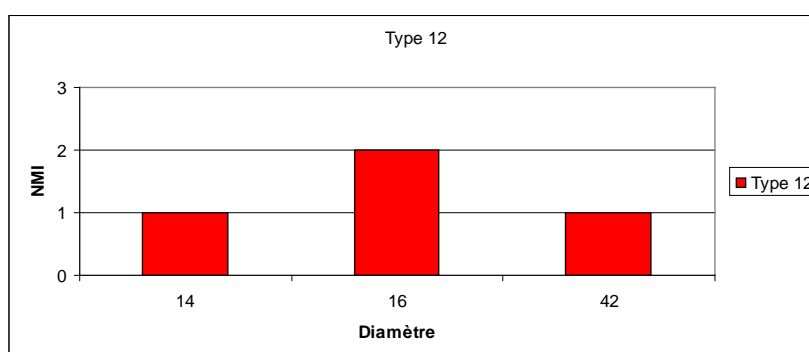


Fig. 302 : histogramme récapitulatif des diamètres d'ouverture des individus de type 12 © N. Ménez

Contextes de découverte

3 contextes ont révélé la présence de récipients de type 12 (fig. 303) mais aucun d'entre eux ne se démarque du point de vue quantitatif.

Type/ s. type	Fait	NR	%NR	NMI	%NMI	EqV	%EqV
12	5095	3	50.0%	1	25.0%	0.25	35.7%
12	5110	1	16.7%	1	25.0%	0.05	7.14%
12	5375	2	33.3%	2	50.0%	0.40	57.5%

Fig. 303 : tableau récapitulatif des contextes de découverte des individus de type 12 © N. Ménez

Type 13

Récipients à profil biconique dont le col, légèrement évasé, se termine invariablement par une lèvre simple arrondie. Il est à noter que les exemplaires étudiés ne présentent pas le moindre élément décoratif (fig. 311).

Du point de vue quantitatif, ce type 13 représente 0,6% des individus recensés sur le site, soit 7 individus et 0,70 équivalents-vases.

Décor et traitements de surface

Les seuls éléments de décors observés sur des récipients de type 13 correspondent à des décors peignés présents sur les surfaces externes et internes de quelques individus.

Formes concernées/fonction (s)

Pots de moyenne et de grande contenance. Ils peuvent ainsi avoir servi au stockage et à la présentation de denrées.

Diamètres

Les diamètres d'ouverture des individus de type 13 sont compris entre 22 et 36 cm (fig. 304) (fig. 305). Le faible nombre d'exemplaires recensés n'autorise toutefois pas à dégager de ces données de grandes tendances morphologiques.

type	diamètre	NR	NMI	EqV
13	22	6	2	0.38
13	24	2	1	0.08
13	28	1	1	0.05
13	34	3	1	0.19
13	36	1	1	0.09

Fig. 304 : tableau récapitulatif des diamètres d'ouverture des individus de type 13 © N. Ménez

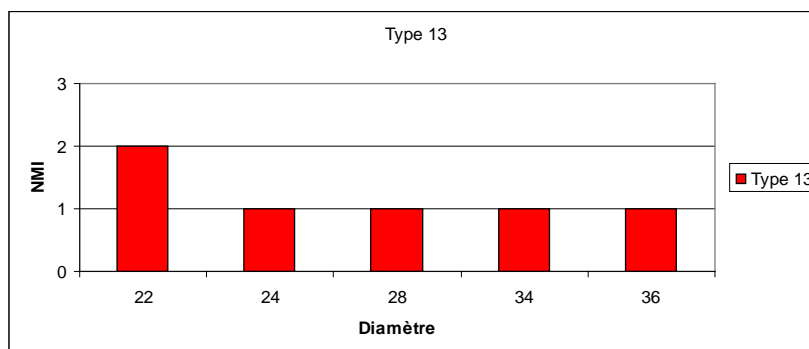


Fig. 305 : histogramme récapitulatif des diamètres d'ouverture des individus de type 13 © N. Ménez

Contextes de découverte

5 contextes ont révélé la présence de récipients de type 13 (fig. 306) mais aucun d'entre eux ne se démarque du point de vue quantitatif.

Type/ s. type	Fait	NR	%NR	NMI	%NMI	EqV	%EqV
13	5097	6	42.9%	2	28.6%	0.38	48.1%
13	5141	4	28.6%	2	28.6%	0.19	24.2%
13	5167	1	7.1%	1	14.3%	0.09	11.4%
13	5190	1	7.1%	1	14.3%	0.05	6.41%
13	5454	2	14.3%	1	14.3%	0.08	9.97%

Fig. 306 : tableau récapitulatif des contextes de découverte des individus de type 13 © N. Ménez

Les unica

L'étude des rebuts de fabrication de l'atelier a permis également de mettre en évidence 12 formes connues en un unique exemplaire (mentionnée sous la référence : type 100). Elles ne constituent donc pas soit un groupe homogène et si certaines présentent des caractères morphologiques qui les distinguent nettement des types précédents (anses par exemple) d'autres en revanche s'en rapprochent (fig. 311).

Du point de vue quantitatif, ces unica représentent 1,1% des individus recensés sur le site, soit 12 individus et 1,08 équivalents-vases.

Formes concernées/fonction (s)

Ces récipients correspondent à des pots de petite et de moyenne contenance, à des jattes ou encore à des gobelets. Ils peuvent ainsi avoir servi au stockage et à la présentation de denrées.

Diamètres

Les diamètres d'ouverture des individus sont compris entre 14 et 34 cm (fig. 307).

type	diamètre	NR	NMI	EqV
100	14	2	1	0.13
100	15	2	1	0.17
100	16	2	1	0.12
100	18	5	2	0.46
100	20	1	1	0.05
100	22	2	2	0.21
100	24	2	1	0.07
100	26	1	1	0.06
100	30	1	1	0.08
100	34	1	1	0.05

Fig. 307 : tableau récapitulatif des diamètres d'ouverture des unica

Contextes de découverte

9 contextes ont révélé la présence d'unica (fig. 308). Seules les structures F. 5272 et F. 5320 en comportent plus d'un exemplaire.

Type/ s. type	Fait	NR	%NR	NMI	%NMI	EqV	%EqV
100	/	4	21.1%	1	8.3%	0.34	24.4%
100	5032	2	10.5%	1	8.3%	0.13	8.93%
100	5110	1	5.3%	1	8.3%	0.06	4.37%

Type/ s. type	Fait	NR	%NR	NMI	%NMI	EqV	%EqV
I00	5236	1	5.3%	1	8.3%	0.12	8.73%
I00	5272	5	26.3%	3	25.0%	0.24	17.3%
I00	5320	2	10.5%	2	16.7%	0.19	13.5%
I00	5418	1	5.3%	1	8.3%	0.08	5.95%
I00	5564	2	10.5%	1	8.3%	0.17	12.3%
I00	5655	1	5.3%	1	8.3%	0.07	4.76%

Fig. 308 : tableau récapitulatif des contextes de découverte des *unica* © N. Ménez

3.3.1.3. Synthèse typologique

L'ensemble des types recensés au sein de ce catalogue représente 1132 individus (fig. 309).

Le type 2 est le plus fréquent avec 57,5% des individus (651 occurrences), loin devant les type 1 (195 occurrences soit 17,2%) et type 3 (168 occurrences soit 14,8%). Les types 9 et 8 sont bien moins représentés avec respectivement 29 et 21 occurrences, soit 2,6 et 1,9% de l'ensemble des individus dénombrés.

Les huit autres types (4, 5, 6, 7, 10, 11, 12 et 13) font figurent d'éléments marginaux puisqu'ils n'atteignent même pas 1% de l'ensemble des individus recensés.

Hors typologie, on notera que les *unica* représentent tout de même 1,1% du corpus.

Type	NR	%NR	NMI	%NMI	EqV	%EqV
1	380	17.2%	195	17.2%	18.6	14.4%
2	1265	57.4%	651	57.5%	77.1	59.7%
3	342	15.5%	168	14.8%	17.6	13.6%
4	21	1.0%	8	0.7%	1.06	0.82%
5	13	0.6%	5	0.4%	1.34	1.04%
6	16	0.7%	10	0.9%	0.74	0.57%
7	12	0.5%	11	1.0%	1.27	0.98%
8	38	1.7%	21	1.9%	2.30	1.78%
9	62	2.8%	29	2.6%	3.81	2.95%
10	11	0.5%	7	0.6%	2.23	1.73%
11	4	0.2%	4	0.4%	0.22	0.17%
12	6	0.3%	4	0.4%	0.70	0.54%
13	14	0.6%	7	0.6%	0.78	0.60%
100	19	0.9%	12	1.1%	1.40	1.08%
Total	2203	100%	1132	100%	129	100%

Fig. 309 : tableau de synthèse des comptages relatifs aux types et aux *unica* (type 100) recensés sur le site © N. Ménez

Si l'on met en corrélation ces nombres d'individus estimés avec les principaux contextes étudiés, c'est-à-dire ceux qui ont livré plus de 10 individus, on remarque, sans grande surprise, que les récipients de type 2 sont majoritaires au sein de la plupart d'entre eux (fig. 310). On observe toutefois quelques exceptions : les récipients de type 1 dominent les assemblages de F. 5236, F. 5330 et F. 5429, tandis que les récipients de type 3 dominent ceux de F. 5098 et F. 5335.

On remarque également, au sein des 22 contextes principaux, que les trois types les plus représentés (2, 1 et 3) sont très souvent associés : des récipients de type 2 ont en effet été repérés dans tous ces contextes ; le type 3 est également présent dans leur immense majorité (seul 1 contexte échappe à la règle), tandis que des récipients de type 1 ont été observés dans 17 contextes sur 22. Aucun de ces contextes ne se démarque donc vraiment des autres de ce point de vue.

On observe toutefois que certains types, peu représentés à l'échelle du

site, on été recensés à plusieurs reprises au sein du même contexte. C'est le cas des récipients de type 8 au sein de la structure F. 5107, mais surtout d'individus affiliés au type 9 au sein des structures F. 28, F. 5236 et F. 5374. On notera, enfin, que si l'on transpose ces données chiffrées au niveau spatial via des cartes de répartition, on remarque qu'aucune disparité n'apparaît réellement entre les 13 types recensés.

Fait/Type	1	2	3	4	5	6	7	8	9	10	11	12	13	100	total
5429	7	5	2			1									17
5350	32	24	3			1			2						62
5236	30	18	5						5					1	79
5099		4	1												11
5110		1	1					1				1		1	11
5375	2	2	1			1			1		1	2			11
565	1	4			1										11
5190	1	2	2	1									1		13
5651	1	7	1												13
5107		5	1					4		2					16
5230	1	6	2												18
5083	1	4	5			1		1			1				21
5059	1	11	2							1					29
5329		14	4							1					29
5088	1	15	5			1	2		1						39
5374	17	29	3						5						62
28	17	53	10						4						86
5092	2	40	8	1			2	2		1					93
5320	16	54	10			2	1		3					2	131
5272	20	170	38	1	3			1	1					3	273
5098		5	5												24
5335	3	3	4												13

Fig. 310 : tableau de corrélation types/principaux contextes (en jaune, les types les mieux représentés au sein de chaque contexte)
© N. Ménez

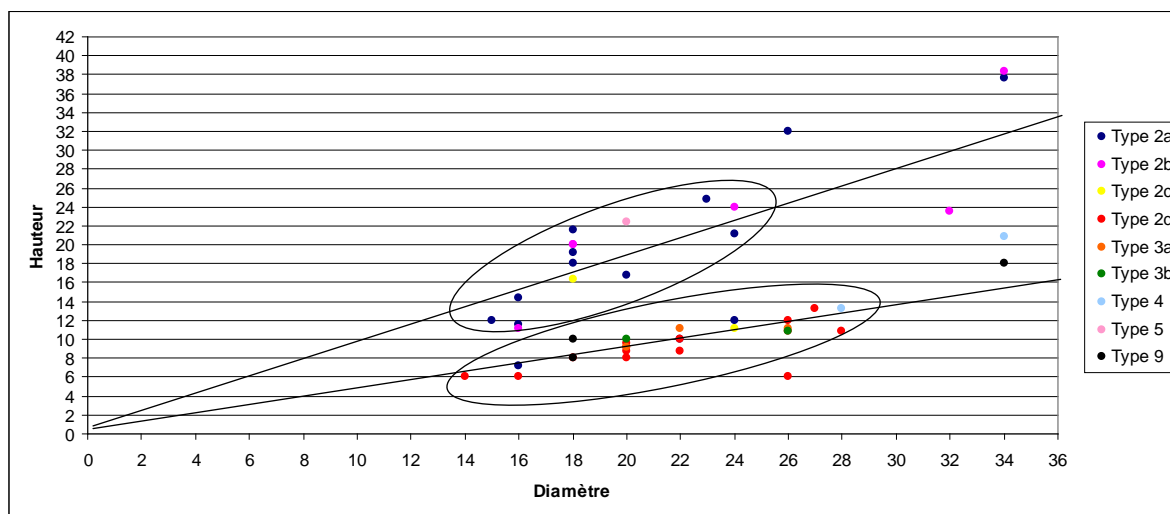


Fig. 311 : diagramme de corrélation entre diamètre d'ouverture et hauteur de formes complètes © N. Ménez

3.3.2. Catalogue par contextes

3.3.2.1. Préambule

Ce catalogue présente l'ensemble des contextes du site ayant livré du mobilier céramique antérieur au I^{er} s. ap. J.-C. En raison du temps imparti à la présente étude, ces contextes sont ici présentés sous la forme de tableaux uniformisés qui regroupent un certain nombre d'informations destinées à donner une vision d'ensemble synthétique de chacun de ces contextes. Les intitulés des colonnes sont les suivantes :

Contexte : mention de la dénomination du contexte étudié sous forme abrégée.

Famille : mention des trois grandes catégories recensées lors de l'étude, à savoir la céramique tournée de l'atelier (**BAIS**) la céramique non tournée de l'atelier (**B-NT** pour Bais-non tourné) et la céramique exogène (**EXO**).

Type/ s.type : mention des différents types et/ou sous-types définis au sein du catalogue typologique (*cf. supra*). La **mention « 0 »** est un code informatique qui correspond à tous les fragments de panse ainsi qu'aux lèvres qui n'ont pu être rattachés à l'un ou l'autre des 13 types, d'où leur nombre important. Le **type 100** s'apparente, quant à lui, aux *unica*.

NR : mention du nombre de restes (NR) dénombrés pour chaque type ou sous-type (en caractère maigre) et pour chaque famille de production (en caractère gras).

%NR : en caractère maigre : pourcentages de NR de chaque type ou sous-type par rapport au nombre total de NR d'une famille de production ; en caractère gras : pourcentages de NR d'une famille de production par rapport au nombre total de NR du contexte.

NMI : mention du nombre minimum d'individus (NMI) recensés pour chaque type ou sous-type (en caractère maigre) et pour chaque famille de production (en caractère gras). Réalisé après appariement, le calcul de ce NMI a été réalisé en ne tenant compte que des lèvres, ces dernières étant en effet les éléments les plus caractéristiques des formes retenues pour le catalogue typologique.

%NMI : en caractère maigre : pourcentages de NMI de chaque type ou sous-type par rapport au nombre total de NMI d'une famille de production ; en caractère gras : pourcentages de NMI d'une famille de production par rapport au nombre total de NMI du contexte.

EqV : mention de la statistique « équivalents-vases » dénombrés pour chaque type ou sous-type (en caractère maigre) et chaque famille de production (en caractère gras).

%EqV : en caractère maigre : pourcentages de EqV de chaque type ou sous-

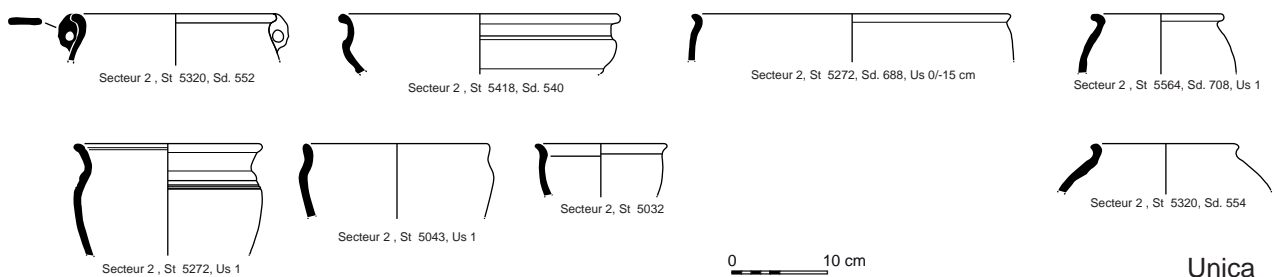
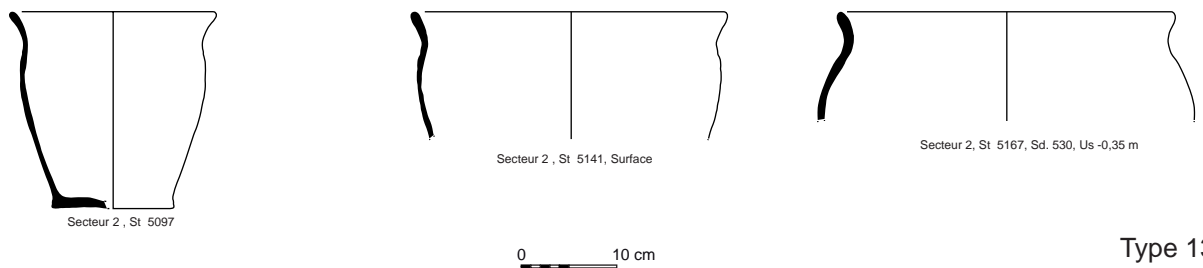
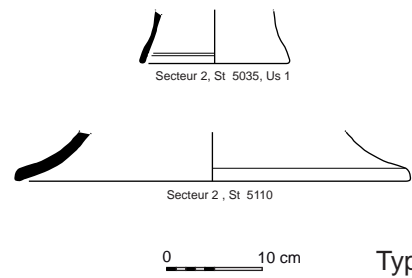
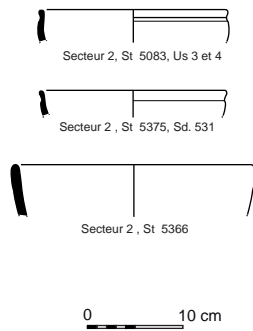
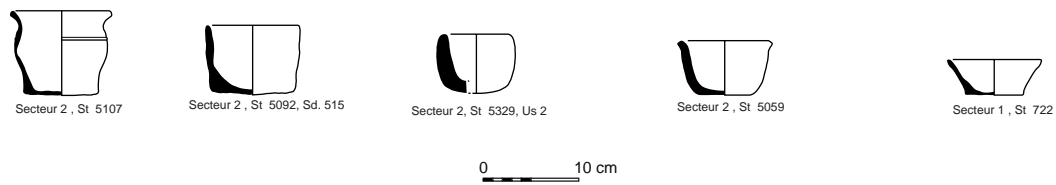
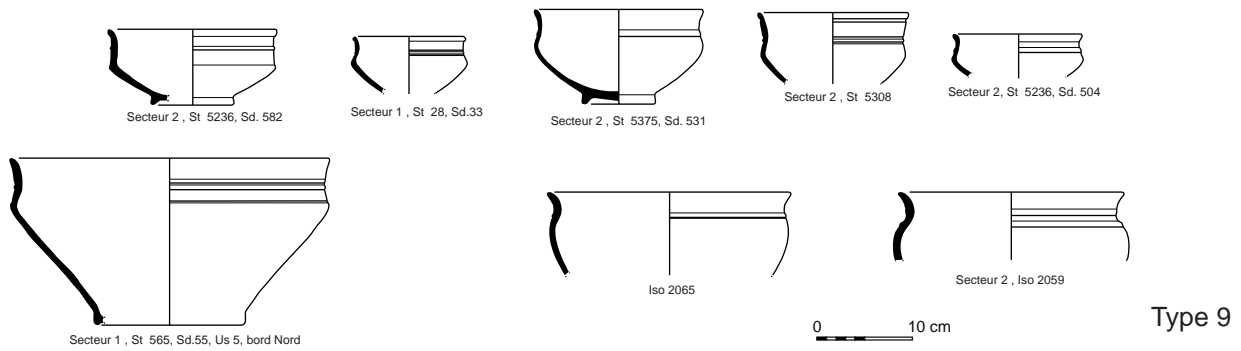


Fig. 312 : planche de synthèse des récipients et individus de type 9, 10, 11, 12, 13 et unica © N. Ménez

type par rapport au nombre total de EqV d'une famille de production ; en caractère gras : pourcentages de EqV d'une famille de production par rapport au nombre total de EqV du contexte.

Ces tableaux se suffisent souvent à eux-mêmes afin d'avoir une vision globale du contexte étudié, seuls les contextes livrant des lots importants de mobilier ou livrant des éléments particuliers font ici l'objet de commentaires.

Par ailleurs, certaines structures ayant été décomposées en plusieurs contextes étudiés séparément, font l'objet d'un court commentaire de synthèse destiné à mettre en avant les principales données recueillies.

3.3.2.2. Présentation par contextes :

- **Hors contextes (fig. 313 et 314)**

Contexte	famille	type/s. type	NR	%NR	NMI	%NMI	EqV	%EqV
HS	B-NT	2d	2	100%	1	100%	0.22	101%
HS	B-NT	total famille	2	0.3%	1	2.2%	0.22	5.35%
HS	BAIS	0	699	91.0%	14	32.6%	0	
HS	BAIS	100	4	0.5%	1	2.3%	0.34	8.78%
HS	BAIS	1a	1	0.1%	1	2.3%	0.09	2.29%
HS	BAIS	1b	3	0.4%	2	4.7%	0.21	5.28%
HS	BAIS	1ind	2	0.3%	2	4.7%	0	
HS	BAIS	2a	12	1.6%	4	9.3%	0.90	23.2%
HS	BAIS	2a(v)	1	0.1%	1	2.3%	0.05	1.29%
HS	BAIS	2b	2	0.3%	1	2.3%	0.08	2.00%
HS	BAIS	2d	17	2.2%	6	14.0%	1.08	27.9%
HS	BAIS	2ind	6	0.8%	3	7.0%	0	
HS	BAIS	3b	10	1.3%	3	7.0%	0.60	15.4%
HS	BAIS	6a	1	0.1%	1	2.3%	0.05	1.29%
HS	BAIS	8b	2	0.3%	1	2.3%	0.11	2.71%
HS	BAIS	9	8	1.0%	3	7.0%	0.38	9.85%
HS	BAIS	total famille	768	99.6%	43	95.6%	3.89	94.7%
HS	EXO	total famille	1	0.1%	1	2.2%	0	
HS	total		771	3%	45	3%	4.11	3.12%

De nombreux fragments de céramique ont été découverts hors contextes et enregistrés en tant qu'isolats (771 restes). On observe que l'immense majorité d'entre eux correspond à des productions de l'atelier (tournées et non tournées). L'unique tesson de céramique exogène s'apparente quant à lui à un fragment de panse en terra nigra. Il est par ailleurs à noter que 6 individus apparentés au type 2 présentent des traces d'utilisation (suie).

Orientation chronologique : Indéterminée

Lames minces N° 153-154-155-156-164-174-175-176-177-189-190-191-192-193-194-195

- **F. 21**

Contexte	famille	type/s. type	NR	%NR	NMI	%NMI	EqV	%EqV
F21	EXO	total famille	1	100%	0		0	
F21	total		1		0		0	

On notera ici que l'unique artefact mis au jour correspond à un tesson de céramique non produite dans l'atelier. La facture de sa pâte permet

néanmoins de la dater, de manière large, du 2^e âge du Fer.

Orientation chronologique : 2e âge du Fer

• **F. 22**

Contexte	famille	type/s. type	NR	%NR	NMI	%NMI	EqV	%EqV
F22	EXO	total famille	2	100%	0		0	
F22	total		2		0		0	

Comme pour le contexte précédent, le seul tesson découvert ici s'apparente à de la céramique exogène dont la facture de la pâte évoque les productions régionales du 2^e âge du Fer.

Orientation chronologique : 2e âge du Fer

• **F. 28**

Contexte	famille	type/s. type	NR	%NR	NMI	%NMI	EqV	%EqV
F28	BAIS	0	1	100%	0		0	
F28	BAIS	total famille	1	100%	0		0	
F28	total		1		0		0	

Orientation chronologique : Atelier

• **F. 28, Sd.33 (fig. 315)**

Contexte	famille	type/s. type	NR	%NR	NMI	%NMI	EqV	%EqV
F28-Sd33-US	B-NT	12	3	100%	1	100%	0.25	100%
F28-Sd33-US	B-NT	total famille	3	0.3%	1	2.2%	0.25	2.97%
F28-Sd33-US	BAIS	0	1011	89.8%	0		0	
F28-Sd33-US	BAIS	1b	14	1.2%	6	14.0%	0.71	9.31%
F28-Sd33-US	BAIS	1c	1	0.1%	1	2.3%	0.08	1.09%
F28-Sd33-US	BAIS	1ind	2	0.2%	0		0.10	1.27%
F28-Sd33-US	BAIS	2a	30	2.7%	18	41.9%	3.20	41.7%
F28-Sd33-US	BAIS	2d	10	0.9%	9	20.9%	0.74	9.60%
F28-Sd33-US	BAIS	2ind	36	3.2%	0		1.47	19.2%
F28-Sd33-US	BAIS	3a	16	1.4%	5	11.6%	1.01	13.1%
F28-Sd33-US	BAIS	3ind	2	0.2%	0		0.06	0.72%
F28-Sd33-US	BAIS	9	4	0.4%	4	9.3%	0.31	3.98%
F28-Sd33-US	BAIS	total famille	1126	99.4%	43	95.6%	7.67	91.2%
F28-Sd33-US	EXO	total famille	4	0.4%	1	2.2%	0.49	5.83%
F28-Sd33-US	total		1133	5%	45	3%	8.41	6.38%

Ce contexte révèle un important lot de mobilier constitué de plus de 1100 tessons pour un nombre minimum d'individus estimé à 45. L'essentiel de cet assortiment correspond à des productions (tournées et modelées) de l'atelier parmi lesquelles le type 2a est de loin le mieux représenté. On observe par ailleurs la présence d'un individu exogène qui s'apparente à un pot caréné à lèvres subverticales. Il trouve des comparaisons dans des contextes datés entre les années 250 et 75 avant notre ère.

Orientation chronologique : Atelier

- **F. 28, Sd. 34, -1m**

Contexte	famille	type/s. type	NR	%NR	NMI	%NMI	EqV	%EqV
F28-Sd34-US-1 m	BAIS	0	190	88.4%	0		0	
F28-Sd34-US-1 m	BAIS	1ind	1	0.5%	1	16.7%	0.02	1.81%
F28-Sd34-US-1 m	BAIS	2b	8	3.7%	2	33.3%	0.42	33.9%
F28-Sd34-US-1 m	BAIS	2d	6	2.8%	1	16.7%	0.34	27.6%
F28-Sd34-US-1 m	BAIS	2ind	2	0.9%	1	16.7%	0.13	10.8%
F28-Sd34-US-1 m	BAIS	3a	8	3.7%	1	16.7%	0.32	26.0%
F28-Sd34-US-1 m	BAIS	total famille	215	99.5%	6	85.7%	1.23	100%
F28-Sd34-US-1 m	EXO	total famille	1	0.5%	1	14.3%	0	
F28-Sd34-US-1 m	total		216	1%	7		1.23	0.93%

Sur les 216 fragments de poteries mis au jour au sein de ce contexte, on observe la rareté des individus recensés puisqu'on en dénombre seulement 7. Le plus notable d'entre eux correspond au seul individu non produit dans l'atelier et s'apparente à un pot à lèvre éversée dont l'épaule est souligné par une baguette horizontale (dessin 49). Sa morphologie évoque des exemplaires rencontrés, à l'échelle régionale, dans des contextes datés entre La Tène moyenne et La Tène finale. Il est enfin à noter que des appariements ont pu être réalisés avec des tessons issus du contexte F.28, Sd. 35, Us 13.

Orientation chronologique : Atelier

- **F. 28, Sd. 35, Us 13 (fig. 316)**

Contexte	famille	type/s. type	NR	%NR	NMI	%NMI	EqV	%EqV
F28-Sd35-US13	BAIS	0	145	83.8%	0		0	
F28-Sd35-US13	BAIS	2a	8	4.6%	2	40.0%	0.54	28.8%
F28-Sd35-US13	BAIS	2b	10	5.8%	2	40.0%	0.97	51.4%
F28-Sd35-US13	BAIS	3a	10	5.8%	1	20.0%	0.37	19.8%
F28-Sd35-US13	BAIS	total famille	173	100%	5	100%	1.88	100%
F28-Sd35-US13	total		173	1%	5		1.88	1.43%

Comme évoqué dans le contexte précédent, des remontages ont été réalisés avec des tessons issus du contexte F. 28, Sd. 34, -1m.

Orientation chronologique : Atelier

- **F. 28, Sd. 37, Us 2 (-0,10m)**

Contexte	famille	type/s. type	NR	%NR	NMI	%NMI	EqV	%EqV
F28-Sd37-US2 (-0,10 m)	BAIS	0	2	100%	0		0	
F28-Sd37-US2 (-0,10 m)	BAIS	total famille	2	100%	0		0	
F28-Sd37-US2 (-0,10 m)	total		2		0		0	

Orientation chronologique : Atelier

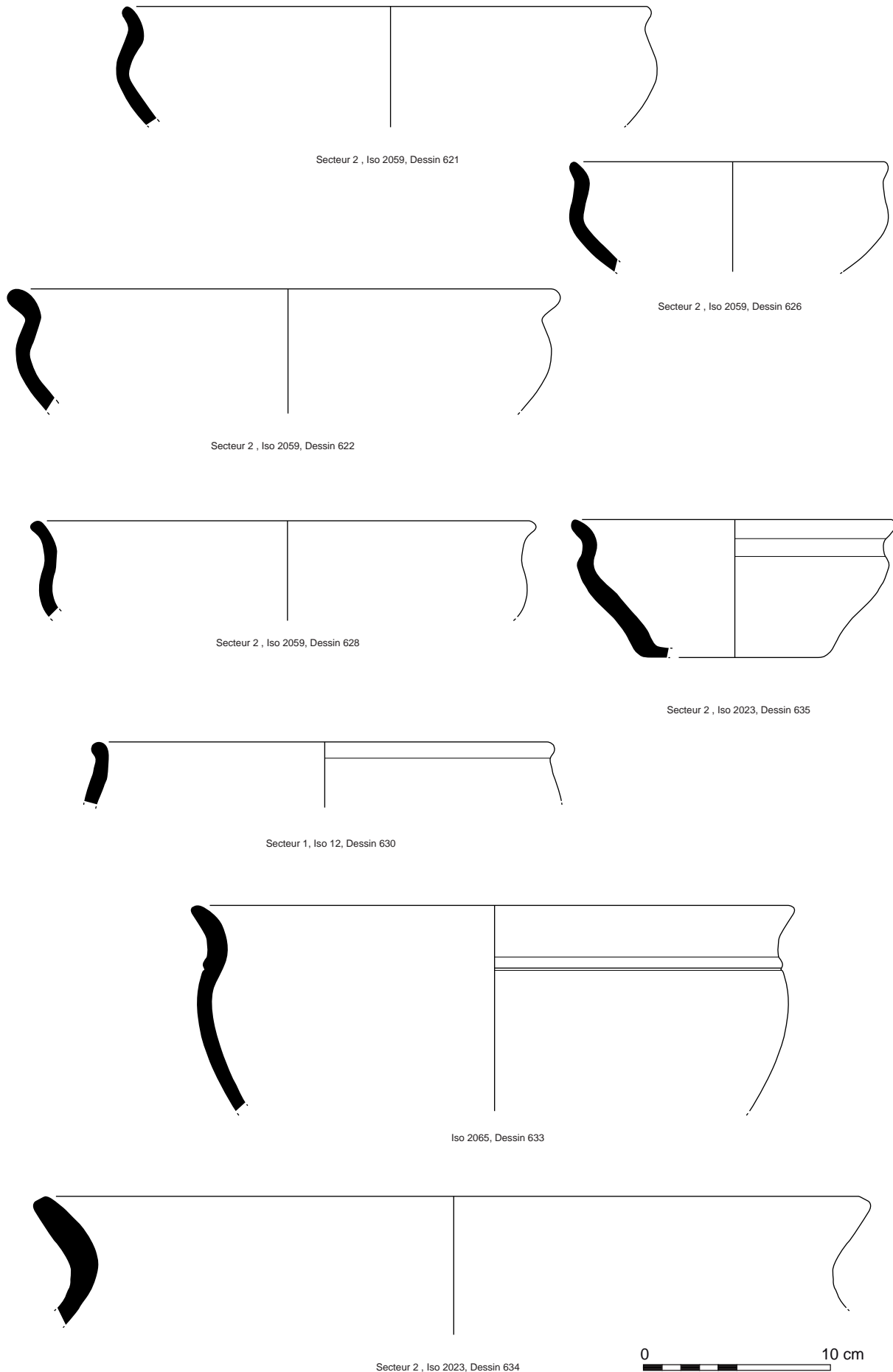
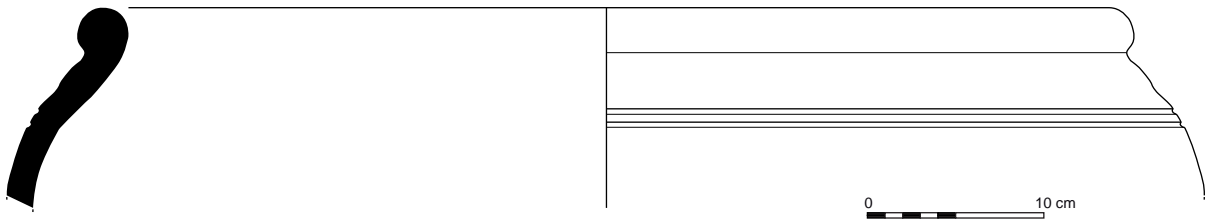
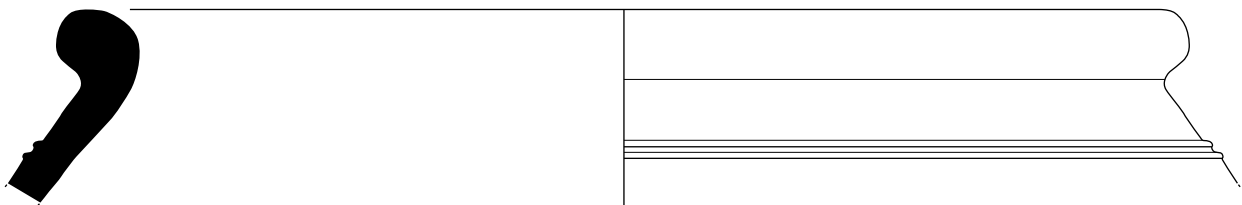


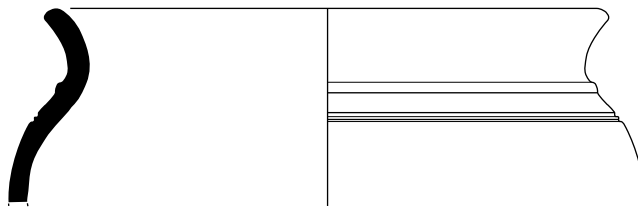
Fig. 313 : céramique découverte hors contexte © N. Ménez



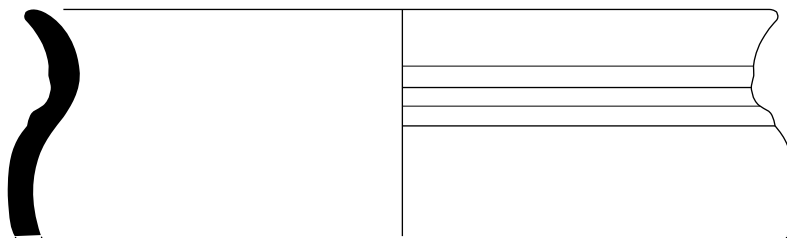
Secteur 2 , Iso 2059, Dessin 624



Iso 2057, Dessin 618



Secteur 2 , Iso 2059, Dessin 625



Secteur 2 , Iso 2059, Dessin 627



Fig. 314 : céramique découverte hors contexte © N. Ménez

- **F. 28, Sd. 37, Us 7 (-50/-60 cm)**

Contexte	famille	type/s. type	NR	%NR	NMI	%NMI	EqV	%EqV
F28-Sd37-US7 (-50/-60 cm)	BAIS	0	13	100%	0		0	
F28-Sd37-US7 (-50/-60 cm)	BAIS	total famille	13	100%	0		0	
F28-Sd37-US7 (-50/-60 cm)	total		13		0		0	

Orientation chronologique : Atelier

- **F. 28, Sd. 37, Us 8 (fig. 317)**

Contexte	famille	type/s. type	NR	%NR	NMI	%NMI	EqV	%EqV
F28-Sd37-US8	BAIS	0	181	91.9%	0		0	
F28-Sd37-US8	BAIS	1b	2	1.0%	2	16.7%	0.11	7.65%
F28-Sd37-US8	BAIS	1c	1	0.5%	1	8.3%	0.10	7.05%
F28-Sd37-US8	BAIS	1ind	1	0.5%	1	8.3%	0	
F28-Sd37-US8	BAIS	2a	7	3.6%	5	41.7%	0.79	57.2%
F28-Sd37-US8	BAIS	2b	1	0.5%	1	8.3%	0.06	4.43%
F28-Sd37-US8	BAIS	3b	4	2.0%	2	16.7%	0.33	23.8%
F28-Sd37-US8	BAIS	total famille	197	100%	12	100%	1.38	100%
F28-Sd37-US8	total		197	1%	12	1%	1.38	1.05%

Orientation chronologique : Atelier

- **F. 28, Sd. 38 (fig. 318)**

Contexte	famille	type/s. type	NR	%NR	NMI	%NMI	EqV	%EqV
F28-Sd38	BAIS	0	59	79.7%	0		0	
F28-Sd38	BAIS	1b	5	6.8%	3	27.3%	0.33	54.2%
F28-Sd38	BAIS	2a	2	2.7%	1	9.1%	0.13	20.8%
F28-Sd38	BAIS	2b	1	1.4%	1	9.1%	0.07	12.0%
F28-Sd38	BAIS	2ind	5	6.8%	5	45.5%	0	
F28-Sd38	BAIS	3b	2	2.7%	1	9.1%	0.08	13.0%
F28-Sd38	BAIS	total famille	74	100%	11	100%	0.60	100%
F28-Sd38	total		74		11	1%	0.60	0.45%

Orientation chronologique : Atelier

- **F. 28, Sd. 39 (fig. 319)**

Contexte	famille	type/s. type	NR	%NR	NMI	%NMI	EqV	%EqV
F28-Sd39	BAIS	0	70	93.3%	2	50.0%	0	
F28-Sd39	BAIS	2a	5	6.7%	2	50.0%	0.27	101%
F28-Sd39	BAIS	total famille	75	100%	4	100%	0.27	100%
F28-Sd39	total		75		4		0.27	0.20%

Orientation chronologique : Atelier

- **F. 28, Sd. 42, Us Côté Est**

Contexte	famille	type/s. type	NR	%NR	NMI	%NMI	EqV	%EqV
F28-Sd42-USCôté Est	BAIS	0	21	77.8%	0		0	
F28-Sd42-USCôté Est	BAIS	1a	1	3.7%	1	20.0%	0.04	18.5%
F28-Sd42-USCôté Est	BAIS	1ind	1	3.7%	1	20.0%	0.07	30.1%
F28-Sd42-USCôté Est	BAIS	2a	2	7.4%	1	20.0%	0.13	53.2%
F28-Sd42-USCôté Est	BAIS	2ind	2	7.4%	2	40.0%	0	
F28-Sd42-USCôté Est	BAIS	total famille	27	100%	5	100%	0.24	100%
F28-Sd42-USCôté Est	total		27		5		0.24	0.18%

*Orientation chronologique : Atelier***Synthèse sur le fossé F.28**

A travers les nombreux sondages dont elle a fait l'objet, cette structure livre un total de 86 individus. Avec 29 occurrences, le type 2a est de loin le mieux représenté, devant le type 1b (11 occurrences) et le type 2d (10 occurrences). On remarque également que le type 2 et ses divers sous-types représentent plus de 60% des individus recensés (53 sur 86) (fig. 441).

- **F. 30**

Contexte	famille	type/s. type	NR	%NR	NMI	%NMI	EqV	%EqV
F30	BAIS	0	2	100%	0		0	
F30	BAIS	total famille	2	100%	0		0	
F30	total		2		0		0	

Orientation chronologique : Atelier

- **F. 47**

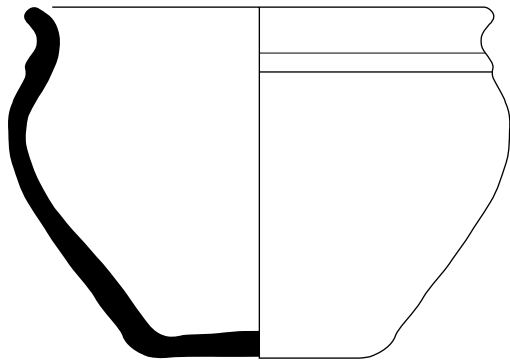
Contexte	famille	type/s. type	NR	%NR	NMI	%NMI	EqV	%EqV
F47	BAIS	0	6	100%	0		0	
F47	BAIS	total famille	6	100%	0		0	
F47	total		6		0		0	

Orientation chronologique : Atelier

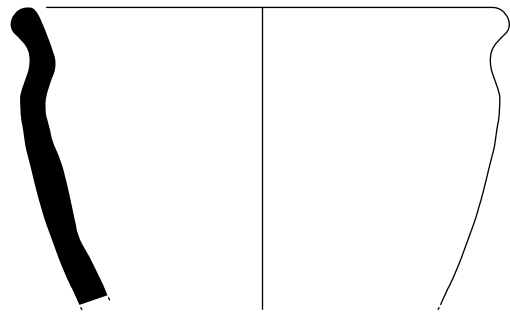
- **F. 102**

Contexte	famille	type/s. type	NR	%NR	NMI	%NMI	EqV	%EqV
F102	BAIS	0	5	100%	0		0	
F102	BAIS	total famille	5	100%	0		0	
F102	total		5		0		0	

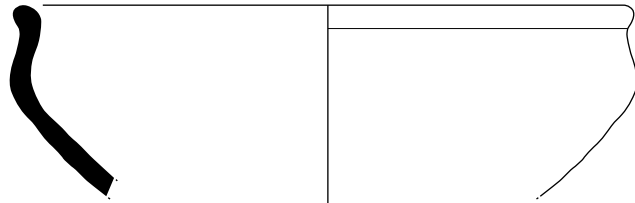
Orientation chronologique : Atelier



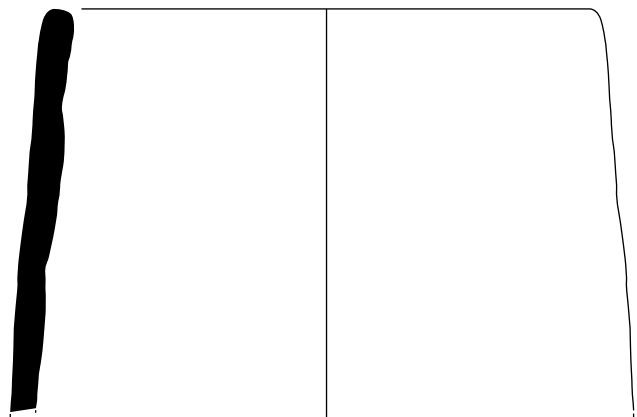
Secteur 1 , St 28, Sd.33, Dessin 46



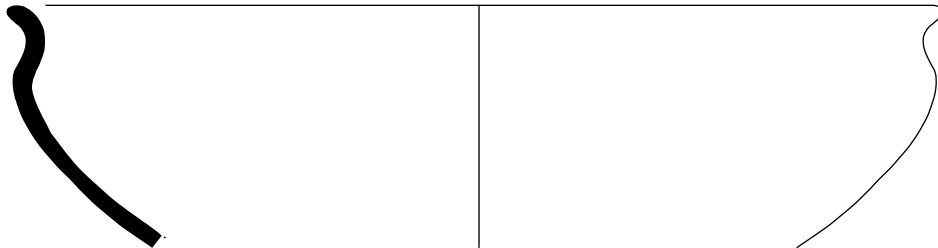
Secteur 1, St 28, Sd. 33, Dessin 38



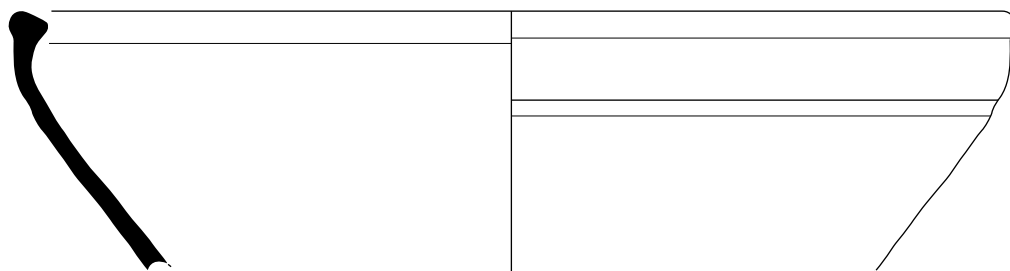
Secteur 2, St 28, Sd. 33, Dessin 29



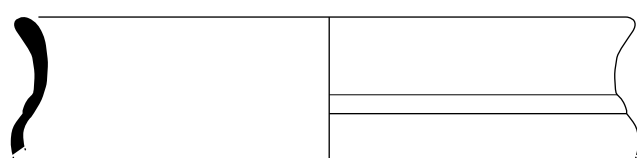
Secteur 2, St 28, Sd. 33, Dessin 45



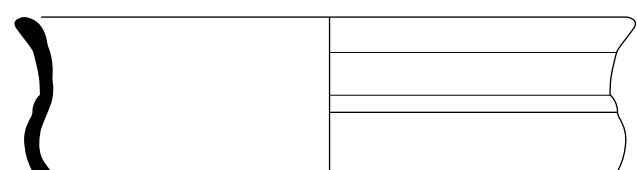
Secteur 2, St 28, Sd. 33, Dessin 31



Secteur 1 , St 28, Sd.33, Dessin 43



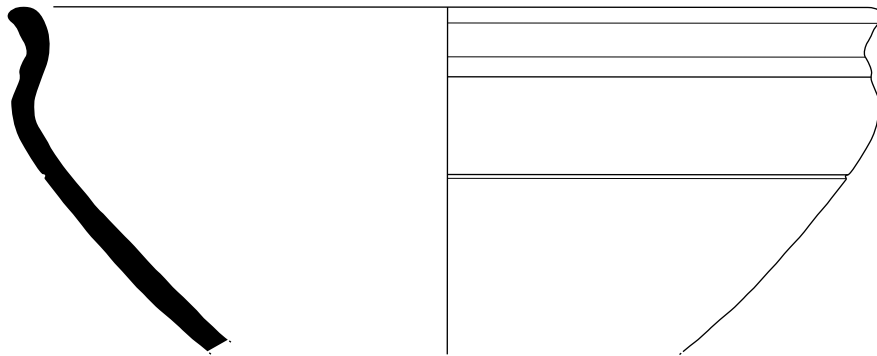
Secteur 2, St 28, Sd. 33, Dessin 25



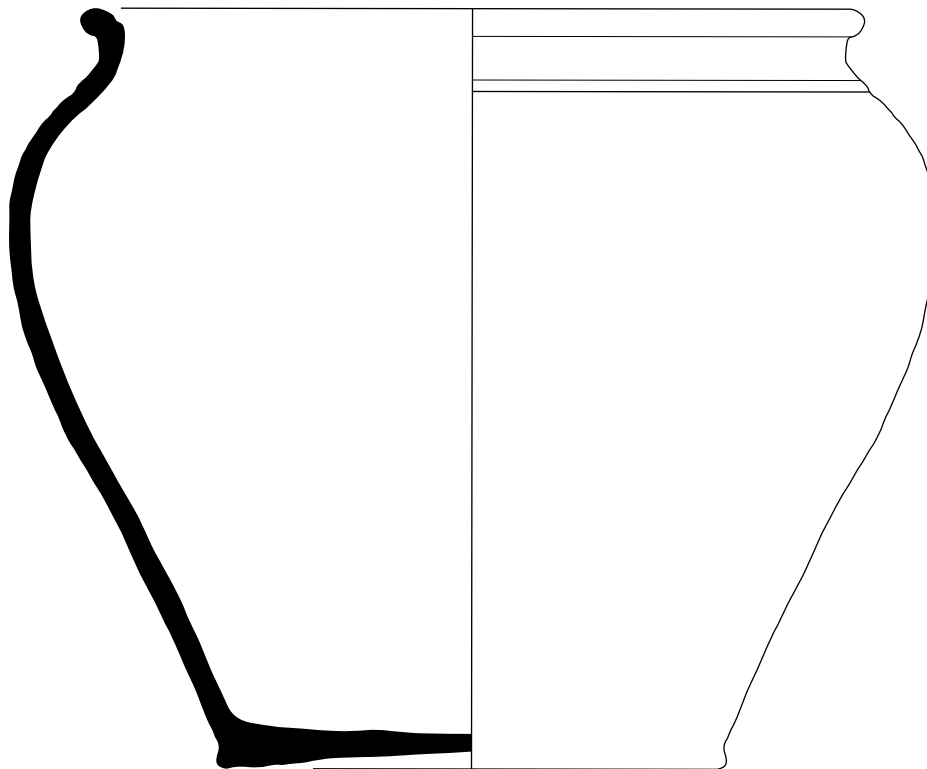
Secteur 2, St 28, Sd. 33, Dessin 28

Fig. 315 : céramique découverte au sein du contexte F.28 Sd. 33 © N. Ménez





Secteur 1, St 28, Sd. 35, Us 13, Dessin 54



Secteur 1, St 28, Sd.35, Us 13, Dessin 56



Fig. 316 : céramique découverte au sein du contexte F.28 Sd. 35 Us 13 © N. Ménez

- F. 105

Contexte	famille	type/s. type	NR	%NR	NMI	%NMI	EqV	%EqV
F105	BAIS	0	1	100%	1	100%	0	
F105	BAIS	total famille	1	100%	1	100%	0	
F105	total		1		1		0	

Orientation chronologique : Atelier

- F. 121

Contexte	famille	type/s. type	NR	%NR	NMI	%NMI	EqV	%EqV
F121	BAIS	0	2	100%	0		0	
F121	BAIS	total famille	2	100%	0		0	
F121	total		2		0		0	

Orientation chronologique : Atelier

- F. 514, Sd. 577, Us 1

Contexte	famille	type/s. type	NR	%NR	NMI	%NMI	EqV	%EqV
F514-Sd577-US1	BAIS	0	14	100%	1	100%	0	
F514-Sd577-US1	BAIS	total famille	14	100%	1	100%	0	
F514-Sd577-US1	total		14		1		0	

Orientation chronologique : Atelier

- F. 565, Sd. 234

Contexte	famille	type/s. type	NR	%NR	NMI	%NMI	EqV	%EqV
F565-Sd234-US/	BAIS	0	18	100.0%	1	100%		
F565-Sd234-US/	BAIS	total famille	18	100%	1	100%		
F565-Sd234-US/	total		18		1			

Orientation chronologique : Atelier

- F. 565, Sd. 234, Us 2

Contexte	famille	type/s. type	NR	%NR	NMI	%NMI	EqV	%EqV
F565-Sd234-US2	BAIS	0	8	100.0%	0			
F565-Sd234-US2	BAIS	total famille	8	100%	0			
F565-Sd234-US2	total		8		0			

Orientation chronologique : Atelier

- F. 565, Sd. 47, Us 4

Contexte	famille	type/s. type	NR	%NR	NMI	%NMI	EqV	%EqV
F565-Sd47-US4	BAIS	0	23	100.0%	0			
F565-Sd47-US4	BAIS	total famille	23	100%	0			
F565-Sd47-US4	total		23		0			

Orientation chronologique : Atelier

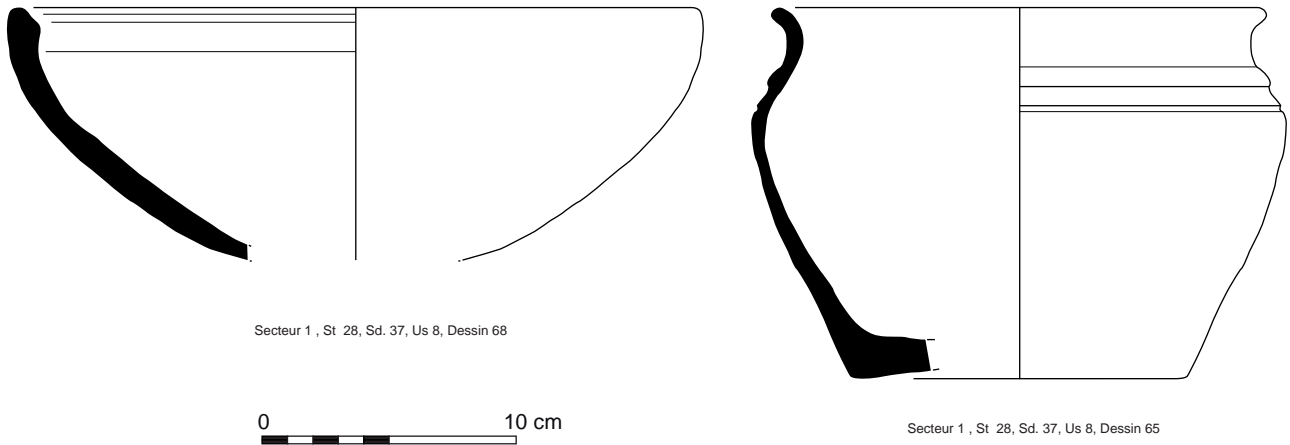


Fig. 317 : céramiques découvertes au sein du contexte F. 28, Sd. 37, Us 8 © N. Ménez

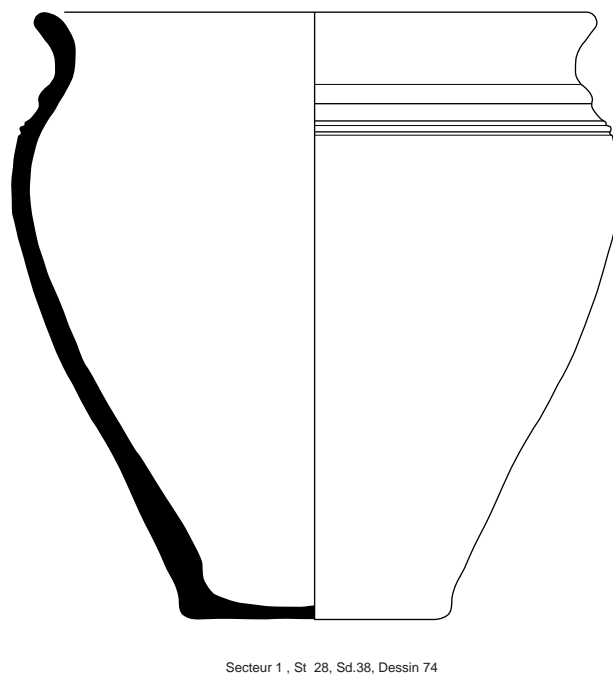
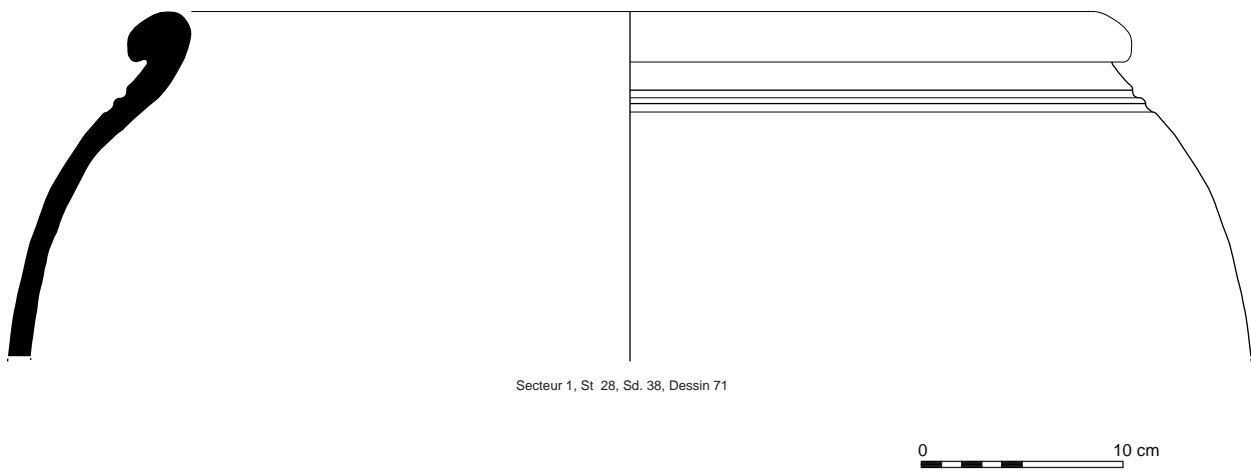


Fig. 318 : céramiques découvertes au sein du contexte F. 28, Sd. 38 © N. Ménez

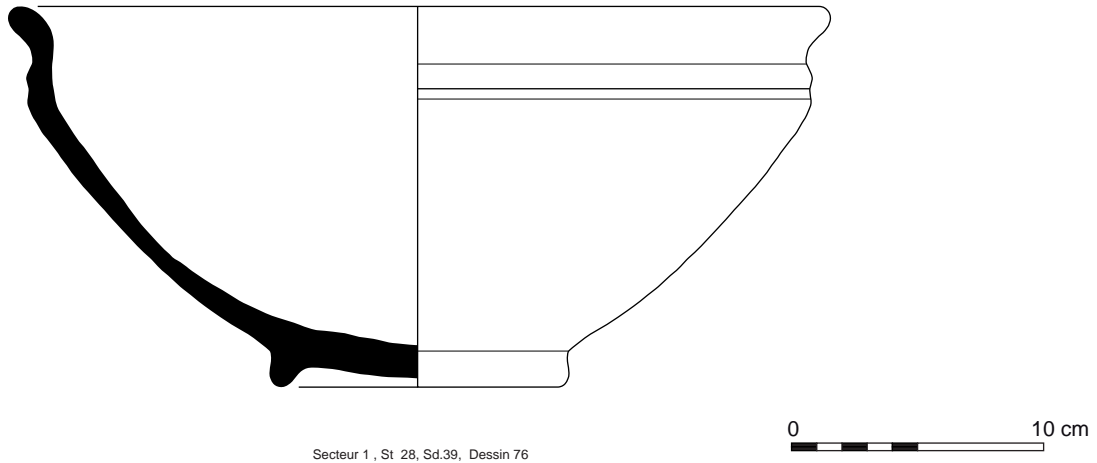


Fig. 319 : céramique découverte au sein du contexte F. 28, Sd. 39 © N. Ménez

• **F. 565, Sd. 54, Us 13**

Contexte	famille	type/s. type	NR	%NR	NMI	%NMI	EqV	%EqV
F565-Sd54-US13	BAIS	0	25	89.3%	1	33.3%		
F565-Sd54-US13	BAIS	2a	3	10.7%	2	66.7%	0.16	97.2%
F565-Sd54-US13	BAIS	total famille	28	100%	3	100%	0.16	100%
F565-Sd54-US13	total		28		3		0.16	0.12%

Orientation chronologique : Atelier

• **F. 565, Sd. 57, Us 10**

Contexte	famille	type/s. type	NR	%NR	NMI	%NMI	EqV	%EqV
F565-Sd57-US10	BAIS	0	16	80.0%	0			
F565-Sd57-US10	BAIS	2b	3	15.0%	1	50.0%	0.23	75.9%
F565-Sd57-US10	BAIS	5c	1	5.0%	1	50.0%	0.07	24.1%
F565-Sd57-US10	BAIS	total famille	20	100%	2	100%	0.30	100%
F565-Sd57-US10	total		20		2		0.30	0.23%

Orientation chronologique : Atelier

• **F. 565, Sd. 57, Us 12**

Contexte	famille	type/s. type	NR	%NR	NMI	%NMI	EqV	%EqV
F565-Sd57-US12	BAIS	0	21	87.5%	2	66.7%		
F565-Sd57-US12	BAIS	1ind	1	4.2%	1	33.3%		
F565-Sd57-US12	BAIS	total famille	24	100%	3	100%		
F565-Sd57-US12	total		24		3			

Le seul élément notable révélé par ce contexte est la présence, vraisemblablement intrusive, d'un tesson antique.

Orientation chronologique : Atelier

- F. 565, Sd. 57, Us 7

Contexte	famille	type/s. type	NR	%NR	NMI	%NMI	EqV	%EqV
F565-Sd57-US7	BAIS	0	11	100.0%	0			
F565-Sd57-US7	BAIS	total famille	11	100%	0			
<i>F565-Sd57-US7</i>	<i>total</i>		<i>11</i>		<i>0</i>			

Orientation chronologique : Atelier

- F. 565, Sd. 57, Us 9

Contexte	famille	type/s. type	NR	%NR	NMI	%NMI	EqV	%EqV
F565-Sd57-US9	BAIS	0	16	88.9%	1	50.0%		
F565-Sd57-US9	BAIS	2a	2	11.1%	1	50.0%	0.08	97.2%
F565-Sd57-US9	BAIS	total famille	18	100%	2	100%	0.08	100%
<i>F565-Sd57-US9</i>	<i>total</i>		<i>18</i>		<i>2</i>		<i>0.08</i>	<i>0.06%</i>

Orientation chronologique : Atelier

Synthèse sur la structure F.565

A travers les sondages dont elle a fait l'objet, cette structure livre un total de 11 individus ; aucun type ne se distingue des autres du point de vue quantitatif (fig. 441).

- F. 5009

Contexte	famille	type/s. type	NR	%NR	NMI	%NMI	EqV	%EqV
F5009	BAIS	0	3	100%	0		0	
F5009	BAIS	total famille	3	100%	0		0	
<i>F5009</i>	<i>total</i>		<i>3</i>		<i>0</i>		<i>0</i>	

Orientation chronologique : Atelier

- F. 5010

Contexte	famille	type/s. type	NR	%NR	NMI	%NMI	EqV	%EqV
F5010	EXO	total famille	1	100%	0		0	
<i>F5010</i>	<i>total</i>		<i>1</i>		<i>0</i>		<i>0</i>	

L'unique tesson mis au jour dans ce contexte ne s'apparente pas à une production de l'atelier. La facture de sa pâte permet de le dater, de manière large, du 2^e âge du Fer.

Orientation chronologique : 2^e âge du Fer

- F. 5012

Contexte	famille	type/s. type	NR	%NR	NMI	%NMI	EqV	%EqV
F5012	BAIS	0	6	100%	0		0	
F5012	BAIS	total famille	6	100%	0		0	
<i>F5012</i>	<i>total</i>		<i>6</i>		<i>0</i>		<i>0</i>	

Orientation chronologique : Atelier• F. 5014

Contexte	famille	type/s. type	NR	%NR	NMI	%NMI	EqV	%EqV
F5014-USSurface	BAIS	0	30	100%	0		0	
F5014-USSurface	BAIS	total famille	30	100%	0		0	
<i>F5014-USSurface</i>	<i>total</i>		30		0		0	

Orientation chronologique : Atelier• F. 5014, Us Surface

Contexte	famille	type/s. type	NR	%NR	NMI	%NMI	EqV	%EqV
F5014	BAIS	0	2	100%	0		0	
F5014	BAIS	total famille	2	100%	0		0	
<i>F5014</i>	<i>total</i>		2		0		0	

Orientation chronologique : Atelier• F. 5014, Sd. 500, Us 1

Contexte	famille	type/s. type	NR	%NR	NMI	%NMI	EqV	%EqV
F5014-Sd500-US1	BAIS	0	1	100%	0		0	
F5014-Sd500-US1	BAIS	total famille	1	100%	0		0	
<i>F5014-Sd500-US1</i>	<i>total</i>		1		0		0	

Orientation chronologique : Atelier• F. 5015

Contexte	famille	type/s. type	NR	%NR	NMI	%NMI	EqV	%EqV
F5015	BAIS	0	3	75.0%	0		0	
F5015	BAIS	1ind	1	25.0%	1	100%	0	
F5015	BAIS	total famille	4	100%	1	100%	0	
<i>F5015</i>	<i>total</i>		4		1		0	

Orientation chronologique : Atelier• F. 5015, Us 1

Contexte	famille	type/s. type	NR	%NR	NMI	%NMI	EqV	%EqV
F5015-US1	BAIS	0	17	94.4%	0		0	
F5015-US1	BAIS	3b	1	5.6%	1	100%	0.04	97.2%
F5015-US1	BAIS	total famille	18	100%	1	100%	0.04	100%
<i>F5015-US1</i>	<i>total</i>		18		1		0.04	0.03%

Orientation chronologique : Atelier

- **F. 5016, Us 1**

Contexte	famille	type/s. type	NR	%NR	NMI	%NMI	EqV	%EqV
F5016-US1	BAIS	0	16	84.2%	1	33.3%	0	
F5016-US1	BAIS	2a	2	10.5%	1	33.3%	0.21	71.8%
F5016-US1	BAIS	2d	1	5.3%	1	33.3%	0.08	26.8%
F5016-US1	BAIS	total famille	19	100%	3	100%	0.29	100%
F5016-US1	total		19		3		0.29	0.22%

On observe ici la présence, parmi des individus produits par l'atelier, de 3 fragments de panse réalisés dans des pâtes de facture antique.

Orientation chronologique : Antique

- **F. 5016, Us 2**

Contexte	famille	type/s. type	NR	%NR	NMI	%NMI	EqV	%EqV
F5016-US2	BAIS	0	2	100%	0		0	
F5016-US2	BAIS	total famille	2	100%	0		0	
F5016-US2	total		2		0		0	

Orientation chronologique : Atelier

- **F. 5017**

Contexte	famille	type/s. type	NR	%NR	NMI	%NMI	EqV	%EqV
F5017	BAIS	0	2	100%	0		0	
F5017	BAIS	total famille	2	100%	0		0	
F5017	total		2		0		0	

Orientation chronologique : Atelier

- **F. 5017, Us 1**

Contexte	famille	type/s. type	NR	%NR	NMI	%NMI	EqV	%EqV
F5017-US1	BAIS	0	8	100%	1	100%	0	
F5017-US1	BAIS	total famille	8	100%	1	100%	0	
F5017-US1	total		8		1		0	

Orientation chronologique : Atelier

- **F. 5017, Us 2**

Contexte	famille	type/s. type	NR	%NR	NMI	%NMI	EqV	%EqV
F5017-US2	BAIS	0	1	100%	0		0	
F5017-US2	BAIS	total famille	1	100%	0		0	
F5017-US2	total		1		0		0	

Orientation chronologique : Atelier

- **F. 5018**

Contexte	famille	type/s. type	NR	%NR	NMI	%NMI	EqV	%EqV
F5018	BAIS	0	6	100%	0		0	
F5018	BAIS	total famille	6	100%	0		0	
F5018	total		6		0		0	

Orientation chronologique : Atelier

- **F. 5019**

Contexte	famille	type/s. type	NR	%NR	NMI	%NMI	EqV	%EqV
F5019	BAIS	0	15	88.2%	0		0	
F5019	BAIS	3b	2	11.8%	1	100%	0.08	97.2%
F5019	BAIS	total famille	17	100%	1	100%	0.08	100%
F5019	total		17		1		0.08	0.06%

Orientation chronologique : Atelier

Lame mince N° 53

- **F. 5019, Sd. 599, Us 1**

Contexte	famille	type/s. type	NR	%NR	NMI	%NMI	EqV	%EqV
F5019-Sd599-US1	BAIS	0	6	100%	1	100%	0	
F5019-Sd599-US1	BAIS	total famille	6	100%	1	100%	0	
F5019-Sd599-US1	total		6		1		0	

Orientation chronologique : Atelier

- **F. 5026**

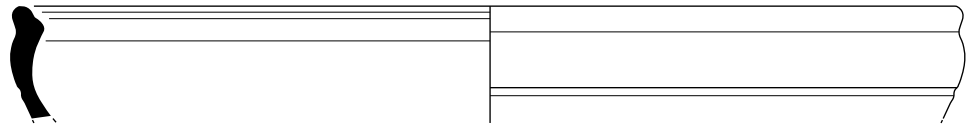
Contexte	famille	type/s. type	NR	%NR	NMI	%NMI	EqV	%EqV
F5026	BAIS	0	1	100%	0		0	
F5026	BAIS	total famille	1	100%	0		0	
F5026	total		1		0		0	

Orientation chronologique : Atelier

- **F. 5028** (fig. 319)

Contexte	famille	type/s. type	NR	%NR	NMI	%NMI	EqV	%EqV
F5028	BAIS	3b	1	100%	1	100%	0.04	97.2%
F5028	BAIS	total famille	1	100%	1	100%	0.04	100%
F5028	total		1		1		0.04	0.03%

Orientation chronologique : Atelier



Secteur 2 , St 5028, Dessin 669



Fig. 319 : céramique découverte au sein du contexte F. 5028 © N. Ménez

- **F. 5031**

Contexte	famille	type/s. type	NR	%NR	NMI	%NMI	EqV	%EqV
F5031	BAIS	0	2	100%	0		0	
F5031	BAIS	total famille	2	100%	0		0	
F5031	total		2		0		0	

Orientation chronologique : Atelier

- **F. 5032** (fig. 320)

Contexte	famille	type/s. type	NR	%NR	NMI	%NMI	EqV	%EqV
F5032	BAIS	0	61	85.9%	0		0	
F5032	BAIS	100	2	2.8%	1	20.0%	0.13	20.5%
F5032	BAIS	2a(v)	4	5.6%	2	40.0%	0.36	58.3%
F5032	BAIS	2d	3	4.2%	1	20.0%	0.13	20.5%
F5032	BAIS	2ind	1	1.4%	1	20.0%	0	
F5032	BAIS	total famille	71	98.6%	5	83.3%	0.61	82.4%
F5032	EXO	total famille	1	1.4%	1	16.7%	0.13	17.6%
F5032	total		72		6		0.74	0.56%

Sur les 6 individus révélés par ce contexte, les plus notables sont un récipient exogène à lèvre éversée et ne présentant aucune ornementation ainsi qu'un récipient dont la morphologie évoque les productions gallo-romaines précoces (dessin 488). On observe également la présence de deux variantes du type 2a.

Orientation chronologique : Atelier + Exo + GR précoce

Lames minces N°89-90

- **F. 5032, Us 2**

Contexte	famille	type/s. type	NR	%NR	NMI	%NMI	EqV	%EqV
F5032-US2	BAIS	0	63	86.3%	0		0	
F5032-US2	BAIS	2a	9	12.3%	2	66.7%	0.88	100%
F5032-US2	BAIS	2ind	1	1.4%	1	33.3%	0	
F5032-US2	BAIS	total famille	73	100%	3	100%	0.88	100%
F5032-US2	total		73		3		0.88	0.67%

Des remontages ont été réalisés avec le contexte précédent (F. 5032) et le suivant (F. 5032, Us 3).

Orientation chronologique : Atelier

Lames-minces N°108-109

- F. 5032, Us 3

Contexte	famille	type/s. type	NR	%NR	NMI	%NMI	EqV	%EqV
F5032-US3	BAIS	0	6	100%	0		0	
F5032-US3	BAIS	total famille	6	100%	0		0	
F5032-US3	total		6		0		0	

Des remontages ont été réalisés avec les contextes précédents (F. 5032 et F. 5032, Us 2).

Orientation chronologique : Atelier

- F. 5034, Sd. 645

Contexte	famille	type/s. type	NR	%NR	NMI	%NMI	EqV	%EqV
F5034-Sd645	BAIS	0	28	100%	1	100%	0	
F5034-Sd645	BAIS	total famille	28	100%	1	100%	0	
F5034-Sd645	total		28		1		0	

Orientation chronologique : Atelier

- F. 5034, Sd. 645, Us 1

Contexte	famille	type/s. type	NR	%NR	NMI	%NMI	EqV	%EqV
F5035-Sd614-US1	BAIS	0	1	100%	0		0	
F5035-Sd614-US1	BAIS	total famille	1	100%	0		0	
F5035-Sd614-US1	total		1		0		0	

Orientation chronologique : Atelier

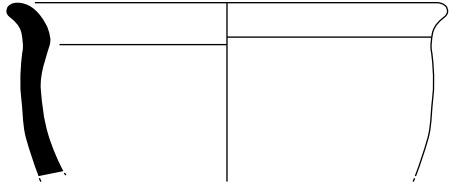
- F. 5035, Sd. 615, Us 1

Contexte	famille	type/s. type	NR	%NR	NMI	%NMI	EqV	%EqV
F5035-Sd615-US1	BAIS	0	1	100%	0		0	
F5035-Sd615-US1	BAIS	total famille	1	100%	0		0	
F5035-Sd615-US1	total		1		0		0	

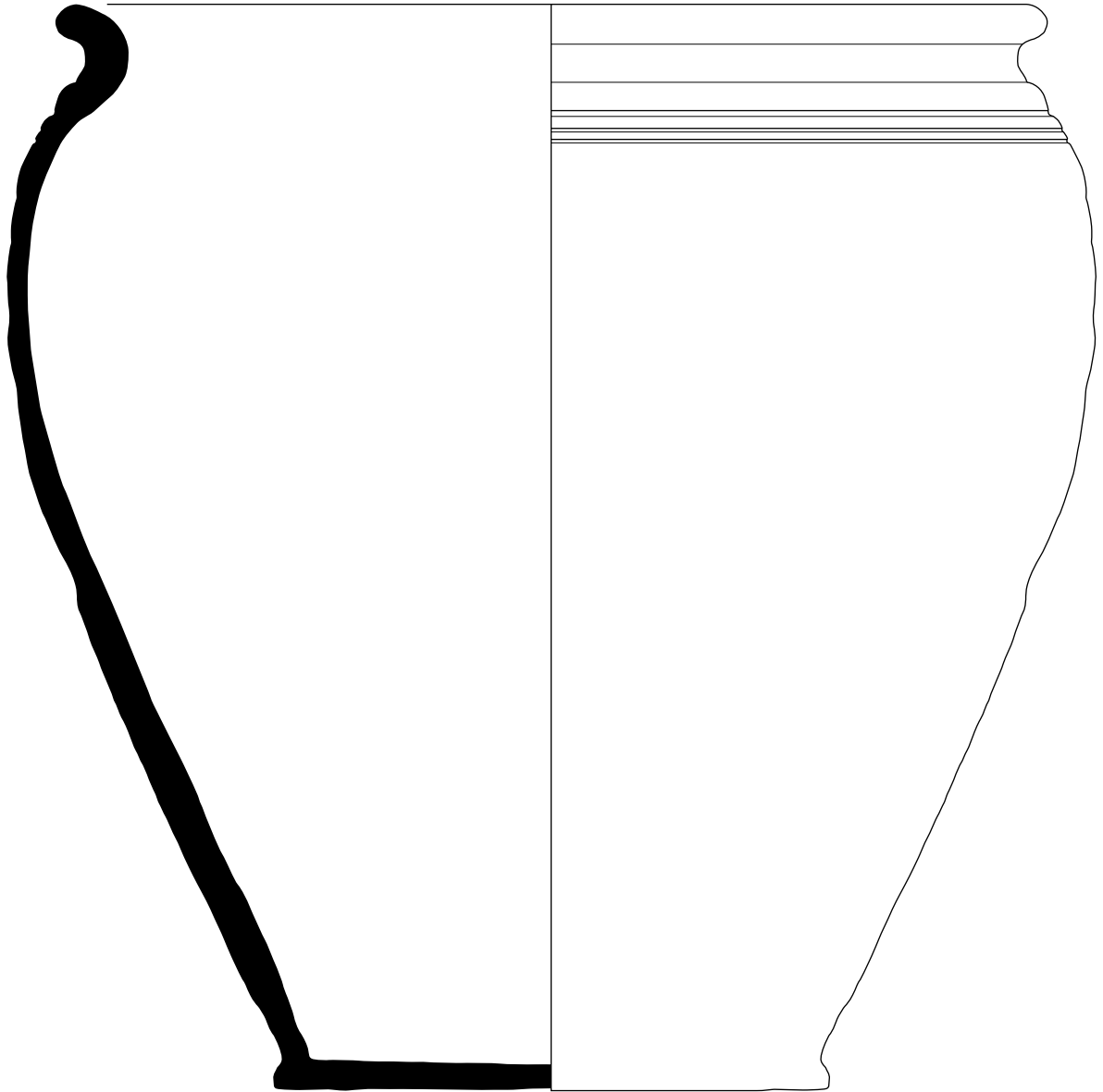
Orientation chronologique : Atelier

- F. 5043, Us 1 (fig. 321)

Contexte	famille	type/s. type	NR	%NR	NMI	%NMI	EqV	%EqV
F5043-US1	B-NT	100	1	100%	1	100%	0.08	104%
F5043-US1	B-NT	total famille	1	12.5%	1	100%	0.08	100%
F5043-US1	BAIS	0	7	100%	0		0	
F5043-US1	BAIS	total famille	7	87.5%	0		0	
F5043-US1	total		8		1		0.08	0.06%



Secteur 2, St 5032, Dessin 488



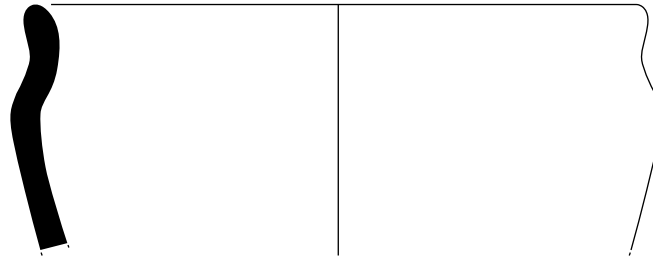
Secteur 2, St 5032, Us 0-2-3, Dessin 489



Fig. 320 : céramiques découvertes au sein du contexte F. 5032 © N. Ménez

Le seul élément notable observé au sein de ce contexte est la présence d'un *unicum* modelé ayant les caractéristiques techniques des productions de l'atelier et qui présente des traces d'utilisation.

Orientation chronologique : Atelier



Secteur 2 , St 5043, Us 1, Dessin 670



Fig. 321 : *unicum* découvert au sein du contexte F. 5043, Us 1 © N. Menez

- F. 5043, Sd. 501, Us 2

Contexte	famille	type/s. type	NR	%NR	NMI	%NMI	EqV	%EqV
F5045-Sd501-US2	BAIS	0	1	100%	0		0	
F5045-Sd501-US2	BAIS	total famille	1	100%	0		0	
F5045-Sd501-US2	total		1		0		0	

Orientation chronologique : Atelier

- F. 5043, Sd. 502, Us 2

Contexte	famille	type/s. type	NR	%NR	NMI	%NMI	EqV	%EqV
F5043-Sd502-US2	BAIS	0	10	100%	0		0	
F5043-Sd502-US2	BAIS	total famille	10	100%	0		0	
F5043-Sd502-US2	total		10		0		0	

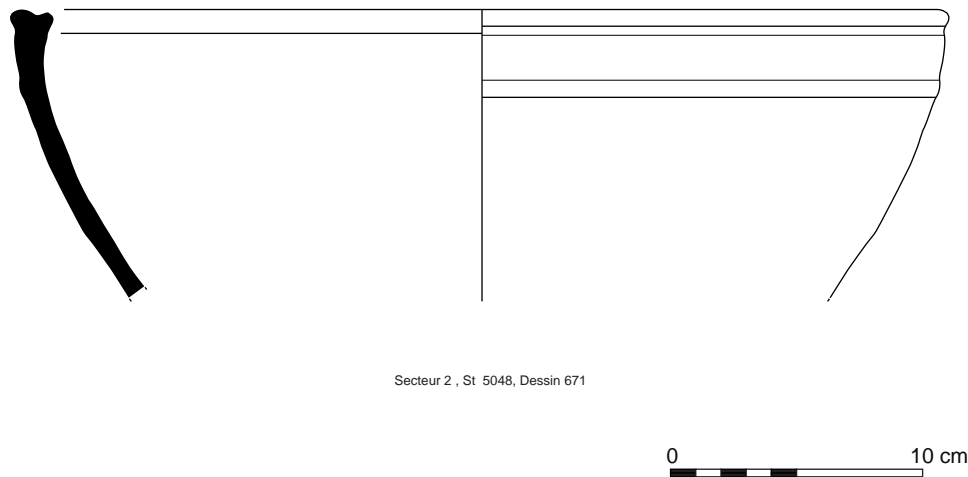
Orientation chronologique : Atelier

- F. 5048 (fig. 322)

Contexte	famille	type/s. type	NR	%NR	NMI	%NMI	EqV	%EqV
F5048	BAIS	0	38	88.4%	1	20.0%	0	
F5048	BAIS	2a(v)	2	4.7%	1	20.0%	0.09	39.9%
F5048	BAIS	2d	1	2.3%	1	20.0%	0.06	24.2%
F5048	BAIS	2ind	1	2.3%	1	20.0%	0	
F5048	BAIS	3b	1	2.3%	1	20.0%	0.08	33.8%
F5048	BAIS	total famille	43	100%	5	100%	0.23	100%
F5048	total		43		5		0.23	0.17%

Le seul élément remarquable au sein de ce contexte est la présence d'une variante du type 2a et d'un récipient de type 3b qui affiche des traces d'utilisation.

Orientation chronologique : Atelier



Secteur 2, St 5048, Dessin 671

Fig. 322 : céramique découverte au sein du contexte F. 5048 © N. Ménez

- F. 5049

Contexte	famille	type/s. type	NR	%NR	NMI	%NMI	EqV	%EqV
F5049	BAIS	0	3	100%	1	100%	0	
F5049	BAIS	total famille	3	100%	1	100%	0	
F5049	total		3		1		0	

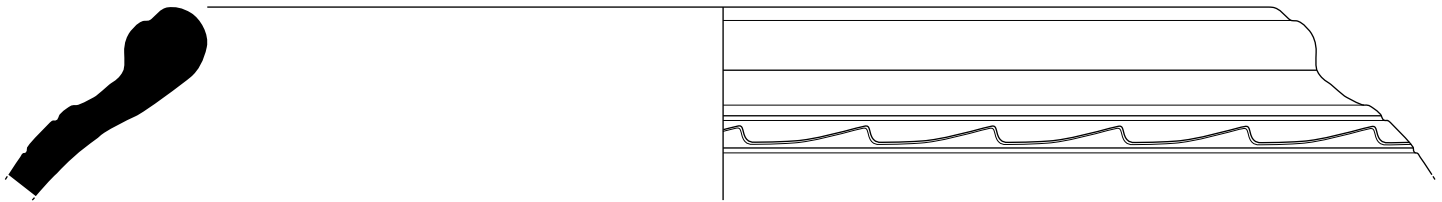
Orientation chronologique : Atelier

- F. 5050/F. 5236, Sd. 583 (fig. 323)

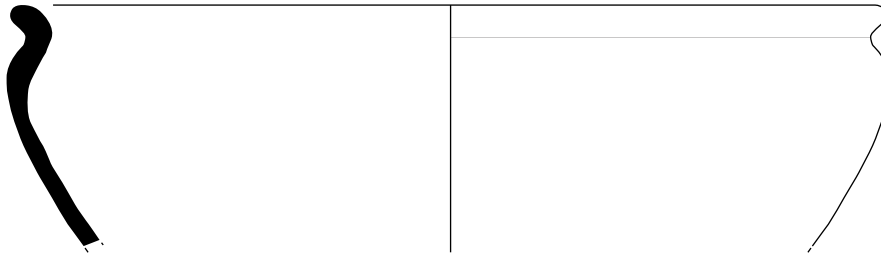
Contexte	famille	type/s. type	NR	%NR	NMI	%NMI	EqV	%EqV
F5050/5236-Sd583	BAIS	0	42	76.4%	0		0	
F5050/5236-Sd583	BAIS	1c(v)	1	1.8%	1	20.0%	0.10	17.7%
F5050/5236-Sd583	BAIS	2d	3	5.5%	2	40.0%	0.19	34.3%
F5050/5236-Sd583	BAIS	2ind	1	1.8%	1	20.0%	0	
F5050/5236-Sd583	BAIS	3b	8	14.5%	1	20.0%	0.26	48.0%
F5050/5236-Sd583	BAIS	total famille	55	100%	5	100%	0.55	100%
F5050/5236-Sd583	total		55		5		0.55	0.42%

La présence d'une variante du type 1c est le seul élément notable révélé par ce contexte.

Orientation chronologique : Atelier



Secteur 2 , St 5050/5236, Sd. 583, Dessin 674



Secteur 2 , St 5050/5236, Sd. 583, Dessin 677



Fig. 323 : céramiques découvertes au sein du contexte F. 5050/F. 5236, Sd. 583 © N. Ménez

• F. 5052

Contexte	famille	type/s. type	NR	%NR	NMI	%NMI	EqV	%EqV
F5052	BAIS	0	23	100%	0		0	
F5052	BAIS	total famille	23	100%	0		0	
F5052	total		23		0		0	

Orientation chronologique : Atelier

• F. 5053

Contexte	famille	type/s. type	NR	%NR	NMI	%NMI	EqV	%EqV
F5053	BAIS	0	12	85.7%	0		0	
F5053	BAIS	2d(v)	1	7.1%	1	50.0%	0.07	55.6%
F5053	BAIS	3b	1	7.1%	1	50.0%	0.06	46.3%
F5053	BAIS	total famille	14	100%	2	100%	0.12	100%
F5053	total		14		2		0.12	0.09%

On notera ici la présence d'une variante du type 2d.

Orientation chronologique : Atelier

• F. 5056

Contexte	famille	type/s. type	NR	%NR	NMI	%NMI	EqV	%EqV
F5056	BAIS	0	19	86.4%	0		0	
F5056	BAIS	1ind	1	4.5%	1	33.3%	0	
F5056	BAIS	2d	1	4.5%	1	33.3%	0.05	55.6%
F5056	BAIS	3a	1	4.5%	1	33.3%	0.04	43.2%
F5056	BAIS	total famille	22	100%	3	100%	0.09	100%
F5056	total		22		3		0.09	0.07%

Orientation chronologique : Atelier• F. 5059 (fig. 324)

Contexte	famille	type/s. type	NR	%NR	NMI	%NMI	EqV	%EqV
F5059	BAIS	0	179	84.8%	14	50.0%	0	
F5059	BAIS	10	1	0.5%	1	3.6%	1.00	28.7%
F5059	BAIS	1b(v)	1	0.5%	1	3.6%	0.07	2.07%
F5059	BAIS	2a	5	2.4%	3	10.7%	0.61	17.4%
F5059	BAIS	2b(v)	3	1.4%	2	7.1%	0.31	8.76%
F5059	BAIS	2d	14	6.6%	4	14.3%	1.12	32.2%
F5059	BAIS	2ind	2	0.9%	1	3.6%	0	
F5059	BAIS	3a	6	2.8%	2	7.1%	0.39	11.1%
F5059	BAIS	total famille	211	100%	28	100%	3.49	100%
F5059	total		211	1%	28	2%	3.49	2.65%

Ce contexte livre un lot relativement important de mobilier constitué de 211 NR pour un nombre minimum d'individus estimé à 28 ; tous sont issus de l'atelier. Le type 2 et ses sous-types (a, b et d) est le plus représenté avec 10 individus. On note également la présence de variantes des types 1b et 2b.

Orientation chronologique : Atelier

Lames minces N°94-95-96-97-98-99-100-101

• F. 5059, Us fond de la fosse (fig. 325)

Contexte	famille	type/s. type	NR	%NR	NMI	%NMI	EqV	%EqV
F5059-USFond du four	BAIS	0	2	66.7%	0		0	
F5059-USFond du four	BAIS	2c	1	33.3%	1	100%	0.15	100%
F5059-USFond du four	BAIS	total famille	3	100%	1	100%	0.15	100%
F5059-USFond du four	total		3		1		0.15	0.11%

Orientation chronologique : Atelier

Lame mince N°102

Synthèse sur la structure F.5059

Cette structure livre un total de 29 individus, mais aucun type ne se distingue des autres du point de vue quantitatif (fig. 441).

• F. 5061, Sd. 540

Contexte	famille	type/s. type	NR	%NR	NMI	%NMI	EqV	%EqV
F5061-Sd540	BAIS	0	10	71.4%	0		0	
F5061-Sd540	BAIS	3a	4	28.6%	1	100%	0.12	97.2%
F5061-Sd540	BAIS	total famille	14	100%	1	100%	0.12	100%
F5061-Sd540	total		14		1		0.12	0.09%

Orientation chronologique : Atelier

Lame mince N°157

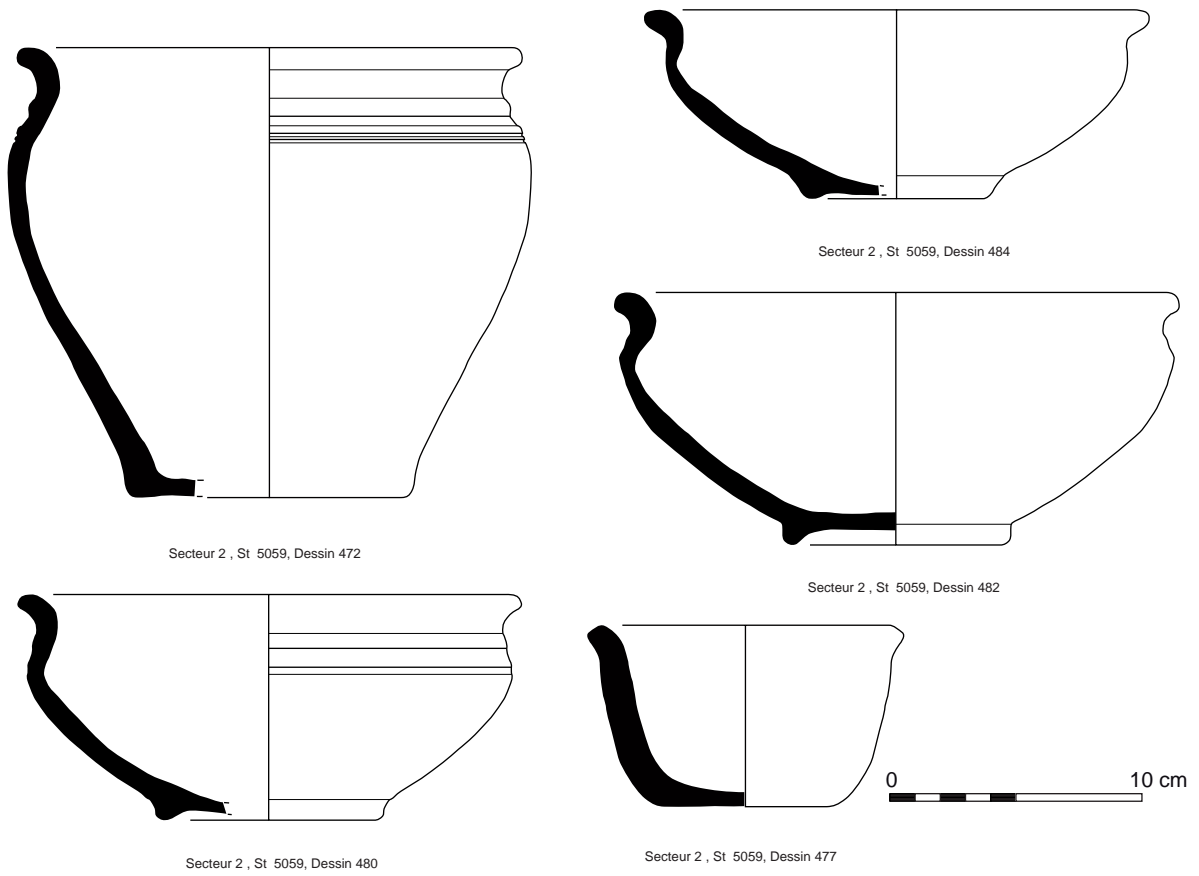


Fig 324 : céramiques découvertes au sein du contexte F. 5059 © N. Ménez

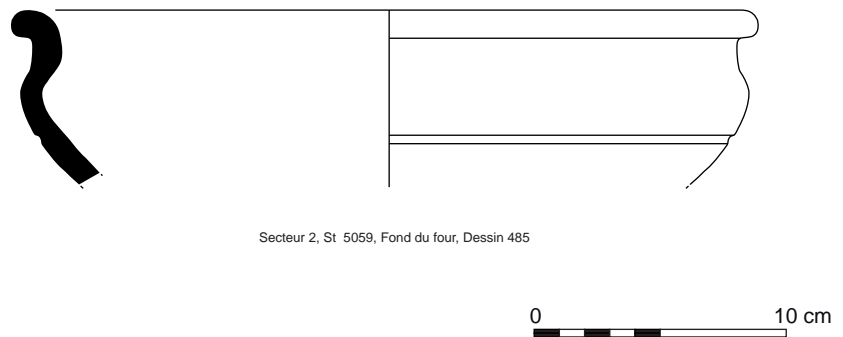


Fig. 325 : céramique découverte au sein du contexte F. 5059, Us fond du four © N. Ménez

- F. 5061, Sd. 547

Contexte	famille	type/s. type	NR	%NR	NMI	%NMI	EqV	%EqV
F5062-Sd547	BAIS	0	4	100%	0	100%	0	
F5062-Sd547	BAIS	total famille	4	100%	0	100%	0	
F5062-Sd547	total		4		0		0	

Orientation chronologique : Atelier

- F. 5062, Sd. 545

Contexte	famille	type/s. type	NR	%NR	NMI	%NMI	EqV	%EqV
F5062-Sd545	BAIS	0	38	100%	5	100%	0	
F5062-Sd545	BAIS	total famille	38	100%	5	100%	0	
F5062-Sd545	total		38		5		0	

Orientation chronologique : Atelier

- F. 5066

Contexte	famille	type/s. type	NR	%NR	NMI	%NMI	EqV	%EqV
F5066	EXO	total famille	6	100%	1	100%	0	
F5066	total		6		1		0	

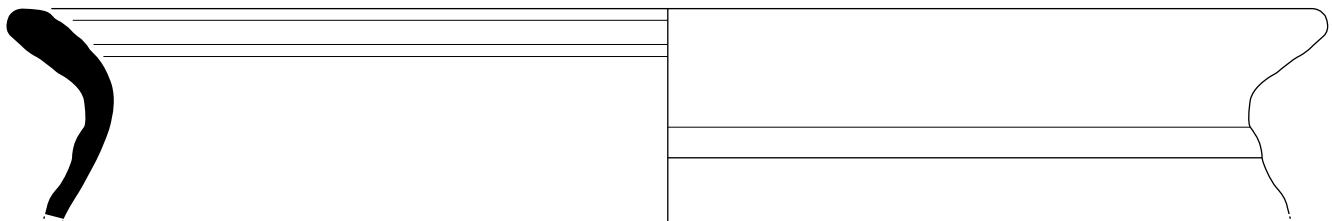
L'ensemble des 6 tessons découverts dans ce contexte n'ont pas été produits dans l'atelier. De petites dimensions, seule la facture de leurs pâtes permet de les dater et de proposer une orientation chronologique autour du second âge du Fer.

Orientation chronologique : 2^e âge du Fer.

- F. 5066, Sd. 505, Us 1 (fig. 326)

Contexte	famille	type/s. type	NR	%NR	NMI	%NMI	EqV	%EqV
F5066-Sd505-US1	BAIS	0	11	84.6%	0		0	
F5066-Sd505-US1	BAIS	8b	1	7.7%	1	50.0%	0.06	72.9%
F5066-Sd505-US1	BAIS	8ind	1	7.7%	1	50.0%	0.02	20.8%
F5066-Sd505-US1	BAIS	total famille	13	100%	2	100%	0.08	100%
F5066-Sd505-US1	total		13		2		0.08	0.06%

Orientation chronologique : Atelier



Secteur 2, St 5066, Sd. 505, Us 1, Dessin 446

0 10 cm

Fig 326 : céramique découverte au sein du contexte F. 5066, Sd. 505, Us 1 © N. Ménez

- F. 5068

Contexte	famille	type/s. type	NR	%NR	NMI	%NMI	EqV	%EqV
F5068	BAIS	0	2	50.0%	0		0	
F5068	BAIS	2d	2	50.0%	1	100%	0.08	97.2%
F5068	BAIS	total famille	4	100%	1	100%	0.08	100%
F5068	total		4		1		0.08	0.06%

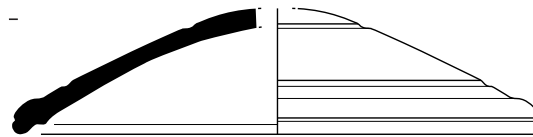
Orientation chronologique : Atelier

Lame mince N°171

- F. 5069 (fig. 327)

Contexte	famille	type/s. type	NR	%NR	NMI	%NMI	EqV	%EqV
F5069	BAIS	0	3	75.0%	1	50.0%	0	
F5069	BAIS	7	1	25.0%	1	50.0%	0.09	98.8%
F5069	BAIS	total famille	4	100%	2	100%	0.09	100%
F5069	total		4		2		0.09	0.07%

Orientation chronologique : Atelier



Secteur 2, St 5069, Dessin 449

0 10 cm

Fig. 327 : céramique découverte au sein du contexte F. 5069 © N. Ménéz

- F. 5070

Contexte	famille	type/s. type	NR	%NR	NMI	%NMI	EqV	%EqV
F5070	BAIS	0	2	100%	1	100%	0	
F5070	BAIS	total famille	2	100%	1	100%	0	
F5070	total		2		1		0	

Orientation chronologique : Atelier

- F. 5075

Contexte	famille	type/s. type	NR	%NR	NMI	%NMI	EqV	%EqV
F5075	BAIS	0	17	100%	1	100%	0	
F5075	BAIS	total famille	17	100%	1	100%	0	
F5075	total		17		1		0	

Orientation chronologique : Atelier

- F. 5076

Contexte	famille	type/s. type	NR	%NR	NMI	%NMI	EqV	%EqV
F5076	BAIS	0	5	100%	0		0	
F5076	BAIS	total famille	5	100%	0		0	
F5076	total		5		0		0	

Orientation chronologique : Atelier

- F. 5078

Contexte	famille	type/s. type	NR	%NR	NMI	%NMI	EqV	%EqV
F5078	BAIS	0	1	100%	0		0	
F5078	BAIS	total famille	1	100%	0		0	
F5078	total		1		0		0	

Orientation chronologique : Atelier

- F. 5078, Sd. 612

Contexte	famille	type/s. type	NR	%NR	NMI	%NMI	EqV	%EqV
F5078-Sd612	BAIS	0	90	90.9%	1	25.0%	0	
F5078-Sd612	BAIS	1ind	1	1.0%	1	25.0%	0	
F5078-Sd612	BAIS	2b(v)	7	7.1%	1	25.0%	0.21	81.2%
F5078-Sd612	BAIS	3b	1	1.0%	1	25.0%	0.05	19.2%
F5078-Sd612	BAIS	total famille	99	100%	4	100%	0.26	100%
F5078-Sd612	total		99		4		0.26	0.20%

Le seul élément notable issu de ce contexte est la présence d'un grand pot de type 2b (variante) qui comporte des traces d'utilisation (sue).

Orientation chronologique : Atelier

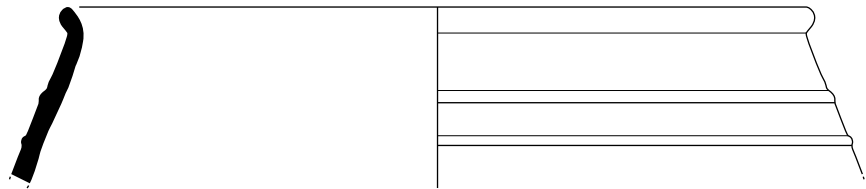
- F. 5083

Contexte	famille	type/s. type	NR	%NR	NMI	%NMI	EqV	%EqV
F5083	BAIS	0	6	100%	0		0	
F5083	BAIS	total famille	6	100%	0		0	
F5083	total		6		0		0	

Orientation chronologique : Atelier

- F. 5083, Us 2 (fig. 328)

Contexte	famille	type/s. type	NR	%NR	NMI	%NMI	EqV	%EqV
F5083-US2	BAIS	0	71	91.0%	3	42.9%	0	
F5083-US2	BAIS	1c	1	1.3%	1	14.3%	0.16	31.1%
F5083-US2	BAIS	3a(v)	1	1.3%	1	14.3%	0.03	5.56%
F5083-US2	BAIS	3b	3	3.8%	1	14.3%	0.21	41.7%
F5083-US2	BAIS	6b	2	2.6%	1	14.3%	0.11	21.1%
F5083-US2	BAIS	total famille	78	100%	7	100%	0.50	100%
F5083-US2	total		78		7		0.50	0.38%



Secteur 2, St 5083, Us 2, Dessin 502



Fig. 328 : céramique découverte au sein du contexte F. 5083, Us 2 © N. Ménéz

Sur les 7 individus estimés ici, le seul remarquable est une variante du type 3a.

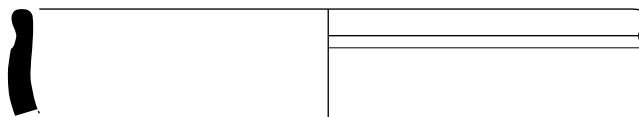
Orientation chronologique : Atelier

Lame mince N°170

- F. 5083, Us 3 et 4 (fig. 329)

Contexte	famille	type/s. type	NR	%NR	NMI	%NMI	EqV	%EqV
F5083-US3 et 4	BAIS	0	36	94.7%	1	33.3%	0	
F5083-US3 et 4	BAIS	11	1	2.6%	1	33.3%	0.07	46.3%
F5083-US3 et 4	BAIS	3b	1	2.6%	1	33.3%	0.08	55.6%
F5083-US3 et 4	BAIS	total famille	38	100%	3	100%	0.15	100%
F5083-US3 et 4	total		38		3		0.15	0.11%

Orientation chronologique : Atelier



Secteur 2, St 5083, Us 3 et 4, Dessin 506



Fig. 329 : céramique découverte au sein du contexte F. 5083, Us 3 et 4 © N. Ménéz

Lame mince N°178

- F. 5083, Sd. 554

Contexte	famille	type/s. type	NR	%NR	NMI	%NMI	EqV	%EqV
F5083-Sd554	BAIS	0	46	86.8%	0		0	
F5083-Sd554	BAIS	2d	7	13.2%	2	100%	0.52	99.4%
F5083-Sd554	BAIS	total famille	53	100%	2	100%	0.52	100%
F5083-Sd554	total		53		2		0.52	0.39%

Orientation chronologique : Atelier

- F. 5083, Sd. 564 (fig. 330)

Contexte	famille	type/s. type	NR	%NR	NMI	%NMI	EqV	%EqV
F5083-Sd564	B-NT	4	1	100%	1	100%	0.04	111%
F5083-Sd564	B-NT	total famille	1	0.8%	1	9.1%	0.04	4.94%
F5083-Sd564	BAIS	0	103	91.2%	4	44.4%	0	
F5083-Sd564	BAIS	2a(v)	5	4.4%	1	11.1%	0.34	66.2%
F5083-Sd564	BAIS	2ind	1	0.9%	1	11.1%	0	
F5083-Sd564	BAIS	3a	2	1.8%	2	22.2%	0.08	16.0%
F5083-Sd564	BAIS	8b	2	1.8%	1	11.1%	0.09	17.1%
F5083-Sd564	BAIS	total famille	113	95.8%	9	81.8%	0.52	64.2%
F5083-Sd564	EXO	total famille	4	3.4%	1	9.1%	0.25	30.9%
F5083-Sd564	total		118	1%	11	1%	0.81	0.61%

L'écrasante majorité des fragments de céramique révélés par ce contexte correspondent à des productions de l'atelier, qu'elles soient tournées ou, dans une moindre mesure, modelées. Seul un individu est de production exogène ; il s'agit d'un pot à lèvres éversées dont l'épaule est souligné par une baguette horizontale. Il trouve des comparaisons, dans l'Ouest, dans des contextes datés entre La Tène moyenne et La Tène finale. On observe également la présence d'une variante du type 2a.

Orientation chronologique : Atelier + Exo

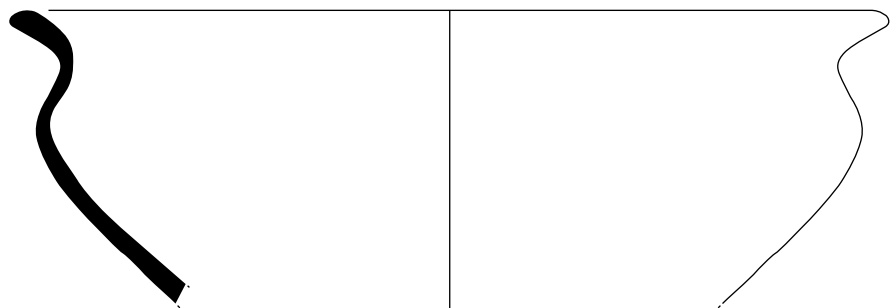
Lames minces N°168-169-172

Synthèse sur la structure F.5083

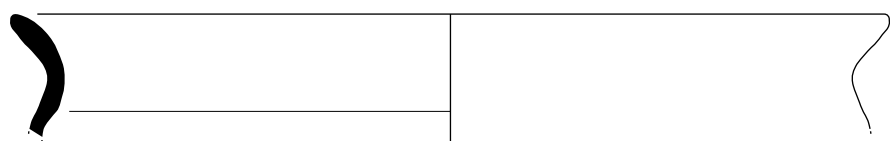
A travers les quelques sondages dont elle a fait l'objet, cette structure livre un total de 21 individus. Aucun type ne se distingue toutefois des autres du point de vue quantitatif (fig. 441).



Secteur 2, St 5083, Sd. 554, Dessin 494



Secteur 2, St 5083, Sd. 554, Dessin 493



Secteur 2, St 5083, Sd. 564, Dessin 496

0 10 cm

Fig. 330 : céramiques découvertes au sein du contexte F. 5083, Sd. 564 © N. Ménez

- F. 5084

Contexte	famille	type/s. type	NR	%NR	NMI	%NMI	EqV	%EqV
F5084	BAIS	0	11	84.6%	0		0	
F5084	BAIS	2ind	2	15.4%	1	100%	0	
F5084	BAIS	total famille	13	100%	1	100%	0	
F5084	total		13		1		0	

Orientation chronologique : Atelier

- F. 5085

Contexte	famille	type/s. type	NR	%NR	NMI	%NMI	EqV	%EqV
F5085	BAIS	0	3	60.0%	0		0	
F5085	BAIS	7	2	40.0%	1	100%	0.04	104%
F5085	BAIS	total famille	5	100%	1	100%	0.04	100%
F5085	total		5		1		0.04	0.03%

Orientation chronologique : Atelier

Dessin N°452

- F. 5085, Sd. 503, Us 1

Contexte	famille	type/s. type	NR	%NR	NMI	%NMI	EqV	%EqV
F5085-Sd503-US1	BAIS	0	3	100%	0		0	
F5085-Sd503-US1	BAIS	total famille	3	100%	0		0	
F5085-Sd503-US1	total		3		0		0	

Orientation chronologique : Atelier

- F. 5085, Sd. 604, Us 1

Contexte	famille	type/s. type	NR	%NR	NMI	%NMI	EqV	%EqV
F5085-Sd604-US1	BAIS	0	1	50.0%	0		0	
F5085-Sd604-US1	BAIS	1ind	1	50.0%	1	100%	0	
F5085-Sd604-US1	BAIS	total famille	2	100%	1	100%	0	
F5085-Sd604-US1	total		2		1		0	

Orientation chronologique : Atelier

- F. 5085, Sd. 605, Us 1

Contexte	famille	type/s. type	NR	%NR	NMI	%NMI	EqV	%EqV
F5085-Sd605-US1	BAIS	0	2	100%	0		0	
F5085-Sd605-US1	BAIS	total famille	2	100%	0		0	
F5085-Sd605-US1	total		2		0		0	

Orientation chronologique : Atelier

- F. 5085, Sd. 611

Contexte	famille	type/s. type	NR	%NR	NMI	%NMI	EqV	%EqV
F5085-Sd611	BAIS	0	4	100%	0		0	
F5085-Sd611	BAIS	total famille	4	100%	0		0	
F5085-Sd611	total		4		0		0	

Orientation chronologique : Atelier

- F. 5087

Contexte	famille	type/s. type	NR	%NR	NMI	%NMI	EqV	%EqV
F5087	BAIS	0	11	73.3%	0		0	
F5087	BAIS	2ind	4	26.7%	1	100%	0	
F5087	BAIS	total famille	15	100%	1	100%	0	
F5087	total		15		1		0	

Orientation chronologique : Atelier

- F. 5087, Us 1

Contexte	famille	type/s. type	NR	%NR	NMI	%NMI	EqV	%EqV
F5087-US1	BAIS	0	9	90.0%	1	50.0%	0	
F5087-US1	BAIS	2ind	1	10.0%	1	50.0%	0	
F5087-US1	BAIS	total famille	10	100%	2	100%	0	
F5087-US1	total		10		2		0	

Orientation chronologique : Atelier

- F. 5088 (fig. 331)

Contexte	famille	type/s. type	NR	%NR	NMI	%NMI	EqV	%EqV
F5088	BAIS	0	100	86.2%	3	21.4%	0	
F5088	BAIS	1b	1	0.9%	1	7.1%	0.11	7.61%
F5088	BAIS	2a	6	5.2%	3	21.4%	0.32	21.9%
F5088	BAIS	2c	2	1.7%	1	7.1%	0.11	7.23%
F5088	BAIS	2ind	1	0.9%	1	7.1%	0	
F5088	BAIS	3a	2	1.7%	1	7.1%	0.11	7.23%
F5088	BAIS	3b	2	1.7%	2	14.3%	0.14	9.51%
F5088	BAIS	7	1	0.9%	1	7.1%	0.50	34.3%
F5088	BAIS	9	1	0.9%	1	7.1%	0.18	12.2%
F5088	BAIS	total famille	116	99.1%	14	93.3%	1.46	100%
F5088	EXO	total famille	1	0.9%	1	6.7%	0	
F5088	total		117	1%	15	1%	1.46	1.11%

L'essentiel des artefacts mis au jour dans ce contexte (117 restes pour 15 individus estimés) s'apparente à des tessons issus de l'atelier de Bais. On note toutefois l'existence d'un récipient de production exogène qui trouve des comparaisons régionales dans des contextes datés de La Tène finale et qui affiche des traces d'utilisation. On remarque également la présence, vraisemblablement intrusive, d'un fragment de céramique grésée datée de la période médiévale ou moderne.

Orientation chronologique : Atelier

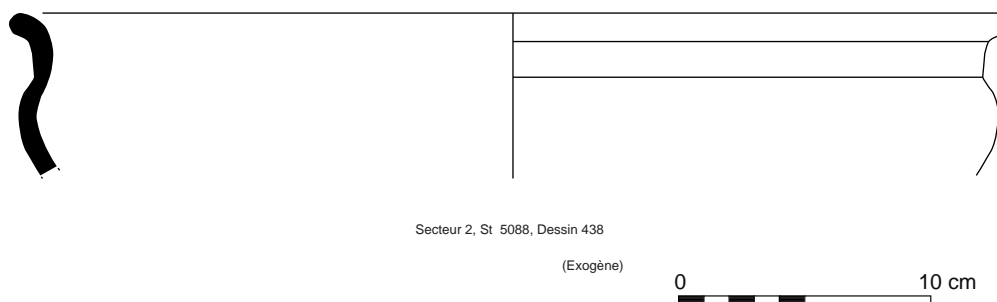


Fig. 331 : céramique exogène découverte au sein du contexte F. 5088 © N. Ménez

Lames minces N°68-69-70

- F. 5088, Us de décapage (fig. 332)

Contexte	famille	type/s. type	NR	%NR	NMI	%NMI	EqV	%EqV
F5088-USDécapage	BAIS	0	470	95.7%	11	44.0%	0	
F5088-USDécapage	BAIS	2b	1	0.2%	1	4.0%	0.06	6.11%
F5088-USDécapage	BAIS	2c(v)	3	0.6%	1	4.0%	0.13	13.3%
F5088-USDécapage	BAIS	2d	8	1.6%	5	20.0%	0.45	45.3%
F5088-USDécapage	BAIS	2ind	4	0.8%	3	12.0%	0	
F5088-USDécapage	BAIS	3a	1	0.2%	1	4.0%	0.06	5.83%
F5088-USDécapage	BAIS	3b	2	0.4%	1	4.0%	0.06	6.11%
F5088-USDécapage	BAIS	6ind	1	0.2%	1	4.0%	0.01	1.39%
F5088-USDécapage	BAIS	7	1	0.2%	1	4.0%	0.22	22.2%
F5088-USDécapage	BAIS	total famille	491	100%	25	100%	1.00	100%
F5088-USDécapage	total		491	2%	25	2%	1.00	0.76%

Le décapage de la structure F. 5088 révèle un lot important de mobilier issu de l'atelier constitué de 491 tessons pour un nombre minimum d'individus estimé à 25. Aucun type ne se distingue numériquement des autres. On note toutefois la présence d'une variante du type 2c.

Orientation chronologique : Atelier

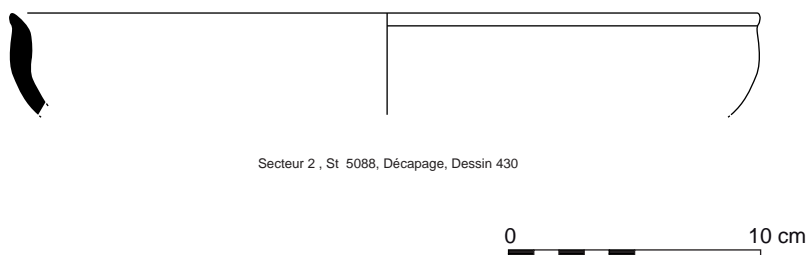


Fig. 332 : céramique découverte au sein du contexte F. 5088, Us de décapage © N. Ménez

Lames minces N°56-57-58-59-60-61-62-63

Synthèse sur la structure F. 5088

Cette structure livre un total de 39 individus, mais aucun type ne se distingue réellement des autres du point de vue quantitatif (fig. 441).

- F. 5090/F. 5092

Contexte	famille	type/s. type	NR	%NR	NMI	%NMI	EqV	%EqV
F5090/5092	BAIS	0	2	100%	0		0	
F5090/5092	BAIS	total famille	2	100%	0		0	
F5090/5092	total		2		0		0	

Orientation chronologique : Atelier

- F. 5091

Contexte	famille	type/s. type	NR	%NR	NMI	%NMI	EqV	%EqV
F5091	BAIS	0	2	66.7%	0		0	
F5091	BAIS	1ind	1	33.3%	1	100%	0	
F5091	BAIS	total famille	3	100%	1	100%	0	
F5091	total		3		1		0	

Orientation chronologique : Atelier

- F. 5092

Contexte	famille	type/s. type	NR	%NR	NMI	%NMI	EqV	%EqV
F5092	BAIS	0	54	100%	0		0	
F5092	BAIS	total famille	54	100%	0		0	
F5092	total		54		0		0	

Orientation chronologique : Atelier

- F. 5092, Sd. 508

Contexte	famille	type/s. type	NR	%NR	NMI	%NMI	EqV	%EqV
F5092-Sd508	BAIS	0	43	97.7%	3	75.0%	0	
F5092-Sd508	BAIS	1a	1	2.3%	1	25.0%	0.06	92.6%
F5092-Sd508	BAIS	total famille	44	100%	4	100%	0.06	100%
F5092-Sd508	total		44		4		0.06	0.05%

Orientation chronologique : Atelier

- F. 5092, Sd. 514

Contexte	famille	type/s. type	NR	%NR	NMI	%NMI	EqV	%EqV
F5092-Sd514	BAIS	0	81	81.8%	3	27.3%	0	
F5092-Sd514	BAIS	2a	3	3.0%	1	9.1%	0.25	23.2%
F5092-Sd514	BAIS	2a(v)	3	3.0%	1	9.1%	0.18	16.5%
F5092-Sd514	BAIS	2b(v)	6	6.1%	1	9.1%	0.09	8.74%
F5092-Sd514	BAIS	2d	4	4.0%	3	27.3%	0.39	36.0%
F5092-Sd514	BAIS	3a	1	1.0%	1	9.1%	0.06	5.66%
F5092-Sd514	BAIS	4	1	1.0%	1	9.1%	0.11	9.77%
F5092-Sd514	BAIS	total famille	99	100%	11	100%	1.08	100%
F5092-Sd514	total		99		11	1%	1.08	0.82%

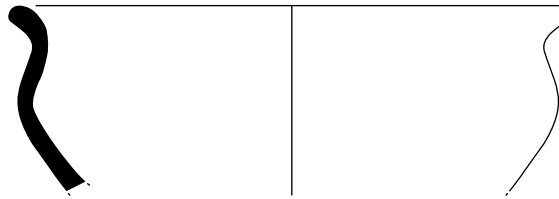
Sur les 11 individus (pour 99 restes) issus de l'atelier recensés dans ce contexte, les seuls éléments notables correspondent à des variantes des types 2a et 2b.

Orientation chronologique : Atelier

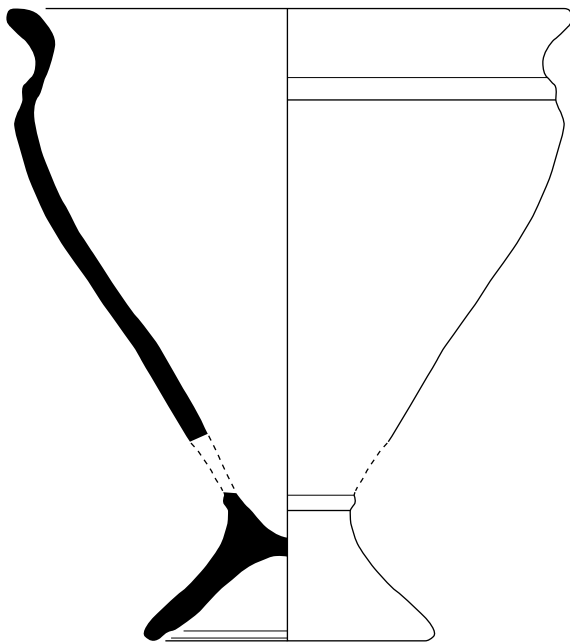
• F. 5092, Sd. 515 (fig. 333)

Contexte	famille	type/s. type	NR	%NR	NMI	%NMI	EqV	%EqV
F5092-Sd515	BAIS	0	124	82.1%	4	26.7%	0	
F5092-Sd515	BAIS	2a	7	4.6%	1	6.7%	0.34	16.3%
F5092-Sd515	BAIS	2b	10	6.6%	4	26.7%	1.22	58.1%
F5092-Sd515	BAIS	2d	7	4.6%	3	20.0%	0.40	19.2%
F5092-Sd515	BAIS	2ind	1	0.7%	1	6.7%	0	
F5092-Sd515	BAIS	3a	1	0.7%	1	6.7%	0.08	3.70%
F5092-Sd515	BAIS	7	1	0.7%	1	6.7%	0.06	2.91%
F5092-Sd515	BAIS	total famille	151	100%	15	100%	2.10	100%
F5092-Sd515	total		151	1%	15	1%	2.10	1.59%

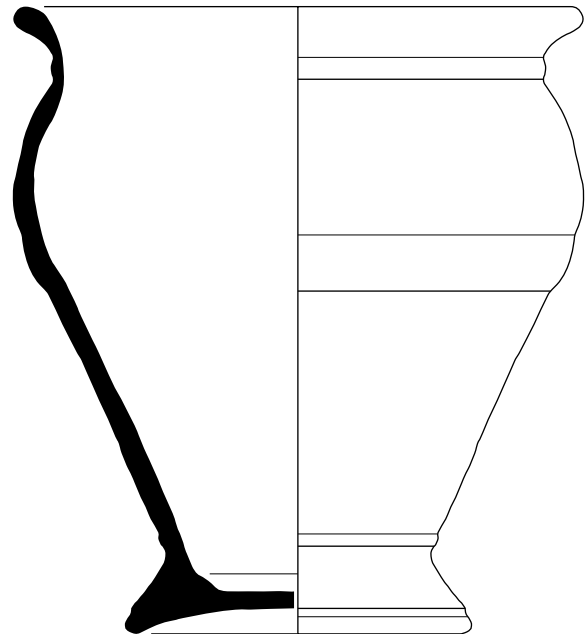
Orientation chronologique : Atelier



Secteur 2, St 5092, Sd. 515, Dessin 539



Secteur 2, St 5092, Sd. 515, Dessin 541



Secteur 2, St 5092, Sd. 515, Dessin 544



Fig. 333 : céramiques découvertes au sein du contexte F. 5092, Sd. 515 © N. Ménez

- F. 5092, Sd. 516

Contexte	famille	type/s. type	NR	%NR	NMI	%NMI	EqV	%EqV
F5092-Sd516	BAIS	0	14	87.5%	0		0	
F5092-Sd516	BAIS	2c	2	12.5%	1	100%	0.06	92.6%
F5092-Sd516	BAIS	total famille	16	100%	1	100%	0.06	100%
F5092-Sd516	total		16		1		0.06	0.05%

Orientation chronologique : Atelier

- F. 5092, Sd. 517

Contexte	famille	type/s. type	NR	%NR	NMI	%NMI	EqV	%EqV
F5092-Sd517	BAIS	0	2	66.7%	0		0	
F5092-Sd517	BAIS	8ind	1	33.3%	1	100%	0.04	104%
F5092-Sd517	BAIS	total famille	3	100%	1	100%	0.04	100%
F5092-Sd517	total		3		1		0.04	0.03%

Orientation chronologique : Atelier

- F. 5092, Sd. 518

Contexte	famille	type/s. type	NR	%NR	NMI	%NMI	EqV	%EqV
F5092-Sd518	BAIS	0	2	100%	0		0	
F5092-Sd518	BAIS	total famille	2	100%	0		0	
F5092-Sd518	total		2		0		0	

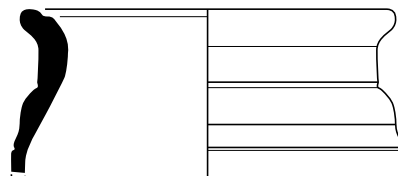
Orientation chronologique : Atelier

- F. 5092, Sd. 540 (fig. 334)

Contexte	famille	type/s. type	NR	%NR	NMI	%NMI	EqV	%EqV
F5092-Sd540	BAIS	0	33	78.6%	3	30.0%	0	
F5092-Sd540	BAIS	2a	1	2.4%	1	10.0%	0.13	29.8%
F5092-Sd540	BAIS	2b	1	2.4%	1	10.0%	0.01	3.31%
F5092-Sd540	BAIS	2d	1	2.4%	1	10.0%	0.24	58.2%
F5092-Sd540	BAIS	2ind	5	11.9%	3	30.0%	0	
F5092-Sd540	BAIS	7	1	2.4%	1	10.0%	0.03	7.94%
F5092-Sd540	BAIS	total famille	42	100%	10	100%	0.42	100%
F5092-Sd540	total		42		10	1%	0.42	0.32%

Orientation chronologique : Atelier

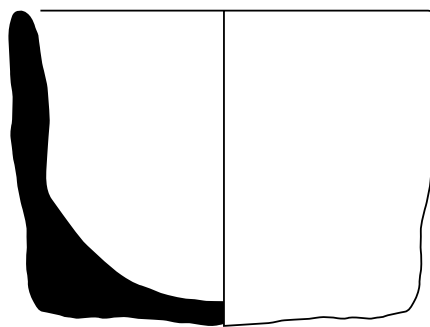
Fig. 334 : céramique découverte au sein du contexte F. 5092, Sd. 540 © N. Ménez



• F. 5092, Sd. 542 (fig. 335)

Contexte	famille	type/s. type	NR	%NR	NMI	%NMI	EqV	%EqV
F5092-Sd542	BAIS	0	117	90.7%	9	45.0%	0	
F5092-Sd542	BAIS	10	1	0.8%	1	5.0%	0.32	34.4%
F5092-Sd542	BAIS	2a	1	0.8%	1	5.0%	0.04	4.78%
F5092-Sd542	BAIS	2a(v)	3	2.3%	2	10.0%	0.24	26.3%
F5092-Sd542	BAIS	2b(v)	1	0.8%	1	5.0%	0.13	13.7%
F5092-Sd542	BAIS	2d	1	0.8%	1	5.0%	0.04	4.48%
F5092-Sd542	BAIS	2ind	3	2.3%	3	15.0%	0	
F5092-Sd542	BAIS	3a	2	1.6%	2	10.0%	0.15	15.8%
F5092-Sd542	BAIS	total famille	129	100%	20	100%	0.93	100%
F5092-Sd542	total		129	1%	20	1%	0.93	0.71%

Orientation chronologique : Atelier



Secteur 2 , St 5092, Sd. 542, Dessin 551

Fig. 335 : céramique découverte au sein du contexte F. 5092, Sd. 542 © N. Ménéz

Lames minces N°71-72-73

• F. 5092, Sd. 543

Contexte	famille	type/s. type	NR	%NR	NMI	%NMI	EqV	%EqV
F5092-Sd543	BAIS	0	41	100%	1	100%	0	
F5092-Sd543	BAIS	total famille	41	100%	1	100%	0	
F5092-Sd543	total		41		1		0	

Orientation chronologique : Atelier

• F. 5092, Sd. 544 (fig. 336)

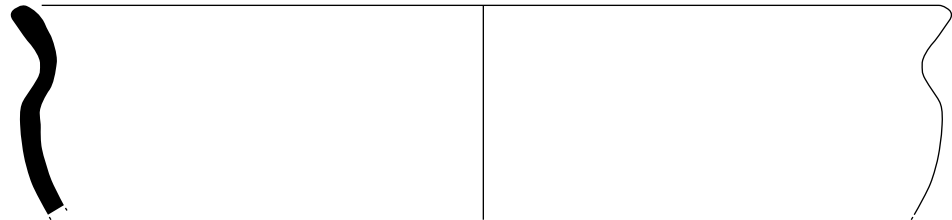
Contexte	famille	type/s. type	NR	%NR	NMI	%NMI	EqV	%EqV
F5092-Sd544	BAIS	0	196	94.2%	11	50.0%	0	
F5092-Sd544	BAIS	1ind	2	1.0%	1	4.5%	0	
F5092-Sd544	BAIS	2a	6	2.9%	6	27.3%	0.69	76.2%
F5092-Sd544	BAIS	2d	1	0.5%	1	4.5%	0.06	6.79%
F5092-Sd544	BAIS	3a	2	1.0%	2	9.1%	0.16	17.3%
F5092-Sd544	BAIS	8ind	1	0.5%	1	4.5%	0	
F5092-Sd544	BAIS	total famille	208	100%	22	100%	0.90	100%
F5092-Sd544	total		208	1%	22	1%	0.90	0.68%

On notera ici la présence de trois pots de type 2a affichant des traces

d'utilisation.

Orientation chronologique : Atelier

Lames minces N°64-65-66



Secteur 2, St 5092, Sd. 544, Dessin 565

0 10 cm

Fig. 336 : céramique découverte au sein du contexte F. 5092, Sd. 544 © N. Ménez

- F. 5092, Sd. 565

Contexte	famille	type/s. type	NR	%NR	NMI	%NMI	EqV	%EqV
F5092-Sd565	BAIS	0	17	100%	0		0	
F5092-Sd565	BAIS	total famille	17	100%	0		0	
F5092-Sd565	total		17		0		0	

Orientation chronologique : Atelier

- F. 5092, Sd. 566

Contexte	famille	type/s. type	NR	%NR	NMI	%NMI	EqV	%EqV
F5092-Sd566	BAIS	0	13	100%	2	100%	0	
F5092-Sd566	BAIS	total famille	13	100%	2	100%	0	
F5092-Sd566	total		13		2		0	

Orientation chronologique : Atelier

- F. 5092, Sd. 567

Contexte	famille	type/s. type	NR	%NR	NMI	%NMI	EqV	%EqV
F5092-Sd567	BAIS	0	13	100%	0		0	
F5092-Sd567	BAIS	total famille	13	100%	0		0	
F5092-Sd567	total		13		0		0	

Orientation chronologique : Atelier

- F. 5092, Sd. 569

Contexte	famille	type/s. type	NR	%NR	NMI	%NMI	EqV	%EqV
F5092-Sd569	BAIS	0	18	100%	0		0	
F5092-Sd569	BAIS	total famille	18	100%	0		0	
F5092-Sd569	total		18		0		0	

Orientation chronologique : Atelier

- F. 5092, Sd. 570

Contexte	famille	type/s. type	NR	%NR	NMI	%NMI	EqV	%EqV
F5092-Sd570	BAIS	0	42	100%	0		0	
F5092-Sd570	BAIS	total famille	42	100%	0		0	
F5092-Sd570	total		42		0		0	

Orientation chronologique : Atelier

- F. 5092, Sd. 572

Contexte	famille	type/s. type	NR	%NR	NMI	%NMI	EqV	%EqV
F5092-Sd572	BAIS	0	25	83.3%	0		0	
F5092-Sd572	BAIS	2ind	5	16.7%	1	100%	0.36	99.5%
F5092-Sd572	BAIS	total famille	30	100%	1	100%	0.36	100%
F5092-Sd572	total		30		1		0.36	0.27%

Orientation chronologique : Atelier

Lame mince N°49

- F. 5092, Sd. 573

Contexte	famille	type/s. type	NR	%NR	NMI	%NMI	EqV	%EqV
F5092-Sd573	BAIS	0	12	92.3%	1	50.0%	0	
F5092-Sd573	BAIS	3ind	1	7.7%	1	50.0%	0	
F5092-Sd573	BAIS	total famille	13	100%	2	100%	0	
F5092-Sd573	total		13		2		0	

Orientation chronologique : Atelier

- F. 5092, Sd. 574

Contexte	famille	type/s. type	NR	%NR	NMI	%NMI	EqV	%EqV
F5092-Sd574	BAIS	0	28	84.8%	0		0	
F5092-Sd574	BAIS	2d	1	3.0%	1	33.3%	0	
F5092-Sd574	BAIS	2ind	2	6.1%	1	33.3%	0	
F5092-Sd574	BAIS	3b	2	6.1%	1	33.3%	0.14	103%
F5092-Sd574	BAIS	total famille	33	100%	3	100%	0.14	100%
F5092-Sd574	total		33		3		0.14	0.11%

*Orientation chronologique : Atelier***Synthèse sur la structure F.5092**

A travers les nombreux sondages dont elle a fait l'objet, cette structure livre un total de 93 individus, ce qui en fait le troisième contexte le plus prolifique du site du point de vue du mobilier. Avec 13 occurrences, le type 2a est le mieux représenté, devant le type 2d (10 occurrences). On remarque également que le type 1 et ses divers sous-types sont très peu présents avec seulement 1 occurrence. Le type 2 et ses divers sous-types représentent

43% des individus recensés (40 sur 93). On notera aussi la présence de 6 récipients de type 3a (fig. 441).

- F. 5093, Us 2

Contexte	famille	type/s. type	NR	%NR	NMI	%NMI	EqV	%EqV
F5093-US2	BAIS	0	19	86.4%	0		0	
F5093-US2	BAIS	2b(v)	3	13.6%	1	100%	0.19	99.4%
F5093-US2	BAIS	total famille	22	100%	1	100%	0.19	100%
F5093-US2	total		22		1		0.19	0.14%

On observe ici que le seul individu recensé s'apparente à une variante du type 2b.

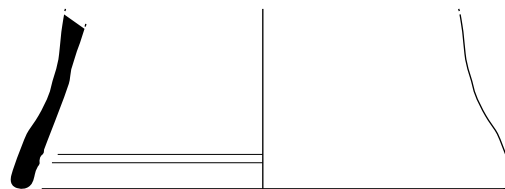
Orientation chronologique : Atelier

- F. 5095, Us 1 (fig. 337)

Contexte	famille	type/s. type	NR	%NR	NMI	%NMI	EqV	%EqV
F5095-US1	BAIS	0	56	93.3%	2	50.0%	0	
F5095-US1	BAIS	12	3	5.0%	1	25.0%	0.25	86.2%
F5095-US1	BAIS	3a	1	1.7%	1	25.0%	0.04	15.3%
F5095-US1	BAIS	total famille	60	100%	4	100%	0.29	100%
F5095-US1	total		60		4		0.29	0.22%

Le seul élément notable à propos de ce contexte est la présence, très probablement intrusive, d'un fragment de céramique antique.

Orientation chronologique : Atelier



Secteur 2, St 5095, Us 1, Dessin 455



Fig. 337 : céramique découverte au sein du contexte F. 5095, Us 1 © N. Ménez

- F. 5095, Us 2

Contexte	famille	type/s. type	NR	%NR	NMI	%NMI	EqV	%EqV
F5095-US2	EXO	total famille	13	100%	1	100%	0	
F5095-US2	total		13		1		0	

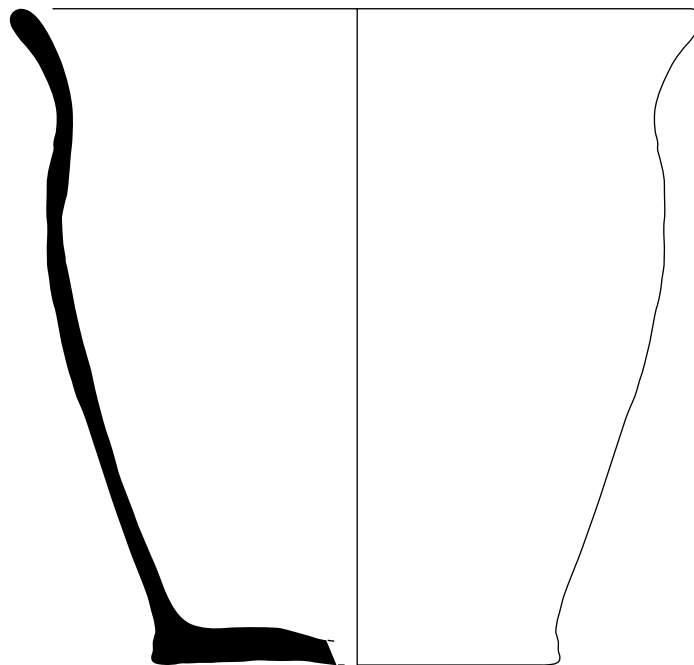
L'ensemble du petit lot (13 tessons) mis au jour au sein de ce contexte correspond à des productions exogènes. Seule la facture de leurs pâtes permet de les dater du 2^e âge du Fer sans plus de précision possible.

Orientation chronologique : 2^e âge du Fer

- F. 5097 (fig. 338)

Contexte	famille	type/s. type	NR	%NR	NMI	%NMI	EqV	%EqV
F5097	BAIS	0	46	88.5%	0		0	
F5097	BAIS	13	6	11.5%	2	100%	0.38	98.7%
F5097	BAIS	total famille	52	100%	2	100%	0.38	100%
F5097	total		52		2		0.38	0.29%

Les deux individus recensés correspondent en réalité à un seul et même vase. On observe néanmoins qu'il présente des traces de suie sur la partie externe de sa panse, laissant ainsi supposer qu'il a été utilisé.

Orientation chronologique : Atelier

Secteur 2 , St. 5097, Dessin 456

0 10 cm

Fig. 338 : céramique découverte au sein du contexte F. 5097 © N. Ménez

Lames minces N°179-184

- F. 5098, Surface

Contexte	famille	type/s. type	NR	%NR	NMI	%NMI	EqV	%EqV
F5098-USSurface	BAIS	0	10	100%	0		0	
F5098-USSurface	BAIS	total famille	10	100%	0		0	
F5098-USSurface	total		10		0		0	

Orientation chronologique : Atelier• F. 5098, Sd. 532

Contexte	famille	type/s. type	NR	%NR	NMI	%NMI	EqV	%EqV
F5098-Sd532	BAIS	0	42	93.3%	5	62.5%	0	
F5098-Sd532	BAIS	2d	1	2.2%	1	12.5%	0.04	35.4%
F5098-Sd532	BAIS	3a	1	2.2%	1	12.5%	0.03	25.3%
F5098-Sd532	BAIS	3b	1	2.2%	1	12.5%	0.04	37.9%
F5098-Sd532	BAIS	total famille	45	100%	8	100%	0.11	100%
F5098-Sd532	total		45		8	1%	0.11	0.08%

Orientation chronologique : Atelier

Lame mince N°188

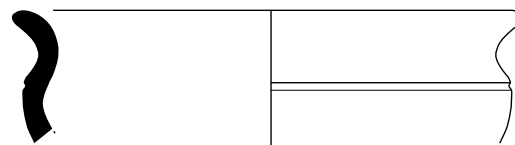
• F. 5098, Sd. 533

Contexte	famille	type/s. type	NR	%NR	NMI	%NMI	EqV	%EqV
F5098-Sd533	BAIS	0	34	91.9%	7	70.0%	0	
F5098-Sd533	BAIS	2a	1	2.7%	1	10.0%	0.11	58.5%
F5098-Sd533	BAIS	3a	2	5.4%	2	20.0%	0.08	42.4%
F5098-Sd533	BAIS	total famille	37	100%	10	100%	0.19	100%
F5098-Sd533	total		37		10	1%	0.19	0.14%

Orientation chronologique : Atelier• F. 5098, Sd. 534 (fig. 339)

Contexte	famille	type/s. type	NR	%NR	NMI	%NMI	EqV	%EqV
F5098-Sd534	BAIS	0	51	91.1%	2	33.3%	0	
F5098-Sd534	BAIS	2a(v)	2	3.6%	1	16.7%	0.23	51.9%
F5098-Sd534	BAIS	2b(v)	1	1.8%	1	16.7%	0.04	9.26%
F5098-Sd534	BAIS	2c	1	1.8%	1	16.7%	0.12	25.9%
F5098-Sd534	BAIS	3b	1	1.8%	1	16.7%	0.06	12.4%
F5098-Sd534	BAIS	total famille	56	100%	6	100%	0.45	100%
F5098-Sd534	total		56		6		0.45	0.34%

Sur les 6 individus dévoilés par ce contexte, 2 correspondent à des variantes des types 2a et 2b.

Orientation chronologique : Atelier

Secteur 2, St 5098, Sd. 534, Dessin 465

0 ————— 10 cm

Fig. 339 : céramique découverte au sein du contexte F. 5098, Sd. 534 © N. Ménez

Lames minces N°173-185-186-187

Synthèse sur la structure F.5098

A travers les trois sondages dont elle a fait l'objet, cette structure livre un

total de 24 individus, mais aucun type ne se distingue des autres du point de vue quantitatif (fig. 441).

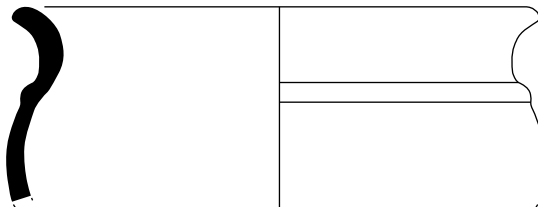
- F. 5099 (fig. 340)

Contexte	famille	type/s. type	NR	%NR	NMI	%NMI	EqV	%EqV
F5099	BAIS	0	71	86.6%	6	54.5%	0	
F5099	BAIS	2a	2	2.4%	1	9.1%	0.12	15.4%
F5099	BAIS	2b	1	1.2%	1	9.1%	0.02	2.92%
F5099	BAIS	2b(v)	3	3.7%	2	18.2%	0.42	55.6%
F5099	BAIS	3a	5	6.1%	1	9.1%	0.19	25.6%
F5099	BAIS	total famille	82	100%	11	100%	0.76	100%
F5099	total		82		11	1%	0.76	0.58%

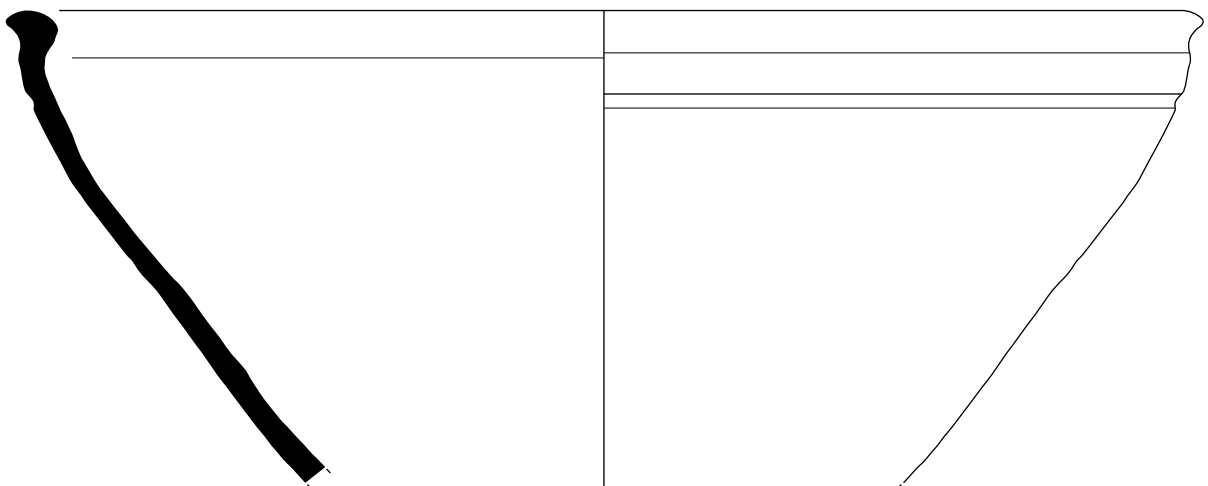
Seul fait notable ici : la présence d'une variante du type 2b.

Orientation chronologique : Atelier

Lames minces N°180-181-182-183



Secteur 2, St 5099, Iso 2035, Dessin 468



Secteur 2, St 5099, Iso 2035, Dessin 470



Fig. 340 : céramiques découvertes au sein du contexte F. 5099 © N. Ménez

- F. 5100

Contexte	famille	type/s. type	NR	%NR	NMI	%NMI	EqV	%EqV
F5100	BAIS	0	2	100%	0		0	
F5100	BAIS	total famille	2	100%	0		0	
F5100	total		2		0		0	

Orientation chronologique : Atelier

- F. 5104

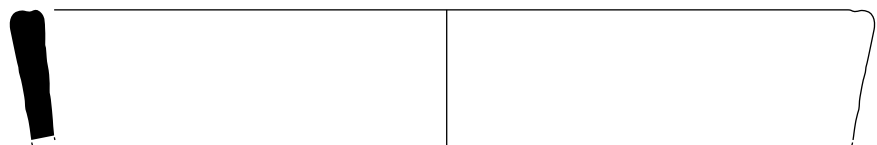
Contexte	famille	type/s. type	NR	%NR	NMI	%NMI	EqV	%EqV
F5104	BAIS	0	61	95.3%	2	50.0%	0	
F5104	BAIS	2d(v)	2	3.1%	1	25.0%	0.14	57.9%
F5104	BAIS	2ind	1	1.6%	1	25.0%	0.10	40.5%
F5104	BAIS	total famille	64	100%	4	100%	0.24	100%
F5104	total		64		4		0.24	0.18%

Orientation chronologique : Atelier

- F. 5104, Sd. 530 (fig. 341)

Contexte	famille	type/s. type	NR	%NR	NMI	%NMI	EqV	%EqV
F5104-Sd530	BAIS	0	23	95.8%	1	50.0%	0	
F5104-Sd530	BAIS	11	1	4.2%	1	50.0%	0.04	104%
F5104-Sd530	BAIS	total famille	24	100%	2	100%	0.04	100%
F5104-Sd530	total		24		2		0.04	0.03%

Orientation chronologique : Atelier



Secteur 2, St 5104, Sd. 530, Dessin 403

0 10 cm

Fig. 341 : céramique découverte au sein du contexte F. 5104, Sd. 530 © N. Ménez

- F. 5105, Surface

Contexte	famille	type/s. type	NR	%NR	NMI	%NMI	EqV	%EqV
F5105-USSurface	BAIS	0	27	100%	0		0	
F5105-USSurface	BAIS	total famille	27	100%	0		0	
F5105-USSurface	total		27		0		0	

Orientation chronologique : Atelier

• F. 5106

Contexte	famille	type/s. type	NR	%NR	NMI	%NMI	EqV	%EqV
F5106	BAIS	0	23	74.2%	0		0	
F5106	BAIS	3b	2	6.5%	1	33.3%	0.05	14.7%
F5106	BAIS	3b(v)	2	6.5%	1	33.3%	0.12	34.3%
F5106	BAIS	9	4	12.9%	1	33.3%	0.17	50.7%
F5106	BAIS	total famille	31	100%	3	100%	0.34	100%
F5106	total		31		3		0.34	0.26%

On observe ici la présence d'une variante du type 3b.

Orientation chronologique : Atelier

Lame mince N°67

Contexte	famille	type/s. type	NR	%NR	NMI	%NMI	EqV	%EqV
F5106-Sd636	BAIS	0	29	100%	1	100%	0	
F5106-Sd636	BAIS	total famille	29	100%	1	100%	0	
F5106-Sd636	total		29		1		0	

Orientation chronologique : Atelier

• F. 5106, Sd. 637

Contexte	famille	type/s. type	NR	%NR	NMI	%NMI	EqV	%EqV
F5106-Sd637	BAIS	0	38	100%	3	100%	0	
F5106-Sd637	BAIS	total famille	38	100%	3	100%	0	
F5106-Sd637	total		38		3		0	

Orientation chronologique : Atelier

Contexte	famille	type/s. type	NR	%NR	NMI	%NMI	EqV	%EqV
F5106-Sd639	BAIS	0	6	100%	0		0	
F5106-Sd639	BAIS	total famille	6	100%	0		0	
F5106-Sd639	total		6		0		0	

Orientation chronologique : Atelier

• F. 5107 (fig. 342)

Contexte	famille	type/s. type	NR	%NR	NMI	%NMI	EqV	%EqV
F5107	BAIS	0	410	93.2%	4	25.0%	0	
F5107	BAIS	10	2	0.5%	2	12.5%	0.32	13.3%
F5107	BAIS	2d	15	3.4%	5	31.3%	1.21	50.2%
F5107	BAIS	3a(v)	2	0.5%	1	6.3%	0.08	3.44%
F5107	BAIS	8a	11	2.5%	4	25.0%	0.80	33.2%
F5107	BAIS	total famille	440	100%	16	100%	2.42	100%
F5107	total		440	2%	16	1%	2.42	1.83%

La structure F.5107 livre un important lot de mobilier constitué de 440 fragments de céramique issus de l'atelier (pour un nombre minimum d'individus estimé à

16). On y observe notamment la présence, notable, de 4 individus de type 8a, représentant plus de la moitié des récipients de ce type recensés sur l'ensemble du site (7 individus). On y remarque également la présence d'au moins 6 récipients affichant des traces d'utilisation ainsi que celle d'une variante du type 3a.

Orientation chronologique : Atelier

Lames minces N°86-87-88

Contexte	famille	type/s. type	NR	%NR	NMI	%NMI	EqV	%EqV
F5110	BAIS	0	244	97.6%	6	54.5%	0	
F5110	BAIS	100	1	0.4%	1	9.1%	0.06	17.5%
F5110	BAIS	12	1	0.4%	1	9.1%	0.05	14.3%
F5110	BAIS	2a	2	0.8%	1	9.1%	0.14	41.3%
F5110	BAIS	3a	1	0.4%	1	9.1%	0.03	9.52%
F5110	BAIS	8a	1	0.4%	1	9.1%	0.06	16.7%
F5110	BAIS	total famille	250	100%	11	100%	0.35	100%
F5110	total		250	1%	11	1%	0.35	0.27%

Orientation chronologique : Atelier

Lames minces N°74-75-76-77

• F. 5110, Us 1

Contexte	famille	type/s. type	NR	%NR	NMI	%NMI	EqV	%EqV
F5110-US1	BAIS	0	3	100%	0		0	
F5110-US1	BAIS	total famille	3	100%	0		0	
F5110-US1	total		3		0		0	

Orientation chronologique : Atelier

• F. 5111

Contexte	famille	type/s. type	NR	%NR	NMI	%NMI	EqV	%EqV
F5111	BAIS	0	3	100%	0		0	
F5111	BAIS	total famille	3	100%	0		0	
F5111	total		3		0		0	

Orientation chronologique : Atelier

• F. 5111, Sd. 643, Us 1

Contexte	famille	type/s. type	NR	%NR	NMI	%NMI	EqV	%EqV
F5111-Sd643-US1	BAIS	0	5	100%	0		0	
F5111-Sd643-US1	BAIS	total famille	5	100%	0		0	
F5111-Sd643-US1	total		5		0		0	

Orientation chronologique : Atelier

- F. 5111, Sd. 644

Contexte	famille	type/s. type	NR	%NR	NMI	%NMI	EqV	%EqV
F5111-Sd644	BAIS	0	3	100%	0		0	
F5111-Sd644	BAIS	total famille	3	100%	0		0	
F5111-Sd644	total		3		0		0	

Orientation chronologique : Atelier

- F. 5113, Sd. Moitié Est, Us 1

Contexte	famille	type/s. type	NR	%NR	NMI	%NMI	EqV	%EqV
F5113-Sd1/2 Est-US1	BAIS	0	15	93.8%	2	66.7%	0	
F5113-Sd1/2 Est-US1	BAIS	3a	1	6.3%	1	33.3%	0.04	104%
F5113-Sd1/2 Est-US1	BAIS	total famille	16	100%	3	100%	0.04	100%
F5113-Sd1/2 Est-US1	total		16		3		0.04	0.03%

Orientation chronologique : Atelier

- F. 5114

Contexte	famille	type/s. type	NR	%NR	NMI	%NMI	EqV	%EqV
F5114	BAIS	0	154	100%	0		0	
F5114	BAIS	total famille	154	98.1%	0		0	
F5114	EXO	total famille	3	1.9%	3	100%	0	
F5114	total		157	1%	3		0	

Sur les 157 tessons de poterie recensés dans ce contexte, on en dénombre seulement 3 issus de productions exogènes, correspondant toutefois à autant d'individus. Le plus notable des trois s'apparente à un grand pot fermé à lèvre subverticale droite. On notera également que la partie supérieure de l'un d'entre eux est décorée au graphite. Ces deux formes trouvent des comparaisons, au niveau régional, dans des contextes datés de La Tène finale.

Orientation chronologique : atelier

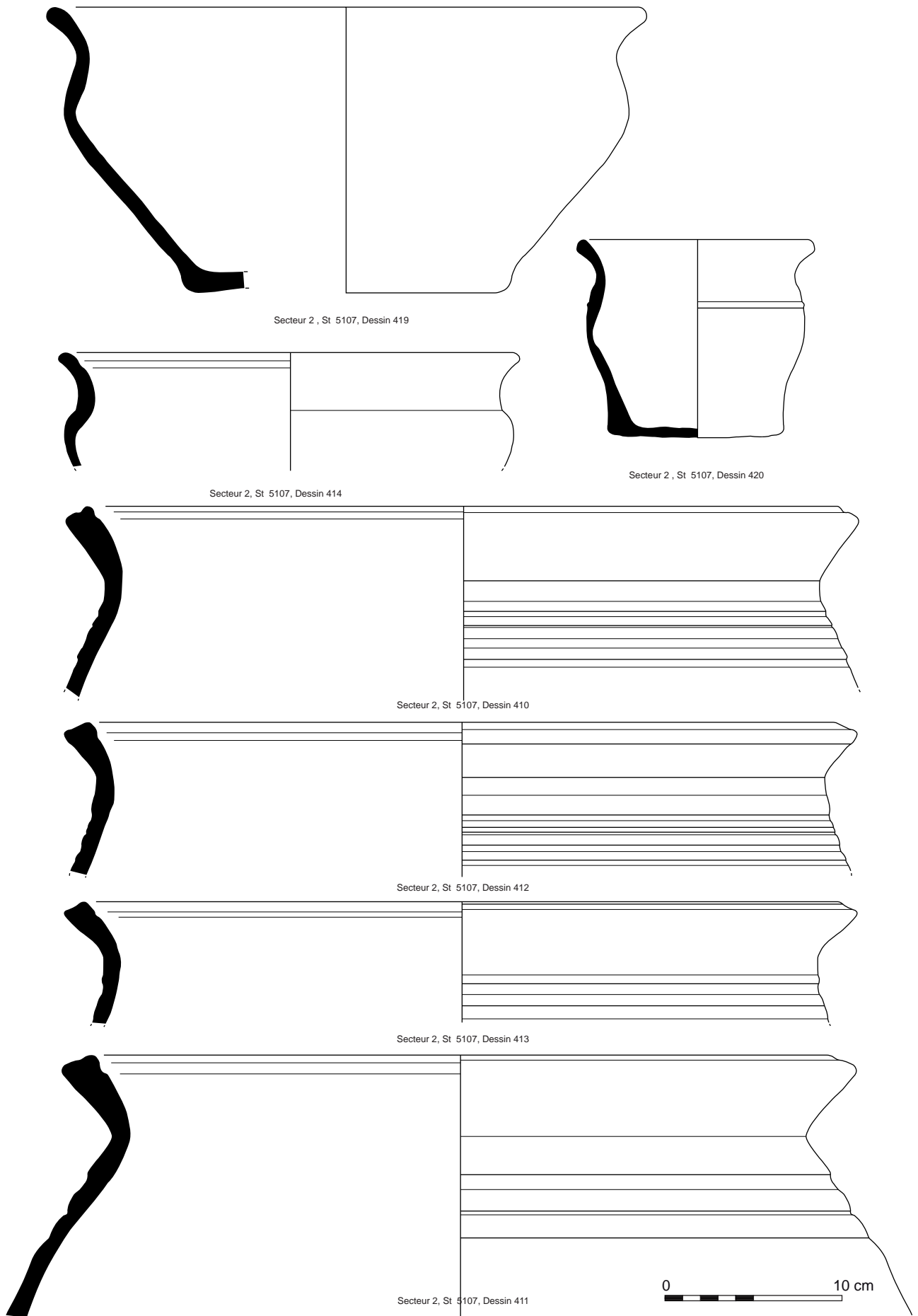
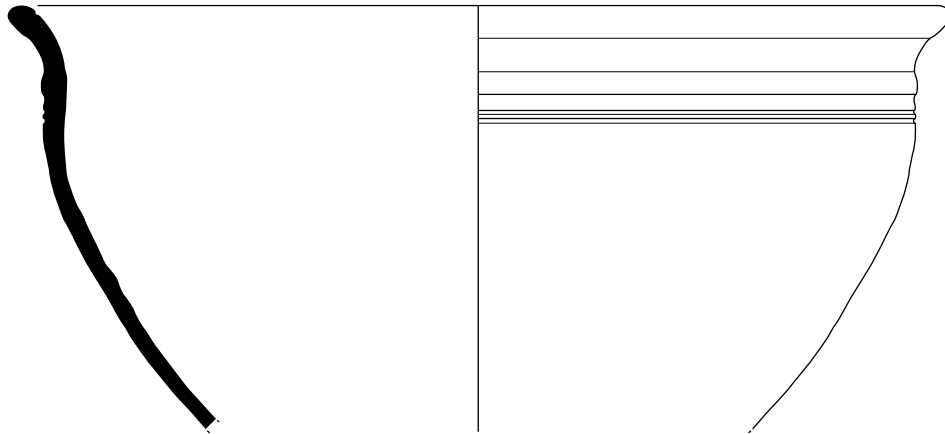
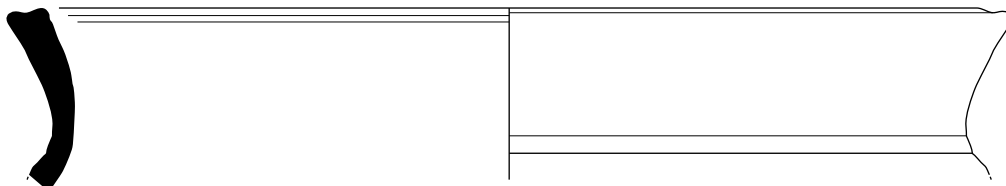


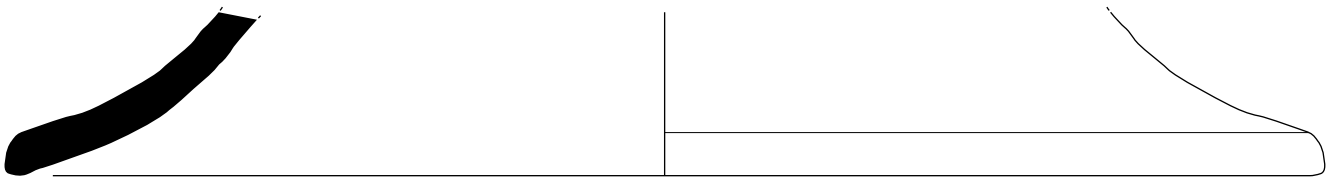
Fig. 342 : céramiques découvertes au sein du contexte F. 5107 © N. Ménez



Secteur 2 , St 5110, Dessin 391



Secteur 2 , St 5110, Dessin 393



Secteur 2 , St 5110, Dessin 392



Fig. 343 : céramiques découvertes au sein du contexte F. 5110
© N. Ménez

Contexte	famille	type/s. type	NR	%NR	NMI	%NMI	EqV	%EqV
F5115	BAIS	0	3	100%	0		0	
F5115	BAIS	total famille	3	100%	0		0	
F5115	total		3		0		0	

Orientation chronologique : Atelier

• F. 5117

Contexte	famille	type/s. type	NR	%NR	NMI	%NMI	EqV	%EqV
F5117	BAIS	0	3	100%	0		0	
F5117	BAIS	total famille	3	100%	0		0	
F5117	total		3		0		0	

Orientation chronologique : Atelier

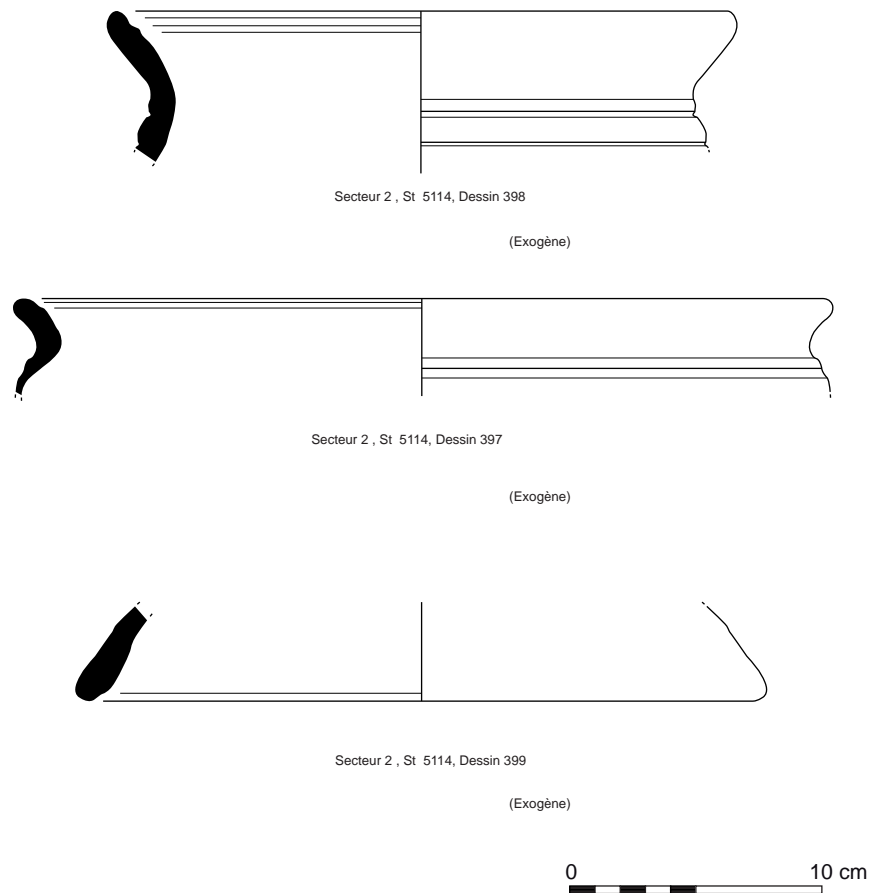


Fig. 344 : céramiques découvertes au sein du contexte F. 5114 © N. Ménez

- F. 5117, Sd. Moitié Ouest, Us 3

Contexte	famille	type/s. type	NR	%NR	NMI	%NMI	EqV	%EqV
F5117-Sd1/2 Ouest-US3	BAIS	0	16	100%	1	100%	0	
F5117-Sd1/2 Ouest-US3	BAIS	total famille	16	100%	1	100%	0	
F5117-Sd1/2 Ouest-US3	total		16		1		0	

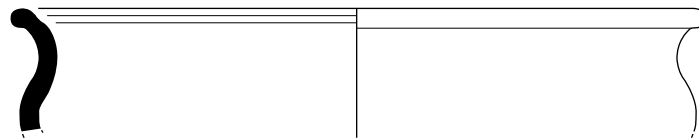
Orientation chronologique : Atelier

- F. 5119, Sd. Moitié Est

Contexte	famille	type/s. type	NR	%NR	NMI	%NMI	EqV	%EqV
F5119-Sd1/2 Est	BAIS	0	26	100%	0		0	
F5119-Sd1/2 Est	BAIS	total famille	26	96.3%	0		0	
F5119-Sd1/2 Est	EXO	total famille	1	3.7%	1	100%	0	
F5119-Sd1/2 Est	total		27		1		0	

Le seul élément notable découvert dans ce contexte correspond à un individu exogène. Il s'agit de la partie supérieure d'un récipient à lèvres éversées (dessin 401) dont la partie externe comporte des traces de graphite et qui trouve des comparaisons régionales dans des contextes datés de La Tène finale.

Orientation chronologique : atelier



Secteur 2 , St 5119, Sd. 1/2 E, Dessin 401



Fig. 345 : céramiques découvertes au sein du contexte F. 5119 sd moitié est © N. Ménez

- F. 5119, Sd. Moitié Ouest, Us 1

Contexte	famille	type/s. type	NR	%NR	NMI	%NMI	EqV	%EqV
F5119-Sd1/2 Ouest-US1	BAIS	0	10	100%	0		0	
F5119-Sd1/2 Ouest-US1	BAIS	total famille	10	100%	0		0	
F5119-Sd1/2 Ouest-US1	total		10		0		0	

Orientation chronologique : Atelier

- F. 5119, Sd. Moitié Ouest, Us 2

Contexte	famille	type/s. type	NR	%NR	NMI	%NMI	EqV	%EqV
F5119-Sd1/2 Ouest-US2	BAIS	0	5	100%	0		0	
F5119-Sd1/2 Ouest-US2	BAIS	total famille	5	100%	0		0	
F5119-Sd1/2 Ouest-US2	total		5		0		0	

Orientation chronologique : Atelier

- F. 5119, Sd. 540

Contexte	famille	type/s. type	NR	%NR	NMI	%NMI	EqV	%EqV
F5119-Sd540	BAIS	0	2	100%	0		0	
F5119-Sd540	BAIS	total famille	2	100%	0		0	
F5119-Sd540	total		2		0		0	

Orientation chronologique : Atelier

- F. 5121, Sd. 634

Contexte	famille	type/s. type	NR	%NR	NMI	%NMI	EqV	%EqV
F5121-Sd634	BAIS	3b(v)	1	100%	1	100%	0.01	139%
F5121-Sd634	BAIS	total famille	1	100%	1	100%	0.01	100%
F5121-Sd634	total		1		1		0.01	0.01%

Le seul individu recensé dans ce contexte correspond à une variante du type 3b.

Orientation chronologique : Atelier

- F. 5122

Contexte	famille	type/s. type	NR	%NR	NMI	%NMI	EqV	%EqV
F5122	BAIS	o	2	100%	0		0	
F5122	BAIS	total famille	2	100%	0		0	
F5122	total		2		0		0	

Orientation chronologique : Atelier

- F. 5124

Contexte	famille	type/s. type	NR	%NR	NMI	%NMI	EqV	%EqV
F5124	BAIS	o	6	100%	1	100%	0	
F5124	BAIS	total famille	6	100%	1	100%	0	
F5124	total		6		1		0	

Orientation chronologique : Atelier

- F. 5126

Contexte	famille	type/s. type	NR	%NR	NMI	%NMI	EqV	%EqV
F5126	BAIS	o	13	92.9%	0		0	
F5126	BAIS	2a(v)	1	7.1%	1	100%	0.07	95.2%
F5126	BAIS	total famille	14	100%	1	100%	0.07	100%
F5126	total		14		1		0.07	0.05%

L'unique individu recensé ici s'apparente à une variante du type 2a.

Orientation chronologique : Atelier

- F. 5132, Sd. 633

Contexte	famille	type/s. type	NR	%NR	NMI	%NMI	EqV	%EqV
F5132-Sd633	BAIS	o	2	100%	0		0	
F5132-Sd633	BAIS	total famille	2	100%	0		0	
F5132-Sd633	total		2		0		0	

Orientation chronologique : Atelier

- F. 5134, Us 3

Contexte	famille	type/s. type	NR	%NR	NMI	%NMI	EqV	%EqV
F5134-US3	BAIS	o	14	100%	1	100%	0	
F5134-US3	BAIS	total famille	14	100%	1	100%	0	
F5134-US3	total		14		1		0	

Orientation chronologique : Atelier

• F. 5134, Sd. 503, Us 1

Contexte	famille	type/s. type	NR	%NR	NMI	%NMI	EqV	%EqV
F5134-Sd503-US1	BAIS	o	3	100%	o		o	
F5134-Sd503-US1	BAIS	total famille	3	100%	0		0	
F5134-Sd503-US1	total		3		0		0	

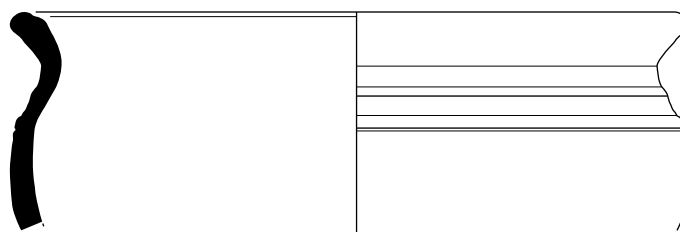
Orientation chronologique : Atelier

• F. 5134, Sd. 577, Us 3 (fig. 346)

Contexte	famille	type/s. type	NR	%NR	NMI	%NMI	EqV	%EqV
F5134-Sd577-US3	BAIS	o	30	90.9%	o		o	
F5134-Sd577-US3	BAIS	2c(v)	3	9.1%	1	100%	0.19	102%
F5134-Sd577-US3	BAIS	total famille	33	100%	1	100%	0.19	100%
F5134-Sd577-US3	total		33		1		0.19	0.14%

Le seul individu révélé par ce contexte correspond à une variante du type 2c.

Orientation chronologique : Atelier



Secteur 2, St 5174, Sd. 577, Us 3, Dessin 808



Fig. 346 : céramiques découvertes au sein du contexte F. 5174 sd 577 Us 3 © N. Ménez

• F. 5134, Sd. 580

Contexte	famille	type/s. type	NR	%NR	NMI	%NMI	EqV	%EqV
F5134-Sd580	BAIS	o	15	93.8%	3	75.0%	o	
F5134-Sd580	BAIS	2ind	1	6.3%	1	25.0%	o	
F5134-Sd580	BAIS	total famille	16	100%	4	100%	0	
F5134-Sd580	total		16		4		0	

Orientation chronologique : Atelier

• F. 5141

Contexte	famille	type/s. type	NR	%NR	NMI	%NMI	EqV	%EqV
F5141	BAIS	o	3	75.0%	o		o	
F5141	BAIS	13	1	25.0%	1	100%	o	
F5141	BAIS	total famille	4	100%	1	100%	0	
F5141	total		4		1		0	

Orientation chronologique : Atelier• F. 5141, Surface (fig. 347)

Contexte	famille	type/s. type	NR	%NR	NMI	%NMI	EqV	%EqV
F5141-USSurface	BAIS	o	30	88.2%	1	33.3%	0	
F5141-USSurface	BAIS	13	3	8.8%	1	33.3%	0.19	67.5%
F5141-USSurface	BAIS	8a	1	2.9%	1	33.3%	0.09	33.7%
F5141-USSurface	BAIS	total famille	34	100%	3	100%	0.28	100%
F5141-USSurface	total		34		3		0.28	0.21%

Orientation chronologique : Atelier• F. 5145, Us 1 (fig. 348)

Contexte	famille	type/s. type	NR	%NR	NMI	%NMI	EqV	%EqV
F5145-US1	BAIS	o	34	97.1%	0		0	
F5145-US1	BAIS	8a	1	2.9%	1	100%	0.06	92.6%
F5145-US1	BAIS	total famille	35	100%	1	100%	0.06	100%
F5145-US1	total		35		1		0.06	0.05%

Orientation chronologique : Atelier• F. 5147

Contexte	famille	type/s. type	NR	%NR	NMI	%NMI	EqV	%EqV
F5147	BAIS	o	1	100%	0		0	
F5147	BAIS	total famille	1	100%	0		0	
F5147	total		1		0		0	

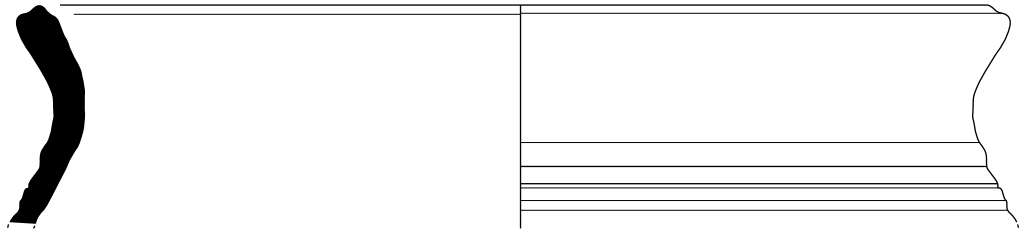
Orientation chronologique : Atelier• F. 5159, Décapage

Contexte	famille	type/s. type	NR	%NR	NMI	%NMI	EqV	%EqV
F5159-USDécapage	BAIS	o	1	100%	0		0	
F5159-USDécapage	BAIS	total famille	1	100%	0		0	
F5159-USDécapage	total		1		0		0	

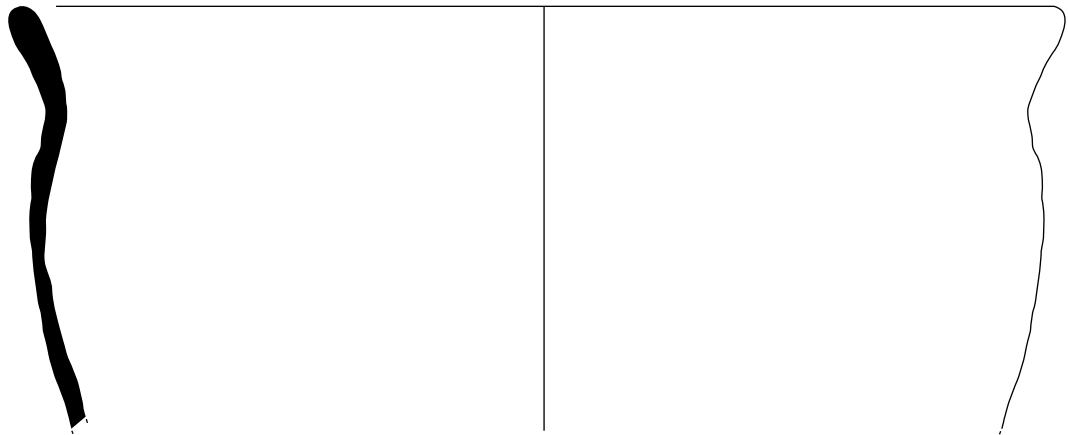
Orientation chronologique : Atelier• F. 5162 (fig. 349)

Contexte	famille	type/s. type	NR	%NR	NMI	%NMI	EqV	%EqV
F5162	BAIS	o	21	87.5%	1	25.0%	0	
F5162	BAIS	2ind	1	4.2%	1	25.0%	0	
F5162	BAIS	7	1	4.2%	1	25.0%	0.03	30.9%
F5162	BAIS	8(v)	1	4.2%	1	25.0%	0.06	67.9%
F5162	BAIS	total famille	24	100%	4	100%	0.09	100%
F5162	total		24		4		0.09	0.07%

Sur les 4 individus recensés ici, on observe la présence d'une variante de type 8.



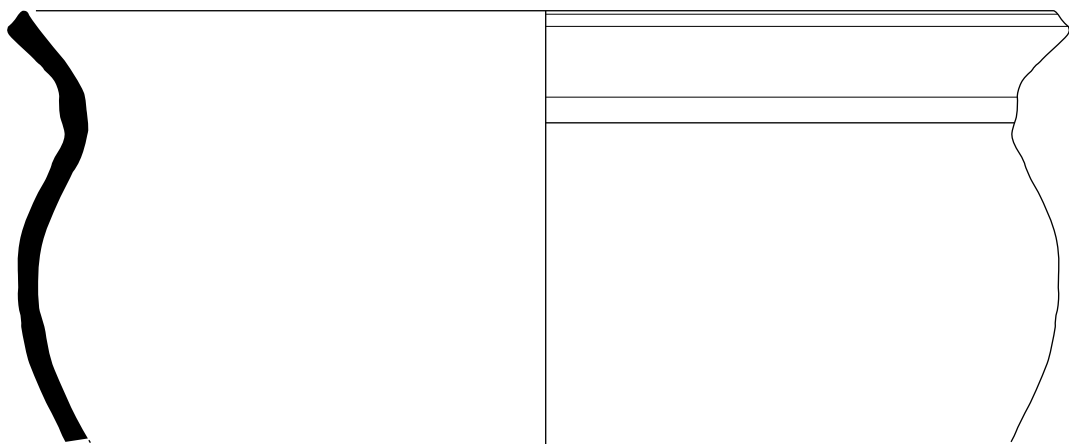
Secteur 2 , St 5141, Surface, Dessin 812



Secteur 2 , St 5141, Surface, Dessin 813



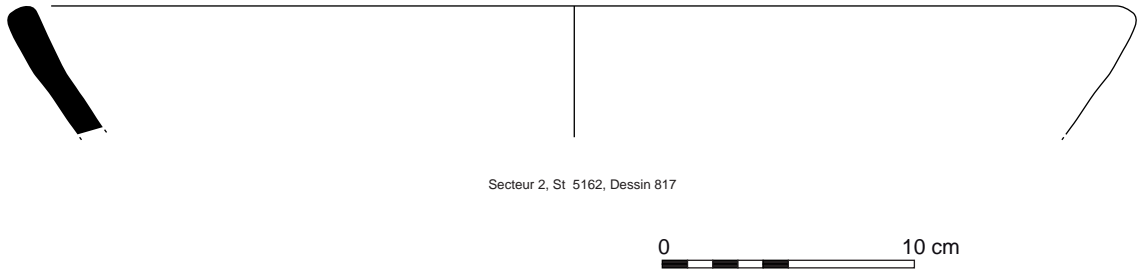
Fig. 347 : céramiques découvertes au sein du contexte F. 5141 © N. Ménéz



Secteur 2 , St 5145, Us 1, Dessin 815



Fig. 348 : céramiques découvertes au sein du contexte F. 5145 Us 1 © N. Ménéz



Secteur 2, St 5162, Dessin 817

Fig. 349: céramique découverte au sein du contexte F. 5162 © N. Ménez

Orientation chronologique : Atelier

- F. 5166, Décapage

Contexte	famille	type/s. type	NR	%NR	NMI	%NMI	EqV	%EqV
F5166-USDécapage	BAIS	o	5	62.5%	o		o	
F5166-USDécapage	BAIS	2b(v)	2	25.0%	1	50.0%	0.12	67.9%
F5166-USDécapage	BAIS	8(v)	1	12.5%	1	50.0%	0.06	32.4%
F5166-USDécapage	BAIS	total famille	8	100%	2	100%	0.18	100%
F5166-USDécapage	total		8		2		0.18	0.14%

Les deux individus enregistrés dans ce contexte s'apparentent à des variantes des types 2b et 8.

Orientation chronologique : Atelier

- F. 5167, de 0 à -0,1 m (fig. 350)

Contexte	famille	type/s. type	NR	%NR	NMI	%NMI	EqV	%EqV
F5167-USde 0 à -0,1 m	BAIS	o	27	100%	1	100%	o	
F5167-USde 0 à -0,1 m	BAIS	total famille	27	93.1%	1	50.0%	0	
F5167-USde 0 à -0,1 m	EXO	total famille	2	6.9%	1	50.0%	0	
F5167-USde 0 à -0,1 m	total		29		2		0	

Sur les 29 fragments de poteries découvertes dans ce contexte, l'essentiel (27 tessons) s'apparente à des productions de l'atelier. On observe néanmoins la présence de deux tessons exogènes correspondant à la partie supérieure d'une jatte à profil en esse graphitée et ornée d'un décor estampé (dessin 824) qui trouve des comparaisons dans des contextes datés entre La Tène moyenne et La Tène finale dans l'Ouest.

Orientation chronologique : atelier + EXO

- F. 5167, Sd. 530, -0,35 m

Contexte	famille	type/s. type	NR	%NR	NMI	%NMI	EqV	%EqV
F5167-Sd530-US-0,35 m (ou -0,85)	BAIS	o	4	66.7%	o		o	
F5167-Sd530-US-0,35 m (ou -0,85)	BAIS	13	1	16.7%	1	50.0%	0.09	38.7%
F5167-Sd530-US-0,35 m (ou -0,85)	BAIS	2d	1	16.7%	1	50.0%	0.14	60.4%
F5167-Sd530-US-0,35 m (ou -0,85)	BAIS	total famille	6	100%	2	100%	0.23	100%
F5167-Sd530-US-0,35 m (ou -0,85)	total		6		2		0.23	0.17%

Orientation chronologique : Atelier

- F. 5167, Sd. 530, -0,6 m

Contexte	famille	type/s. type	NR	%NR	NMI	%NMI	EqV	%EqV
F5167-Sd530-US-0,6 m	BAIS	o	28	100%	0		0	
F5167-Sd530-US-0,6 m	BAIS	total famille	28	100%	0		0	
F5167-Sd530-US-0,6 m	total		28		0		0	

Orientation chronologique : Atelier

- F. 5167, Sd. 530

Contexte	famille	type/s. type	NR	%NR	NMI	%NMI	EqV	%EqV
F5167-Sd530	BAIS	o	6	100%	0		0	
F5167-Sd530	BAIS	total famille	6	100%	0		0	
F5167-Sd530	total		6		0		0	

Orientation chronologique : Atelier

- F. 5167, Sd. 530 ?

Contexte	famille	type/s. type	NR	%NR	NMI	%NMI	EqV	%EqV
F5167-Sd530?	BAIS	o	16	94.1%	4	80.0%	0	
F5167-Sd530?	BAIS	3b(v)	1	5.9%	1	20.0%	0.13	98.3%
F5167-Sd530?	BAIS	total famille	17	100%	5	100%	0.13	100%
F5167-Sd530?	total		17		5		0.13	0.10%

On notera ici que le seul individu caractérisé s'apparente à une variante du type 3b ; il correspond par ailleurs au même individu que celui recensé dans le contexte suivant (F. 5167/F. 5104).

Orientation chronologique : Atelier

Lame mince N°85

- F. 5167/F.5104

Contexte	famille	type/s. type	NR	%NR	NMI	%NMI	EqV	%EqV
F5167/5104	BAIS	o	12	85.7%	1	33.3%	0	
F5167/5104	BAIS	3b(v)	1	7.1%	1	33.3%	0.02	37.0%
F5167/5104	BAIS	7	1	7.1%	1	33.3%	0.03	55.6%
F5167/5104	BAIS	total famille	14	100%	3	100%	0.06	100%
F5167/5104	total		14		3		0.06	0.05%

La variante du type 3b recensée ici correspond au même individu que celui découvert au sein du contexte précédent (F. 5167, Sd. 530 ?).

Orientation chronologique : Atelier

Lames minces N°50-51-52

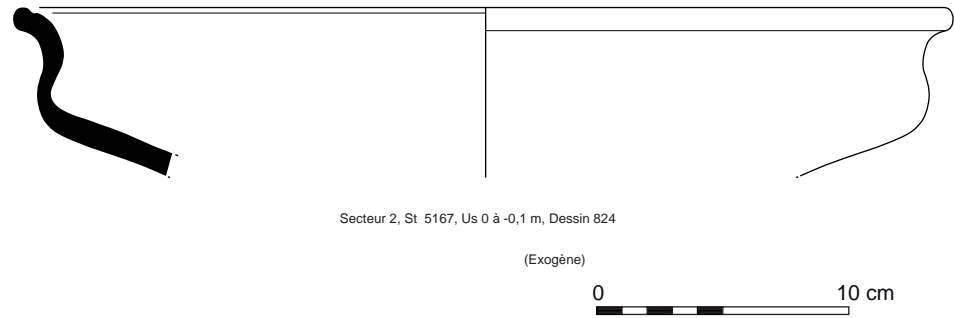


Fig. 350 : céramique découverte au sein du contexte F. 5167 de 0 à -0,1 m © N. Ménez

- F. 5173, Décapage

Contexte	famille	type/s. type	NR	%NR	NMI	%NMI	EqV	%EqV
F5173-USDécapage	BAIS	o	3	100%	0		0	
F5173-USDécapage	BAIS	total famille	3	100%	0		0	
F5173-USDécapage	total		3		0		0	

Orientation chronologique : Atelier

- F. 5178 (fig. 351)

Contexte	famille	type/s. type	NR	%NR	NMI	%NMI	EqV	%EqV
F5178	BAIS	o	14	93.3%	0		0	
F5178	BAIS	2d	1	6.7%	1	100%	0.27	101%
F5178	BAIS	total famille	15	100%	1	100%	0.27	100%
F5178	total		15		1		0.27	0.20%

Orientation chronologique : Atelier

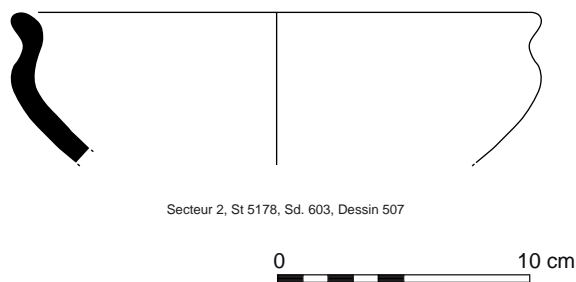


Fig. 351 : céramique découverte au sein du contexte F. 5178 © N. Ménez

- F. 5179

Contexte	famille	type/s. type	NR	%NR	NMI	%NMI	EqV	%EqV
F5179	BAIS	o	18	85.7%	0		0	
F5179	BAIS	2b(v)	3	14.3%	1	100%	0.23	101%
F5179	BAIS	total famille	21	100%	1	100%	0.23	100%
F5179	total		21		1		0.23	0.17%

Orientation chronologique : Atelier

• F. 5179, Sd. 622 (fig. 352)

Contexte	famille	type/s. type	NR	%NR	NMI	%NMI	EqV	%EqV
F5179-Sd622	BAIS	o	19	90.5%	1	50.0%	0	
F5179-Sd622	BAIS	2c	2	9.5%	1	50.0%	0.15	102%
F5179-Sd622	BAIS	total famille	21	100%	2	100%	0.15	100%
<i>F5179-Sd622</i>	total		21		2		0.15	0.11%

Orientation chronologique : Atelier

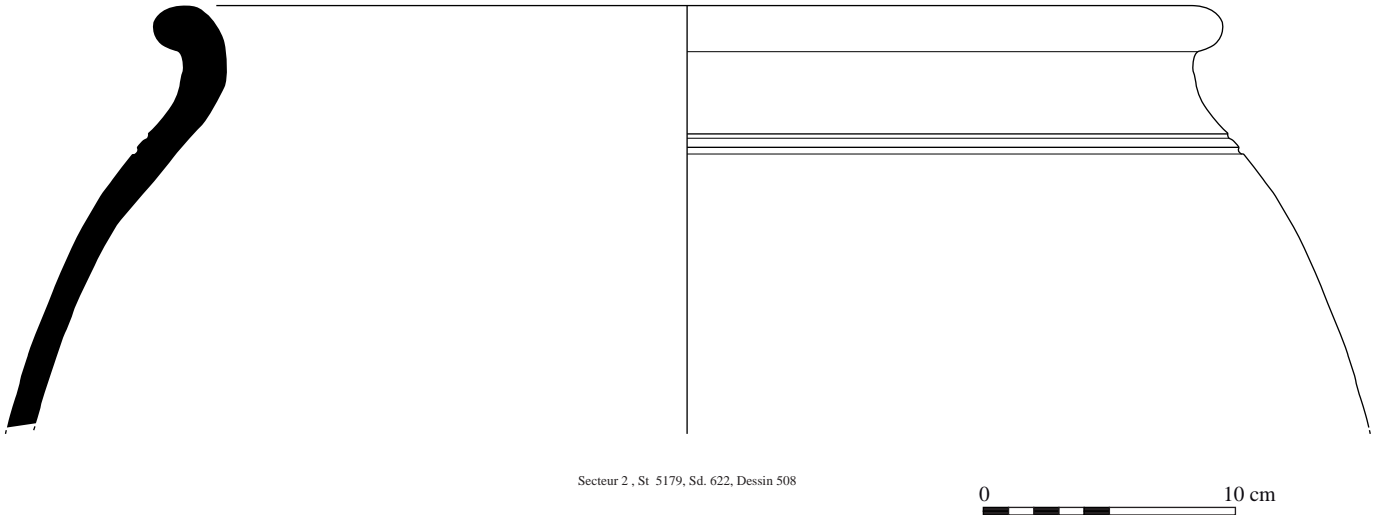


Fig. 352 : céramique découverte au sein du contexte F. 5179 sd 622 © N. Ménez

• F. 5179/F. 5180

Contexte	famille	type/s. type	NR	%NR	NMI	%NMI	EqV	%EqV
F5179/5180	BAIS	o	18	81.8%	1	25.0%	0	
F5179/5180	BAIS	3a	1	4.5%	1	25.0%	0.03	21.4%
F5179/5180	BAIS	3b	3	13.6%	2	50.0%	0.10	79.1%
F5179/5180	BAIS	total famille	22	100%	4	100%	0.13	100%
<i>F5179/5180</i>	total		22		4		0.13	0.10%

Orientation chronologique : Atelier

• F. 5180, Surface, décapage

Contexte	famille	type/s. type	NR	%NR	NMI	%NMI	EqV	%EqV
F5180-USSurface décapage	BAIS	o	5	100%	0		0	
F5180-USSurface décapage	BAIS	total famille	5	100%	0		0	
<i>F5180-USSurface décapage</i>	total		5		0		0	

Orientation chronologique : Atelier

- F. 5181

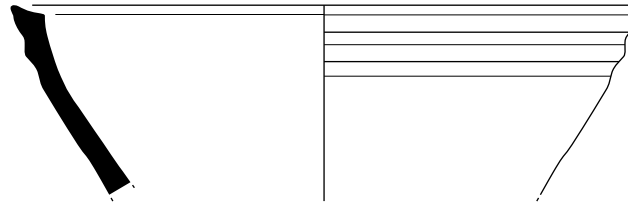
Contexte	famille	type/s. type	NR	%NR	NMI	%NMI	EqV	%EqV
F5181	BAIS	o	1	100%	0		0	
F5181	BAIS	total famille	1	100%	0		0	
F5181	total		1		0		0	

Orientation chronologique : Atelier

- F. 5181, Sd. 595 (fig. 353)

Contexte	famille	type/s. type	NR	%NR	NMI	%NMI	EqV	%EqV
F5181-Sd595	BAIS	o	13	92.9%	1	50.0%	0	
F5181-Sd595	BAIS	3b	1	7.1%	1	50.0%	0.12	97.2%
F5181-Sd595	BAIS	total famille	14	100%	2	100%	0.12	100%
F5190-Sd595	total		14		2		0.12	0.09%

Orientation chronologique : Atelier



Secteur 2, St 5181, Sd. 595, Dessin 521

0 10 cm

Fig. 353 : céramique découverte au sein du contexte F. 5181 sd 595 © N. Ménez

- F. 5183, Sd. 607

Contexte	famille	type/s. type	NR	%NR	NMI	%NMI	EqV	%EqV
F5183-Sd607	BAIS	o	3	100%	0		0	
F5183-Sd607	BAIS	total famille	3	100%	0		0	
F5183-Sd607	total		3		0		0	

Orientation chronologique : Atelier

- F. 5185

Contexte	famille	type/s. type	NR	%NR	NMI	%NMI	EqV	%EqV
F5185	BAIS	o	4	100%	0		0	
F5185	BAIS	total famille	4	100%	0		0	
F5185	total		4		0		0	

Orientation chronologique : Atelier

- F. 5187, Sd. 632

Contexte	famille	type/s. type	NR	%NR	NMI	%NMI	EqV	%EqV
F5187-Sd632	BAIS	o	12	92.3%	0		0	
F5187-Sd632	BAIS	2d	1	7.7%	1	100%	0.04	97.2%
F5187-Sd632	BAIS	total famille	13	100%	1	100%	0.04	100%
F5187-Sd632	total		13		1		0.04	0.03%

Orientation chronologique : Atelier

- F. 5189, Sd. 609

Contexte	famille	type/s. type	NR	%NR	NMI	%NMI	EqV	%EqV
F5189-Sd609	BAIS	o	5	100%	0		0	
F5189-Sd609	BAIS	total famille	5	100%	0		0	
F5189-Sd609	total		5		0		0	

Orientation chronologique : Atelier

- F. 5190

Contexte	famille	type/s. type	NR	%NR	NMI	%NMI	EqV	%EqV
F5190	BAIS	o	2	100%	0		0	
F5190	BAIS	total famille	2	100%	0		0	
F5190	total		2		0		0	

Orientation chronologique : Atelier

- F. 5190, Surface

Contexte	famille	type/s. type	NR	%NR	NMI	%NMI	EqV	%EqV
F5190-USurface	BAIS	o	12	75.0%	3	50.0%	0	
F5190-USurface	BAIS	1b(v)	2	12.5%	1	16.7%	0.09	47.2%
F5190-USurface	BAIS	2d	1	6.3%	1	16.7%	0.07	34.7%
F5190-USurface	BAIS	3a	1	6.3%	1	16.7%	0.03	16.7%
F5190-USurface	BAIS	total famille	16	94.1%	6	100%	0.20	100%
F5190-USurface	EXO	total famille	1	5.9%	0		0	
F5190-USurface	total		17		6		0.20	0.15%

Sur le lot de 17 tessons mis au jour au sein de ce contexte, on observe la présence d'une variante du type 1b, d'un fragment de panse réalisé hors atelier dans une pâte de facture laténienne ainsi que celle, vraisemblablement intrusive, d'un tesson de poterie médiévale ou moderne.

Orientation chronologique : Atelier

- F. 5190, Sd. 592 (fig. 354)

Contexte	famille	type/s. type	NR	%NR	NMI	%NMI	EqV	%EqV
F5190-Sd592	B-NT	2d	1	100%	1	100%	0.14	99.2%
F5190-Sd592	B-NT	total famille	1	1.5%	1	16.7%	0.14	29.8%
F5190-Sd592	BAIS	o	57	89.1%	2	40.0%	0	
F5190-Sd592	BAIS	13	1	1.6%	1	20.0%	0.05	15.2%
F5190-Sd592	BAIS	2c	5	7.8%	1	20.0%	0.24	71.6%
F5190-Sd592	BAIS	4	1	1.6%	1	20.0%	0.04	13.5%
F5190-Sd592	BAIS	total famille	64	98.5%	5	83.3%	0.33	70.2%
F5190-Sd592	total		65		6		0.47	0.36%

L'ensemble des tessons de poterie dévoilés par ce contexte s'apparente à des productions de l'atelier ; seule l'une d'entre elle est modelée.

Orientation chronologique : Atelier

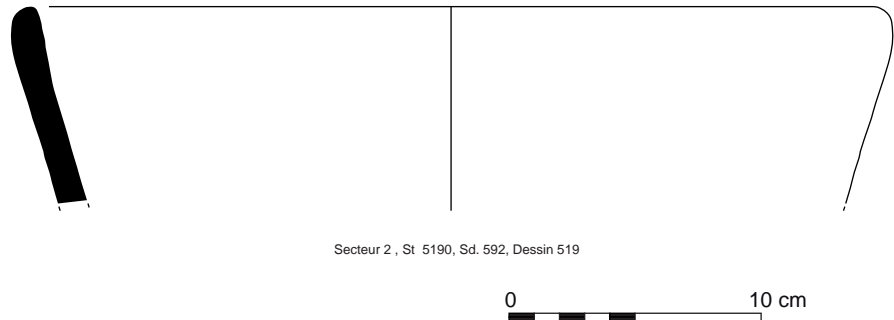


Fig. 354 : céramiques découvertes au sein du contexte F. 5190 sd 592 © N. Ménez

Lames minces N°105-106-107

Synthèse sur la structure F.5190

A travers les sondages dont elle a fait l'objet, cette structure livre un total de 13 individus, mais tous les types représentés ne le sont qu'en un seul exemplaire (fig. 441).

- F. 5191

Contexte	famille	type/s. type	NR	%NR	NMI	%NMI	EqV	%EqV
F5191	BAIS	o	2	100%	0		0	
F5191	BAIS	total famille	2	100%	0		0	
F5191	total		2		0		0	

Orientation chronologique : Atelier

- F. 5192 (fig. 355)

Contexte	famille	type/s. type	NR	%NR	NMI	%NMI	EqV	%EqV
F5192	BAIS	o	6	85.7%	1	50.0%	0	
F5192	BAIS	4	1	14.3%	1	50.0%	0.07	99.2%
F5192	BAIS	total famille	7	100%	2	100%	0.07	100%
F5192	total		7		2		0.07	0.05%

Orientation chronologique : Atelier

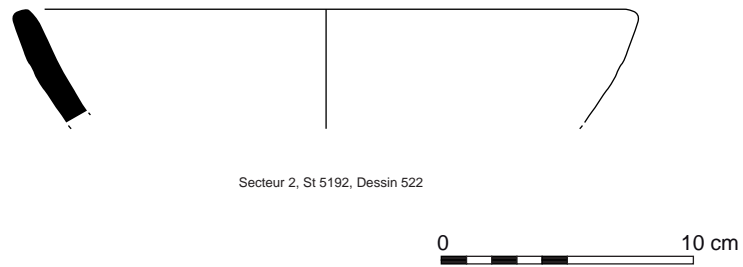


Fig. 355 : céramique découverte au sein du contexte F. 5192 © N. Ménez

- F. 5201, Surface

Contexte	famille	type/s. type	NR	%NR	NMI	%NMI	EqV	%EqV
F5201-USSurface	BAIS	o	27	100%	2	100%	o	
F5201-USSurface	BAIS	total famille	27	100%	2	100%	0	
F5201-USSurface	total		27		2		0	

Orientation chronologique : Atelier

- F. 5201, Sd. 581

Contexte	famille	type/s. type	NR	%NR	NMI	%NMI	EqV	%EqV
F5201-Sd581	BAIS	o	13	92.9%	o		o	
F5201-Sd581	BAIS	2a(v)	1	7.1%	1	100%	0.07	99.2%
F5201-Sd581	BAIS	total famille	14	100%	1	100%	0.07	100%
F5201-Sd581	total		14		1		0.07	0.05%

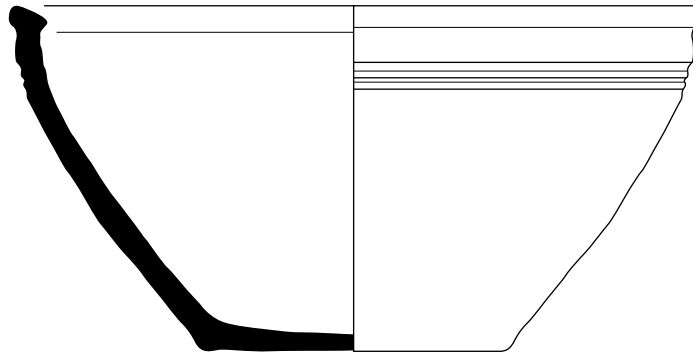
Seul élément notable mis au jour dans ce contexte : la présence d'une variante du type 2a.

Orientation chronologique : Atelier

- F. 5201/F. 5442, Sd. 585

Contexte	famille	type/s. type	NR	%NR	NMI	%NMI	EqV	%EqV
F5201/5442-Sd585	BAIS	o	14	93.3%	o		o	
F5201/5442-Sd585	BAIS	3a	1	6.7%	1	100%	0.16	97.2%
F5201/5442-Sd585	BAIS	total famille	15	100%	1	100%	0.16	100%
F5201/5442-Sd585	total		15		1		0.16	0.12%

Orientation chronologique : Atelier



Secteur 2 , St 5201/5442, Sd. 585, Dessin 648

0 10 cm

Fig. 356 : céramique découverte au sein du contexte F. 5201/5442 sd 585 © N. Ménez

Lame mince N°44

- F. 5210

Contexte	famille	type/s. type	NR	%NR	NMI	%NMI	EqV	%EqV
F5210	BAIS	o	13	100%	1	100%	0	
F5210	BAIS	total famille	13	100%	1	100%	0	
F5210	total		13		1		0	

Orientation chronologique : Atelier

- F. 5211

Contexte	famille	type/s. type	NR	%NR	NMI	%NMI	EqV	%EqV
F5211	BAIS	o	5	100%	0		0	
F5211	BAIS	total famille	5	100%	0		0	
F5211	total		5		0		0	

Orientation chronologique : Atelier

- F. 5211, Sd. 562

Contexte	famille	type/s. type	NR	%NR	NMI	%NMI	EqV	%EqV
F5211-Sd562	BAIS	o	4	100%	0		0	
F5211-Sd562	BAIS	total famille	4	100%	0		0	
F5211-Sd562	total		4		0		0	

Orientation chronologique : Atelier

- F. 5212 ?, Sd. 661

Contexte	famille	type/s. type	NR	%NR	NMI	%NMI	EqV	%EqV
F5212?-Sd661	BAIS	8ind	1	100%	1	100%	0.03	111%
F5212?-Sd661	BAIS	total famille	1	100%	1	100%	0.03	100%
F5212?-Sd661	total		1		1		0.03	0.02%

Orientation chronologique : Atelier

- F. 5215, Us 1

Contexte	famille	type/s. type	NR	%NR	NMI	%NMI	EqV	%EqV
F5215-US1	BAIS	o	1	50.0%	0		0	
F5215-US1	BAIS	8ind	1	50.0%	1	100%	0.06	92.6%
F5215-US1	BAIS	total famille	2	100%	1	100%	0.06	100%
F5215-US1	total		2		1		0.06	0.05%

Orientation chronologique : Atelier

- F. 5216

Contexte	famille	type/s. type	NR	%NR	NMI	%NMI	EqV	%EqV
F5216	BAIS	o	1	100%	1	100%	0	
F5216	BAIS	total famille	1	100%	1	100%	0	
F5216	total		1		1		0	

Orientation chronologique : Atelier

- F. 5219

Contexte	famille	type/s. type	NR	%NR	NMI	%NMI	EqV	%EqV
F5219	BAIS	o	18	85.7%	0		0	
F5219	BAIS	2d	3	14.3%	1	100%	0.11	101%
F5219	BAIS	total famille	21	100%	1	100%	0.11	100%
F5219	total		21		1		0.11	0.08%

Orientation chronologique : Atelier

-
- F. 5221

Contexte	famille	type/s. type	NR	%NR	NMI	%NMI	EqV	%EqV
F5221	BAIS	o	6	100%	0		0	
F5221	BAIS	total famille	6	100%	0		0	
F5221	total		6		0		0	

Orientation chronologique : Atelier

- F. 5222

Contexte	famille	type/s. type	NR	%NR	NMI	%NMI	EqV	%EqV
F5222	BAIS	o	4	100%	0		0	
F5222	BAIS	total famille	4	100%	0		0	
F5222	total		4		0		0	

Orientation chronologique : Atelier

- F. 5223, Surface, décapage

Contexte	famille	type/s. type	NR	%NR	NMI	%NMI	EqV	%EqV
F5223-USurface décapage	EXO	total famille	3	100%	0		0	
F5223-USurface décapage	total		3		0		0	

Les 3 fragments de céramiques révélés par ce contexte correspondent à des tessons fabriqués hors de l'atelier (exogènes). La facture de leurs pâtes permet néanmoins de les dater de la période laténienne sans plus de précision.

Orientation chronologique : 2^e âge du Fer.

- F. 5224

Contexte	famille	type/s. type	NR	%NR	NMI	%NMI	EqV	%EqV
F5224	BAIS	o	19	82.6%	o		o	
F5224	BAIS	2a	4	17.4%	1	100%	0.22	101%
F5224	BAIS	total famille	23	100%	1	100%	0.22	100%
F5224	total		23		1		0.22	0.17%

L'unique individu mis au jour dans ce contexte s'apparente à un récipient de type 2a qui affiche des traces d'utilisation.

Orientation chronologique : Atelier

- F. 5224, Us 10 (Us du fond)

Contexte	famille	type/s. type	NR	%NR	NMI	%NMI	EqV	%EqV
F5224-US10 (Us du fond)	BAIS	o	5	100%	o		o	
F5224-US10 (Us du fond)	BAIS	total famille	5	100%	0		0	
F5224-US10 (Us du fond)	total		5		0		0	

Orientation chronologique : Atelier

- F. 5224, Us 7

Contexte	famille	type/s. type	NR	%NR	NMI	%NMI	EqV	%EqV
F5224-US7	BAIS	o	11	100%	o		o	
F5224-US7	BAIS	total famille	11	78.6%	0		0	
F5224-US7	EXO	total famille	3	21.4%	1	100%	0	
F5224-US7	total		14		1		0	

Le seul individu recensé ici n'a pas été produit par l'atelier et s'apparente à un récipient à lèvre en bourrelet. Il trouve des comparaisons, au niveau régional, dans des contextes datés de la seconde moitié de La Tène finale (entre les années -75 et la fin du 1^{er} siècle avant notre ère).

Orientation chronologique : seconde moitié de La Tène finale.

- F. 5225

Contexte	famille	type/s. type	NR	%NR	NMI	%NMI	EqV	%EqV
F5225	BAIS	o	2	100%	0		0	
F5225	BAIS	total famille	2	100%	0		0	
F5225	total		2		0		0	

Orientation chronologique : Atelier

- F. 5227

Contexte	famille	type/s. type	NR	%NR	NMI	%NMI	EqV	%EqV
F5227	BAIS	o	4	100%	1	100%	0	
F5227	BAIS	total famille	4	100%	1	100%	0	
F5227	total		4		1		0	

Orientation chronologique : Atelier

- F. 5228

Contexte	famille	type/s. type	NR	%NR	NMI	%NMI	EqV	%EqV
F5228	BAIS	o	2	50.0%	0		0	
F5228	BAIS	2d	1	25.0%	1	50.0%	0.07	51.6%
F5228	BAIS	3b	1	25.0%	1	50.0%	0.07	47.6%
F5228	BAIS	total famille	4	100%	2	100%	0.14	100%
F5228	total		4		2		0.14	0.11%

Orientation chronologique : Atelier

-
- F. 5229

Contexte	famille	type/s. type	NR	%NR	NMI	%NMI	EqV	%EqV
F5229	BAIS	o	1	100%	0		0	
F5229	BAIS	total famille	1	100%	0		0	
F5229	total		1		0		0	

Orientation chronologique : Atelier

- F. 5229, Décapage

Contexte	famille	type/s. type	NR	%NR	NMI	%NMI	EqV	%EqV
F5229-USDécapage	BAIS	o	3	100%	0		0	
F5229-USDécapage	BAIS	total famille	3	100%	0		0	
F5229-USDécapage	total		3		0		0	

Orientation chronologique : Atelier

- F. 5230

Contexte	famille	type/s. type	NR	%NR	NMI	%NMI	EqV	%EqV
F5230	BAIS	o	3	100%	0		0	
F5230	BAIS	total famille	3	100%	0		0	
F5230	total		3		0		0	

Orientation chronologique : Atelier

- F. 5230, Corolle ext. gris

Contexte	famille	type/s. type	NR	%NR	NMI	%NMI	EqV	%EqV
F5230-USCorolle ext. gris	BAIS	o	22	88.0%	o		o	
F5230-USCorolle ext. gris	BAIS	2b	2	8.0%	2	66.7%	0.06	50.5%
F5230-USCorolle ext. gris	BAIS	3a	1	4.0%	1	33.3%	0.06	53.0%
F5230-USCorolle ext. gris	BAIS	total famille	25	100%	3	100%	0.11	100%
F5230-USCorolle ext. gris	total		25		3		0.11	0.08%

Orientation chronologique : Atelier

- F. 5230, Limon gris foncé

Contexte	famille	type/s. type	NR	%NR	NMI	%NMI	EqV	%EqV
F5230-USLimon gris foncé	BAIS	o	101	94.4%	8	61.5%	o	
F5230-USLimon gris foncé	BAIS	1b	2	1.9%	1	7.7%	0.13	41.7%
F5230-USLimon gris foncé	BAIS	2a	1	0.9%	1	7.7%	0.06	17.4%
F5230-USLimon gris foncé	BAIS	2b	1	0.9%	1	7.7%	0.04	12.2%
F5230-USLimon gris foncé	BAIS	2b(v)	1	0.9%	1	7.7%	0.06	17.4%
F5230-USLimon gris foncé	BAIS	3a	1	0.9%	1	7.7%	0.04	12.2%
F5230-USLimon gris foncé	BAIS	total famille	107	99.1%	13	92.9%	0.32	82.1%
F5230-USLimon gris foncé	EXO	total famille	1	0.9%	1	7.1%	0.07	18.0%
F5230-USLimon gris foncé	total		108		14	1%	0.39	0.30%

Sur les 14 individus recensés lors de la fouille de ce contexte, seul 1 n'a pas été produit par l'atelier ; sa morphologie évoque les productions du tout début de l'Antiquité. On observe par ailleurs la présence d'une variante du type 2b.

Orientation chronologique : Atelier

Lames minces N°45-46-47-48

- F. 5230, Sd. 554

Contexte	famille	type/s. type	NR	%NR	NMI	%NMI	EqV	%EqV
F5230-Sd554	BAIS	o	10	90.9%	1	50.0%	o	
F5230-Sd554	BAIS	2a(v)	1	9.1%	1	50.0%	0.03	102%
F5230-Sd554	BAIS	total famille	11	91.7%	2	66.7%	0.03	30.0%
F5230-Sd554	EXO	total famille	1	8.3%	1	33.3%	0.07	70.0%
F5230-Sd554	total		12		3		0.10	0.08%

Sur les 3 individus dévoilés par ce contexte, on note la présence d'une variante du type 2a affichant des traces d'utilisation, mais également celle d'une céramique exogène qui évoque fortement les proto *terra nigra* datées de la seconde moitié de La Tène finale.

Orientation chronologique : seconde moitié de La Tène finale

Lame mince N°36

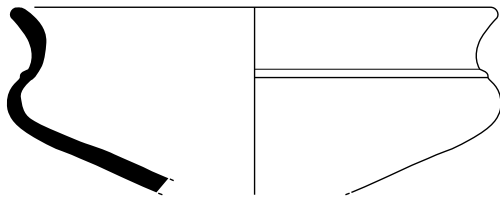
Synthèse sur la structure F.5230

Cette structure livre un total de 18 individus. Avec ses 4 occurrences, seul le type 2b se distingue quelque peu des autres types (fig. 441).

• F. 5234, Sd. 546 (fig. 357 et 358)

Contexte	famille	type/s. type	NR	%NR	NMI	%NMI	EqV	%EqV
F5234-Sd546	BAIS	o	173	92.0%	o		o	
F5234-Sd546	BAIS	iind	1	0.5%	1	25.0%	o	
F5234-Sd546	BAIS	2a	1	0.5%	1	25.0%	o	
F5234-Sd546	BAIS	2b	4	2.1%	1	25.0%	o	
F5234-Sd546	BAIS	3b	9	4.8%	1	25.0%	0.94	100%
F5234-Sd546	BAIS	total famille	188	99.5%	4	80.0%	0.94	88.7%
F5234-Sd546	EXO	total famille	1	0.5%	1	20.0%	0.11	10.4%
F5234-Sd546	total		189	1%	5		1.06	0.80%

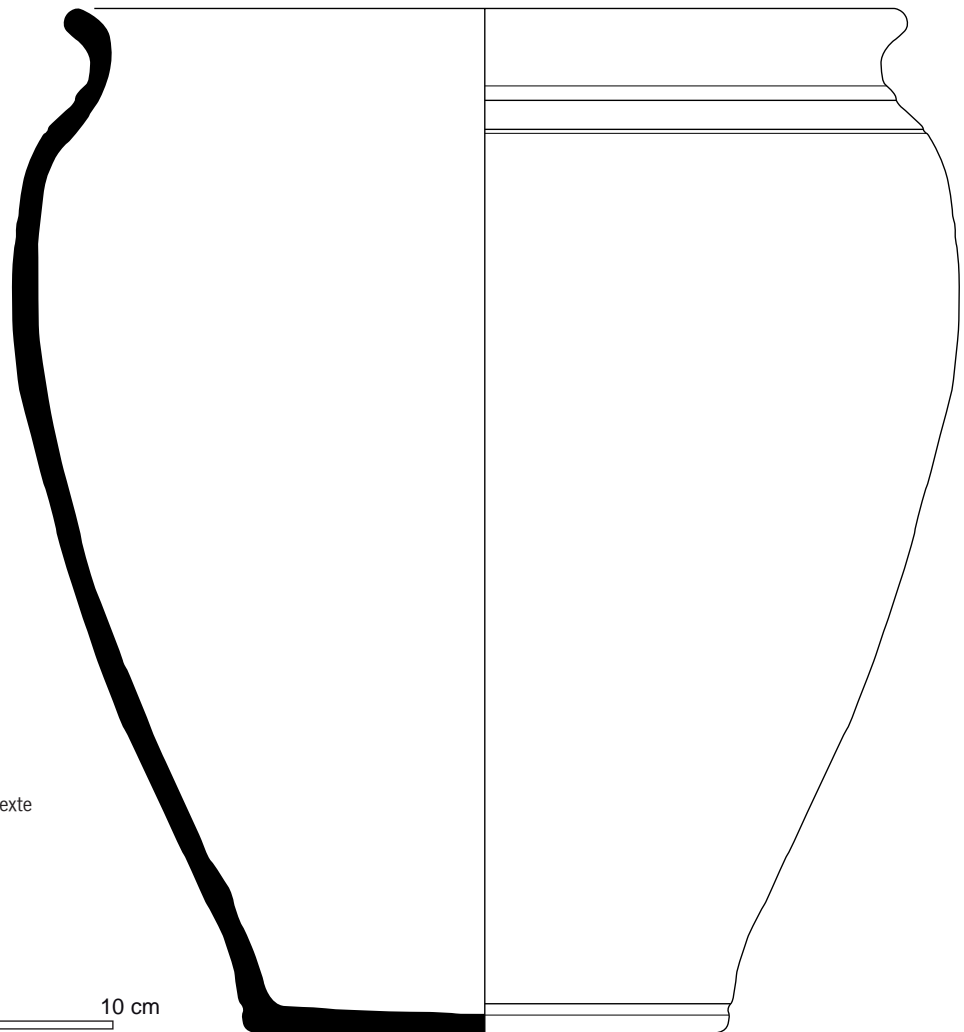
Sur les 189 tessons révélés par ce contexte, on n'observe l'existence que de 5 individus. Seul l'un s'apparente à une production exogène ; il s'agit d'une petite jatte à profil en esse bien marqué dont l'épaule est souligné par une baguette horizontale. A l'échelle régionale, ce type de récipient trouve des comparaisons dans des contextes datés entre La Tène moyenne et La Tène finale. Dessin 704.



Secteur 2 , St 5234, Sd. 546, Dessin 704

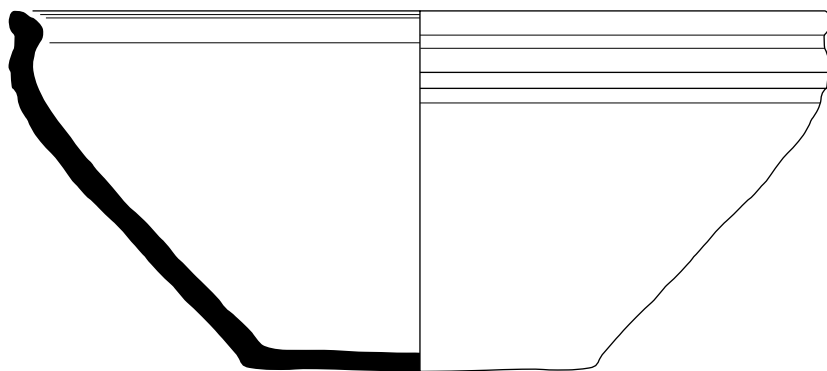
(Exogène)

Orientation chronologique : atelier

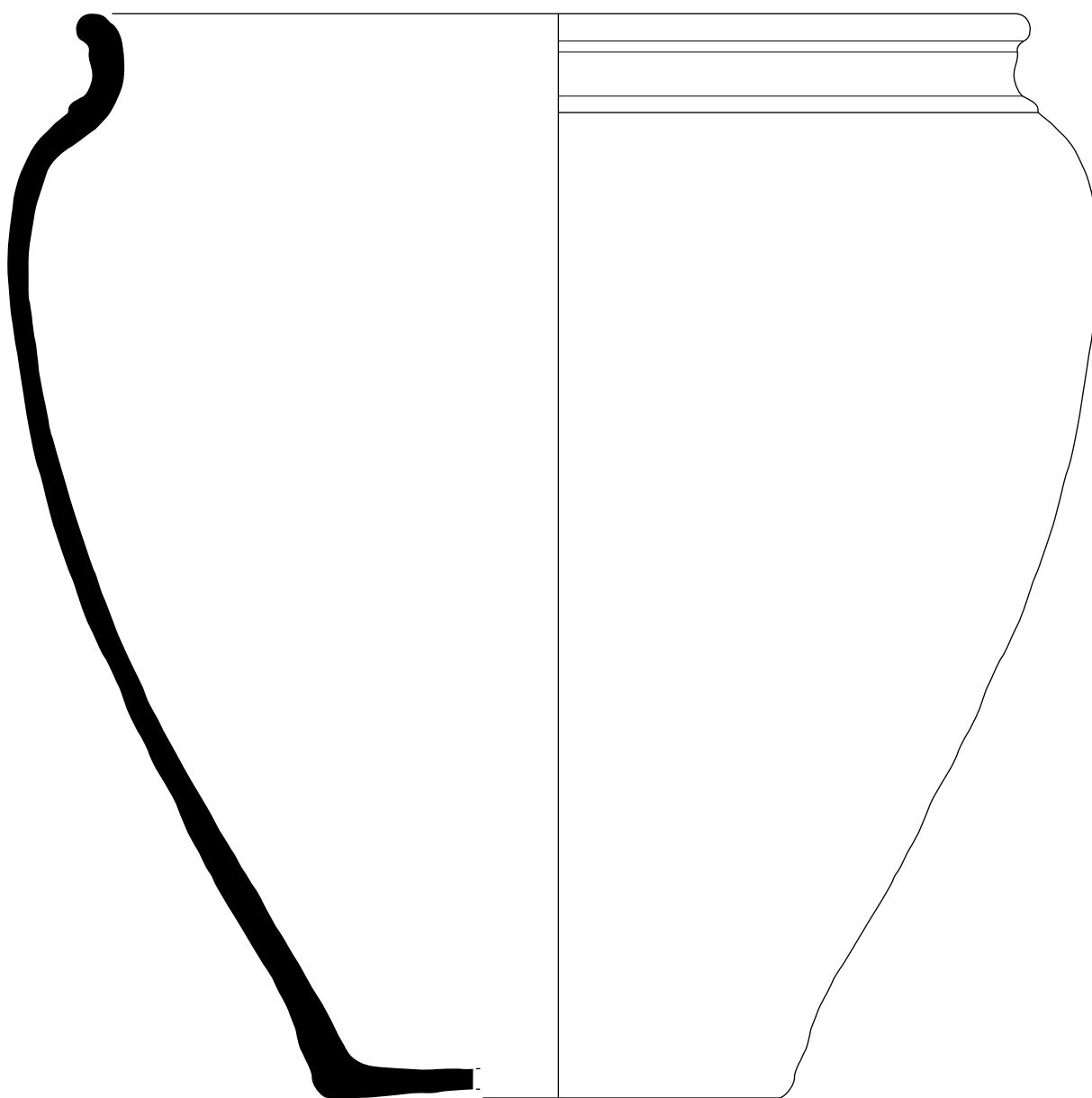


0 10 cm

Fig. 357 : céramiques découvertes au sein du contexte F. 5234 sd 546 © N. Ménez



Secteur 2 , St 5234, Sd. 546, Dessin 703



Secteur 2 , St 5234, Sd. 546, Dessin 705

Fig. 358 : céramiques découvertes au sein du contexte F. 5234 sd 546 © N. Ménez



Lames minces N°21-22

- F. 5234, Sd. 596

Contexte	famille	type/s. type	NR	%NR	NMI	%NMI	EqV	%EqV
F5234-Sd596	BAIS	o	1	50.0%	0		0	
F5234-Sd596	BAIS	rind	1	50.0%	1	100%	0	
F5234-Sd596	BAIS	total famille	2	100%	1	100%	0	
F5234-Sd596	total		2		1		0	

Orientation chronologique : Atelier

- F. 5234, Sd. 597, Us 1

Contexte	famille	type/s. type	NR	%NR	NMI	%NMI	EqV	%EqV
F5234-Sd597-US1	BAIS	o	4	100%	0		0	
F5234-Sd597-US1	BAIS	total famille	4	100%	0		0	
F5234-Sd597-US1	total		4		0		0	

Orientation chronologique : Atelier

- F. 5235

Contexte	famille	type/s. type	NR	%NR	NMI	%NMI	EqV	%EqV
F5235	BAIS	o	8	72.7%	0		0	
F5235	BAIS	2a	2	18.2%	1	50.0%	0	
F5235	BAIS	2d	1	9.1%	1	50.0%	0.07	103%
F5235	BAIS	total famille	11	100%	2	100%	0.07	100%
F5235	total		11		2		0.07	0.05%

Orientation chronologique : Atelier

Lame mince N°29

- F. 5235, Us 2

Contexte	famille	type/s. type	NR	%NR	NMI	%NMI	EqV	%EqV
F5235-US2	BAIS	o	14	100%	0		0	
F5235-US2	BAIS	total famille	14	100%	0		0	
F5235-US2	total		14		0		0	

Orientation chronologique : Atelier

- F. 5236

Contexte	famille	type/s. type	NR	%NR	NMI	%NMI	EqV	%EqV
F5236	BAIS	o	145	97.3%	5	55.6%	0	
F5236	BAIS	rind	2	1.3%	2	22.2%	0	
F5236	BAIS	2d	1	0.7%	1	11.1%	0.06	55.6%
F5236	BAIS	3a	1	0.7%	1	11.1%	0.05	45.5%
F5236	BAIS	total famille	149	100%	9	100%	0.11	100%
F5236	total		149	1%	9	1%	0.11	0.08%

Près de 150 fragments de poterie ont été découverts au sein de ce contexte, pour seulement 9 individus estimés. Aucun type ne se distingue des autres du point de vue quantitatif.

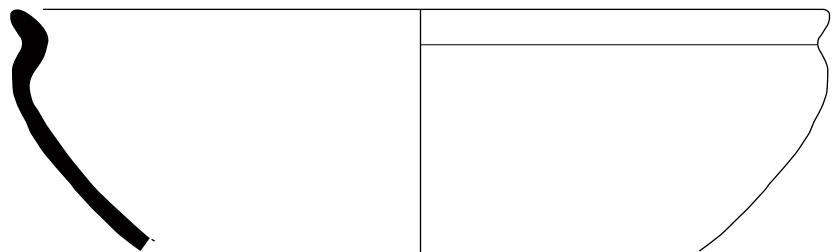
Orientation chronologique : Atelier

- **F. 5236, Sd. 504 (fig. 359)**

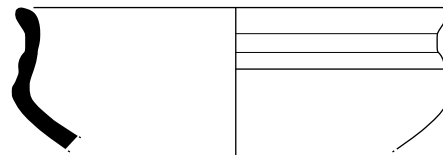
Contexte	famille	type/s. type	NR	%NR	NMI	%NMI	EqV	%EqV
F5236-Sd504	BAIS	o	475	95.0%	5	23.8%	0	
F5236-Sd504	BAIS	100	1	0.2%	1	4.8%	0.12	6.72%
F5236-Sd504	BAIS	1a	2	0.4%	2	9.5%	0.14	7.63%
F5236-Sd504	BAIS	1b	4	0.8%	2	9.5%	0.30	16.3%
F5236-Sd504	BAIS	1c(v)	3	0.6%	2	9.5%	0.25	13.7%
F5236-Sd504	BAIS	1ind	1	0.2%	1	4.8%	0	
F5236-Sd504	BAIS	2a	6	1.2%	2	9.5%	0.56	30.8%
F5236-Sd504	BAIS	2a(v)	1	0.2%	1	4.8%	0.04	2.44%
F5236-Sd504	BAIS	2d	2	0.4%	2	9.5%	0.09	5.19%
F5236-Sd504	BAIS	3a	3	0.6%	1	4.8%	0	
F5236-Sd504	BAIS	9	2	0.4%	2	9.5%	0.31	16.9%
F5236-Sd504	BAIS	total famille	500	100%	21	100%	1.82	100%
F5236-Sd504	total		500	2%	21	1%	1.82	1.38%

Ce contexte livre un important lot de mobilier constitué de 500 tessons pour 21 individus estimés. Tous produits par l'atelier, on y dénombre notamment 7 individus de type 1 (soit un tiers des individus recensés) ainsi qu'un unicum (type 100). On observe également quelques variantes des types 1c et 2a (3 individus).

Orientation chronologique : Atelier



Secteur 2, St. 5236, Sd. 504, Dessin 783



Secteur 2, St. 5236, Sd. 504, Dessin 782

0 10 cm

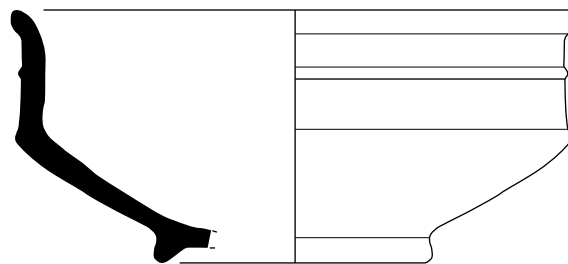
Fig. 359 : céramiques découvertes au sein du contexte F. 5236 sd 504 © N. Ménez

• **F. 5236, Sd. 582** (fig. 360)

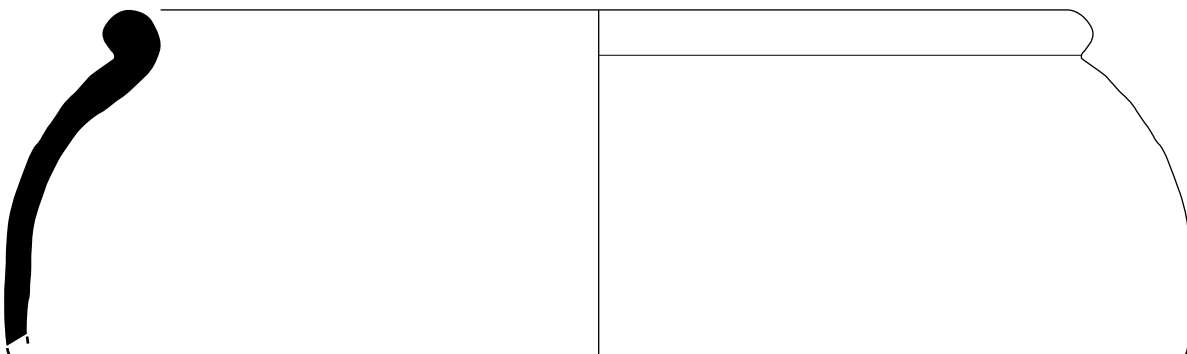
Contexte	famille	type/s. type	NR	%NR	NMI	%NMI	EqV	%EqV
F5236-Sd582	BAIS	0	193	85.4%	4	19.0%	0	
F5236-Sd582	BAIS	1a	1	0.4%	1	4.8%	0.11	10.5%
F5236-Sd582	BAIS	1b(v)	2	0.9%	1	4.8%	0.08	7.86%
F5236-Sd582	BAIS	1ind	7	3.1%	3	14.3%	0	
F5236-Sd582	BAIS	2a	2	0.9%	2	9.5%	0.09	8.91%
F5236-Sd582	BAIS	2a(v)	7	3.1%	2	9.5%	0.29	27.0%
F5236-Sd582	BAIS	2ind	4	1.8%	2	9.5%	0	
F5236-Sd582	BAIS	3a	3	1.3%	2	9.5%	0.20	18.9%
F5236-Sd582	BAIS	3a(v)	1	0.4%	1	4.8%	0.06	5.24%
F5236-Sd582	BAIS	9	6	2.7%	3	14.3%	0.23	21.5%
F5236-Sd582	BAIS	total famille	226	100%	21	100%	1.06	100%
F5236-Sd582	total		226	1%	21	1%	1.06	0.80%

L'ensemble du mobilier mis au jour au sein de ce contexte provient de l'atelier. On y recense principalement des individus de type 1, 2 et 3 dont certains présentent des variantes. Trois récipients de type 9 affichant un degré de conservation important complètent l'ensemble.

Orientation chronologique : Atelier



Secteur 2 , St 5236, Sd. 582, Dessin 797



Secteur 2 , St 5236, Sd. 582, Dessin 789



Fig. 360 : céramiques découvertes au sein du contexte F. 5236 sd 582 © N. Ménez

- **F. 5236, Sd. 600**

Contexte	famille	type/s. type	NR	%NR	NMI	%NMI	EqV	%EqV
F5236-Sd600	BAIS	o	109	90.8%	2	25.0%	o	
F5236-Sd600	BAIS	1b	2	1.7%	1	12.5%	0.12	18.0%
F5236-Sd600	BAIS	1b(v)	1	0.8%	1	12.5%	0.08	12.0%
F5236-Sd600	BAIS	1c	5	4.2%	2	25.0%	0.25	38.5%
F5236-Sd600	BAIS	2a	1	0.8%	1	12.5%	0.07	10.3%
F5236-Sd600	BAIS	2d	2	1.7%	1	12.5%	0.14	21.4%
F5236-Sd600	BAIS	total famille	120	100%	8	100%	0.65	100%
F5236-Sd600	total		120	1%	8	1%	0.65	0.49%

Au sein de ce contexte constitué intégralement d'individus issus de l'atelier, le seul élément notable est la présence d'une variante du type 1b.

Orientation chronologique : Atelier

Lames minces N°42-43

- **F. 5236, Sd. 600**

Contexte	famille	type/s. type	NR	%NR	NMI	%NMI	EqV	%EqV
F5136-Sd600	BAIS	o	73	96.1%	o		o	
F5136-Sd600	BAIS	2a	1	1.3%	1	33.3%	0.10	35.7%
F5136-Sd600	BAIS	2a(v)	1	1.3%	1	33.3%	0.11	39.7%
F5136-Sd600	BAIS	2d	1	1.3%	1	33.3%	0.07	24.8%
F5136-Sd600	BAIS	total famille	76	100%	3	100%	0.28	100%
F5136-Sd600	total		76		3		0.28	0.21%

Les éléments notables issus de ce contexte sont la présence de traces d'utilisation sur l'un des deux individus de type 2a ainsi que l'existence d'une variante de ce même type.

Orientation chronologique : Atelier

- **F. 5236, Sd. 601**

Contexte	famille	type/s. type	NR	%NR	NMI	%NMI	EqV	%EqV
F5236-Sd601-US1	BAIS	o	78	85.7%	1	12.5%	o	
F5236-Sd601-US1	BAIS	1a	2	2.2%	1	12.5%	0.17	23.3%
F5236-Sd601-US1	BAIS	1b	2	2.2%	2	25.0%	0.14	19.5%
F5236-Sd601-US1	BAIS	1ind	4	4.4%	2	25.0%	o	
F5236-Sd601-US1	BAIS	2a	2	2.2%	1	12.5%	0.10	13.1%
F5236-Sd601-US1	BAIS	2a(v)	3	3.3%	1	12.5%	0.32	43.5%
F5236-Sd601-US1	BAIS	total famille	91	100%	8	100%	0.74	100%
F5236-Sd601-US1	total		91		8	1%	0.74	0.56%

On observe ici que plus de la moitié des individus recensés s'apparente à des récipients de type 1 (7 individus sur 12). On note également la présence d'une variante du type 2a.

Orientation chronologique : Atelier

Lames minces N°40-41

- **F. 5236, Sd. 601, Us 1 (fig. 361)**

Contexte	famille	type/s. type	NR	%NR	NMI	%NMI	EqV	%EqV
F5236-Sd601	BAIS	o	181	91.9%	3	25.0%	o	
F5236-Sd601	BAIS	1b	1	0.5%	1	8.3%	0.11	24.2%
F5236-Sd601	BAIS	1c	8	4.1%	2	16.7%	0.27	59.2%
F5236-Sd601	BAIS	1ind	5	2.5%	4	33.3%	o	
F5236-Sd601	BAIS	2a(v)	1	0.5%	1	8.3%	0.07	15.7%
F5236-Sd601	BAIS	2ind	1	0.5%	1	8.3%	o	
F5236-Sd601	BAIS	total famille	197	100%	12	100%	0.46	100%
F5236-Sd601	total		197	1%	12	1%	0.46	0.35%

Comme pour le contexte précédent (F. 5236, Sd.601), plus de la moitié des individus dénombrés (5 individus sur 8) s'apparente à des récipients de type 1. On observe également la présence d'une variante du type 2a.

Orientation chronologique : Atelier

Synthèse sur la structure F.5236

A travers les quelques sondages dont elle a fait l'objet, cette structure livre un total de 79 individus, ce qui en fait le troisième contexte le plus prolifique du site du point de vue du mobilier. Avec 38 occurrences, le type 2 y est de loin le mieux représenté (48%). On observe également la présence de 6 récipients de type 1c (fig. 441).

- **F. 5238**

Contexte	famille	type/s. type	NR	%NR	NMI	%NMI	EqV	%EqV
F5238	BAIS	o	6	100%	o		o	
F5238	BAIS	total famille	6	100%	0		0	
F5238	total		6		0		0	

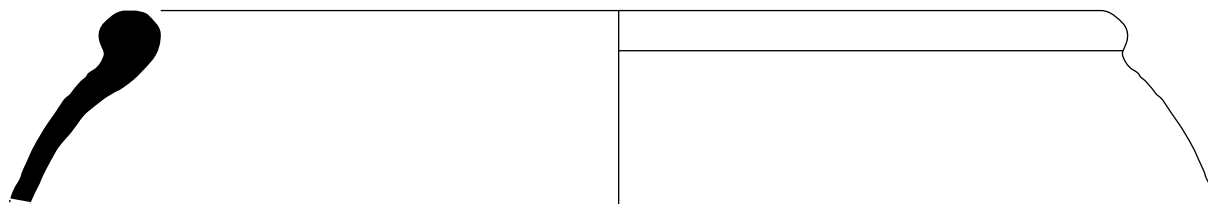
Orientation chronologique : Atelier

- **F. 5240, Sd. 681, Us 1**

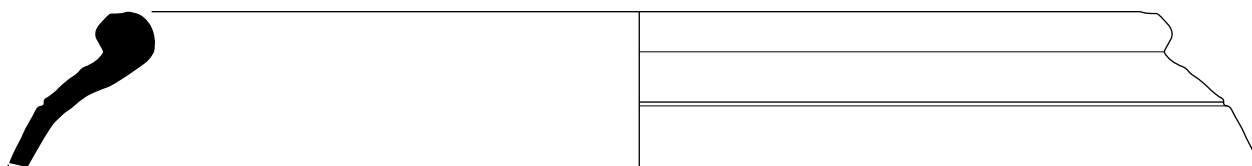
Contexte	famille	type/s. type	NR	%NR	NMI	%NMI	EqV	%EqV
F5240-Sd681-US1	BAIS	o	20	76.9%	o		o	
F5240-Sd681-US1	BAIS	2b	6	23.1%	1	100%	0.31	100%
F5240-Sd681-US1	BAIS	total famille	26	100%	1	100%	0.31	100%
F5240-Sd681-US1	total		26		1		0.31	0.24%

Orientation chronologique : Atelier

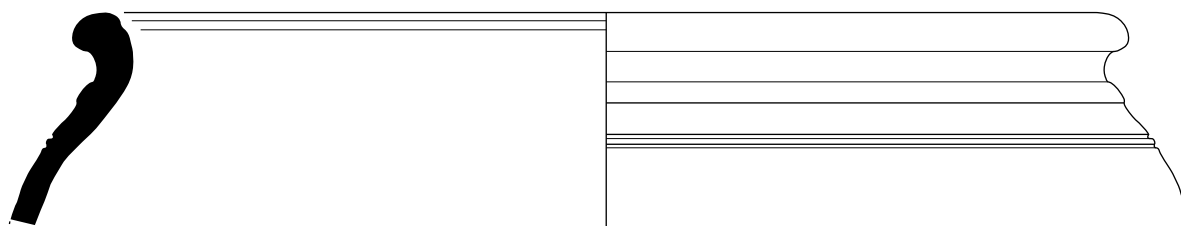
Lame mince N°144



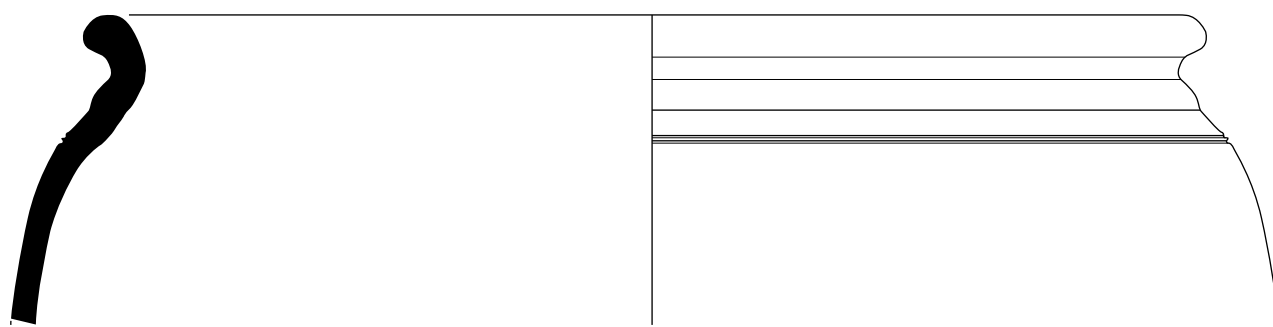
Secteur 2 , St 5236, Sd. 601, Us 1, Dessin 802



Secteur 2 , St 5236, Sd. 601, Us 1, Dessin 803



Secteur 2 , St 5236, Sd. 601, Us 1, Dessin 805



Secteur 2 , St 5136, Sd. 600, Dessin 809



Fig. 361 : céramiques découvertes au sein des contextes F. 5236 sd 601 Us 1 et F. 5136 sd 600 © N. Ménez

- **F. 5252**

Contexte	famille	type/s. type	NR	%NR	NMI	%NMI	EqV	%EqV
F5252	BAIS	o	37	86.0%	o		o	
F5252	BAIS	1b	3	7.0%	2	50.0%	0.18	68.4%
F5252	BAIS	1ind	2	4.7%	1	25.0%	o	
F5252	BAIS	2b	1	2.3%	1	25.0%	0.08	29.9%
F5252	BAIS	total famille	43	97.7%	4	80.0%	0.26	100%
F5252	EXO	total famille	1	2.3%	1	20.0%	0	
F5252	total		44		5		0.26	0.20%

Au sein du petit lot de mobilier mis au jour ici (44 tessons), seul un fragment de céramique n'est pas issu de l'atelier (exogène). Il s'agit de la lèvre d'un récipient non caractérisable que seule la facture de la pâte permet de dater de la période laténienne sans plus de précision.

Orientation chronologique : Atelier

- **F. 5252, Sd. 606**

Contexte	famille	type/s. type	NR	%NR	NMI	%NMI	EqV	%EqV
F5252-Sd606	BAIS	o	8	100%	o		o	
F5252-Sd606	BAIS	total famille	8	100%	0		0	
F5252-Sd606	total		8		0		0	

Orientation chronologique : Atelier

- **F. 5261, Us 1**

Contexte	famille	type/s. type	NR	%NR	NMI	%NMI	EqV	%EqV
F5261-US1	BAIS	o	3	75.0%	o		o	
F5261-US1	BAIS	3b(v)	1	25.0%	1	100%	o	
F5261-US1	BAIS	total famille	4	100%	1	100%	0	
F5261-US1	total		4		1		0	

On remarque ici que l'unique individu dénombré s'apparente à une variante du type 3b.

Orientation chronologique : Atelier

- **F. 5262, Us 1**

Contexte	famille	type/s. type	NR	%NR	NMI	%NMI	EqV	%EqV
F5262-US1	BAIS	o	1	100%	o		o	
F5262-US1	BAIS	total famille	1	100%	0		0	
F5262-US1	total		1		0		0	

Orientation chronologique : Atelier

- **F. 5263, Us 1**

Contexte	famille	type/s. type	NR	%NR	NMI	%NMI	EqV	%EqV
F5263-US1	BAIS	o	7	100%	o		o	
F5263-US1	BAIS	total famille	7	100%	0		0	
F5263-US1	total		7		0		0	

Orientation chronologique : Atelier

- **F. 5264, Us 1 et 2**

Contexte	famille	type/s. type	NR	%NR	NMI	%NMI	EqV	%EqV
F5264-US1 et 2	BAIS	o	16	94.1%	o		o	
F5264-US1 et 2	BAIS	2b(v)	1	5.9%	1	100%	0.13	98.3%
F5264-US1 et 2	BAIS	total famille	17	100%	1	100%	0.13	100%
F5264-US1 et 2	total		17		1		0.13	0.10%

Au sein de ce contexte, le seul individu recensé correspond à une variante fine du type 2b.

Orientation chronologique : Atelier

- **F. 5268**

Contexte	famille	type/s. type	NR	%NR	NMI	%NMI	EqV	%EqV
F5268	BAIS	o	14	100%	o		o	
F5268	BAIS	total famille	14	100%	0		0	
F5268	total		14		0		0	

Orientation chronologique : Atelier

- **F. 5270, Sd. 694, Us 1**

Contexte	famille	type/s. type	NR	%NR	NMI	%NMI	EqV	%EqV
F5270-Sd694-US1	BAIS	o	70	89.7%	o		o	
F5270-Sd694-US1	BAIS	3b	8	10.3%	1	100%	0.17	101%
F5270-Sd694-US1	BAIS	total famille	78	100%	1	100%	0.17	100%
F5270-Sd694-US1	total		78		1		0.17	0.13%

Orientation chronologique : Atelier

- **F. 5271**

Contexte	famille	type/s. type	NR	%NR	NMI	%NMI	EqV	%EqV
F5271	BAIS	o	1	100%	o		o	
F5271	BAIS	total famille	1	100%	0		0	
F5271	total		1		0		0	

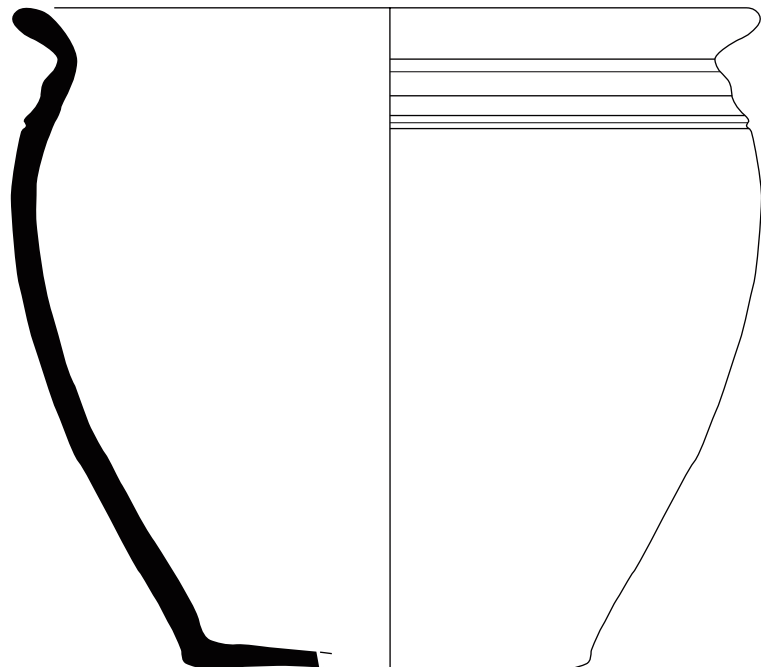
Orientation chronologique : Atelier

• **F. 5272** (fig. 362)

Contexte	famille	type/s. type	NR	%NR	NMI	%NMI	EqV	%EqV
F5272	BAIS	o	222	87.4%	o		o	
F5272	BAIS	1ind	1	0.4%	1	8.3%	o	
F5272	BAIS	2a	6	2.4%	2	16.7%	0.31	22.3%
F5272	BAIS	2d	10	3.9%	3	25.0%	0.47	34.0%
F5272	BAIS	2ind	7	2.8%	4	33.3%	o	
F5272	BAIS	3a	7	2.8%	1	8.3%	0.57	41.3%
F5272	BAIS	3b	1	0.4%	1	8.3%	0.03	2.01%
F5272	BAIS	total famille	254	100%	12	100%	1.38	100%
F5272	total		254	1%	12	1%	1.38	1.05%

Ce contexte livre un lot de mobilier relativement important composé de 254 restes pour 12 individus estimés. On remarque surtout la prédominance du type 2 par rapport aux autres types (9 individus sur les 12 recensés).

Orientation chronologique : Atelier



Secteur 2 , St 5272, Dessin 232



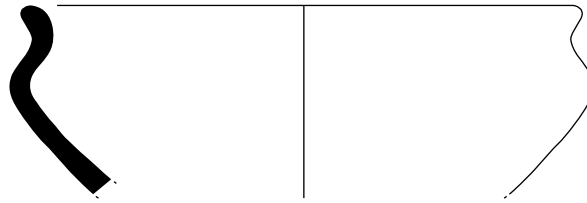
Fig. 362 : céramiques découvertes au sein du contexte F. 5272 © N. Ménez

• **F. 5272, Us 5** (fig. 363)

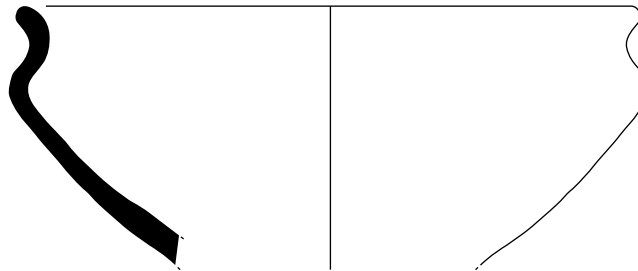
Contexte	famille	type/s. type	NR	%NR	NMI	%NMI	EqV	%EqV
F5272-US5	BAIS	o	54	80.6%	o		o	
F5272-US5	BAIS	1ind	1	1.5%	1	16.7%	o	
F5272-US5	BAIS	2d	8	11.9%	3	50.0%	0.64	73.8%
F5272-US5	BAIS	3b	4	6.0%	2	33.3%	0.23	26.5%
F5272-US5	BAIS	total famille	67	100%	6	100%	0.87	100%
F5272-US5	total		67		6		0.87	0.66%

Orientation chronologique : Atelier

Lames minces N°9-10



Secteur 2, St 5272, Us 5, Dessin 223



Secteur 2, St 5272, Us 5, Dessin 225



Fig. 363 : céramiques découvertes au sein du contexte F. 5272 Us 5 © N. Ménez

- F. 5272, Sd. 527, Us 2

Contexte	famille	type/s. type	NR	%NR	NMI	%NMI	EqV	%EqV
F5272-Sd527-US2	BAIS	o	35	92.1%	o		o	
F5272-Sd527-US2	BAIS	2d	1	2.6%	1	50.0%	0.07	44.4%
F5272-Sd527-US2	BAIS	3b	2	5.3%	1	50.0%	0.08	55.6%
F5272-Sd527-US2	BAIS	total famille	38	100%	2	100%	0.15	100%
F5272-Sd527-US2	total		38		2		0.15	0.11%

Orientation chronologique : Atelier

- F. 5272, Sd. 527, Us 3

Contexte	famille	type/s. type	NR	%NR	NMI	%NMI	EqV	%EqV
F5272-Sd527-US3	BAIS	o	5	71.4%	o		o	
F5272-Sd527-US3	BAIS	2d	2	28.6%	1	100%	0.04	97.2%
F5272-Sd527-US3	BAIS	total famille	7	100%	1	100%	0.04	100%
F5272-Sd527-US3	total		7		1		0.04	0.03%

Orientation chronologique : Atelier

- **F. 5272, Sd. 527, Us au fond**

Contexte	famille	type/s. type	NR	%NR	NMI	%NMI	EqV	%EqV
F5272-Sd527-USAu fond	BAIS	o	1	50.0%	0		0	
F5272-Sd527-USAu fond	BAIS	2ind	1	50.0%	1	100%	0.12	97.2%
F5272-Sd527-USAu fond	BAIS	total famille	2	100%	1	100%	0.12	100%
F5272-Sd527-USAu fond	total		2		1		0.12	0.09%

Orientation chronologique : Atelier

- **F. 5272, Sd. 529, Us 2 et 3**

Contexte	famille	type/s. type	NR	%NR	NMI	%NMI	EqV	%EqV
F5272-Sd529-US2 et 3	BAIS	o	215	89.2%	0		0	
F5272-Sd529-US2 et 3	BAIS	1b	1	0.4%	1	5.0%	0.07	7.08%
F5272-Sd529-US2 et 3	BAIS	1ind	3	1.2%	3	15.0%	0	
F5272-Sd529-US2 et 3	BAIS	2a	8	3.3%	5	25.0%	0.70	68.6%
F5272-Sd529-US2 et 3	BAIS	2d	4	1.7%	2	10.0%	0.24	24.0%
F5272-Sd529-US2 et 3	BAIS	2ind	10	4.1%	9	45.0%	0	
F5272-Sd529-US2 et 3	BAIS	total famille	241	100%	20	100%	1.02	100%
F5272-Sd529-US2 et 3	total		241	1%	20	1%	1.02	0.77%

Ce contexte recèle 241 fragments de poterie pour un nombre minimum d'individus estimé à 20. Tous produits par l'atelier, on y observe toutefois la prédominance du type 2 représenté par 16 individus.

Orientation chronologique : Atelier

Lames minces N°23-24-25-26-27

- **F. 5272, Sd. 529, Us 5**

Contexte	famille	type/s. type	NR	%NR	NMI	%NMI	EqV	%EqV
F5272-Sd529-US5	BAIS	o	39	86.7%	0		0	
F5272-Sd529-US5	BAIS	2ind	2	4.4%	1	33.3%	0	
F5272-Sd529-US5	BAIS	3a	2	4.4%	1	33.3%	0.06	50.9%
F5272-Sd529-US5	BAIS	3b	2	4.4%	1	33.3%	0.06	46.3%
F5272-Sd529-US5	BAIS	total famille	45	100%	3	100%	0.12	100%
F5272-Sd529-US5	total		45		3		0.12	0.09%

Orientation chronologique : Atelier

- **F. 5272, Sd. 529, Us 6**

Contexte	famille	type/s. type	NR	%NR	NMI	%NMI	EqV	%EqV
F5272-Sd529-US6	BAIS	o	6	85.7%	0		0	
F5272-Sd529-US6	BAIS	2c	1	14.3%	1	100%	0.03	92.6%
F5272-Sd529-US6	BAIS	total famille	7	100%	1	100%	0.03	100%
F5272-Sd529-US6	total		7		1		0.03	0.02%

Orientation chronologique : Atelier

- **F. 5272, Sd. 529, Us 7**

Contexte	famille	type/s. type	NR	%NR	NMI	%NMI	EqV	%EqV
F5272-Sd616	BAIS	o	245	87.5%	7	26.9%	o	
F5272-Sd616	BAIS	1b	2	0.7%	1	3.8%	0.04	1.96%
F5272-Sd616	BAIS	2a	12	4.3%	6	23.1%	0.63	31.9%
F5272-Sd616	BAIS	2a(v)	2	0.7%	1	3.8%	0.13	6.31%
F5272-Sd616	BAIS	2b	5	1.8%	1	3.8%	0.29	14.7%
F5272-Sd616	BAIS	2c	3	1.1%	1	3.8%	0.18	9.12%
F5272-Sd616	BAIS	2d	6	2.1%	4	15.4%	0.42	21.3%
F5272-Sd616	BAIS	2ind	1	0.4%	1	3.8%	o	
F5272-Sd616	BAIS	3a	2	0.7%	2	7.7%	0.09	4.49%
F5272-Sd616	BAIS	3b	2	0.7%	2	7.7%	0.20	10.1%
F5272-Sd616	BAIS	total famille	280	100%	26	100%	1.98	100%
F5272-Sd616	total		280	1%	26	2%	1.98	1.50%

Orientation chronologique : Atelier
Lames minces N°30-31-32-33

- **F. 5272, Sd. 555, Surface**

Contexte	famille	type/s. type	NR	%NR	NMI	%NMI	EqV	%EqV
F5272-Sd529-US7	BAIS	o	7	50.0%	o		o	
F5272-Sd529-US7	BAIS	2a	2	14.3%	2	66.7%	0.24	48.9%
F5272-Sd529-US7	BAIS	2b	5	35.7%	1	33.3%	0.26	51.7%
F5272-Sd529-US7	BAIS	total famille	14	100%	3	100%	0.50	100%
F5272-Sd529-US7	total		14		3		0.50	0.38%

Orientation chronologique : Atelier

- **F. 5272, Sd. 616 (fig. 364)**

Contexte	famille	type/s. type	NR	%NR	NMI	%NMI	EqV	%EqV
F5272-Sd555-USurface	BAIS	o	5	62.5%	o		o	
F5272-Sd555-USurface	BAIS	2ind	3	37.5%	1	100%	o	
F5272-Sd555-USurface	BAIS	total famille	8	100%	1	100%	o	
F5272-Sd555-USurface	total		8		1		o	

Ce contexte livre un important lot de mobilier issu de l'atelier à savoir 280 restes pour 26 individus estimés. Plus de la moitié de ces individus (14 sur 26) est constituée de récipients de type 2 dont un exemplaire correspond par ailleurs à une variante.

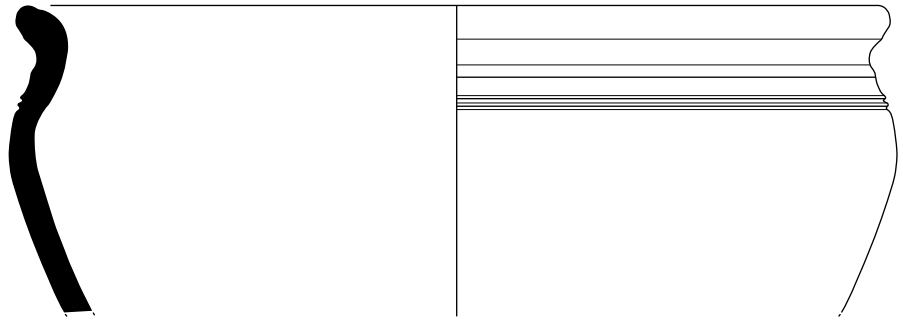
Orientation chronologique : Atelier

Lames minces N°7-8

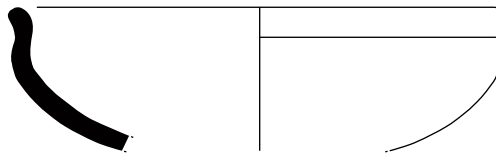
- **F. 5272, Sd. 616, Us 4**

Contexte	famille	type/s. type	NR	%NR	NMI	%NMI	EqV	%EqV
F5272-Sd616-US4	BAIS	o	2	100%	o		o	
F5272-Sd616-US4	BAIS	total famille	2	100%	o		o	
F5272-Sd616-US4	total		2		o		o	

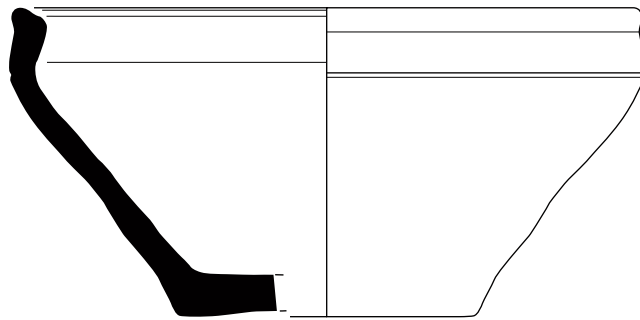
Orientation chronologique : Atelier



Secteur 2, St 5272, Sd. 616, Dessin 186



Secteur 2, St 5272, Sd. 616, Dessin 198



Secteur 2, St 5272, Sd. 616, Dessin 195



Fig. 364 : céramiques découvertes au sein du contexte F. 5272 sd 616 © N. Ménez

- F. 5272, Sd. 616, Us 8

Contexte	famille	type/s. type	NR	%NR	NMI	%NMI	EqV	%EqV
F5272-Sd616-US8	BAIS	o	106	88.3%	2	22.2%	0	
F5272-Sd616-US8	BAIS	2a	1	0.8%	1	11.1%	0.03	3.86%
F5272-Sd616-US8	BAIS	2d	8	6.7%	3	33.3%	0.46	63.7%
F5272-Sd616-US8	BAIS	3a	1	0.8%	1	11.1%	0.03	4.63%
F5272-Sd616-US8	BAIS	3b	4	3.3%	2	22.2%	0.20	27.8%
F5272-Sd616-US8	BAIS	total famille	120	100%	9	100%	0.72	100%
F5272-Sd616-US8	total		120	1%	9	1%	0.72	0.55%

Orientation chronologique : Atelier

- F. 5272, Sd. 617

Contexte	famille	type/s. type	NR	%NR	NMI	%NMI	EqV	%EqV
F5272-Sd617	BAIS	o	656	94.1%	11	34.4%	0	
F5272-Sd617	BAIS	1c	6	0.9%	3	9.4%	0.36	16.7%
F5272-Sd617	BAIS	2a	14	2.0%	3	9.4%	1.25	57.5%
F5272-Sd617	BAIS	2b	4	0.6%	2	6.3%	0.19	8.66%
F5272-Sd617	BAIS	2d	2	0.3%	2	6.3%	0.15	7.01%
F5272-Sd617	BAIS	2ind	9	1.3%	7	21.9%	0	
F5272-Sd617	BAIS	3a	2	0.3%	1	3.1%	0.10	4.46%
F5272-Sd617	BAIS	3b	4	0.6%	3	9.4%	0.12	5.61%
F5272-Sd617	BAIS	total famille	697	100%	32	100%	2.18	100%
F5272-Sd617	total		697	3%	32	2%	2.18	1.65%

Ce contexte révèle un important lot de mobilier issu de l'atelier à savoir 697 restes mais l'on y recense seulement 32 individus estimés. Au sein de ceux-ci, on observe la prédominance du type 2 (14 individus) par rapport aux autres types.

Orientation chronologique : Atelier

Lames minces N°6-11-18-19-20

- F. 5272, Sd. 626

Contexte	famille	type/s. type	NR	%NR	NMI	%NMI	EqV	%EqV
F5272-Sd674-US3	BAIS	o	45	84.9%	1	20.0%	0	
F5272-Sd674-US3	BAIS	2b	2	3.8%	1	20.0%	0.16	35.8%
F5272-Sd674-US3	BAIS	2ind	1	1.9%	1	20.0%	0.06	12.4%
F5272-Sd674-US3	BAIS	3a	5	9.4%	2	40.0%	0.23	51.2%
F5272-Sd674-US3	BAIS	total famille	53	100%	5	100%	0.45	100%
F5272-Sd674-US3	total		53		5		0.45	0.34%

Orientation chronologique : Atelier

Lames minces N°132-133-134

- F. 5272, Sd. 674, Us 3

Contexte	famille	type/s. type	NR	%NR	NMI	%NMI	EqV	%EqV
F5272-Sd674-US4	BAIS	o	30	78.9%	0		0	
F5272-Sd674-US4	BAIS	1b	1	2.6%	1	16.7%	0.12	22.9%
F5272-Sd674-US4	BAIS	2a	3	7.9%	2	33.3%	0.16	31.6%
F5272-Sd674-US4	BAIS	2d	2	5.3%	2	33.3%	0.17	33.2%
F5272-Sd674-US4	BAIS	3b	2	5.3%	1	16.7%	0.06	12.0%
F5272-Sd674-US4	BAIS	total famille	38	100%	6	100%	0.51	100%
F5272-Sd674-US4	total		38		6		0.51	0.39%

Orientation chronologique : Atelier

- **F. 5272, Sd. 674, Us 4 (fig. 365)**

Contexte	famille	type/s. type	NR	%NR	NMI	%NMI	EqV	%EqV
F5272-Sd626	BAIS	1ind	1	33.3%	1	33.3%	0	
F5272-Sd626	BAIS	2d	1	33.3%	1	33.3%	0.02	17.1%
F5272-Sd626	BAIS	3b	1	33.3%	1	33.3%	0.11	81.2%
F5272-Sd626	BAIS	total famille	3	100%	3	100%	0.13	100%
F5272-Sd626	total		3		3		0.13	0.10%

Orientation chronologique : Atelier

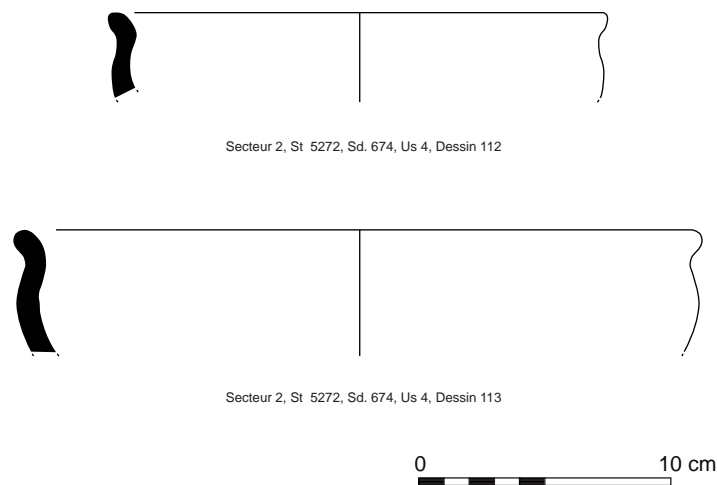


Fig. 365 : céramiques découvertes au sein du contexte F. 5272 sd 674 Us 4 © N. Ménez

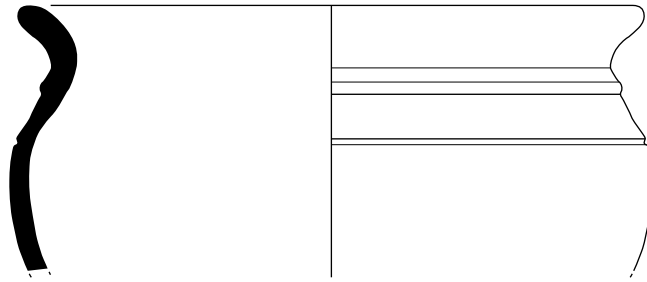
Lames minces N°117-118-119

- **F. 5272, Sd. 674, Us 5 (fig. 366)**

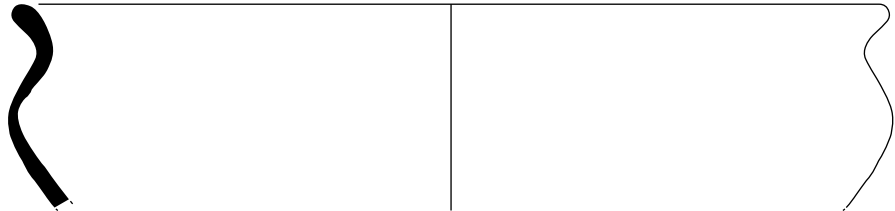
Contexte	famille	type/s. type	NR	%NR	NMI	%NMI	EqV	%EqV
F5272-Sd674-US5	BAIS	0	77	80.2%	5	33.3%	0	
F5272-Sd674-US5	BAIS	100	2	2.1%	1	6.7%	0.12	7.41%
F5272-Sd674-US5	BAIS	2a	3	3.1%	1	6.7%	0.42	25.3%
F5272-Sd674-US5	BAIS	2d	10	10.4%	5	33.3%	0.75	45.6%
F5272-Sd674-US5	BAIS	3a	2	2.1%	2	13.3%	0.22	13.5%
F5272-Sd674-US5	BAIS	5	2	2.1%	1	6.7%	0.13	8.08%
F5272-Sd674-US5	BAIS	total famille	96	100%	15	100%	1.65	100%
F5272-Sd674-US5	total		96		15	1%	1.65	1.25%

Au sein de ce contexte, le seul élément notable est la présence d'un unicum (dessin 124). Il est également à noter qu'un individu de type 2d (dessin 120) ainsi qu'un récipient de type 5 recollent avec des tessons issus du contexte suivant (F. 5272, Sd. 674, Us 6).

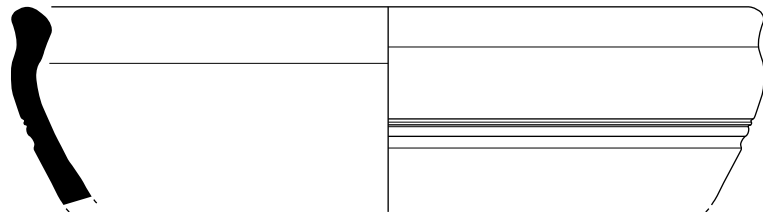
Orientation chronologique : Atelier



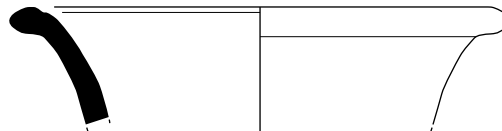
Secteur 2, St 5272, Sd. 674, Us 5, Dessin 115



Secteur 2, St 5272, Sd. 674, Us 5, Dessin 119



Secteur 2, St 5272, Sd. 674, Us 5, Dessin 121



Secteur 2, St 5272, Sd. 674, Us 5, Dessin 124

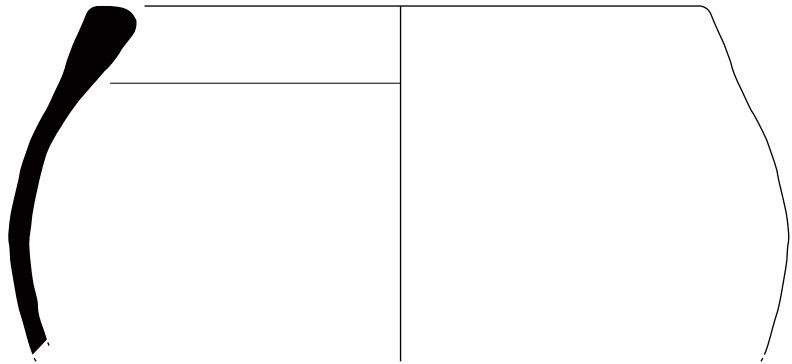
Fig. 366 : céramiques découvertes au sein du contexte F. 5272 sd 674 Us 5 © N. Ménéz



- **F. 5272, Sd. 674, Us 6** (fig. 367)

Contexte	famille	type/s. type	NR	%NR	NMI	%NMI	EqV	%EqV
F5272-Sd674-US6	BAIS	o	27	75.0%	3	50.0%	o	
F5272-Sd674-US6	BAIS	100	2	5.6%	1	16.7%	0.07	11.2%
F5272-Sd674-US6	BAIS	2d	3	8.3%	1	16.7%	0.16	26.0%
F5272-Sd674-US6	BAIS	5	4	11.1%	1	16.7%	0.39	62.7%
F5272-Sd674-US6	BAIS	total famille	36	100%	6	100%	0.62	100%
F5272-Sd674-US6	total		36		6		0.62	0.47%

Sur le faible lot de mobilier issu de ce contexte (36 tessons pour 6 individus estimés), on observe la présence d'un unicum ainsi que de deux récipients de type 2d et 5 qui recollent avec des tessons issus du contexte précédent (F.



Secteur 2, St 5272, Sd. 674, Us 6, Dessin 126



Fig. 367: céramique découverte au sein du contexte F. 5272 sd 674 Us 6 © N. Ménez

5272, Sd. 674, Us 5).

Orientation chronologique : Atelier

- F. 5272, Sd. 675, -0,50 à -0,80 m

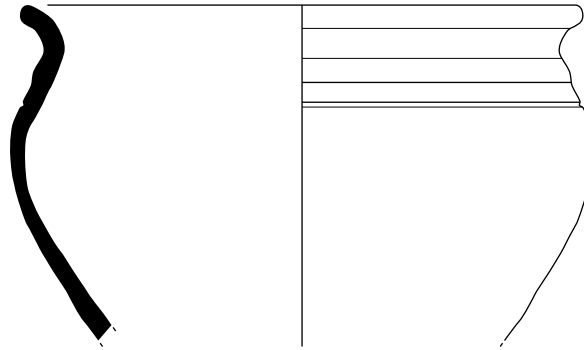
Contexte	famille	type/s. type	NR	%NR	NMI	%NMI	EqV	%EqV
F5272-Sd675	BAIS	o	44	91.7%	o		o	
F5272-Sd675	BAIS	2a	3	6.3%	1	50.0%	0.36	90.3%
F5272-Sd675	BAIS	2ind	1	2.1%	1	50.0%	0.04	10.4%
F5272-Sd675	BAIS	total famille	48	100%	2	100%	0.40	100%
F5272-Sd675	total		48		2		0.40	0.30%

Orientation chronologique : Atelier

- F. 5272, Sd. 675 (fig. 368)

Contexte	famille	type/s. type	NR	%NR	NMI	%NMI	EqV	%EqV
F5272-Sd675-US- 50 à - 80	BAIS	o	3	42.9%	o		o	
F5272-Sd675-US- 50 à - 80	BAIS	2a	4	57.1%	1	100%	0.07	95.2%
F5272-Sd675-US- 50 à - 80	BAIS	total famille	7	100%	1	100%	0.07	100%
F5272-Sd675-US- 50 à - 80	total		7		1		0.07	0.05%

Orientation chronologique : Atelier



Secteur 2, St 5272, Sd. 675, Dessin 103



Fig. 368 : céramique découverte au sein du contexte F. 5272 sd 675 © N. Ménez

- F. 5272, Sd. 676, -0,50m

Contexte	famille	type/s. type	NR	%NR	NMI	%NMI	EqV	%EqV
F5272-Sd676-US-50 cm	BAIS	o	17	100%	0		0	
F5272-Sd676-US-50 cm	BAIS	total famille	17	100%	0		0	
F5272-Sd676-US-50 cm	total		17		0		0	

Orientation chronologique : Atelier

- F. 5272, Sd. 676, Us 8

Contexte	famille	type/s. type	NR	%NR	NMI	%NMI	EqV	%EqV
F5272-Sd676-US8	BAIS	2a	1	20.0%	1	20.0%	0.11	17.3%
F5272-Sd676-US8	BAIS	2d	2	40.0%	2	40.0%	0.22	36.4%
F5272-Sd676-US8	BAIS	2ind	1	20.0%	1	20.0%	0.19	31.9%
F5272-Sd676-US8	BAIS	3b	1	20.0%	1	20.0%	0.09	14.6%
F5272-Sd676-US8	BAIS	total famille	5	100%	5	100%	0.61	100%
F5272-Sd676-US8	total		5		5		0.61	0.46%

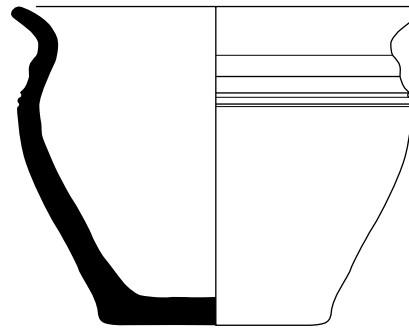
Orientation chronologique : Atelier

Lames minces N°13-14-15-16-17

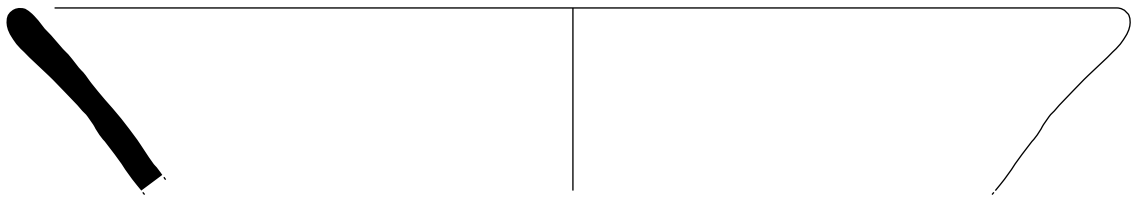
- F. 5272, Sd. 676, Us sous -0,50 m (fig. 369)

Contexte	famille	type/s. type	NR	%NR	NMI	%NMI	EqV	%EqV
F5272-Sd676-USSous -50 cm	BAIS	o	27	90.0%	2	40.0%	0	
F5272-Sd676-USSous -50 cm	BAIS	2a	1	3.3%	1	20.0%	0.03	25.3%
F5272-Sd676-USSous -50 cm	BAIS	2ind	1	3.3%	1	20.0%	0	
F5272-Sd676-USSous -50 cm	BAIS	4	1	3.3%	1	20.0%	0.08	75.8%
F5272-Sd676-USSous -50 cm	BAIS	total famille	30	100%	5	100%	0.11	100%
F5272-Sd676-USSous -50 cm	total		30		5		0.11	0.08%

Orientation chronologique : Atelier



Secteur 2 , St. 5272, Sd. 676, Dessin 127



Secteur 2, St. 5272, Sd. 676, Sous -50 cm, Dessin 128



Fig. 369 : céramique découverte au sein du contexte F. 5272 sd 676 © N. Ménez

- **F. 5272, Sd. 677** (fig. 370)

Contexte	famille	type/s. type	NR	%NR	NMI	%NMI	EqV	%EqV
F5272-Sd677	BAIS	o	139	93.3%	4	36.4%	o	
F5272-Sd677	BAIS	2a	4	2.7%	3	27.3%	0.43	39.7%
F5272-Sd677	BAIS	2d	4	2.7%	2	18.2%	0.52	48.8%
F5272-Sd677	BAIS	2ind	1	0.7%	1	9.1%	0.07	6.49%
F5272-Sd677	BAIS	3a	1	0.7%	1	9.1%	0.06	5.19%
F5272-Sd677	BAIS	total famille	149	97.4%	11	91.7%	1.07	81.7%
F5272-Sd677	EXO	total famille	4	2.6%	1	8.3%	0.24	18.3%
F5272-Sd677	total		153	1%	12	1%	1.31	0.99%

Ce contexte a livré 153 tessons de céramique pour un nombre minimum d'individus estimé à 12. Constitué, pour l'essentiel de mobilier issu de l'atelier (149 restes), on y observe cependant la présence de 4 fragments exogènes appartenant à un récipient non caractérisé que l'on peut dater, d'après la facture de sa pâte, de La Tène finale.

Orientation chronologique : Atelier

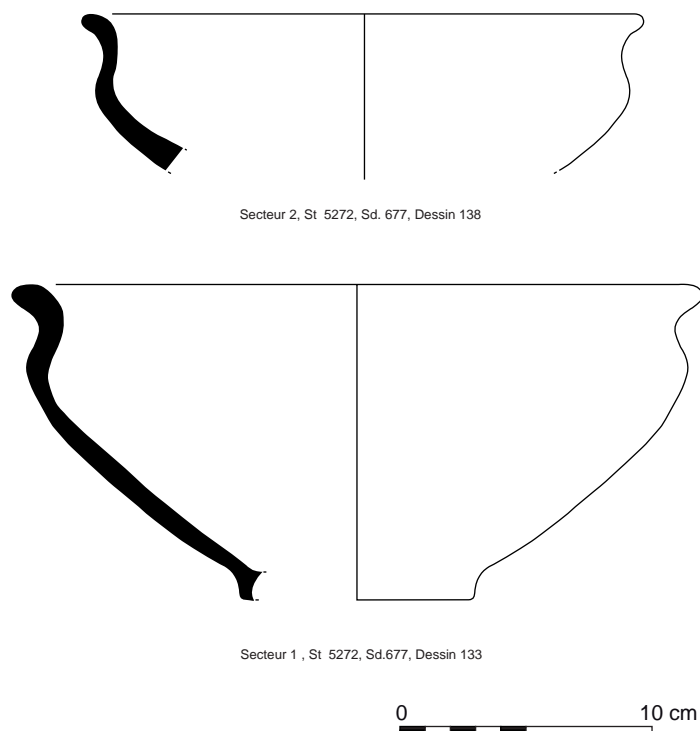


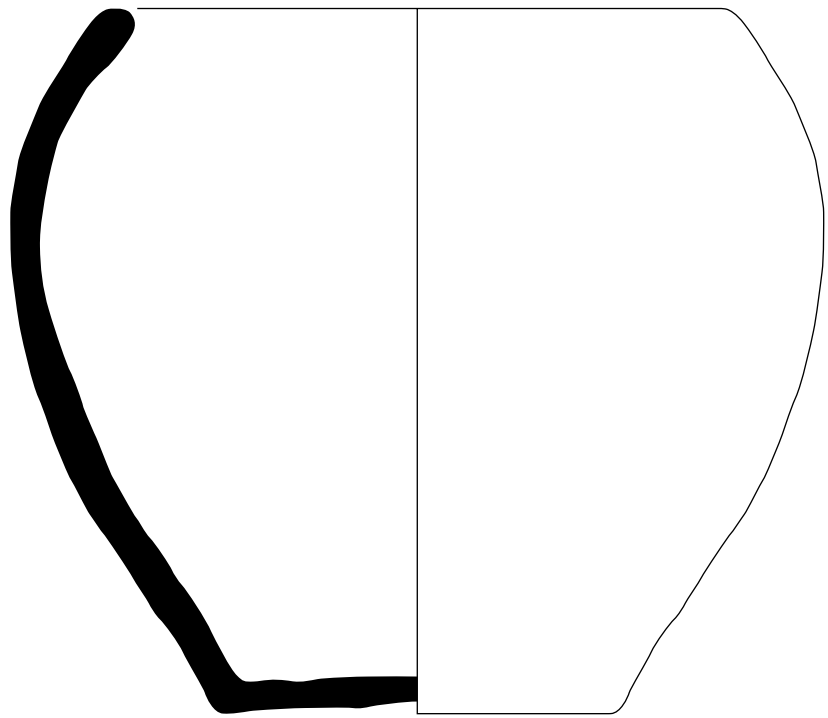
Fig. 370 : céramique découverte au sein du contexte F. 5272 sd 677 © N. Ménez

- **F. 5272, Sd. 685 (fig. 371)**

Contexte	famille	type/s. type	NR	%NR	NMI	%NMI	EqV	%EqV
F5272-Sd685	BAIS	o	209	92.1%	0		0	
F5272-Sd685	BAIS	1b(v)	1	0.4%	1	12.5%	0.11	12.9%
F5272-Sd685	BAIS	1c	1	0.4%	1	12.5%	0.04	5.42%
F5272-Sd685	BAIS	1ind	5	2.2%	0		0	
F5272-Sd685	BAIS	2a	2	0.9%	1	12.5%	0.13	15.2%
F5272-Sd685	BAIS	2b	1	0.4%	1	12.5%	0.04	5.08%
F5272-Sd685	BAIS	2d	1	0.4%	1	12.5%	0.03	4.07%
F5272-Sd685	BAIS	3a	4	1.8%	2	25.0%	0.11	12.9%
F5272-Sd685	BAIS	5	3	1.3%	1	12.5%	0.36	44.0%
F5272-Sd685	BAIS	total famille	227	100%	8	100%	0.82	100%
F5272-Sd685	total		227	1%	8	1%	0.82	0.62%

227 fragments de poterie ont été mis au jour au sein de ce contexte pour seulement 8 individus estimés. Essentiellement composé de productions de l'atelier, on note toutefois la présence de 7 tessons de facture antique, parmi lesquels un fragment de lagène datée de la période augustéenne.

Orientation chronologique : Période augustéenne ?



Secteur 2 , St 5272, Sd. 685, Dessin 140

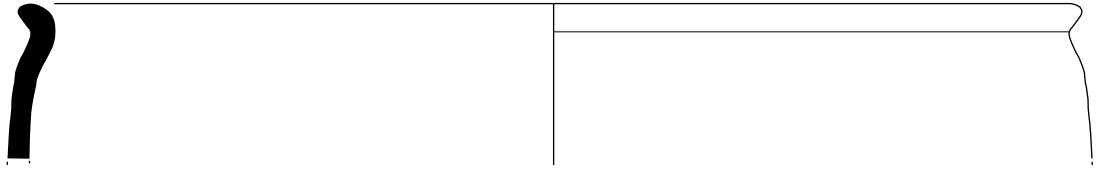
**Fig. 371** : céramique découverte au sein du contexte F. 5272 sd 685 © N. Ménez

- **F. 5272, Sd. 688, de 0 à -0,15m (fig. 372)**

Contexte	famille	type/s. type	NR	%NR	NMI	%NMI	EqV	%EqV
F5272-Sd688-US0-15 cm	BAIS	o	13	92.9%	o		o	
F5272-Sd688-US0-15 cm	BAIS	100	1	7.1%	1	100%	0.05	100%
F5272-Sd688-US0-15 cm	BAIS	total famille	14	100%	1	100%	0.05	100%
F5272-Sd688-US0-15 cm	total		14		1		0.05	0.04%

L'unique individu recensé dans ce contexte correspond à un *unicum* ; il s'agit d'un large pot présentant une petite lèvre débordante.

Orientation chronologique : Atelier



Secteur 2, St 5272, Sd. 688, Us 0/-15 cm, Dessin 166



Fig. 372 : céramique découverte au sein du contexte F. 5272 sd 688 © N. Ménez

- **F. 5272, Sd. 688, Couche rejet**

Contexte	famille	type/s. type	NR	%NR	NMI	%NMI	EqV	%EqV
F5272-Sd688-USCouche rejet	BAIS	o	550	91.2%	0		0	
F5272-Sd688-USCouche rejet	BAIS	1a	2	0.3%	1	2.3%	0.19	12.8%
F5272-Sd688-USCouche rejet	BAIS	1b	1	0.2%	1	2.3%	0.06	4.02%
F5272-Sd688-USCouche rejet	BAIS	1c	1	0.2%	1	2.3%	0.03	1.83%
F5272-Sd688-USCouche rejet	BAIS	1ind	1	0.2%	1	2.3%	0	
F5272-Sd688-USCouche rejet	BAIS	2a	7	1.2%	6	13.6%	0.38	25.2%
F5272-Sd688-USCouche rejet	BAIS	2b	2	0.3%	2	4.5%	0.08	4.93%
F5272-Sd688-USCouche rejet	BAIS	2d	5	0.8%	4	9.1%	0.26	17.0%
F5272-Sd688-USCouche rejet	BAIS	2ind	22	3.6%	22	50.0%	0	
F5272-Sd688-USCouche rejet	BAIS	3a	5	0.8%	5	11.4%	0.23	15.0%
F5272-Sd688-USCouche rejet	BAIS	9	7	1.2%	1	2.3%	0.29	19.4%
F5272-Sd688-USCouche rejet	BAIS	total famille	603	100%	44	100%	1.52	100%
F5272-Sd688-USCouche rejet	total		603	3%	44	3%	1.52	1.15%

Ce contexte révèle un lot considérable de mobilier composé de plus de 600 tessons pour un nombre minimum d'individus estimé à 44. Tous produits dans l'atelier, on y remarque la très forte domination des récipients de type 2 (28 individus recensés) par rapport aux autres types. On observe par ailleurs que l'unique récipient de type 1b affiche des traces d'utilisation.

Orientation chronologique : Atelier

Lame mince N°4

- **F. 5272, Sd. 688, Us fond**

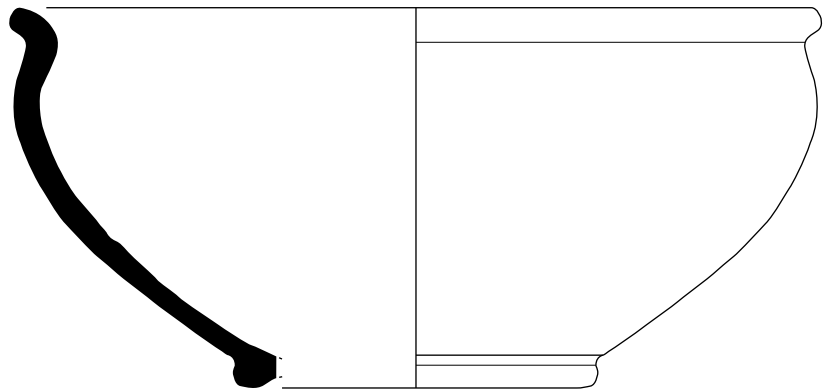
Contexte	famille	type/s. type	NR	%NR	NMI	%NMI	EqV	%EqV
F5272-Sd688-USFond	BAIS	o	25	100%	0		0	
F5272-Sd688-USFond	BAIS	total famille	25	100%	0		0	
F5272-Sd688-USFond	total		25		0		0	

Orientation chronologique : Atelier

- **F. 5272, Sd. 695, Us 3 (fig. 373)**

Contexte	famille	type/s. type	NR	%NR	NMI	%NMI	EqV	%EqV
F5272-Sd695-US3	BAIS	o	105	93.8%	1	25.0%	0	
F5272-Sd695-US3	BAIS	2d	4	3.6%	1	25.0%	0.63	78.1%
F5272-Sd695-US3	BAIS	3b	3	2.7%	2	50.0%	0.17	21.5%
F5272-Sd695-US3	BAIS	total famille	112	100%	4	100%	0.80	100%
F5272-Sd695-US3	total		112	1%	4		0.80	0.61%

Orientation chronologique : Atelier



Secteur 2, St 5272, Sd. 695, Us 3, Dessin 100



Fig. 373 : céramique découverte au sein du contexte F. 5272 sd 695 Us 3 © N. Ménéz

Lame mince N°5

- **F. 5272, Sd. 696, Us 1 ou 3**

Contexte	famille	type/s. type	NR	%NR	NMI	%NMI	EqV	%EqV
F5272-Sd696-US1 ou 3	BAIS	o	24	100%	0		0	
F5272-Sd696-US1 ou 3	BAIS	total famille	24	100%	0		0	
F5272-Sd696-US1 ou 3	total		24		0		0	

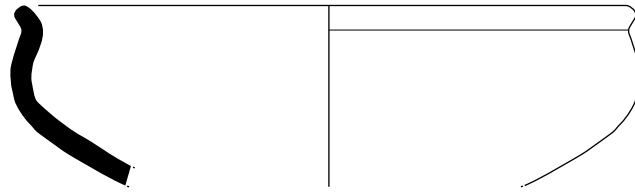
Orientation chronologique : Atelier

- **F. 5272, Sd. 724 (fig. 374)**

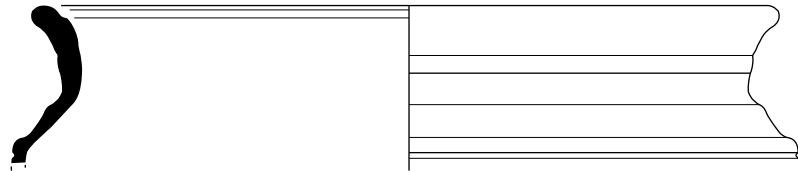
Contexte	famille	type/s. type	NR	%NR	NMI	%NMI	EqV	%EqV
F5272-Sd724	BAIS	o	259	87.8%	0		0	
F5272-Sd724	BAIS	1b(v)	3	1.0%	2	10.5%	0.19	10.2%
F5272-Sd724	BAIS	2a	18	6.1%	4	21.1%	1.44	75.2%
F5272-Sd724	BAIS	2c	2	0.7%	1	5.3%	0.07	3.64%
F5272-Sd724	BAIS	2d	2	0.7%	1	5.3%	0.08	4.36%
F5272-Sd724	BAIS	2ind	9	3.1%	9	47.4%	0	
F5272-Sd724	BAIS	3a	2	0.7%	2	10.5%	0.13	6.54%
F5272-Sd724	BAIS	total famille	295	100%	19	100%	1.91	100%
F5272-Sd724	total		295	1%	19	1%	1.91	1.45%

Sur les 19 individus dénombrés dans ce contexte (pour 295 restes), on remarque la prédominance des récipients de type 2 (15 individus) par rapport aux autres types présents. On note également l'existence des deux variantes du type 1b.

Orientation chronologique : Atelier



Secteur 2, St 5272, Sd. 724, Dessin 154



Secteur 2, St 5272, Sd. 724, Dessin 150



Fig. 374 : céramiques découvertes au sein du contexte F. 5272 sd 724 © N. Ménez

Lames minces N°1-2-3

- **F. 5272, Sd. 725** (fig. 375)

Contexte	famille	type/s. type	NR	%NR	NMI	%NMI	EqV	%EqV
F5272-Sd725	BAIS	o	388	94,2%	o		o	
F5272-Sd725	BAIS	2a	7	1,7%	5	23,8%	0,53	68,9%
F5272-Sd725	BAIS	2ind	14	3,4%	14	66,7%	o	
F5272-Sd725	BAIS	3a	1	0,2%	1	4,8%	0,08	10,8%
F5272-Sd725	BAIS	8b	2	0,5%	1	4,8%	0,15	19,8%
F5272-Sd725	BAIS	total famille	412	99,8%	21	95,5%	0,77	90,6%
F5272-Sd725	EXO	total famille	1	0,2%	1	4,5%	0,08	9,41%
F5272-Sd725	total		413	2%	22	1%	0,85	0,64%

Au sein de l'important lot de céramique mis au jour dans ce contexte (413 restes pour 22 individus estimés), l'essentiel des tessons (99,85%) s'apparente à des productions de l'atelier. On y remarque néanmoins l'existence d'un individu exogène qui correspond à un récipient à lèvres éversées bifides trouvant des comparaisons, à l'échelle régionale, dans des contextes datés entre La Tène moyenne et La Tène finale.

Orientation chronologique : Atelier

Synthèse sur la structure F.5272

A travers les nombreux sondages dont elle a fait l'objet, cette structure livre un total de 273 individus, ce qui en fait, et de loin, le contexte le plus prolifique du site du point de vue du mobilier. Avec 167 occurrences, le type 2 y est le mieux représenté (61%). On observe également la présence assez remarquable de 38 récipients de type 3 (14%) (fig. 441).

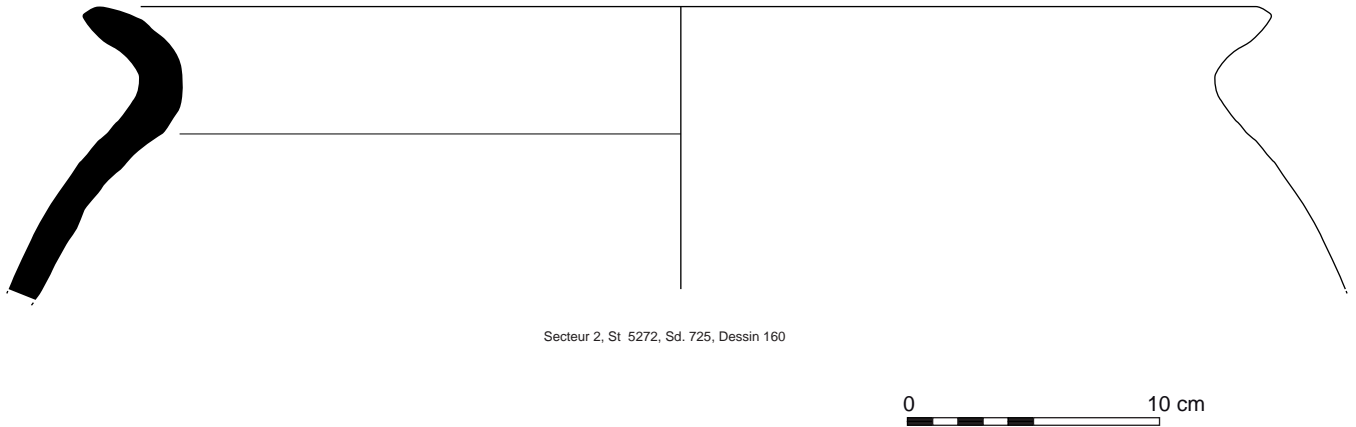


Fig. 375 : céramique découverte au sein du contexte F. 5272 sd 725 © N. Ménez

• **F. 5274, Sd. 506, Us 1**

Contexte	famille	type/s. type	NR	%NR	NMI	%NMI	EqV	%EqV
F5274-Sd506-US1	BAIS	o	8	80.0%	0		0	
F5274-Sd506-US1	BAIS	2d	2	20.0%	1	100%	0.08	97.2%
F5274-Sd506-US1	BAIS	total famille	10	100%	1	100%	0.08	100%
F5274-Sd506-US1	total		10		1		0.08	0.06%

Orientation chronologique : Atelier

Lame mince N°115

• **F. 5275, Us 1 (fig. 376)**

Contexte	famille	type/s. type	NR	%NR	NMI	%NMI	EqV	%EqV
F5275-US1	BAIS	o	62	89.9%	2	28.6%	0	
F5275-US1	BAIS	2a(v)	4	5.8%	2	28.6%	0.32	86.3%
F5275-US1	BAIS	2ind	2	2.9%	2	28.6%	0	
F5275-US1	BAIS	3b(v)	1	1.4%	1	14.3%	0.05	13.5%
F5275-US1	BAIS	total famille	69	100%	7	100%	0.37	100%
F5275-US1	total		69		7		0.37	0.28%

Sur les 7 individus recensés (pour 69 restes) dans ce contexte, on remarque que 3 correspondent à des variantes des types 2a et 3b.

Orientation chronologique : Atelier

Lames minces N°110-111-112-113

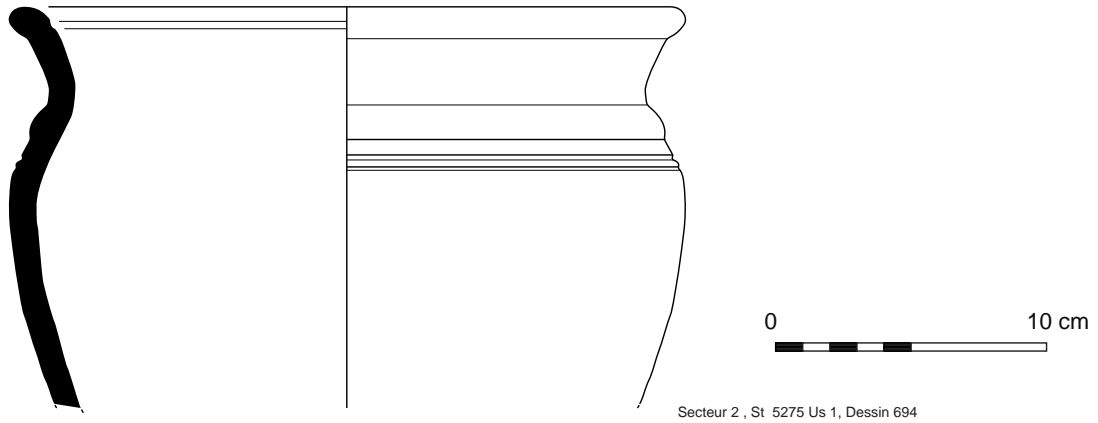


Fig. 376 : céramique découverte au sein du contexte F. 5275 Us 1 © N. Ménez

• **F. 5275, Us 2** (fig. 377)

Contexte	famille	type/s. type	NR	%NR	NMI	%NMI	EqV	%EqV
F5275-US2	BAIS	o	10	90.9%	0		0	
F5275-US2	BAIS	2c	1	9.1%	1	100%	0.12	102%
F5275-US2	BAIS	total famille	11	100%	1	100%	0.12	100%
F5275-US2	total		11		1		0.12	0.09%

Le seul élément notable ici est la présence d'un récipient de type 2c qui affiche des traces d'utilisation.

Orientation chronologique : Atelier

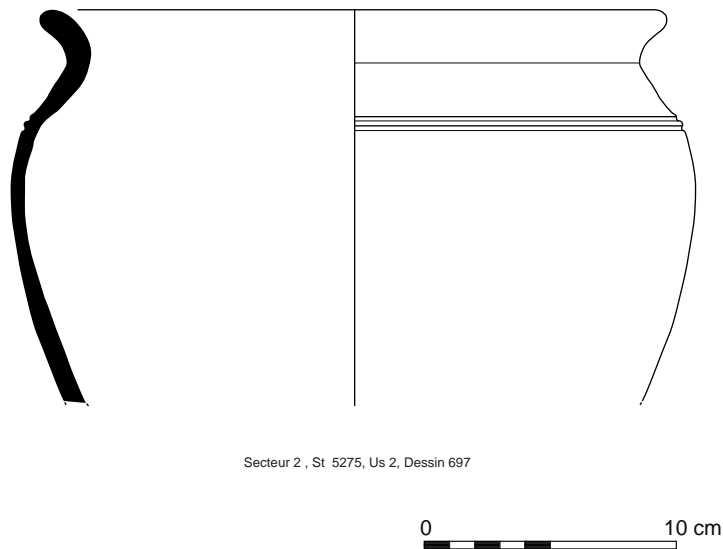


Fig. 377 : céramique découverte au sein du contexte F. 5275 Us 2 © N. Ménez

- **F. 5277, Us 1**

<i>Contexte</i>	famille	type/s. type	NR	%NR	NMI	%NMI	EqV	%EqV
F5278-US1	BAIS	o	13	86.7%	o		o	
F5278-US1	BAIS	2ind	1	6.7%	1	50.0%	o	
F5278-US1	BAIS	3b	1	6.7%	1	50.0%	o.04	111%
F5278-US1	BAIS	total famille	15	100%	2	100%	0.04	100%
F5278-US1	total		15		2		0.04	0.03%

Orientation chronologique : Atelier

- **F. 5278, Us 1**

<i>Contexte</i>	famille	type/s. type	NR	%NR	NMI	%NMI	EqV	%EqV
F5277-US1	BAIS	o	4	100%	1	100%	o	
F5277-US1	BAIS	total famille	4	100%	1	100%	0	
F5277-US1	total		4		1		0	

Orientation chronologique : Atelier

- **F. 5279, Sd. 509, Us 1**

<i>Contexte</i>	famille	type/s. type	NR	%NR	NMI	%NMI	EqV	%EqV
F5279-Sd509-US1	BAIS	o	3	100%	o		o	
F5279-Sd509-US1	BAIS	total famille	3	100%	0		0	
F5279-Sd509-US1	total		3		0		0	

Orientation chronologique : Atelier

F. 5281, Us 1

<i>Contexte</i>	famille	type/s. type	NR	%NR	NMI	%NMI	EqV	%EqV
F5281-US1	BAIS	o	1	100%	o		o	
F5281-US1	BAIS	total famille	1	100%	0		0	
F5281-US1	total		1		0		0	

Orientation chronologique : Atelier

- **F. 5282, Us 1**

<i>Contexte</i>	famille	type/s. type	NR	%NR	NMI	%NMI	EqV	%EqV
F5282-US1	BAIS	o	1	100%	1	100%	o	
F5282-US1	BAIS	total famille	1	100%	1	100%	0	
F5282-US1	total		1		1		0	

Orientation chronologique : Atelier

- **F. 5286, Sd. 689**

Contexte	famille	type/s. type	NR	%NR	NMI	%NMI	EqV	%EqV
F5286-Sd689	BAIS	o	4	80.0%	0		0	
F5286-Sd689	BAIS	1a(v)	1	20.0%	1	100%	0.11	96.0%
F5286-Sd689	BAIS	total famille	5	100%	1	100%	0.11	100%
F5286-Sd689	total		5		1		0.11	0.08%

Seule la présence d'une variante fine du type 1a est ici à noter.

Orientation chronologique : Atelier

- **F. 5292?**

Contexte	famille	type/s. type	NR	%NR	NMI	%NMI	EqV	%EqV
F5292 ?	BAIS	o	5	100%	0		0	
F5292 ?	BAIS	total famille	5	100%	0		0	
F5292 ?	total		5		0		0	

Orientation chronologique : Atelier

- **F. 5293, Us 1**

Contexte	famille	type/s. type	NR	%NR	NMI	%NMI	EqV	%EqV
F5293-US1	BAIS	o	16	88.9%	0		0	
F5293-US1	BAIS	2d	1	5.6%	1	50.0%	0.04	111%
F5293-US1	BAIS	2ind	1	5.6%	1	50.0%	0	
F5293-US1	BAIS	total famille	18	100%	2	100%	0.04	100%
F5293-US1	total		18		2		0.04	0.03%

Orientation chronologique : Atelier

- **F. 5293, Us 2**

Contexte	famille	type/s. type	NR	%NR	NMI	%NMI	EqV	%EqV
F5293-US2	BAIS	o	3	100%	1	100%	0	
F5293-US2	BAIS	total famille	3	100%	1	100%	0	
F5293-US2	total		3		1		0	

Orientation chronologique : Atelier

- **F. 5294**

Contexte	famille	type/s. type	NR	%NR	NMI	%NMI	EqV	%EqV
F5294	BAIS	o	5	83.3%	0		0	
F5294	BAIS	1c(v)	1	16.7%	1	100%	0.06	102%
F5294	BAIS	total famille	6	100%	1	100%	0.06	100%
F5294	total		6		1		0.06	0.05%

L'unique individu recensé au sein de ce contexte s'apparente à une variante du type 1c.

Orientation chronologique : Atelier

- **F. 5294, Sd. 628**

Contexte	famille	type/s. type	NR	%NR	NMI	%NMI	EqV	%EqV
F5294-Sd628	BAIS	o	16	100%	0		0	
F5294-Sd628	BAIS	total famille	16	100%	0		0	
F5294-Sd628	total		16		0		0	

Orientation chronologique : Atelier

- **F. 5294, Sd. 629, Us 1**

Contexte	famille	type/s. type	NR	%NR	NMI	%NMI	EqV	%EqV
F5294-Sd629-US1	BAIS	o	6	100%	0		0	
F5294-Sd629-US1	BAIS	total famille	6	100%	0		0	
F5294-Sd629-US1	total		6		0		0	

Orientation chronologique : Atelier

- **F. 5295, Us 1**

Contexte	famille	type/s. type	NR	%NR	NMI	%NMI	EqV	%EqV
F5295-US1	BAIS	o	10	76.9%	1	33.3%	0	
F5295-US1	BAIS	2a	1	7.7%	1	33.3%	0.09	98.8%
F5295-US1	BAIS	3b	2	15.4%	1	33.3%	0	
F5295-US1	BAIS	total famille	13	100%	3	100%	0.09	100%
F5295-US1	total		13		3		0.09	0.07%

Orientation chronologique : Atelier

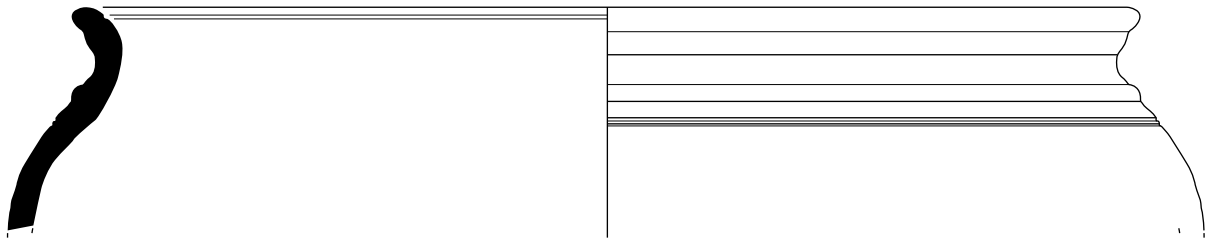
Lame mince N°116

- **F. 5300 (fig. 378)**

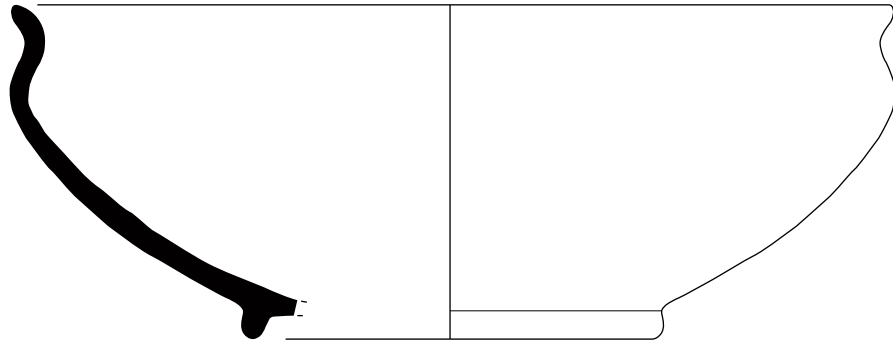
Contexte	famille	type/s. type	NR	%NR	NMI	%NMI	EqV	%EqV
F5300	BAIS	o	24	82.8%	0		0	
F5300	BAIS	2a	3	10.3%	1	50.0%	0.06	30.9%
F5300	BAIS	2d	2	6.9%	1	50.0%	0.12	67.9%
F5300	BAIS	total famille	29	100%	2	100%	0.18	100%
F5300	total		29		2		0.18	0.14%

Sur les deux individus recensés ici, on observe que le récipient de type 2a affiche des traces d'utilisation.

Orientation chronologique : Atelier



Secteur 2 , St 5300, Iso 2073, Dessin 364



Secteur 2 , St 5300, Iso 2072, Dessin 363



Fig. 378 : céramique découverte au sein du contexte F. 5300 © N. Ménéz

• **F. 5300, Sd. 389** (fig. 379)

Contexte	famille	type/s. type	NR	%NR	NMI	%NMI	EqV	%EqV
F5300-Sd389	BAIS	o	18	85.7%	o		o	
F5300-Sd389	BAIS	2ind	1	4.8%	1	50.0%	o	
F5300-Sd389	BAIS	3a	2	9.5%	1	50.0%	0.14	103%
F5300-Sd389	BAIS	total famille	21	100%	2	100%	0.14	100%
F5300-Sd389	total		21		2		0.14	0.11%

Orientation chronologique : Atelier

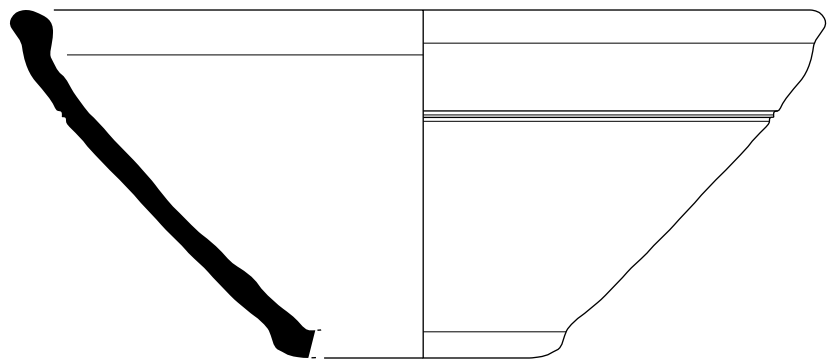


Fig. 379 : céramique découverte au sein du contexte F. 5300 sd 589© N. Ménéz

Secteur 2 , St 5300, Sd.589, Dessin 362



• **F. 5305, Sd. 682**

Contexte	famille	type/s. type	NR	%NR	NMI	%NMI	EqV	%EqV
F5305-Sd682	BAIS	o	2	100%	0		0	
F5305-Sd682	BAIS	total famille	2	100%	0		0	
F5305-Sd682	total		2		0		0	

Orientation chronologique : Atelier

• **F. 5308, Décapage (fig. 380)**

Contexte	famille	type/s. type	NR	%NR	NMI	%NMI	EqV	%EqV
F5308-USDécapage	BAIS	o	98	95.1%	0		0	
F5308-USDécapage	BAIS	1a	1	1.0%	1	50.0%	0.11	37.0%
F5308-USDécapage	BAIS	9	4	3.9%	1	50.0%	0.19	63.0%
F5308-USDécapage	BAIS	total famille	103	100%	2	100%	0.30	100%
F5308-USDécapage	total		103		2		0.30	0.23%

Orientation chronologique : Atelier

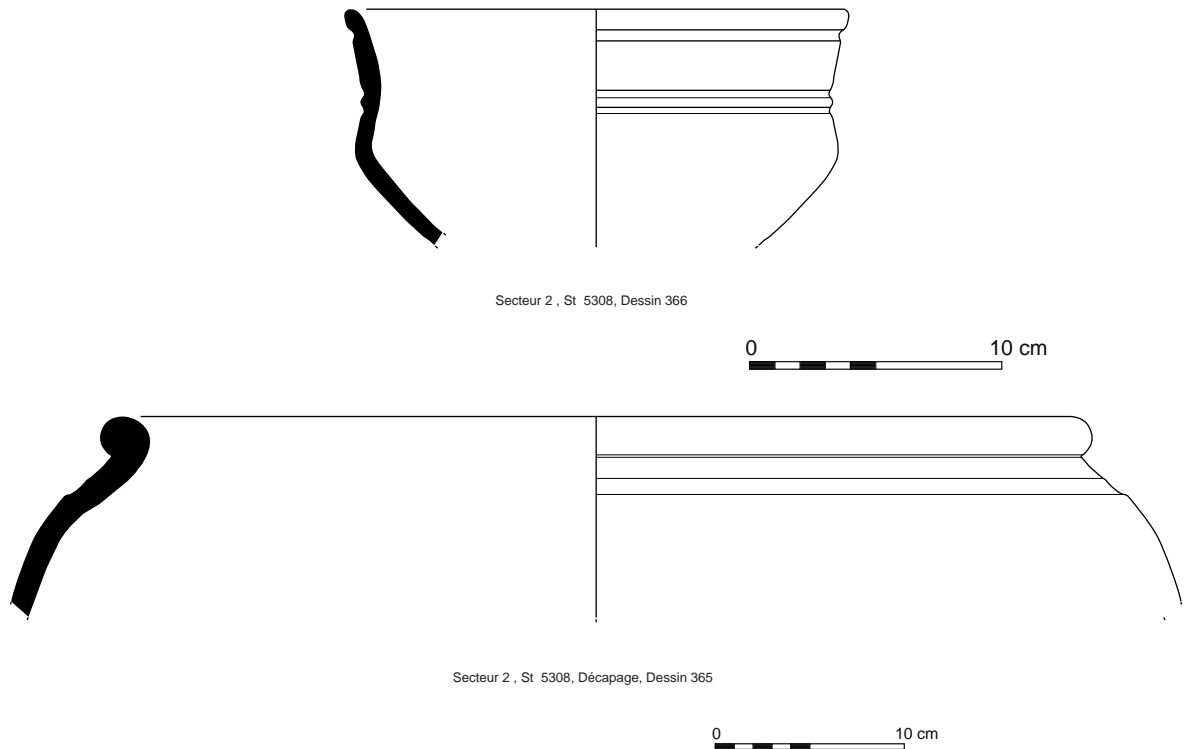


Fig. 380 : céramique découverte au sein du contexte F. 5308 © N. Ménez

- **F. 5317**

Contexte	famille	type/s. type	NR	%NR	NMI	%NMI	EqV	%EqV
F5317	BAIS	o	1	100%	0		0	
F5317	BAIS	total famille	1	100%	0		0	
F5317	total		1		0		0	

Orientation chronologique : Atelier

- **F. 5320 et F. 5391, Sd. 538**

Contexte	famille	type/s. type	NR	%NR	NMI	%NMI	EqV	%EqV
F5320 + 5391-Sd538	BAIS	o	18	94.7%	0		0	
F5320 + 5391-Sd538	BAIS	2d	1	5.3%	1	100%	0	
F5320 + 5391-Sd538	BAIS	total famille	19	100%	1	100%	0	
F5320 + 5391-Sd538	total		19		1		0	

Orientation chronologique : Atelier

- **F. 5320**

Contexte	famille	type/s. type	NR	%NR	NMI	%NMI	EqV	%EqV
F5320	BAIS	o	475	88.5%	9	17.6%	0	
F5320	BAIS	1a	2	0.4%	1	2.0%	0.12	4.38%
F5320	BAIS	1b	4	0.7%	2	3.9%	0.50	17.9%
F5320	BAIS	1b(v)	1	0.2%	1	2.0%	0.04	1.39%
F5320	BAIS	1c	1	0.2%	1	2.0%	0.09	3.19%
F5320	BAIS	1c(v)	2	0.4%	1	2.0%	0.13	4.78%
F5320	BAIS	1ind	5	0.9%	5	9.8%	0	
F5320	BAIS	2a	5	0.9%	3	5.9%	0.36	12.7%
F5320	BAIS	2a(v)	2	0.4%	1	2.0%	0.16	5.58%
F5320	BAIS	2d	7	1.3%	7	13.7%	0.41	14.7%
F5320	BAIS	2ind	13	2.4%	11	21.6%	0	
F5320	BAIS	3a(v)	3	0.6%	1	2.0%	0.22	7.77%
F5320	BAIS	3b	9	1.7%	4	7.8%	0.43	15.4%
F5320	BAIS	6a	1	0.2%	1	2.0%	0.04	1.59%
F5320	BAIS	6b	4	0.7%	1	2.0%	0.14	4.98%
F5320	BAIS	9	3	0.6%	2	3.9%	0.15	5.38%
F5320	BAIS	total famille	537	100%	51	100%	2.79	100%
F5320	total		537	2%	51	3%	2.79	2.12%

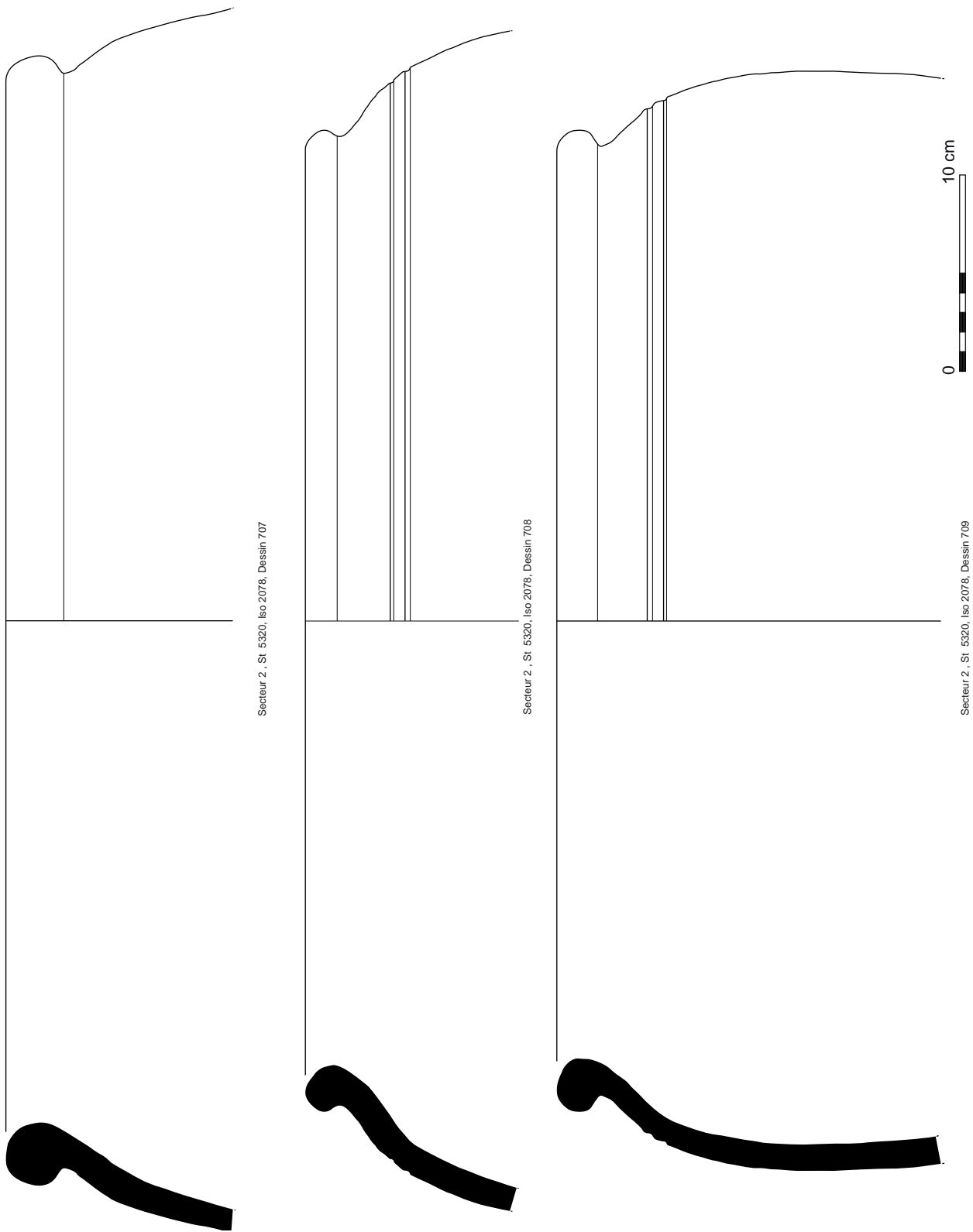
Ce contexte révèle un très important lot de mobilier constitué de 537 tessons pour 51 individus estimés. Intégralement composé de productions de l'atelier, on y observe une prédominance des récipients de type 2 (22 individus). On remarque également l'existence de plusieurs variantes de types 1b, 1c, 2a et 3a.

Orientation chronologique : Atelier

- **F. 5320, Sd. 537**

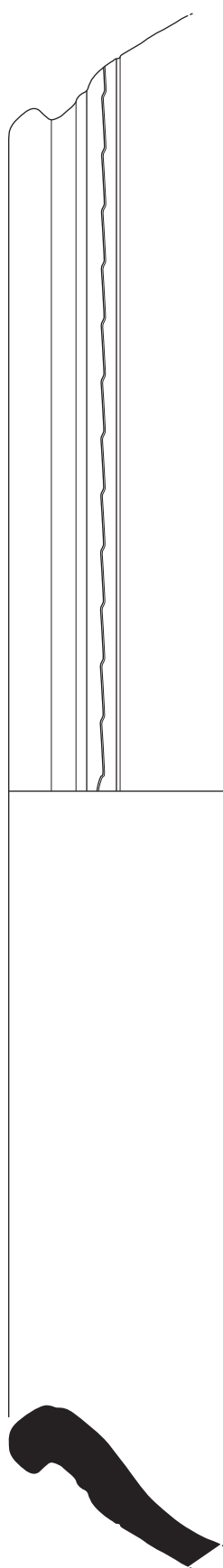
Contexte	famille	type/s. type	NR	%NR	NMI	%NMI	EqV	%EqV
F5320-Sd537	BAIS	o	28	100%	1	100%	0	
F5320-Sd537	BAIS	total famille	28	100%	1	100%	0	
F5320-Sd537	total		28		1		0	

Orientation chronologique : Atelier

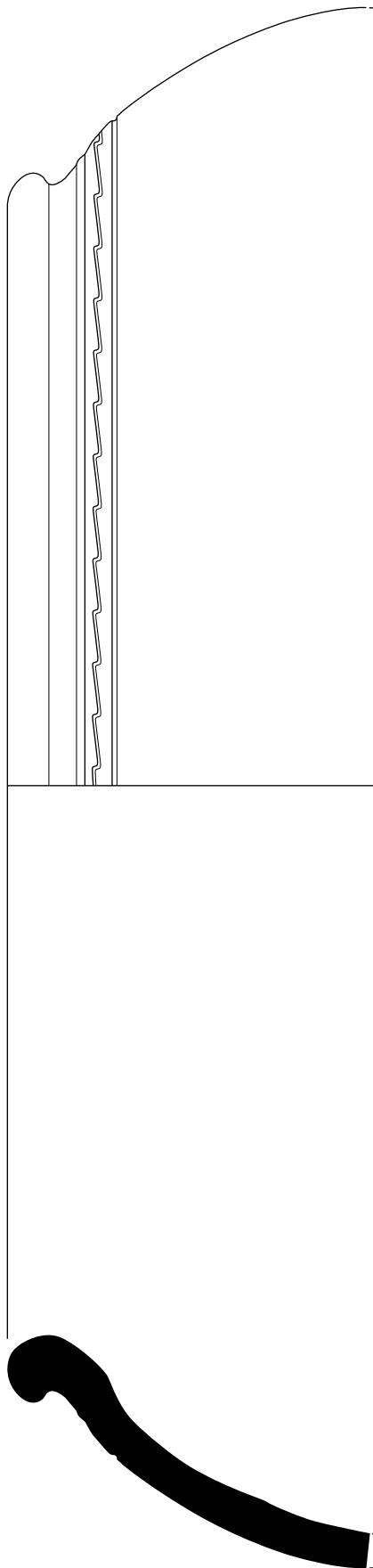


Lames minces N°122-123-124-158-159-160

Fig. 381 : céramiques découvertes au sein du contexte F. 5320 © N. Ménez



Secteur 2, St. 5320, Iso 2078, Dessin 710



Secteur 2, St. 5320, Iso 2080, Dessin 721

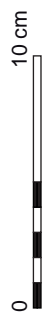
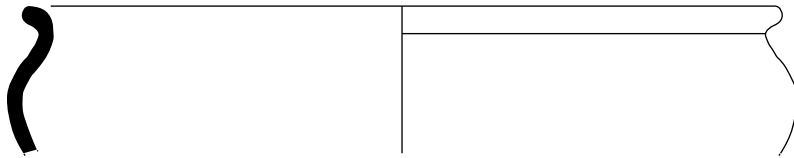
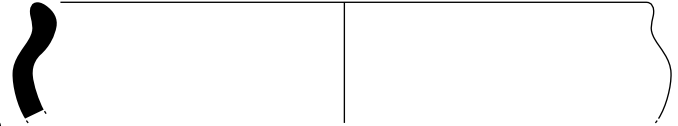


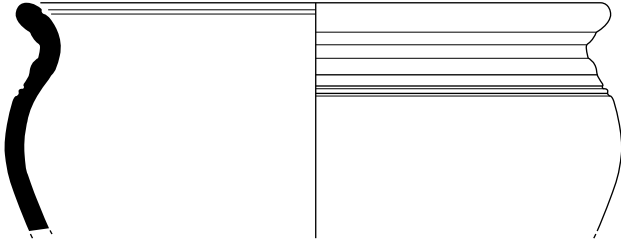
Fig. 382 : céramiques découvertes au sein du contexte F. 5320 © N. Ménez



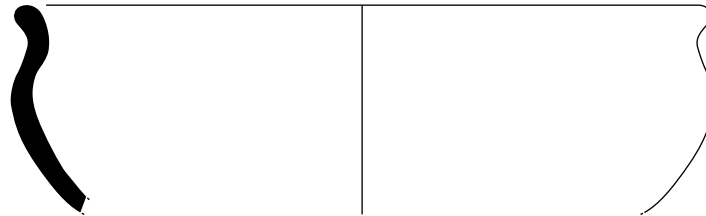
Secteur 2 , St 5320, Iso 2078, Dessin 715



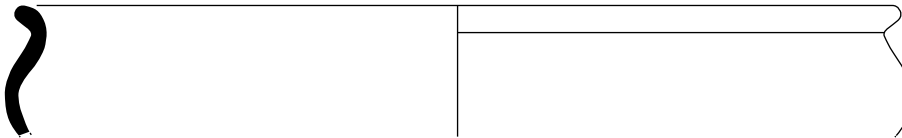
Secteur 2 , St 5320, Iso 2080, Dessin 724



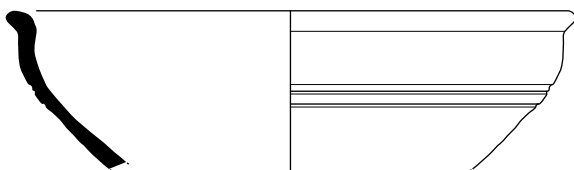
Secteur 2 , St 5320, Iso 2088, Dessin 728



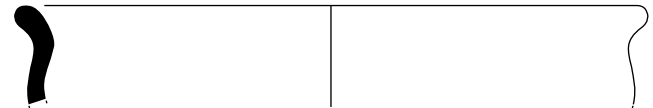
Secteur 2 , St 5320, Iso 2078, Dessin 713



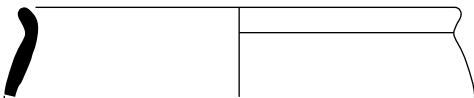
Secteur 2 , St 5320, Iso 2078, Dessin 714



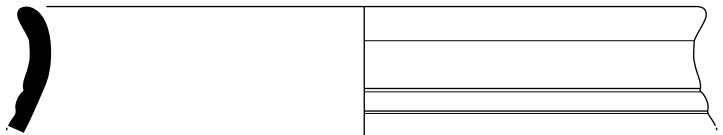
Secteur 2 , St 5320, Iso 2078, Dessin 718



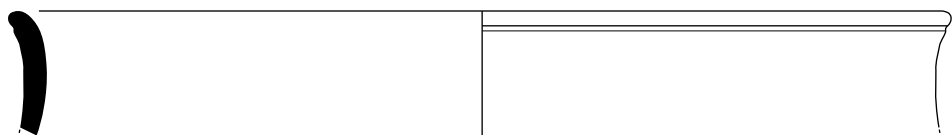
Secteur 2 , St 5320, Iso 2078, Dessin 717



Secteur 2 , St 5320, Iso 2078, Dessin 720



Secteur 2 , St 5320, Iso 2080, Dessin 725



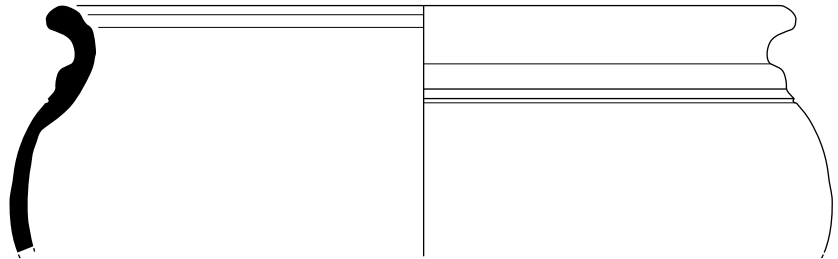
Secteur 2 , St 5320, Iso 2080, Dessin 726

Fig. 383 : céramiques découvertes au sein du contexte F. 5320 © N. Ménez

- **F. 5320, Sd.539** (fig. 384)

Contexte	famille	type/s. type	NR	%NR	NMI	%NMI	EqV	%EqV
F5320-Sd539	BAIS	o	77	96.3%	1	25.0%	o	
F5320-Sd539	BAIS	1b	1	1.3%	1	25.0%	0.08	32.1%
F5320-Sd539	BAIS	2a	2	2.5%	2	50.0%	0.17	66.2%
F5320-Sd539	BAIS	total famille	80	100%	4	100%	0.26	100%
F5320-Sd539	total		80		4		0.26	0.20%

Orientation chronologique : Atelier



Secteur 2, St 5320, Sd. 539, Dessin 732



Fig. 384 : céramiques découvertes au sein du contexte F. 5320 sd 539 © N. Ménez

Lames minces N°147-148

- **F. 5320, Sd.550**

Contexte	famille	type/s. type	NR	%NR	NMI	%NMI	EqV	%EqV
F5320-Sd550	BAIS	o	181	94.3%	6	50.0%	o	
F5320-Sd550	BAIS	1a	2	1.0%	1	8.3%	0.09	23.0%
F5320-Sd550	BAIS	2a(v)	2	1.0%	1	8.3%	0.16	37.9%
F5320-Sd550	BAIS	2ind	5	2.6%	2	16.7%	o	
F5320-Sd550	BAIS	3a(v)	2	1.0%	2	16.7%	0.16	38.6%
F5320-Sd550	BAIS	total famille	192	100%	12	100%	0.41	100%
F5320-Sd550	total		192	1%	12	1%	0.41	0.31%

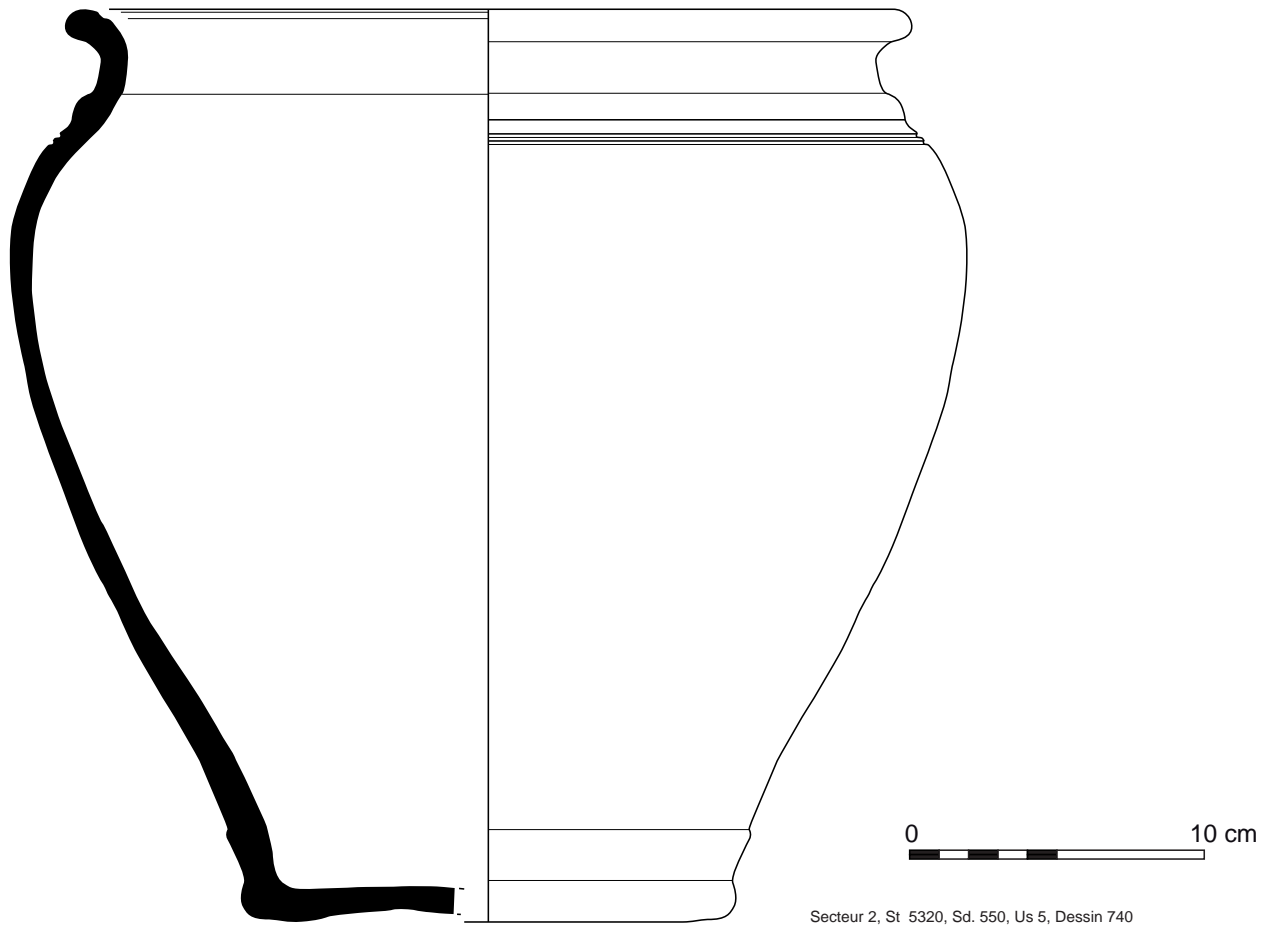
Le seul élément notable au sein de ce contexte est la présence de variantes fines des types 2a et 3a.

Orientation chronologique : Atelier

- **F. 5320, Sd.550, Us 5** (fig. 385)

Contexte	famille	type/s. type	NR	%NR	NMI	%NMI	EqV	%EqV
F5320-Sd550-US5	BAIS	o	118	92.9%	o		o	
F5320-Sd550-US5	BAIS	2a	8	6.3%	2	66.7%	0.83	100%
F5320-Sd550-US5	BAIS	2ind	1	0.8%	1	33.3%	o	
F5320-Sd550-US5	BAIS	total famille	127	100%	3	100%	0.83	100%
F5320-Sd550-US5	total		127	1%	3		0.83	0.63%

Orientation chronologique : Atelier



Lames minces N°139-140-141

Fig. 385 : céramiques découvertes
au sein du contexte F. 5320 sd 550 Us 5
© N. Ménez

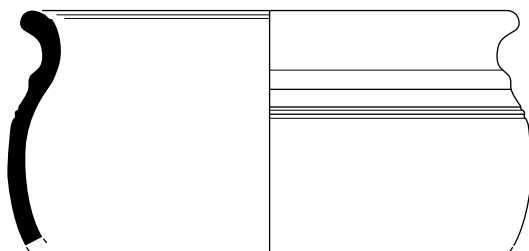
• F. 5320, Sd.551, -0,70 m

Contexte	famille	type/s. type	NR	%NR	NMI	%NMI	EqV	%EqV
F5320-Sd551-US-0,70m	BAIS	o	12	85.7%	0		0	
F5320-Sd551-US-0,70m	BAIS	2a	1	7.1%	1	50.0%	0.10	69.4%
F5320-Sd551-US-0,70m	BAIS	3b	1	7.1%	1	50.0%	0.04	27.8%
F5320-Sd551-US-0,70m	BAIS	total famille	14	100%	2	100%	0.14	100%
F5320-Sd551-US-0,70m	total		14		2		0.14	0.11%

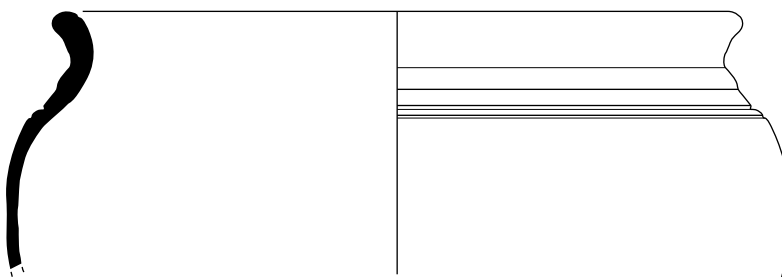
Orientation chronologique : Atelier

• F. 5320, Sd.551 (fig. 386 et 387)

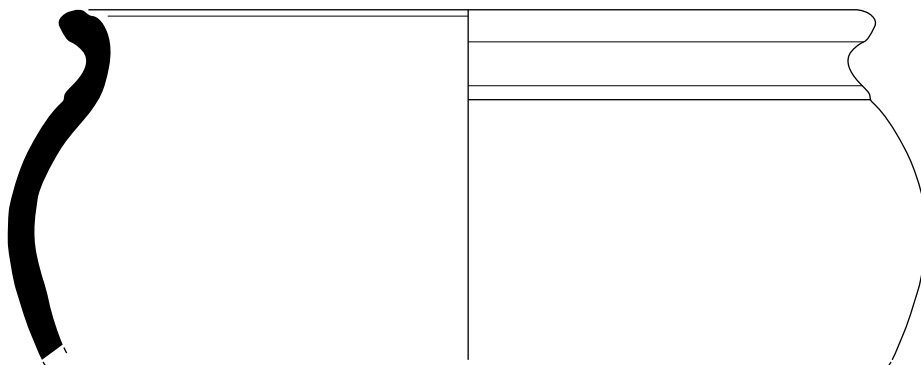
Contexte	famille	type/s. type	NR	%NR	NMI	%NMI	EqV	%EqV
F5320-Sd551	BAIS	o	391	90.1%	20	50.0%	0	
F5320-Sd551	BAIS	1ind	2	0.5%	2	5.0%	0	
F5320-Sd551	BAIS	2a	8	1.8%	2	5.0%	1.02	31.4%
F5320-Sd551	BAIS	2a(v)	4	0.9%	3	7.5%	0.26	7.89%
F5320-Sd551	BAIS	2b	1	0.2%	1	2.5%	0.06	1.71%
F5320-Sd551	BAIS	2c	7	1.6%	1	2.5%	0.86	26.5%
F5320-Sd551	BAIS	2d	12	2.8%	4	10.0%	0.72	22.3%
F5320-Sd551	BAIS	2ind	3	0.7%	3	7.5%	0	
F5320-Sd551	BAIS	3b	4	0.9%	2	5.0%	0.12	3.77%
F5320-Sd551	BAIS	7	1	0.2%	1	2.5%	0.18	5.57%
F5320-Sd551	BAIS	9	1	0.2%	1	2.5%	0.03	1.03%
F5320-Sd551	BAIS	total famille	434	100%	40	100%	3.24	100%
F5320-Sd551	total		434	2%	40	3%	3.24	2.46%



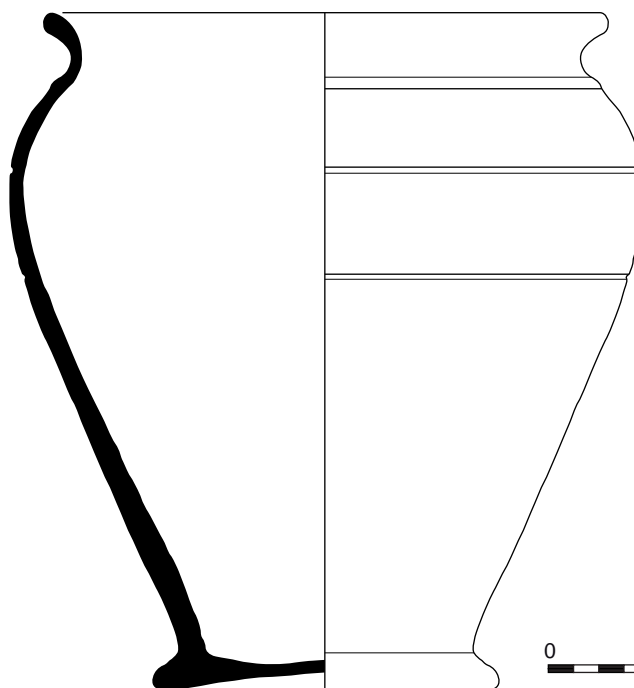
Secteur 2 , St. 5320, Sd. 551, Dessin 745



Secteur 2 , St. 5320, Sd. 551, Dessin 752



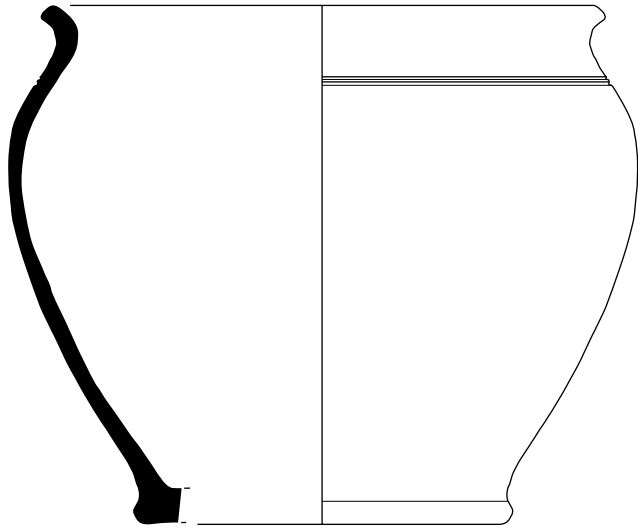
Secteur 2 , St. 5320, Sd. 551, Dessin 742



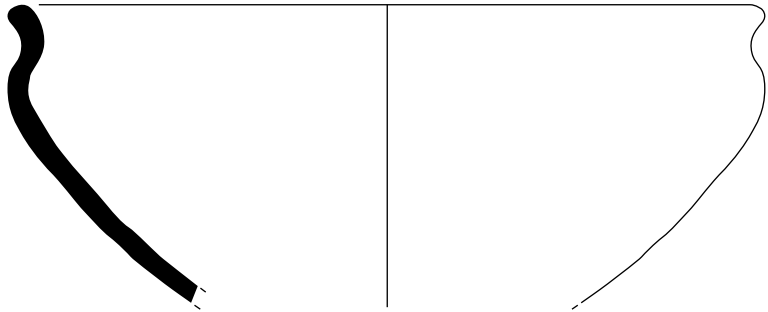
0 10 cm

Fig. 386 : céramiques découvertes
au sein du contexte F. 5320 sd 551 © N. Ménez

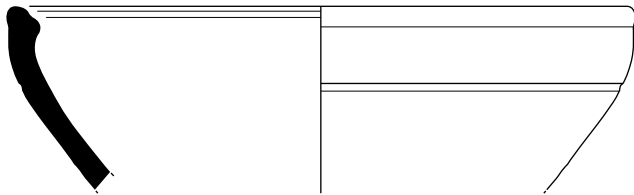
Secteur 2 , St. 5230,
Sd. 551, Dessin 754



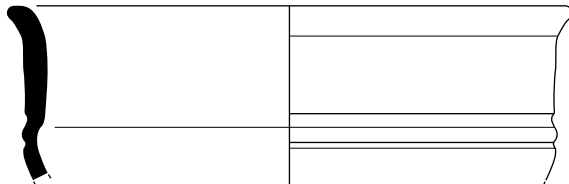
Secteur 2 , St 5230, Sd. 551, Dessin 753



Secteur 2 , St 5320, Sd. 551, Dessin 746



Secteur 2 , St 5320, Sd. 551, Dessin 749



Secteur 2 , St 5320, Sd. 551, Dessin 751



Fig. 387 : céramiques découvertes
au sein du contexte F. 5320 sd 551 © N. Ménez

L'important lot de mobilier révélé par ce contexte est intégralement constitué de productions de l'atelier. Composé de 434 tessons pour 40 individus estimés, aucun type ne se distingue vraiment des autres du point de vue quantitatif. On observe toutefois la présence de 3 variantes du type 2a.

Orientation chronologique : Atelier

Lames minces N°149-150-151-152

- **F. 5320, Sd.552** (fig. 388)

Contexte	famille	type/s. type	NR	%NR	NMI	%NMI	EqV	%EqV
F5320-Sd552	BAIS	o	18	62.1%	1	16.7%	0	
F5320-Sd552	BAIS	100	1	3.4%	1	16.7%	0.14	22.4%
F5320-Sd552	BAIS	2a	7	24.1%	2	33.3%	0.33	52.4%
F5320-Sd552	BAIS	2c	2	6.9%	1	16.7%	0.16	25.1%
F5320-Sd552	BAIS	2ind	1	3.4%	1	16.7%	0	
F5320-Sd552	BAIS	total famille	29	100%	6	100%	0.62	100%
F5320-Sd552	total		29		6		0.62	0.47%

On observe ici la présence d'un *unicum* à lèvres éversées et doté d'anses (dessin 761).

Orientation chronologique : Atelier

- **F. 5320, Sd.554**

Contexte	famille	type/s. type	NR	%NR	NMI	%NMI	EqV	%EqV
F5320-Sd554-US	BAIS	o	1	100%	1	100%	0	
F5320-Sd554-US	BAIS	total famille	1	100%	1	100%	0	
F5320-Sd554-US	total		1		1		0	

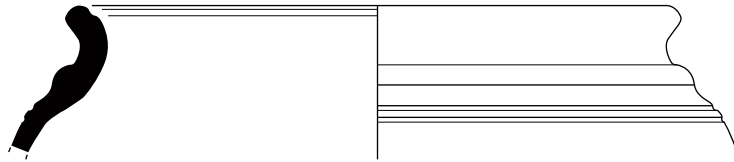
Orientation chronologique : Atelier

- **F. 5320, Sd.554** (fig. 389)

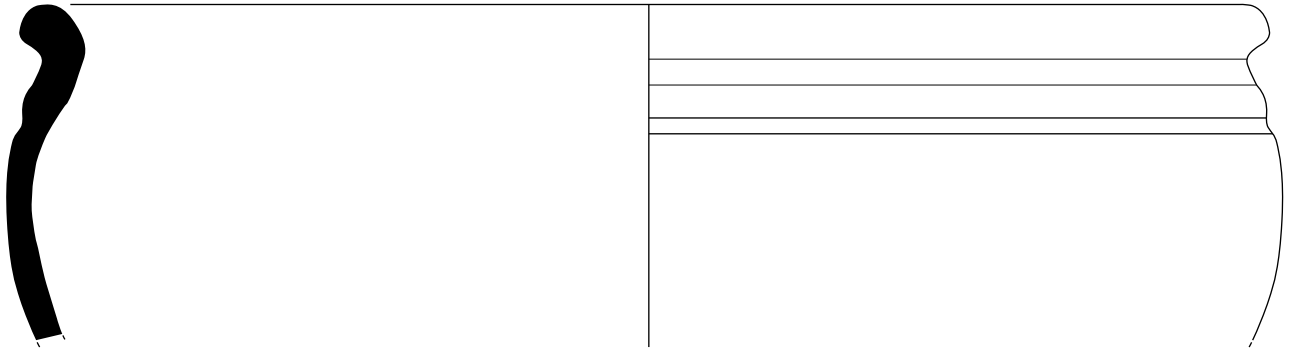
Contexte	famille	type/s. type	NR	%NR	NMI	%NMI	EqV	%EqV
F5320-Sd554	BAIS	o	30	78.9%	2	25.0%	0	
F5320-Sd554	BAIS	100	1	2.6%	1	12.5%	0.05	11.9%
F5320-Sd554	BAIS	1ind	1	2.6%	1	12.5%	0	
F5320-Sd554	BAIS	2a	2	5.3%	2	25.0%	0.19	46.3%
F5320-Sd554	BAIS	2b	4	10.5%	2	25.0%	0.18	42.3%
F5320-Sd554	BAIS	total famille	38	100%	8	100%	0.42	100%
F5320-Sd554	total		38		8	1%	0.42	0.32%

Le seul élément notable mis au jour au sein de ce contexte, qui ne révèle par ailleurs que des productions de l'atelier, est la présence d'un *unicum* ; il s'agit d'un pot fermé à petite lèvre éversée débordante (dessin 766).

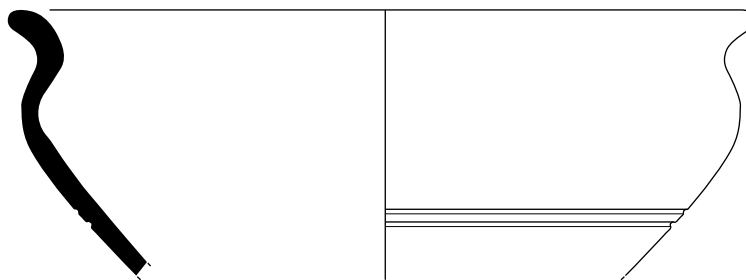
Orientation chronologique : Atelier



Secteur 2 , St 5320, Sd. 552, Dessin 759



Secteur 2 , St 5320, Sd. 552, Dessin 758



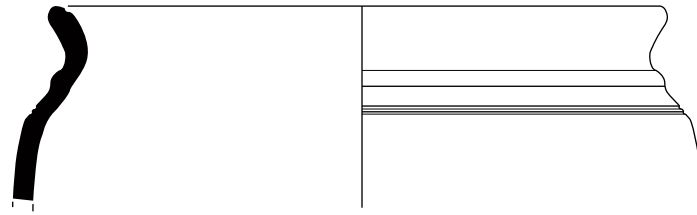
Secteur 2 , St 5320, Sd. 552, Dessin 760



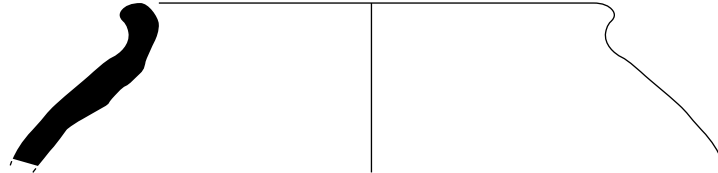
Secteur 2 , St 5320, Sd. 552, Dessin 761



Fig. 388 : céramiques découvertes au sein du contexte F. 5320 sd 552 © N. Ménez



Secteur 2 , St 5320, Sd. 554, Dessin 762



Secteur 2 , St 5320, Sd. 554, Dessin 766



Fig. 389 : céramiques découvertes au sein du contexte F. 5320 sd 554 © N. Ménez

• F. 5320, Sd.554, Surface

Contexte	famille	type/s. type	NR	%NR	NMI	%NMI	EqV	%EqV
F5320-Sd554-USurface	BAIS	o	61	98.4%	2	66.7%	o	
F5320-Sd554-USurface	BAIS	2ind	1	1.6%	1	33.3%	o	
F5320-Sd554-USurface	BAIS	total famille	62	100%	3	100%	0	
F5320-Sd554-USurface	total		62		3		0	

Orientation chronologique : Atelier

Synthèse sur la structure F.5320

A travers les quelques sondages dont elle a fait l'objet, cette structure livre un total de 131 individus, ce qui en fait le deuxième contexte le plus prolifique du site du point de vue du mobilier. Avec 54 occurrences, le type 2 y est de loin le mieux représenté (41%). On observe également la présence de 16 récipients de type 1 et de 10 récipients de type 3 (fig. 441).

• F. 5320/F. 5274

Contexte	famille	type/s. type	NR	%NR	NMI	%NMI	EqV	%EqV
F5320/5274	BAIS	o	26	100%	o		o	
F5320/5274	BAIS	total famille	26	100%	0		0	
F5320/5274	total		26		0		0	

Orientation chronologique : Atelier

- **F. 5322, Us 2**

Contexte	famille	type/s. type	NR	%NR	NMI	%NMI	EqV	%EqV
F5322-US2	BAIS	o	3	60.0%	0		0	
F5322-US2	BAIS	2d	2	40.0%	1	100%	0.06	92.6%
F5322-US2	BAIS	total famille	5	100%	1	100%	0.06	100%
F5322-US2	total		5		1		0.06	0.05%

Orientation chronologique : Atelier

- **F. 5323**

Contexte	famille	type/s. type	NR	%NR	NMI	%NMI	EqV	%EqV
F5323	BAIS	o	6	100%	0		0	
F5323	BAIS	total famille	6	100%	0		0	
F5323	total		6		0		0	

Orientation chronologique : Atelier

- **F. 5324**

Contexte	famille	type/s. type	NR	%NR	NMI	%NMI	EqV	%EqV
F5324	BAIS	o	1	100%	0		0	
F5324	BAIS	total famille	1	100%	0		0	
F5324	total		1		0		0	

Orientation chronologique : Atelier

- **F. 5327 (fig. 390)**

Contexte	famille	type/s. type	NR	%NR	NMI	%NMI	EqV	%EqV
F5327	BAIS	o	60	85.7%	1	33.3%	0	
F5327	BAIS	2a	9	12.9%	1	33.3%	0.92	99.6%
F5327	BAIS	2d	1	1.4%	1	33.3%	0	
F5327	BAIS	total famille	70	100%	3	100%	0.92	100%
F5327	total		70		3		0.92	0.70%

Orientation chronologique : Atelier

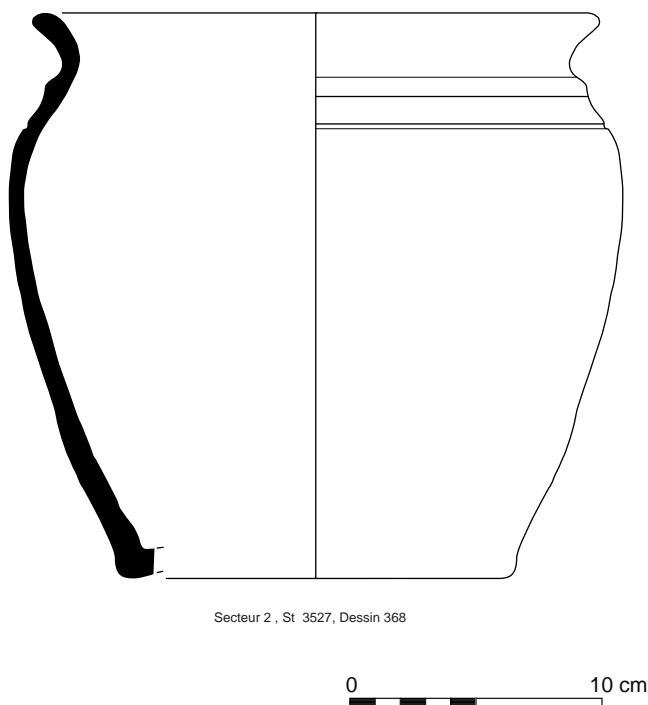
- **F. 5329, Us 1 (fig. 391)**

Contexte	famille	type/s. type	NR	%NR	NMI	%NMI	EqV	%EqV
F5329-US1	BAIS	o	154	92.8%	4	30.8%	0	
F5329-US1	BAIS	2a	3	1.8%	3	23.1%	0.30	28.9%
F5329-US1	BAIS	2a(v)	1	0.6%	1	7.7%	0.05	4.81%
F5329-US1	BAIS	2d	3	1.8%	3	23.1%	0.36	34.2%
F5329-US1	BAIS	3a	1	0.6%	1	7.7%	0.08	8.01%
F5329-US1	BAIS	3b	4	2.4%	1	7.7%	0.26	24.6%
F5329-US1	BAIS	total famille	166	100%	13	100%	1.04	100%
F5329-US1	total		166	1%	13	1%	1.04	0.79%

L'ensemble du mobilier mis au jour au sein de ce contexte est attribuable

à l'atelier. Parmi les 13 individus recensés (pour 166 restes), on observe principalement la présence d'une variante du type 2a ainsi que celle d'un récipient de type 2d qui affiche des traces d'utilisation.

Orientation chronologique : Atelier



Secteur 2, St 3527, Dessin 368

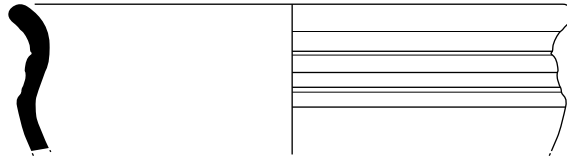
Fig. 390 : céramique découverte au sein du contexte F. 5327 © N. Ménez

Lames minces N°127-128-129-130-131

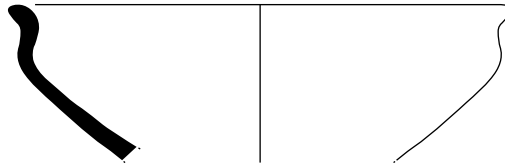
- **F. 5329, Us 2** (fig. 392)

Contexte	famille	type/s. type	NR	%NR	NMI	%NMI	EqV	%EqV
F5329-US2	BAIS	o	107	93.0%	3	30.0%	0	
F5329-US2	BAIS	1o	1	0.9%	1	10.0%	0.08	13.0%
F5329-US2	BAIS	2a	1	0.9%	1	10.0%	0.08	13.0%
F5329-US2	BAIS	2d	3	2.6%	3	30.0%	0.26	40.8%
F5329-US2	BAIS	2ind	1	0.9%	1	10.0%	0	
F5329-US2	BAIS	3a	2	1.7%	1	10.0%	0.22	33.9%
F5329-US2	BAIS	total famille	115	100%	10	100%	0.64	100%
F5329-US2	total		115	1%	10	1%	0.64	0.49%

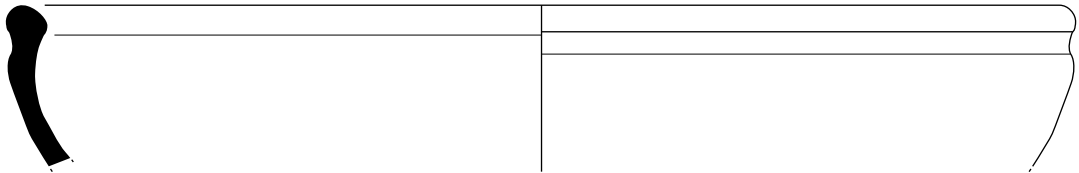
Orientation chronologique : Atelier



Secteur 2 , St 5329, Us 1, Dessin 831



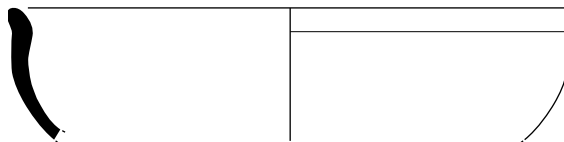
Secteur 2 , St 5329, Us 1, Dessin 834



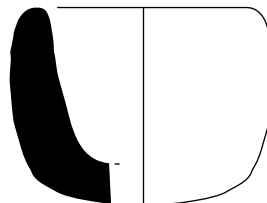
Secteur 2 , St 5329, Us 1, Dessin 835



Fig. 391 : céramique découverte au sein du contexte F. 5329 Us 1 © N. Ménez



Secteur 2 , St 5329, Us 2, Dessin 841



Secteur 2 , St 5329, Us 2, Dessin 845



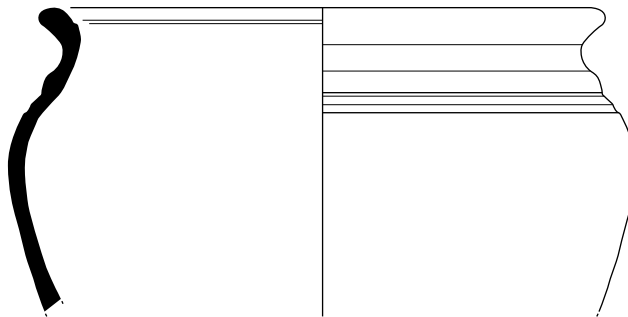
Fig. 392 : céramiques découvertes au sein du contexte F. 5329 Us 2 © N. Ménez

Lames minces N°137-138

- **F. 5329, Us 3 (fig. 393)**

Contexte	famille	type/s. type	NR	%NR	NMI	%NMI	EqV	%EqV
F5329-US3	BAIS	o	52	92.9%	3	50.0%	o	
F5329-US3	BAIS	2a	1	1.8%	1	16.7%	0.16	47.1%
F5329-US3	BAIS	2d	1	1.8%	1	16.7%	0.05	15.2%
F5329-US3	BAIS	3b	2	3.6%	1	16.7%	0.13	38.7%
F5329-US3	BAIS	total famille	56	100%	6	100%	0.33	100%
F5329-US3	total		56		6		0.33	0.25%

Orientation chronologique : Atelier



Secteur 2, St 5329, Us 3, Dessin 842



Fig. 393 : céramiques découvertes au sein du contexte F. 5329 Us 3 © N. Ménez

Lame mince N°120

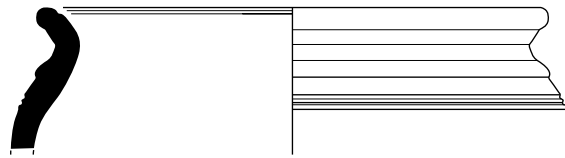
Synthèse sur la structure F.5329

Cette structure livre un total de 29 individus. Avec 14 occurrences, le type 2 y est de loin le mieux représenté (48%). On observe également la présence de 4 récipients de type 3 (fig. 441).

- **F. 5330, Sd. 507, Us 1 (fig. 394)**

Contexte	famille	type/s. type	NR	%NR	NMI	%NMI	EqV	%EqV
F5330-Sd507-US2	BAIS	o	3	100%	0		o	
F5330-Sd507-US2	BAIS	total famille	3	100%	0		0	
F5330-Sd507-US2	total		3		0		0	

Orientation chronologique : Atelier



Secteur 2, St 5330, Sd. 507, Us 1, Dessin 370



Fig. 394 : céramiques découvertes au sein du contexte F. 5330 sd 507 Us 1 © N. Ménez

Lame mince N°121

- F. 5330, Sd. 507, Us 2

Contexte	famille	type/s. type	NR	%NR	NMI	%NMI	EqV	%EqV
F5330-Sd507-US1	BAIS	o	5	83.3%	o		o	
F5330-Sd507-US1	BAIS	2a	1	16.7%	1	100%	0.11	101%
F5330-Sd507-US1	BAIS	total famille	6	100%	1	100%	0.11	100%
F5330-Sd507-US1	total		6		1		0.11	0.08%

Orientation chronologique : Atelier

- F. 5330, Sd. Quart Nord-Ouest, Us 1

Contexte	famille	type/s. type	NR	%NR	NMI	%NMI	EqV	%EqV
F5330-SdQuart NO-US1	BAIS	o	6	100%	o		o	
F5330-SdQuart NO-US1	BAIS	total famille	6	100%	0		0	
F5330-SdQuart NO-US1	total		6		0		0	

Orientation chronologique : Atelier

- F. 5330, Sd. Quart Nord-Ouest, Us 3

Contexte	famille	type/s. type	NR	%NR	NMI	%NMI	EqV	%EqV
F5330-SdQuart NO-US3	BAIS	o	3	100%	o		o	
F5330-SdQuart NO-US3	BAIS	total famille	3	100%	0		0	
F5330-SdQuart NO-US3	total		3		0		0	

Orientation chronologique : Atelier

- F. 5330, Sd. Quart Sud-Ouest, Us 2

Contexte	famille	type/s. type	NR	%NR	NMI	%NMI	EqV	%EqV
F5330-SdQuart SO-US2	BAIS	o	3	100%	o		o	
F5330-SdQuart SO-US2	BAIS	total famille	3	100%	0		0	
F5330-SdQuart SO-US2	total		3		0		0	

Orientation chronologique : Atelier

- **F. 5332, Us 1**

<i>Contexte</i>	famille	type/s. type	NR	%NR	NMI	%NMI	EqV	%EqV
F5332-US1	BAIS	o	4	100%	0		0	
F5332-US1	BAIS	total famille	4	100%	0		0	
F5332-US1	total		4		0		0	

Orientation chronologique : Atelier

- **F. 5334, Us 1**

<i>Contexte</i>	famille	type/s. type	NR	%NR	NMI	%NMI	EqV	%EqV
F5334-US1	BAIS	o	8	100%	1	100%	0	
F5334-US1	BAIS	total famille	8	100%	1	100%	0	
F5334-US1	total		8		1		0	

Orientation chronologique : Atelier

- **F. 5335, Nettoyage surface**

<i>Contexte</i>	famille	type/s. type	NR	%NR	NMI	%NMI	EqV	%EqV
F5335-Sd-USNettoyage surface	BAIS	o	18	90.0%	0		0	
F5335-Sd-USNettoyage surface	BAIS	rind	1	5.0%	1	50.0%	0	
F5335-Sd-USNettoyage surface	BAIS	3a	1	5.0%	1	50.0%	0.04	111%
F5335-Sd-USNettoyage surface	BAIS	total famille	20	100%	2	100%	0.04	100%
F5335-Sd-USNettoyage surface	total		20		2		0.04	0.03%

On notera ici que le récipient de type 3a mis au jour correspond au même individu que celui recensé au sein du contexte F.5335, Us 4.

*Orientation chronologique : Atelier***Lame mince N°38**

- **F. 5335 Us 2**

<i>Contexte</i>	famille	type/s. type	NR	%NR	NMI	%NMI	EqV	%EqV
F5335-US2	BAIS	o	136	91.9%	2	33.3%	0	
F5335-US2	BAIS	1c	2	1.4%	1	16.7%	0.16	19.8%
F5335-US2	BAIS	rind	1	0.7%	1	16.7%	0	
F5335-US2	BAIS	2b	1	0.7%	1	16.7%	0.26	33.0%
F5335-US2	BAIS	3a	8	5.4%	1	16.7%	0.38	46.9%
F5335-US2	BAIS	total famille	148	100%	6	100%	0.80	100%
F5335-US2	total		148	1%	6		0.80	0.61%

On notera ici que le récipient de type 2b mis au jour correspond au même individu que celui recensé au sein du contexte F.5335, Us 4. Il en est de même pour l'individu de type 3a qui recolle avec des tessons issus du contexte F. 5335, Us 4.

Orientation chronologique : Atelier

Lames minces N°28-39

• F. 5335, Us 4

Contexte	famille	type/s. type	NR	%NR	NMI	%NMI	EqV	%EqV
F5335-US4	BAIS	o	106	91.4%	1	20.0%	0	
F5335-US4	BAIS	2b	3	2.6%	2	40.0%	0.32	46.7%
F5335-US4	BAIS	3a	7	6.0%	2	40.0%	0.37	53.1%
F5335-US4	BAIS	total famille	116	100%	5	100%	0.69	100%
F5335-US4	total		116	1%	5		0.69	0.52%

On notera ici que les récipients de type 3a mis au jour correspondent aux mêmes individus que ceux recensés au sein du contexte F.5335, Nettoyage Surface et F. 5335, Us 2.

Orientation chronologique : Atelier

Lames minces N°12-37-38-39

Synthèse sur la structure F.5335

Cette structure livre un total de 13 individus. Hormis le type 3a représenté par 4 occurrences, aucun autre type ne se distingue des autres du point de vue quantitatif (fig. 441).

• F. 5337, Surface

Contexte	famille	type/s. type	NR	%NR	NMI	%NMI	EqV	%EqV
F5337-USSurface	BAIS	o	1	100%	0		0	
F5337-USSurface	BAIS	total famille	1	100%	0		0	
F5337-USSurface	total		1		0		0	

Orientation chronologique : Atelier

• F. 5338

Contexte	famille	type/s. type	NR	%NR	NMI	%NMI	EqV	%EqV
F5338	BAIS	o	3	100%	1	100%	0	
F5338	BAIS	total famille	3	100%	1	100%	0	
F5338	total		3		1		0	

Orientation chronologique : Atelier

• F. 5340

Contexte	famille	type/s. type	NR	%NR	NMI	%NMI	EqV	%EqV
F5340	BAIS	o	1	50.0%	0		0	
F5340	BAIS	3b	1	50.0%	1	100%	0.04	97.2%
F5340	BAIS	total famille	2	100%	1	100%	0.04	100%
F5340	total		2		1		0.04	0.03%

Le seul élément notable révélé par ce contexte pauvre en mobilier est la présence d'un tesson antique.

Orientation chronologique : Antiquité• **F. 5343, Sd. 511**

Contexte	famille	type/s. type	NR	%NR	NMI	%NMI	EqV	%EqV
F5343-Sd511	BAIS	o	4	100%	0		0	
F5343-Sd511	BAIS	total famille	4	100%	0		0	
F5343-Sd511	total		4		0		0	

Orientation chronologique : Atelier• **F. 5343, Sd. 512 (fig. 395)**

Contexte	famille	type/s. type	NR	%NR	NMI	%NMI	EqV	%EqV
F5343-Sd512	BAIS	o	7	53.8%	0		0	
F5343-Sd512	BAIS	2d	6	46.2%	1	100%	0.58	99.1%
F5343-Sd512	BAIS	total famille	13	100%	1	100%	0.58	100%
F5343-Sd512	total		13		1		0.58	0.44%

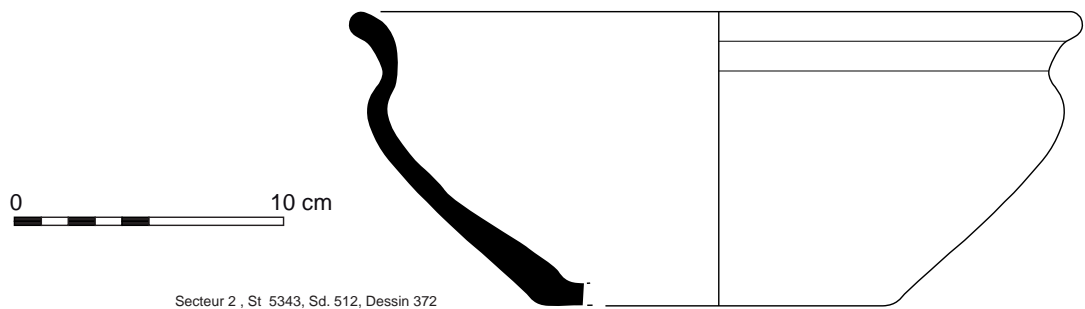
Orientation chronologique : Atelier

Fig. 395 : céramiques découvertes au sein du contexte F. 5343 sd 512 © N. Ménez

• **F. 5343, Sd. 513 (fig. 396)**

Contexte	famille	type/s. type	NR	%NR	NMI	%NMI	EqV	%EqV
F5343-Sd513	BAIS	o	8	80.0%	0		0	
F5343-Sd513	BAIS	2a	2	20.0%	1	100%	0.17	101%
F5343-Sd513	BAIS	total famille	10	100%	1	100%	0.17	100%
F5343-Sd513	total		10		1		0.17	0.13%

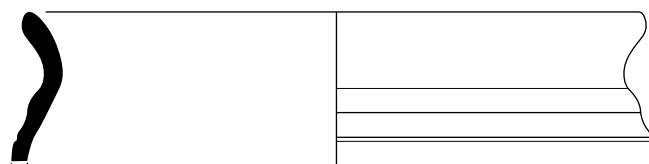
Orientation chronologique : Atelier

Fig. 396 : céramiques découvertes au sein du contexte F. 5343 sd 513 © N. Ménez

Secteur 2, St 5343, Sd.513, Dessin 373

0 10 cm

- **F. 5350**

Contexte	famille	type/s. type	NR	%NR	NMI	%NMI	EqV	%EqV
F5350	BAIS	o	33	100%	0		0	
F5350	BAIS	total famille	33	100%	0		0	
F5350	total		33		0		0	

Orientation chronologique : Atelier

- **F. 5350, Sd. 725, Us 5 (fig. 397 et 398)**

Contexte	famille	type/s. type	NR	%NR	NMI	%NMI	EqV	%EqV
F5350-Sd725-US5	BAIS	o	2933	93.1%	0		0	
F5350-Sd725-US5	BAIS	1a	4	0.1%	2	3.2%	0.31	2.47%
F5350-Sd725-US5	BAIS	1b	49	1.6%	26	41.9%	3.72	30.1%
F5350-Sd725-US5	BAIS	1c	5	0.2%	4	6.5%	0.42	3.42%
F5350-Sd725-US5	BAIS	1ind	74	2.3%	0		3.21	26.0%
F5350-Sd725-US5	BAIS	2a	42	1.3%	20	32.3%	2.85	23.1%
F5350-Sd725-US5	BAIS	2b	3	0.1%	1	1.6%	0.14	1.12%
F5350-Sd725-US5	BAIS	2c	3	0.1%	2	3.2%	0.19	1.53%
F5350-Sd725-US5	BAIS	2d	1		1	1.6%	0.10	0.81%
F5350-Sd725-US5	BAIS	2ind	29	0.9%	0		1.08	8.74%
F5350-Sd725-US5	BAIS	3a	3	0.1%	3	4.8%	0.10	0.81%
F5350-Sd725-US5	BAIS	3ind	1		0		0.03	0.25%
F5350-Sd725-US5	BAIS	6b	1		1	1.6%	0.06	0.49%
F5350-Sd725-US5	BAIS	9	3	0.1%	2	3.2%	0.16	1.28%
F5350-Sd725-US5	BAIS	total famille	3151	100%	62	100%	12.4	100%
F5350-Sd725-US5	total		3151	13%	62	4%	12.4	9.37%

Avec 3151 tessons recensés pour 62 individus estimés, ce contexte est de loin celui qui a livré le plus de mobilier. Les types 1b et 2a prédominent largement avec respectivement 41,9 et 32,3% des individus dénombrés quand les autres sous-types atteignent au maximum 6,5%. On notera également que l'intégralité des fragments issus de ce contexte a été produit au sein de l'atelier.

Orientation chronologique : Atelier

Lames minces N°196-197-198-200-201-202-205-206-207-208-211-213-214

- **F. 5352**

Contexte	famille	type/s. type	NR	%NR	NMI	%NMI	EqV	%EqV
F5352	BAIS	2d	1	100%	1	100%	0.05	100%
F5352	BAIS	total famille	1	100%	1	100%	0.05	100%
F5352	total		1		1		0.05	0.04%

Orientation chronologique : Atelier

- **F. 5354**

Contexte	famille	type/s. type	NR	%NR	NMI	%NMI	EqV	%EqV
F5359-Sd680-US1	BAIS	o	7	87.5%	0		0	
F5359-Sd680-US1	BAIS	1ind	1	12.5%	1	100%	0	
F5359-Sd680-US1	BAIS	total famille	8	100%	1	100%	0	
F5359-Sd680-US1	total		8		1		0	

Orientation chronologique : Atelier• F. 5359, Sd. 680, Us 1

Contexte	famille	type/s. type	NR	%NR	NMI	%NMI	EqV	%EqV
F5354	BAIS	o	4	100%	0		0	
F5354	BAIS	total famille	4	100%	0		0	
F5354	total		4		0		0	

Orientation chronologique : Atelier• F. 5361

Contexte	famille	type/s. type	NR	%NR	NMI	%NMI	EqV	%EqV
F5361	BAIS	o	5	100%	0		0	
F5361	BAIS	total famille	5	100%	0		0	
F5361	total		5		0		0	

Orientation chronologique : Atelier• F. 5361, Sd. 591

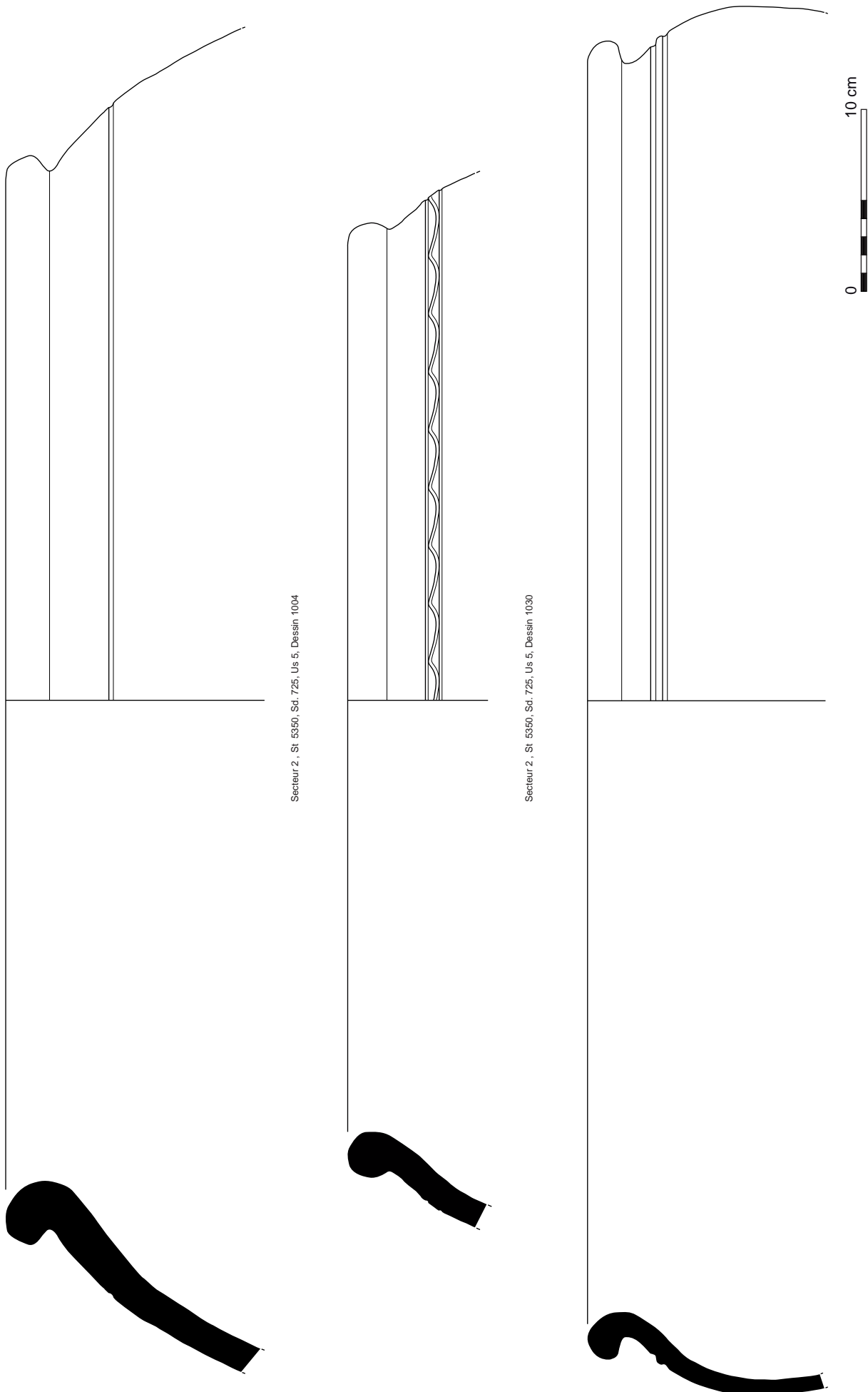
Contexte	famille	type/s. type	NR	%NR	NMI	%NMI	EqV	%EqV
F5361-Sd591	BAIS	o	13	100%	1	100%	0	
F5361-Sd591	BAIS	total famille	13	100%	1	100%	0	
F5361-Sd591	total		13		1		0	

Orientation chronologique : Atelier• F. 5361, Sd. 679 (fig. 399)

Contexte	famille	type/s. type	NR	%NR	NMI	%NMI	EqV	%EqV
F5361-Sd679	BAIS	o	19	79.2%	0		0	
F5361-Sd679	BAIS	3b	5	20.8%	1	100%	0.22	101%
F5361-Sd679	BAIS	total famille	24	100%	1	100%	0.22	100%
F5361-Sd679	total		24		1		0.22	0.17%

Orientation chronologique : Atelier• F. 5366 (fig. 400)

Contexte	famille	type/s. type	NR	%NR	NMI	%NMI	EqV	%EqV
F5366	BAIS	o	2	50.0%	1	33.3%	0	
F5366	BAIS	11	1	25.0%	1	33.3%	0.04	49.4%
F5366	BAIS	3b	1	25.0%	1	33.3%	0.04	46.3%
F5366	BAIS	total famille	4	100%	3	100%	0.09	100%
F5366	total		4		3		0.09	0.07%

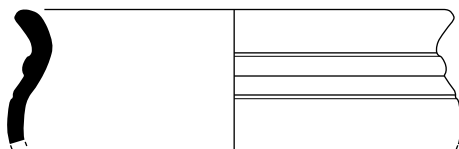


Secteur 2, St. 5350, Sd. 725, Us 5, Dessin 1004

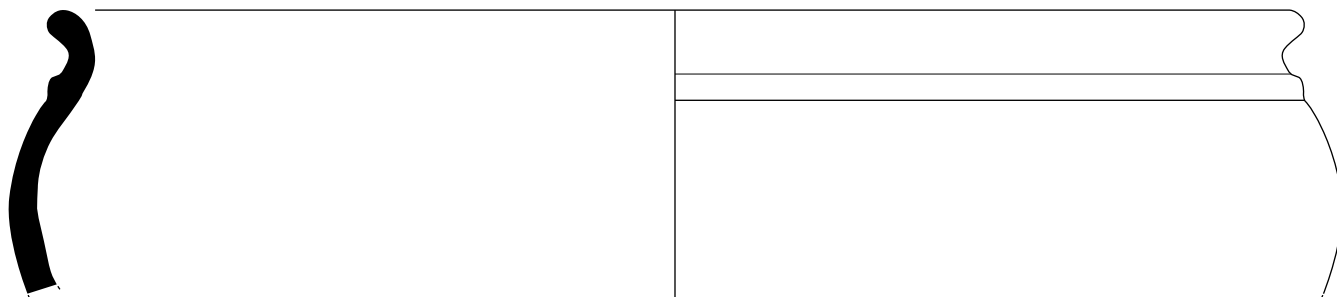
Secteur 2, St. 5350, Sd. 725, Us 5, Dessin 1030

Secteur 2, St. 5350, Sd. 725, Us 5, Dessin 1033

Fig. 397 : céramiques découvertes au sein du contexte F. 5350 sd 725 © N. Ménéz



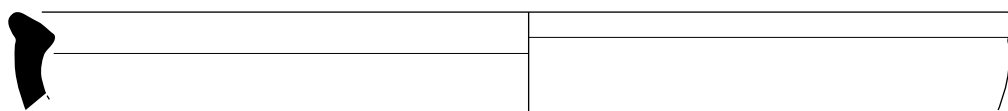
Secteur 2, St 5350, Sd. 725, Us 5, Dessin 1056



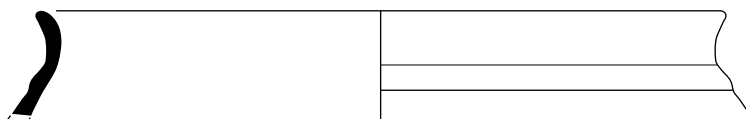
Secteur 2, St 5350, Sd. 725, Us 5, Dessin 1052



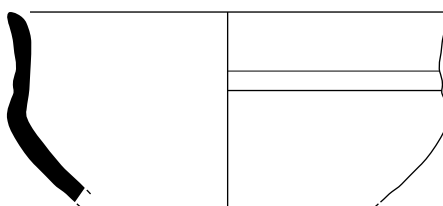
Secteur 2, St 5350, Sd. 725, Us 5, Dessin 1059



Secteur 2, St 5350, Sd. 725, Us 5, Dessin 1060



Secteur 2, St 5350, Sd. 725, Us 5, Dessin 1055

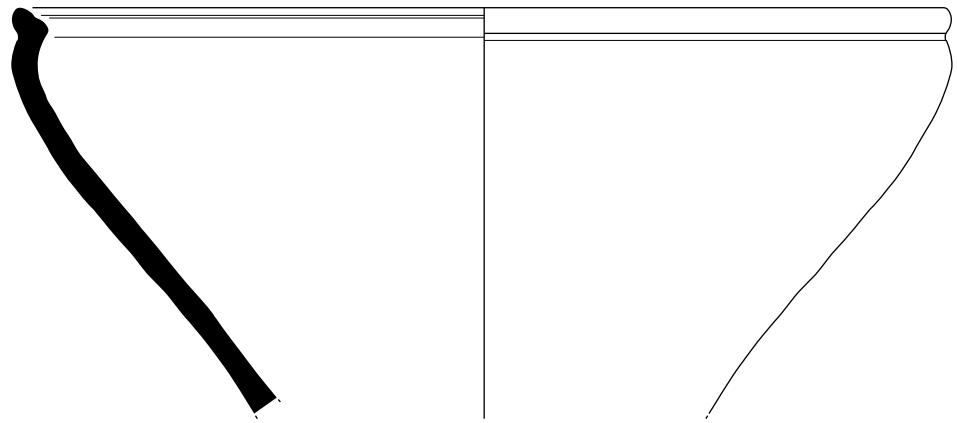


Secteur 2, St 5350, Sd. 725, Us 5, Dessin 1057



Fig. 398 : céramiques découvertes au sein du contexte F. 5350 sd 725 © N. Ménez

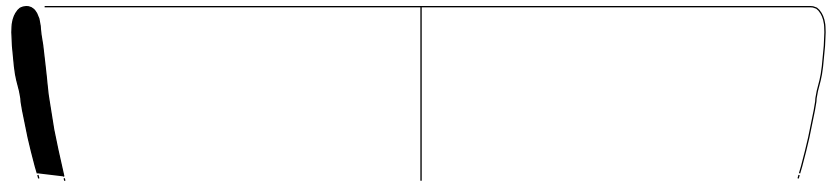
Orientation chronologique : Atelier



Secteur 2 , St 5361, Sd.679, Dessin 375



Fig. 399 : céramiques découvertes au sein du contexte F. 5361 sd 679 © N. Ménéz



Secteur 2 , St 5366, Dessin 377



Fig. 400 : céramiques découvertes au sein du contexte F. 5366 © N. Ménéz

- F. 5366, Sd. 526, Surface

Contexte	famille	type/s. type	NR	%NR	NMI	%NMI	EqV	%EqV
F5366-Sd526-USSurface	BAIS	o	11	100%	1	100%	0	
F5366-Sd526-USSurface	BAIS	total famille	11	100%	1	100%	0	
F5366-Sd526-USSurface	total		11		1		0	

Orientation chronologique : Atelier

- **F. 5367**

Contexte	famille	type/s. type	NR	%NR	NMI	%NMI	EqV	%EqV
F5367	BAIS	o	2	100%	0		0	
F5367	BAIS	total famille	2	100%	0		0	
F5367	total		2		0		0	

Orientation chronologique : Atelier

- **F. 5368**

Contexte	famille	type/s. type	NR	%NR	NMI	%NMI	EqV	%EqV
F5368	BAIS	o	1	100%	0		0	
F5368	BAIS	total famille	1	33.3%	0		0	
F5368	EXO	total famille	2	66.7%	2	100%	0.13	100%
F5368	total		3		2		0.13	0.10%

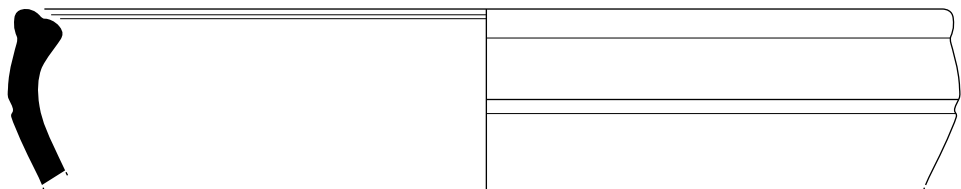
Les deux individus recensés ici s'apparentent à des productions exogènes. Leur faible degré de conservation ne permet pas de les caractériser avec précision mais la facture de leurs pâtes permet de les dater, de manière large, de la fin de la période laténienne.

Orientation chronologique : Atelier +EXO

- **F. 5371, Sd. 586 (fig. 401)**

Contexte	famille	type/s. type	NR	%NR	NMI	%NMI	EqV	%EqV
F5371-Sd586	BAIS	ind	1	33.3%	1	50.0%	0	
F5371-Sd586	BAIS	3b	2	66.7%	1	50.0%	0.13	96.2%
F5371-Sd586	BAIS	total famille	3	100%	2	100%	0.13	100%
F5371-Sd586	total		3		2		0.13	0.10%

Orientation chronologique : Atelier



Secteur 2, St 5371, Sd. 586, Dessin 387

0 10 cm

Fig. 401 : céramiques découvertes au sein du contexte F. 5371 sd 586 © N. Ménez

• **F. 5372**

Contexte	famille	type/s. type	NR	%NR	NMI	%NMI	EqV	%EqV
F5372	BAIS	o	1	100%	0		0	
F5372	BAIS	total famille	1	100%	0		0	
F5372	total		1		0		0	

Orientation chronologique : Atelier

• **F. 5373**

Contexte	famille	type/s. type	NR	%NR	NMI	%NMI	EqV	%EqV
F5373	BAIS	o	1	50.0%	1	50.0%	0	
F5373	BAIS	2ind	1	50.0%	1	50.0%	0	
F5373	BAIS	total famille	2	100%	2	100%	0	
F5373	total		2		2		0	

Orientation chronologique : Atelier

• **F. 5374**

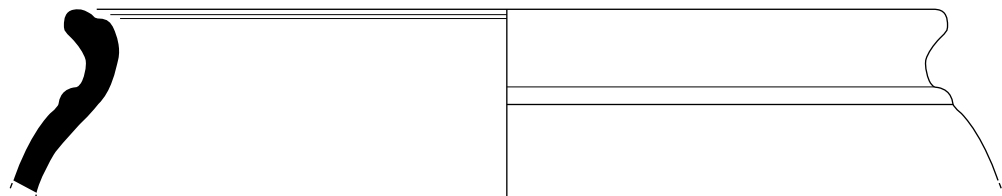
Contexte	famille	type/s. type	NR	%NR	NMI	%NMI	EqV	%EqV
F5374	BAIS	o	7	100%	0		0	
F5374	BAIS	total famille	7	100%	0		0	
F5374	total		7		0		0	

Orientation chronologique : Atelier

• **F. 5374, de -100 au fond (fig. 402)**

Contexte	famille	type/s. type	NR	%NR	NMI	%NMI	EqV	%EqV
F5374-USde - 100 au fond	BAIS	o	55	96.5%	2	66.7%	0	
F5374-USde - 100 au fond	BAIS	2b	2	3.5%	1	33.3%	0.11	101%
F5374-USde - 100 au fond	BAIS	total famille	57	100%	3	100%	0.11	100%
F5374-USde - 100 au fond	total		57		3		0.11	0.08%

Orientation chronologique : Atelier



Secteur 2, St 5374, -100/Fond, Dessin 637



Fig. 402 : céramiques découvertes au sein du contexte F. 5374 © N. Ménez

- **F. 5374, Sd. 691, -1 m**

Contexte	famille	type/s. type	NR	%NR	NMI	%NMI	EqV	%EqV
F5374-Sd691-US-1 m	BAIS	o	14	66.7%	o		o	
F5374-Sd691-US-1 m	BAIS	2a	7	33.3%	1	100%	0.51	101%
F5374-Sd691-US-1 m	BAIS	total famille	21	100%	1	100%	0.51	100%
F5374-Sd691-US-1 m	total		21		1		0.51	0.39%

Orientation chronologique : Atelier

Lame mince N°126

- **F. 5374, Sd. 692, de -100 au fond (fig. 403)**

Contexte	famille	type/s. type	NR	%NR	NMI	%NMI	EqV	%EqV
F5374-Sd692-US-100/fond	BAIS	o	224	90.7%	o		o	
F5374-Sd692-US-100/fond	BAIS	1b	1	0.4%	1	12.5%	0.17	7.72%
F5374-Sd692-US-100/fond	BAIS	1c	2	0.8%	1	12.5%	0.28	12.7%
F5374-Sd692-US-100/fond	BAIS	1ind	3	1.2%	1	12.5%	o	
F5374-Sd692-US-100/fond	BAIS	2a	9	3.6%	2	25.0%	1.17	52.4%
F5374-Sd692-US-100/fond	BAIS	2b	2	0.8%	1	12.5%	0.14	6.23%
F5374-Sd692-US-100/fond	BAIS	2c	5	2.0%	1	12.5%	0.47	20.9%
F5374-Sd692-US-100/fond	BAIS	2ind	1	0.4%	1	12.5%	o	
F5374-Sd692-US-100/fond	BAIS	total famille	247	100%	8	100%	2.23	100%
F5374-Sd692-US-100/fond	total		247	1%	8	1%	2.23	1.69%

Sur les 8 individus recensés dans ce contexte (pour 247 restes), aucun ne se distingue réellement du point de vue quantitatif. On notera cependant que des remontages existent avec les contextes F. 5374, Sd. 592, de -50 à -100 et F. 5374, Sd. 592, Us 2.

Orientation chronologique : Atelier

Lames minces N°135-162-163-165-166

- **F. 5374, Sd. 692, de -50 à -100 (fig. 404)**

Contexte	famille	type/s. type	NR	%NR	NMI	%NMI	EqV	%EqV
F5374-Sd692-US-50/100	BAIS	o	49	87.5%	2	25.0%	o	
F5374-Sd692-US-50/100	BAIS	1b	1	1.8%	1	12.5%	0.07	9.26%
F5374-Sd692-US-50/100	BAIS	1c	1	1.8%	1	12.5%	0.06	8.49%
F5374-Sd692-US-50/100	BAIS	1ind	1	1.8%	1	12.5%	o	
F5374-Sd692-US-50/100	BAIS	2a	3	5.4%	2	25.0%	0.48	67.1%
F5374-Sd692-US-50/100	BAIS	2d	1	1.8%	1	12.5%	0.11	14.7%
F5374-Sd692-US-50/100	BAIS	total famille	56	100%	8	100%	0.72	100%
F5374-Sd692-US-50/100	total		56		8	1%	0.72	0.55%

Le seul élément notable issu de ce contexte est le fait que des remontages existent avec les contextes F. 5374, Sd. 592, de -100 au fond et F. 5374, Sd. 592, Us 2.

Orientation chronologique : Atelier

Lames minces N°135-161-163-166

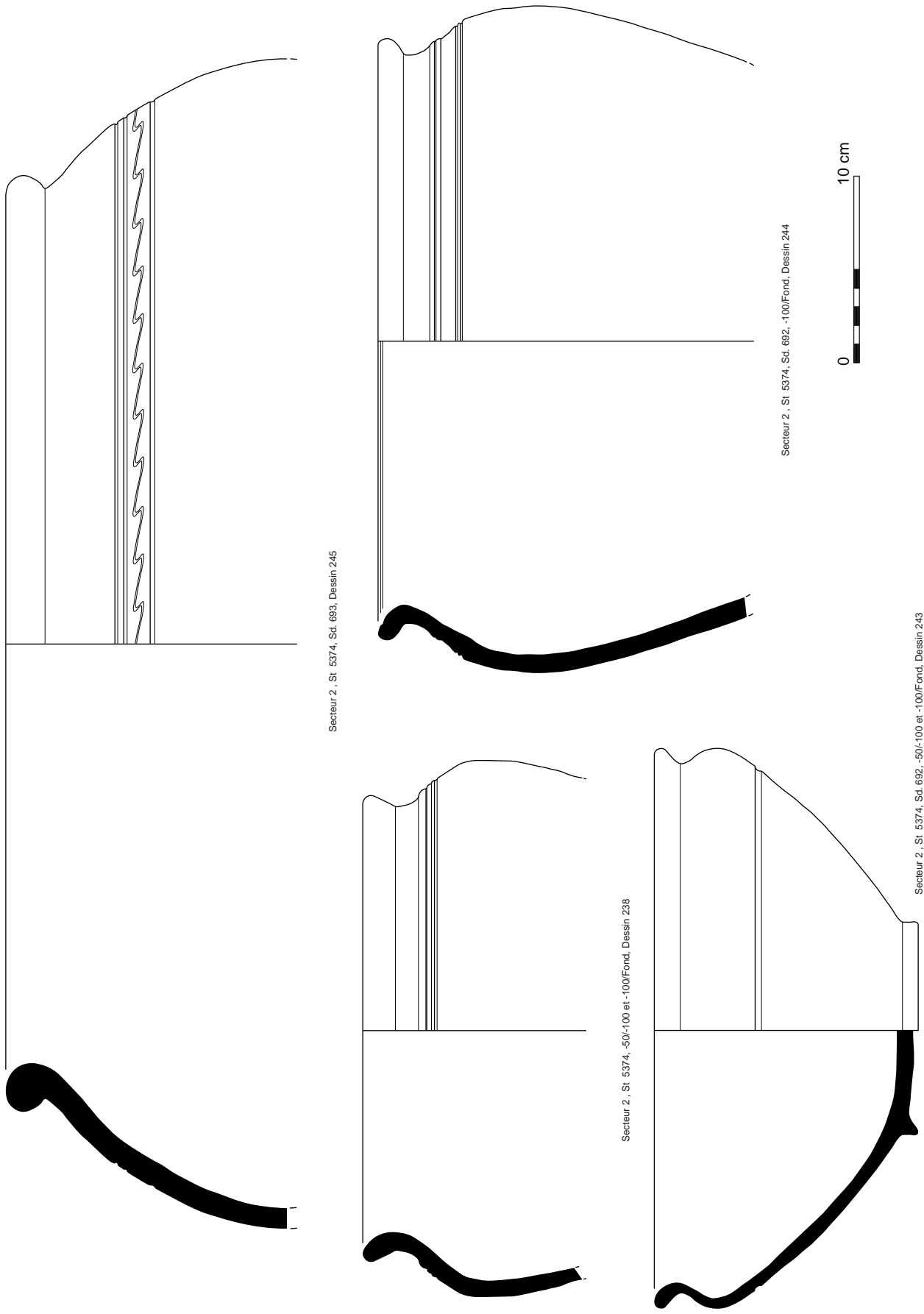


Fig. 403 : céramiques découvertes au sein du contexte F. 5374 sd 692 © N. Ménez

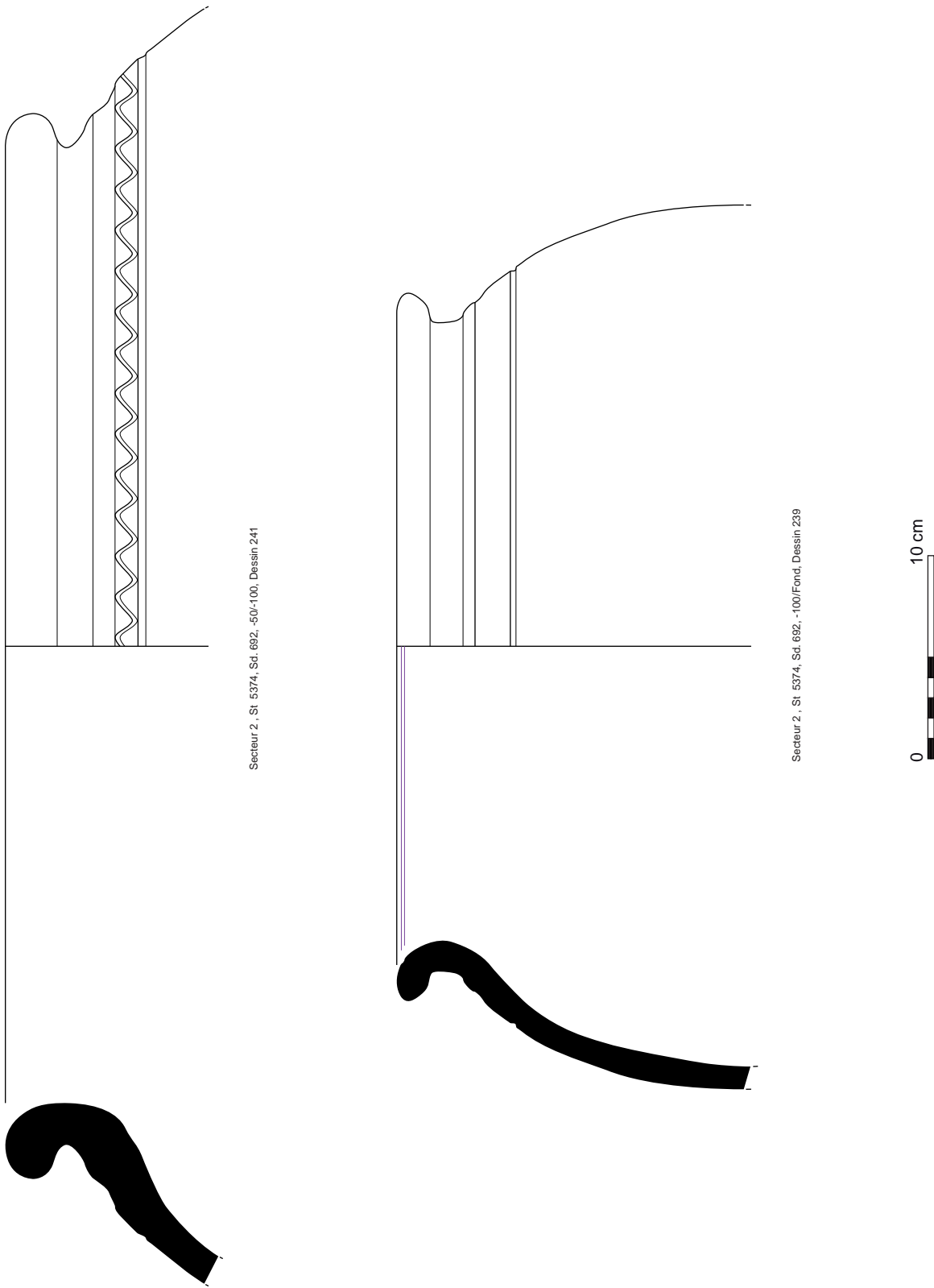


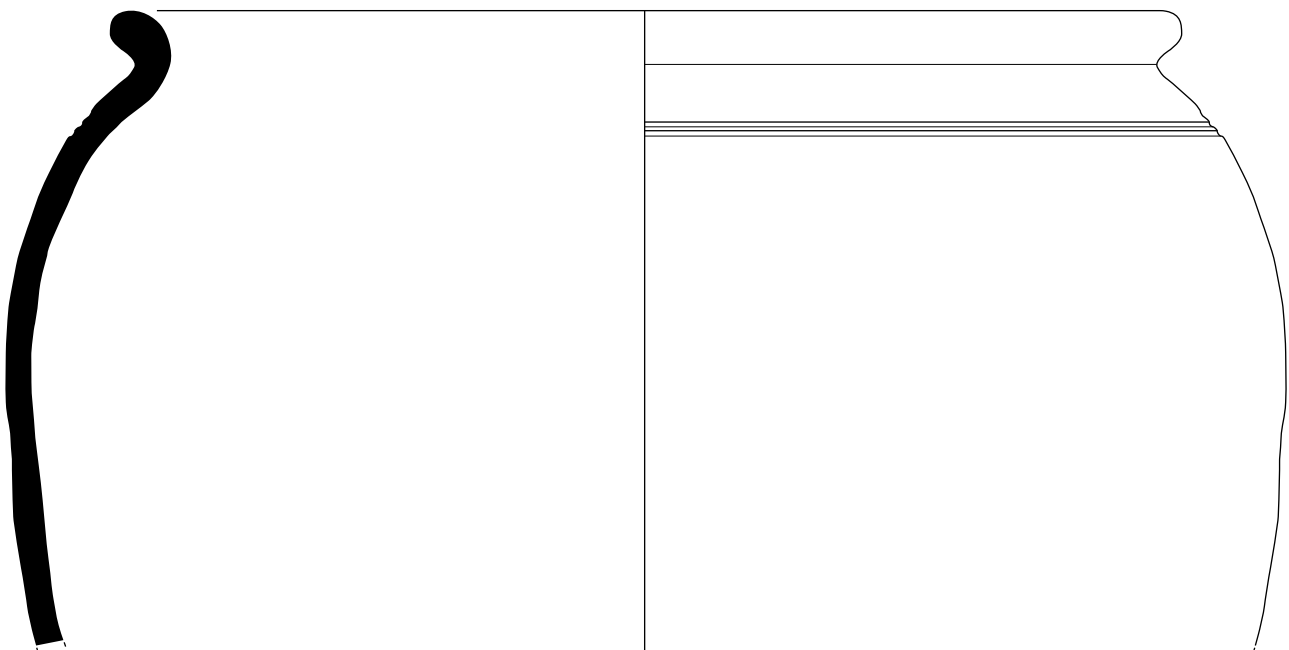
Fig. 404 : céramiques découvertes au sein du contexte F. 5374 sd 692 © N. Ménez

• **F. 5374, Sd. 692, Us 2 (fig. 405)**

Contexte	famille	type/s. type	NR	%NR	NMI	%NMI	EqV	%EqV
F5374-Sd692-US2	BAIS	o	20	76.9%	0		0	
F5374-Sd692-US2	BAIS	1c	1	3.8%	1	25.0%	0.09	32.9%
F5374-Sd692-US2	BAIS	1ind	1	3.8%	1	25.0%	0	
F5374-Sd692-US2	BAIS	2a	1	3.8%	1	25.0%	0.03	10.3%
F5374-Sd692-US2	BAIS	2c	3	11.5%	1	25.0%	0.15	55.6%
F5374-Sd692-US2	BAIS	total famille	26	100%	4	100%	0.27	100%
F5374-Sd692-US2	total		26		4		0.27	0.20%

Le seul élément notable issu de ce contexte est le fait que des remontages existent avec les contextes F. 5374, Sd. 592, de -50 à -100.

Orientation chronologique : Atelier



Secteur 2 , St 5374, Sd. 692, Us 2, Dessin 237



Fig. 405 : céramiques découvertes au sein du contexte F. 5374 sd 692 Us 2 © N. Ménez

• **F. 5374, Sd. 692, de surface à - 50 cm**

Contexte	famille	type/s. type	NR	%NR	NMI	%NMI	EqV	%EqV
F5374-Sd692-USSurface-50 cm	BAIS	o	11	78.6%	1	33.3%	0	
F5374-Sd692-USSurface-50 cm	BAIS	1ind	1	7.1%	1	33.3%	0	
F5374-Sd692-USSurface-50 cm	BAIS	9	2	14.3%	1	33.3%	0.06	92.6%
F5374-Sd692-USSurface-50 cm	BAIS	total famille	14	100%	3	100%	0.06	100%
F5374-Sd692-USSurface-50 cm	total		14		3		0.06	0.05%

Le seul élément notable issu de ce contexte est la présence d'un tessou antique à propos duquel il n'est pas possible de trancher s'il s'agit ou non

de mobilier intrusif.

Orientation chronologique : Atelier ou Antiquité

• **F. 5374, Sd. 692, de -100 au fond (fig. 406)**

Contexte	famille	type/s. type	NR	%NR	NMI	%NMI	EqV	%EqV
F5374-Sd692-USde - 100 au fond	BAIS	o	51	89.5%	0		0	
F5374-Sd692-USde - 100 au fond	BAIS	1a	1	1.8%	1	16.7%	0.19	29.5%
F5374-Sd692-USde - 100 au fond	BAIS	1c	1	1.8%	1	16.7%	0.18	27.8%
F5374-Sd692-USde - 100 au fond	BAIS	2a	1	1.8%	1	16.7%	0.09	13.5%
F5374-Sd692-USde - 100 au fond	BAIS	2d	2	3.5%	2	33.3%	0.13	20.2%
F5374-Sd692-USde - 100 au fond	BAIS	3b	1	1.8%	1	16.7%	0.06	8.42%
F5374-Sd692-USde - 100 au fond	BAIS	total famille	57	100%	6	100%	0.66	100%
<i>F5374-Sd692-USde - 100 au fond</i>	total		57		6		0.66	0.50%

Orientation chronologique : Atelier

• **F. 5374, Sd. 693 (fig. 407)**

Contexte	famille	type/s. type	NR	%NR	NMI	%NMI	EqV	%EqV
F5374-Sd693	BAIS	o	14	77.8%	1	33.3%	0	
F5374-Sd693	BAIS	2b	2	11.1%	1	33.3%	0.07	19.8%
F5374-Sd693	BAIS	2d	2	11.1%	1	33.3%	0.28	81.0%
F5374-Sd693	BAIS	total famille	18	100%	3	100%	0.35	100%
<i>F5374-Sd693</i>	total		18		3		0.35	0.27%

Orientation chronologique : Atelier

• **F. 5374, Sd. 693, Us 3 et 4 (fig. 408)**

Contexte	famille	type/s. type	NR	%NR	NMI	%NMI	EqV	%EqV
F5374-Sd693-US3 et 4	BAIS	o	333	91.0%	2	10.0%	0	
F5374-Sd693-US3 et 4	BAIS	1b	1	0.3%	1	5.0%	0.02	1.59%
F5374-Sd693-US3 et 4	BAIS	1c	5	1.4%	2	10.0%	0.50	35.7%
F5374-Sd693-US3 et 4	BAIS	1ind	3	0.8%	2	10.0%	0	
F5374-Sd693-US3 et 4	BAIS	2a	1	0.3%	1	5.0%	0.11	7.94%
F5374-Sd693-US3 et 4	BAIS	2b	3	0.8%	1	5.0%	0.22	15.9%
F5374-Sd693-US3 et 4	BAIS	2d	1	0.3%	1	5.0%	0	
F5374-Sd693-US3 et 4	BAIS	2ind	5	1.4%	4	20.0%	0	
F5374-Sd693-US3 et 4	BAIS	3b	9	2.5%	2	10.0%	0.36	25.4%
F5374-Sd693-US3 et 4	BAIS	9	5	1.4%	4	20.0%	0.19	13.5%
F5374-Sd693-US3 et 4	BAIS	total famille	366	100%	20	100%	1.40	100%
<i>F5374-Sd693-US3 et 4</i>	total		366	2%	20	1%	1.40	1.06%

L'intégralité du lot mis au jour ici est issue de l'atelier. Constitué de 366 tessons pour 20 individus recensés, aucun type ne se distingue des autres du point de vue quantitatif.

Orientation chronologique : Atelier

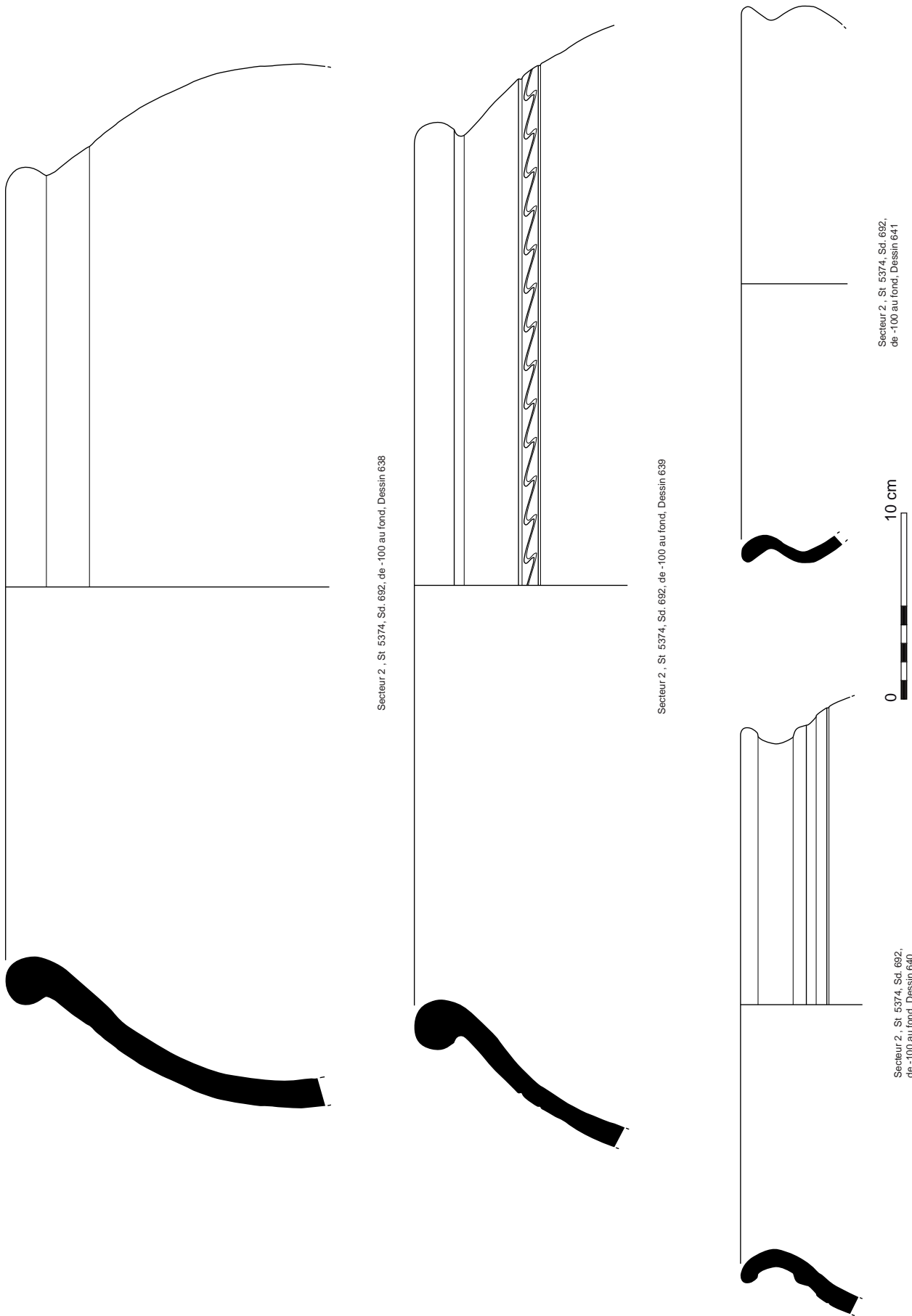
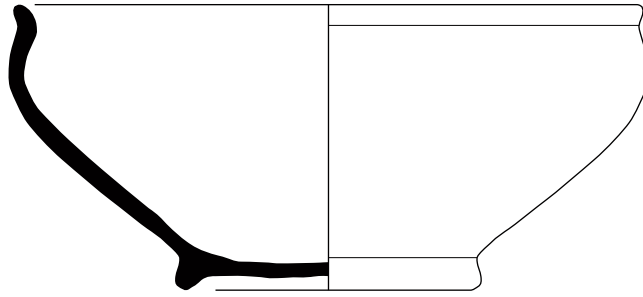
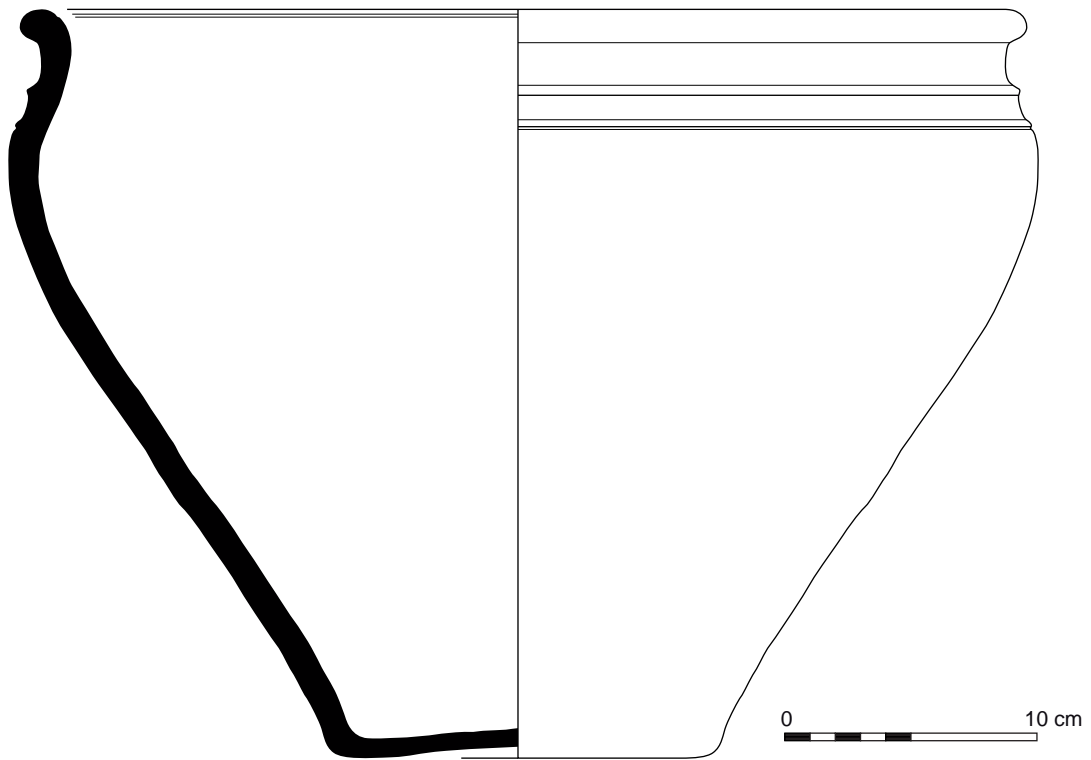


Fig. 406 : céramiques découvertes au sein du contexte F. 5374 sd 692 © N. Ménez

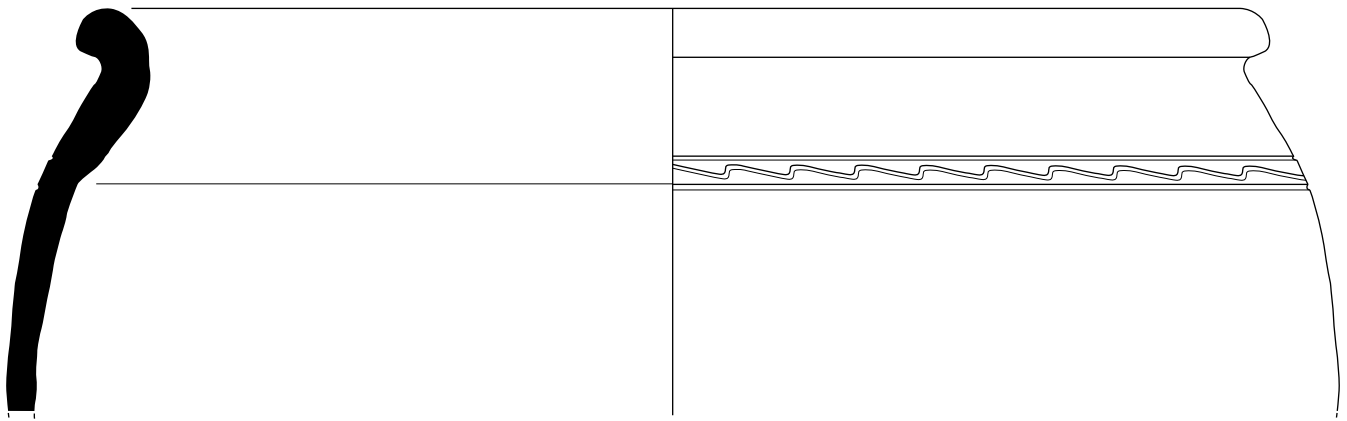


Secteur 2 , St 5374, Sd. 693, Dessin 246

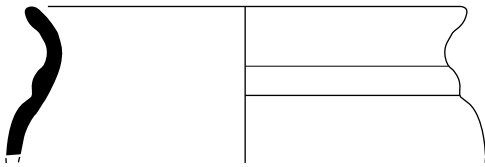


Secteur 2 , St 5374, Sd. 693, Dessin 246 bis

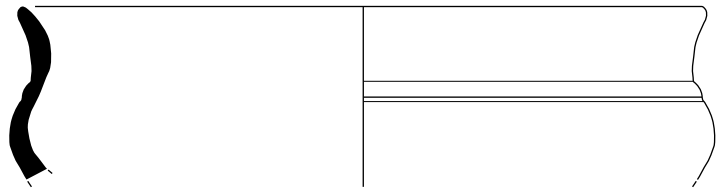
Fig. 407 : céramiques découvertes au sein du contexte F. 5374 sd 693 © N. Ménez



Secteur 2 , St 5374, Sd. 693, Us 3 et 4, Dessin 250



Secteur 2 , St 5374, Sd. 693, Us 3 et 4, Dessin 248



Secteur 2 , St 5374, Sd. 693, Us 3 et 4, Dessin 255



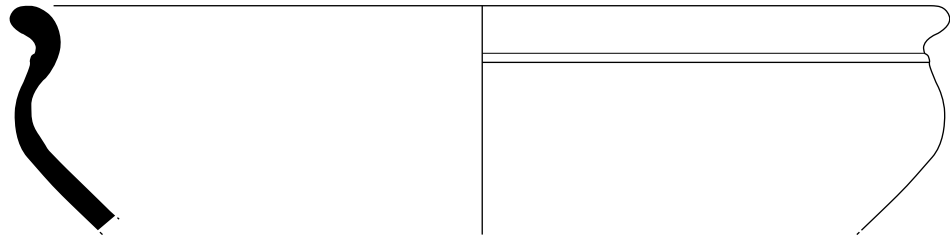
Fig. 408 : céramiques découvertes au sein du contexte F. 5374 sd 693 Us 3 et 4 © N. Ménez

Lames minces N°142-143-144-145-146

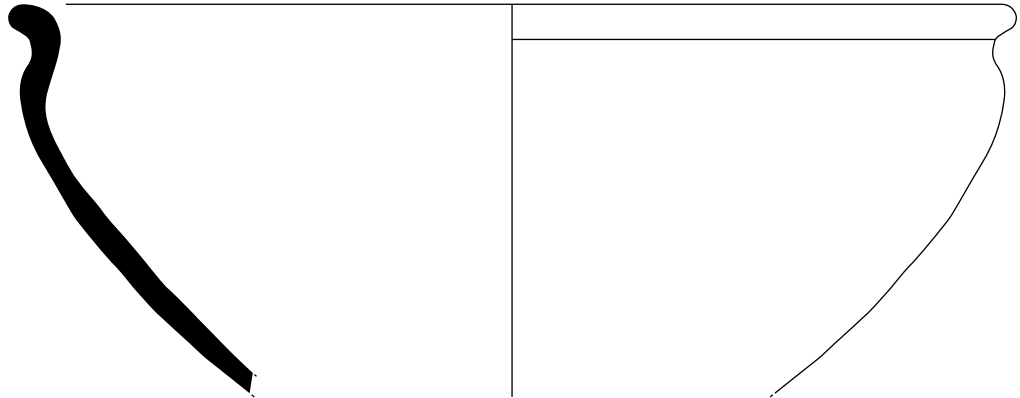
- F. 5374, Sd. 693, Us 6 (fig. 409)

Contexte	famille	type/s. type	NR	%NR	NMI	%NMI	EqV	%EqV
F5374-Sd693-US6	BAIS	o	151	92.6%	0		0	
F5374-Sd693-US6	BAIS	1ind	1	0.6%	1	16.7%	0	
F5374-Sd693-US6	BAIS	2a	2	1.2%	2	33.3%	0.25	39.1%
F5374-Sd693-US6	BAIS	2b	1	0.6%	1	16.7%	0.04	6.51%
F5374-Sd693-US6	BAIS	2d	7	4.3%	1	16.7%	0.35	54.3%
F5374-Sd693-US6	BAIS	2ind	1	0.6%	1	16.7%	0	
F5374-Sd693-US6	BAIS	total famille	163	100%	6	100%	0.64	100%
F5374-Sd693-US6	total		163	1%	6		0.64	0.49%

Orientation chronologique : Atelier



Secteur 2 , St 5374, Sd. 693, Us 6, Dessin 259



Secteur 2 , St 5374, Sd. 693, Us 6, Dessin 261



Fig. 409 : céramiques découvertes au sein du contexte F. 5374 sd 693 Us 6 © N. Ménez

Lame mince N°125

Synthèse sur la structure F.5374

A travers les quelques sondages dont elle a fait l'objet, cette structure livre un total de 62 individus. Avec 29 occurrences, le type 2 y est de loin le mieux représenté (47%), devant le type 1 (16 individus, soit 26%) (fig. 441).

- **F. 5375** (fig. 410)

Contexte	famille	type/s. type	NR	%NR	NMI	%NMI	EqV	%EqV
F5375	BAIS	o	17	77.3%	o		o	
F5375	BAIS	12	1	4.5%	1	25.0%	0.15	40.2%
F5375	BAIS	1ind	1	4.5%	1	25.0%	0.13	33.6%
F5375	BAIS	2ind	1	4.5%	1	25.0%	o	
F5375	BAIS	3b	2	9.1%	1	25.0%	0.10	26.3%
F5375	BAIS	total famille	22	100%	4	100%	0.38	100%
F5375	total		22		4		0.38	0.29%

Orientation chronologique : Atelier

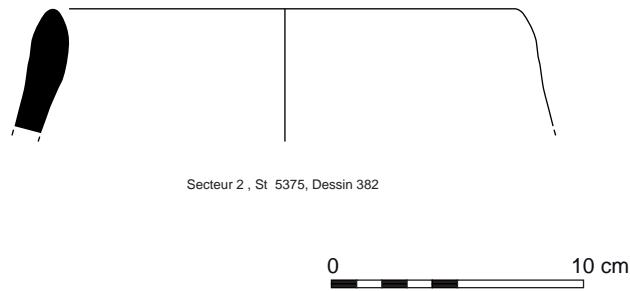


Fig. 410 : céramiques découvertes au sein du contexte F. 5375 © N. Ménéz

- **F. 5375, Sd. 531** (fig. 411)

Contexte	famille	type/s. type	NR	%NR	NMI	%NMI	EqV	%EqV
F5375-Sd531	BAIS	o	90	91.8%	1	14.3%	0	
F5375-Sd531	BAIS	11	1	1.0%	1	14.3%	0.07	8.23%
F5375-Sd531	BAIS	12	1	1.0%	1	14.3%	0.25	30.9%
F5375-Sd531	BAIS	1ind	1	1.0%	1	14.3%	0	
F5375-Sd531	BAIS	2ind	1	1.0%	1	14.3%	0	
F5375-Sd531	BAIS	6a	1	1.0%	1	14.3%	0.06	6.86%
F5375-Sd531	BAIS	9	3	3.1%	1	14.3%	0.44	54.2%
F5375-Sd531	BAIS	total famille	98	100%	7	100%	0.81	100%
F5375-Sd531	total		98		7		0.81	0.61%

Orientation chronologique : Atelier

Synthèse sur la structure F.5375

Cette structure livre un total de 11 individus, mais aucun type ne se distingue des autres du point de vue quantitatif (fig. 441).

- **F. 5380, Sd. 523**

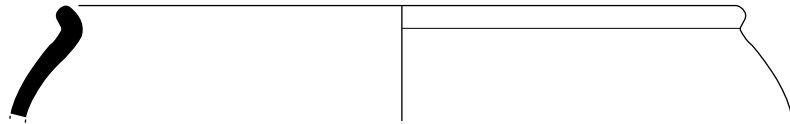
Contexte	famille	type/s. type	NR	%NR	NMI	%NMI	EqV	%EqV
F5380-Sd523	BAIS	o	2	100%	0		0	
F5380-Sd523	BAIS	total famille	2	100%	0		0	
F5380-Sd523	total		2		0		0	

Orientation chronologique : Atelier

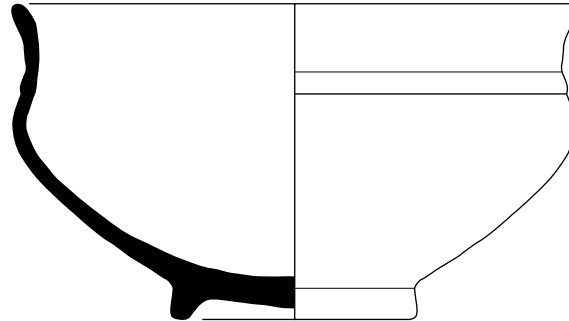
- **F. 5383**

Contexte	famille	type/s. type	NR	%NR	NMI	%NMI	EqV	%EqV
F5383	BAIS	o	1	100%	0		0	
F5383	BAIS	total famille	1	100%	0		0	
F5383	total		1		0		0	

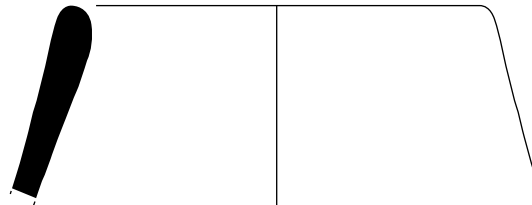
Orientation chronologique : Atelier



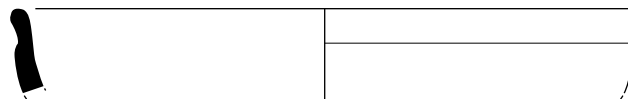
Secteur 2 , St 5375, Sd. 531, Dessin 383



Secteur 2 , St 5375, Sd. 531, Dessin 386



Secteur 2 , St 5375, Sd. 531, Dessin 384



Secteur 2 , St 5375, Sd. 531, Dessin 385



Fig. 411 : céramiques découvertes au sein du contexte F. 5375 sd 531 © N. Ménez

- **F. 5384**

Contexte	famille	type/s. type	NR	%NR	NMI	%NMI	EqV	%EqV
F5384	BAIS	o	5	100%	0		0	
F5384	BAIS	total famille	5	100%	0		0	
F5384	total		5		0		0	

Orientation chronologique : Atelier

- F. 5385, Us 1

Contexte	famille	type/s. type	NR	%NR	NMI	%NMI	EqV	%EqV
F5385-US1	BAIS	o	5	100%	0		0	
F5385-US1	BAIS	total famille	5	100%	0		0	
F5385-US1	total		5		0		0	

Orientation chronologique : Atelier

- F. 5387

Contexte	famille	type/s. type	NR	%NR	NMI	%NMI	EqV	%EqV
F5387	BAIS	o	2	100%	0		0	
F5387	BAIS	total famille	2	100%	0		0	
F5387	total		2		0		0	

Orientation chronologique : Atelier

- F. 5388

Contexte	famille	type/s. type	NR	%NR	NMI	%NMI	EqV	%EqV
F5388	BAIS	o	5	100%	0		0	
F5388	BAIS	total famille	5	100%	0		0	
F5388	total		5		0		0	

Orientation chronologique : Atelier

- F. 5389, Us 1

Contexte	famille	type/s. type	NR	%NR	NMI	%NMI	EqV	%EqV
F5389-US1	BAIS	o	4	100%	1	100%	0	
F5389-US1	BAIS	total famille	4	100%	1	100%	0	
F5389-US1	total		4		1		0	

Orientation chronologique : Atelier

- F. 5389, Surface

Contexte	famille	type/s. type	NR	%NR	NMI	%NMI	EqV	%EqV
F5389-USurface	BAIS	o	1	100%	0		0	
F5389-USurface	BAIS	total famille	1	100%	0		0	
F5389-USurface	total		1		0		0	

Orientation chronologique : Atelier

- F. 5390, Sd. 548

Contexte	famille	type/s. type	NR	%NR	NMI	%NMI	EqV	%EqV
F5390-Sd548	BAIS	o	2	100%	0		0	
F5390-Sd548	BAIS	total famille	2	100%	0		0	
F5390-Sd548	total		2		0		0	

Orientation chronologique : Atelier

- **F. 5390, Sd. 548, Us 4**

<i>Contexte</i>	famille	type/s. type	NR	%NR	NMI	%NMI	EqV	%EqV
F5390-Sd548-US4	BAIS	o	6	100%	0		0	
F5390-Sd548-US4	BAIS	total famille	6	100%	0		0	
F5390-Sd548-US4	total		6		0		0	

Orientation chronologique : Atelier

- **F. 5390, Sd. 548, Surface**

<i>Contexte</i>	famille	type/s. type	NR	%NR	NMI	%NMI	EqV	%EqV
F5390-Sd548-USurface	BAIS	o	9	100%	0		0	
F5390-Sd548-USurface	BAIS	total famille	9	100%	0		0	
F5390-Sd548-USurface	total		9		0		0	

Orientation chronologique : Atelier

- **F. 5394, Surface/Us 1**

<i>Contexte</i>	famille	type/s. type	NR	%NR	NMI	%NMI	EqV	%EqV
F5394-USurface/Us 1	BAIS	o	3	100%	0		0	
F5394-USurface/Us 1	BAIS	total famille	3	100%	0		0	
F5394-USurface/Us 1	total		3		0		0	

Orientation chronologique : Atelier

- **F. 5395**

<i>Contexte</i>	famille	type/s. type	NR	%NR	NMI	%NMI	EqV	%EqV
F5395	BAIS	o	1	100%	0		0	
F5395	BAIS	total famille	1	100%	0		0	
F5395	total		1		0		0	

Orientation chronologique : Atelier

- **F. 5399, Us 1**

<i>Contexte</i>	famille	type/s. type	NR	%NR	NMI	%NMI	EqV	%EqV
F5399-US1	BAIS	o	1	100%	0		0	
F5399-US1	BAIS	total famille	1	100%	0		0	
F5399-US1	total		1		0		0	

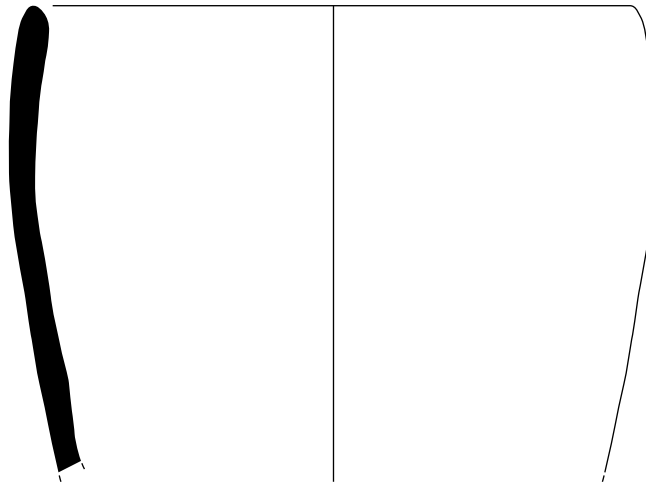
Orientation chronologique : Atelier

• **F. 5407, Sd. 524** (fig. 412)

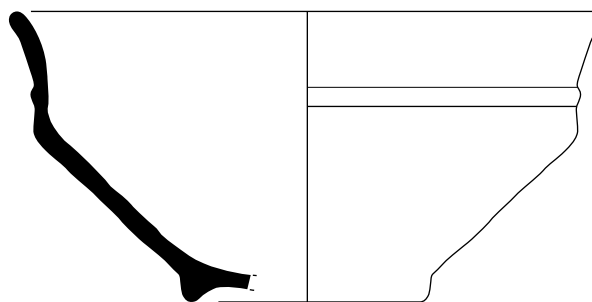
Contexte	famille	type/s. type	NR	%NR	NMI	%NMI	EqV	%EqV
F5407-Sd524	BAIS	o	1	25.0%	o		o	
F5407-Sd524	BAIS	5	3	75.0%	1	100%	0.39	99.7%
F5407-Sd524	BAIS	total famille	4	44.4%	1	50.0%	0.39	50.0%
F5407-Sd524	EXO	total famille	5	55.6%	1	50.0%	0.39	50.0%
F5407-Sd524	total		9		2		0.78	0.59%

Au sein du faible lot révélé par ce contexte, on constate que près de la moitié des tessons s'apparentent à des productions exogènes. Ils appartiennent tous à une jatte à lèvres subverticales soulignée par une baguette horizontale (dessin 324) dont on trouve des comparaisons, à l'échelle régionale, dans des contextes datés entre la toute fin de La Tène moyenne et La Tène finale.

Orientation chronologique : Atelier



Secteur 2, St 5407, Sd. 524, Dessin 323



Secteur 2, St 5407, Sd. 524, Dessin 324

(Exogène)



Fig. 412 : céramiques découvertes au sein du contexte F. 5407 sd 524 © N. Ménez

- **F. 5409, Us 1**

Contexte	famille	type/s. type	NR	%NR	NMI	%NMI	EqV	%EqV
F5409-US1	BAIS	o	3	100%	0		0	
F5409-US1	BAIS	total famille	3	100%	0		0	
F5409-US1	total		3		0		0	

Orientation chronologique : Atelier

- **F. 5413, Surface**

Contexte	famille	type/s. type	NR	%NR	NMI	%NMI	EqV	%EqV
F5413-USSurface	BAIS	o	2	100%	0		0	
F5413-USSurface	BAIS	total famille	2	100%	0		0	
F5413-USSurface	total		2		0		0	

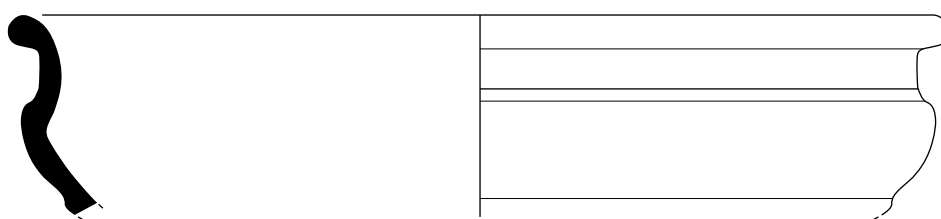
Orientation chronologique : Atelier

- **F. 5418, Sd. 540 (fig. 413)**

Contexte	famille	type/s. type	NR	%NR	NMI	%NMI	EqV	%EqV
F5418-Sd540	BAIS	o	43	95.6%	1	33.3%	0	
F5418-Sd540	BAIS	100	1	2.2%	1	33.3%	0.08	64.1%
F5418-Sd540	BAIS	3a	1	2.2%	1	33.3%	0.04	32.1%
F5418-Sd540	BAIS	total famille	45	100%	3	100%	0.13	100%
F5418-Sd540	total		45		3		0.13	0.10%

Le seul élément notable ici est la présence d'un unicum. Il s'agit d'une jatte carénée dont la lèvre est légèrement tombante (dessin 325).

Orientation chronologique : Atelier



Secteur 2, St 5418, Sd. 540, Dessin 325

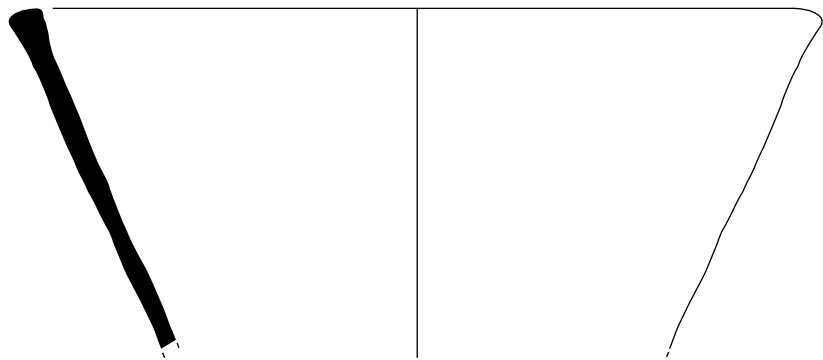
0 10 cm

Fig. 413 : céramiques découvertes au sein du contexte F. 5418 sd 540 © N. Ménéz

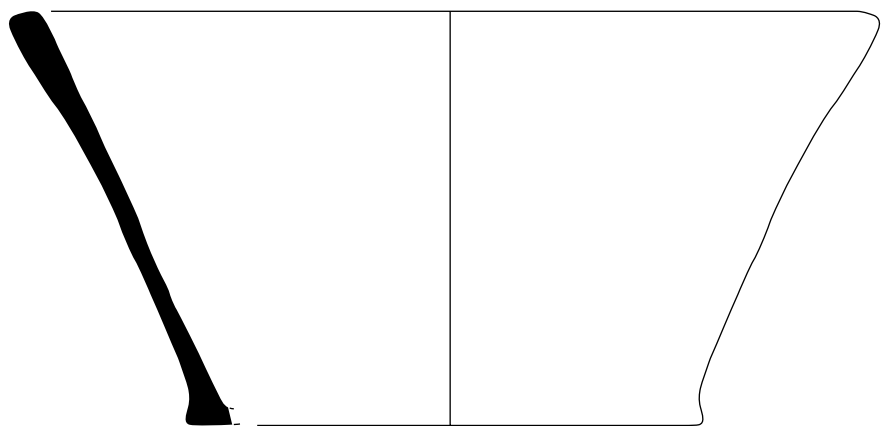
- **F. 5420, Us 1**

Contexte	famille	type/s. type	NR	%NR	NMI	%NMI	EqV	%EqV
F5420-US1	BAIS	o	35	83.3%	1	33.3%	0	
F5420-US1	BAIS	4	7	16.7%	2	66.7%	0.35	99.2%
F5420-US1	BAIS	total famille	42	100%	3	100%	0.35	100%
F5420-US1	total		42		3		0.35	0.27%

Orientation chronologique : Atelier



Secteur 2 , St 5420, Us 1, Dessin 327



Secteur 2 , St 5420, Us 1, Dessin 328



Fig. 414 : céramiques découvertes au sein du contexte F. 5420 Us 1 © N. Ménéz

- **F. 5422** (fig. 415)

Contexte	famille	type/s. type	NR	%NR	NMI	%NMI	EqV	%EqV
F5422	BAIS	o	1	100%	o		o	
F5422	BAIS	total famille	1	33.3%	0		0	
F5422	EXO	total famille	2	66.7%	1	100%	0.17	100%
F5422	total		3		1		0.17	0.13%

Le seul individu recensé dans ce contexte s'apparente à une jatte à profil en esse de production exogène. Affichant une petite lèvre débordante, elle trouve des parallèles, à l'échelle régionale, dans des contextes datés entre La Tène moyenne et La Tène finale.

Orientation chronologique : Atelier

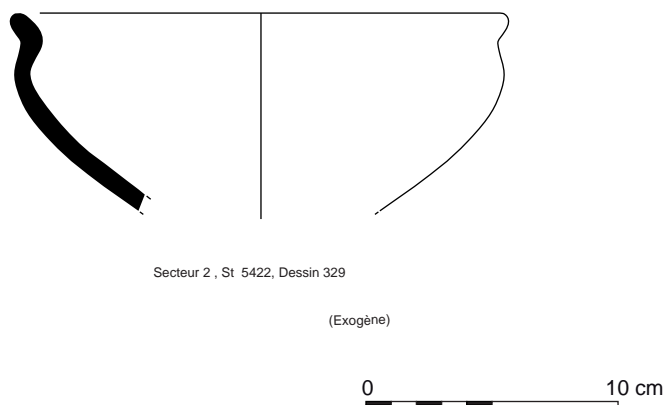


Fig. 415 : céramique découverte au sein du contexte F. 5422 © N. Ménez

- **F. 5426, Sd. 555**

Contexte	famille	type/s. type	NR	%NR	NMI	%NMI	EqV	%EqV
F5426-Sd555	BAIS	o	12	100%	1	100%	0	
F5426-Sd555	BAIS	total famille	12	100%	1	100%	0	
F5426-Sd555	total		12		1		0	

Orientation chronologique : Atelier

- **F. 5429, Sd. 564 (fig. 416)**

Contexte	famille	type/s. type	NR	%NR	NMI	%NMI	EqV	%EqV
F5429-Sd564	BAIS	o	152	84.9%	2	11.8%	0	
F5429-Sd564	BAIS	1a	1	0.6%	1	5.9%	0.08	8.01%
F5429-Sd564	BAIS	1b	5	2.8%	2	11.8%	0.28	27.0%
F5429-Sd564	BAIS	1ind	8	4.5%	4	23.5%	0	
F5429-Sd564	BAIS	2b(v)	1	0.6%	1	5.9%	0.03	3.21%
F5429-Sd564	BAIS	2d	3	1.7%	3	17.6%	0.20	19.0%
F5429-Sd564	BAIS	2ind	2	1.1%	1	5.9%	0.14	13.9%
F5429-Sd564	BAIS	3a	1	0.6%	1	5.9%	0.07	6.94%
F5429-Sd564	BAIS	3b	4	2.2%	1	5.9%	0.17	16.0%
F5429-Sd564	BAIS	6	2	1.1%	1	5.9%	0.06	5.88%
F5429-Sd564	BAIS	total famille	179	100%	17	100%	1.04	100%
F5429-Sd564	total		179	1%	17	1%	1.04	0.79%

La quasi intégralité des 179 tessons (pour 17 individus estimés) mis au jour dans ce contexte est issue de l'atelier. On observe toutefois la présence, très probablement intrusive, de deux lèvres datées de l'Antiquité pour l'une et de l'époque moderne pour l'autre. On remarque également l'existence d'une variante du type 2b.

Orientation chronologique : Atelier

- **F. 5431, Sd. 554**

Contexte	famille	type/s. type	NR	%NR	NMI	%NMI	EqV	%EqV
F5431-Sd554	BAIS	o	5	100%	0		0	
F5431-Sd554	BAIS	total famille	5	100%	0		0	
F5431-Sd554	total		5		0		0	

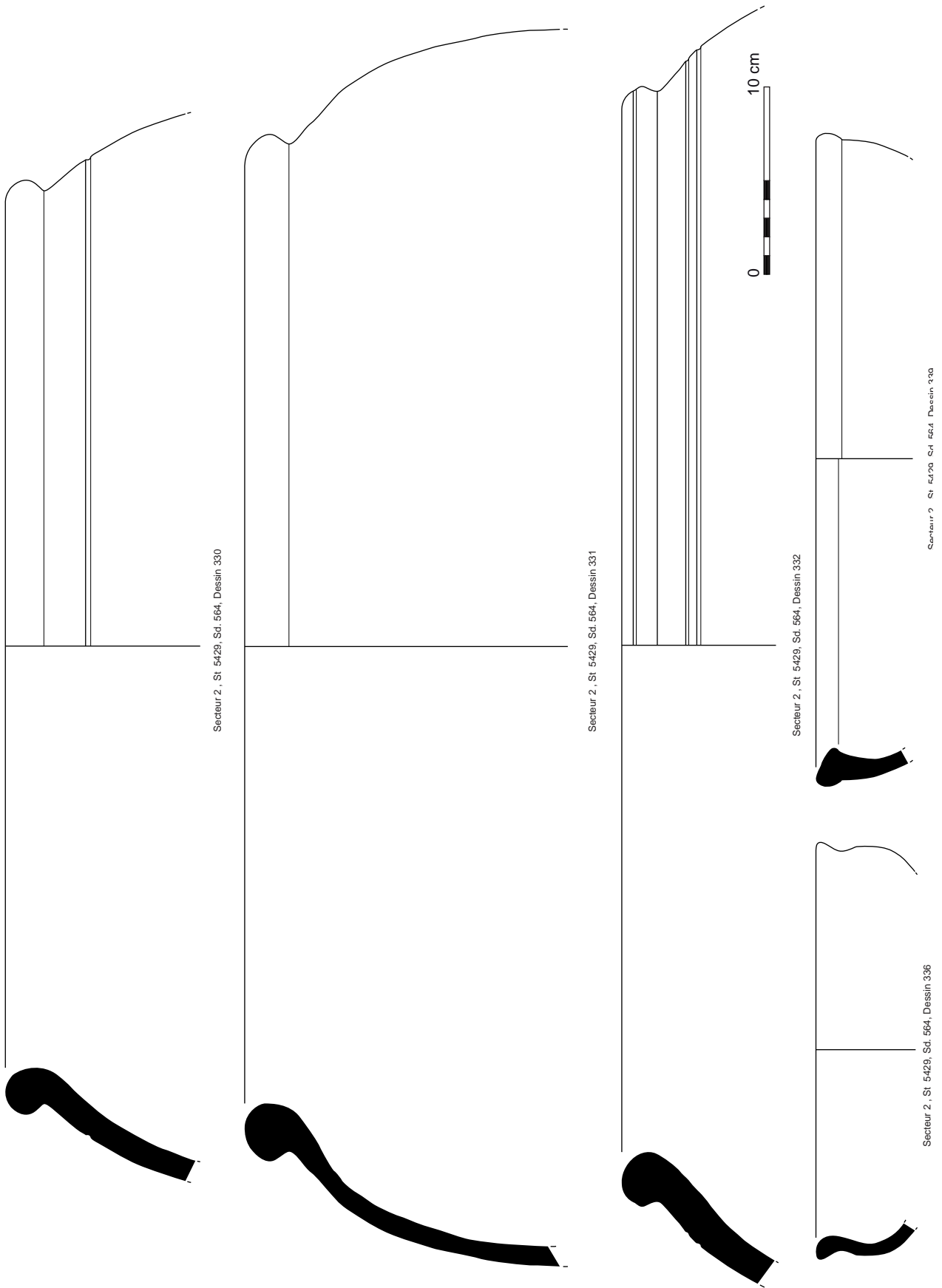


Fig. 416 : céramique découverte au sein du contexte F. 5429 sd 564 © N. Ménez

Orientation chronologique : Atelier• F. 5435

Contexte	famille	type/s. type	NR	%NR	NMI	%NMI	EqV	%EqV
F5435	BAIS	o	10	100%	0		0	
F5435	BAIS	total famille	10	100%	0		0	
F5435	total		10		0		0	

Orientation chronologique : Atelier• F. 5436

Contexte	famille	type/s. type	NR	%NR	NMI	%NMI	EqV	%EqV
F5436	BAIS	o	1	100%	0		0	
F5436	BAIS	total famille	1	100%	0		0	
F5436	total		1		0		0	

Orientation chronologique : Atelier• F. 5441, Sd. 590

Contexte	famille	type/s. type	NR	%NR	NMI	%NMI	EqV	%EqV
F5441-Sd590	BAIS	o	3	75.0%	0		0	
F5441-Sd590	BAIS	3b	1	25.0%	1	100%	0.04	104%
F5441-Sd590	BAIS	total famille	4	100%	1	100%	0.04	100%
F5441-Sd590	total		4		1		0.04	0.03%

Orientation chronologique : Atelier• F. 5444, Sd. 718 (fig. 417)

Contexte	famille	type/s. type	NR	%NR	NMI	%NMI	EqV	%EqV
F5444-Sd718	BAIS	o	84	84.8%	2	50.0%	0	
F5444-Sd718	BAIS	2b	9	9.1%	1	25.0%	0.39	58.0%
F5444-Sd718	BAIS	8b	6	6.1%	1	25.0%	0.28	41.5%
F5444-Sd718	BAIS	total famille	99	100%	4	100%	0.67	100%
F5444-Sd718	total		99		4		0.67	0.51%

Orientation chronologique : Atelier• F. 5446, Us 1

Contexte	famille	type/s. type	NR	%NR	NMI	%NMI	EqV	%EqV
F5446-US1	BAIS	o	8	100%	0		0	
F5446-US1	BAIS	total famille	8	100%	0		0	
F5446-US1	total		8		0		0	

Orientation chronologique : Atelier

- F. 5448, Us 1 (fig. 418)

Contexte	famille	type/s. type	NR	%NR	NMI	%NMI	EqV	%EqV
F5448-US1	BAIS	o	67	94.4%	2	33.3%	o	
F5448-US1	BAIS	1ind	2	2.8%	2	33.3%	o	
F5448-US1	BAIS	2a(v)	1	1.4%	1	16.7%	0.10	47.6%
F5448-US1	BAIS	2b	1	1.4%	1	16.7%	0.11	52.9%
F5448-US1	BAIS	total famille	71	100%	6	100%	0.21	100%
F5448-US1	total		71		6		0.21	0.16%

Le seul élément notable révélé par ce contexte est la présence d'une variante du type 2a.

Orientation chronologique : Atelier

- F. 5453, Sd. 619, Us 1

Contexte	famille	type/s. type	NR	%NR	NMI	%NMI	EqV	%EqV
F5453-Sd619-US1	BAIS	o	4	100%	o		o	
F5453-Sd619-US1	BAIS	total famille	4	100%	o		o	
F5453-Sd619-US1	total		4		0		0	

Orientation chronologique : Atelier

- F. 5454, Sd. 646

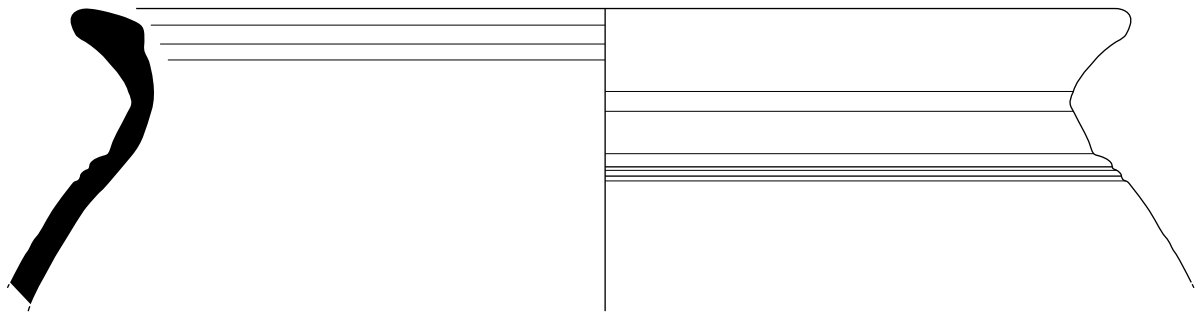
Contexte	famille	type/s. type	NR	%NR	NMI	%NMI	EqV	%EqV
F5454-Sd646	BAIS	o	22	95.7%	1	50.0%	o	
F5454-Sd646	BAIS	3b	1	4.3%	1	50.0%	0.03	92.6%
F5454-Sd646	BAIS	total famille	23	100%	2	100%	0.03	100%
F5454-Sd646	total		23		2		0.03	0.02%

Orientation chronologique : Atelier

- F. 5454, Sd. 647 (fig. 419)

Contexte	famille	type/s. type	NR	%NR	NMI	%NMI	EqV	%EqV
F5454-Sd647	BAIS	o	24	92.3%	o		o	
F5454-Sd647	BAIS	13	2	7.7%	1	100%	0.08	97.2%
F5454-Sd647	BAIS	total famille	26	100%	1	100%	0.08	100%
F5454-Sd647	total		26		1		0.08	0.06%

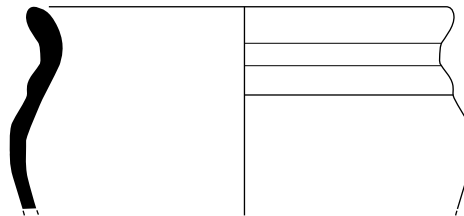
Orientation chronologique : Atelier



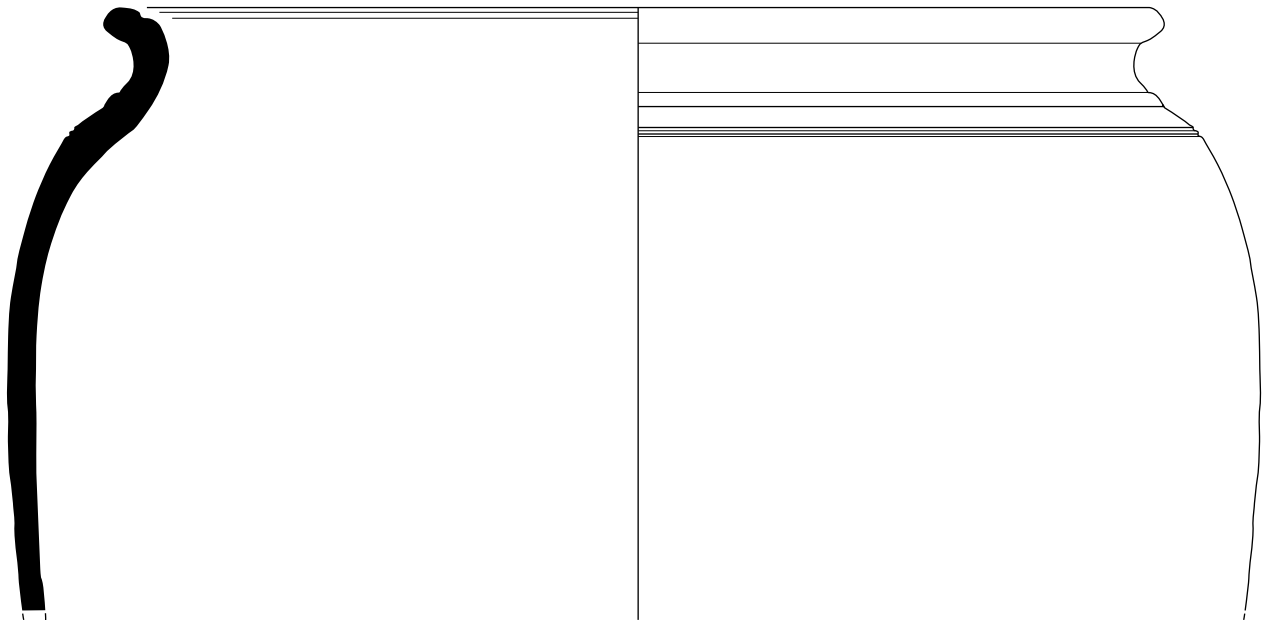
Secteur 2 , St. 5444, Sd. 718, Dessin 341



Fig. 417 : céramique découverte au sein du contexte F. 5444 sd 718 © N. Ménez



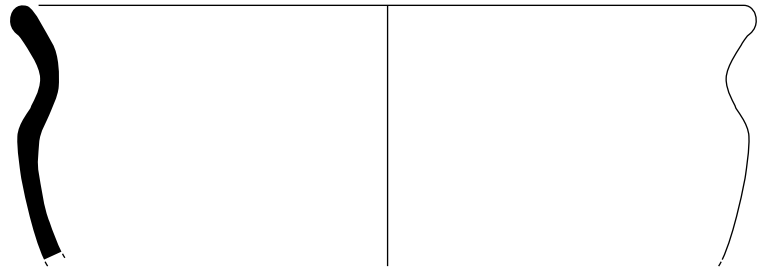
Secteur 2 , St. 5448, Us 1, Dessin 345



Secteur 2 , St. 5448, Us 1, Dessin 344



Fig. 418 : céramique découverte au sein du contexte F. 5448 Us 1 © N. Ménez



Secteur 2 , St 5454, Sd. 647, Dessin 347



Fig. 419 : céramique découverte au sein du contexte F. 5454 sd 647 © N. Ménez

- F. 5454, Sd. 655

Contexte	famille	type/s. type	NR	%NR	NMI	%NMI	EqV	%EqV
F5454-Sd655	BAIS	o	7	100%	1	100%	o	
F5454-Sd655	BAIS	total famille	7	100%	1	100%	o	
F5454-Sd655	total		7		1		0	

Orientation chronologique : Atelier

- F. 5456

Contexte	famille	type/s. type	NR	%NR	NMI	%NMI	EqV	%EqV
F5456	BAIS	o	1	100%	1	100%	o	
F5456	BAIS	total famille	1	100%	1	100%	o	
F5456	total		1		1		0	

Orientation chronologique : Atelier

- F. 5457, Décapage

Contexte	famille	type/s. type	NR	%NR	NMI	%NMI	EqV	%EqV
F5457-USDécapage	BAIS	o	6	100%	o		o	
F5457-USDécapage	BAIS	total famille	6	100%	o		o	
F5457-USDécapage	total		6		0		0	

Orientation chronologique : Atelier

- F. 5457, Sd. 624, Us 1

Contexte	famille	type/s. type	NR	%NR	NMI	%NMI	EqV	%EqV
F5457-Sd624-US1	BAIS	o	3	100%	o		o	
F5457-Sd624-US1	BAIS	total famille	3	100%	o		o	
F5457-Sd624-US1	total		3		0		0	

Orientation chronologique : Atelier

- **F. 5458**

Contexte	famille	type/s. type	NR	%NR	NMI	%NMI	EqV	%EqV
F5458	BAIS	o	1	100%	1	100%	o	
F5458	BAIS	total famille	1	100%	1	100%	o	
F5458	total		1		1		0	

Orientation chronologique : Atelier

- **F. 5459, Sd. 648**

Contexte	famille	type/s. type	NR	%NR	NMI	%NMI	EqV	%EqV
F5459-Sd648	BAIS	o	5	83.3%	o		o	
F5459-Sd648	BAIS	2a(v)	1	16.7%	1	100%	0.07	95.2%
F5459-Sd648	BAIS	total famille	6	100%	1	100%	0.07	100%
F5459-Sd648	total		6		1		0.07	0.05%

On note ici simplement que l'unique individu recensé s'apparente à une variante du type 2a.

Orientation chronologique : Atelier

- **F. 5459, Sd. 712 (fig. 420)**

Contexte	famille	type/s. type	NR	%NR	NMI	%NMI	EqV	%EqV
F5459-Sd712	BAIS	o	135	95.7%	2	28.6%	o	
F5459-Sd712	BAIS	2a	3	2.1%	3	42.9%	0.39	62.7%
F5459-Sd712	BAIS	2b(v)	2	1.4%	1	14.3%	0.23	37.6%
F5459-Sd712	BAIS	2ind	1	0.7%	1	14.3%	o	
F5459-Sd712	BAIS	total famille	141	100%	7	100%	0.62	100%
F5459-Sd712	total		141	1%	7		0.62	0.47%

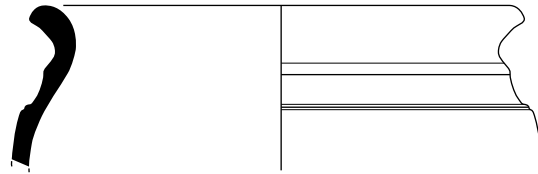
Les seuls éléments notables issus de ce contexte sont la présence de variantes des types 2a et 2b. On remarque également qu'un des récipients de type 2a enregistrés affiche des traces d'utilisation.

Orientation chronologique : Atelier

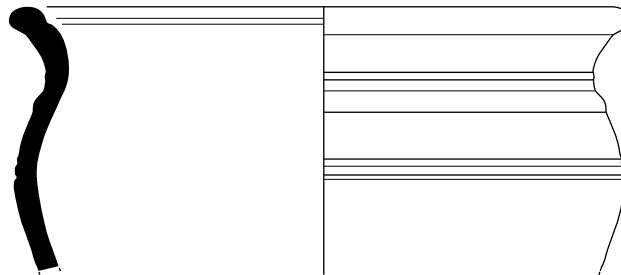
- **F. 5461, Sd. 642, Us 1**

Contexte	famille	type/s. type	NR	%NR	NMI	%NMI	EqV	%EqV
F5461-Sd642-US1	BAIS	o	17	100%	2	100%	o	
F5461-Sd642-US1	BAIS	total famille	17	100%	2	100%	o	
F5461-Sd642-US1	total		17		2		0	

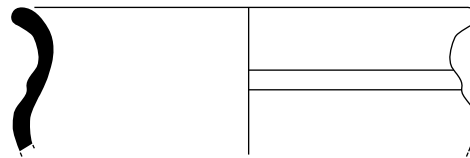
Orientation chronologique : Atelier



Secteur 2 , St 5459, Sd. 648, Dessin 348



Secteur 2 , St 5459, Sd. 712, Dessin 351



Secteur 2 , St 5459, Sd. 712, Dessin 350



Fig. 420 : céramique découverte au sein du contexte F. 5459 sd 648 et sd 712 © N. Ménez

• **F. 5468, Sd. 606** (fig. 421)

Contexte	famille	type/s. type	NR	%NR	NMI	%NMI	EqV	%EqV
F5468-Sd606	BAIS	o	31	75.6%	2	33.3%	o	
F5468-Sd606	BAIS	2a	1	2.4%	1	16.7%	0.07	10.4%
F5468-Sd606	BAIS	2d	3	7.3%	1	16.7%	0.23	34.8%
F5468-Sd606	BAIS	3b	4	9.8%	1	16.7%	0.14	20.7%
F5468-Sd606	BAIS	8b	2	4.9%	1	16.7%	0.23	34.0%
F5468-Sd606	BAIS	total famille	41	100%	6	100%	0.67	100%
F5468-Sd606	total		41		6		0.67	0.51%

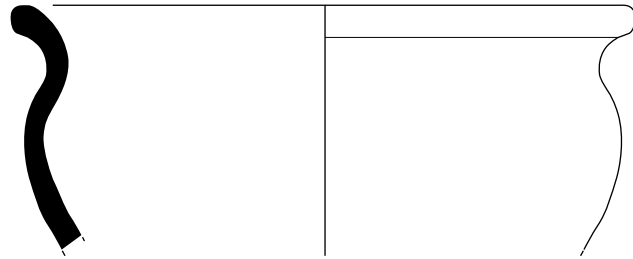
Orientation chronologique : Atelier

• **F. 5469, Sd. 612, Us 3** (fig. 422)

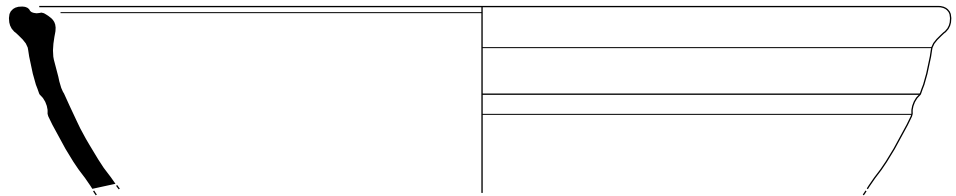
Contexte	famille	type/s. type	NR	%NR	NMI	%NMI	EqV	%EqV
F5469-Sd612-US3	BAIS	o	107	90.7%	o		o	
F5469-Sd612-US3	BAIS	1a	3	2.5%	1	16.7%	0.13	24.2%
F5469-Sd612-US3	BAIS	1ind	1	0.8%	1	16.7%	o	
F5469-Sd612-US3	BAIS	2b(v)	1	0.8%	1	16.7%	0.07	12.9%
F5469-Sd612-US3	BAIS	2ind	2	1.7%	1	16.7%	o	
F5469-Sd612-US3	BAIS	3b	4	3.4%	2	33.3%	0.34	62.8%
F5469-Sd612-US3	BAIS	total famille	118	100%	6	100%	0.54	100%
F5469-Sd612-US3	total		118	1%	6		0.54	0.41%

118 tessons ont été mis au jour dans ce contexte pour seulement 6 individus estimés. On remarque la présence d'une variante du type 2b, mais également celle de traces d'utilisation sur des individus de type 1a et 3b.

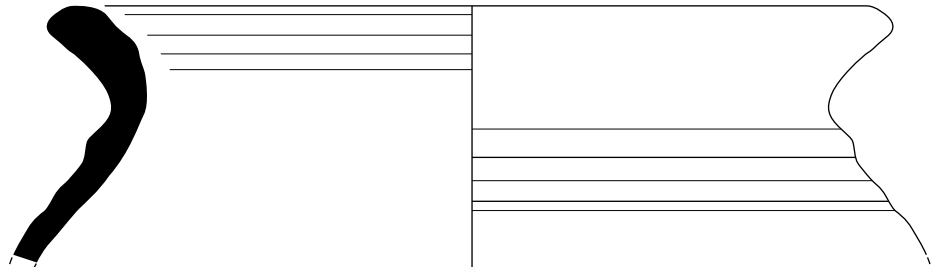
Orientation chronologique : Atelier



Secteur 2 , St 5468, Sd. 606, Dessin 354



Secteur 2 , St 5468, Sd. 606, Dessin 357



Secteur 2 , St 5468, Sd. 606, Dessin 355



Fig. 421 : céramiques découvertes au sein du contexte F. 5468 sd 606 © N. Ménez

- **F. 5470, Sd. 609**

Contexte	famille	type/s. type	NR	%NR	NMI	%NMI	EqV	%EqV
F5470-Sd609-US	BAIS	3ind	1	100%	0		0	
F5470-Sd609-US	BAIS	total famille	1	100%	0		0	
F5470-Sd609-US	total		1		0		0	

Orientation chronologique : Atelier

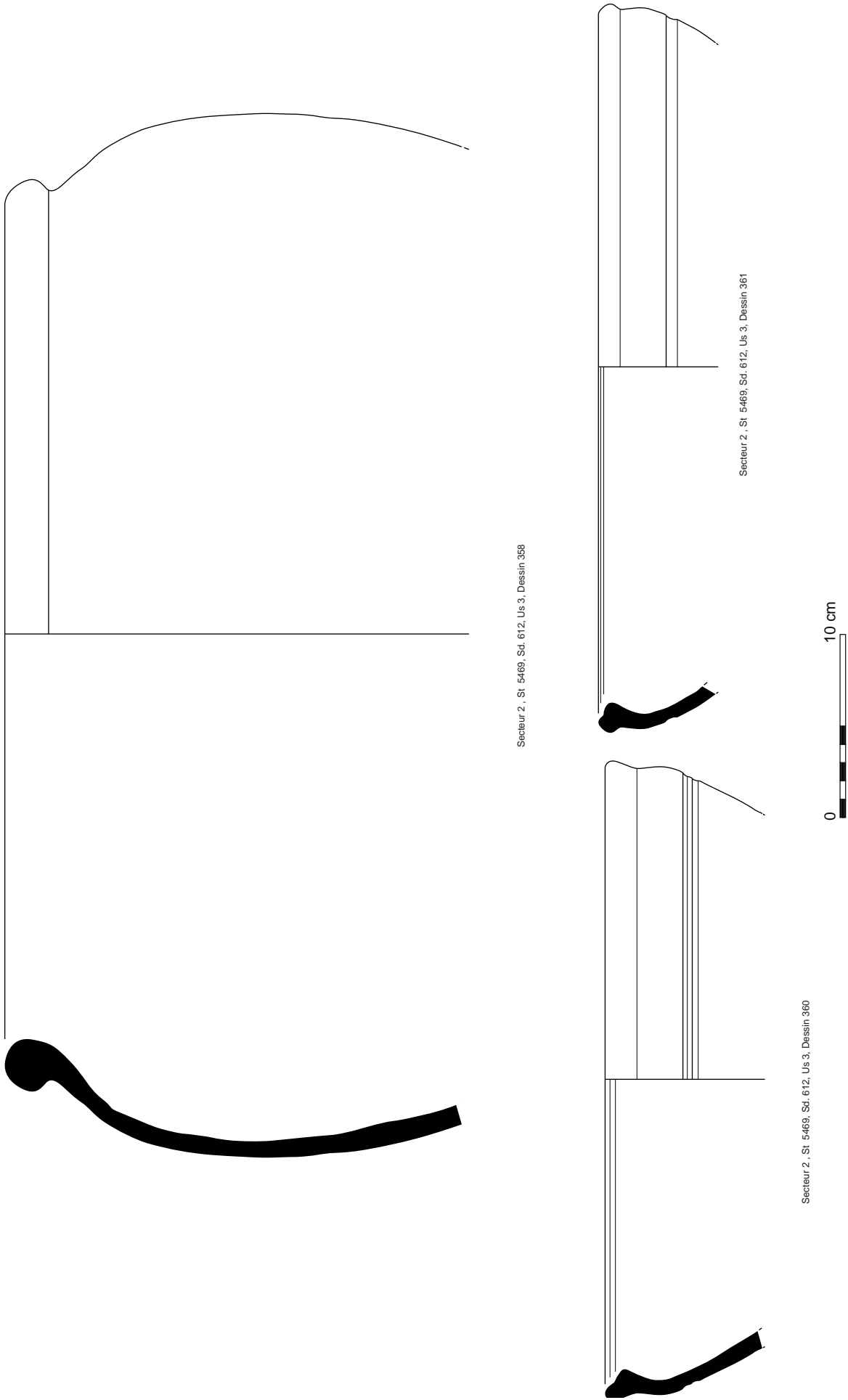


Fig. 422 : céramique découverte au sein du contexte F. 5469 sd 612 Us 3 © N. Ménéz

- F. 5471, Sd. 623, Us 2

Contexte	famille	type/s. type	NR	%NR	NMI	%NMI	EqV	%EqV
F5471-Sd623-US2	BAIS	o	2	100%	0		0	
F5471-Sd623-US2	BAIS	total famille	2	100%	0		0	
F5471-Sd623-US2	total		2		0		0	

Orientation chronologique : Atelier

- F. 5472, Sd. 665

Contexte	famille	type/s. type	NR	%NR	NMI	%NMI	EqV	%EqV
F5472 (ou 5471 ou 547-Sd665)	BAIS	o	24	100%	3	100%	0	
F5472 (ou 5471 ou 547-Sd665)	BAIS	total famille	24	100%	3	100%	0	
F5472 (ou 5471 ou 547-Sd665)	total		24		3		0	

Orientation chronologique : Atelier

- F. 5477

Contexte	famille	type/s. type	NR	%NR	NMI	%NMI	EqV	%EqV
F5477	BAIS	o	24	100%	0		0	
F5477	BAIS	total famille	24	100%	0		0	
F5477	total		24		0		0	

Orientation chronologique : Atelier

- F. 5482

Contexte	famille	type/s. type	NR	%NR	NMI	%NMI	EqV	%EqV
F5482	BAIS	o	3	100%	0		0	
F5482	BAIS	total famille	3	100%	0		0	
F5482	total		3		0		0	

Orientation chronologique : Atelier

- F. 5488, Us 1

Contexte	famille	type/s. type	NR	%NR	NMI	%NMI	EqV	%EqV
F5488-US1	BAIS	o	2	100%	0		0	
F5488-US1	BAIS	total famille	2	100%	0		0	
F5488-US1	total		2		0		0	

Orientation chronologique : Atelier

- **F. 5491**

<i>Contexte</i>	famille	type/s. type	NR	%NR	NMI	%NMI	EqV	%EqV
F5491	BAIS	o	4	100%	0		0	
F5491	BAIS	total famille	4	100%	0		0	
<i>F5491</i>	total		4		0		0	

Orientation chronologique : Atelier

- **F. 5492, Us 2**

<i>Contexte</i>	famille	type/s. type	NR	%NR	NMI	%NMI	EqV	%EqV
F5492-US2	BAIS	o	2	100%	0		0	
F5492-US2	BAIS	total famille	2	100%	0		0	
<i>F5492-US2</i>	total		2		0		0	

Orientation chronologique : Atelier

- **F. 5505**

<i>Contexte</i>	famille	type/s. type	NR	%NR	NMI	%NMI	EqV	%EqV
F5505	BAIS	o	1	100%	0		0	
F5505	BAIS	total famille	1	100%	0		0	
<i>F5505</i>	total		1		0		0	

Orientation chronologique : Atelier

- **F. 5506**

<i>Contexte</i>	famille	type/s. type	NR	%NR	NMI	%NMI	EqV	%EqV
F5506	BAIS	o	53	100%	0		0	
F5506	BAIS	total famille	53	93.0%	0		0	
F5506	EXO	total famille	4	7.0%	3	100%	0	
<i>F5506</i>	total		57		3		0	

Les 3 individus mis au jour au sein de ce contexte correspondent à des productions exogènes associées à plus de 50 tessons issus de l'atelier. Non caractérisable en raison de leur faible degré de conservation, il est toutefois possible de leur attribuer une datation entre La Tène moyenne et La Tène finale grâce à la facture de leurs pâtes.

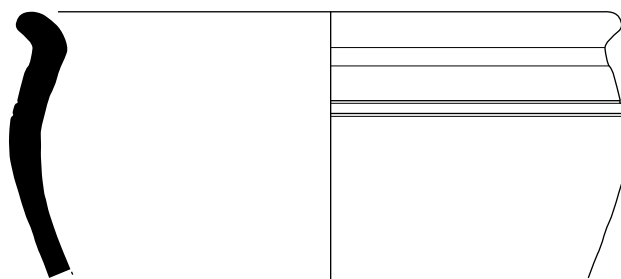
Orientation chronologique : Atelier

- **F. 5507, Sd. 622** (fig. 423)

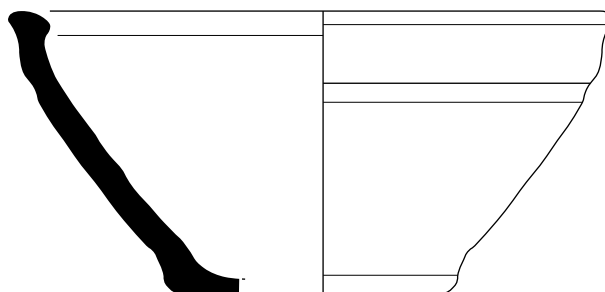
Contexte	famille	type/s. type	NR	%NR	NMI	%NMI	EqV	%EqV
F5507-Sd622	BAIS	o	52	73.2%	1	12.5%	o	
F5507-Sd622	BAIS	1ind	1	1.4%	1	12.5%	o	
F5507-Sd622	BAIS	2a	1	1.4%	1	12.5%	o.11	14.3%
F5507-Sd622	BAIS	2c	4	5.6%	1	12.5%	o.21	26.4%
F5507-Sd622	BAIS	2d	9	12.7%	2	25.0%	o.23	29.6%
F5507-Sd622	BAIS	3a	3	4.2%	1	12.5%	o.19	24.9%
F5507-Sd622	BAIS	4	1	1.4%	1	12.5%	o.04	4.99%
F5507-Sd622	BAIS	total famille	71	100%	8	100%	0.78	100%
F5507-Sd622	total		71		8	1%	0.78	0.59%

Le seul élément notable issu de ce contexte est la présence de deux récipients de type 2c et 3a qui affichent des traces d'utilisation.

Orientation chronologique : Atelier



Secteur 2 , St 5507, Sd. 622, Dessin 295



Secteur 2 , St 5507, Sd. 622, Dessin 298

Fig. 423 : céramiques découvertes au sein du contexte F. 5507 sd 622 © N. Ménez



- **F. 5508, Sd. 625**

Contexte	famille	type/s. type	NR	%NR	NMI	%NMI	EqV	%EqV
F5508-Sd625	BAIS	o	27	100%	o		o	
F5508-Sd625	BAIS	total famille	27	100%	0		0	
F5508-Sd625	total		27		0		0	

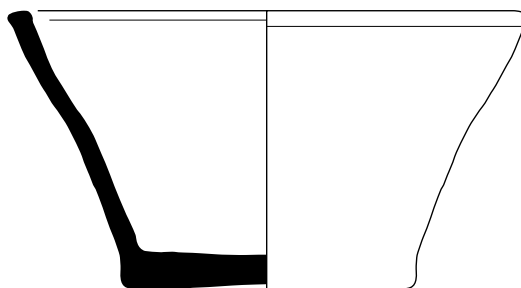
Orientation chronologique : Atelier

- **F. 5509, Sd. 626** (fig. 424)

Contexte	famille	type/s. type	NR	%NR	NMI	%NMI	EqV	%EqV
F5509-Sd626	BAIS	o	18	100%	0		0	
F5509-Sd626	BAIS	total famille	18	78.3%	0		0	
F5509-Sd626	EXO	total famille	5	21.7%	3	100%	0	
F5509-Sd626	total		23		3		0	

Les trois individus recensés ici s'apparentent à des productions exogènes. Le plus remarquable d'entre eux correspond à un récipient à profil tronconique dont la lèvre déborde très légèrement à la fois vers l'intérieur et vers l'extérieur. Il trouve des comparaisons, au niveau régional, dans des contextes datés entre les années 300 et 75 avant notre ère (dessin 301).

Orientation chronologique : Atelier



Secteur 2 , St 5509, Sd. 626, Dessin 301

(Exogène)

0

10 cm

Fig. 424 : céramiques découvertes au sein du contexte F. 5509 sd 626 © N. Ménez

- **F. 5514**

Contexte	famille	type/s. type	NR	%NR	NMI	%NMI	EqV	%EqV
F5514	BAIS	o	20	90.9%	1	33.3%	0	
F5514	BAIS	1b	1	4.5%	1	33.3%	0.04	24.3%
F5514	BAIS	2b(v)	1	4.5%	1	33.3%	0.13	78.1%
F5514	BAIS	total famille	22	100%	3	100%	0.16	100%
F5514	total		22		3		0.16	0.12%

Seul élément notable ici : la présence d'une variante du type 2b.

Orientation chronologique : Atelier

- **F. 5515, Sd. 635**

Contexte	famille	type/s. type	NR	%NR	NMI	%NMI	EqV	%EqV
F5515-Sd635	BAIS	o	4	100%	0		0	
F5515-Sd635	BAIS	total famille	4	100%	0		0	
F5515-Sd635	total		4		0		0	

Orientation chronologique : Atelier

- **F. 5518**

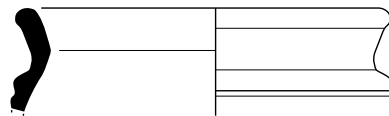
Contexte	famille	type/s. type	NR	%NR	NMI	%NMI	EqV	%EqV
F5518	BAIS	o	3	50.0%	o		o	
F5518	BAIS	3b	3	50.0%	1	100%	0.08	104%
F5518	BAIS	total famille	6	100%	1	100%	0.08	100%
F5518	total		6		1		0.08	0.06%

Orientation chronologique : Atelier

- **F. 5521 (fig. 425)**

Contexte	famille	type/s. type	NR	%NR	NMI	%NMI	EqV	%EqV
F5521	BAIS	o	2	40.0%	o		o	
F5521	BAIS	2a	2	40.0%	2	66.7%	0.15	80.4%
F5521	BAIS	3b	1	20.0%	1	33.3%	0.04	21.9%
F5521	BAIS	total famille	5	100%	3	100%	0.19	100%
F5521	total		5		3		0.19	0.14%

Orientation chronologique : Atelier



Secteur 2, St 5521, Dessin 306

0 _____ 10 cm

Fig. 425 : céramiques découvertes au sein du contexte F. 5521 © N. Ménez

- **F. 5522, Us 1**

Contexte	famille	type/s. type	NR	%NR	NMI	%NMI	EqV	%EqV
F5522-US1	BAIS	o	13	100%	o		o	
F5522-US1	BAIS	total famille	13	100%	0		0	
F5522-US1	total		13		0		0	

Orientation chronologique : Atelier

- **F. 5522, Us 2**

Contexte	famille	type/s. type	NR	%NR	NMI	%NMI	EqV	%EqV
F5522-US2	BAIS	o	11	100%	1	100%	o	
F5522-US2	BAIS	total famille	11	100%	1	100%	0	
F5522-US2	total		11		1		0	

Orientation chronologique : Atelier

- **F. 5527**

Contexte	famille	type/s. type	NR	%NR	NMI	%NMI	EqV	%EqV
F5527	BAIS	o	1	100%	0		0	
F5527	BAIS	total famille	1	100%	0		0	
F5527	total		1		0		0	

Orientation chronologique : Atelier

- **F. 5528**

Contexte	famille	type/s. type	NR	%NR	NMI	%NMI	EqV	%EqV
F5528	EXO	total famille	1	100%	0		0	
F5528	total		1		0		0	

L'unique tesson mis au jour ici s'apparente à une production exogène ; seule la facture de sa pâte permet de le dater, de manière large, de la période laténienne.

Orientation chronologique : 2^e âge du Fer

- **F. 5529, Décapage (fig. 426)**

Contexte	famille	type/s. type	NR	%NR	NMI	%NMI	EqV	%EqV
F5529-USDécapage	BAIS	o	58	85.3%	3	50.0%	0	
F5529-USDécapage	BAIS	1b	2	2.9%	1	16.7%	0.07	18.1%
F5529-USDécapage	BAIS	2a	7	10.3%	1	16.7%	0.33	81.9%
F5529-USDécapage	BAIS	7	1	1.5%	1	16.7%	0	
F5529-USDécapage	BAIS	total famille	68	98.6%	6	85.7%	0.40	100%
F5529-USDécapage	EXO	total famille	1	1.4%	1	14.3%	0	
F5529-USDécapage	total		69		7		0.40	0.30%

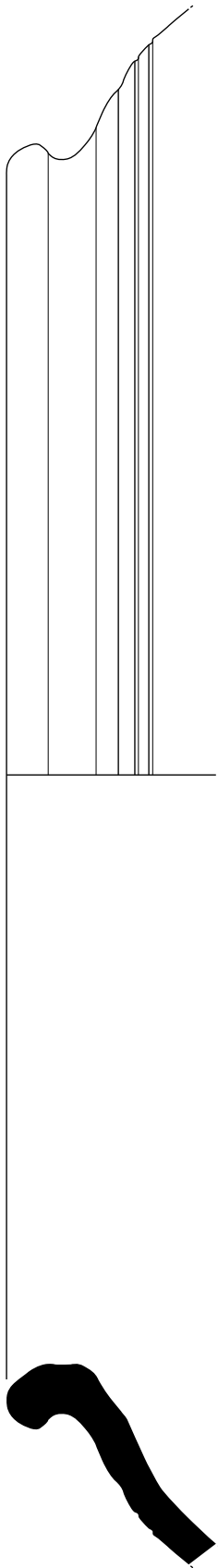
Associé à 6 individus produits dans l'atelier, on remarque la présence d'un petit pot biconique exogène à lèvre éversée qui trouve des parallèles régionaux dans des contextes datés entre 225 et la fin du 1^{er} siècle avant notre ère.

Orientation chronologique : Atelier

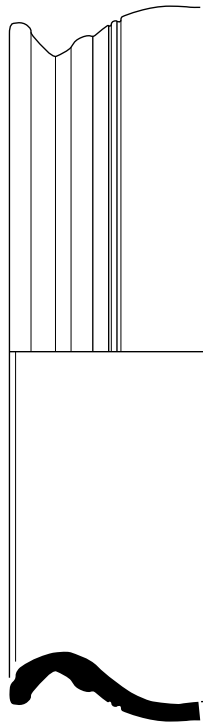
- **F. 5535 (fig. 427)**

Contexte	famille	type/s. type	NR	%NR	NMI	%NMI	EqV	%EqV
F5535	BAIS	10	4	100%	1	100%	0	
F5535	BAIS	total famille	4	6.5%	1	100%	0	
F5535	EXO	total famille	58	93.5%	0		0	
F5535	total		62		1		0	

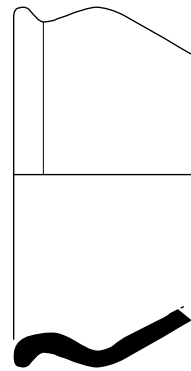
L'écrasante majorité des tessons mis au jour ici (93,5%) s'apparente à des productions exogènes. En l'absence d'éléments caractérisables, seule la facture de leurs pâtes permet de les dater du 2^e âge du Fer sans plus de précision possible. On notera toutefois la présence d'un individu de type 10 produit par l'atelier.



Secteur 2 , St. 5529, Décapage, Dessin 309



Secteur 2 , St. 5529, Décapage, Dessin 310

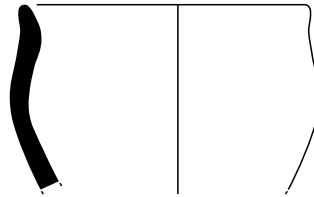


Secteur 2 , St. 5529, Décapage, Dessin 311
(Exogène)



Fig. 426 : céramiques découvertes au sein du contexte F. 5529 © N. Ménez

Orientation chronologique : Atelier



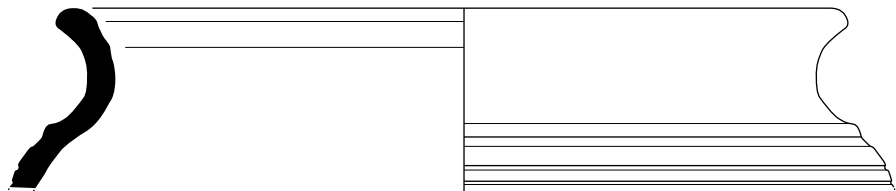
Secteur 2 , St 5535, Dessin 313

Fig. 427 : céramiques découvertes au sein du contexte F. 5535 © N. Ménez

- **F. 5536, Sd. 721, Us 1** (fig. 428)

Contexte	famille	type/s. type	NR	%NR	NMI	%NMI	EqV	%EqV
F5536-Sd721-US1	BAIS	o	39	90.7%	1	50.0%	0	
F5536-Sd721-US1	BAIS	2a	4	9.3%	1	50.0%	0.18	98.8%
F5536-Sd721-US1	BAIS	total famille	43	100%	2	100%	0.18	100%
F5536-Sd721-US1	total		43		2		0.18	0.14%

Orientation chronologique : Atelier



Secteur 2 , St 5536, Sd. 721, Us 1, Dessin 314



Fig. 428 : céramiques découvertes au sein du contexte F. 5536 sd 721 © N. Ménez

- **F. 5537, Sd. 654**

Contexte	famille	type/s. type	NR	%NR	NMI	%NMI	EqV	%EqV
F5537-Sd654	EXO	total famille	2	100%	0		0	
F5537-Sd654	total		2		0		0	

Les seuls tessons révélés par ce contexte correspondent à des productions exogènes. Seule la facture de leurs pâtes permet de les dater, de manière large, de la période laténienne.

Orientation chronologique : 2^e âge du Fer

- **F. 5546**

Contexte	famille	type/s. type	NR	%NR	NMI	%NMI	EqV	%EqV
F5546	BAIS	o	6	100%	0		0	
F5546	BAIS	total famille	6	100%	0		0	
F5546	total		6		0		0	

Orientation chronologique : Atelier

- **F. 5550, Sd. 678**

Contexte	famille	type/s. type	NR	%NR	NMI	%NMI	EqV	%EqV
F5550-Sd678	BAIS	o	17	81.0%	0		0	
F5550-Sd678	BAIS	1b	1	4.8%	1	33.3%	0.03	14.6%
F5550-Sd678	BAIS	2a	2	9.5%	1	33.3%	0.08	43.9%
F5550-Sd678	BAIS	7	1	4.8%	1	33.3%	0.08	43.9%
F5550-Sd678	BAIS	total famille	21	100%	3	100%	0.19	100%
F5550-Sd678	total		21		3		0.19	0.14%

Orientation chronologique : Atelier

- **F. 5556**

Contexte	famille	type/s. type	NR	%NR	NMI	%NMI	EqV	%EqV
F5556	BAIS	o	12	100%	0		0	
F5556	BAIS	total famille	12	100%	0		0	
F5556	total		12		0		0	

Orientation chronologique : Atelier

- **F. 5557**

Contexte	famille	type/s. type	NR	%NR	NMI	%NMI	EqV	%EqV
F5557	BAIS	o	13	100%	0		0	
F5557	BAIS	total famille	13	100%	0		0	
F5557	total		13		0		0	

Orientation chronologique : Atelier

- **F. 5564, Sd. 708, Us 1 (fig. 429)**

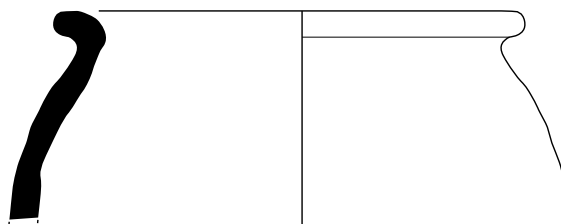


Fig. 429 : céramiques découvertes au sein du contexte F. 5564 sd 708 Us 1 © N. Ménez

On note ici la présence d'un *unicum* qui s'apparente à un petit pot à lèvres légèrement éversée (dessin 318).

- **F. 5583, Sd. 707, Us 1**

Contexte	famille	type/s. type	NR	%NR	NMI	%NMI	EqV	%EqV
F5583-Sd707-US1	BAIS	o	37	77.1%	2	33.3%	o	
F5583-Sd707-US1	BAIS	2d	6	12.5%	3	50.0%	0.75	87.2%
F5583-Sd707-US1	BAIS	3b	5	10.4%	1	16.7%	0.11	12.3%
F5583-Sd707-US1	BAIS	total famille	48	100%	6	100%	0.86	100%
F5583-Sd707-US1	total		48		6		0.86	0.65%

Orientation chronologique : Atelier

- **F. 5583, Sd. 708, Us 1**

Contexte	famille	type/s. type	NR	%NR	NMI	%NMI	EqV	%EqV
F5583-Sd708-US1	BAIS	o	4	100%	o		o	
F5583-Sd708-US1	BAIS	total famille	4	100%	0		0	
F5583-Sd708-US1	total		4		0		0	

Orientation chronologique : Atelier

- **F. 5618 Sd. 722 (fig. 430)**

Contexte	famille	type/s. type	NR	%NR	NMI	%NMI	EqV	%EqV
F5618-Sd708-US1	BAIS	o	3	60.0%	o		o	
F5618-Sd708-US1	BAIS	100	2	40.0%	1	100%	0.17	101%
F5618-Sd708-US1	BAIS	total famille	5	100%	1	100%	0.17	100%
F5618-Sd708-US1	total		5		1		0.17	0.13%

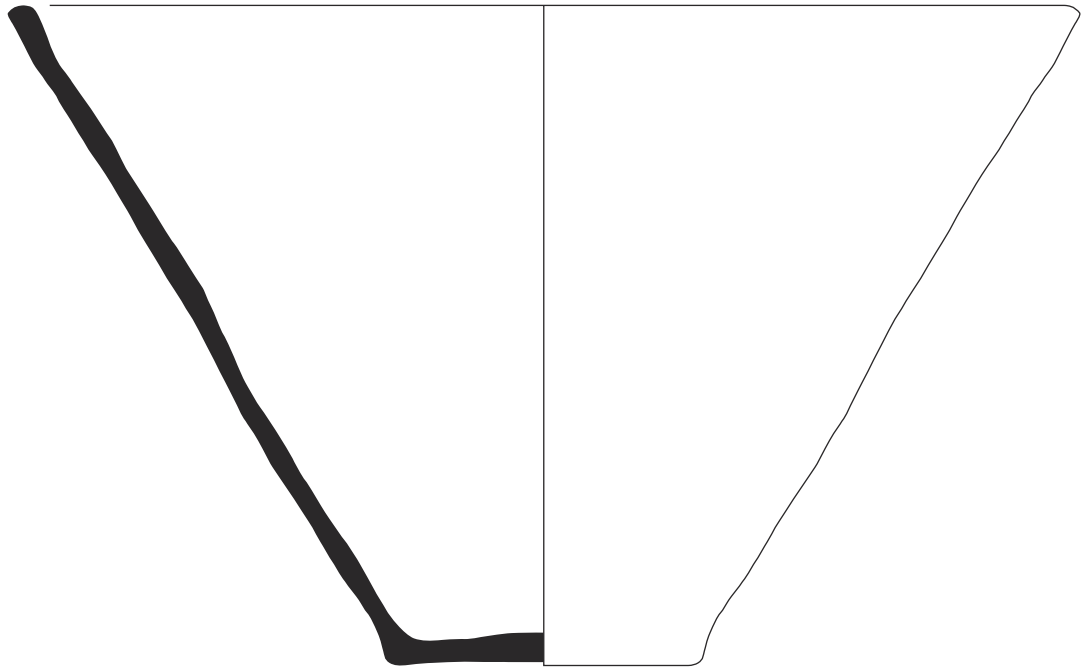
Orientation chronologique : Atelier

- **F. 5627/F. 5622, Sd. 706, Us 2 (fig. 431)**

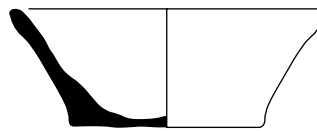
Contexte	famille	type/s. type	NR	%NR	NMI	%NMI	EqV	%EqV
F5627/5622-Sd706-US2	B-NT	2d	4	100%	1	100%	0.31	98.6%
F5627/5622-Sd706-US2	B-NT	total famille	4	3.4%	1	16.7%	0.31	50.0%
F5627/5622-Sd706-US2	BAIS	o	107	94.7%	1	25.0%	o	
F5627/5622-Sd706-US2	BAIS	2d	5	4.4%	2	50.0%	0.21	88.0%
F5627/5622-Sd706-US2	BAIS	3a	1	0.9%	1	25.0%	0.03	13.9%
F5627/5622-Sd706-US2	BAIS	total famille	113	95.8%	4	66.7%	0.24	38.7%
F5627/5622-Sd706-US2	EXO	total famille	1	0.8%	1	16.7%	0.07	11.3%
F5627/5622-Sd706-US2	total		118	1%	6		0.62	0.47%

Sur le lot constitué de 118 tessons mis au jour au sein de ce contexte, l'écrasante majorité du mobilier est issu de l'atelier, qu'ils soient modelés ou tournés. On remarque toutefois la présence d'un individu exogène qui correspond à une jatte à profil en esse graphitée dont la lèvre éversée affiche une cannelure labiale (dessin 291) et qui trouve des comparaisons, au niveau régional, dans des contextes datés de La Tène finale. On observe également que le récipient modelé de type 2d affiche des traces d'utilisation.

Orientation chronologique : Atelier



Secteur 2 , St 5618 Sd. 722, Dessin 390



Secteur 2 , St 5618 Sd. 722, Dessin 389



Fig. 430 : céramiques découvertes au sein du contexte F. 5618 sd 722 © N. Ménez

- F. 5647, Sd. 767

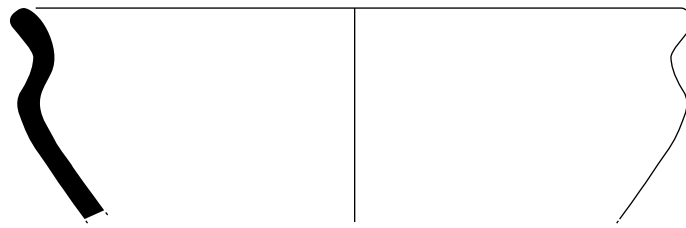
Contexte	famille	type/s. type	NR	%NR	NMI	%NMI	EqV	%EqV
F5647-Sd767	BAIS	o	70	97.2%	3	75.0%	0	
F5647-Sd767	BAIS	zind	2	2.8%	1	25.0%	0	
F5647-Sd767	BAIS	total famille	72	100%	4	100%	0	
F5647-Sd767	total		72		4		0	

Orientation chronologique : Atelier

- F. 5648, Us 1

Contexte	famille	type/s. type	NR	%NR	NMI	%NMI	EqV	%EqV
F5648-US1	BAIS	o	11	100%	1	100%	0	
F5648-US1	BAIS	total famille	11	100%	1	100%	0	
F5648-US1	total		11		1		0	

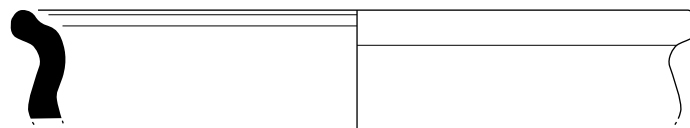
Orientation chronologique : Atelier



Secteur 2 , St 5627/5622, Sd. 706, Us 2, Dessin 289



Secteur 2 , St 5088, Décapage, Dessin 288



Secteur 2 , St 5627/5622, Sd. 706, Us 2, Dessin 291
(Exogène)



Fig. 431 : céramiques découvertes au sein des contextes F. 5088, F. 5627/F. 5622, sd 706 Us 2 © N. Ménez

• **F. 5649**

Contexte	famille	type/s. type	NR	%NR	NMI	%NMI	EqV	%EqV
F5649	BAIS	o	30	93.8%	0		0	
F5649	BAIS	ind	2	6.3%	1	100%	0	
F5649	BAIS	total famille	32	100%	1	100%	0	
F5649	total		32		1		0	

Orientation chronologique : Atelier

• **F. 5651**

Contexte	famille	type/s. type	NR	%NR	NMI	%NMI	EqV	%EqV
F5651	BAIS	o	15	88.2%	0		0	
F5651	BAIS	ra	2	11.8%	1	100%	0.10	100%
F5651	BAIS	total famille	17	100%	1	100%	0.10	100%
F5651	total		17		1		0.10	0.08%

Orientation chronologique : Atelier

- **F. 5651, Us du fond**

Contexte	famille	type/s. type	NR	%NR	NMI	%NMI	EqV	%EqV
F5651-USFond	BAIS	o	6	100%	0		0	
F5651-USFond	BAIS	total famille	6	100%	0		0	
F5651-USFond	total		6		0		0	

Orientation chronologique : Atelier

- **F.5651 Sd. 701 (fig. 432 à 434)**

Contexte	famille	type/s. type	NR	%NR	NMI	%NMI	EqV	%EqV
Sd701	BAIS	o	818	89,9%	24	32,9%	0	
Sd701	BAIS	1a	6	0,7%	3	4,1%	0,38	5,78%
Sd701	BAIS	1b	4	0,4%	2	2,7%	0,27	4,14%
Sd701	BAIS	1c(v)	2	0,2%	1	1,4%	0,08	1,18%
Sd701	BAIS	2a	29	3,2%	13	17,8%	2,79	42,5%
Sd701	BAIS	2a(v)	7	0,8%	4	5,5%	0,61	9,20%
Sd701	BAIS	2b	1	0,1%	1	1,4%	0,05	0,76%
Sd701	BAIS	2d	13	1,4%	9	12,3%	0,98	14,9%
Sd701	BAIS	2ind	12	1,3%	10	13,7%	0	
Sd701	BAIS	3b	9	1,0%	4	5,5%	0,69	10,6%
Sd701	BAIS	9	9	1,0%	2	2,7%	0,72	11,0%
Sd701	BAIS	total famille	910	100%	73	100%	6,58	100%
Sd701	total		910	4%	73	5%	6,58	4,99%

Le sondage Sd. 701 livre de nombreux restes de poteries (910 NR) s'apparentant dans leur intégralité à des productions locales. Les types 2a et 2d y sont les plus représentés avec respectivement 17,8 et 12,3 % des individus recensés ; ces deux types dévoilent également des variantes. Seul un individu (affilié au type 2a) affiche des traces d'utilisation.

Orientation chronologique : Atelier

- **F. 5651, Sd. 702 (fig. 435 et 436)**

Contexte	famille	type/s. type	NR	%NR	NMI	%NMI	EqV	%EqV
F5651-Sd702	BAIS	o	138	87,9%	4	33,3%	0	
F5651-Sd702	BAIS	2a	12	7,6%	3	25,0%	0,75	64,3%
F5651-Sd702	BAIS	2b	1	0,6%	1	8,3%	0,07	5,94%
F5651-Sd702	BAIS	2d	3	1,9%	1	8,3%	0,27	22,8%
F5651-Sd702	BAIS	2ind	2	1,3%	2	16,7%	0	
F5651-Sd702	BAIS	3b	1	0,6%	1	8,3%	0,08	7,12%
F5651-Sd702	BAIS	total famille	157	100%	12	100%	1,17	100%
F5651-Sd702	total		157	1%	12	1%	1,17	0,89%

Orientation chronologique : Atelier

Synthèse sur la structure F.5651

Cette structure livre un total de 13 individus, mais aucun type ne se distingue réellement des autres du point de vue quantitatif (fig. 441).

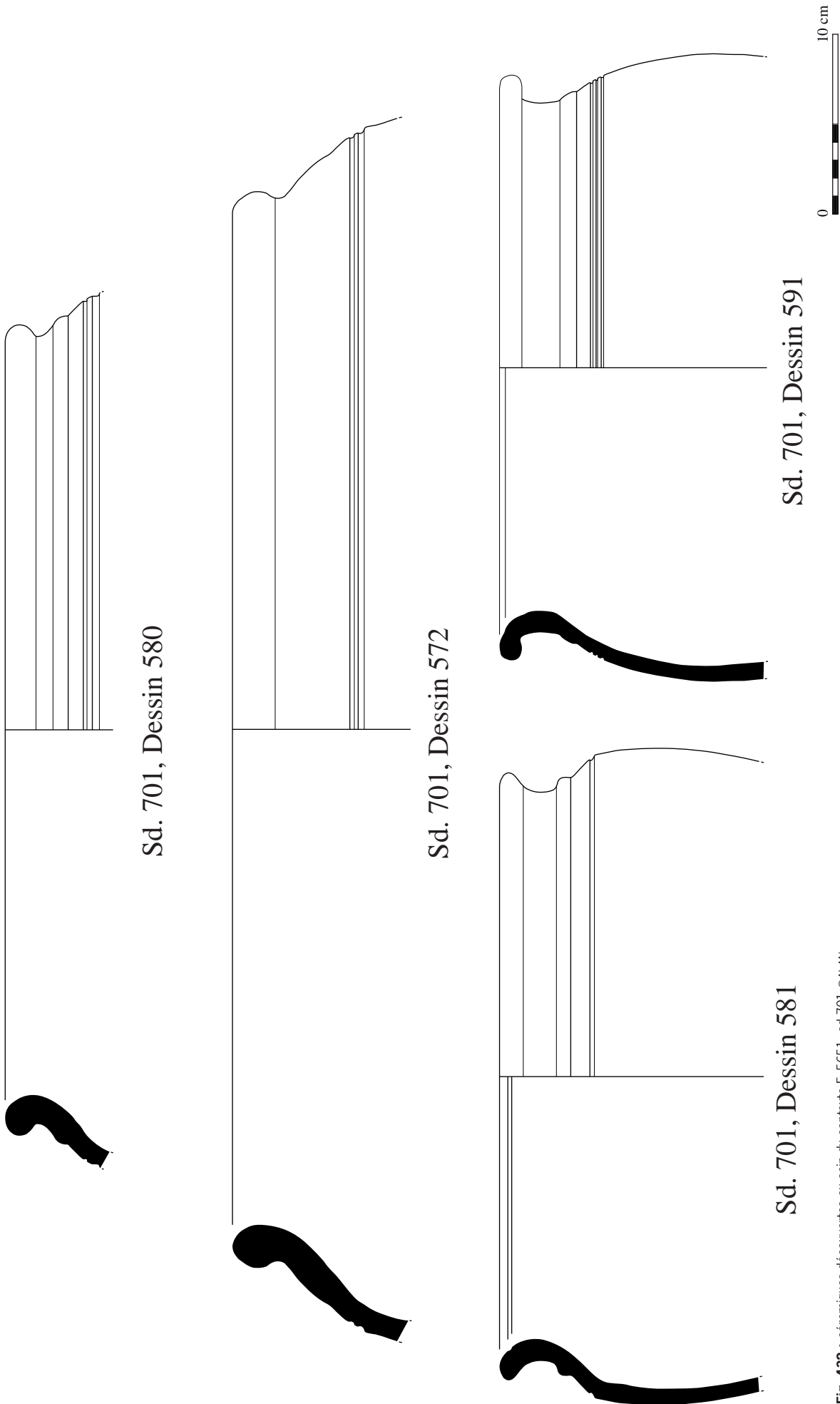
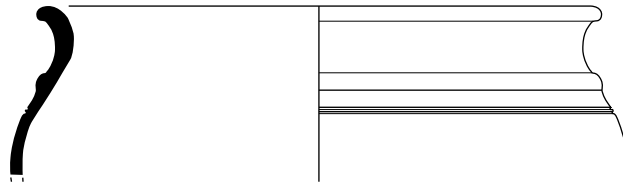
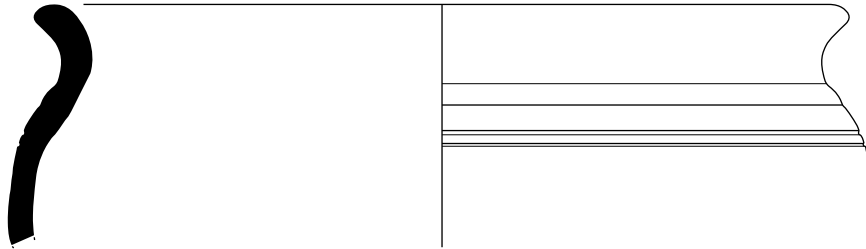


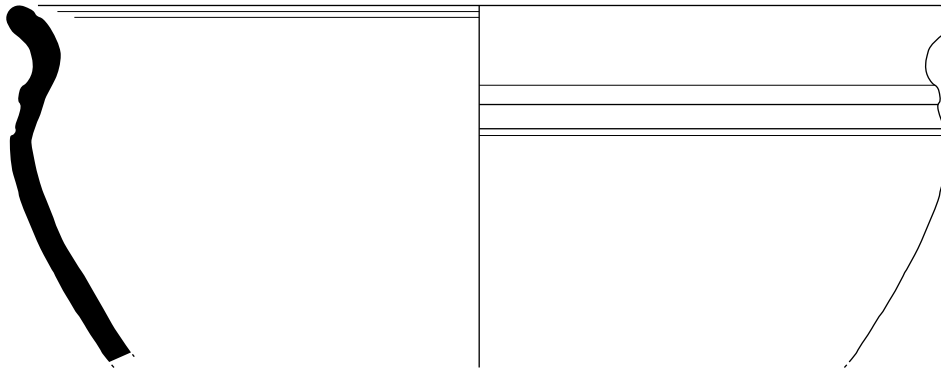
Fig. 432 : céramiques découvertes au sein du contexte F. 5651, sd 701 © N. Ménez



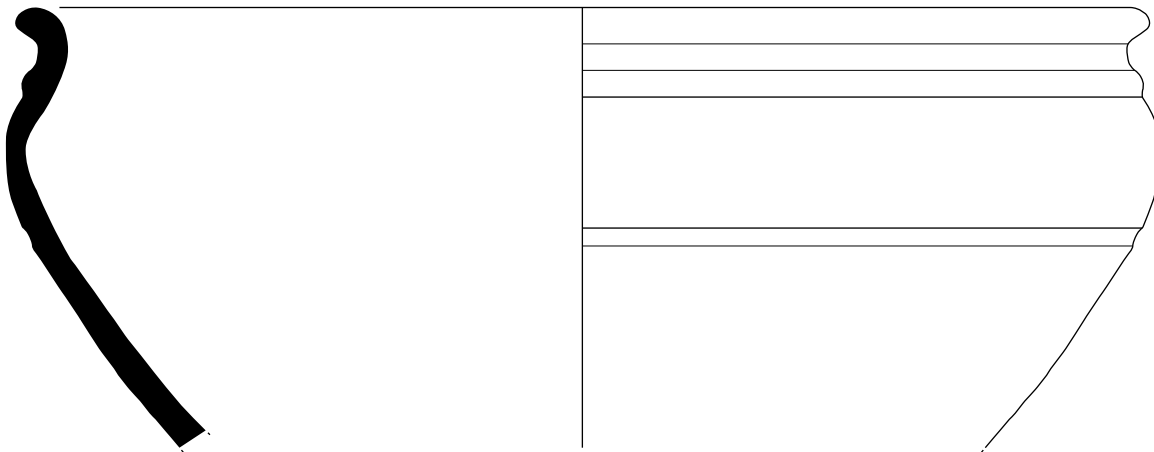
Sd. 701, Dessin 585



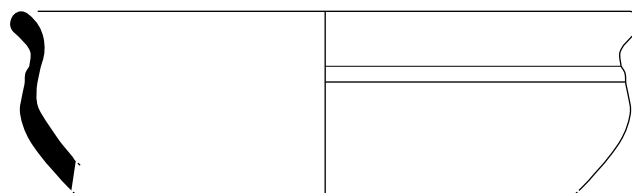
Sd. 701, Dessin 590



Sd. 701, Dessin 588



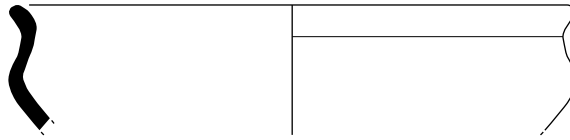
Sd. 701, Dessin 579



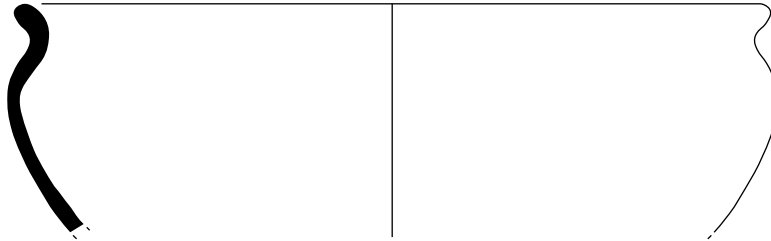
Sd. 701, Dessin 603



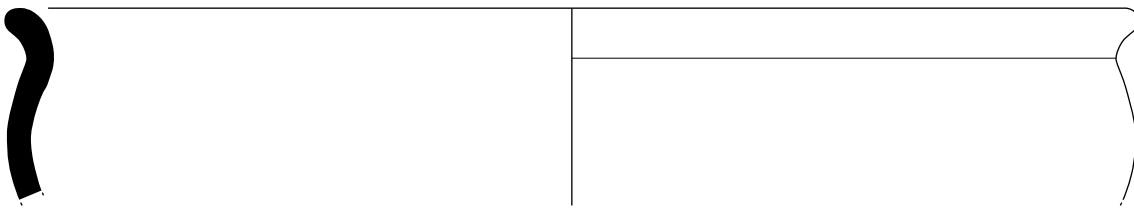
Fig. 433 : céramiques découvertes au sein du contexte F. 5651 sd 701 © N. Ménéz



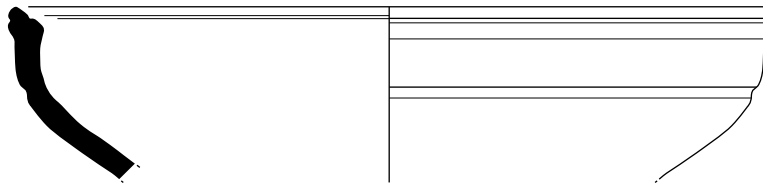
Sd. 701, Dessin 601



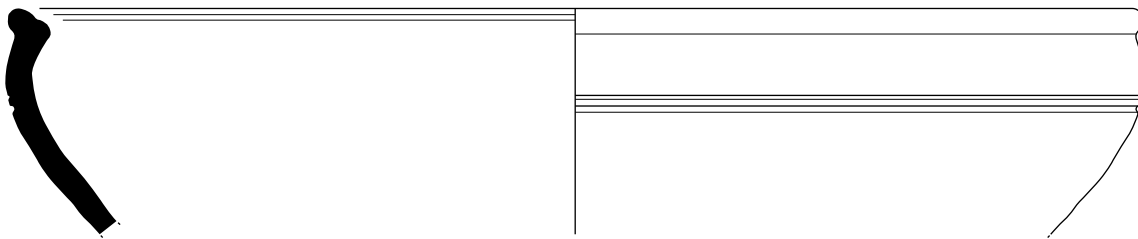
Sd. 701, Dessin 599



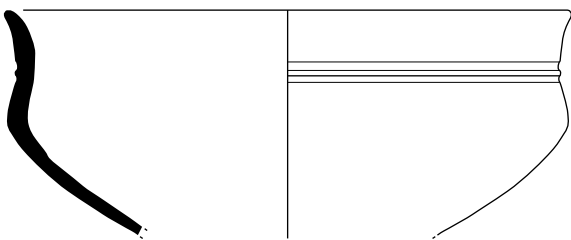
Sd. 701, Dessin 593



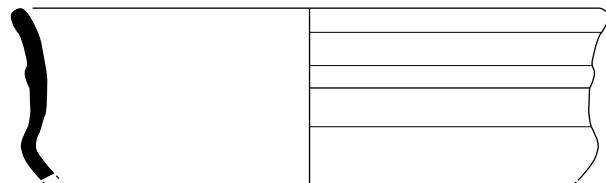
Sd. 701, Dessin 608



Sd. 701, Dessin 607



Sd. 701, Dessin 597



Sd. 701, Dessin 598



Fig. 434 : céramiques découvertes au sein du contexte F. 5651 sd 701 © N. Ménez

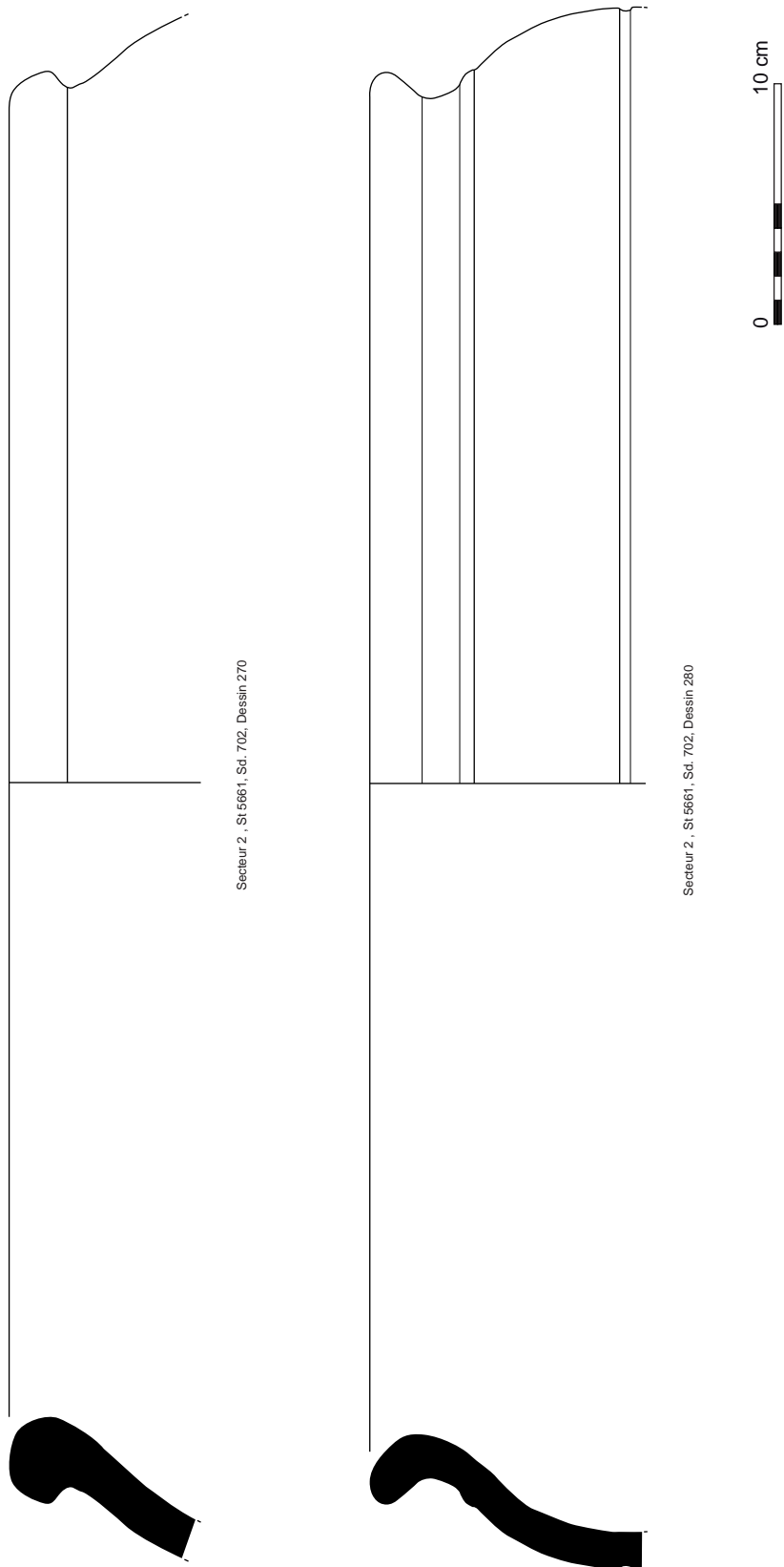
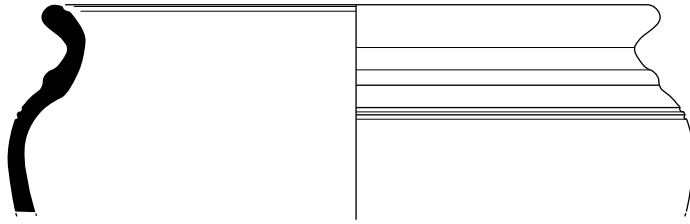
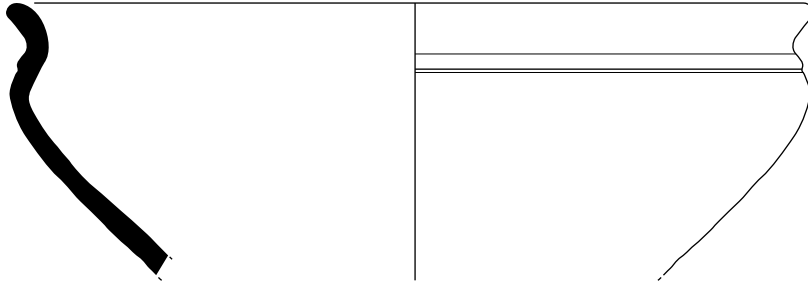


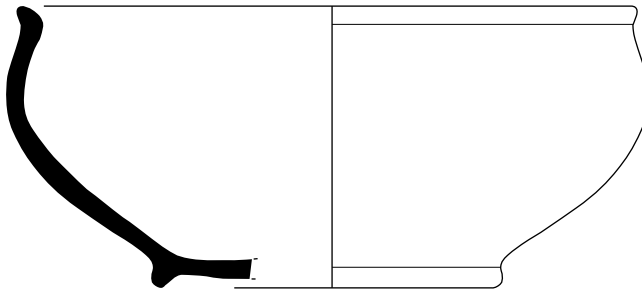
Fig. 435 : céramiques découvertes au sein du contexte F. 5651, sd 702 © N. Ménez



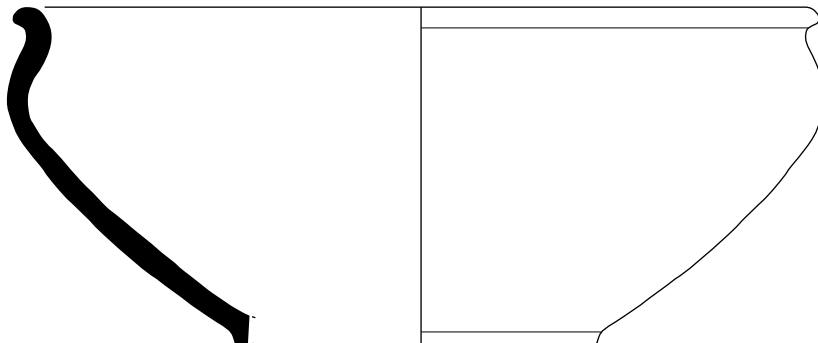
Secteur 2 , St 5651, Sd. 702, Dessin 264



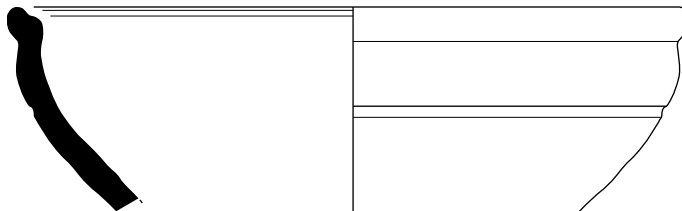
Secteur 2 , St 5651, Sd. 702, Dessin 275



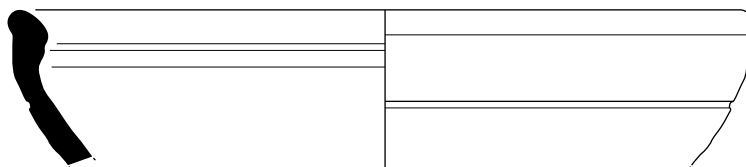
Secteur 2 , St 5651, Sd. 702, Dessin 274



Secteur 2 , St 5651, Sd. 702, Dessin 267



Secteur 2 , St 5651, Sd. 702, Dessin 265



Secteur 2 , St 5651, Sd. 702, Dessin 272



Fig. 436 : céramiques découvertes au sein du contexte F. 5651 sd 702 © N. Ménez

- **F. 5655, Sd. 702**

Contexte	famille	type/s. type	NR	%NR	NMI	%NMI	EqV	%EqV
F5655-Sd702	BAIS	o	70	88.6%	0		0	
F5655-Sd702	BAIS	100	1	1.3%	1	12.5%	0.07	8.66%
F5655-Sd702	BAIS	1b	1	1.3%	1	12.5%	0.04	5.77%
F5655-Sd702	BAIS	2a	2	2.5%	2	25.0%	0.22	28.5%
F5655-Sd702	BAIS	2b	1	1.3%	1	12.5%	0.12	15.2%
F5655-Sd702	BAIS	2d	3	3.8%	2	25.0%	0.22	28.9%
F5655-Sd702	BAIS	3a	1	1.3%	1	12.5%	0.10	12.6%
F5655-Sd702	BAIS	total famille	79	100%	8	100%	0.77	100%
F5655-Sd702	total		79		8	1%	0.77	0.58%

Orientation chronologique : Atelier

- **F. 5660, Sd. 695, Us 1**

Contexte	famille	type/s. type	NR	%NR	NMI	%NMI	EqV	%EqV
F5660-Sd695-US1	BAIS	o	58	87.9%	2	25.0%	0	
F5660-Sd695-US1	BAIS	1ind	1	1.5%	1	12.5%	0	
F5660-Sd695-US1	BAIS	2b	2	3.0%	1	12.5%	0.06	55.6%
F5660-Sd695-US1	BAIS	2ind	3	4.5%	3	37.5%	0	
F5660-Sd695-US1	BAIS	3a	2	3.0%	1	12.5%	0.04	41.7%
F5660-Sd695-US1	BAIS	total famille	66	100%	8	100%	0.10	100%
F5660-Sd695-US1	total		66		8	1%	0.10	0.08%

Orientation chronologique : Atelier

- **F. 5663, Sd. 9999**

Contexte	famille	type/s. type	NR	%NR	NMI	%NMI	EqV	%EqV
F5663-Sd9999	BAIS	o	92	90.2%	0		0	
F5663-Sd9999	BAIS	2a	10	9.8%	1	100%	0.51	100%
F5663-Sd9999	BAIS	total famille	102	100%	1	100%	0.51	100%
F5663-Sd9999	total		102		1		0.51	0.39%

Orientation chronologique : Atelier

- **F. 5665, Sd. 696, Us 1**

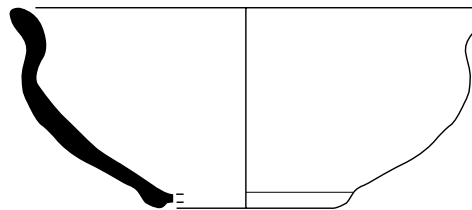
Contexte	famille	type/s. type	NR	%NR	NMI	%NMI	EqV	%EqV
F5665-Sd696-US1	BAIS	o	71	92.2%	0		0	
F5665-Sd696-US1	BAIS	1a	1	1.3%	1	33.3%	0.04	21.9%
F5665-Sd696-US1	BAIS	1c	4	5.2%	1	33.3%	0.15	77.5%
F5665-Sd696-US1	BAIS	2a	1	1.3%	1	33.3%	0	
F5665-Sd696-US1	BAIS	total famille	77	100%	3	100%	0.19	100%
F5665-Sd696-US1	total		77		3		0.19	0.14%

Orientation chronologique : Atelier

• **F. 5665, Sd. 696, Us 2 (fig. 437)**

Contexte	famille	type/s. type	NR	%NR	NMI	%NMI	EqV	%EqV
F5665-Sd696-US2	BAIS	o	56	94.9%	3	60.0%	o	
F5665-Sd696-US2	BAIS	2d	2	3.4%	1	20.0%	0.10	74.8%
F5665-Sd696-US2	BAIS	3a	1	1.7%	1	20.0%	0.03	25.6%
F5665-Sd696-US2	BAIS	total famille	59	100%	5	100%	0.13	100%
F5665-Sd696-US2	total		59		5		0.13	0.10%

Orientation chronologique : Atelier



Secteur 2 , St 5665, Sd. 696 Us 2, Dessin 283

0

10 cm

Fig. 437 : céramiques découvertes au sein du contexte F. 5665 sd 696 © N. Ménez

• **F. 5666, Sd. 697**

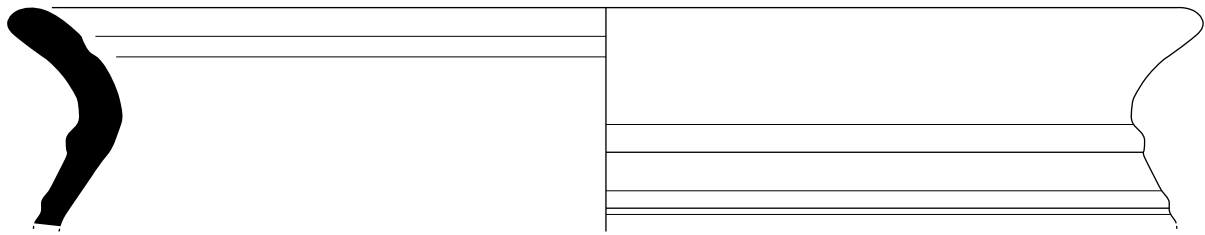
Contexte	famille	type/s. type	NR	%NR	NMI	%NMI	EqV	%EqV
F5666-Sd697	BAIS	o	17	100%	o		o	
F5666-Sd697	BAIS	total famille	17	100%	0		0	
F5666-Sd697	total		17		0		0	

Orientation chronologique : Atelier

• **F. 5666, Sd. 697, Us 3 et 4 (fig. 438)**

Contexte	famille	type/s. type	NR	%NR	NMI	%NMI	EqV	%EqV
F5666-Sd697-US3 et 4	BAIS	o	18	78.3%	o		o	
F5666-Sd697-US3 et 4	BAIS	2d	3	13.0%	1	50.0%	0.25	69.4%
F5666-Sd697-US3 et 4	BAIS	8b	2	8.7%	1	50.0%	0.11	30.9%
F5666-Sd697-US3 et 4	BAIS	total famille	23	100%	2	100%	0.36	100%
F5666-Sd697-US3 et 4	total		23		2		0.36	0.27%

Orientation chronologique : Atelier



Secteur 2, St 5666, Sd. 697, Us 3 et 4, Dessin 285



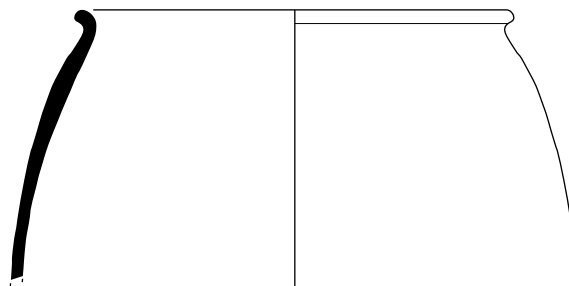
Fig. 438 : céramique découverte au sein du contexte F. 5666 sd 697, Us 3 et 4 © N. Ménez

- **F. 5667, Us 1** (fig. 439)

Contexte	famille	type/s. type	NR	%NR	NMI	%NMI	EqV	%EqV
F5667-US1	BAIS	o	68	91.9%	2	33.3%	o	
F5667-US1	BAIS	1c(v)	1	1.4%	1	16.7%	o.04	19.8%
F5667-US1	BAIS	2ind	3	4.1%	2	33.3%	o	
F5667-US1	BAIS	6a	2	2.7%	1	16.7%	o.17	79.4%
F5667-US1	BAIS	total famille	74	100%	6	100%	0.21	100%
F5667-US1	total		74		6		0.21	0.16%

Le seul élément notable issu de ce contexte est la présence d'une variante du type 1c.

Orientation chronologique : Atelier



Secteur 2, St 5667, Us 1, Dessin 287



Fig. 439 : céramique découverte au sein du contexte F. 5667 Us 1 © N. Ménez

- **Décapage près de F. 5374 et F. 5366** (fig. 440)

Contexte	famille	type/s. type	NR	%NR	NMI	%NMI	EqV	%EqV
FDécapage près des st-Sd-US	BAIS	o	9	90.0%	o		o	
FDécapage près des st-Sd-US	BAIS	6b	1	10.0%	1	100%	o.04	111%
FDécapage près des st-Sd-US	BAIS	total famille	10	100%	1	100%	0.04	100%
FDécapage près des st-Sd-US	total		10		1		0.04	0.03%

Orientation chronologique : Atelier

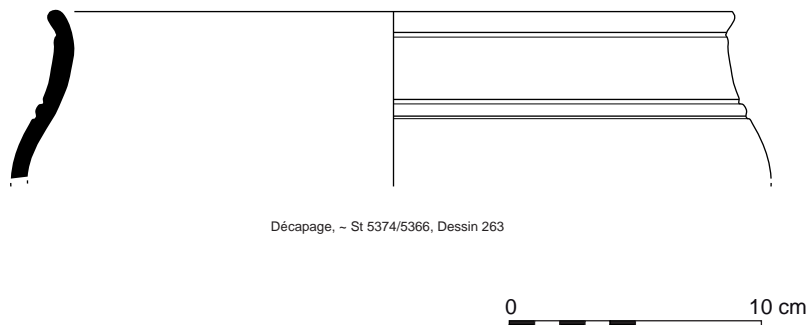


Fig. 440 : céramique découverte au sein du contexte F. 5374 et 5366 © N. Ménez

- Intersection F. 5272/F. 5013, Décapage

Contexte	famille	type/s. type	NR	%NR	NMI	%NMI	EqV	%EqV
Flinter. 5272/5013-USDÉcapage	BAIS	o	19	86.4%	o		o	
Flinter. 5272/5013-USDÉcapage	BAIS	1ind	1	4.5%	1	33.3%	o	
Flinter. 5272/5013-USDÉcapage	BAIS	2b	1	4.5%	1	33.3%	0.05	100%
Flinter. 5272/5013-USDÉcapage	BAIS	2ind	1	4.5%	1	33.3%	o	
Flinter. 5272/5013-USDÉcapage	BAIS	total famille	22	100%	3	100%	0.05	100%
Flinter. 5272/5013-USDÉcapage	total		22		3		0.05	0.04%

Orientation chronologique : Atelier

- Intersection F. 5343/F. 5093, Sd. 514

Contexte	famille	type/s. type	NR	%NR	NMI	%NMI	EqV	%EqV
Flinter. 5343/5093-Sd514	BAIS	o	38	88.4%	2	33.3%	o	
Flinter. 5343/5093-Sd514	BAIS	2a(v)	3	7.0%	2	33.3%	0.30	66.7%
Flinter. 5343/5093-Sd514	BAIS	2d	1	2.3%	1	16.7%	0.08	18.5%
Flinter. 5343/5093-Sd514	BAIS	3b	1	2.3%	1	16.7%	0.07	15.4%
Flinter. 5343/5093-Sd514	BAIS	total famille	43	100%	6	100%	0.45	100%
Flinter. 5343/5093-Sd514	total		43		6		0.45	0.34%

On notera ici simplement l'existence de deux variantes du type 2a.

Orientation chronologique : Atelier

- Intersection F. 5622/F. 5444, Sd. 719

Contexte	famille	type/s. type	NR	%NR	NMI	%NMI	EqV	%EqV
Flinter. 5622/5444-Sd719	BAIS	o	19	82.6%	1	33.3%	o	
Flinter. 5622/5444-Sd719	BAIS	2d	1	4.3%	1	33.3%	0.03	23.8%
Flinter. 5622/5444-Sd719	BAIS	3b	3	13.0%	1	33.3%	0.11	75.4%
Flinter. 5622/5444-Sd719	BAIS	total famille	23	100%	3	100%	0.14	100%
Flinter. 5622/5444-Sd719	total		23		3		0.14	0.11%

Orientation chronologique : Atelier

Fait	2a	2Ind	2d	3a	1b	1Ind	2b	3b	1c	9	2c	1a	8a	6Ind	10	4	12	5	6a	6b	8b	5c	8Ind	11	3Ind	13	7	100	total
5375	2		1			2	1	1		1							2					1	1					11	
565	3		1			1	1						1				1											11	
5110	1			1									1														1	11	
5099	1			1			3																					11	
5651	3	2	1				1	1				1				1												13	
5190			1	1	1		1	1			1														1			13	
5335				4		2	3		1				4		2													13	
5107			5	1																								16	
5429		1	3	1	2	4	1	1				1							1									17	
5230	2			2	1		4												1		1							18	
5083	1	1	2	3				2	1										1		1			1				21	
5098	2		1	3			1	2			1				1													24	
5329	6	1	7	2			2	2							1													29	
5059	3	1	4	2	1		2				1				1													29	
5088	3	4	5	2	1		1	3	1	1	2			2						1								39	
5374	10	6	6	3	3	7	5	3	6	5	2	1																62	
5350	20		1	3	26		1		4	2	2	2							1									62	
5236	11	3	4	5	8	12			6	5		4																79	
28	29	8	10	7	11	3	6	3	2	4		1																86	
5092	13	9	10	6		1	7	1			1	1		2	1	1						2			1			93	
5320	19	19	11	3	4	8	3	7	2	3	2	2		1					1			1					2	131	
5272	46	74	39	21	7	7	8	17	5	1	3	1				1	3	3	3	2	2	2	2	2	1	0	3	273	
total	173	131	111	68	65	47	47	44	27	22	15	14	5	5	5	3	3	3	3	2	2	2	2	2	1	1	0	7	

Fig. 441 : tableau récapitulatif du nombre minimum d'individus (NMI) mis au jour dans les principaux contextes © N. Menez

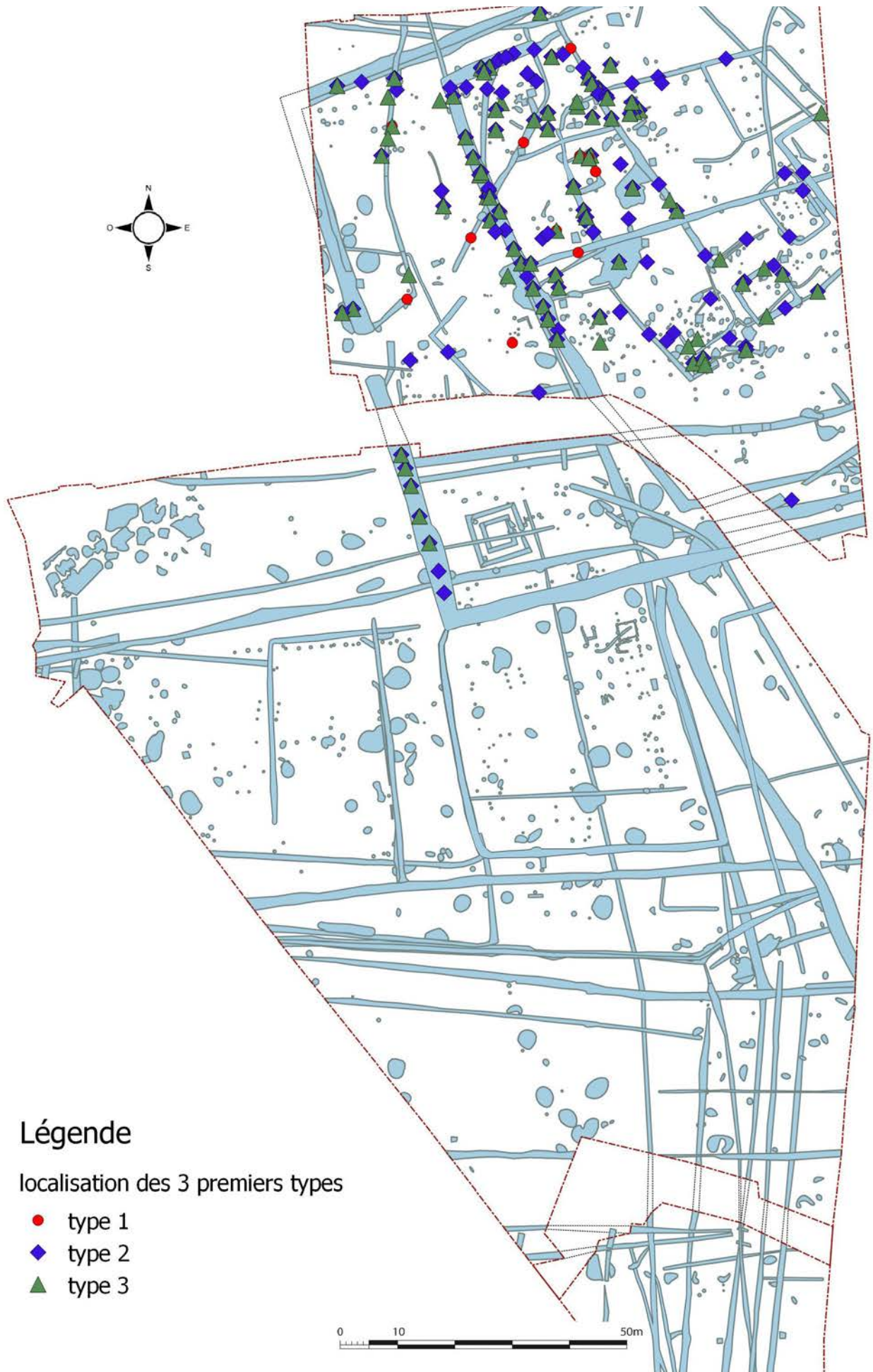


Fig. 441 bis : plan de répartition de la céramique par types © J.-C. Durand

3.4. Étude pétrographique des productions céramiques des ateliers de La Carrière des Vallons (Louvigné-de-Bais, 35) par Hervé Morzadec

Dans le cadre de l'extension de la Carrière des Vallons, la fouille a permis la découverte de fours d'ateliers de potiers attribués chronologiquement à la fin de La Tène finale/début période gallo-romaine (fig. 442). Le site a également livré des éléments de production céramique gallo-romaine. Le but de cette étude est de caractériser les matériaux utilisés sur le site aussi bien pour les éléments architecturaux que pour la céramique et de tenter de mettre en évidence une évolution dans le choix ou le traitement de ces matériaux.



Fig. 442 : photographie des deux fours en cours de fouille © H. Morzadec

3.4.1. Contexte géologique

La cartographie des formations géologiques autour du site de la carrière des Vallons (fig. 444) à Louvigné de Bais montre une grande variété de matériaux. Les sédiments de couverture sont représentés par :

- Les colluvions holocènes de fond de vallon constituées de particules argileuses associées à des éléments plus grossiers issus de l'érosion de paléosols anciens ;
- Les limons de plateau loessiques possédant une teneur moyenne en argile de l'ordre de 50% associés à des minéraux issus de l'altération locale
- Les altérites argilo-sableuses ante-pliocènes liées à l'altération du substrat briovérien.

Le substrat est constitué par les schistes et grès briovérien métamorphisés dans le faciès cornéenne au contact des intrusions de micro-diorite quartzique (fig. 443). Ces roches sont exploitées dans le cadre de la carrière des Vallons pour des granulats.

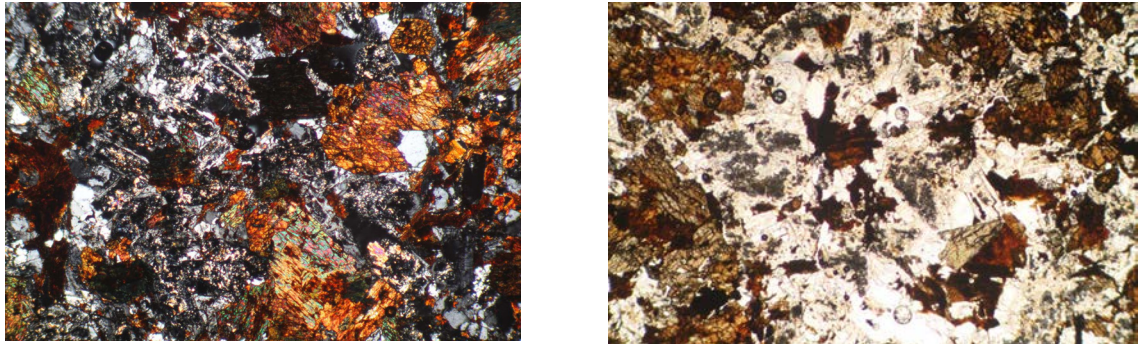


Fig. 443 : aspect de la pâte : macroscopiquement (A) et en lame mince (B et C en LPA), (C en LPNA), Gr x32 © H. Morzadec

Dans l'environnement proche, on note la présence de filon de quartz et de micro-gabbros doléritique.

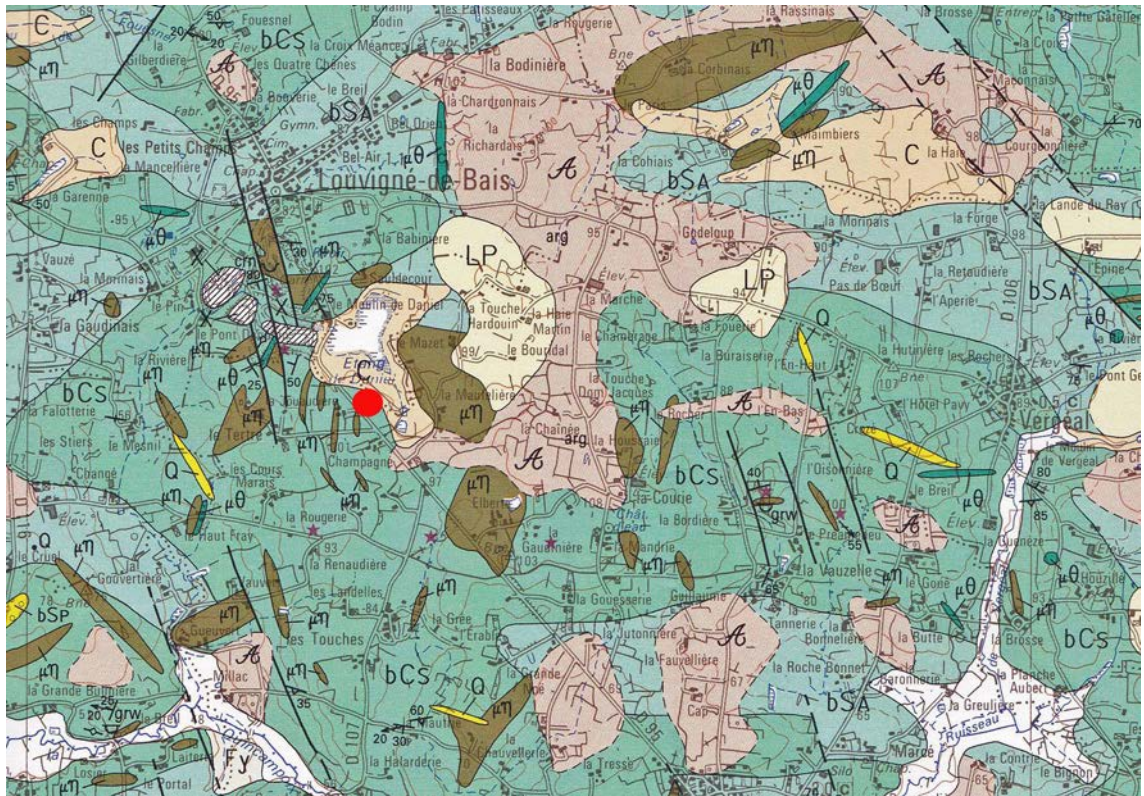


Fig. 444 : extrait de la carte géologique de La Guerche-de-Bretagne (BRGM, 1997) avec localisation du site

3.4.2. Les éléments architecturaux

Dans le cadre de cette étude, des éléments de TCA ont été analysés afin de constituer un référentiel des matériaux disponibles sur le site.

3.4.2.1. Les fragments de torchis

L'échantillon de torchis CDV234 (fig. 445) provient de l'utilisation d'un limon. La granulométrie est très fine et homogène (fig. 445, D). On observe de rares éléments plus grossiers constitué de quartz (fig. 445, B) et de plagioclases altérés. Macroscopiquement (fig. 445, A), l'échantillon est très hétérogène avec de nombreux nodules mal homogénéisés preuve d'un faible travail du matériau.

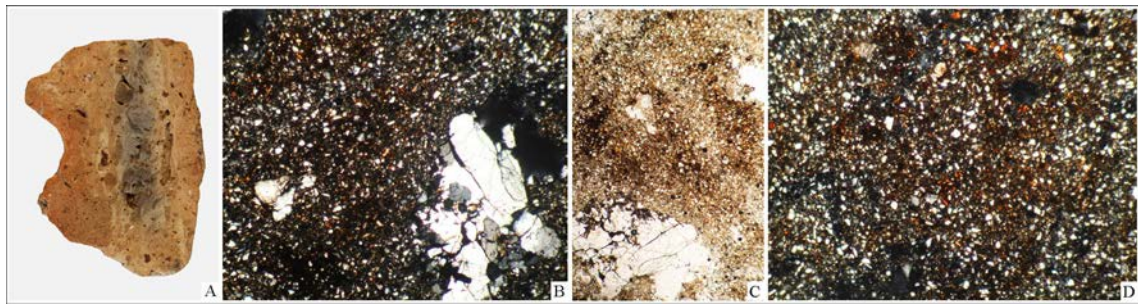


Fig. 445 : aspect de la pâte : macroscopiquement (A) et en lame mince (B et C en LPA), (C en LPNA), Gr x32 © H. Morzadec

L'échantillon de torchis CDV235 (fig. 446) provient également de l'utilisation d'un limon. La granulométrie est similaire avec des éléments figurés (fig. 446, B et C) en quantité plus importante. Macroscopiquement (fig. 446, A), l'échantillon est plus homogène et donc plus travaillé.

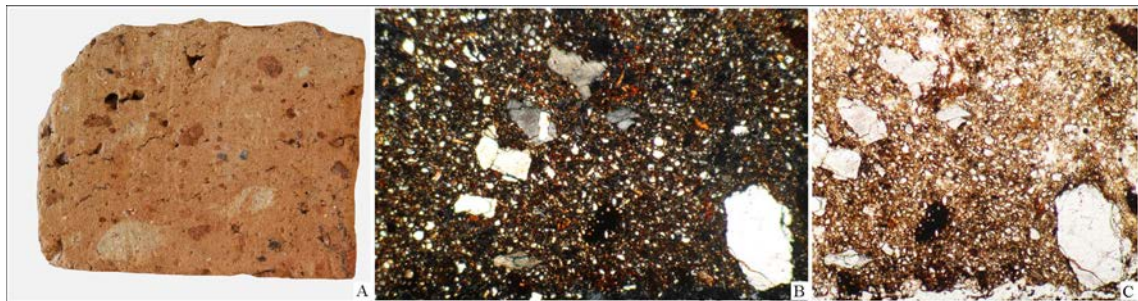


Fig. 446 : aspect de la pâte : macroscopiquement (A) et en lame mince (B en LPA), (C en LPNA), Gr x32 © H. Morzadec

Ces deux échantillons résultent de l'utilisation des limons de couverture présents et disponibles aisément sur le site.

3.4.2.2. Les éléments de plaque foyère

L'échantillon CDV240 (fig. 447)

Macroscopiquement (fig. 447, A), cet échantillon présente une stratification nette. La partie sommitale est constituée d'un matériau fin homogène alors que la partie inférieure est beaucoup plus hétérogène et grossière. Le dégraissant est constitué de quartz à contour plus ou moins arrondis, de micas et de rares feldspaths très altérés et de petits nodules de limon. La particularité de cet échantillon est la présence de nodules vitrifiés à contour arrondis de dimensions variable provenant de résidu de métallurgie et à texture dendritique (dendrite de fer (fig. 447, E et F, fig. 448)).

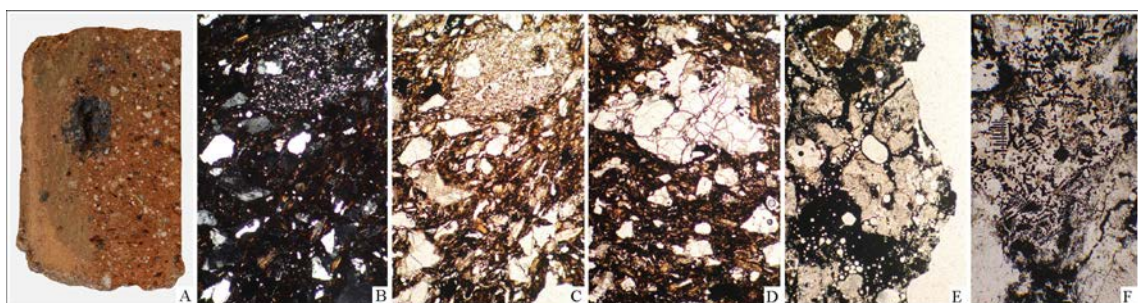


Fig. 447 : aspect de la pâte macroscopiquement (A) et en lame mince (B en LPA), (C, D, E et F en LPNA), Gr x32 © H. Morzadec

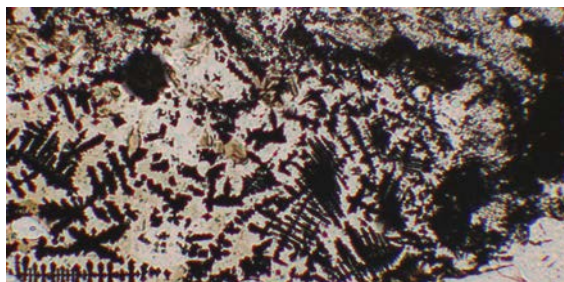


Fig. 448 : vue de détail de la texture dendritique des nodules ferrugineux dans l'échantillon CDV240
© H. Morzadec

Le matériau utilisé pourrait provenir de l'utilisation des altérites argilo-sableuses. Les petits nodules ferrugineux correspondent probablement à des battitures. Leur présence dans ce fragment de plaque reste énigmatique, l'abondance des nodules fait penser à un ajout volontaire.

L'échantillon CDV241 (fig. 449)

Macroscopiquement (fig. 449, A), cet échantillon présente une granulométrie hétérogène avec des grains à contours arrondis. Les vides sont assez abondants et présentent un allongement important suivant le plan d'aplatissement. Le dégraissant est constitué de quartz présentant des craquelures liées à la chauffe, de nombreux feldspaths plagioclases zonés et altérés. De petites biotites altérées (fig. 449, D) sont disséminées dans la matrice. Les éléments de dégraissants les plus grossiers présentent des associations minéralogiques correspondant à des grès (fig. 449, C) ainsi que des micro-diorites (fig. 449, F).

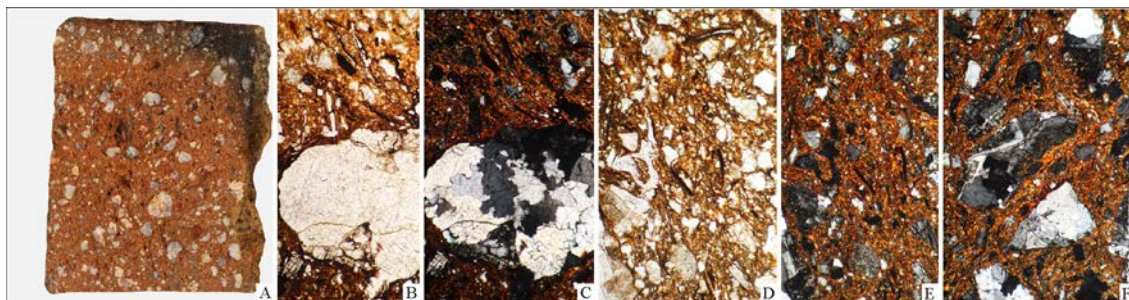


Fig. 449 : aspect de la pâte macroscopiquement (A) et en lame mince (C, E et F en LPA), (A et D en LPNA), Gr x32 © H. Morzadec

Le matériau utilisé pourrait provenir de l'utilisation des altérites argilo-sableuses

L'échantillon CDV242 (fig. 450)

Macroscopiquement (fig. 450), cet échantillon présente une texture homogène avec peu de vide et un dégraissant assez fin. Les rares éléments les plus grossiers ont une composition micro-dioritique (fig. 450, D). Le dégraissant est composé de quartz en petits grains arrondi (fig. 450, E), de plagioclase altérés et parfois zonés.

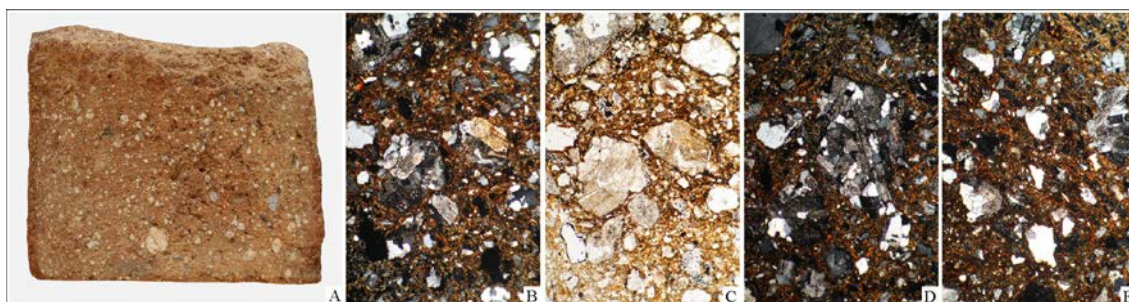


Fig. 450 : aspect de la pâte macroscopiquement (A) et en lame mince (B, D et E en LPA), (C en LPNA), Gr x32 © H. Morzadec

Le matériau utilisé pourrait provenir de l'utilisation des altérites argilo-sableuses issue du démantèlement des niveaux supérieurs de la micro-diorite constituant le substrat.

3.4.3. Les éléments de barres de four de potier

Les sondages effectués dans les fossés à proximité des fours, ont livrés de nombreux éléments de barre de four qui ont été regroupées en trois catégories, les barres irrégulières, les rondes et enfin les rectangulaires. Les éléments de ces différentes catégories ont été analysés.



Fig. 451 : fragments de barres de fours dans le comblement du fossé F565 © H. Morzadec

1 - Les barres irrégulières (fig. 452)

Deux échantillons provenant des structures F5272 (CDV231) et F565 (CDV238) ont été analysés.



Fig. 452 : barre irrégulière, échantillon CDV231 © H. Morzadec

L'échantillon CDV231 (fig. 453)

Macroscopiquement (fig. 453, A), cet échantillon est très hétérogène peu cohérent avec une granulométrie hétérogène et de nombreux vides (fig. 453, D). Les grains ont des contours arrondis (fig. 453, F). Le dégraissant est constitué de quartz, de feldspath et de biotite très altérés, de minéraux phylliteux, d'oxyde et de rares nodules de quartz à ciment ferrugineux (fig. 453, B).

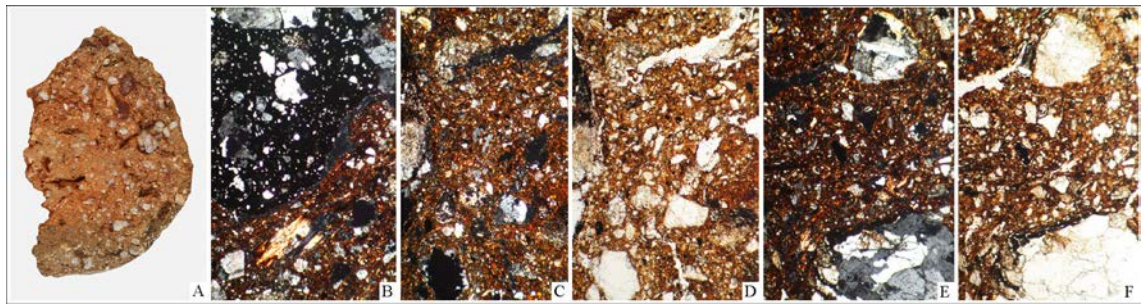


Fig. 453 : aspect de la pâte macroscopiquement (A) et en lame mince (B, C et E en LPA), (D et F en LPNA), Gr x32 © H. Morzadec

L'échantillon CDV238 (fig. 454)

Macroscopiquement (fig. 454, A), cet échantillon est très hétérogène peu cohérent avec une granulométrie hétérogène (fig. 454, C) et de nombreux vides. Les grains de dégraissant les plus grossiers, à contours partiellement arrondis ont pu subir un léger broyage. Le dégraissant est constitué de quartz et de petits feldspaths plagioclases altérés, de nodule d'oxyde (fig. 454, E). Les grains de quartz présentent de nombreuses craquelures liées aux chauffés répétées dans le four.

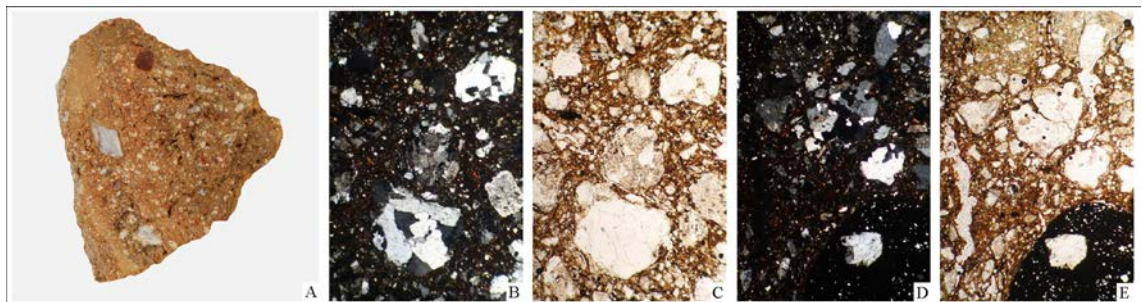


Fig. 454 : aspect de la pâte macroscopiquement (A) et en lame mince (B et D en LPA), (C et E en LPNA), G x32 © H. Morzadec

Les matériaux de ces deux échantillons proviennent de l'utilisation des matériaux d'altération remaniés présent sur le site. Ils n'ont pas subi de traitement particulier à part peut être un léger broyage. La fabrication a été succincte sans travail important de l'argile.

2 - Les barres rondes (fig. 455)

Deux échantillons provenant des structures F5660 (CDV230) et F565 (CDV236) ont été analysés.



Fig. 455 : barre ronde, échantillon CDV236 © H. Morzadec

L'échantillon CDV230 (fig. 456)

Macroscopiquement (fig. 456, A), cet échantillon est assez homogène, avec quelques vides et quelques grains de dégraissant plus grossier. Les grains ont des contours assez arrondis. La granulométrie est homogène et le dégraissant est bien réparti dans la matrice indiquant un travail plus important de l'argile. Le dégraissant est constitué de nombreux petits plagioclases altérés, de quartz et de biotites altérées correspondant à l'utilisation de l'argile d'altération de la micro-diorite.

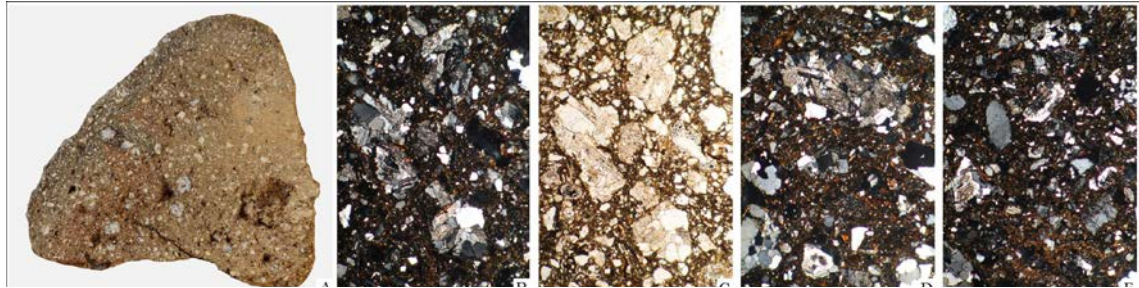


Fig. 456 : aspect de la pâte macroscopiquement (A) et en lame mince (B, D et E en LPA), (C en LPNA), G x32

L'échantillon CDV236 (fig. 457)

Macroscopiquement (fig. 457, A), cet échantillon est assez homogène avec quelques vides et quelques grains de dégraissant plus grossier (fig. 457, E). Les grains ont des contours assez arrondis. Le dégraissant est similaire à celui de l'échantillon CDV230. Les feldspaths plagioclases (fig. 457, D) dominent mais l'échantillon est un peu plus riche en quartz. Les biotites altérées et de très rare nodule de quartz dans une matrice ferrugineuse (fig. 457, B) sont toujours présents.

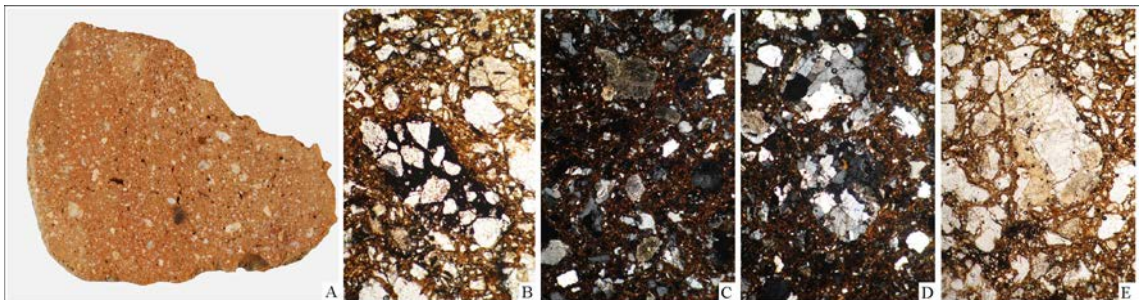


Fig. 457 : aspect de la pâte macroscopiquement (A) et en lame mince (C et D en LPA), (B et E en LPNA), G x32 © H. Morzadec

Les matériaux de ces deux échantillons sont bien travaillés avec une texture homogène. L'argile provient des matériaux d'altération remaniée de la micro-diorite.

3 - Les barres rectangulaires (fig. 458)

Quatre échantillons provenant des structures F5295 (CDV229), F5660 (CDV232) et F565 (CDV233 et CDV237) ont été analysés.



Fig. 458 : barre rectangulaire, échantillon CDV232
© H. Morzadec

L'échantillon CDV229 (fig. 459)

Macroscopiquement (fig. 459, A), l'échantillon est homogène en ce qui concerne les éléments figurés. Quelques grains arrondis de dimensions plus importantes sont visibles. On observe la présence de vides de faibles dimensions associés à de grandes fissures rayonnantes (fig. 459, A). Ces fissures sont liées à la chauffe répétée des éléments non cuits au initialement dans le four.

Le dégraissant est assez fin homogène constitué de quartz dominant, de petits plagioclases altérés, quelques biotites très altérées, des fragments de schiste et grès briovérien (fig. 459, D et E) en grain à contours arrondis.

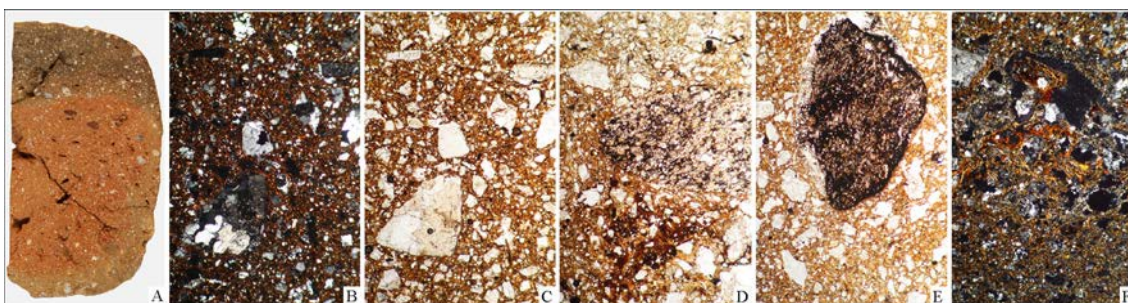


Fig. 459 : aspect de la pâte macroscopiquement (A) et en lame mince (B et F en LPA), (C, D et E en LPNA), G x32 © H. Morzadec

L'échantillon CDV232 (fig. 460)

Macroscopiquement (fig. 460, A), cet échantillon est hétérogène ; la pâte est mal homogénéisée et contient des éléments grossiers à contours arrondis (fig. 460, F, A), l'exception de ces éléments, le dégraissant est assez fin et homogène. Les vides sont abondants et concentrés au cœur de l'échantillon. Le dégraissant est constitué de quartz dominant, plagioclases altérés et de rares biotites altérées. Parmi les éléments grossiers du dégraissant, on note la présence de fragments de roche à texture micro-granitique à phénocristaux de quartz (fig. 460, D et E).

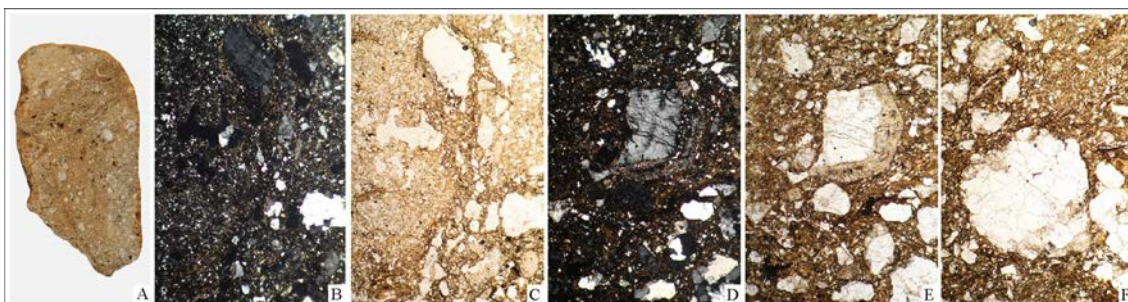


Fig. 460 : aspect de la pâte macroscopiquement (A) et en lame mince (B et D en LPA), (C, E et F en LPNA), G x32 © H. Morzadec

L'échantillon CDV233 (fig. 461)

Macroscopiquement (fig. 461, A), cet échantillon est hétérogène ; les éléments figurés grossiers sont abondants et présentent des contours arrondis. Les vides sont également abondants et de grandes dimensions. Le dégraissant est constitué de quartz, de grandes lattes de plagioclase (fig. 461, B et C), de quelques oxydes et de petits nodules d'argile concrétionnée par des oxydes (fig. 461, D).

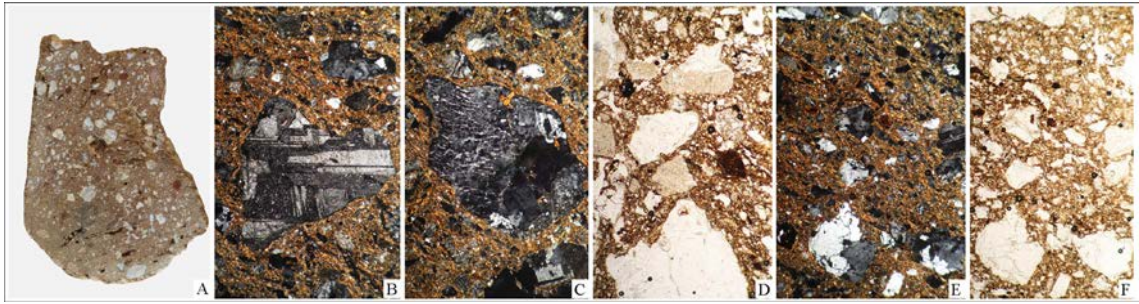


Fig. 461 : aspect de la pâte macroscopiquement (A) et en lame mince (B, C et E en LPA), (D et F en LPNA), G x32 © H. Morzadec

L'échantillon CDV237 (fig. 462)

Macroscopiquement (fig. 462, A), cet échantillon est hétérogène avec de nombreux vides mais le dégraissant présente une granulométrie assez homogène (fig. 462, C et D). Le dégraissant est constitué de quartz, de plagioclases (fig. 462, F) en grandes lattes et en petits cristaux, de quelques oxydes et de petits nodules d'argile concrétionnée par des oxydes.

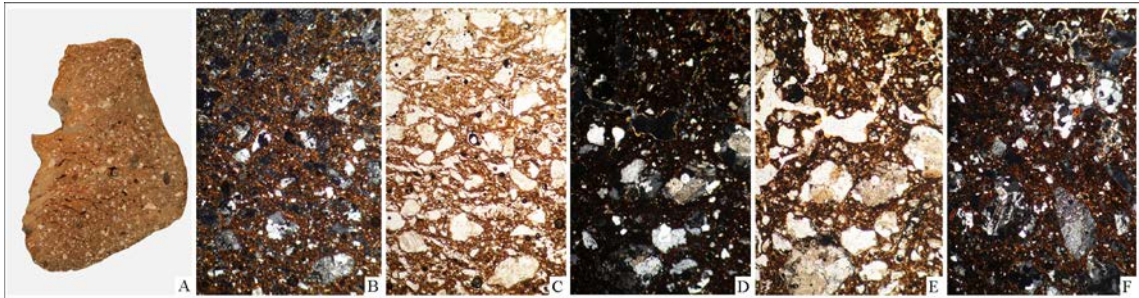


Fig. 462 : aspect de la pâte macroscopiquement (A) et en lame mince (B, D et F en LPA), (C et E en LPNA), G x32 © H. Morzadec

Les quatre échantillons de barres rectangulaires présentent des aspects macroscopiques très différents de part l'utilisation d'un matériau hétérogène et de l'absence de préparation de celui-ci. L'argile provient de l'utilisation des matériaux disponibles sur place et reflète les variations géologiques du substrat.

3.4.2.4. Les fragments de tegulae

Afin de compléter les données sur les éléments architecturaux, trois fragments de tegulae ont été analysés ; l'un provenant de la structure F5206 (CDV239), les deux autres ont été ramassés lors du décapage de la zone gallo-romaine hors structure (CDV243, CDV244).

L'échantillon CDV239 (fig. 463)

Macroscopiquement (fig. 463, A), cet échantillon possède un dégraissant assez hétérogène avec des grains arrondis et des vides peu abondant. Le dégraissant est constitué de quartz, de petit plagioclase, d'oxyde et de rares biotites altérées. On note la présence de petites boulettes d'argile concrétionnées. Ce matériau est similaire à celui utilisé pour la fabrication des barres de four de potier.

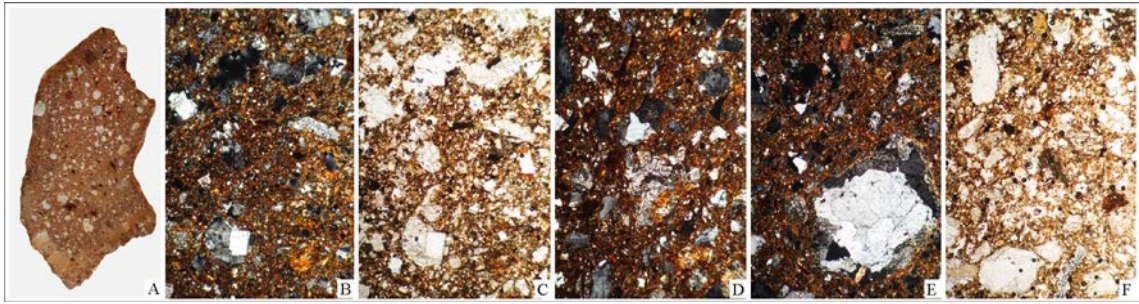


Fig. 463 : aspect de la pâte macroscopiquement (A) et en lame mince (B, D et E en LPA), (C et F en LPNA), G x32 © H. Morzadec

L'échantillon CDV243 (fig. 464)

Il s'agit d'un fragment de tuile déformée correspondant probablement à un raté de cuisson. Macroscopiquement (fig. 464, A), cet échantillon est zoné avec une pellicule surcuite sur la face supérieure. Le dégraissant est hétérogène et contient de nombreux grains de sable. Les vides sont peu abondants, de faibles dimensions et localisés au cœur de l'échantillon. Microscopiquement, la matrice est opaque (fig. 464, C) mais il n'y a pas de trace de fusion. Le dégraissant est constitué de quartz, de feldspath plagioclase altérés (fig. 464, E et F), de biotites altérées et de rares fragments de roche à texture doléritique (fig. 464, D).

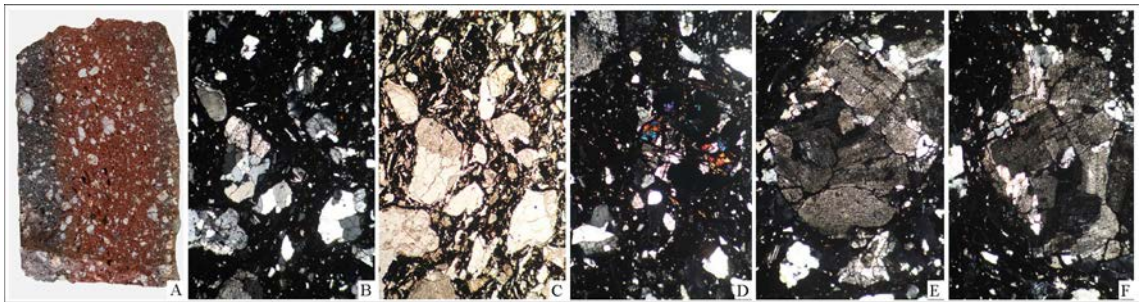


Fig. 464 : aspect de la pâte macroscopiquement (A) et en lame mince (B, D, E et F en LPA), (C en LPNA), G x32 © H. Morzadec

Le matériau utilisé provient des argiles d'altération plus ou moins remaniées présentes autour du site.

L'échantillon CDV244 (fig. 465)

Macroscopiquement (fig. 465, A), cet échantillon est assez homogène avec peu de vides. Le dégraissant est constitué de grains arrondis et de nombreux nodules vitrifiés (fig. 465, F). Microscopiquement, la matrice est opaque avec des inclusions de nodules fondus, du quartz, des feldspaths plagioclases altérés et des biotites altérées.

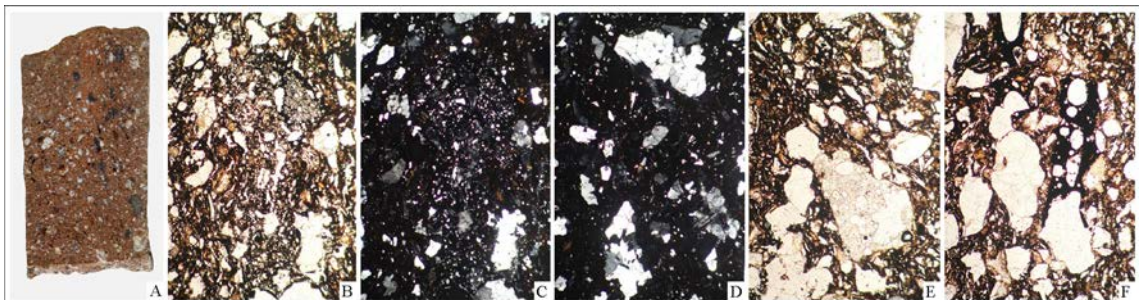


Fig. 465 : aspect de la pâte macroscopiquement (A) et en lame mince (C et D en LPA), (B, E et F en LPNA), G x32 © H. Morzadec

Le matériau utilisé provient des argiles d'altération remaniées présentes autour du site auquel on a rajouté un dégraissant issu de résidus de fusion dont la nature n'a pu être déterminée.

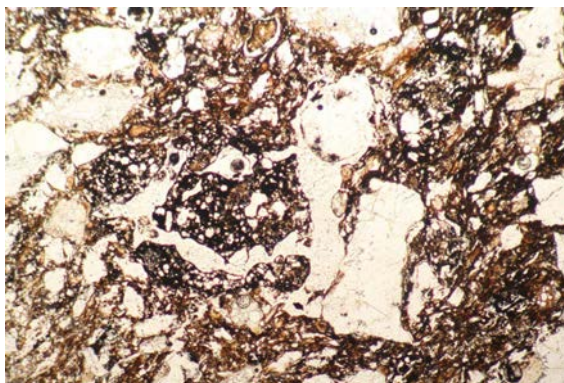


Fig. 466 : échantillon CDV244, résidus de fusion dans la pâte, Gr x32 © H. Morzadec

Conclusion

L'étude de l'ensemble du mobilier architectural en terre cuite a permis de reconnaître trois sources de matériaux locaux exploitées pour leur fabrication. (fig. 467)

La première source correspond à l'utilisation des placages limoneux de surface pour la fabrication du torchis.

La seconde source, utilisée aussi bien pour les plaques foyères que pour les éléments de four de potier (barres irrégulières et rectangulaires) correspond aux altérites argilo-sableuses ante-pliocènes liées à l'altération du substrat. Elle a également été utilisée pour la production de tuile gallo-romaine preuve de la présence d'un atelier de tuilier dans l'environnement immédiat du site.

La troisième source utilisée correspond aux argiles d'altération de la micro-diorite. On la retrouve dans les barres de four rondes et rectangulaires ainsi que pour la fabrication de certaines tuiles.

	Limon de couverture	Altérite argilo-sableuse	Altération de la micro-diorite
Éléments de torchis	CDV235, CDV234		
Plaques foyères		CDV240, CDV241, CDV242	
Barres irrégulière		CDV231, CDV232	
Barres rondes			CDV230, CDV236
Barres rectangulaires		CDV229, CDV237	CDV233, CDV232
Tegulae		CDV244	CDV243, CDV239

Fig. 467 : tableau de synthèse des éléments architecturaux par type de matériaux

3.4.4. Le mobilier céramique

Dans le cadre de cette étude, 228 échantillons de céramique ont été sciés parmi lesquelles 110 céramiques de l'atelier précoce et 7 céramiques gallo-romaines ont fait l'objet d'une lame mince. Le tableau ci-dessous (fig. 468) présente les proportions des échantillons analysés pour les différentes structures étudiées.

N° St	Nbre. échantillons	Nbre. lame mince
F5272	34	13
F5335	5	4
F5234	2	1
F5235	1	1
F5236	6	3
F5230	5	2
F5201/5442	1	1
F5092	16	5
F5167/5104	3	2
F5019	1	1
F5088	11	4
F5106	1	1
F5110	4	2
F5167	3	2
F5107	3	1
F5032	5	3
F5059	9	5
F5166	2	1
F5190	3	1
F5275	4	2
F5240	1	1
F5274	1	1
F5295	1	1
F5329	8	4
F5330	1	1
F5320	15	8
F5374	15	6
iso2065	4	2
F5061	1	1
iso2023	1	1
F5083	5	2
F5068	1	0
iso2059	4	3
F5097	2	1
F5098	5	2
iso2056	7	3
F5350	19	10
F5099	4	2
F565	6	5
F566	1	1
F519	7	7

Fig. 468 : décompte par structure des échantillons prélevés et des lames minces fabriquées dans les céramiques © H. Morzadec

3.4.4.1. La céramique de l'atelier précoce

Les échantillons ont été prélevés dans les structures et dans les zones de rejet des productions des fours. La description et la caractérisation des pâtes seront établie par structure.

F5019 (fig. 469)

L'échantillon CDV53 présente une pâte brun-noire à granulométrie hétérogène. La matrice est hétérogène et contient de la matière organique carbonisée diffuse. Les contours des grains sont plus ou moins arrondis. Le dégraissant est composé de quartz, de plagioclase, de biotites altérées et de fragment de grès fin (fig. 469, F et G).

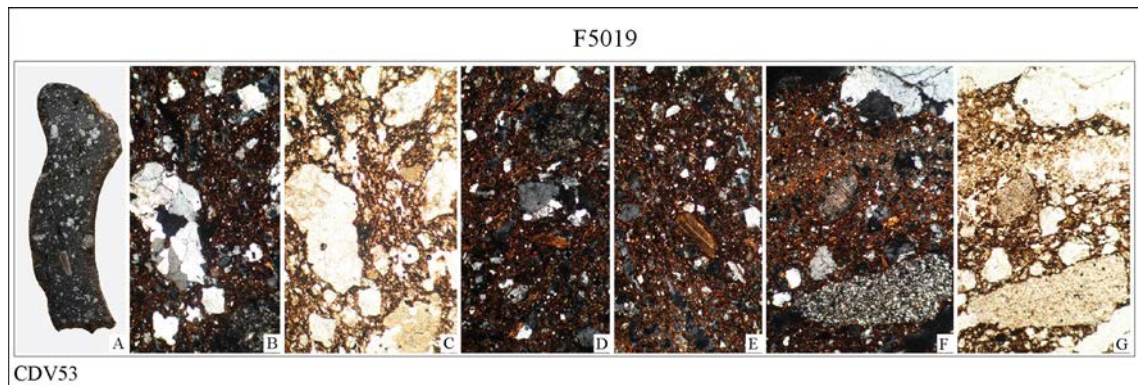


Fig. 469 : aspect de la pâte macroscopiquement (A) et en lame mince (B, D, E et F en LPA), (C et G en LPNA), Gr x32 © H. Morzadec

Le matériau provient de l'utilisation des argiles de colluvion issues de l'altération du substrat schisto-gréseux.

F5032 (fig. 470)

Trois échantillons ont été analysés dans cette structure. En section sciée, ils diffèrent à la fois par leur teinte que par leur granulométrie. L'échantillon CDV89 possède une pâte gris-noire avec un dégraissant hétérogène à contours arrondis. Les deux autres échantillons ont une pâte plus homogène avec un dégraissant plus fin. Les teintes de la pâte varient du brun-beige au beige clair. En ce qui concerne le dégraissant, deux groupes se distinguent de part leur composition. L'échantillon CDV89 a un dégraissant constitué de quartz dominant, de rares feldspaths, de la biotite altérée et des éléments plus grossiers de roche schisto-gréseuse. Les deux autres échantillons (CDV90 et CDV109) ont un dégraissant où domine les plagioclases altérés en petits cristaux sub-automorphes parfois zonés et un peu de quartz. Les matériaux de l'échantillon CDV89 proviennent de l'utilisation des argiles de colluvion issues de l'altération du substrat schisto-gréseux tandis que ceux des échantillons CDV90 et CDV109 proviennent de l'utilisation des argiles d'altération de la micro-diorite.

F5059 (fig. 471)

Cinq échantillons ont été analysés dans cette structure. La teinte des pâtes varie du brun au brun-noir et la granulométrie est hétérogène. Les contours des grains sont arrondis aussi bien pour les éléments grossiers que pour la phase fine du dégraissant. L'ensemble des échantillons présentent une composition minéralogique similaire, composé de quartz, de feldspaths plagioclases altérés, parfois zonés et sub-automorphes. Associés à ces éléments dominants on trouve quelques biotites altérées, des oxydes et des fragments de roches à composition de micro-diorite (fig. 471, CDV98), de grès ou à texture micro-granitique (fig. 471, CDV102) avec des phénocristaux de quartz.

Le caractère roulé des grains du dégraissant indique que les matériaux de ces échantillons proviennent de l'utilisation des altérites argilo-sableuses remaniées. Ces altérites remaniées contiennent des fragments des roches constituant le substrat local.

F5061 (fig. 472)

L'échantillon CDV157 possède une pâte de teinte homogène brune (fig. 472, A). Le dégraissant est de dimensions assez homogènes avec de rares grains plus grossiers. Le dégraissant est constitué de quartz et de feldspaths plagioclases altérés en petits cristaux sub-automorphes. Dans la matrice, on note la présence de fragments de matière organique carbonisée (fig. 472, E) et des fragments de micro-diorite (fig. 472, D).

Les matériaux de cet échantillon proviennent de l'utilisation des argiles d'altération de la micro-diorite.

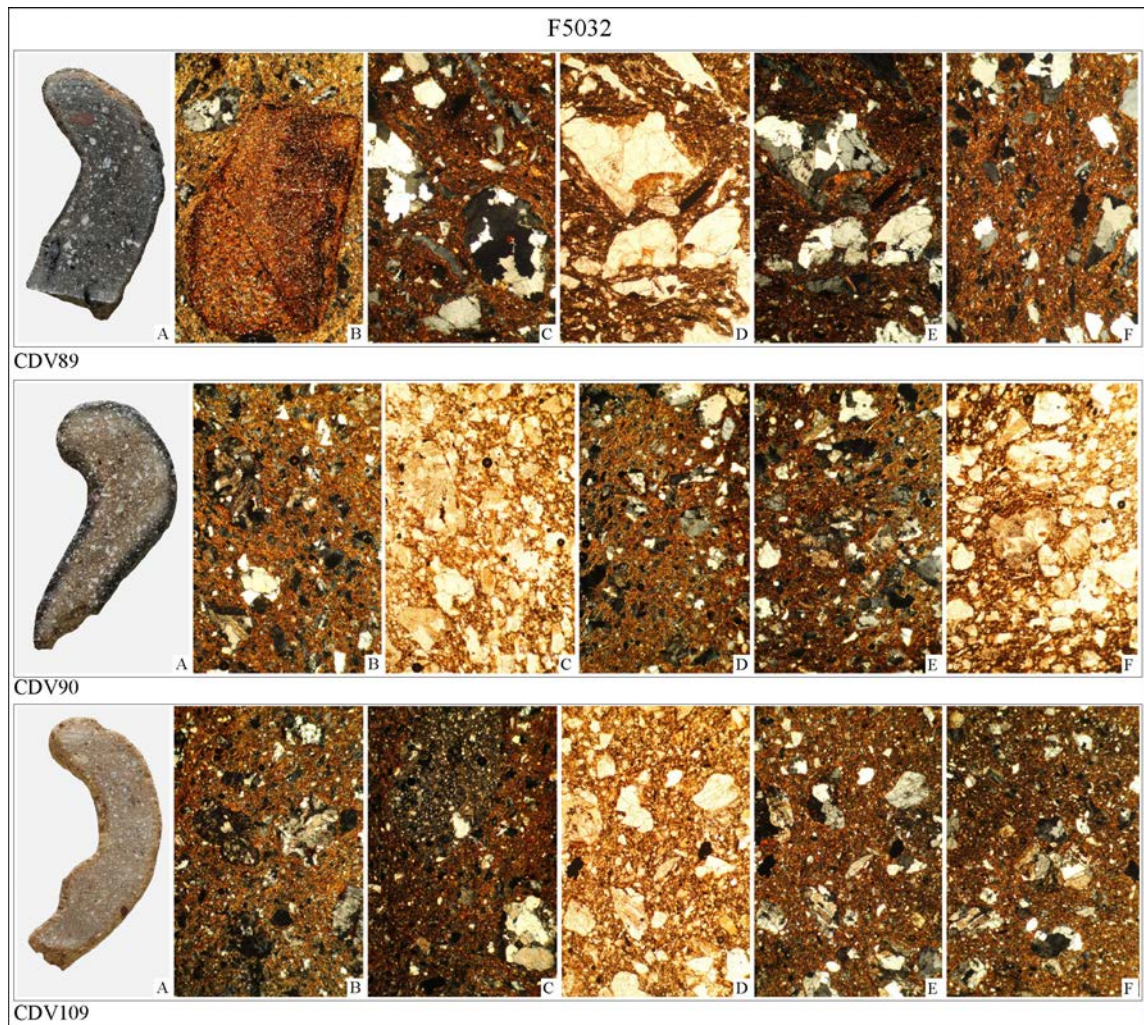


Fig. 470 : aspect de la pâte macroscopiquement (A) et en lame mince (en LPA et en LPNA), Gr x32 © H. Morzadec

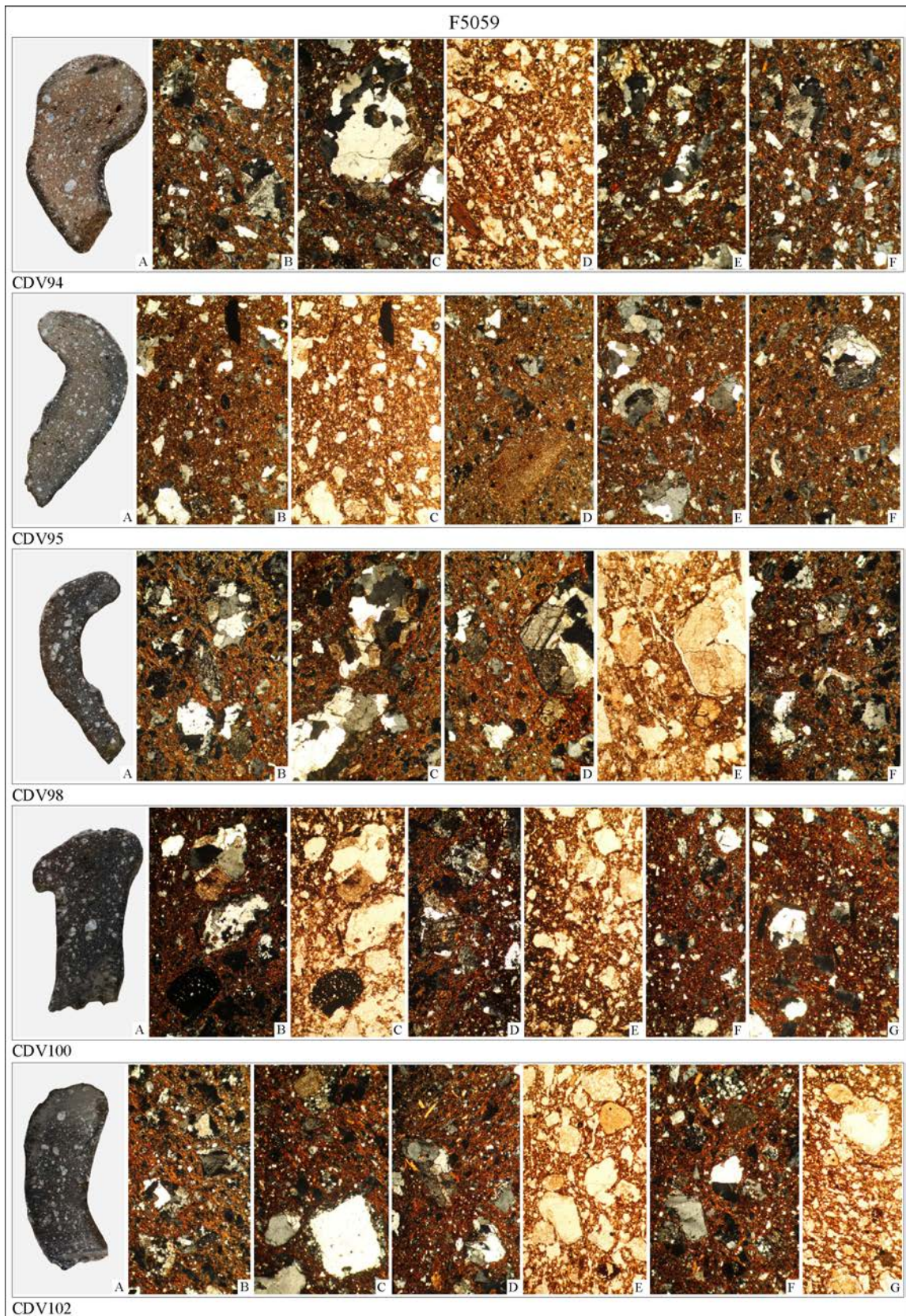


Fig. 471 : aspect de la pâte macroscopiquement (A) et en lame mince (en LPA et en LPNA), Gr x32 © H. Morzadec

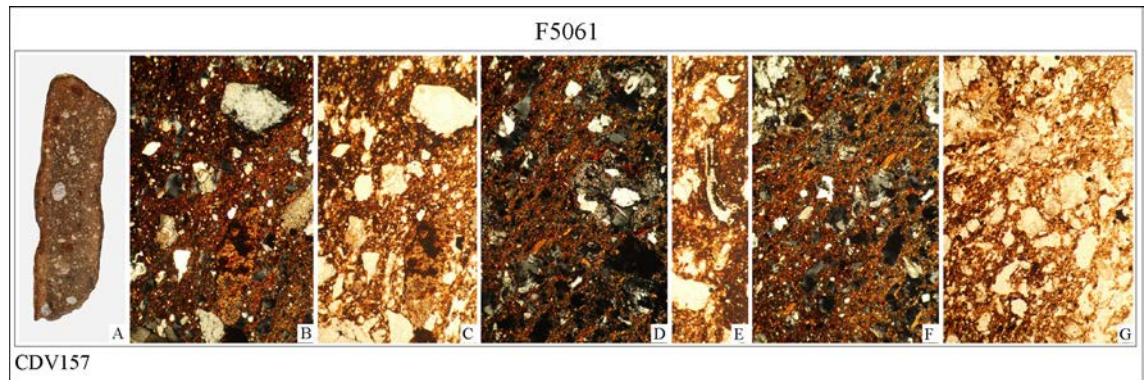


Fig. 472 : aspect de la pâte macroscopiquement (A) et en lame mince (B, D et F en LPA et C, E et G en LPNA), Gr x32 © H. Morzadec

F5083 (fig. 473)

Les deux échantillons analysés ont une pâte de teinte brun-orangé (fig. 473, A) avec un dégraissant fin homogène pour l'échantillon CDV_{I70} et hétérogène avec de gros éléments pour l'échantillon CDV_{I78}. Dans les deux cas les grains ont des contours arrondis. Le dégraissant est constitué de quartz et de feldspaths plagioclases altérés issu de la micro-diorite, de petites biotites noires altérées (fig. 473, CDV_{I70}, D) et de quelques oxydes. Les matériaux de ces échantillons proviennent de l'utilisation des argiles d'altération de la micro-diorite.

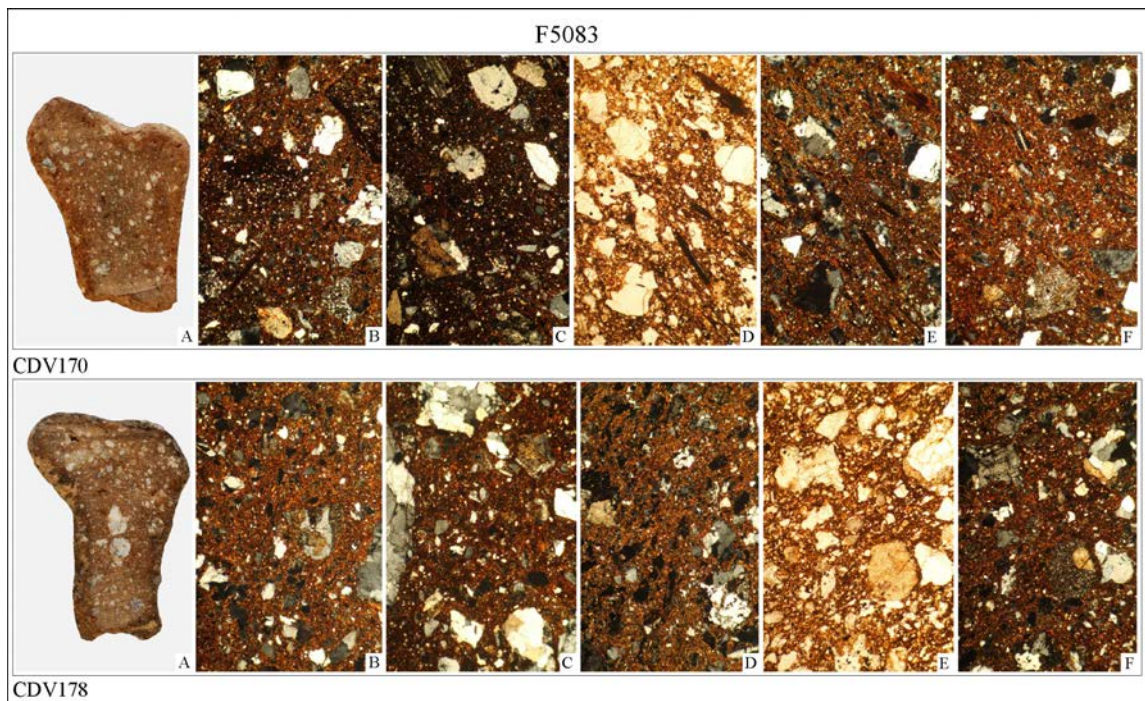


Fig. 473 : aspect de la pâte macroscopiquement (A) et en lame mince (en LPA et en LPNA), Gr x32 © H. Morzadec

F5088 (fig. 475)

Les quatre échantillons présentent des aspects macroscopiques très différents au niveau de la teinte des pâtes allant du noir (fig. 475, CDV61, A) au brun orangé (fig. 475, CDV59, A). L'échantillon CDV68 (fig. 475, CDV68, A et fig. 474) présente un gradient allant du brun orangé en surface extérieur au gris beige en interne. Au niveau du repli de pâte constituant le bord, on observe des résidus de matière carbonée (fig. 474). Ce gradient est le résultat de conditions de cuisson mal contrôlées aussi bien au niveau de la température que de l'atmosphère.



Fig. 474 : CDV68, détail du repli de pâte pour la constitution du bord, Gr. X 10 © H. Morzadec

Au niveau du dégraissant, la composition minéralogique est similaire pour les quatre échantillons avec du quartz, des feldspaths plagioclases altérés, de rare biotites altérés, des oxydes et quelques éléments de micro-diorite. Les matériaux de ces échantillons proviennent de l'utilisation des argiles d'altération de la micro-diorite.

F5097 (fig. 476)

L'échantillon CDV179 a une pâte brune avec un dégraissant grossier et hétérogène. Les grains les plus grossiers présentent des contours arrondis. Le dégraissant est constitué de quartz, de feldspaths plagioclases altérés sub-automorphes parfois zonés. Les éléments grossiers ont une composition de micro-diorite (fig. 476, CDV179, F) et de roche à texture micro-granitique à phénocristaux de quartz (fig. 476, CDV179, B et C).

Le caractère roulé des grains du dégraissant indique que les matériaux de ces échantillons proviennent de l'utilisation des altérites argilo-sableuses remaniées. Ces altérites remaniées contiennent des fragments des roches constituant le substrat local.

F5092 (fig. 477)

Les cinq échantillons montrent d'importantes variations de teinte liées à des conditions de cuissons très différentes (fig. 477, A). Les échantillons CDV64 et CDV73 ont une teinte noire liée à une cuisson en atmosphère réductrice. La matrice contient de manière diffuse une grande quantité de carbone. Les échantillons CDV79 et CDV84 de teinte brun gris présente encore un peu de matière organique piégée dans la matrice (fig. 477, CDV84, D). L'échantillon CDV49 a subi une atmosphère de cuisson oxydante lui donnant une teinte rouge. Au niveau de la granulométrie les échantillons sont très hétérogènes avec une dominante fine et des éléments plus grossiers à l'exception de l'échantillon CDV73 (fig. 477). Le dégraissant est composé de quartz, de feldspaths plagioclases altérés, de rares biotites altérés, d'oxydes et d'éléments de micro-diorite.

Les matériaux de ces échantillons proviennent de l'utilisation des argiles d'altération de la micro-diorite.

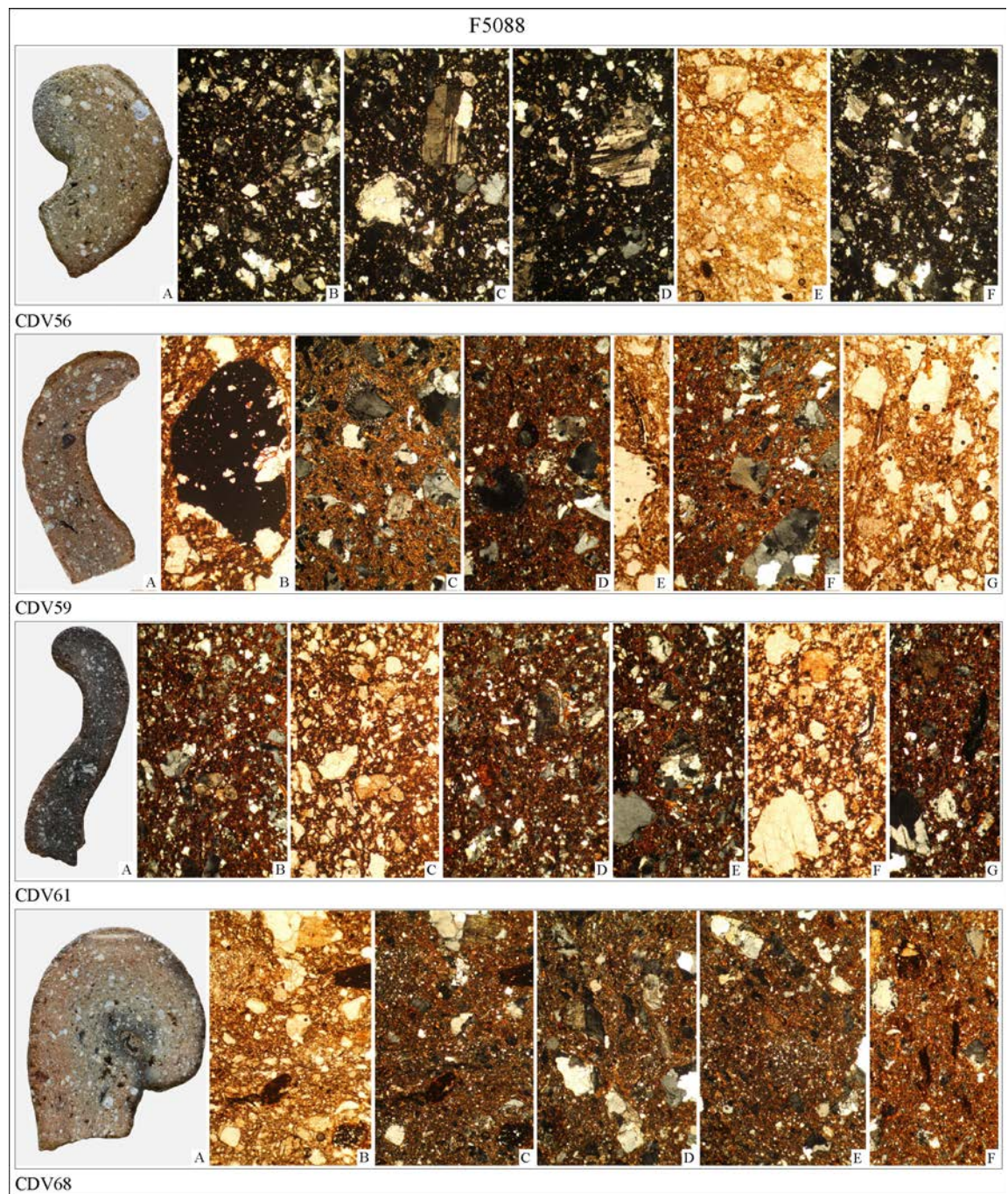


Fig. 475 : aspect de la pâte macroscopiquement (A) et en lame mince (en LPA et en LPNA), Gr x32 © H. Morzadec

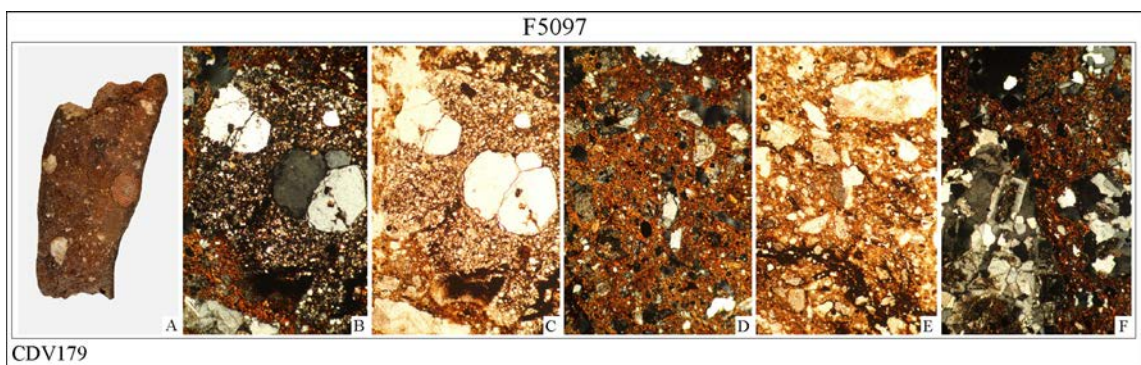


Fig. 476 : aspect de la pâte macroscopiquement (A) et en lame mince (en LPA et en LPNA), Gr x32 © H. Morzadec

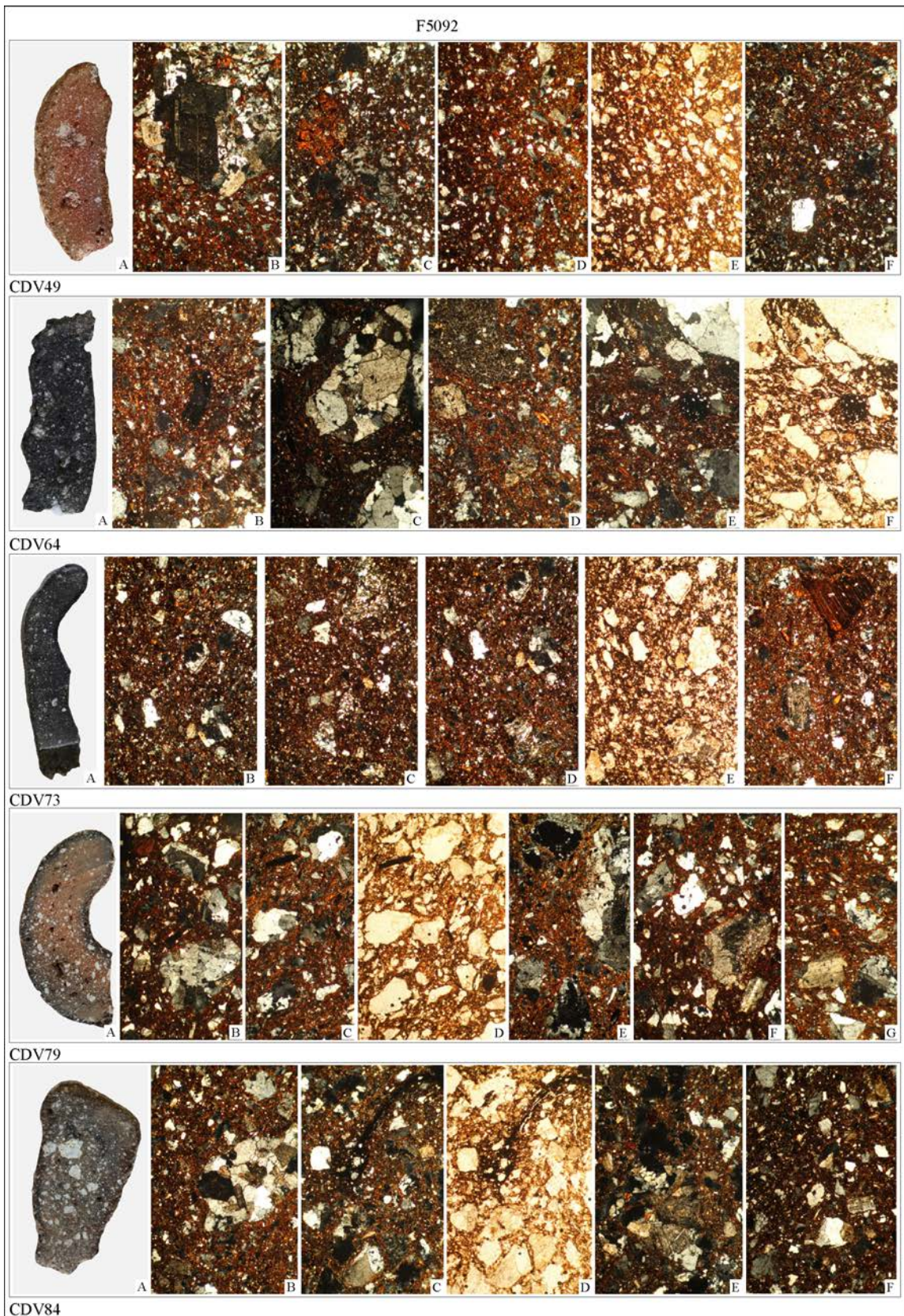


Fig. 477 : aspect de la pâte macroscopiquement (A) et en lame mince (en LPA et en LPNA), Gr x32 © H. Morzadec

F5098 (fig. 478)

L'échantillon CDV186 (fig. 478) de teinte brun-rouge a une texture très hétérogène avec de nombreux vides correspondant probablement à de la matière organique disparue. Le dégraissant est hétérogène avec des grains grossiers à contours arrondis.

L'échantillon CDV188, de teinte brun-beige est homogène et le dégraissant est fin avec quelques éléments à contours arrondis.

Le dégraissant est constitué pour les deux échantillons de quartz, de feldspaths plagioclases altérés, de quelques biotites altérées et d'oxyde. Les éléments les plus grossiers correspondent à des fragments de micro-diorite.

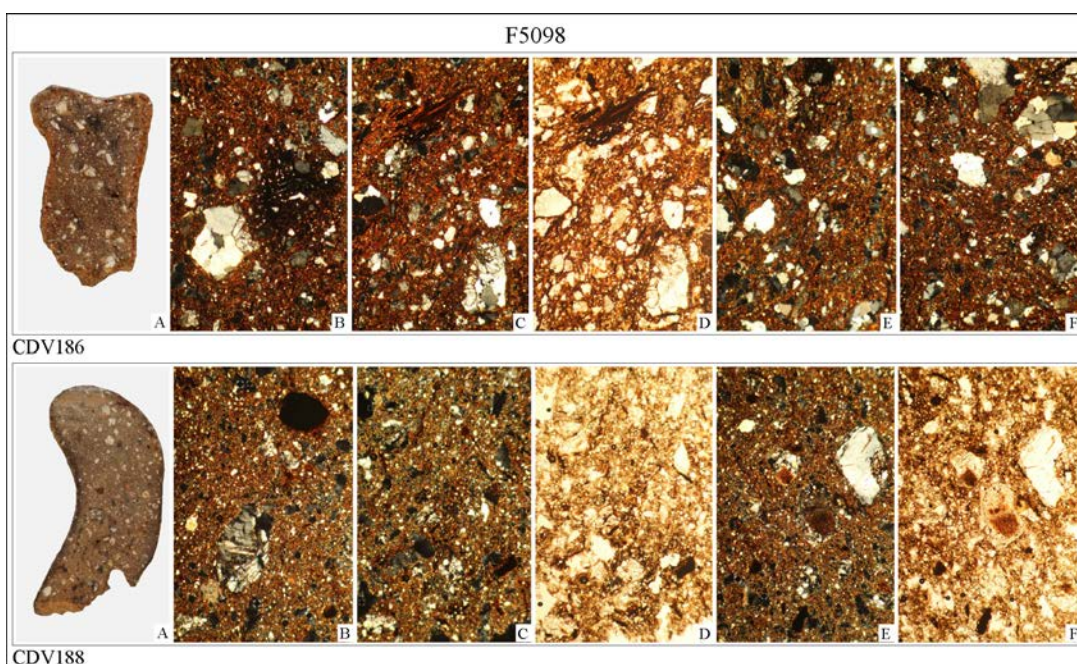


Fig. 478 : aspect de la pâte macroscopiquement (A) et en lame mince (en LPA et en LPNA), Gr x32 © H. Morzadec

Les matériaux de ces échantillons proviennent de l'utilisation des argiles d'altération remaniées de la micro-diorite.

F5099 (fig. 479)

L'échantillon CDV181 (fig. 479), de teinte brun-beige est très hétérogène avec un dégraissant grossier constitué de fragments de micro-diorite (fig. 479, CDV181, B et C). Le reste du dégraissant est issu de l'altération de cette roche (quartz, plagioclases, biotite et oxyde).

L'échantillon CDV183 (fig. 479), de teinte brun-orangé est homogène avec un dégraissant fin constitué de grains à contours arrondis. Le dégraissant est constitué de quartz dominant associé à des feldspaths plagioclases altérés parfois zonés

La différence de composition minéralogique soulignée par les proportions relative de quartz et de plagioclase permet d'envisager deux zones d'approvisionnement en argile qui toutefois peuvent être très proche l'une de l'autre.

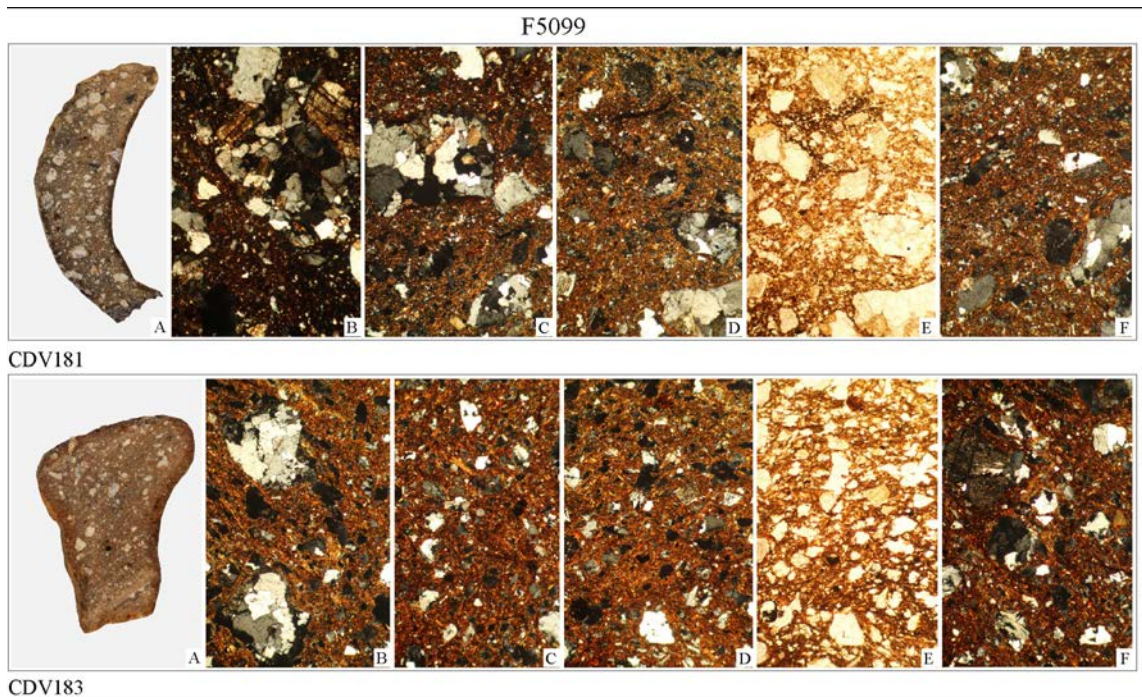


Fig. 479 : aspect de la pâte macroscopiquement (A) et en lame mince (en LPA et en LPNA), Gr x32 © H. Morzadec

Les matériaux de ces échantillons proviennent de l'utilisation des argiles d'altération remaniées de la micro-diorite et des niveaux schisto-gréseux briovérien.

F5106 (fig. 480)

L'échantillon CDV67 (fig. 480), de teinte grise liée à une cuisson en atmosphère réductrice, a un dégraissant de granulométrie hétérogène. Les grains ont une composition micro-dioritique. Le plagioclase est le minéral dominant associé à un peu de quartz, de biotite et d'oxyde. Dans la matrice, on note la présence de résidu de matière organique carbonisée.

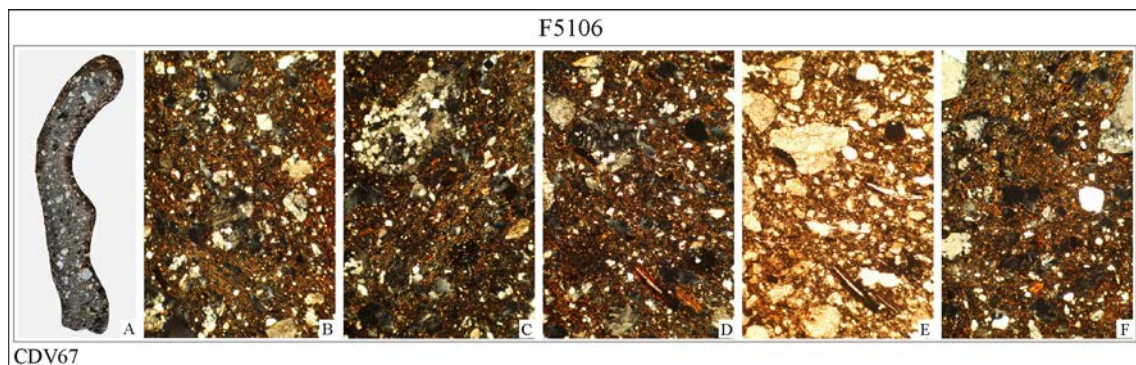


Fig. 480 : aspect de la pâte macroscopiquement (A) et en lame mince (en LPA et en LPNA), Gr x32 © H. Morzadec

Les matériaux de cet échantillon proviennent de l'utilisation des argiles d'altération remaniées de la micro-diorite.

F5107 (fig. 481)

L'échantillon CDV88 (fig. 481), de teinte brune, zoné, possède un dégraissant grossier et hétérogène (fig. 481, A). Les grains ont un contour arrondi. Le dégraissant est constitué de fragments de micro-diorite (fig. 481, B et E) (quartz, feldspaths plagioclases zonés altérés, biotite). La matrice contient des résidus de matière organique.

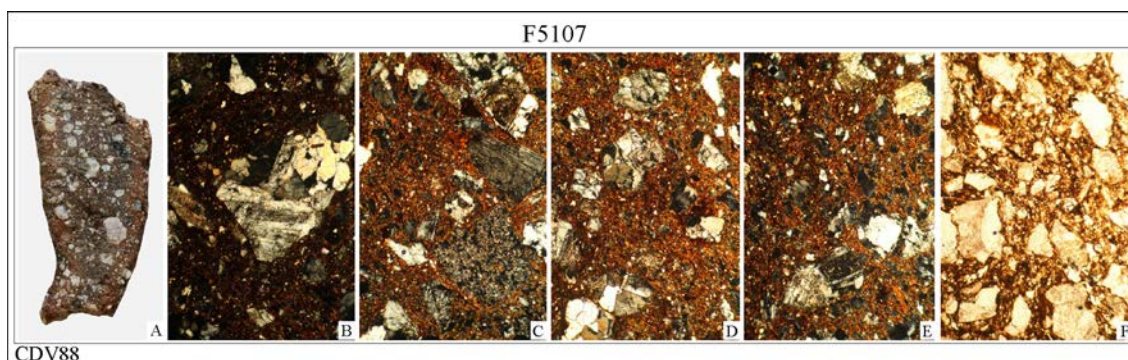


Fig. 481 : aspect de la pâte macroscopiquement (A) et en lame mince (en LPA et en LPNA), Gr x32 © H. Morzadec

Les matériaux de cet échantillon proviennent de l'utilisation des argiles d'altération de la micro-diorite.

F5110 (fig. 482)

Les deux échantillons (fig. 482, A) ont des teintes brunes à noires. La matrice contient des résidus de matière organique. La granulométrie du dégraissant est hétérogène. Les grains ont un contour arrondi. Le dégraissant est issu de l'altération de la micro-diorite.

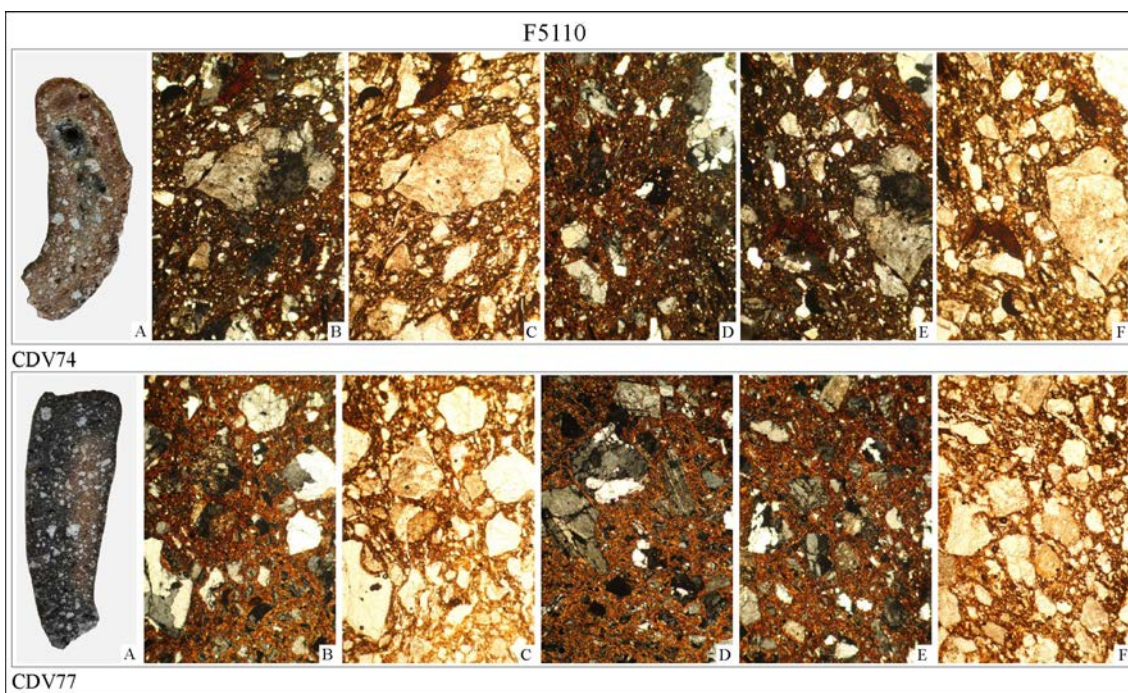


Fig. 482 : aspect de la pâte macroscopiquement (A) et en lame mince (en LPA et en LPNA), Gr x32 © H. Morzadec

Les matériaux de ces échantillons proviennent de l'utilisation des argiles d'altération remaniées de la micro-diorite.

F5166 (fig. 483)

L'échantillon CDV104 a une teinte grise-noire avec un dégraissant homogène composé de quartz, de feldspaths plagioclases altérés et de biotites. On note la présence dans la matrice d'éléments de matière organique carbonisée (fig. 483, E).

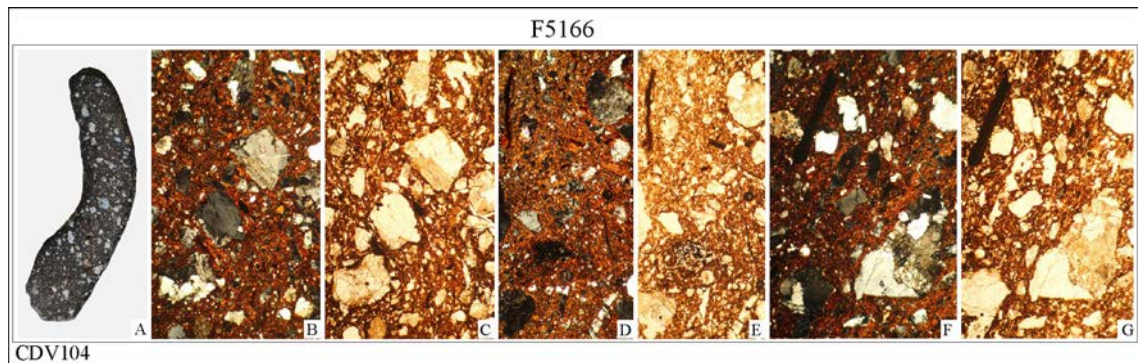


Fig. 483 : aspect de la pâte macroscopiquement (A) et en lame mince (en LPA et en LPNA), Gr x32 © H. Morzadec

Les matériaux de cet échantillon proviennent de l'utilisation des argiles d'altération de la micro-diorite.

F5167 / F5104 (fig. 484)

Les deux échantillons CDV₅₀ et CDV₅₂ ont une pâte de teinte brun-noire contenant un dégraissant de granulométrie hétérogène (fig. 484, A) à contours plus ou moins arrondis. Le dégraissant contient du quartz, des feldspaths plagioclases altérés et de la biotite (fig. 484, CDV₅₀, F et G). Les éléments grossiers correspondent à des fragments de micro-diorite et de roche à texture de micro-granite à phénocristaux de quartz.

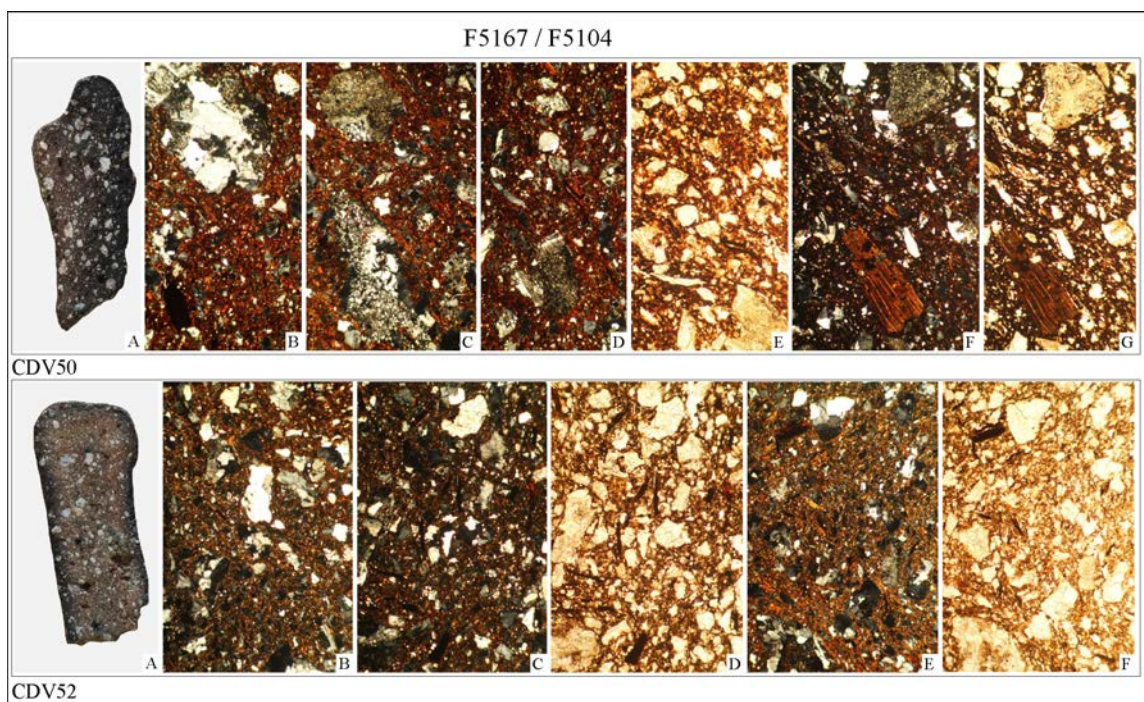


Fig. 484 : aspect de la pâte macroscopiquement (A) et en lame mince (en LPA et en LPNA), Gr x32 © H. Morzadec

Les matériaux de ces échantillons proviennent de l'utilisation des altérites argilo-sableuses remaniées. Ces altérites remaniées contiennent des fragments des roches constituant le substrat local.

F5167 (fig. 485)

L'échantillon CDV₉₂ a une teinte brun-gris avec un dégraissant hétérogène et des grains à contours arrondis. L'échantillon CDV₉₃ a une teinte grise liée à une cuisson en atmosphère réductrice. L'opacité de la matrice en LPA est liée à un phénomène de sur-cuisson.

Dans les deux échantillons, le dégraissant est constitué de quartz, de

feldspaths plagioclases altérés, de rares biotites altérées et d'oxydes.

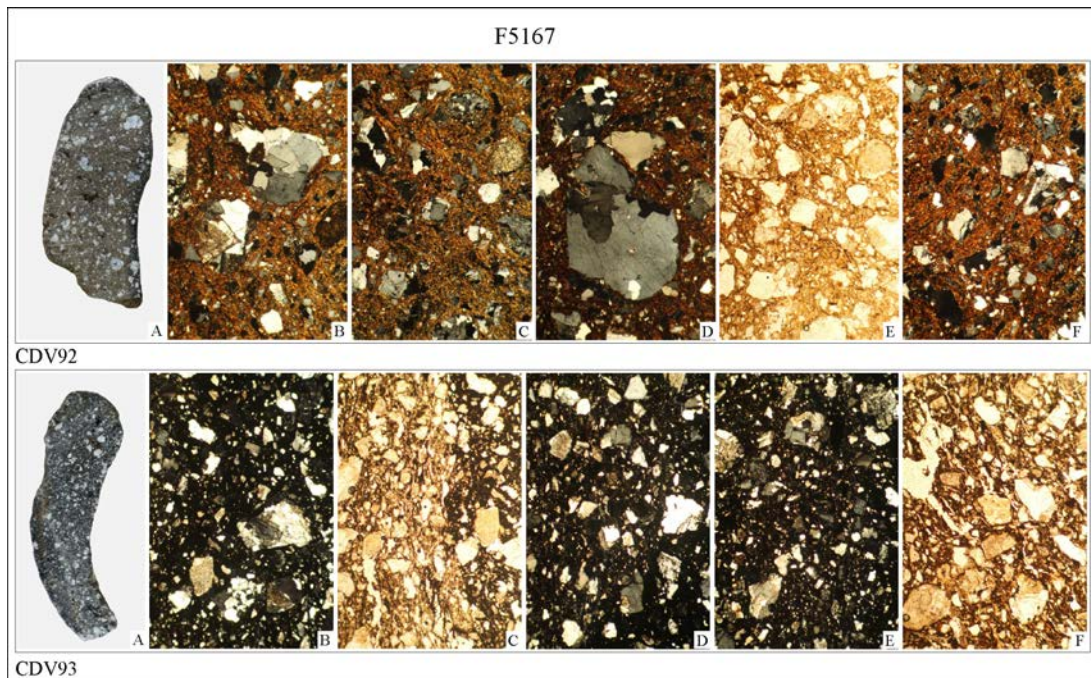


Fig. 485 : aspect de la pâte macroscopiquement (A) et en lame mince (en LPA et en LPNA), Gr x32 © H. Morzadec

Les matériaux de cet échantillon proviennent de l'utilisation des argiles d'altération de la micro-diorite.

F5190 (fig. 486)

L'échantillon CDV105 (fig. 486, A) de teinte gris-noires a un dégraissant fin avec des grains à contours arrondis (fig. 486, E et F). Les éléments grossiers correspondent à des fragments de micro-diorite (fig. 486, B) et de schiste (fig. 486, D).

Les matériaux de ces échantillons proviennent de l'utilisation des altérites argilo-sableuses remaniées.

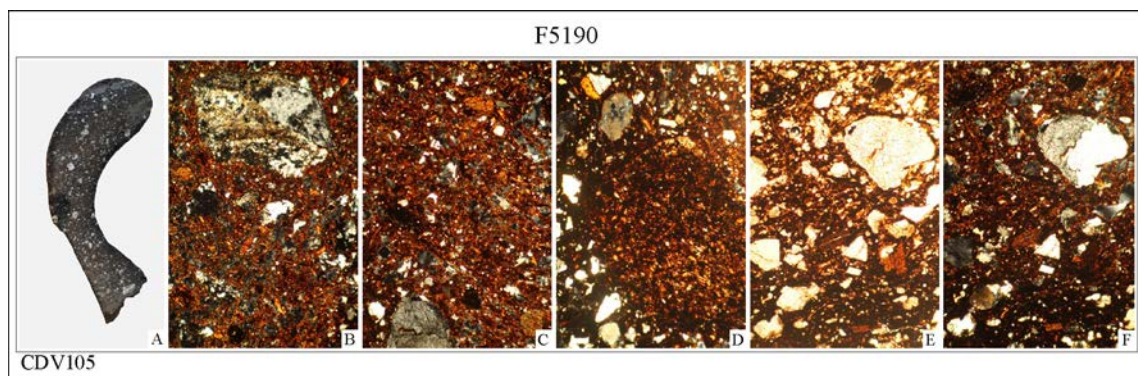


Fig. 486 : aspect de la pâte macroscopiquement (A) et en lame mince (en LPA et en LPNA), Gr x32 © H. Morzadec

F5201 / F5442 (fig. 487)

L'échantillon CDV44 (fig. 487, A) de teinte gris-noires a un dégraissant fin et homogène avec des grains à contours arrondis (fig. 487, B et C). Les éléments grossiers correspondent à des fragments de micro-diorite (fig. 487, D et E).

Les matériaux de ces échantillons proviennent de l'utilisation des altérites argilo-sableuses remaniées de la micro-diorite.

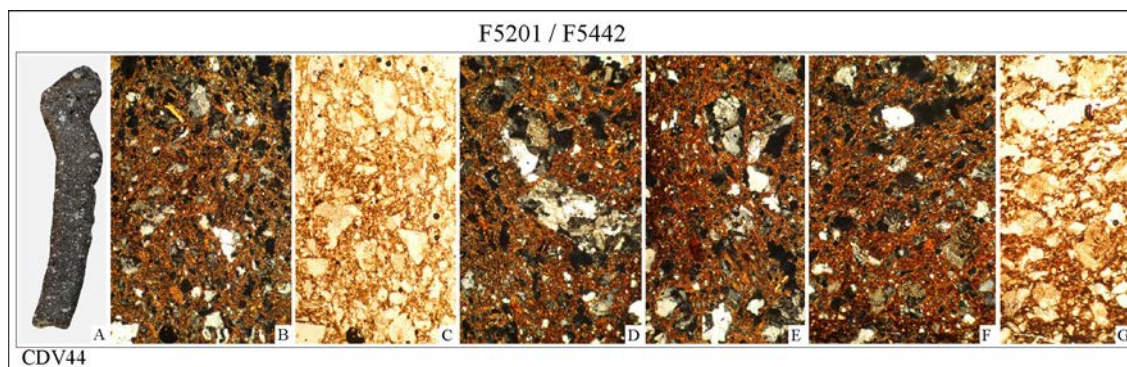


Fig. 487 : aspect de la pâte macroscopiquement (A) et en lame mince (en LPA et en LPNA), Gr x32 © H. Morzadec

F5230 (fig. 489)

L'échantillon CDV36 de teinte brune foncée a un dégraissant très hétérogène et grossier avec dans la lame mince un important fragment de micro-diorite (fig. 488, CDV36, A et D). Le reste du dégraissant est constitué de quartz, de feldspaths plagioclases altérés et de petites biotites altérées (fig. 488, CDV36, E et F). L'échantillon CDV45 (fig. 488, CDV45, A), de teinte beige grise possède un dégraissant assez fin et homogène constitué de quartz, de feldspaths plagioclases altérés et de petites biotites altérées. On observe également la présence de résidu de matière organique carbonisée (fig. 488, CDV45, A).

Les matériaux de ces deux échantillons proviennent de l'utilisation des argiles d'altération de la micro-diorite.

L'échantillon CDV48 correspond à un raté de cuisson de teinte grise. La matrice est opaque en LPA, les minéraux de la phase argileuse ne présentent plus de pléochroïsme. Le dégraissant est très fin et constitué essentiellement de quartz. Les éléments les plus grossiers ont une texture de roche micro-granitique à phénocristaux de quartz. Cet échantillon a une pâte similaire aux productions gallo-romaines (*cf. infra*).

Le matériau utilisé correspond au limon de plateau présent autour du site.

F5234 (fig. 488)

L'échantillon CDV21 (fig. 489, A), de teinte brun-orangée, a un dégraissant fin et homogène. Le dégraissant est d'origine micro-dioritique (fig. 489, B) et contient des feldspaths plagioclases, du quartz et des petites biotites altérées très noires.

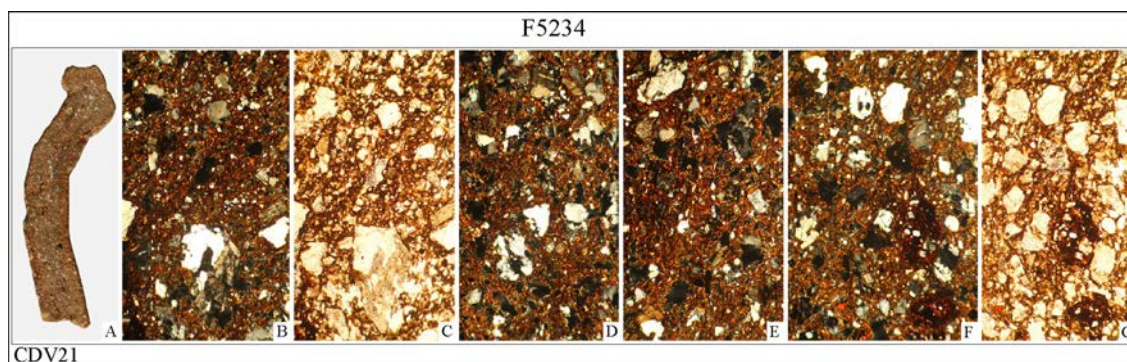


Fig. 488 : aspect de la pâte macroscopiquement (A) et en lame mince (B, D, E et F en LPA et C et G en LPNA), Gr x32 © H. Morzadec

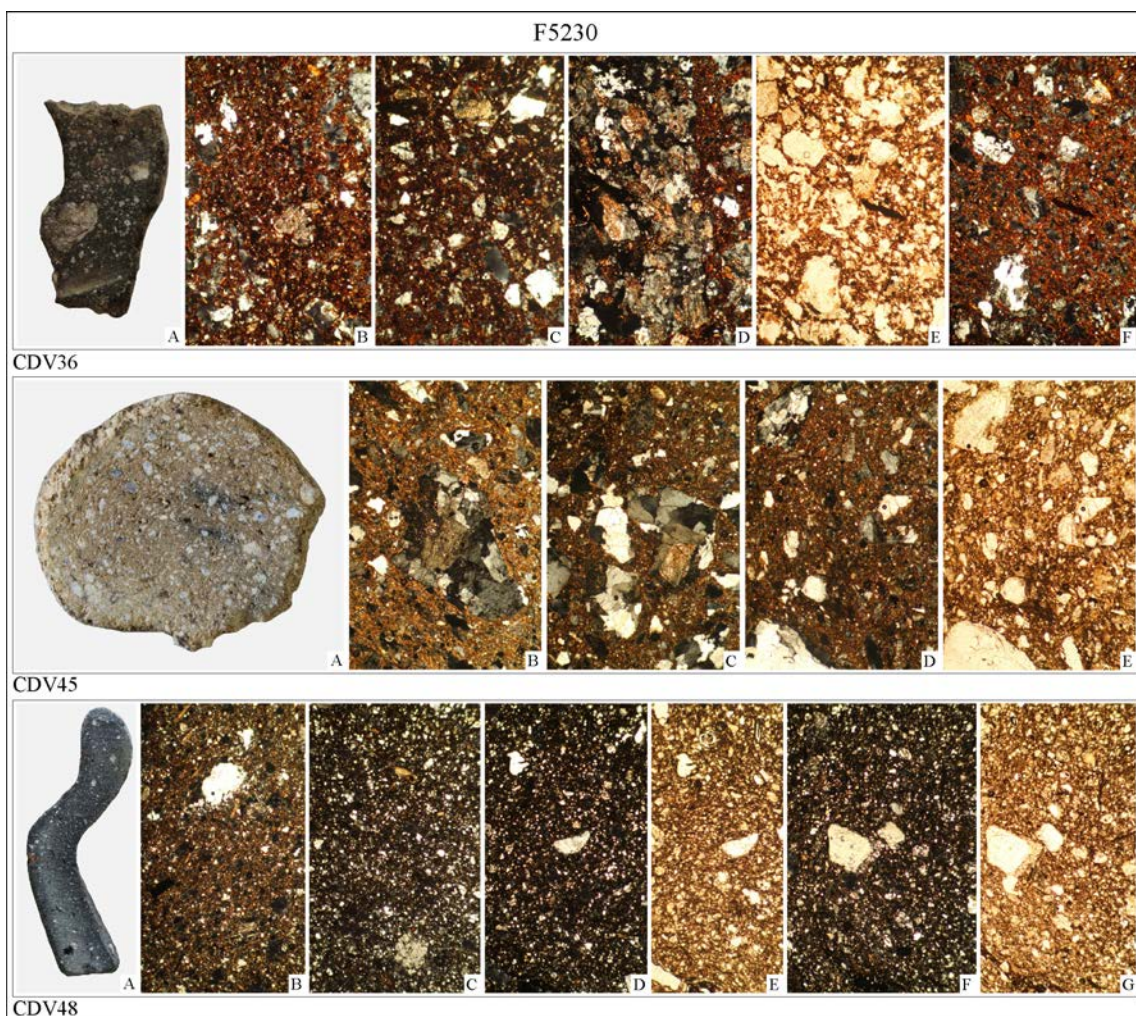


Fig. 489 : aspect de la pâte macroscopiquement (A) et en lame mince (en LPA et en LPNA), Gr x32 © H. Morzadec

F5235 (fig. 490)

L'échantillon CDV29 (fig. 490, A) présente une pâte fine, de teinte brune, très homogène avec de rares grains plus grossiers à contours arrondis. Le dégraissant est constitué de quartz, de feldspaths plagioclases et de quelques fragments de micro-diorite.

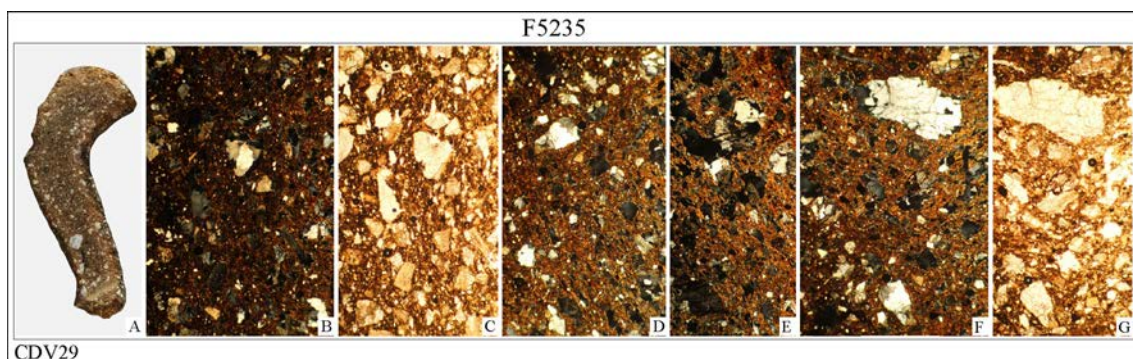


Fig. 490 : aspect de la pâte macroscopiquement (A) et en lame mince (B, D, E et F en LPA et C et G en LPNA), Gr x32 © H. Morzadec

Les matériaux de cet échantillon proviennent de l'utilisation des argiles d'altération de la micro-diorite.

F5240 (fig. 491)

L'échantillon CDV144 (fig. 491, A) de teinte brun-rouge présente une texture hétérogène. La phase grossière est constituée de fragments de micro-diorite altérée (fig. 491, B, C et D). La phase fine est constituée des mêmes minéraux dissociés (quartz, plagioclases et biotites). Le contour des grains est légèrement arrondi indiquant un faible colluvionnement des matériaux.

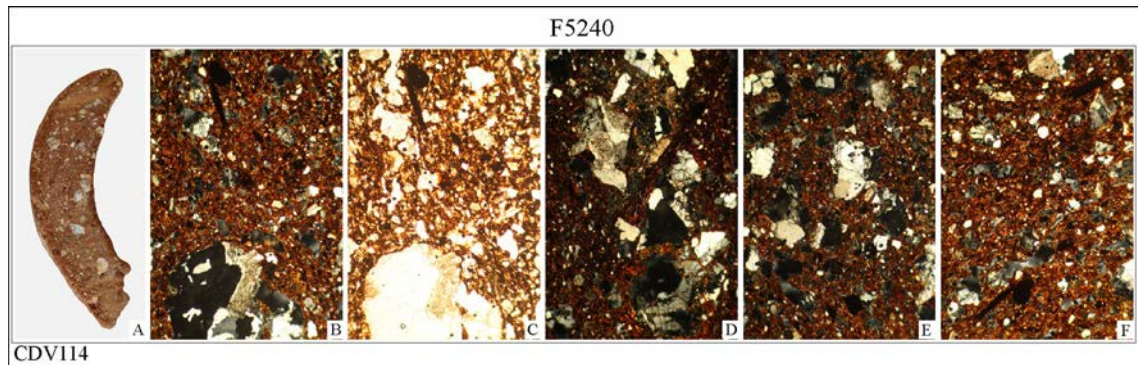


Fig. 491 : aspect de la pâte macroscopiquement (A) et en lame mince (B, D, E et F en LPA et C en LPNA), Gr x32 © H. Morzadec

Les matériaux de cet échantillon proviennent de l'utilisation des argiles d'altération de la micro-diorite.

F5236 (fig. 493)

Les trois échantillons analysés ont été fabriqués avec les argiles d'altération de la micro-diorite (fig. 493, CDV41, C, CDV42, D).

Macroscopiquement la granulométrie du dégraissant est homogène.

Par contre au niveau de la matrice argileuse, on observe une mauvaise homogénéisation de la pâte et en particulier des boulettes d'argiles indurées (fig. 493, CDV35, B, CDV42, B et C). L'échantillon CDV41 (fig. 493, CDV41, A et D) présente des zones de concentration de matière organique liées à un mauvais contrôle de la cuisson.

F5274 (fig. 492)

L'échantillon CDV115, (fig. 492, A), de teinte brune a un dégraissant de granulométrie hétérogène dont les éléments grossiers ont des contours arrondis. La minéralogie est à quartz dominant avec des plagioclases zonés et de petites biotites altérées. Dans cet échantillon les grains de quartz présentent de nombreuses micro-craquelures (fig. 494) liées à une température de cuisson très élevée.

Les matériaux de ces échantillons proviennent de l'utilisation des altérites argilo-sableuses remaniées.

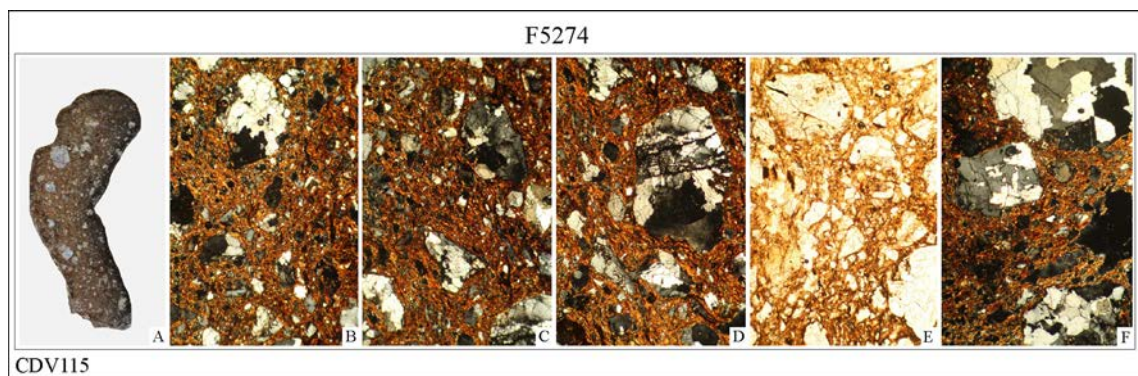


Fig. 492 : aspect de la pâte macroscopiquement (A) et en lame mince (B, C, D et F en LPA et E en LPNA), Gr x32 © H. Morzadec

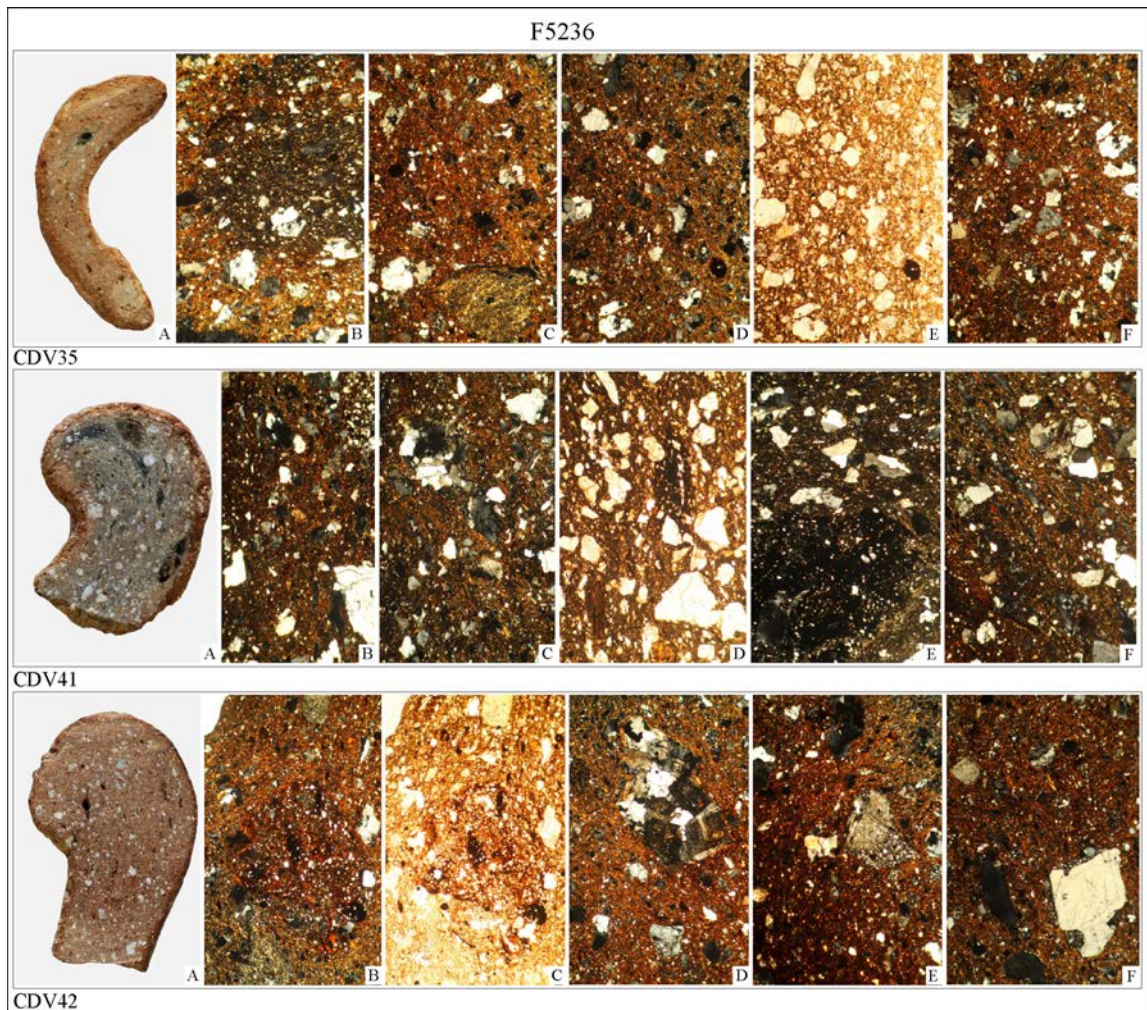


Fig. 493 : aspect de la pâte macroscopiquement (A) et en lame mince (en LPA et en LPNA), Gr x32 © H. Morzadec

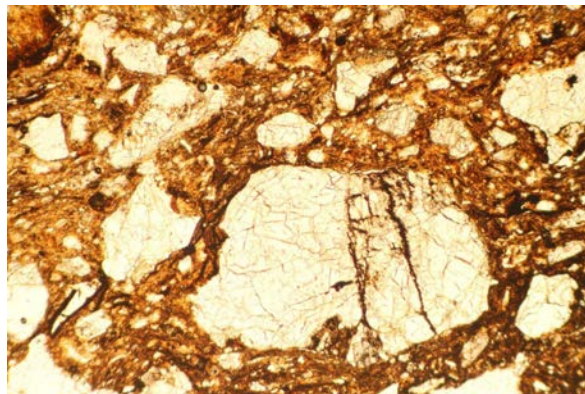


Fig. 494 : échantillon CDV115 craquelures dans des cristaux de quartz. Gr x50 © H. Morzadec

F5275 (fig. 495)

Ces deux échantillons de teinte brun-noire ont un dégraissant grossier hétérogène.

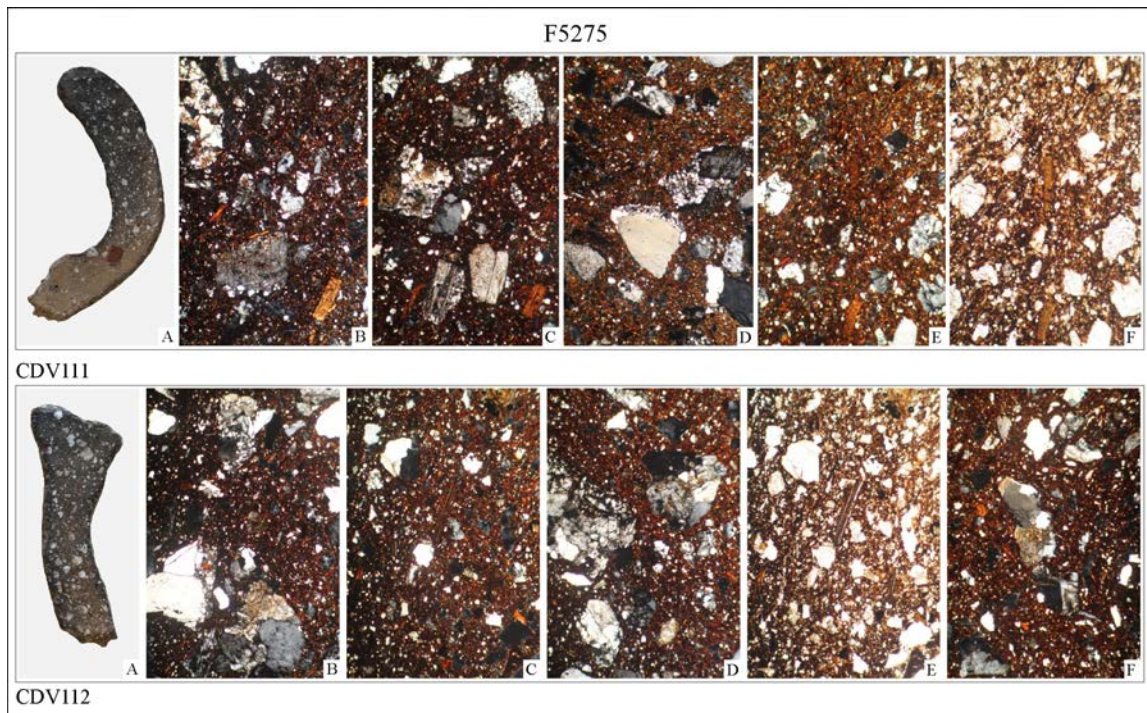


Fig. 495 : aspect de la pâte macroscopiquement (A) et en lame mince (en LPA et en LPNA), Gr x32 © H. Morzadec

Il est composé de feldspaths plagioclases zonés, de quartz, de biotite, de fragments de micro-diorite et de roche à texture micro-granitique à phénocristaux de quartz et de feldspath.

F5295 (fig. 496)

L'échantillon CDV116 (fig. 496, A) présente une pâte zonée brun-grise au cœur, brun-orangée. Le dégraissant est fin et homogène composé de quartz, de feldspaths plagioclases et de biotite. Dans la section sciée, on observe un gros vide (fig. 496, A) lié à un défaut de fabrication ou à une anomalie au cours de la cuisson avec la formation et le piégeage d'une bulle de gaz dans la pâte.

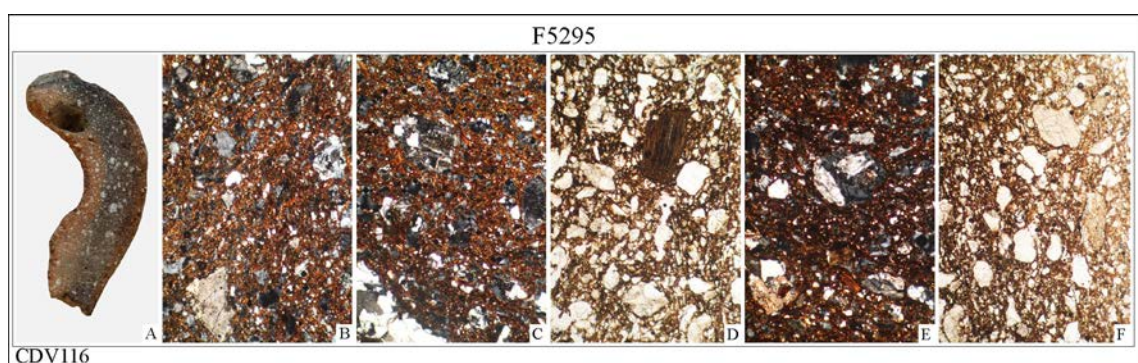


Fig. 496 : aspect de la pâte macroscopiquement (A) et en lame mince (B, C et E en LPA et D et F en LPNA), Gr x32 © H. Morzadec

Les matériaux de cet échantillon proviennent de l'utilisation des argiles d'altération de la micro-diorite.

F5330 (fig. 497)

L'échantillon CDV121 (fig. 497, A), de teinte brune, a une pâte hétérogène souligné par des zones mal homogénéisées dans la matrice (fig. 497, B). Elle contient des résidus de matière organique carbonisée (fig. 497, D) et le dégraissant est constitué de fragments de micro-diorite (fig. 497, C et F), de nodules de précipitation d'oxyde (fig. 497, G).

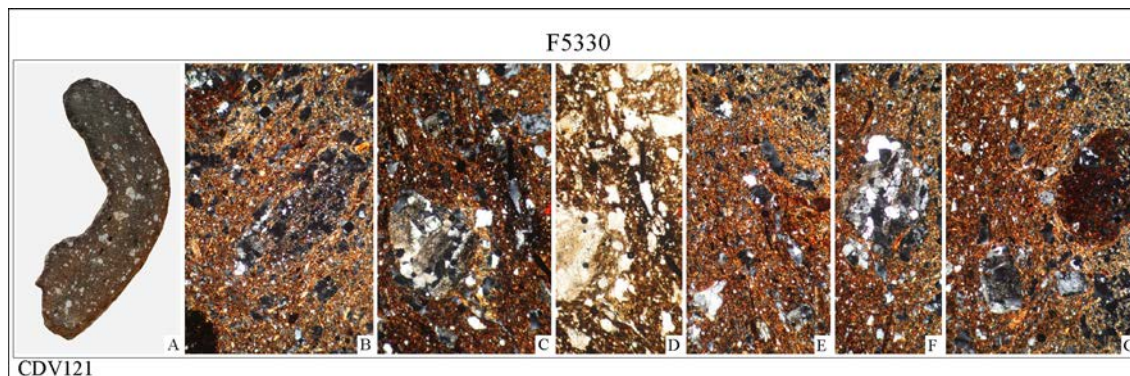


Fig. 497 : aspect de la pâte macroscopiquement (A) et en lame mince (B, C, E, F et G en LPA et D en LPNA), Gr x32 © H. Morzadec

Les matériaux de cet échantillon proviennent de l'utilisation des argiles d'altération de la micro-diorite.

F5329 (fig. 498)

Les quatre échantillons analysés ont une pâte hétérogène avec des éléments grossiers de dégraissant à contours arrondis. Ils ont des teintes variant du brun-orangé au brun-gris. La matrice contient des éléments de matière organique carbonisée (fig. 498, CDV127, D et E, CDV131, D). Le dégraissant contient des éléments de micro-diorite (fig. 498, CDV127, B, CDV131, F), des fragments de grès ferrugineux (fig. 498, CDV131, E), du quartz, des feldspaths plagioclases et de la biotite.

Les matériaux de ces échantillons proviennent de l'utilisation des altérites argilo-sableuses remaniées.

F5335 (fig. 499)

Les quatre échantillons étudiés présente des aspects très différents aussi bien au niveau des teintes que de la granulométrie du dégraissant. Les échantillons CDV12 et CDV38 sont zonés (fig. 499) avec un cœur gris contenant des résidus de matière organique carbonisée et une périphérie beige. L'échantillon CDV28 est de teinte brune avec une légère auréole plus orangée en périphérie. En fin l'échantillon CDV39 est de teinte beige orangée correspondant à une cuisson en condition oxydante.

En ce qui concerne la granulométrie, les grains ont des contours plus ou moins arrondis, l'échantillon CDV38 a un dégraissant hétérogène et grossier alors que les trois autres ont un dégraissant fin et homogène. Au niveau de la minéralogie, elle est comparable pour les quatre échantillons et se caractérise par la présence de quartz, de feldspaths plagioclases altérés, de rares biotites et oxydes. Les éléments les plus grossiers ont des compositions de micro-diorite, de roche à texture micro-granitique à phénocristaux de quartz (fig. 499, CDV12, B, CDV38, F, CDV39, C). Dans l'échantillon CDV28, on note la présence de quelques fragments de chamotte (fig. 499, CDV28, C, E et F). Les matériaux de ces échantillons proviennent de l'utilisation des altérites argilo-sableuses remaniées.

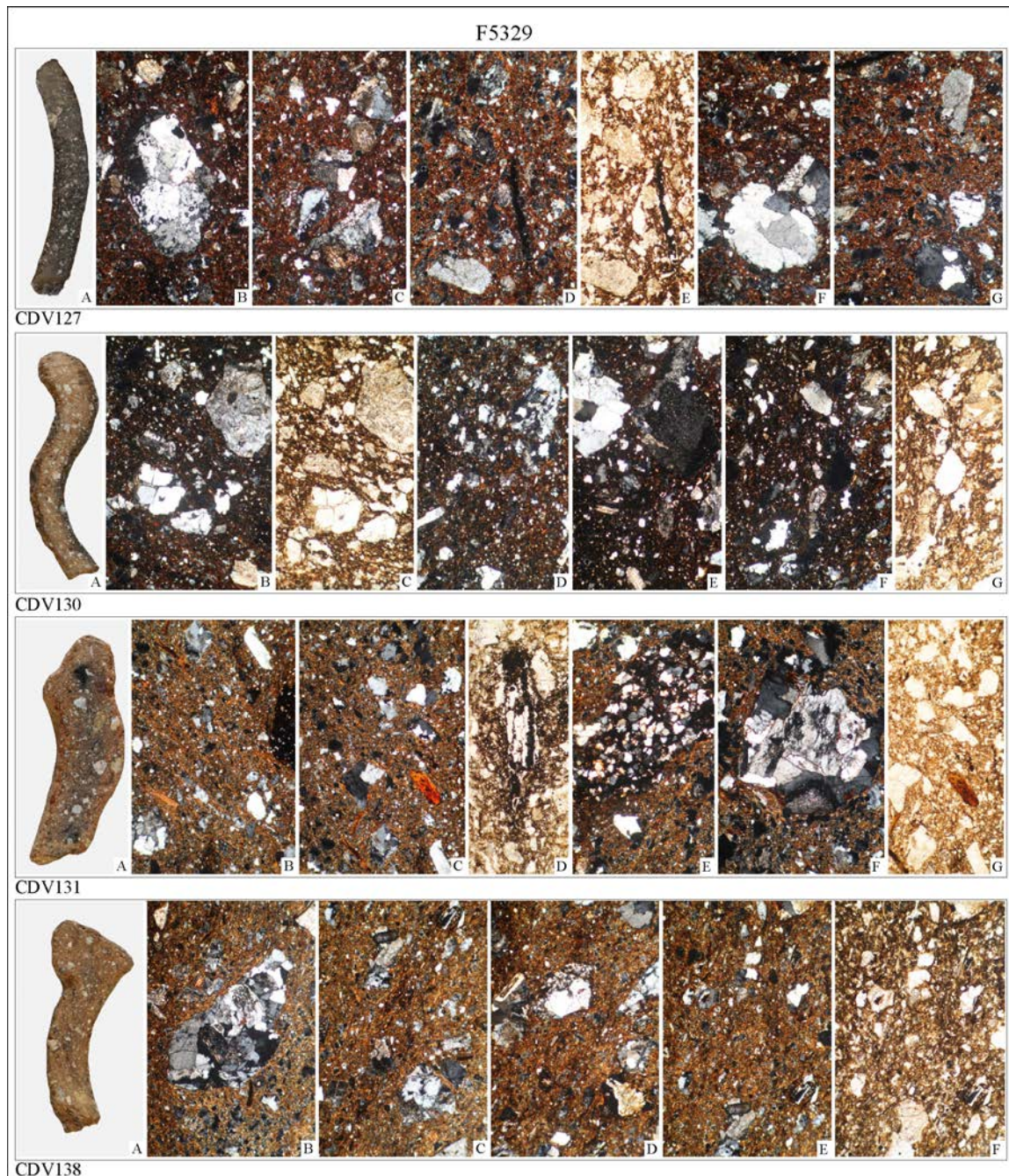


Fig. 498 : aspect de la pâte macroscopiquement (A) et en lame mince (en LPA et en LPNA), Gr x32 © H. Morzadec

Iso2023 (fig. 500)

L'échantillon CDV164 (fig. 500, A), de teinte brune, possède un dégraissant hétérogène dont les grains les plus grossiers ont un contour arrondi. Le dégraissant est constitué de quartz (fig. 500, B), de feldspaths plagioclases et de biotites altérées (fig. 500, C et D).

Les matériaux proviennent de l'utilisation d'argile issue d'altérite sablo-argileuse présente autour du site.

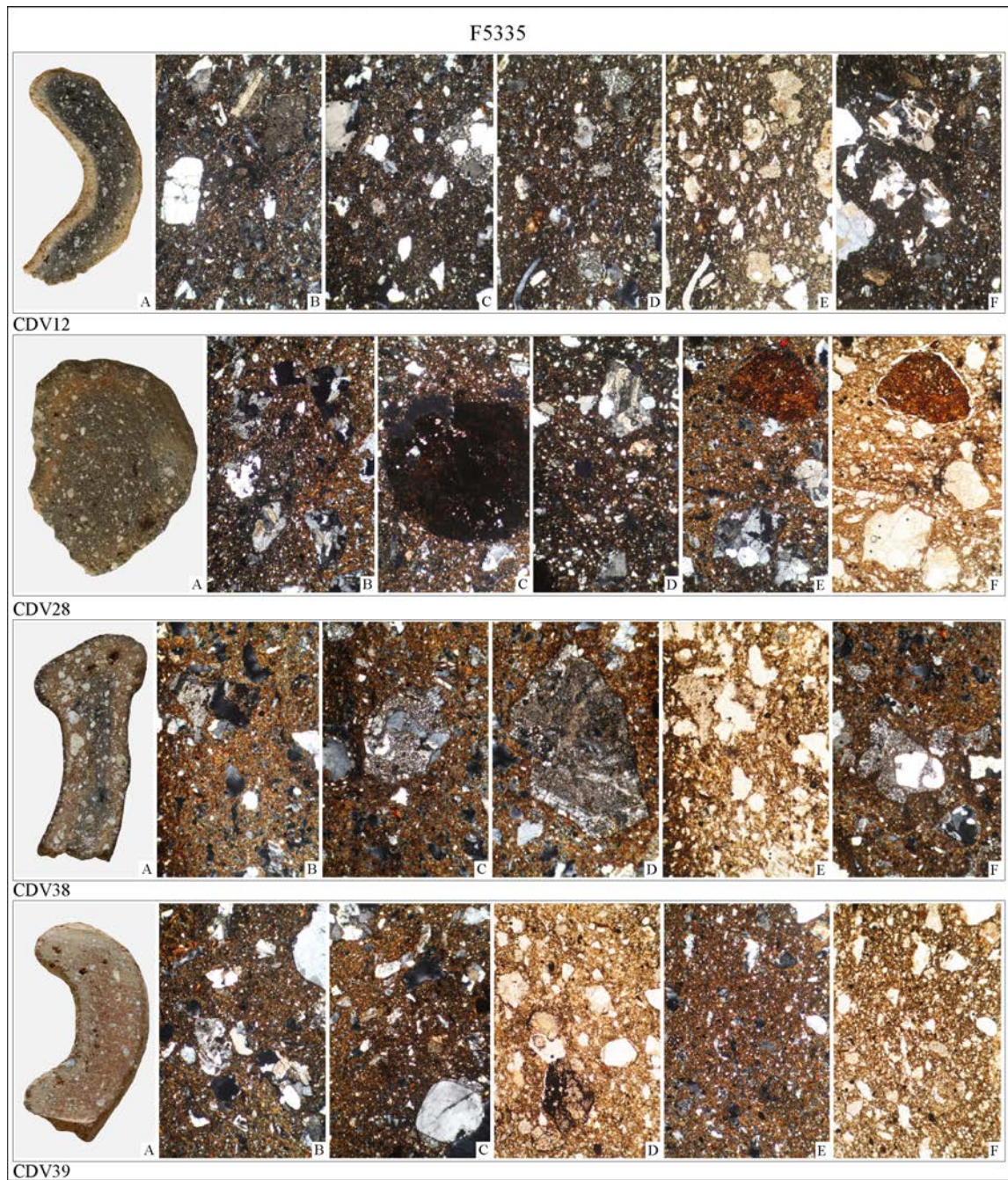


Fig. 499 : aspect de la pâte macroscopiquement (A) et en lame mince (en LPA et en LPNA), Gr x32 © H. Morzadec

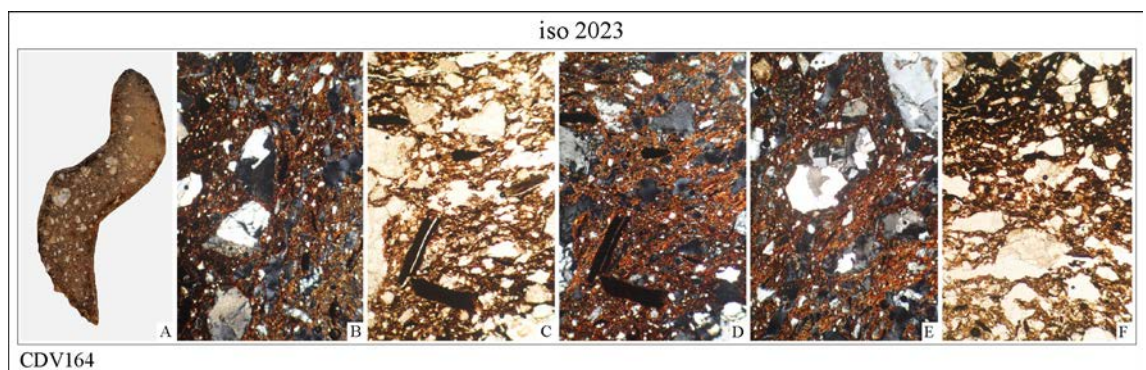


Fig. 500 : aspect de la pâte macroscopiquement (A) et en lame mince (en LPA et en LPNA), Gr x32 © H. Morzadec

Iso2056 (fig. 501)

Les quatre échantillons (fig. 501) possèdent une granulométrie similaire caractérisée par un dégraissant fin avec quelques grains plus grossier à contours arrondis. La teinte de la pâte des différents échantillons varie du rouge orangé au brun avec un zonage plus ou moins marquée. Le dégraissant est de granulométrie homogène malgré la présence de rares grains grossiers correspondant à des fragments de roches à composition dioritique (fig. 501, CDV194, D). Le reste du dégraissant est constitué de quartz, de plagioclase plus ou moins altérés, de biotite et d'oxyde. L'échantillon CDV 190 contient des résidus de matière organique carbonisée (fig. 501, CDV190, B). Les matériaux de ces échantillons proviennent de l'utilisation des argiles d'altération de la micro-diorite.

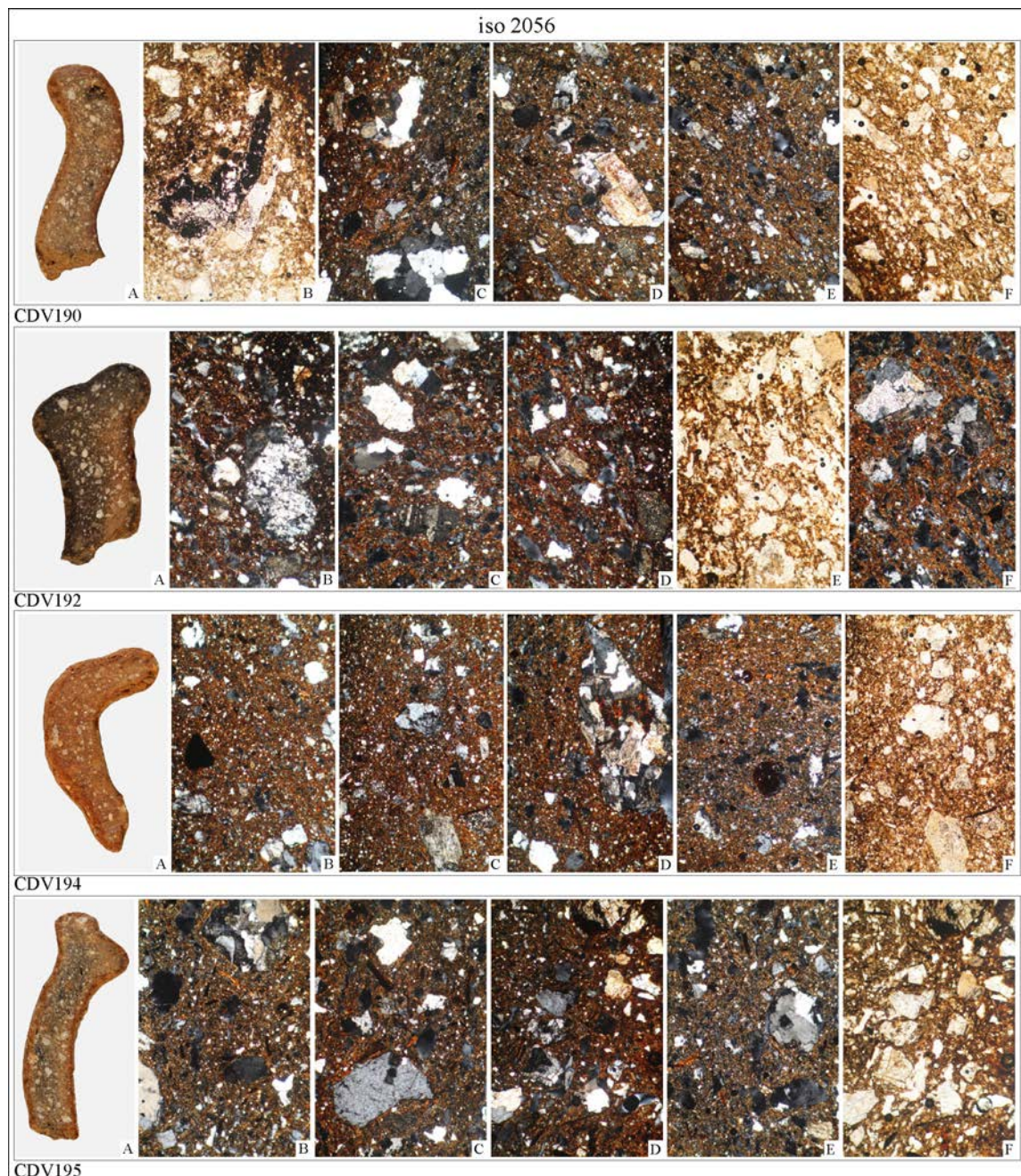


Fig. 501 : aspect de la pâte macroscopiquement (A) et en lame mince (en LPA et en LPNA), Gr x32 © H. Morzadec

Iso2059 (fig. 502)

Les trois échantillons présentent des aspects macroscopiques très différents. L'échantillon CDV174 (fig. 502, CDV174, A) de teinte gris-brun clair a un dégraissant homogène de granulométrie moyenne. Le dégraissant contient du quartz, des feldspaths plagioclases, de la biotite ainsi que quelques grains d'oxyde. Les grains de dégraissant ont des contours plus ou moins arrondis. Le matériau provient de l'utilisation des altérites argilo-sableuses. Les deux échantillons CDV175 et CDV177 ont un dégraissant très fin associé à de rares éléments grossiers de nature quartzreuse. L'échantillon CDV175 présente un zonage important au niveau de la teinte entre la périphérie et le cœur.

Le dégraissant des échantillons CDV175 et CDV177 est constitué de quartz accompagné de rares micas et accessoirement de petites amphiboles vertes. Les matériaux proviennent de l'utilisation d'argiles limoneuses issues des placages de limons de plateau. Ces deux échantillons présentent une texture qui se rapproche de celle des productions gallo-romaines (*cf. Infra*).

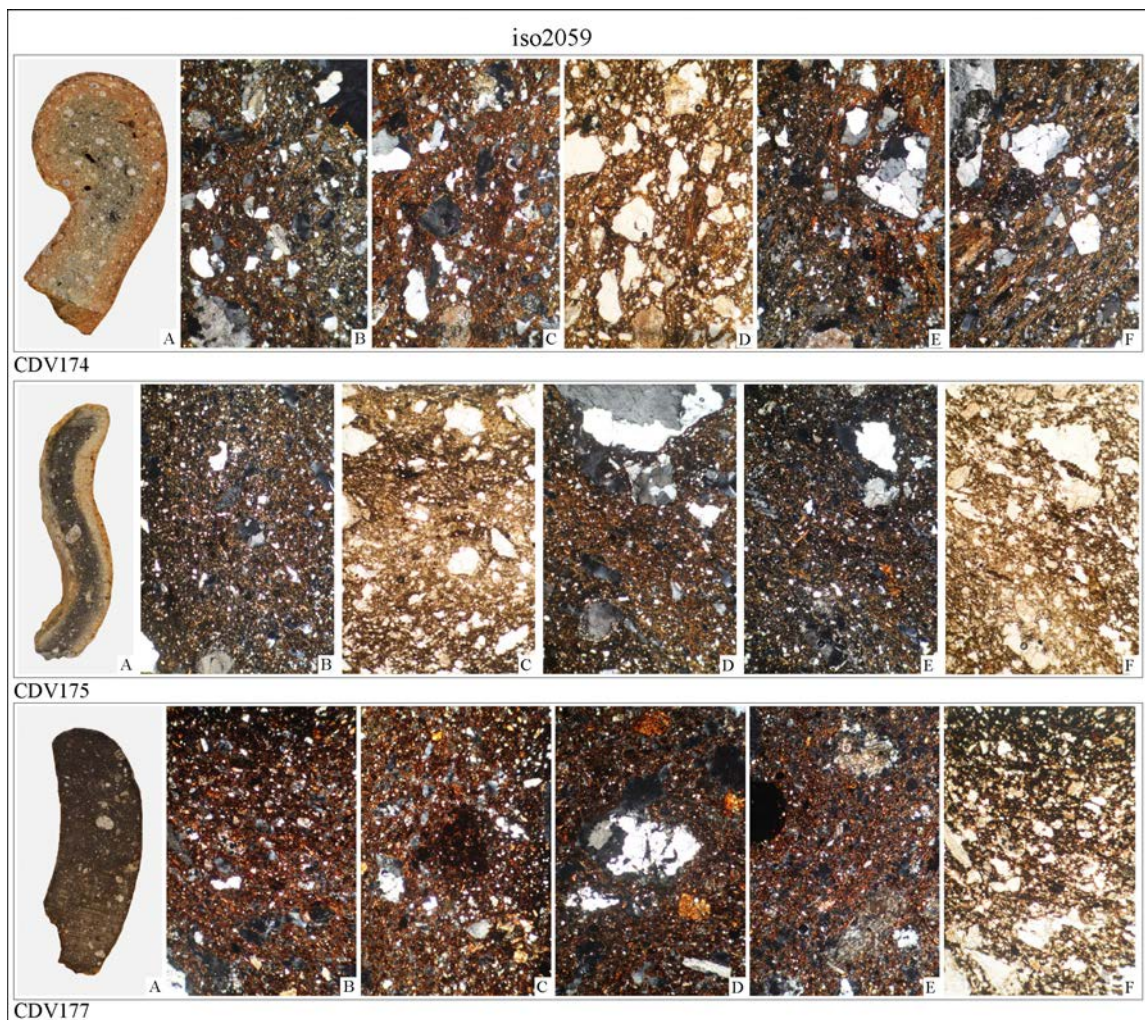


Fig. 502 : aspect de la pâte macroscopiquement (A) et en lame mince (en LPA et en LPNA), Gr x32 © H. Morzadec

Iso2065 (fig. 503)

Les deux échantillons CDV153 et CDV156 sont identiques macroscopiquement. De teinte beige brune (fig. 503), ils présentent un dégraissant homogène assez fin. Le dégraissant est constitué de quartz, de feldspath plagioclases altérés et zonés (fig. 503, CDV156, D), de rares micas,

oxydes ainsi que de la matière organique (fig. 503, CDV153, D). Les matériaux proviennent de l'utilisation des altérites de la micro-diorite quartzique.

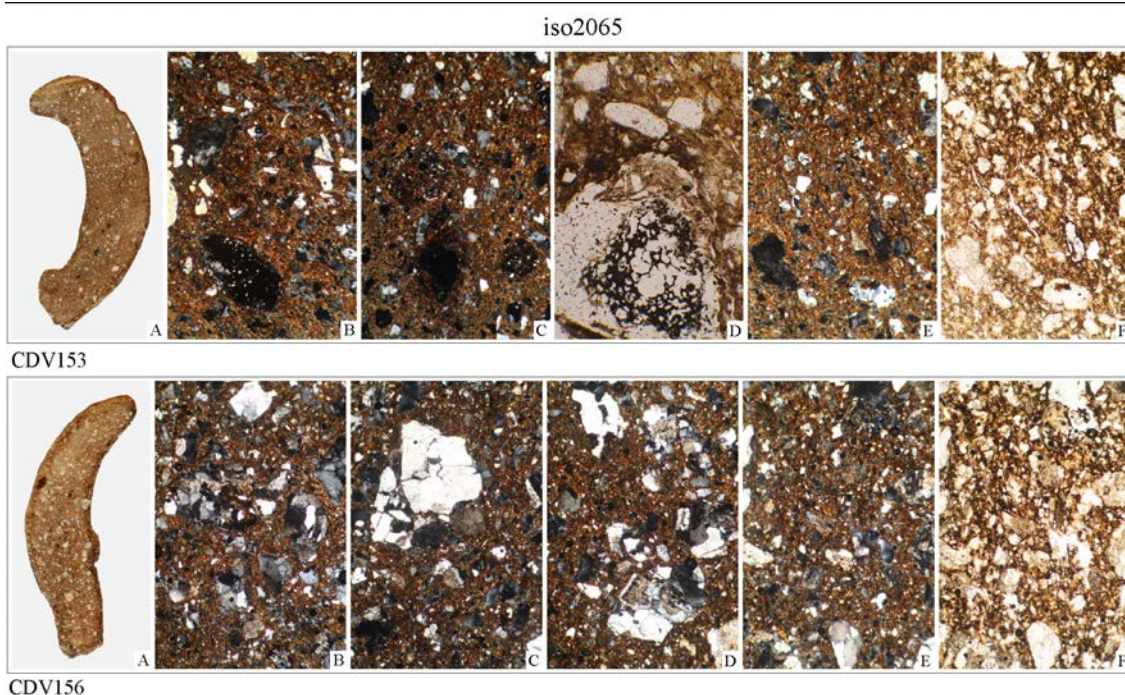


Fig. 503 : aspect de la pâte macroscopiquement (A) et en lame mince (en LPA et en LPNA), Gr x32 © H. Morzadec

F5272 (fig. 504, 505 et 507)

13 échantillons provenant de cette structure ont été analysés. La teinte des échantillons varie du brun clair au noir. La granulométrie du dégraissant est hétérogène avec une dominante fine. Pour l'ensemble des échantillons le dégraissant est constitué de quartz et de feldspaths plagioclases altérés. Les éléments les plus grossiers correspondent à des fragments de micro-diorite quartzique (fig. 505, CDV6, F, CDV13, C, fig. 507, CDV18, E et F). Accessoirement on note la présence de résidus de matière organique (fig. 505, CDV3, D, CDV6, D), de petits nodules d'oxyde (fig. 505, CDV9, B et C, fig. 506, CDV23, F), de petits fragments de roche schisto-gréseuse (fig. 507, CDV133, B) et de biotites altérées (fig. 507, CDV133, F).

Les échantillons CDV9 (fig. 505) et CDV25 (fig. 506) ont une pâte très fine similaire à celle des productions gallo-romaines mais les matériaux utilisés diffèrent (cf infra).

Les matériaux de ces échantillons sont issus de l'utilisation des argiles d'altération de la micro-diorite quartzique locale (9 échantillons) ainsi que des altérites argilo-sableuse (4 échantillons).

Argile d'altération de la micro-diorite	CDV132, CDV134 CDV31, CDV25, CDV23, CDV18, CDV17, CDV13, CDV6
altérite argilo-sableuse	CDV133, CDV3, CDV8, CDV9,

Fig. 504 : tableau des groupes de pâtes pour la structure F5272 © H. Morzadec

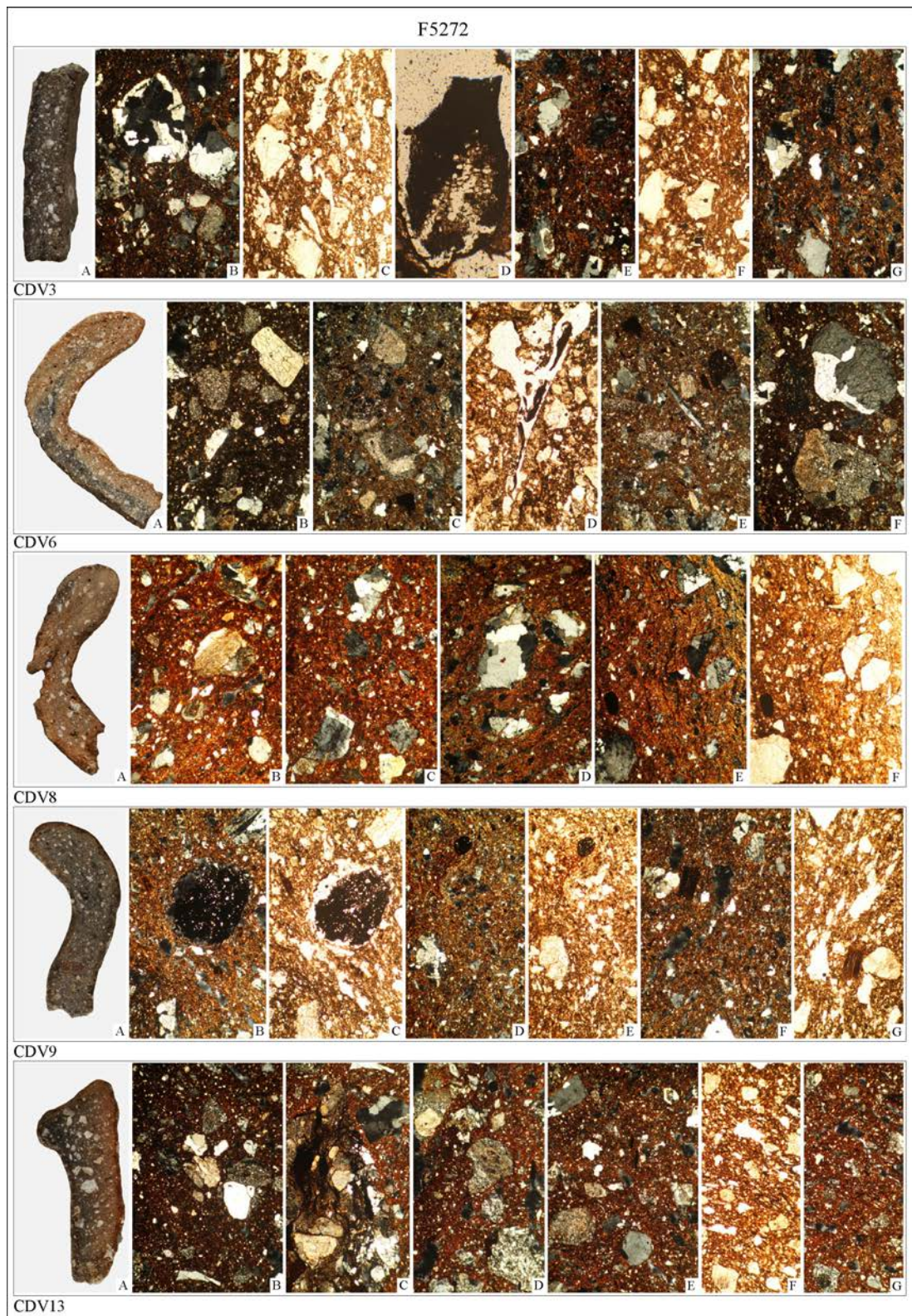


Fig. 505 : aspect de la pâte macroscopiquement (A) et en lame mince (en LPA et en LPNA), Gr x32 © H. Morzadec

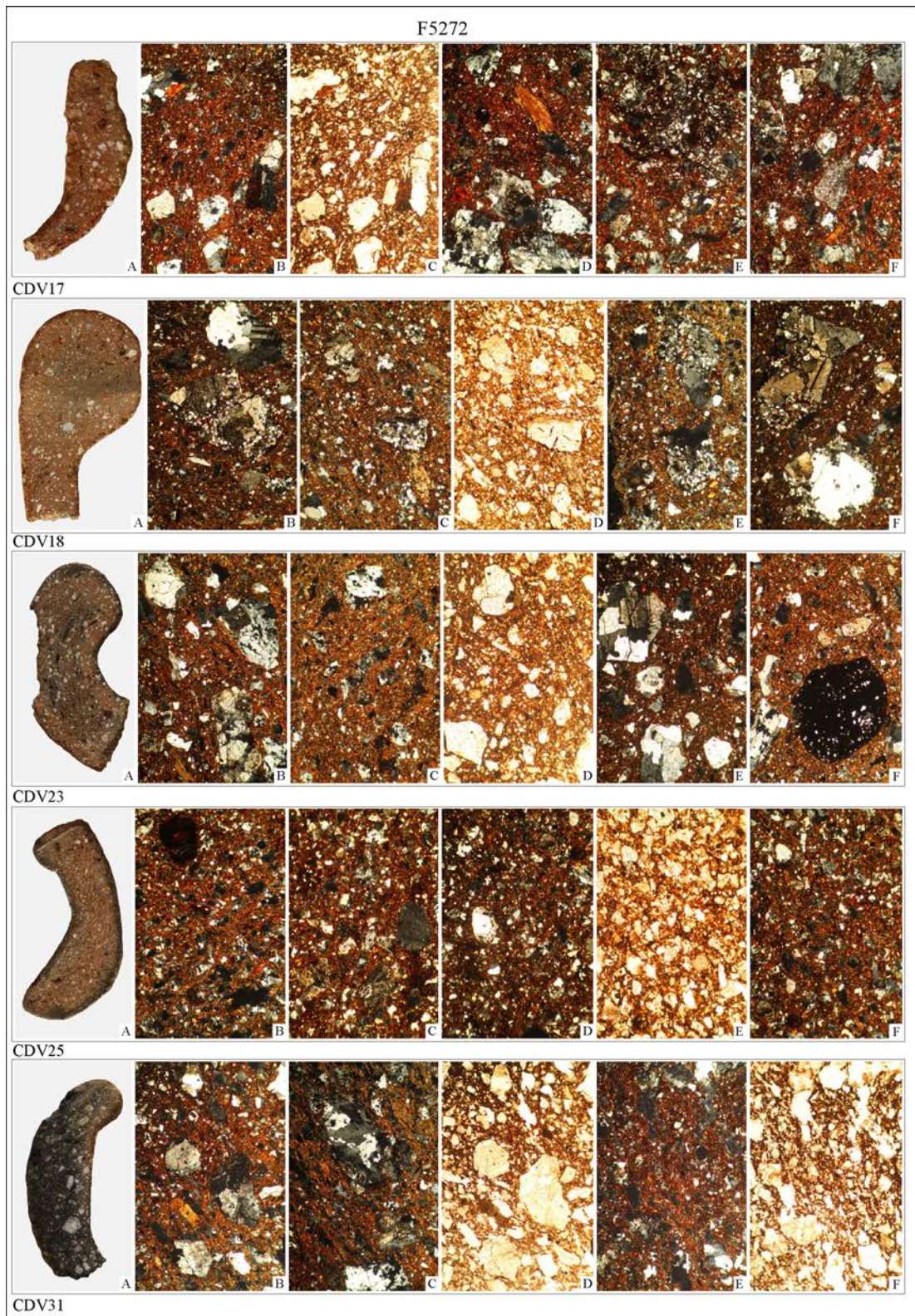


Fig. 506 : aspect de la pâte macroscopiquement (A) et en lame mince (en LPA et en LPNA), Gr x32 © H. Morzadec

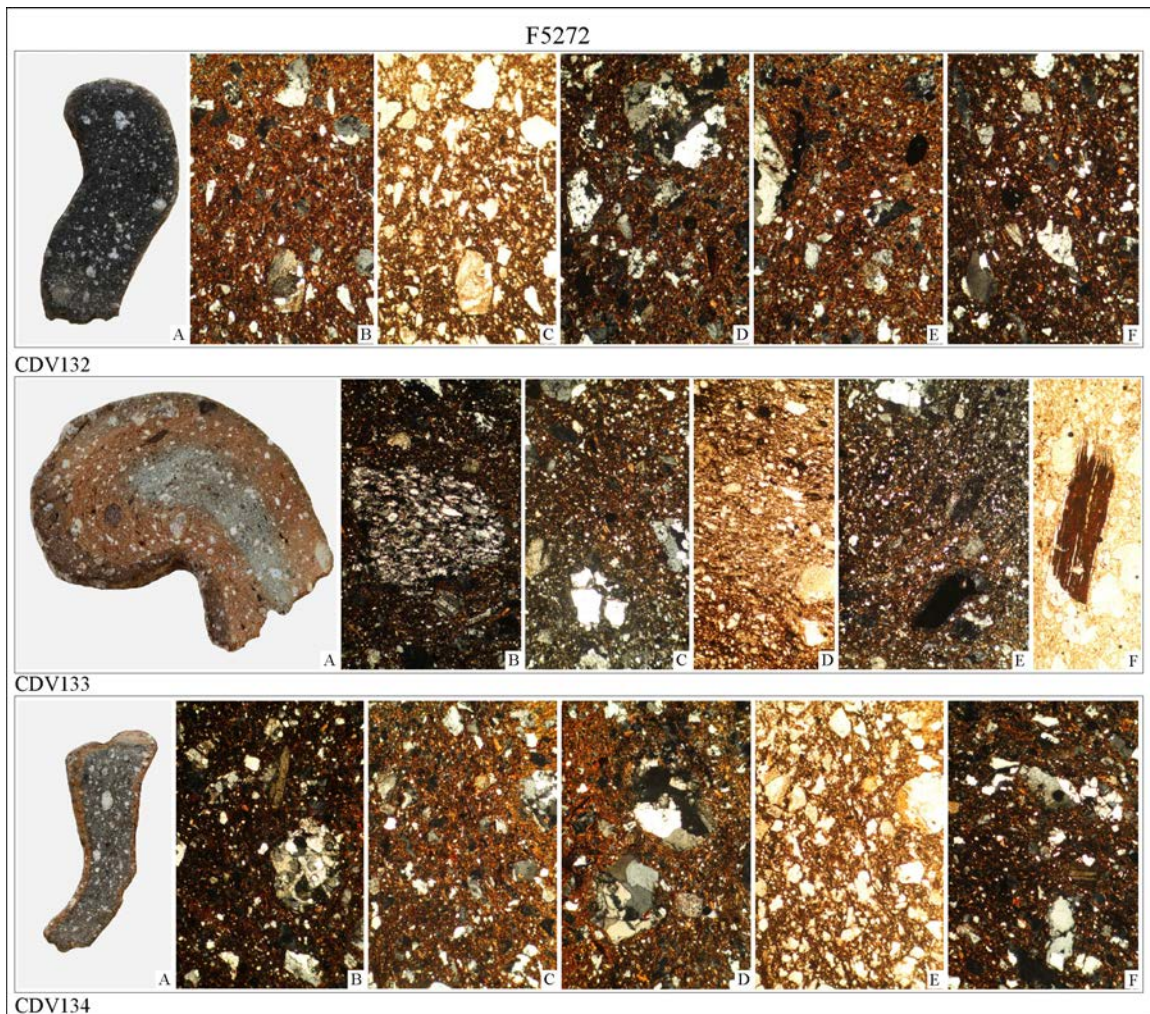


Fig. 507 : aspect de la pâte macroscopiquement (A) et en lame mince (en LPA et en LPNA), Gr x32 © H. Morzadec

F5320 (fig. 508 et fig. 509)

Les 8 échantillons analysés présentent des teintes variant du brun clair au brun noir. La granulométrie est hétérogène et variable selon les échantillons. Les échantillons CDV_{I23} (fig. 508, CDV123, B, F) et CDV_{I60} (fig. 509, CDV160, B, F) ont un dégraissant grossier avec des fragments de roches correspondant à de la diorite et à des éléments de roche microgrenue à phénocristaux. Les autres échantillons ont un dégraissant moyen de granulométrie homogène. Le dégraissant est constitué de quartz, de feldspath plagioclases dont certains présentent un zonage (fig. 509, CDV160, F), de fragments de micro-diorite, de roche microgrenue à phénocristaux de quartz et de feldspath, de biotite (fig. 508, CDV150, C)

Les matériaux de ces échantillons sont issus de l'utilisation des argiles d'altération de la micro-diorite quartzique locale.

F5350 (fig. 510 et fig. 511)

Les dix échantillons analysés présentent une teinte brune homogène à l'exception de l'échantillon CDV₂₁₀ (fig. 511, CDV210, A) qui est zoné ; le cœur est noir et la périphérie brune-orangée. Cet échantillon correspond probablement à un raté de cuisson. En ce qui concerne la granulométrie, les échantillons CDV_{I99}, CDV₂₀₂ (fig. 510), CDV₂₀₈, CDV₂₁₂ et CDV₂₁₃ (fig. 511) ont un dégraissant grossier avec de nombreux fragments de roche d'origine dioritique (fig. 510, CDV206, C). Les autres échantillons ont un dégraissant fin (fig. 510, CDV203). La minéralogie souligne l'origine dioritique des matériaux utilisés ; les feldspaths plagioclases dominent associés à du

quartz, de rares biotites (fig. 511, CDV208, B, CDV212, C, D et E), des oxydes et parfois de la matière organique (fig. 510, CDV203, D).

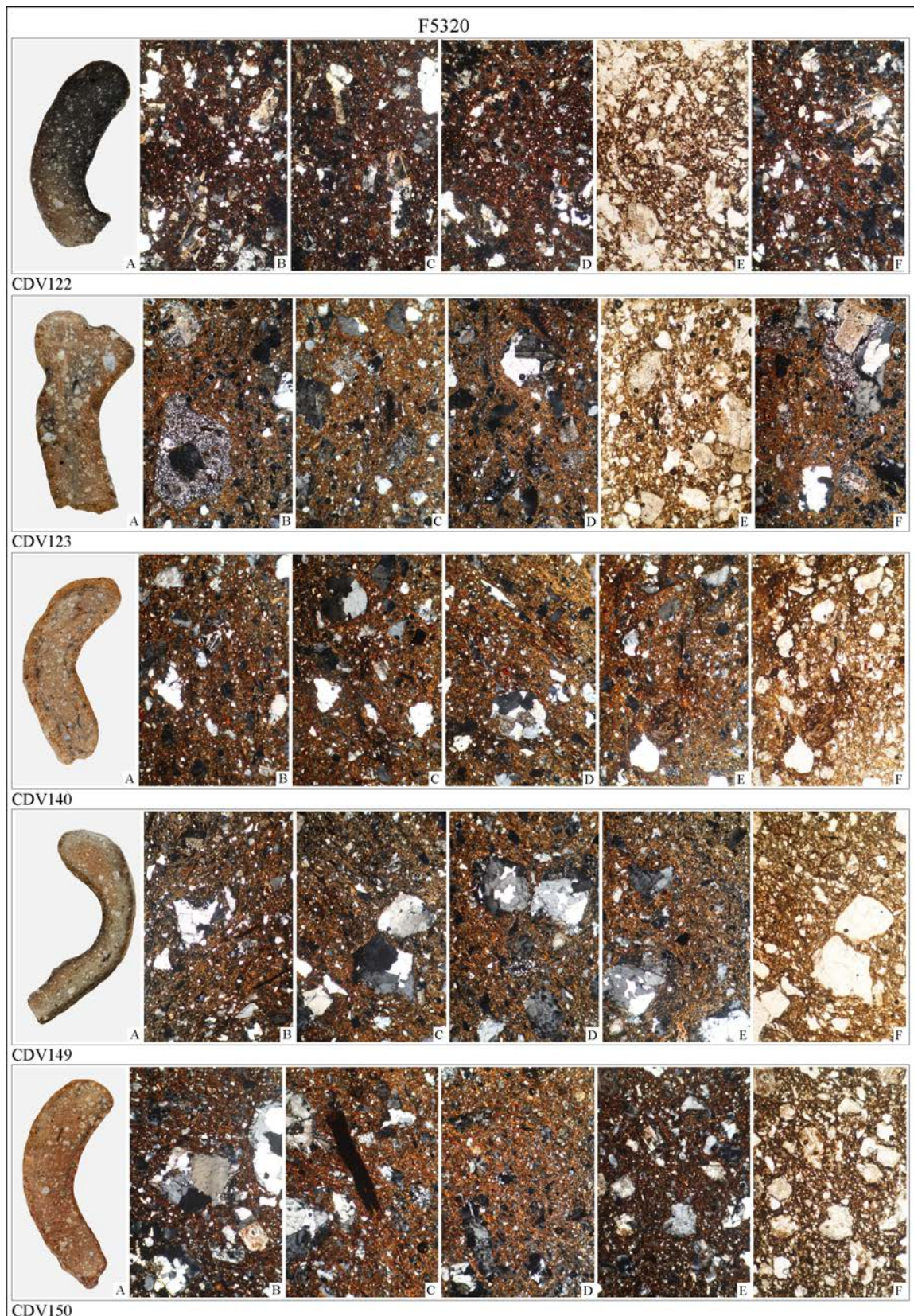


Fig. 508 : aspect de la pâte macroscopiquement (A) et en lame mince (en LPA et en LPNA), Gr x32 © H. Morzadec

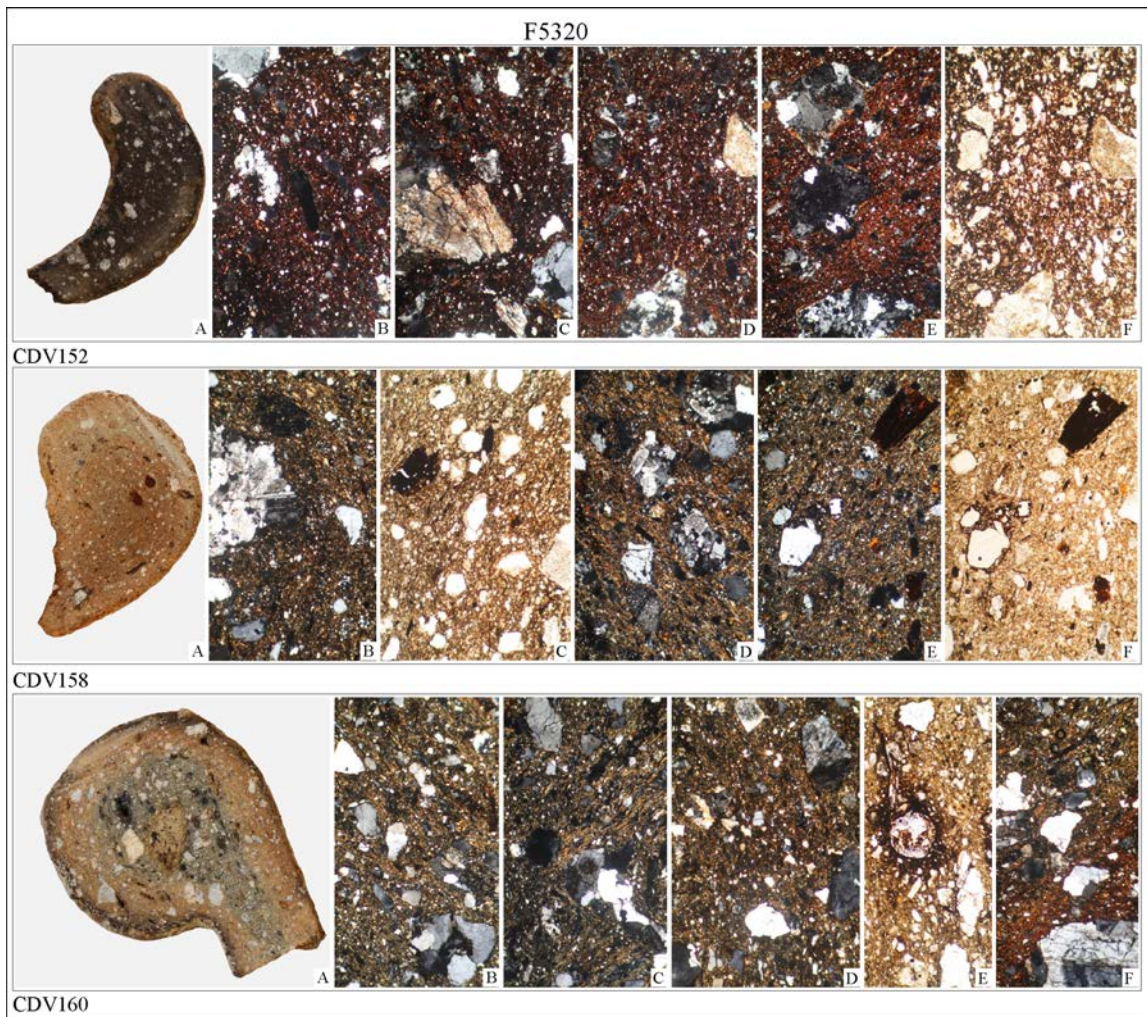


Fig. 509 : aspect de la pâte macroscopiquement (A) et en lame mince (en LPA et en LPNA), Gr x32 © H. Morzadec

Les matériaux de ces échantillons sont issus de l'utilisation des argiles d'altération de la micro-diorite quartzique locale.

F5374 (fig. 512 et fig. 513)

Les six échantillons analysés ont des teintes très variables allant du brun orangé au noir. L'échantillon CDV126 montre une zonation entre le cœur gris et la périphérie brune orangée (fig. 513) ; de même l'échantillon CDV146 (fig. 512) présente un cœur gris beige et une pellicule périphérique brune orangée. La granulométrie des échantillons est fine et homogène à l'exception de l'échantillon CDV145 (fig. 513, CDV145, A) dont la granulométrie est plus grossière et hétérogène.

Les échantillons CDV125 et CDV143 ont un dégraissant constitué de quartz et de feldspaths plagioclase altérés. Certains grains ont des contours arrondis. Le matériau provient de l'utilisation des altérites argilo-sableuses. Les quatre autres échantillons ont un dégraissant constitué de petits plagioclases altérés, de quartz, de biotites très altérées et d'oxyde. Les matériaux de ces échantillons sont issus de l'utilisation des argiles d'altération de la micro-diorite quartzique locale.

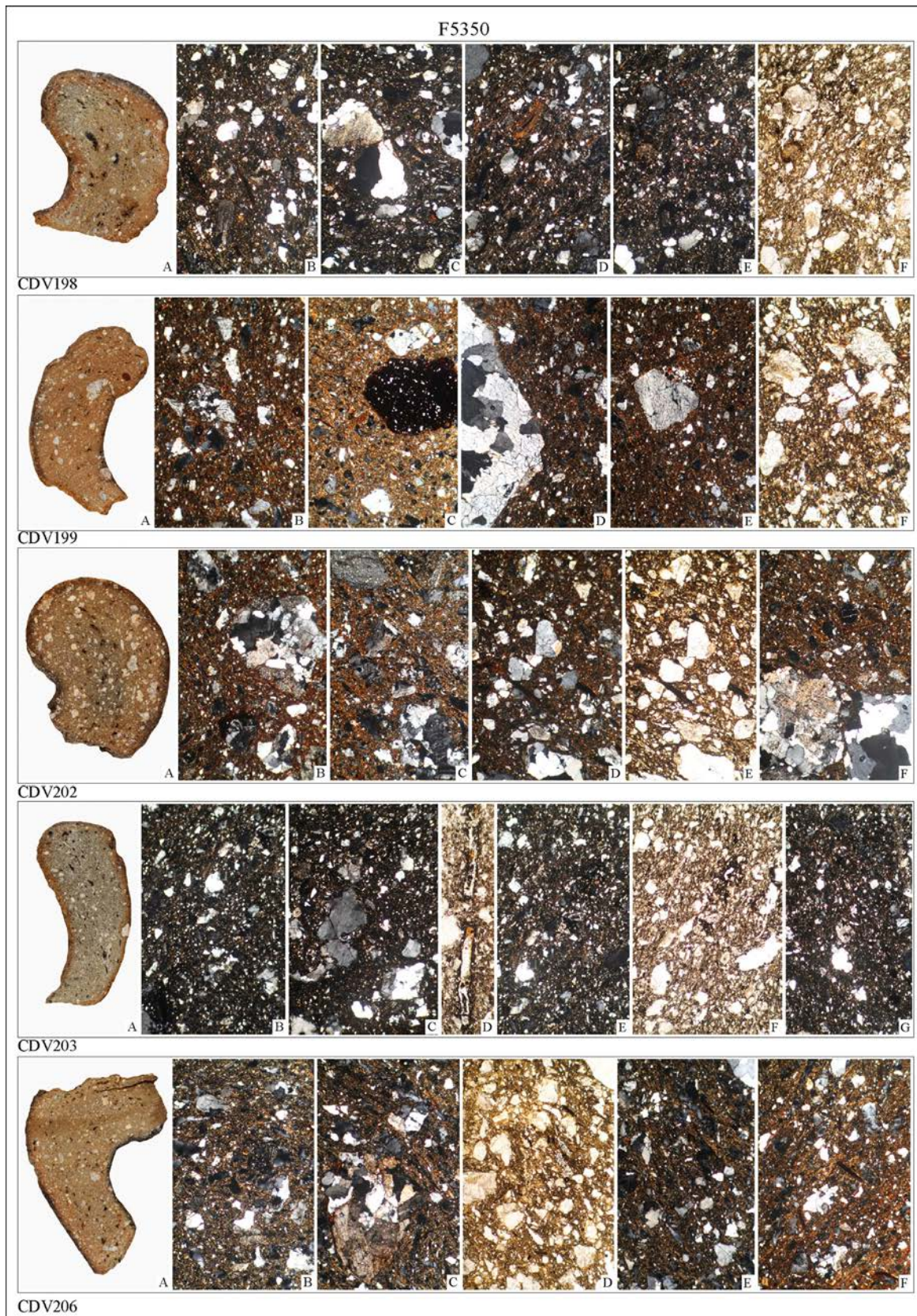


Fig. 510 : aspect de la pâte macroscopiquement (A) et en lame mince (en LPA et en LPNA), Gr x32 © H. Morzadec

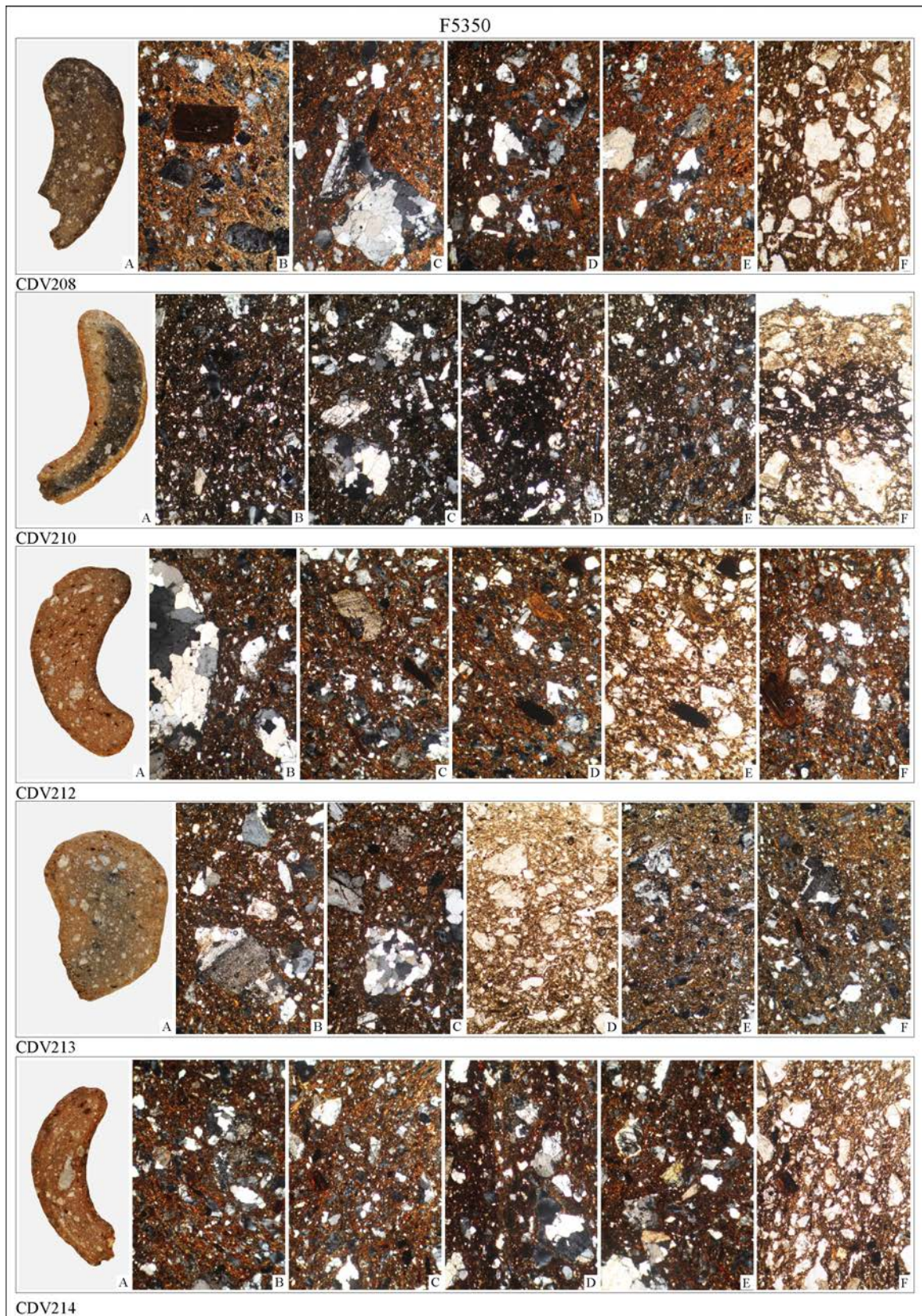


Fig. 511 : aspect de la pâte macroscopiquement (A) et en lame mince (en LPA et en LPNA), Gr x32 © H. Morzadec

Fig. 512 :
 aspect de la pâte
 macroscopiquement
 (A) et en lame
 mince (en LPA et en
 LPNA), Gr x32
 © H. Morzadec

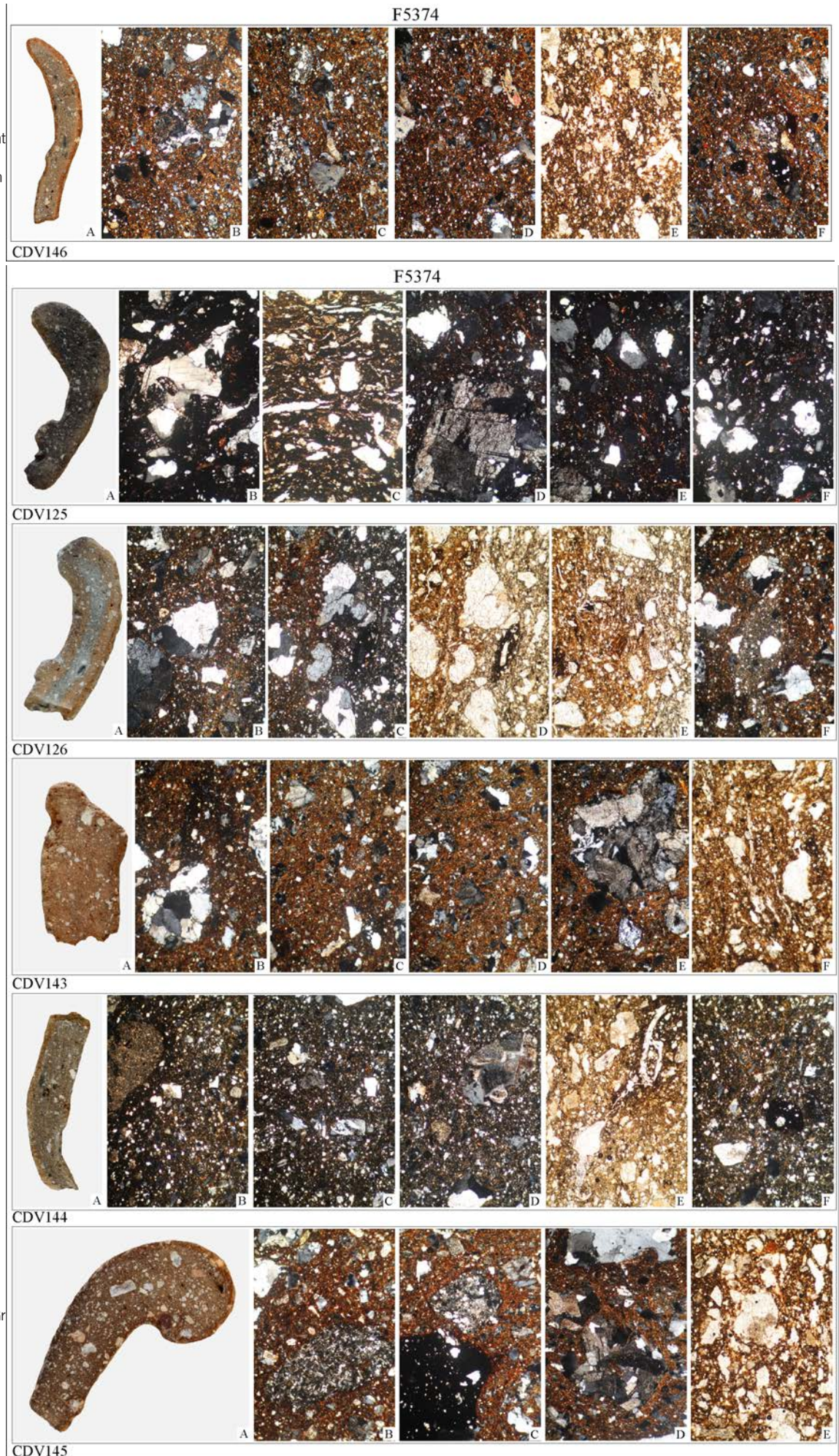


Fig. 513 :
 aspect de la pâte
 macroscopiquement
 (A) et en lame mince
 (en LPA et en LPNA), Gr
 x32 © H. Morzadec

F5663 (fig. 514 et fig. 515)

Cet échantillon correspond à la céramique servant de pied central dans un four (fig. 514)



Fig. 514 : vue de la céramique en place dans le pilier du four © H. Morzadec

La céramique de teinte brune orangée a un dégraissant de granulométrie hétérogène (fig. 515, A) contenant de gros fragments de roche à composition dioritique (fig. 515, B, C). Certains grains ont des contours arrondis (fig. 515, F). Le dégraissant est constitué de feldspaths plagioclases, de quartz, de rares biotites et d'oxydes.

Les matériaux de ces échantillons sont issus de l'utilisation des argiles d'altération de la micro-diorite quartzique locale.

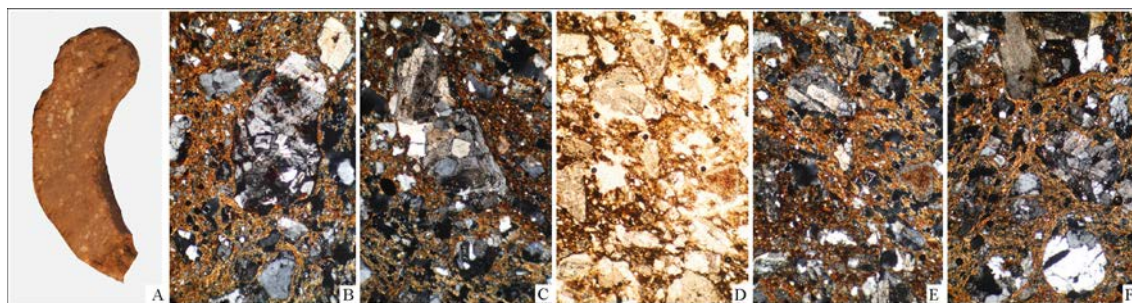


Fig. 515 : aspect de la pâte macroscopiquement (A) et en lame mince (en LPA et en LPNA), Gr x32 © H. Morzadec

F565 (fig. 516)

Cinq échantillons provenant de cette structure ont été analysés. Au niveau de la teinte, deux groupes se distinguent : le premier de teinte brune noire est constitué des échantillons CDV215 et CDV220, le second de teinte brune orangée rassemble les échantillons CDV217, CDV219 et CDV221. La granulométrie des deux ensembles est similaire avec un dégraissant hétérogène. Les deux groupes correspondent à deux sources de matériau différentes.

Les échantillons CDV215 et CDV220 ont un dégraissant constitué de quartz et de feldspaths altérés et de rare biotite. Le matériau provient des altérites argilo-sableuse. Les trois autres échantillons contiennent en abondance des feldspaths plagioclases souvent altérés, du quartz, quelques biotites et des oxydes. Le matériau provient de l'utilisation des argiles d'altération de la micro-diorite quartzique locale.

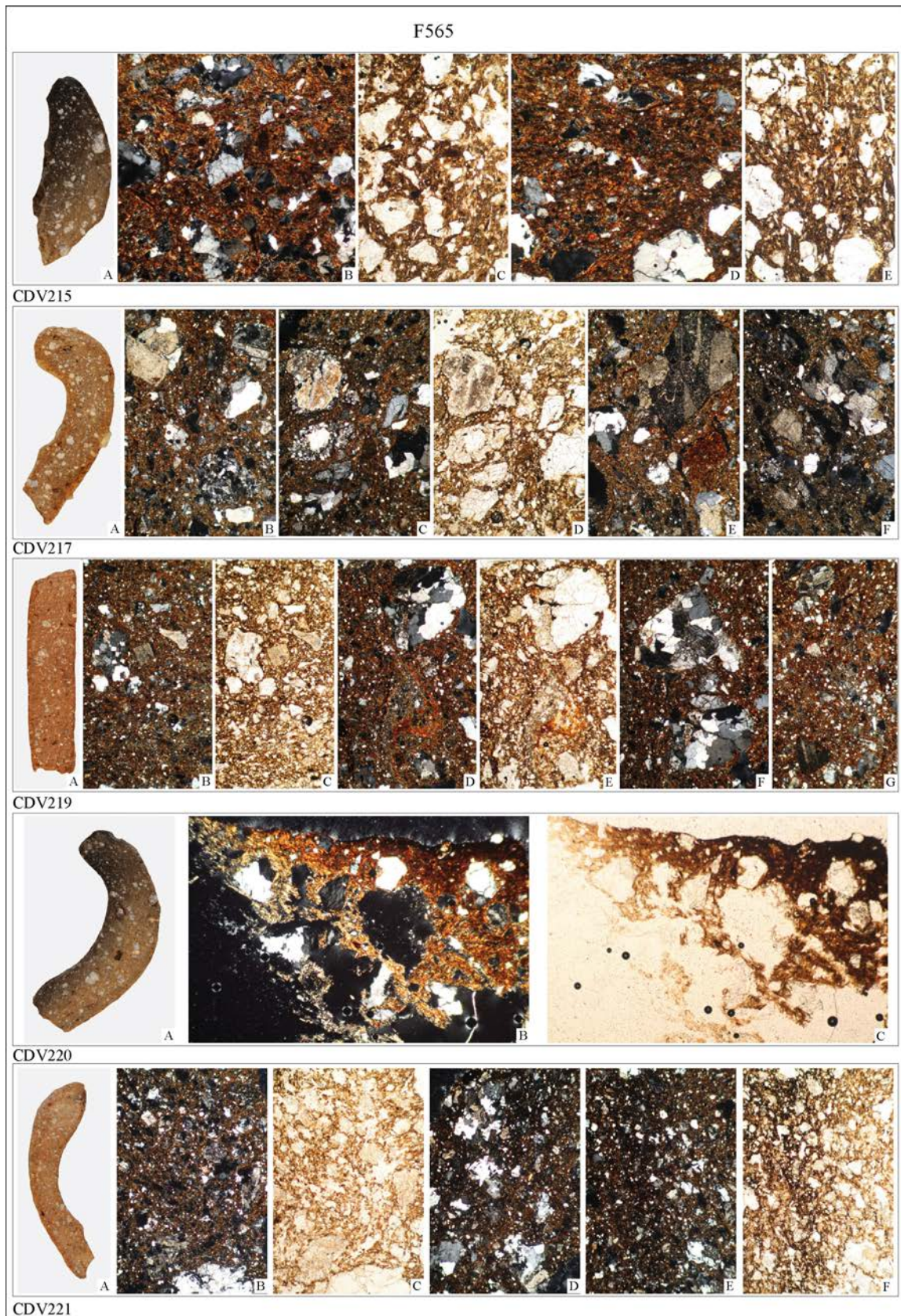


Fig. 516 : aspect de la pâte macroscopiquement (A) et en lame mince (en LPA et en LPNA), Gr x32 © H. Morzadec

F566 (fig. 517)

L'échantillon provient d'une céramique de type « Besançon ». La pâte est brune hétérogène avec les éléments de dégraissant plus grossiers à contours anguleux et dans la matrice un dégraissant fin à contours arrondi. La pâte est constituée de deux matériaux distincts ; une argile contenant une charge sableuse à laquelle a été rajouté un dégraissant grossier issu du broyage d'une roche.

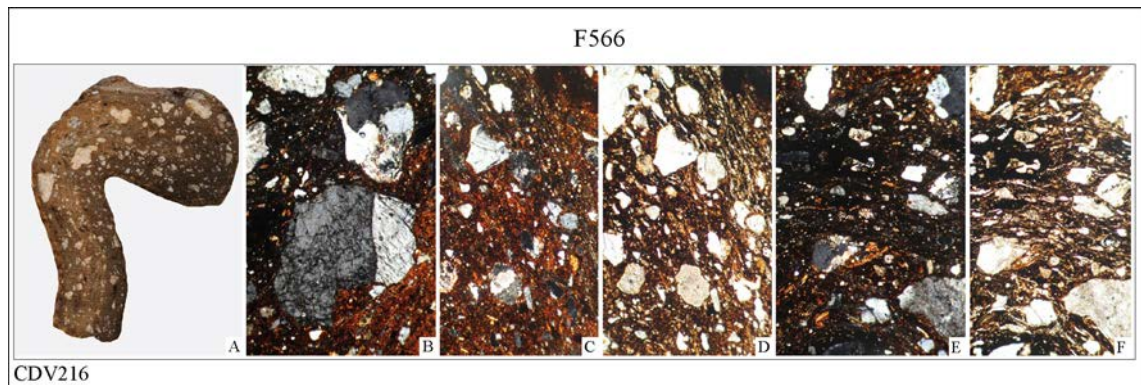


Fig. 517 : aspect de la pâte macroscopiquement (A) et en lame mince (en LPA et en LPNA), Gr x32 © H. Morzadec

Le dégraissant est constitué de quartz, de feldspaths potassiques de grandes dimensions, de rares plagioclases et biotites. Le dégraissant le plus fin est constitué essentiellement de grains de quartz.

Les matériaux sont issus d'une roche à composition granitique riche en feldspath potassique dont l'origine reste à déterminer.

3.4.3.2. synthèse de l'étude pétrographique du mobilier protohistorique

Les 111 échantillons analysés se répartissent en deux grands ensembles issus de l'utilisation de deux matériaux d'origine locale :

Le premier correspond aux argiles d'altération de la micro-diorite quartzique et rassemble 73 échantillons

Le second correspond aux altérites argilo-sableuses et rassemble 32 échantillons

Un seul échantillon provenant de la structure F5230 (CDV48) (fig. 489) présente un matériau similaire à celui utilisé pour la fabrication de la céramique gallo-romaine et correspondant à l'utilisation des argiles limoneuses de surface.

Lorsque l'on croise les données pétrographiques aux données typologiques (fig. 518), il n'y a pas de relation entre le choix des matériaux et les groupes typologiques. On retrouve les deux matériaux au sein d'un même groupe typologique.

La proximité géographique des différents matériaux autour de la zone de prélèvement des argiles par les potiers explique ce résultat.

Fait	1a	1b	1c	1ind	2a	2b	2c	2d	2ind	3a	3b	7	8a	9	13	?
5019											CDV53					
5032					CDV109			CDV90								CDV89
5059					CDV98	CDV94 CDV95	CDV102			CDV100						
5061										CDV157	CDV170 CDV178					
5083																
5088		CDV68				CDV59		CDV61	CDV56							
5092					CDV64 CDV73	CDV79			CDV49	CDV84						
5097															CDV179	
5098								CDV188			CDV186					
5099					CDV181					CDV183						
5106													CDV67			
5107													CDV88			
5110										CDV77						CDV74
5166						CDV104										
5167/5104											CDV50	CDV52				
5167								CDV93							CDV92	
5190								CDV105								
5201/5442										CDV44						
5230		CDV45			CDV36											CDV48
5234											CDV21					
5235								CDV29								
5236			CDV42	CDV41					CDV35							
5240																
5272		CDV23	CDV18	CDV133	CDV3 CDV6	CDV31	CDV8	CDV9 CDV132 CDV115	CDV17 CDV25		CDV13 CDV134					CDV114
5274																
5275									CDV111							
5295																
5320	CDV160	CDV158			CDV116 CDV122 CDV149 CDV150		CDV152		CDV140							
5329					CDV127					CDV138	CDV131					
5330					CDV121											
5335						CDV12 CDV39				CDV38						CDV199 CDV203 CDV210 CDV212
5350		CDV202 CDV206		CDV198=CDV213	CDV208 CDV214									CDV144 CDV146		
5374		CDV145			CDV125 CDV126						CDV143					
Iso 2023																
Iso2056								CDV164	CDV194		CDV192 CDV195					
Iso2059								CDV190								CDV175
Iso2065					CDV177 CDV153									CDV156		

Fig. 518 : tableau de croisement des données pétrographiques et typologique d'après N. Menez cf supra . En vert dégraissant d'origine micro-dioritique, en violet dégraissant issu des altérites argilo-sableuse, en bleu dégraissant d'origine limoneux © H. Marzadec

3.4.4.2. La céramique gallo-romaine

Les échantillons de céramiques gallo-romaines proviennent de la structure F519 qui a livrée l'essentiel de la céramique de cette période et qui correspond probablement à une fosse de rejet de raté de cuisson.

L'ensemble des échantillons possède une pâte fine homogène avec de rares éléments plus grossiers. Les différences de teinte entre les échantillons sont liées aux variations de l'atmosphère dans le four au cours de la cuisson.

L'échantillon CDV222 (fig. 519)

La teinte de cet échantillon est beige avec une couronne périphérique plus sombre (fig. 519, A). Le dégraissant très fin (fig. 519, F), est constitué de quartz, de petits plagioclases et d'oxyde. Les éléments les plus grossiers ont une composition de grès feldspathique (fig. 519, B et C) correspondant à l'utilisation de l'altération des grès briovérien.

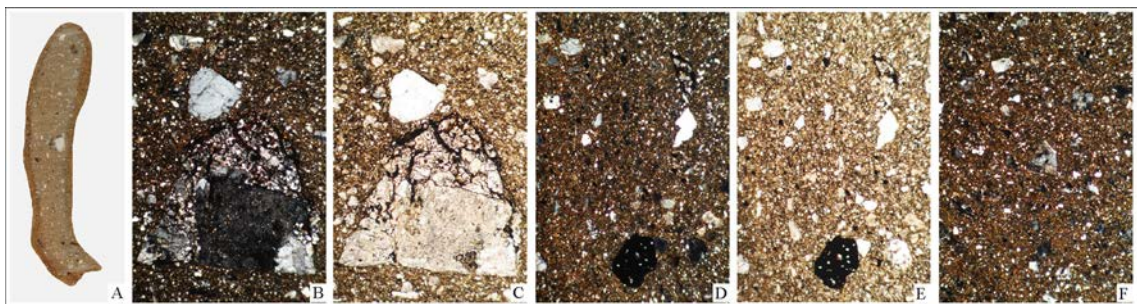


Fig. 519 : aspect de la pâte macroscopiquement (A) et en lame mince (B, D et F en LPA), (C et E en LPNA), G x32 © H. Morzadec

L'échantillon CDV223 (fig. 520)

La teinte de cet échantillon est brun-beige avec une couronne périphérique plus sombre (fig. 520, A). Le dégraissant très fin (fig. 520, F), est constitué de quartz, de plagioclases. Les éléments les plus grossiers ont des contours arrondis. Il s'agit de quartz (fig. 520, D et E) et de fragments de grès feldspathiques.

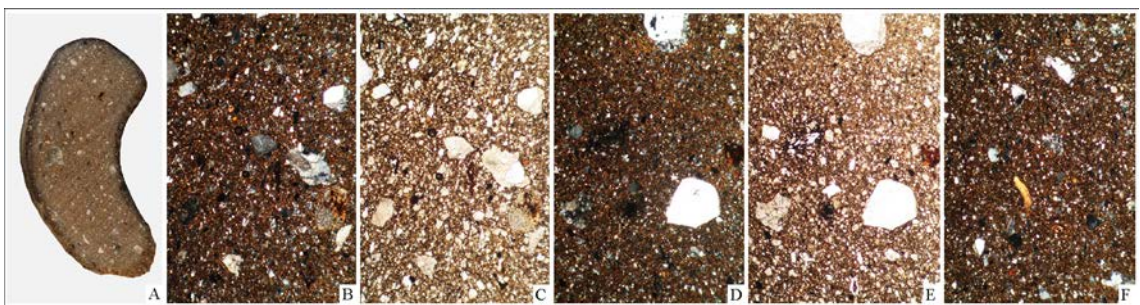


Fig. 520 : aspect de la pâte macroscopiquement (A) et en lame mince (B, D et F en LPA), (C et E en LPNA), G x32 © H. Morzadec

L'échantillon CDV224 (fig. 521)

La teinte de la pâte de cet échantillon est gris beige homogène (fig. 521, A). Le dégraissant très fin est constitué de quartz et de feldspaths plagioclase en petits grains arrondis. Les éléments les plus grossiers sont le reflet du substrat local avec des fragments de grès, du quartz et des fragments de roche dioritique (fig. 521, B, C et E).

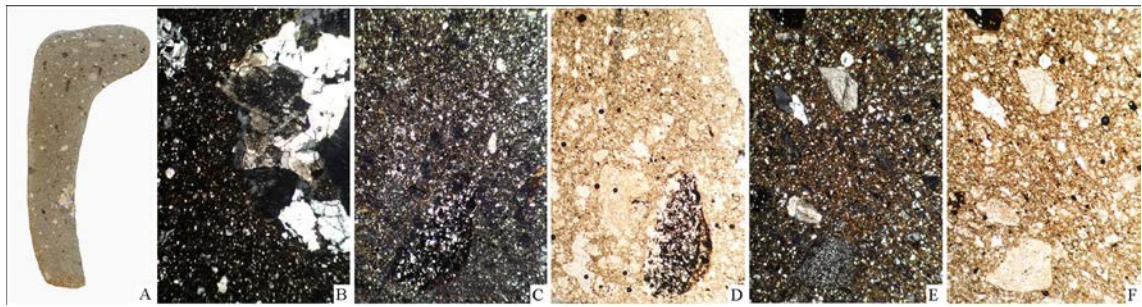


Fig. 521 : aspect de la pâte macroscopiquement (A) et en lame mince (B, C et E en LPA), (D et F en LPNA), G x32 © H. Morzadec

L'échantillon CDV225 (fig. 522)

La teinte de la pâte de cet échantillon est brun beige homogène (fig. 522, A). Le dégraissant très fin est constitué de quartz et de feldspaths plagioclase en petits grains arrondis. Les éléments les plus grossiers sont le reflet du substrat local avec des fragments de grès, du quartz et des grains d'oxydes (fig. 522, B, C, D et E).

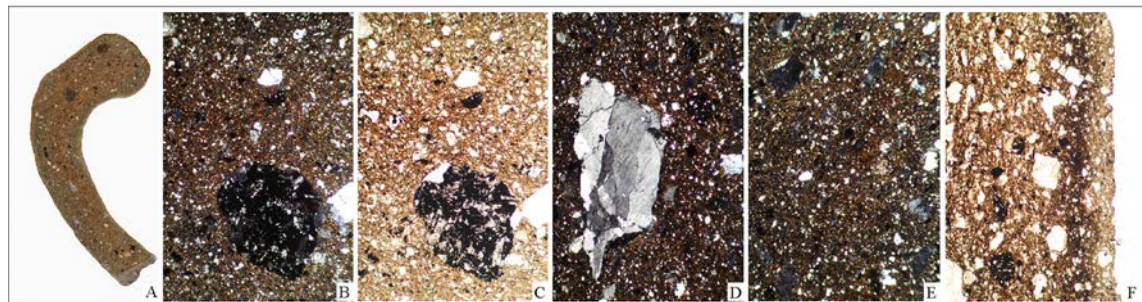


Fig. 522 : aspect de la pâte macroscopiquement (A) et en lame mince (B, D et E en LPA), (C et F en LPNA), G x32 © H. Morzadec

L'échantillon CDV226 (fig. 523)

La teinte de la pâte de cet échantillon est gris beige homogène (fig. 523, A). Le dégraissant très fin est constitué de quartz et de feldspaths plagioclase en petits grains arrondis. Les éléments les plus grossiers sont le reflet du substrat local avec des fragments de grès, du quartz et des éléments de concrétion d'oxyde (fig. 523, B, C et E).

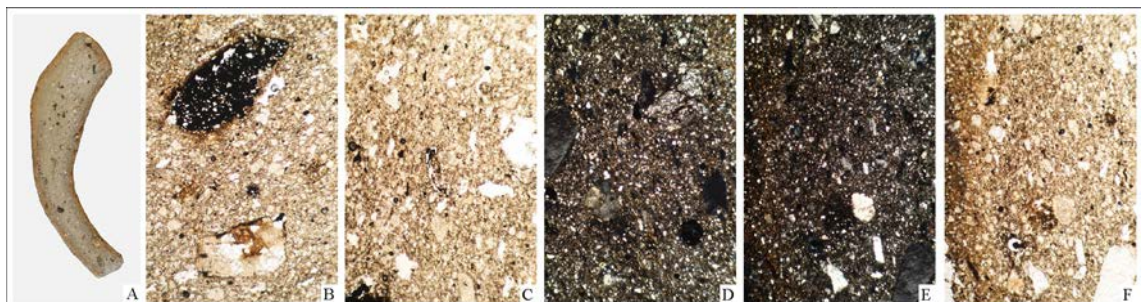


Fig. 523 : aspect de la pâte macroscopiquement (A) et en lame mince (D et E en LPA), (B, C et F en LPNA), G x32 © H. Morzadec

L'échantillon CDV227 (fig. 524)

La teinte de la pâte de cet échantillon est grise homogène (fig. 524, A). La matrice contient de la matière organique diffuse. Le dégraissant très fin est constitué de quartz et de feldspaths plagioclase en petits grains arrondis. Les éléments les plus grossiers sont le reflet du substrat local avec des fragments de grès, du quartz, des fragments de roche dioritique ainsi que des nodules

concrétionnés d'oxyde (Fig. 78, B, C et E).

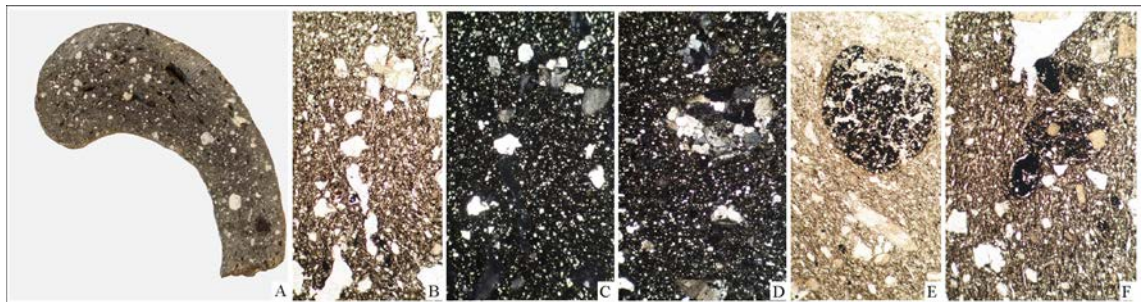


Fig. 524 : aspect de la pâte macroscopiquement (A) et en lame mince (C et D en LPA), (B, E et F en LPNA), G x32 © H. Morzadec

L'échantillon CDV228 (fig. 525)

La teinte de la pâte de cet échantillon est orangée homogène (fig. 525, A). Le dégraissant très fin est constitué de quartz et de rares feldspaths plagioclase en petits grains arrondis. Les éléments les plus grossiers sont le reflet du substrat local avec des fragments de grès, du quartz et de des fragments de matière organique (fig. 525, B, E et F).

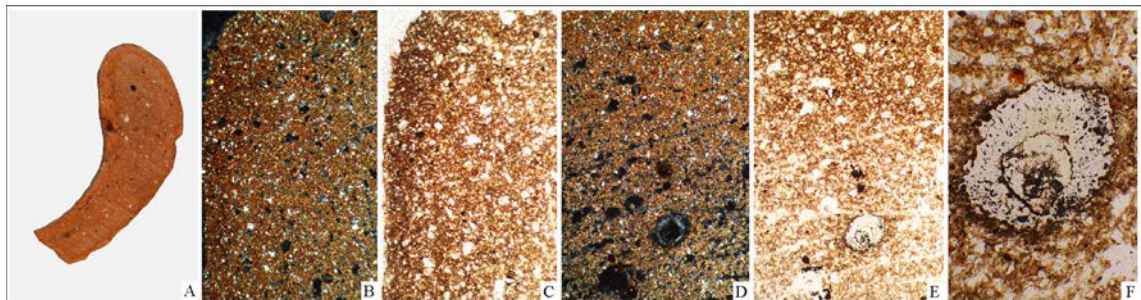


Fig. 525 : aspect de la pâte macroscopiquement (A) et en lame mince (B et D en LPA), (C, E et F en LPNA), G x32 © H. Morzadec

Les céramiques gallo-romaines étudiées présentent toutes les mêmes caractéristiques. Elles correspondent aux productions d'un même atelier utilisant une argile issue des sédiments argilo-limoneux prélevé dans les lambeaux de couverture limoneuse holocène piégés dans les dépressions du substrat. Les matériaux sont similaires à ceux utilisés pour la fabrication des torchis ainsi que pour la céramique CDV48 de la structure F5230.

Conclusion

Cette étude menée à la fois sur les matériaux de construction et les productions céramiques de l'atelier précoce et de la période gallo-romaine a permis de caractériser les différents matériaux utilisés et disponible dans l'environnement immédiat du site.

L'étude de l'ensemble du mobilier architectural en terre cuite a permis de reconnaître trois sources de matériaux locaux exploitées pour leur fabrication. (fig. 467).

La première source correspond à l'utilisation des placages limoneux de surface pour la fabrication du torchis.

La seconde source, utilisée pour les plaques foyères et pour les éléments de four de potier (barres irrégulières et rectangulaires) correspond aux altérites argilo-sableuses ante-pliocènes liées à l'altération du substrat. Elle a également été utilisée pour la production de tuile gallo-romaine preuve de la présence d'un atelier de tuilier à proximité immédiate du site.

La troisième source utilisée correspond aux argiles d'altération de la micro-

diorite pour les barres de four rondes et rectangulaires ainsi que pour la fabrication de certaines tuiles.

Les échantillons de céramiques de l'atelier précoce analysés se répartissent en deux grands ensembles issus de l'utilisation de deux matériaux d'origine locale :

Le premier correspond aux argiles d'altération de la micro-diorite quartzique.

Le second correspond aux altérites argilo-sableuses

Un échantillon provenant de la structure F5230 (CDV48) (**fig. 489**) présente un matériau similaire à celui utilisé pour la fabrication de la céramique gallo-romaine et correspondant à l'utilisation des argiles limoneuses de surface.

Lorsque l'on croise les données pétrographiques aux données typologiques (**fig. 518**), il n'y a pas de relation entre les matériaux et les groupes typologiques. On retrouve les deux matériaux au sein d'un même groupe typologique.

Les céramiques gallo-romaines étudiées correspondent aux productions d'un même atelier utilisant une argile issue des sédiments argilo-limoneux prélevée dans les lambeaux de couverture limoneuse holocène piégés dans les dépressions du substrat.

3.5. Terre cuites artisanales de l'atelier : les barres amovibles de four par Richard Delage

Parmi les terres cuites recueillies sur le site, nombreux sont les fragments de forme oblongue et de section majoritairement quadrangulaire ou circulaire. Incontestablement, il s'agit d'éléments utilisés pour l'aménagement des fours à savoir des barres de sole (fig. 572) permettant de mettre en œuvre une partition entre chambre basse de circulation de la chaleur et chambre haute où les vases sont mis à cuire (le laboratoire).

3.5.1. Technique

Sur le plan technique, ces barres de four présentent des caractéristiques identiques à celles des céramiques de l'atelier (cf. § 3.4.). L'argile et le dégraissant utilisés sont de nature similaire, ainsi que le mode de cuisson puisqu'elles sont majoritairement colorées, avec des nuances du beige à l'orangé. Le dégraissant est relativement peu abondant et de taille modeste sauf sur les pièces informes (série 4) de grand diamètre où certaines inclusions peuvent atteindre plusieurs millimètres.

Ces barres constituent bel et bien des terres cuites dans la mesure où elles ont été façonnées et cuites avant d'être utilisées dans les fours. Leurs dimensions et formes répondent à des contraintes d'usage (diamètre interne des structures de cuisson) et à des savoir faire spécifiques (construction de la sole, mode de chargement et solidité du laboratoire) qui impliquent une certaine standardisation. Celle-ci est cependant moins poussée que dans le cas des céramiques dans la mesure où aucun intervenant extérieur à l'atelier n'est impliqué dans les choix opérés (commanditaire, utilisateur final). C'est pourquoi les regroupements et quantifications que l'on est amené à faire en vue de leur étude ont essentiellement pour finalité de rationaliser l'analyse et non de créer une typologie en soi.

Type	NR	%NR	NMI	%NMI
Barre	283	99.3%	73	100%
Barre?	2	0.7%	0	0.0%
Total	285	43.8%	73	39.2%

Fig. 526 : quantifications des barres de four © R. Delage

3.5.2. Morphologie

Le corpus des barres se compose de 283 NR pour une évaluation de 73 NMI (basée sur les extrémités différentes au sein d'une même série morphologique et d'un même contexte ; 51 barres ont fait l'objet de mesures et sont illustrées dans la présente étude).

Il se compose d'éléments oblongs dont la longueur maximale est proche de 330/340 mm comme l'attestent les quelques éléments complets ou encore ceux dont les extrémités sont partiellement cassées ou émoussées (fig. 527). Certaines extrémités de barre présentent une couleur différente de celle du corps principal. Dans la majorité des cas, elles sont grises alors que le reste est plutôt beige ou orangé. Cette liaison très nette se situe entre 50 à 70 mm du bord, souvent sur un seul côté (barres n°6, 7, 19, 24, 33, 35, etc.).

Barre n°	Dimensions	Dimensions complètes
1	330	Proche
2	300	Proche
12	340	Proche
13	320	Proche
24	340	Oui
33	330	Oui
34	315	Proche

Fig. 527 : barres de four entières ou pratiquement complètes © R. Delage

Les sections des barres (au centre et aux extrémités) permettent de distinguer cinq séries morphologiques.

Série	NR	NMI
1	139	31
2	89	24
3	2	1
4	36	15
5	2	0

Fig. 528 : quantifications des barres de four par séries morphologiques © R. Delage

La première série est celle des barres de section quadrangulaire, depuis les profils à angle presque droit jusqu'aux profils trapézoïdaux. Elle est la plus courante avec 50% des NR et 44% des NMI (fig. 528). Comme cela est le cas pour la majorité des barres, la forme est galbée plus épaisse au centre qu'aux extrémités : 51,66 mm en moyenne au centre pour 44,55 mm aux extrémités (prise de mesure entre 40 et 70 mm du bord).

Cette série est relativement hétérogène avec une amplitude de 40 à 60 mm pour le diamètre médian d'où un écart-type élevé (fig. 529). Naturellement, il en va de même des diamètres aux extrémités puisque, dans tous les cas, ils sont proportionnels de ceux du centre.

Inv.	Diam. médian	Diam. ext (40-70 mm)
23		51
22		52
25		57
33	40	36
15	42	40
14	43	40
46	44	36
36	44	40
45	45	38
16	46	38
32	48	
47	51	43
13 ^{*1}	51	45
37	52	48
17 ^{*2}	53	43
26	54	45
24	54	49
30	55	
12	56	
41	57	51
27	59	
43	61	
48	61	50
42	69	
Moyenne	51,66	44,55
Ecart-type	7,45	6,20

Fig. 529 : Diamètres des barres de four de la série morphologique 1 (*¹ inv. étude pétro. 233 ; *² inv. étude pétro. 237) © R. Delage

Contexte	NR	NMI
Str. 565-Sd.057-US8	21	3
Str. 5655-Sd.702	20	5
Str. 5666-Sd.697-US2	17	4
Str. 565-Sd.154-US2	15	6
Str. 5663-Sd.-USsurface	13	1
Str. 5665-Sd.696-US1	9	3
Str. 5651 Sd. 701	7	2
Str. 5374 Sd.693-US3-4	6	1
Str. 5236-Sd.602-US1	3	0
Str. 5272-Sd.674-US2	2	0
Str. 5295-Sd.-US1	2	0
Str. 5662-Sd.-US2	2	1
Str. 5313	1	1
Str. 5374	1	0
Str. 5514	1	0
Str. 5374 Sd.693-US6	1	0
Str. 5236-Sd.582	1	0
Str. 5236-Sd.601-US1	1	0
Str. 5272-Sd.616	1	0
Str. 5272-Sd.678	1	1
Str. 5272-Sd.685	1	1
Str. 5272-Sd.688	1	1
Str. 5272-Sd.724	1	0
Str. 5272-Sd.725	1	1
Str. 5514-Sd.-UScendrier	1	0
Str. 5660-Sd.695-US1	1	0
Str. 653-Sd.223	1	0

Fig. 530 : origine des barres de four de la série morphologique 1 © R. Delage

La série morphologique 2, qui représente 33 % des NMI, est celle des barres de section circulaire ou ovoïde. Certaines le sont pleinement tandis que d'autres présentent de légères arrêtes en nombre supérieur bien souvent à celles des barres quadrangulaires (telle par exemple la barre n°1).

Lorsque les barres de cette série ont été régularisées et parfois lissées, leur attribution ne fait pas de doute car leur section est parfaitement circulaire (barres n°2, 6, 8, 19, 34 etc.). D'autres n'ont pas fait l'objet d'un soin identique et ont été cuites sans être parfaitement régularisées d'où parfois des traces de façonnage encore partiellement visibles (barres n°4, 31, etc.). Toutefois, ce qui les distingue des barres de la série 4 tient au fait que ces irrégularités sont relativement faibles.

Les moyennes des diamètres sont de 60,25 mm au centre et de 54,22 mm aux extrémités (fig. 531).

Ces mesures sont plus importantes que celles de la série 1. Les amplitudes demeurent élevées avec des écarts-types de 5 et 6 témoins, là encore, d'un ensemble relativement hétérogène.

Inv. étude pétrographique : 230, fragment.

Inv.	Diam. Médian	Diam. Ext (40-70 mm)
40	0	53
44	0	53
49	50	50
51	54	49
31	55	0
50	55	45
07	58	51
06	61	45
01	61	48
03	63	63
08	64	56
04	65	54
34	68	61
02	69	65
Moyenne	60,25	54,22
Ecart-type	5,21	6,21

Fig. 531 : diamètres des barres de four de la série morphologique 2 © R. Delage

Contexte	NR	NMI
Str. 5272-Sd.674-US2	23	7
Str. 565-Sd.057-US8	20	3
Str. 565-Sd.154-US2	12	4
Str. 5660-Sd.695-US1	4	0
Str. 5651 Sd. 701	3	1
Str. 5272-Sd.677	3	0
Str. 5272-Sd.688	3	2
Str. 565-Sd.057	3	0
Str. 5514	2	1
Str. 5083-Sd.-US2	2	2
Str. 5088-Sd.-décap.	2	0
Str. 5272-Sd.674-US3	2	1
Str. 5048	1	0
Str. 5305	1	1
Str. 5236-Sd.582	1	0
Str. 5270-Sd.694-US1	1	1
Str. 5272-Sd.616	1	1
Str. 5320-Sd.551-US5	1	0
Str. 5350-Sd.725-US5	1	0
Str. 5655-Sd.702	1	0
Str. 5665-Sd.696-US1	1	0

Fig. 532 : origine des barres de four de la série morphologique 2 © R. Delage

La série morphologique 3 ne comporte, sur la base des données de la présente fouille, qu'un seul exemplaire (mais un autre est connu par exemple sur la fouille de Bais, carrière des Vallons 2008 : Mentélé 2011). La section de cette barre est triangulaire sur la totalité de sa longueur (barre n°29, (fig. 544) ; Str. 5655-Sd.702).

La série morphologique 4, enfin, est celle des barres plutôt **informes**, à savoir qui, d'une section à l'autre, ne présentent pas nécessairement le même profil ou encore des dépressions profondes dues à un façonnage à la main sans régularisation (barres n°9, 20 etc.). Elles présentent également des diamètres plus importants que les autres comme l'attestent les mesures individuelles ou encore les moyennes avec 67,44 mm en partie médiane et 59 mm aux extrémités (fig. 533).

Etude pétrographique : inv. 231, fragment incomplet, pâte très dégraissée, morphologie entre informe et circulaire ; inv. 238, fragment de diamètre incomplet mais avec bord, typiquement informe.

Inv.	Diam. médian	Diam ext (40-70 mm)
35		61
19	57	
28	63	48
20	65	
11	66	58
18	67	
38	70	60
21	70	65
09	71	62
10	78	
Moyenne	67,44	59
Ecart-type	5,85	5,86

Fig. 533 : diamètres des barres de four de la série morphologique 4 © R. Delage

Contexte	NR	NMI
Str. 565-Sd.057	8	5
Str. 565-Sd.057-US8	5	2
Str. 565-Sd.154-US2	5	3
Str. 370-Sd.012-US2	3	1
Str. 5429-Sd.564	2	0
Str. 5550-Sd.678	2	1
Str. 5655-Sd.702	2	1
Str. 5651 Sd. 701	1	1
Str. 028-Sd.038	1	0

Contexte	NR	NMI
Str. 5252-Sd.606	1	0
Str. 5272-Sd.688	1	0
Str. 5272-Sd.724	1	0
Str. 5350-Sd.725-US5	1	0
Str. 5651-Sd.702	1	0

Fig. 534 : origine des barres de four de la série morphologique 4 © R. Delage

Sous la dénomination « série 5 » a été également enregistré un unique exemplaire (barre n° 39, **fig. 547**). Il s'agit en fait d'une plaque foyère découpée formant ainsi une barre quadrangulaire de 86 mm de large pour 45 mm d'épaisseur. Avant cuisson, l'artisan a tracé sur une plaque une ligne de prédécoupe de 10 mm de profondeur, puis a cassé celle-ci d'où des traces d'arrachement sur l'épaisseur restante. L'autre bord constitue la limite initiale de la plaque avec un léger ressaut à l'extrémité. La fonction de cette éventuelle « barre » est moins évidente que pour les précédentes car elle peut ne pas avoir été utilisée dans les fours ou tout simplement dans le cadre de l'activité artisanale (Str. 5374 sd. 693, US 3/4).

3.5.3. Synthèse morphologique

La confrontation de l'ensemble des données métriques relatives aux différentes séries morphologiques (essentiellement les séries 1, 2 et 4) permet de dégager les grandes tendances des caractéristiques de ce corpus.

1. Quelle que soit la forme de leur section, les barres de four présentent des profils oblongs relativement similaires. Les diamètres médians et ceux des extrémités sont systématiquement proportionnels.
2. Les séries morphologiques, dans leur ensemble, ne constituent pas en soi des entités de dimensions homogènes, bien distinctes les unes des autres, puisqu'une grande partie des individus des séries 1 et 2, à savoir les plus courantes, ont des diamètres identiques (**Fig. 535**).
3. Sur la base des seules données relatives aux diamètres on peut tout de même distinguer trois groupes de barres (**Fig. 535**). Celui des barres de petits diamètres (autour de 40 mm) se compose exclusivement de pièces de la série 1. Il s'agit d'éléments de section carré, à angles droits, très cuits, présentant des caractéristiques similaires d'une barre à l'autre. Elles proviennent majoritairement du fossé 565. Le deuxième groupe est celui des barres dont le diamètre se situe autour de 60 mm. Il comporte des pièces des séries morphologiques 1 et 2 mais aussi dans une certaine mesure de la série 4. Ces barres ont été mises au jour en divers points du site. Elles témoignent de la pratique la plus courante du ou des potiers du site, vraisemblablement tout au long de l'activité de l'atelier. Le dernier groupe enfin est celui des barres dont le diamètre se situe autour de 70 mm. Il se compose aussi bien d'éléments de la série morphologique 2 que 4, mais aucun de la série 1 (bien que le diamètre médian d'une d'entre elles soit susceptible d'être compatible). Là encore, la majorité provient du fossé 565.

En définitive, si les artisans se donnent un certain nombre de contraintes formelles pour la fabrication des barres : forme oblongue, longueur entre 300 et 340 mm, ils ne semblent pas que la question de la forme ou du diamètre soit primordiales. Ces variables relèveraient ainsi essentiellement de choix et savoir faire individuels.

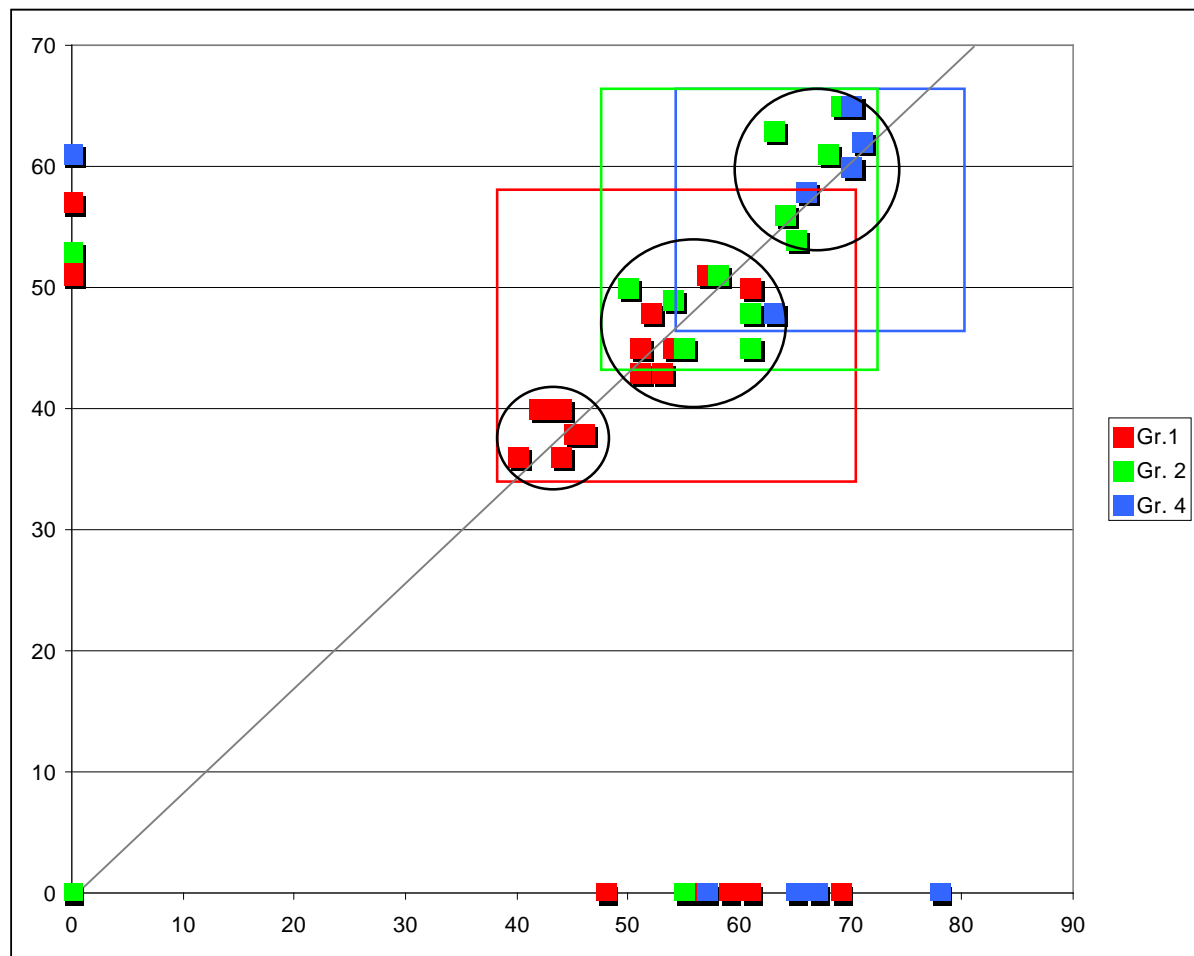


Fig. 535 : confrontation du diamètre médian (abscisse) et de ceux des extrémités (ordonnée) pour les barres des séries morphologiques 1, 2 et 4. Les rectangles de couleur délimitent l'amplitude potentielle des mesures. Les cercles noirs permettent de visualiser les groupes homogènes de barre © R. Delage

3.5.4. Répartition au sein des contextes

De nombreux contextes ont livré des fragments de barre de four en association avec des fragments de céramique de production locale. Une dizaine d'entre eux se distingue toutefois par la présence de plusieurs individus et plus particulièrement pour les quatre premiers par l'attestation de plus de 20 fragments représentant de 7 à 10 NMI (Fig. 536).

Ces quatre contextes cumulent à eux seuls presque la moitié des NR et des NMI. Notons qu'ils correspondent pour une part à ceux qui ont également livré le plus de mobilier céramique (F5655 ou F5272), mais également aux différents contextes du fossé F565 qui ont été perturbés par l'installation du *fanum* et de ses abords et qui de ce fait sont moins riches en rebuts d'atelier que les autres.

Les assemblages de barres au sein des contextes majeurs ne livrent guère de données pertinentes. Les séries morphologiques 1 et 2 sont systématiquement associées et se trouvent parfois complétées par un ou des exemplaires de la série 4. Cela ne fait que confirmer le fait que le profil des barres ne relève pas d'un facteur de contrainte de production mais plutôt de choix idiosyncrasiques.

Notons simplement que dans le fossé F5272, là où se trouvent implantés les vestiges du four 5663, le corpus comporte essentiellement des éléments de la

série 2, alors que dans le grand fossé F5651 (sondages 701 et 702), se sont celles de la série 1 qui dominent.

Contexte	NR	%NR	NMI	%NMI
Str. 565-Sd.057-US8	52	18.2%	9	12.3%
Str. 565-Sd.154-US2	34	11.9%	13	17.8%
Str. 5272-Sd.674-US2	25	8.8%	7	9.6%
Str. 5655-Sd.702	25	8.8%	7	9.6%
Str. 5666-Sd.697-US2	17	6.0%	4	5.5%
Str. 565-Sd.057	14	4.9%	5	6.8%
Str. 5663-Sd.-US surface	13	4.6%	1	1.4%
Str. 5651 Sd. 701	11	3.9%	4	5.5%
Str. 5665-Sd.696-US1	10	3.5%	3	4.1%
Str. 5374 Sd.693-US3-4	8	2.8%	1	1.4%
Str. 5272-Sd.688	6	2.1%	3	4.1%
Str. 5660-Sd.695-US1	5	1.8%	0	0.0%
Str. 5272-Sd.685	4	1.4%	2	2.7%
Str. 5514	3	1.1%	1	1.4%
Str. 370-Sd.012-US2	3	1.1%	1	1.4%
Str. 5236-Sd.602-US1	3	1.1%	0	0.0%
Str. 5272-Sd.677	3	1.1%	0	0.0%
Str. 5083-Sd.-US2	2	0.7%	2	2.7%
Str. 5088-Sd.-USdécap.	2	0.7%	0	0.0%
Str. 5236-Sd.582	2	0.7%	0	0.0%
Str. 5272-Sd.616	2	0.7%	1	1.4%
Str. 5272-Sd.674-US3	2	0.7%	1	1.4%
Str. 5272-Sd.724	2	0.7%	0	0.0%
Str. 5295-Sd.-US1	2	0.7%	0	0.0%
Str. 5350-Sd.725-US5	2	0.7%	0	0.0%
Str. 5429-Sd.564	2	0.7%	0	0.0%
Str. 5550-Sd.678	2	0.7%	1	1.4%
Str. 5662-Sd.-US2	2	0.7%	1	1.4%
Str. 5048	1	0.4%	0	0.0%
Str. 5305	1	0.4%	1	1.4%
Str. 5313	1	0.4%	1	1.4%
Str. 5374	1	0.4%	0	0.0%
Str. 431	1	0.4%	0	0.0%
Str. 5374 Sd.693-US6	1	0.4%	0	0.0%
Str. 028-Sd.038	1	0.4%	0	0.0%
Str. 5236-Sd.601-US1	1	0.4%	0	0.0%
Str. 5252-Sd.606	1	0.4%	0	0.0%
Str. 5270-Sd.694-US1	1	0.4%	1	1.4%
Str. 5272-Sd.678	1	0.4%	1	1.4%
Str. 5272-Sd.725	1	0.4%	1	1.4%
Str. 5320-Sd.551-US5	1	0.4%	0	0.0%
Str. 5514-Sd.-UScendrier	1	0.4%	0	0.0%
Str. 5651-Sd.702	1	0.4%	0	0.0%
Str. 653-Sd.223	1	0.4%	0	0.0%
Str. 565-Sd.047-US4	1	0.4%	0	0.0%

Fig. 536 : origines des barres de four © R. Delage

3.5.5. Des barres de four mises au jour sur la fouille de la Carrière des Vallons 2008

La fouille de La Carrière des Vallons menée en 2008 par S. Mentélé a livré au sein de 7 structures des fragments de barre correspondant à 16 NMI. La figure 140 du rapport Mentélé 2011 présente quelques uns de ces fragments. On y retrouve des barres quadrangulaires (série 1) et circulaires (série 2) ainsi qu'un probable fragment d'extrémité de la série triangulaire (série 3).

La barre quadrangulaire, galbée, présente une longueur incomplète de près de 240 mm pour un diamètre médian de 56 mm. Ces dimensions font qu'elle s'intègre parfaitement au sein du groupe 2 des barres de la présente fouille.

La barre circulaire est représentée, quant à elle, par une extrémité dont le diamètre à 110 mm du bord est de 54 mm. Là encore cette donnée est parfaitement compatible avec celles de la présente fouille, cette barre venant vraisemblablement s'intégrer au sein du groupe 3.

Ces découvertes et la parfaite compatibilité des barres des deux fouilles montrent qu'elles appartiennent à la même entité de production. Les vestiges étant situés à 500 m environ les uns des autres cela n'est guère

étonnant. Rappelons qu'il n'est pas exclu que un ou des potiers se soient installés également dans le secteur de la fouille de 2008 puisque les vestiges de la structure de combustion de l'ens. 15 pourraient correspondre à ceux d'un four de potier contemporain des autres (présence d'un vase de type Bais 10 dans le comblement). Dans ce cas, les barres recueillies lors de la fouille de 2008 pourraient ne pas être issues de rejets délocalisés, mais bel et bien être les témoins d'une activité sur place (comme peuvent l'être également d'autres mobiliers à l'image des « tuyaux » ou encore des formes Bais 12 ; cf. ci-après).

3.5.6. La forme 12 : terre cuite artisanale ?

La question de la fonction des « entonnoirs » (forme Bais 12) est largement abordée dans le chapitre consacré aux productions de l'atelier. Rappelons simplement qu'ils ont été découverts en nombre au sein de la fouille de La Carrière des Vallons 2008 : 24 NMI soit plus que lors de la présente (4 NMI). Les quelques profils complets conservés indiquent clairement qu'ils ne pouvaient servir de contenant. Dans le cadre de l'activité potière, il est possible d'envisager qu'ils aient pu servir de support pour l'enfournement ou même de support pour le façonnage ou le tournage de certaine forme.

3.5.7. Éléments de comparaison

Le travail de synthèse de Th. Le Dreff portant sur les ateliers de potiers gaulois du bassin de la Garonne repose sur un riche corpus composé notamment de plus d'une centaine de structures de cuisson (Le Dreff 2011). L'agencement le plus fréquent de la partie interne des fours est celui du support en partie centrale (au sein de la chambre de cuisson) surmonté d'une sole composée de boudins rayonnants (dénommés également parfois pains ou luts). Les flammes, fumées et gaz de combustion passent donc d'une chambre à l'autre, de part et d'autre de ces boudins. Bon nombre des fours présentant un état de conservation suffisant semble montrer toutefois que ce dispositif n'est pas amovible. Les boudins auraient été façonnés par le potier au moment de l'aménagement du four (sur la base d'une âme?) puis auraient été cuits avec le reste de l'infrastructure lors d'une première chauffe à vide. Un tel dispositif est bien visible par exemple sur les photographies des fours de Lacoste en Gironde (Siriex 1990) ou encore Prigonrieux en Dordogne (Elizagoyen et al. 2010, fig. 6 et 7). Le diamètre moyen de ces boudins est de 150 mm soit plus du double du groupe majoritaire de Bais. La forme mentionnée par Th. Le Dreff est également bien différente puisqu'elle se caractérise par « une face plane correspond[ant] à la surface de pose de la charge à cuire [--- et] d'une face convexe qui est tournée [---] vers la chambre de chauffe » (Le Dreff 2011, p. 25).

A Barbezieux (Charente), la fouille d'un atelier de potiers a livré par contre d'incontestables fragments de barres amovibles utilisées pour l'installation d'une sole de four reposant sur deux supports en partie basse (Baigl 2000). Ces barres, de section circulaire présentant parfois une surface aplatie, sont d'un gabarit bien supérieur à celles de Bais puisque les longueurs varient de 430 à 520 mm avec des diamètres de 74 à 92 mm. Dans de nombreux autres cas, la question de l'amovibilité « réelle » de la sole n'est guère abordée sinon par analogie et tradition. Aucun dispositif pertinent n'est mis en évidence par exemple pour les ateliers de Villedieu-sur-Indre (Indre) et Lezoux (Puy-de-Dôme) (Coulon, Odier 1980 ; Mennessier-Jouannet 1991). Dans le cas de l'atelier de Montmorillon, il est signalé la présence de « fragments de boudins d'argile » mais la nature précise (amovible ou non) n'est pas mentionnée (Landreau et al. 2012).

En revanche, des correspondances pertinentes et nombreuses existent

bel et bien avec des ateliers de potiers de Grande-Bretagne et tout particulièrement ceux de la Nene Valley. Le type de four à barres amovibles connaît de nombreuses occurrences avant la seconde moitié du I^{er} s. ap. Son usage s'inscrit dans une évolution qui voit la généralisation des céramiques fabriquées au tour, la coexistence des productions de tradition indigène et d'influence continentale du monde gallo-romain, ainsi que le développement des ateliers où évoluent des potiers « professionnels » (Swan 1984, p. 56-57). En terme de chronologie absolue, les données demeurent incertaines, mais la plupart des exemples remarquables sont vraisemblablement à situer au cours de la première moitié du I^{er} s. ap. Comme dans le cas de l'atelier de Bais, les barres reposent majoritairement, au centre du four, sur un pilier circulaire ou quadrangulaire (mais d'autres dispositifs moins courants sont également recensés) composé de blocs d'argile, d'une céramique ou encore de blocs minéraux. A l'autre extrémité, elles sont maintenues soit par un petit muret soit se trouvent encastrées dans la paroi du four comme à Rushden (Woods 1974, fig. 3) ou Spong Hill (Swan 1984, pl. 16). Sur ce dernier site, l'élévation est suffisamment bien conservée pour que soient visibles les perforations au sein desquelles le potier a encastré les barres oblongues.

Notons également, car la comparaison avec les exemplaires de Bais est intéressante, que les barres du site de Weekley sont de couleur orange mais avec des extrémités grises dues vraisemblablement à leur encastrement dans le mur du four (Swan 1984, p. 59). En effet, la cuisson/post-cuisson des fours étant réductrice/oxydante, les barres en contact avec les flammes, fumées et gaz de combustion, pour peu que la température ne soit pas trop élevée lors de la cuisson, prennent nécessairement une teinte colorée alors que la partie encastrée dans le mur subit une chaleur sans réoxydation. La présence de barres bicolores à Bais, souvent d'un seul côté et sur une profondeur compatible avec un encastrement dans la paroi du four, constitue incontestablement une analogie saisissante.

Plusieurs types de barres sont attestés au sein de ces ateliers précoces de Grande-Bretagne. Certaines sont plutôt quadrangulaires, mais le type le plus courant est celui des « cigar-shaped fire-bars » à savoir de forme oblongue et de section carrée de 50 mm en partie centrale à Rushden, four 3 (Woods 1974, p. 267 et fig. 6F) et de 58 mm au centre/48 mm aux extrémités (à 70 mm du bord) à Weston Favell (Bunch, Corder 1954). Ces mesures s'inscrivent parfaitement bien dans celles de la série 1 de Bais, puisque la moyenne est de l'ordre de 50 mm. La longueur des barres est, en revanche, bien plus grande, puisqu'elle atteint 460 à 500 mm sur les deux sites mentionnés précédemment.

Par ailleurs V. Swan souligne bien le caractère hétérogène des barres amovibles et le fait que des exemplaires de sections différentes se retrouvent sur un même site, voire au sein d'un même four, ce qui est, là encore, le cas à Bais.

Les correspondances entre les découvertes du territoire de Grande-Bretagne avant la conquête ou juste après et celles de Bais sont donc multiples et pertinentes, alors qu'elles le sont beaucoup moins avec les fours de la fin de La Tène en Gaule. Il est à peu près sûr toutefois qu'il s'agit là d'un état de la recherche et que l'interprétation que l'on peut en faire doit être particulièrement mesurée. En fait, l'information la plus intéressante demeure d'ordre chronologique. Les chercheurs anglais considèrent que la conception de ce type de four est lié à des influences continentales postérieures à la conquête de la Gaule, influences qui peuvent être mises en évidence par ailleurs dans de nombreux domaines de la culture matérielle à commencer par la céramique (Tyers 2001). Il semble de ce fait difficile d'envisager que les ateliers de Bais ne s'inscrivent pas dans cette même mouvance culturelle (sans que cela implique d'ailleurs un rapport direct), un argument de plus pour la caractérisation chronologique de la période d'activité de l'atelier de Bais.

Inv	Illus.	Série morphologique (profil)	fait	sondage	Us	NR	NMI
01	Fig. 538	2	565	057	8	5	1
02	Fig. 538	2	565	057	8	1	0
03	Fig. 538	2	565	057	8	1	0
04	Fig. 538	2	565	057	8	3	1
06	Fig. 539	2	565	057	8	3	0
07	Fig. 539	2	565	057	8	2	1
08	Fig. 539	2	565	057	8	1	0
09	Fig. 539	4	565	057	8	1	1
10	Fig. 539	4	565	057	8	2	0
11	Fig. 540	4	565	057	8	1	1
12	Fig. 540	1	565	057	8	5	0
13	Fig. 540	1	565	057	8	2	0
14	Fig. 540	1	565	057	8	2	1
15	Fig. 541	1	565	057	8	1	0
16	Fig. 541	1	565	057	8	1	1
17	Fig. 541	1	565	057	8	2	1
18	Fig. 541	4	565	057		2	1
19	Fig. 542	4	565	057		1	1
20	Fig. 542	4	565	057		1	1
21	Fig. 542	4	28	038		1	0
22	Fig. 542	1	5236	601	1	1	0
23	Fig. 543	1	5236	602	1	3	0
24	Fig. 543	1	5655	702		3	1
25	Fig. 543	1	5655	702		1	1
26	Fig. 544	1	5655	702		1	1
27	Fig. 544	1	5655	702		1	0
28	Fig. 544	4	5655	702		2	1
29	Fig. 544	3	5655	702		2	1
30	Fig. 545	1	5651	701		1	1
31	Fig. 545	2	5651	701		1	1
32	Fig. 545	1	5651	701		2	1
33	Fig. 545	1	565	154	2	4	1
34	Fig. 546	2	565	154	2	3	1
35	Fig. 546	4	565	154	2	1	1
36	Fig. 546	1	5666	697	2	2	1
37	Fig. 546	1	5666	697	2	2	1
38	Fig. 547	4	565	154	2	1	1
39	Fig. 547	5	5374	693	3-4	2	0
40	Fig. 547	2	5272	674	2	1	1
41	Fig. 547	1	5665	696	1	1	1
42	Fig. 548	1	5663		surface	2	0
43	Fig. 548	1	5662		2	2	1
44	Fig. 548	2	5083		2	1	1
45	Fig. 548	1	5313			1	1
46	Fig. 549	1	5272	685		3	1
47	Fig. 549	1	5272	685		1	1
48	Fig. 549	1	5272	678		1	1
49	Fig. 550	2	5272	674	2	2	1
50	Fig. 550	2	5272	674	2	2	1
51	Fig. 550	2	5270	694	1	1	1

Fig. 537 : catalogue des dessins © R. Delage

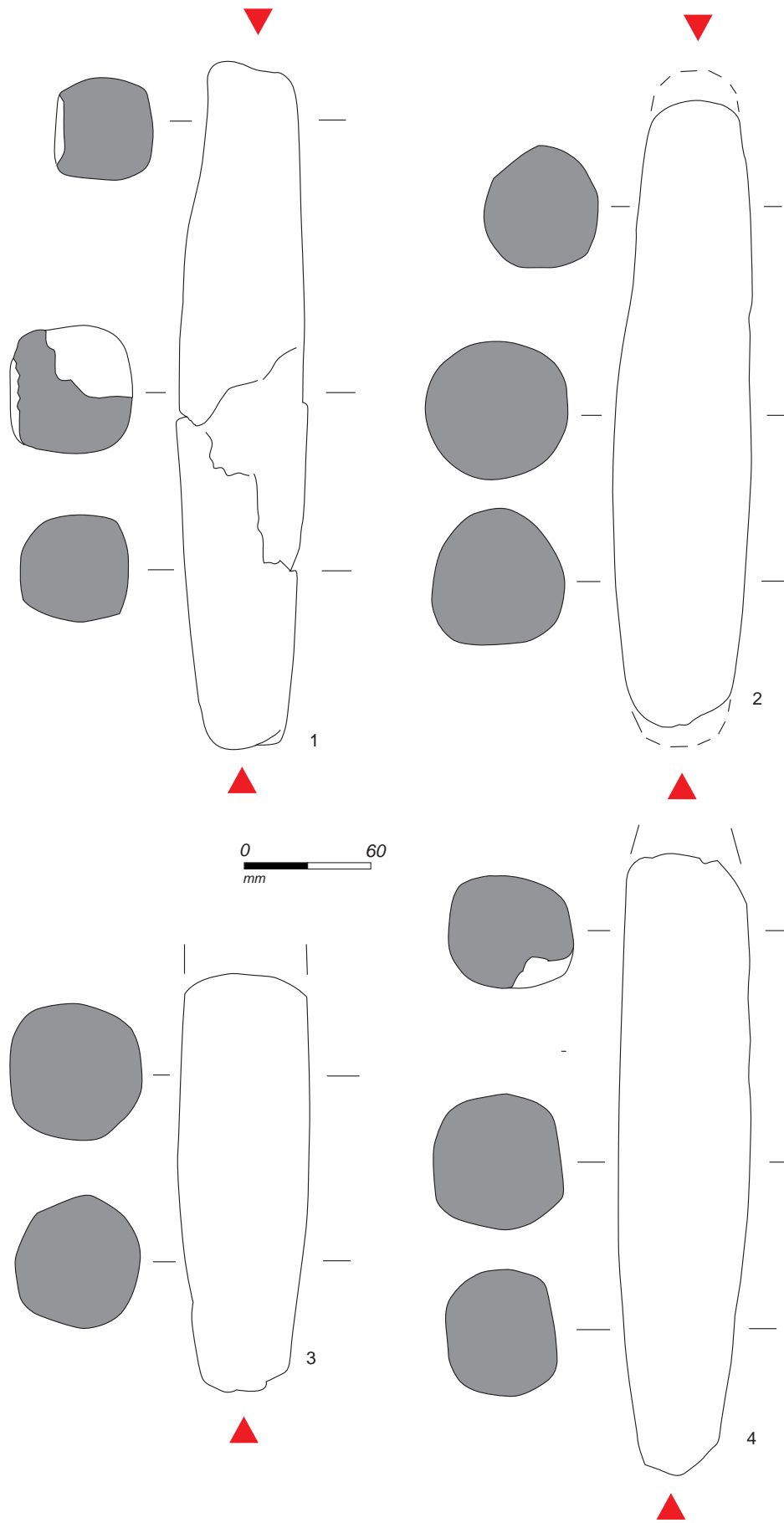


Fig. 538 : barres de type 2 F. 565 © R. Delage

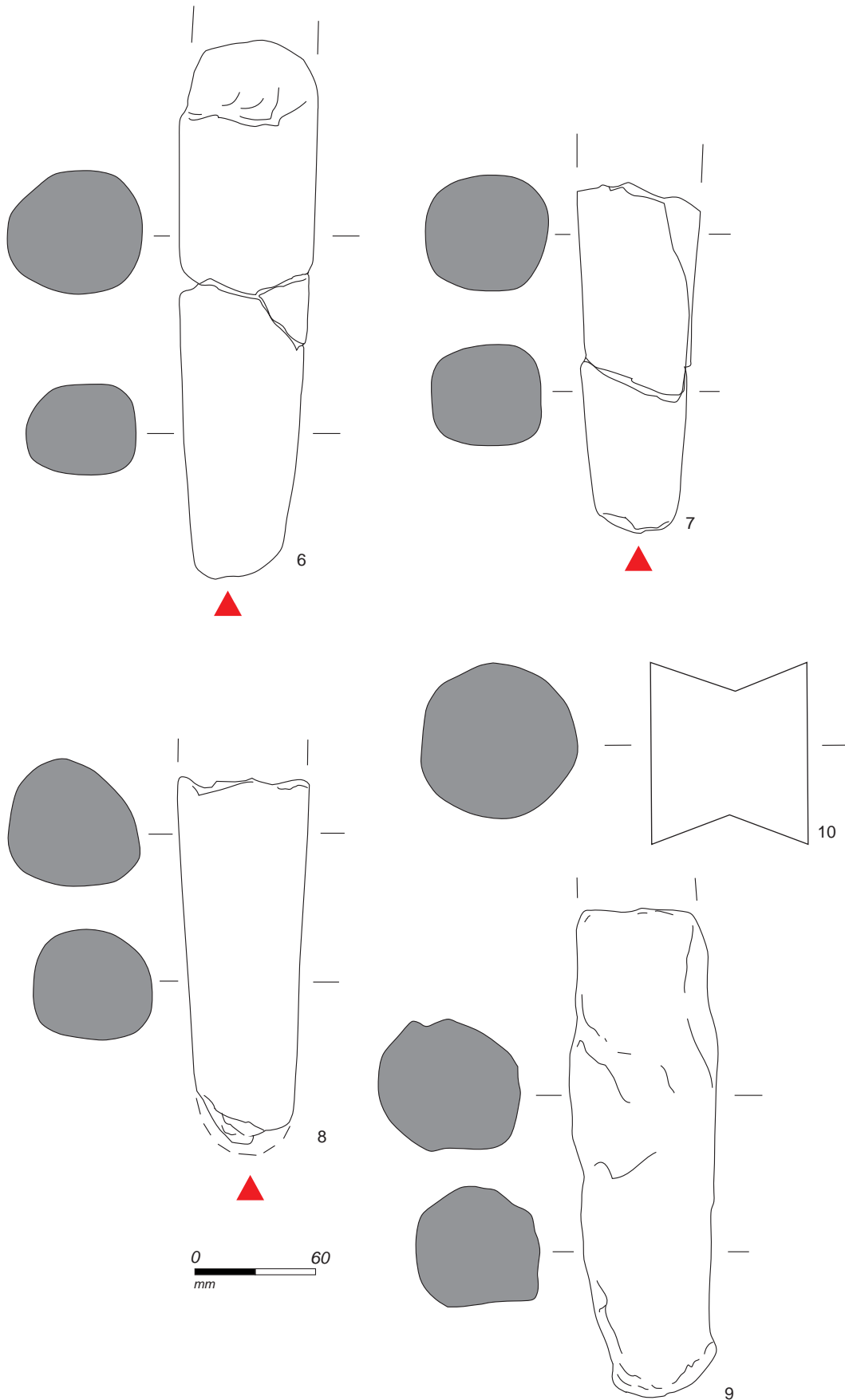


Fig. 539 : barres de type 2 et 4 F. 565 © R. Delage

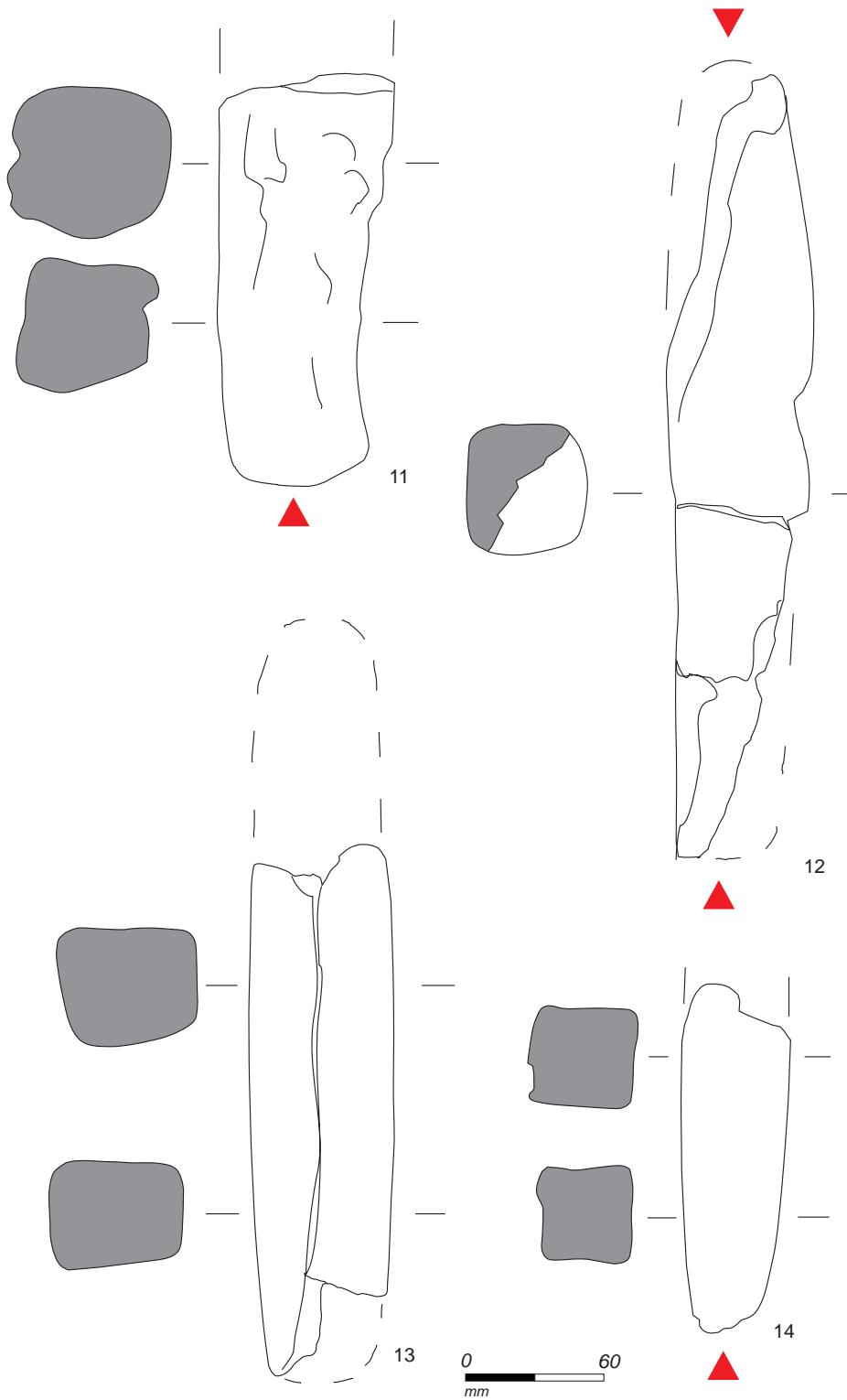


Fig. 540 : barres de type 1 F. 565 © R. Delage

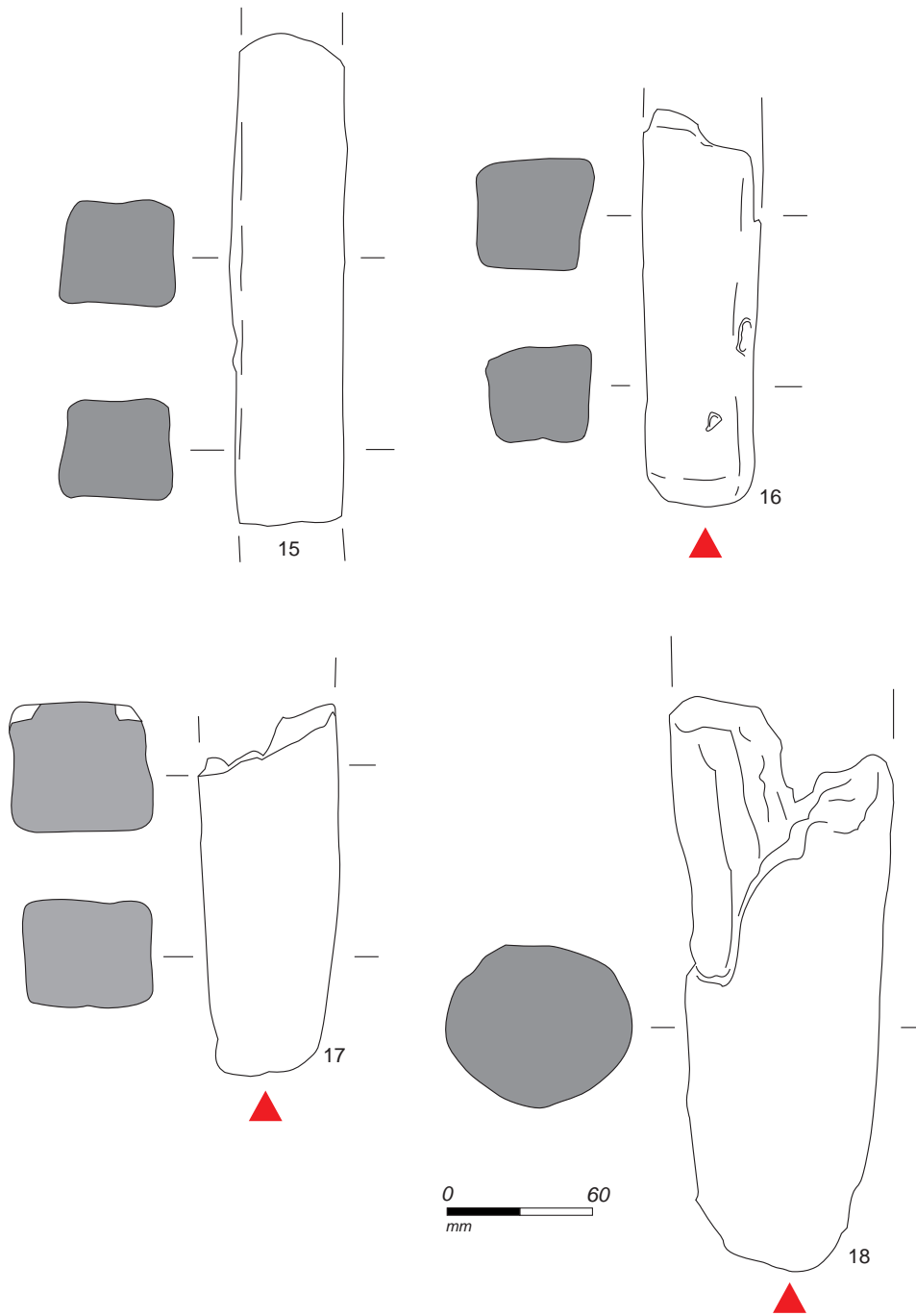


Fig. 541 : barres de type 1 et 4 F. 565 © R. Delage

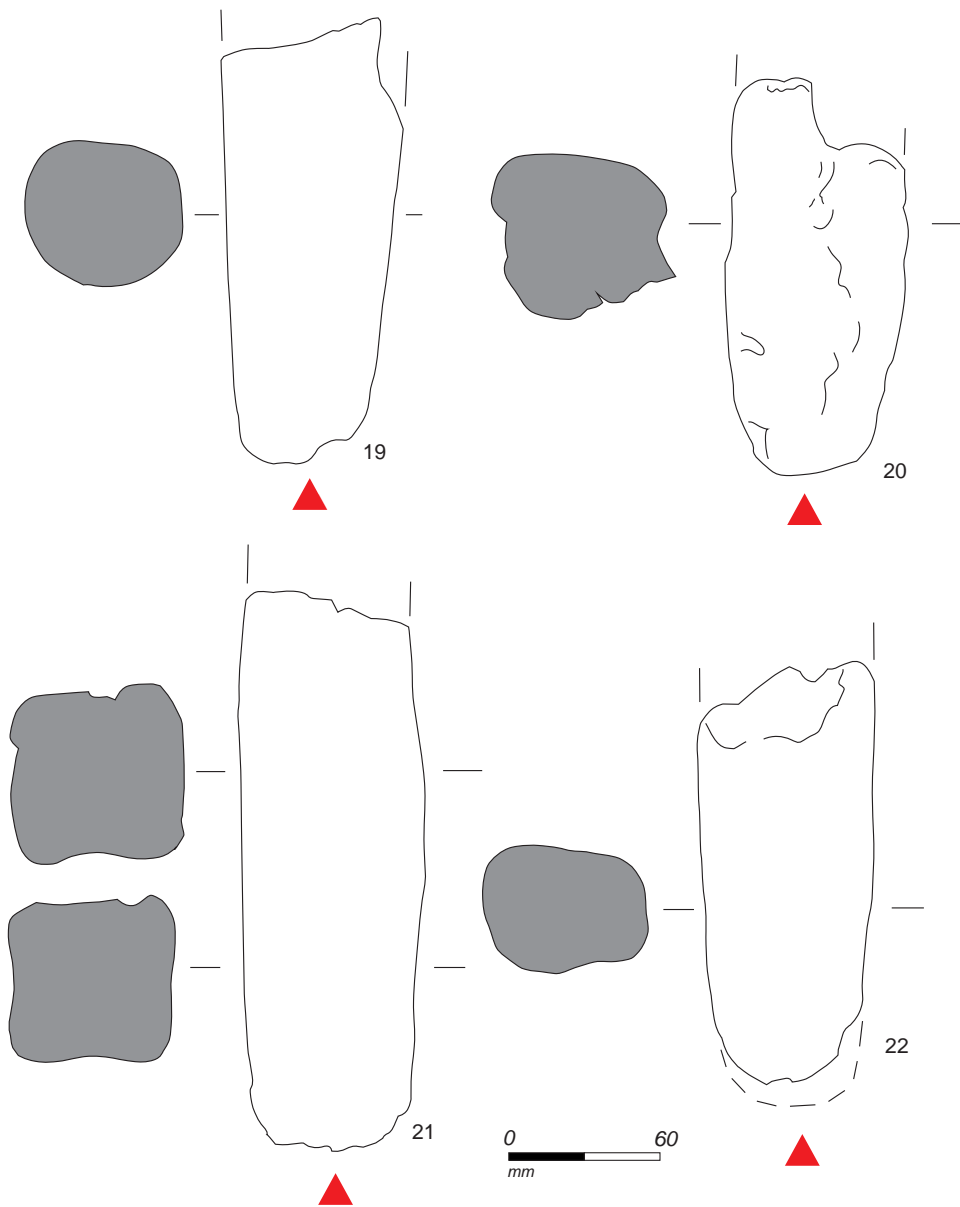


Fig. 542 : barres de type 2 F. 28; 1 et 4 F. 565; 1 F. 5236 © R. Delage

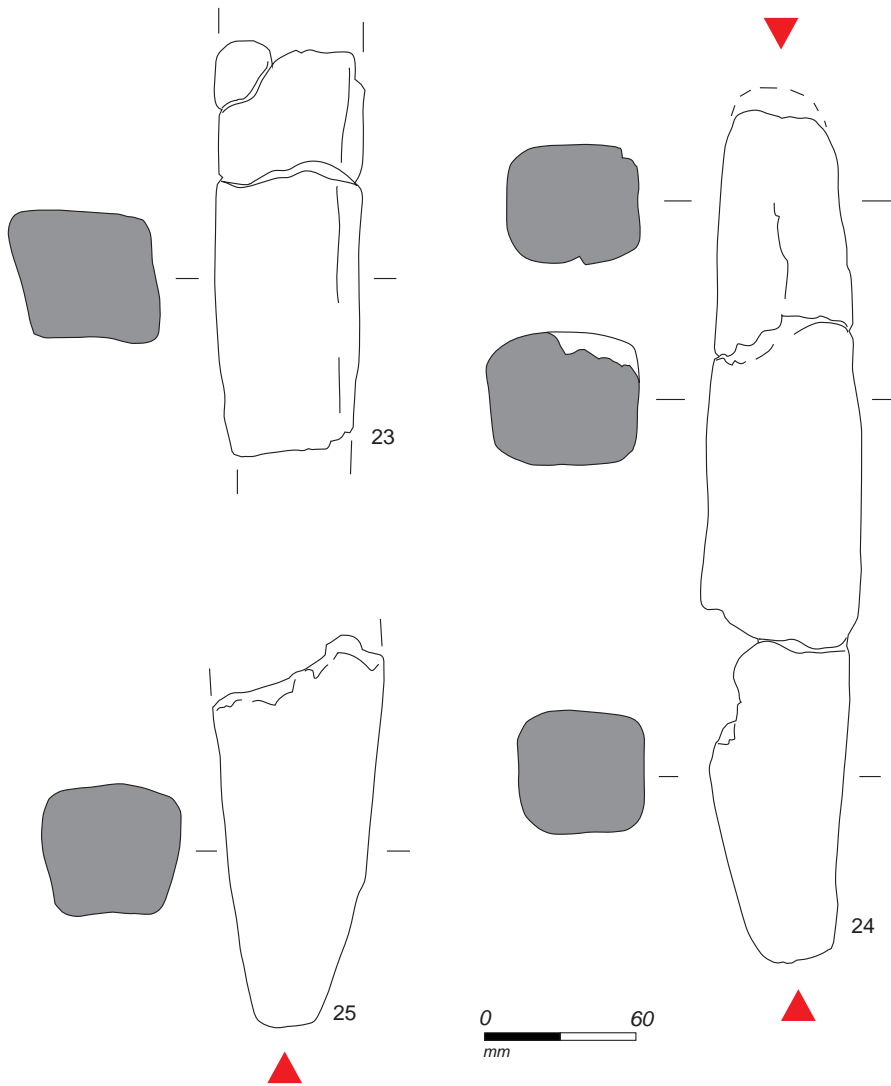


Fig. 543 : barres de type 1 F. 5236 © R. Delage

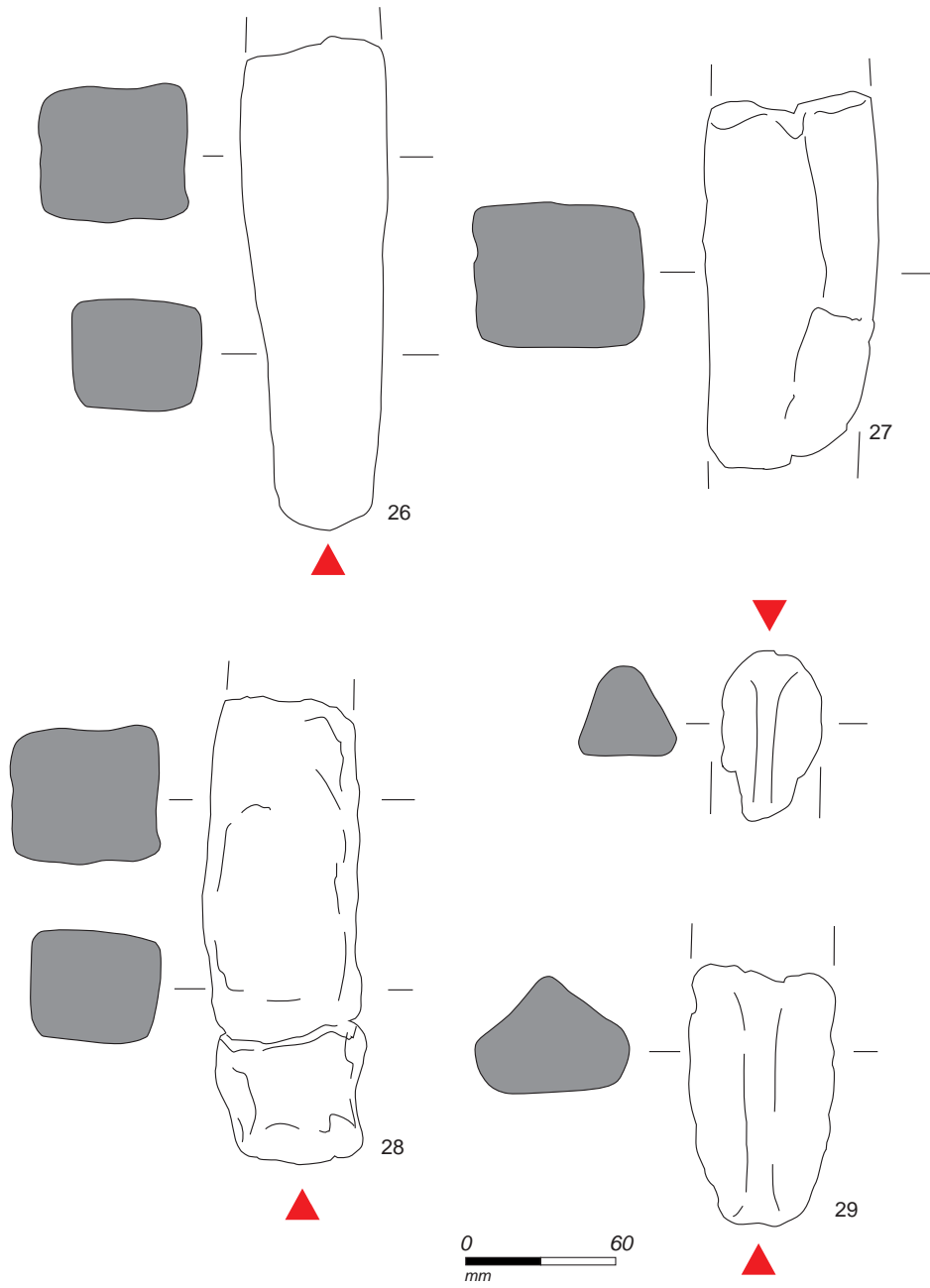


Fig. 544 : barres de type 1-3 et 4 F. 5655 © R. Delage

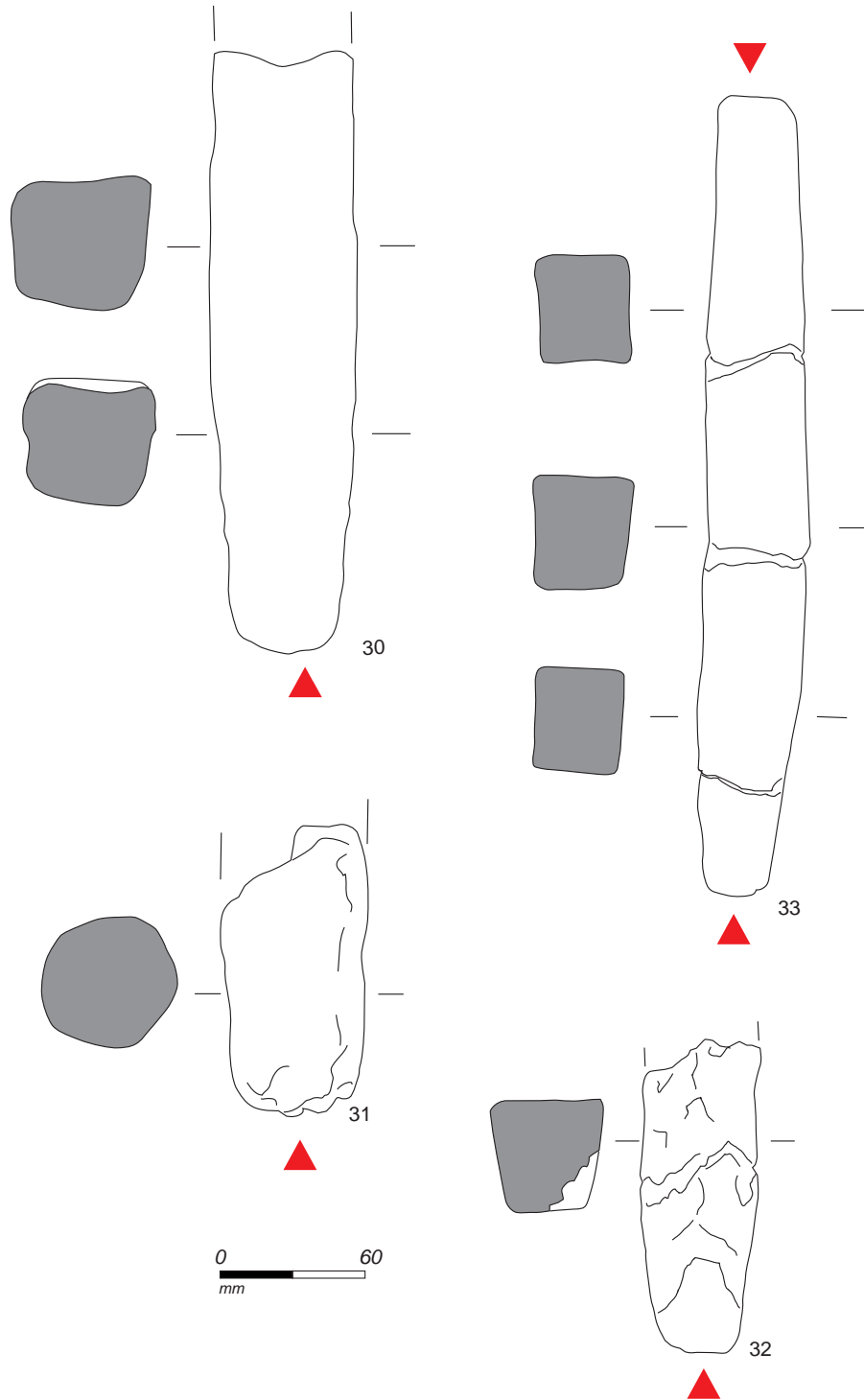


Fig. 545 : barres de type 1 F. 565 et 1 et 2 F. 5651 © R. Delage

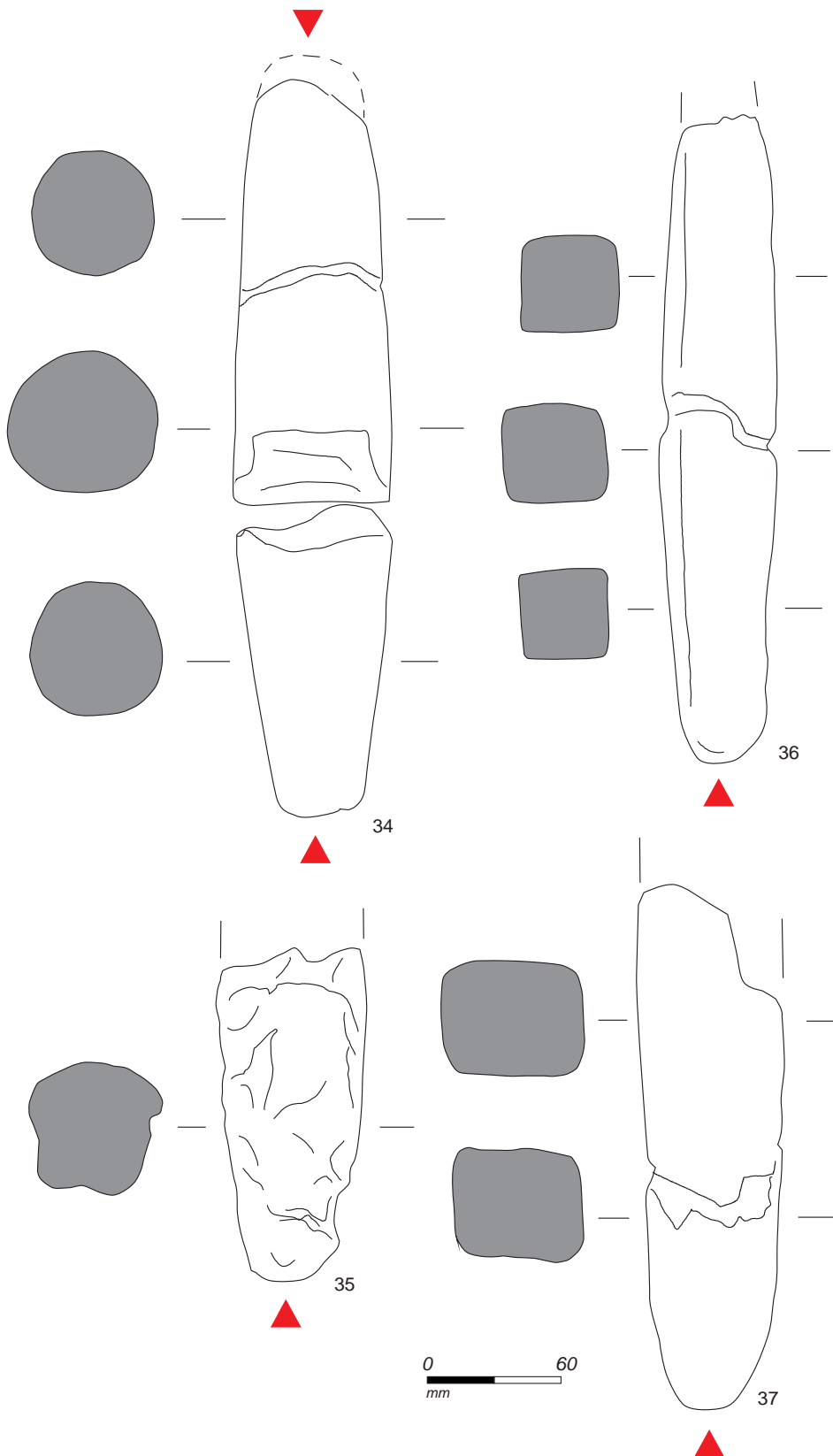


Fig. 546 : barres de type 1 F. 5666 et 2 et 4 F. 565 © R. Delage

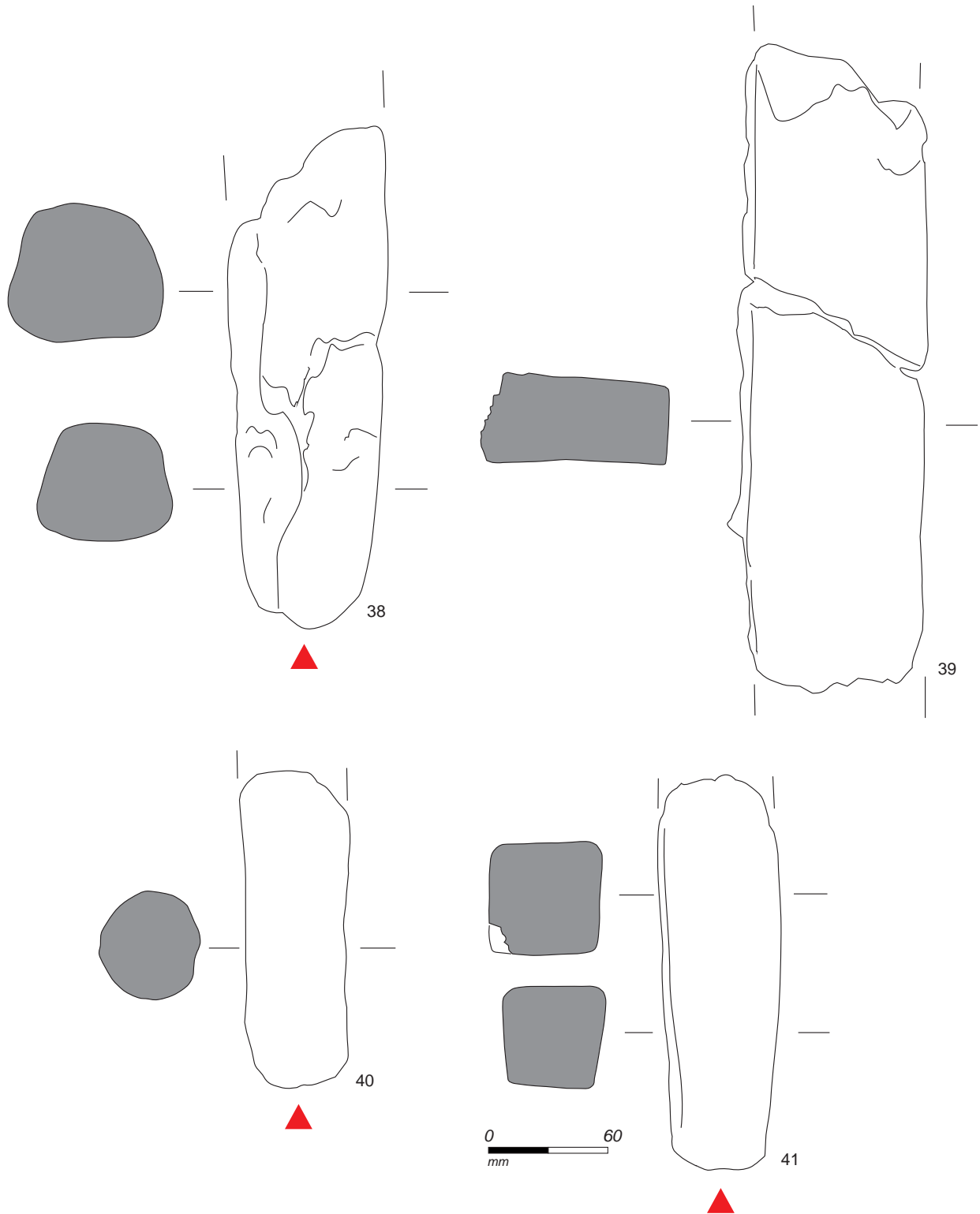


Fig. 547: barres de type 2 et 4 F. 565 et 1 F. 5666 © R. Delage

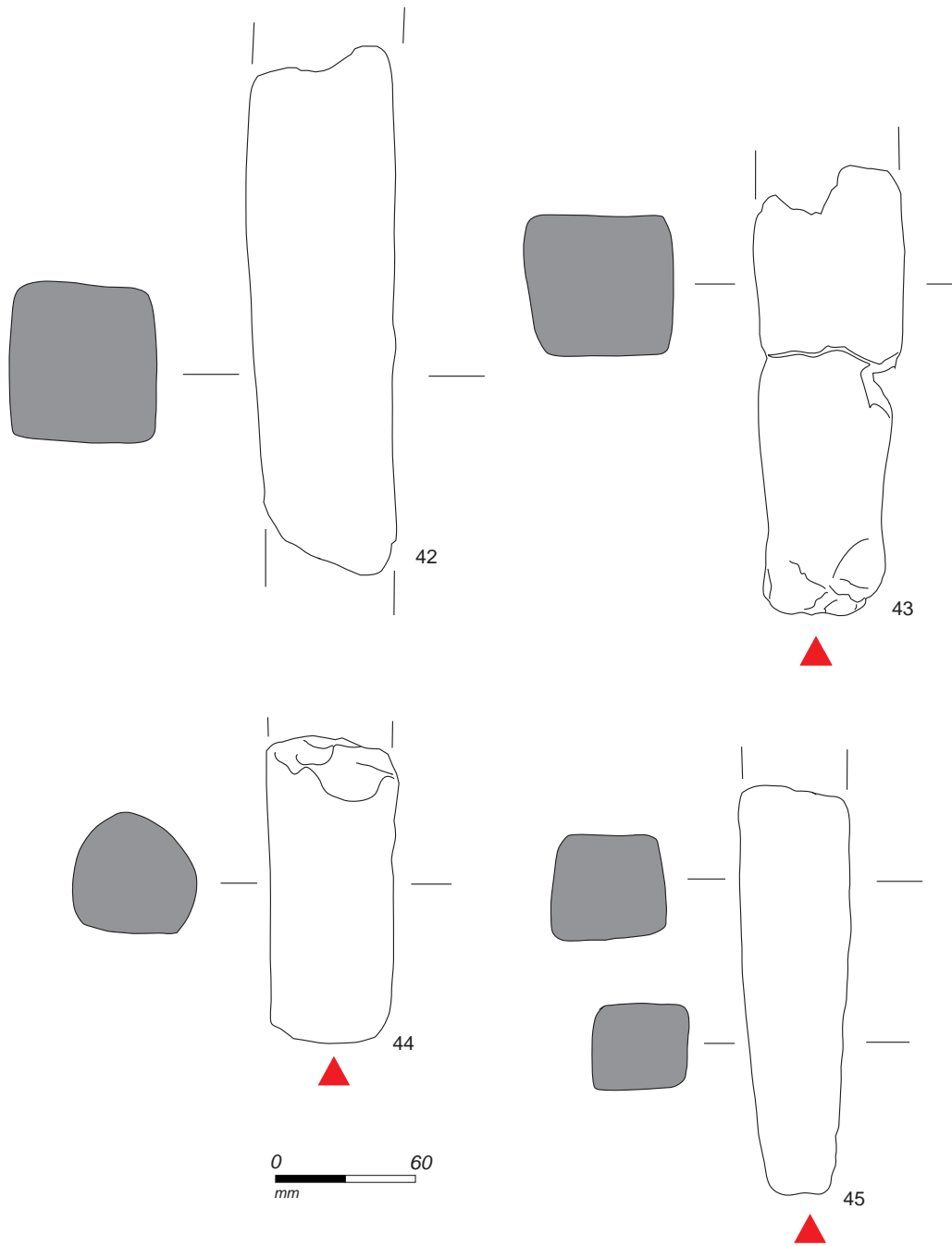


Fig. 548 : barres de type 2 F. 5083; 1 F. 5313; 1 F. 5662; 1 F. 5663 © R. Delage

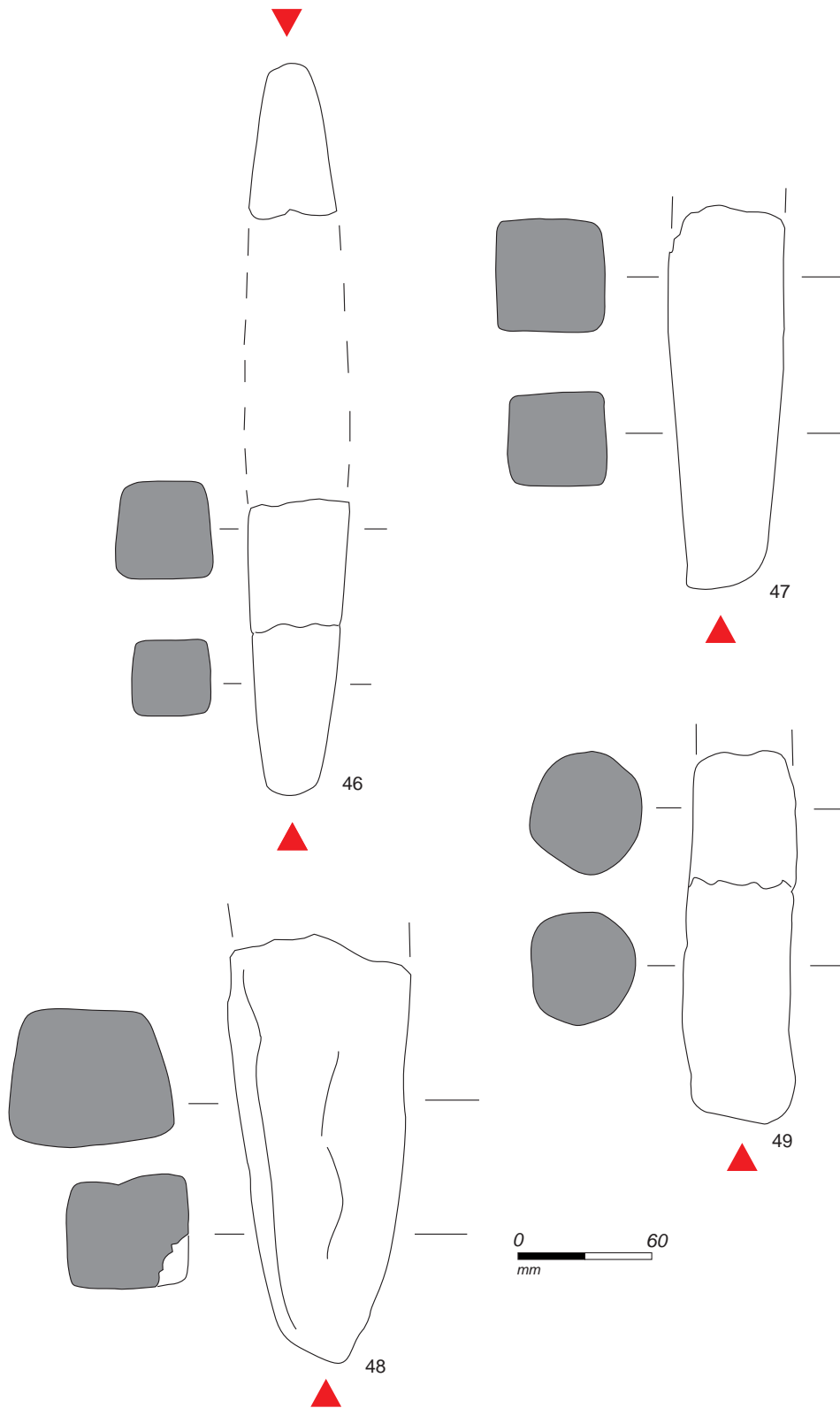


Fig. 549 : barres de type 1 et 2 F. 5272 © R. Delage

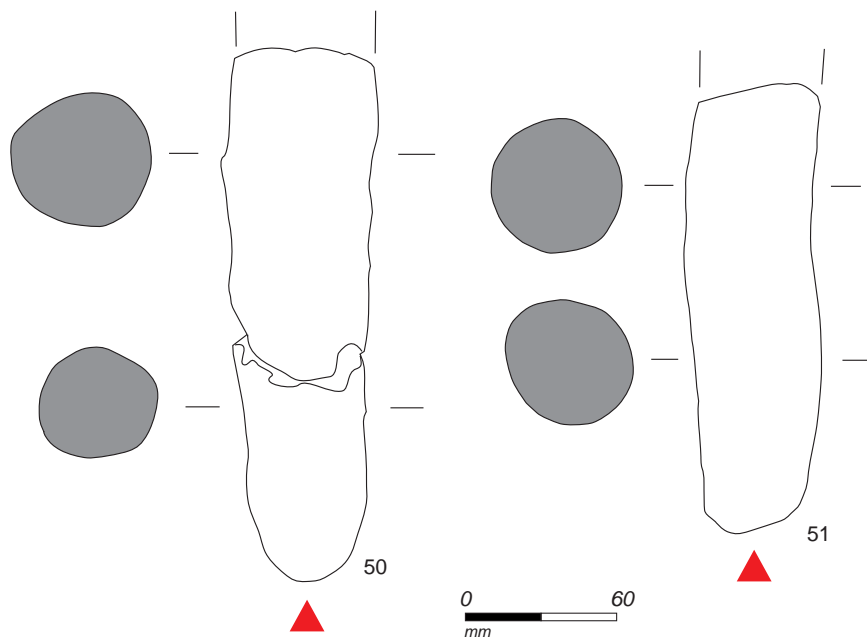


Fig. 550 : barres de type 2 F. 5270; 2 F. 5272 © R. Delage



Fig. 551 : plan de répartition des barres par NR © J.-C. Durand

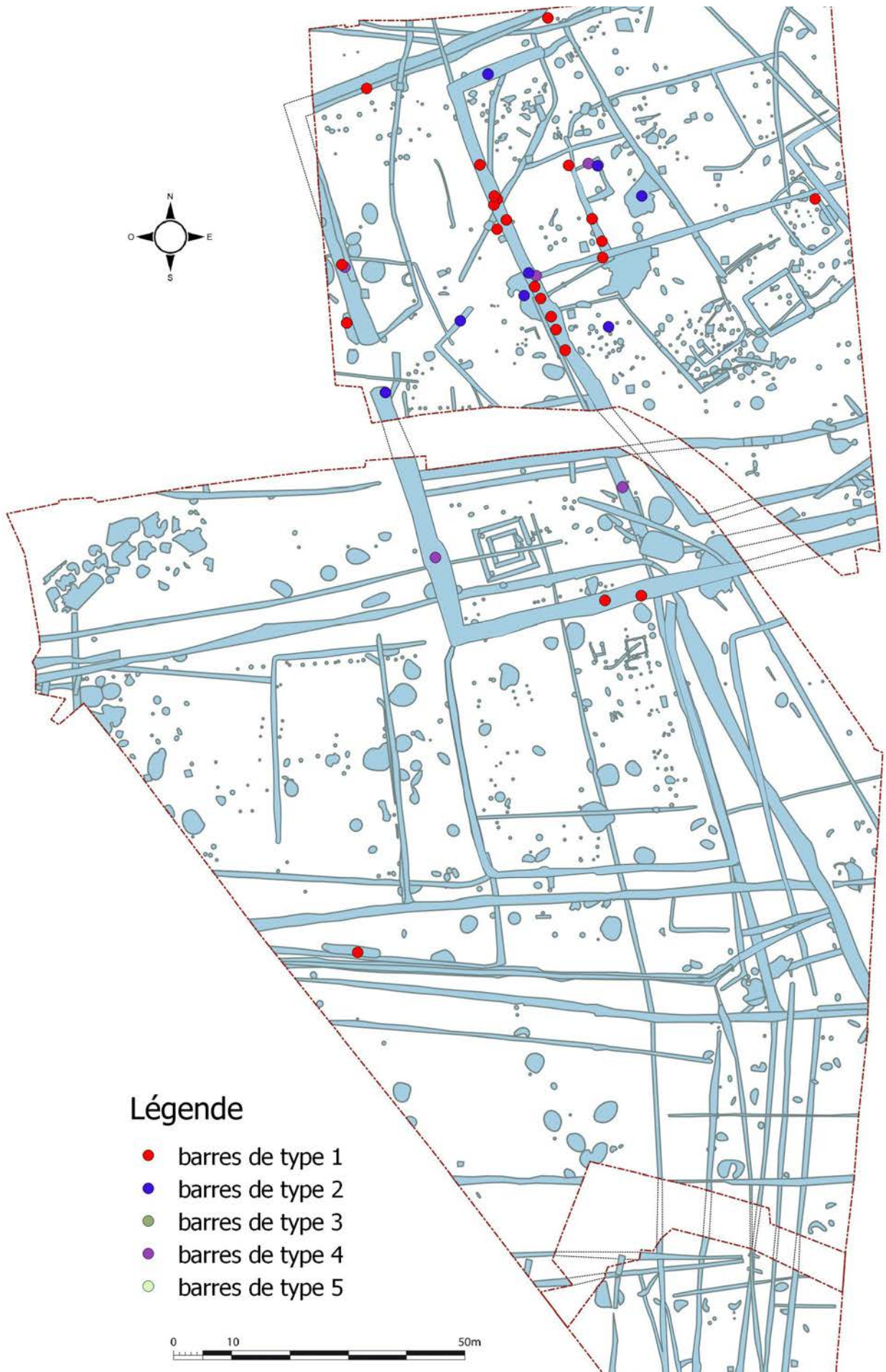


Fig. 552 : plan de répartition des barres par types © J.-C. Durand

3.6. Discussion sur la chronologie des ateliers de potiers précoces Richard Delage, Nicolas Ménez et Jean-Claude Durand

Abandon des ateliers précoces : les indices chronologiques de la stratigraphie de F565

Au sein du fossé F565, les sondages 57 et 124 de la présente fouille ainsi que le sondage F5-extension du diagnostic de S. Mentelé (Mentelé 2012) ont livré des données précieuses pour comprendre une partie de l'évolution du site.

Le tronçon F565 appartient à l'origine au fossé E3 délimitant un vaste enclos quadrangulaire laténien. Lors de la première phase d'utilisation de l'enclos, le fossé E3 ne fait l'objet d'aucun comblement anthropique. Ce n'est que lorsque les ateliers de potiers s'implantent à l'intérieur de cet enclos que des déchets de fabrication sont régulièrement déversés dans les différents tronçons. Ceux-ci se retrouvent ainsi, au final, comblés avec ces mobiliers abondants.

Lors de l'installation du sanctuaire, les constructeurs décident d'utiliser les tronçons F28 et F565 pour implanter deux des murs du péribole (probablement parce que les remblais qui s'y trouvent offrent plus d'opportunité et de facilité d'aménagement et ce bien qu'il soit fort probable que les tronçons à cet emplacement comme ceux plus au nord aient été scellés par l'activité des ateliers précoces).

Les fossés sont partiellement recrusés par les aménageurs du sanctuaire (probablement pour obtenir des matériaux en vue de constituer la plateforme préalable à la construction). Au sein des sondages F57-F154, les niveaux contemporains des ateliers de potiers, laissés en place, correspondent aux US 6, 7, 13 et 14. Le fossé à cet emplacement sert ensuite de dépotoir aux constructeurs. Les US 3, 4, 5, 6 et 8 qui constituent des couches dont l'épaisseur ne dépasse guère 50 cm, comportent des mobiliers caractéristiques de la fin du I^{er} s. av. et du début du I^{er} s. ap. mélangés avec de nombreux déchets de l'atelier précoce et notamment une série de barres de cuisson issue de la destruction d'un four ou de la dispersion de dépotoirs.

Au dessus de ces niveaux se trouvent des couches qui ne livrent pas de mobilier pertinent sur le plan chronologique (seuls quelques fragments résiduels de l'atelier précoce ont été recueillis) : US 2 et 10. C'est au sein de ces US d'aménagement que prend place le radier de fondation du mur du péribole (F583) conservé immédiatement au nord de la coupe. Est associée également à cet aménagement une petite zone rubéfiée qui soit est utilisée et abandonnée lors de la construction du mur du péribole, soit demeure contigüe au mur après sa construction et se trouve être en usage en même temps que le sanctuaire.

Notons que le péribole nord comporte également un lambeau de mur dont la tranchée de fondation comporte des mobiliers du déb. du I^{er} s. ap. J.-C. (F25, sd. 125).

La stratigraphie du fossé F565, sd. 57 comporte une ultime phase liée vraisemblablement à la démolition du sanctuaire : fin du I^{er} s. – début du II^e s. ap. J.-C. Il s'agit de la fosse F639 (correspondant au sein du sd. F57-F154

à l'US 12 et peut-être 15). Elle prend place à l'emplacement du péribole et détruit parfois profondément les strates précédentes. Notons que les indices de cette période de probable démolition du sanctuaire se retrouvent également dans plusieurs fossés bordant cet espace dont notamment le sondage 10 du fossé 21 qui comporte un fragment de chenet à mettre en lien avec l'aménagement du sanctuaire.

Cette stratigraphie est intéressante car elle montre non seulement que les niveaux gallo-romains de la fin du I^{er} s. av. – début I^{er} s. ap. J.-C. sont en contact avec ceux de l'atelier et qu'ils les ont perforés mais aussi surtout que les travaux d'aménagement du sanctuaire ont consisté notamment en un nettoyage des vestiges de l'atelier de potiers. Les barres de fours qui tapissent le fond des US 5 et 8 en témoignent. De ce fait, le laps de temps entre l'arrivée des constructeurs et l'abandon des ateliers ne peut guère se compter en décennies.

On peut ainsi situer l'abandon des ateliers de potiers précoces au cours de la deuxième moitié du I^{er} s. av., et à titre d'hypothèse au cours des dernières décennies de ce siècle.

Durée de fonctionnement des ateliers précoces : les indices de l'étude des céramiques et des terres cuites artisanales

Un des objectifs de l'étude des mobiliers issus des dépotoirs des ateliers précoces étaient de déterminer s'il était possible de mettre en évidence des groupes présentant suffisamment de caractères distinctifs. En cas de réponse positive, ceux-ci auraient pu alors rendre compte d'une possible évolution de l'activité de production céramique et donc fournir des hypothèses quant à l'amplitude de sa période de fonctionnement.

Il n'en a rien été toutefois. Au final, on ne peut que conclure à l'homogénéité des mobiliers.

Concernant le répertoire des céramiques : trois formes dominantes représentent plus de 80% de la production. Elles sont fréquemment associées au sein des dépotoirs les plus importants et elles sont présentes, particulièrement la forme 2, dans le comblement de tous les tronçons de fossés, quelles que soient les profondeurs. Par ailleurs, la plupart des sous-types définis correspond plus à des variantes décoratives ou fonctionnelles qu'à de véritables évolutions morphologiques qui auraient été repérées dans certains contextes et pas dans d'autres. Pour le type 1 par exemple les différents sous-types figurent au sein des mêmes dépotoirs.

L'étude des terres cuites artisanales, en l'occurrence essentiellement les barres de fours, permet d'aboutir aux mêmes conclusions. La présence de barres ayant des morphologies très différentes aurait pu faire penser à une évolution des savoirs faire éventuellement à mettre en relations avec différentes générations de potiers, mais, là encore, il n'en a rien été. Les différences observées sont avant tout liées à des usages contemporains et aucune distinction aboutissant à une caractérisation chronologique ne peut être proposée.

Quant à l'étude de la nature des argiles utilisées par les potiers locaux, elle n'aboutit pas à une autre conclusion. Si les artisans ont sélectionné différentes matières premières, aucune d'entre elles n'est liée à des productions données ou des lieux de dépôts particuliers.

Toutes les études menées sur les mobiliers des ateliers précoces rendent compte d'une part, à l'échelle globale, d'une grande homogénéité des productions, et d'autre part, dans le détail, de nombreuses variantes qui sont le reflet semble-t-il aussi bien de choix idiosyncrasiques que de l'absence de standardisation rigoureuse des processus de fabrication. En

aucun cas ces variations ne peuvent être interprétées de manière sérieuse en terme de distinction chronologique.

Une question demeure : est-ce que cette absence de caractérisation chronologique est liée à un fonctionnement trop bref de l'atelier pour l'on soit en mesurer de l'appréhender sur le plan archéologique (quelques décennies au mieux) ou est-ce parce que la nature des productions ne connaît guère d'évolution majeure rendant ainsi, tout simplement difficile (voire impossible) une analyse dans ce domaine ?

Le fait que la plupart des formes de Bais trouve des correspondances régionales au sein de contextes des II^e et I^{er} s. av. J.-C. (donc sur une longue période) pourrait être un argument en faveur de la seconde hypothèse. Dans de nombreux cas toutefois, les données demeurent trop imprécises pour servir d'arguments, à commencer par la nature des pâtes (Existe-t-il des céramiques dont les caractéristiques techniques sont conformes à celles des ateliers précoces de Bais en contexte du II^e s. av. J.-C. ? Rien n'est moins sûr).

L'hypothèse la plus probable serait ainsi de considérer que les ateliers de potiers précoces n'ont pas eu une existence au long cours, vraisemblablement au mieux guère plus d'une génération, sans exclure le fait que dans le secteur de Bais, d'autres implantations artisanales peuvent appartenir à une période antérieure ou couvrir une chronologie plus large.

Confrontations chronologiques

Si les céramiques constituent bien souvent les données de comparaisons les plus pertinentes, les barres de fours offrent également des informations qui ne doivent pas être négligées. Leur étude a montré, en effet, que les correspondances les plus pertinentes entre les fours de Bais et d'autres ateliers sont celles relatives au territoire de Grande-Bretagne. Les mesures et les formes des barres trouvent de réelles correspondances qui ne doivent rien au hasard. Les chercheurs anglais considèrent les fours présentant ce dispositif comme issus d'une influence continentale postérieure à la conquête de la Gaule. Les correspondances en revanche avec les fours gaulois d'Aquitaine sont nettement moins judicieuses.

Par analogie donc, le dispositif des fours de Bais et les caractéristiques des terres cuites artisanales utilisées au sein de ceux-ci, permettraient de situer la production au cours de la deuxième moitié du I^{er} s. av.

Les données issues de la confrontation du répertoire des céramiques sont naturellement plus fournies et d'une certaine manière également, plus incertaines. On le sait, une partie des récipients fabriqués par les ateliers précoces correspondent à des formes relativement basiques sur le plan morphologique et qui de ce fait ont souvent un caractère universel dans la mesure où leur production couvre de nombreuses décennies. Tel est le cas par exemple de la forme 2 dans sa variante pot ou jatte, mais aussi des formes 3, 4 ou 10. D'autres en revanche, n'ont été attestées, jusqu'à présent, au sein des ensembles régionaux, qu'à partir de la Tène finale et parfois jusqu'à la période augustéenne : type 1, 5, 9 par exemple.

Difficile de rentrer dans le détail des arguments chronologiques car les datations par le radiocarbone ou encore les données des amphores italiennes en tant que seul élément « céramique » exogène peuvent être sujettes à discussion (et controverse).

Parmi les nombreux contextes de référence mentionnons ceux de deux sites.

Le puisard F524 de la fouille d'Ossé, La Claraiserie, constitue un contexte particulièrement intéressant. Les niveaux supérieurs (US 1 à 6) comportent

de nombreux indices chronologiques de la première moitié du I^{er} s. ap. J.-C. : sigillée et terra nigra principalement. S'y trouvent également des vases dont le répertoire correspond à celui de Bais notamment des fonds relativement massifs de forme 1 mais aussi des vases de forme 2. Les US profondes (US 7 à 11) ne comportent quant à elles que des vases de « tradition gauloise » sans céramique d'importation. Cette première phase de comblement sur la base des nombreux mobiliers qui s'y trouvent a été située à la fin du I^{er} s. av. notre ère (Le Gall 2015, p. 96).

Sur le site de Cesson-Sévigné, La Salmondière, certaines structures comportent des remplissages où figurent des céramiques identiques à celles de Bais. Les contextes F958 et F1401 par exemple comportent des types 1, 2, 3 et 8a dont les caractéristiques techniques au moins pour le type 1 sont conformes à celles des ateliers de Bais. Notons qu'une des formes du comblement du fossé 1401 est datée des années -50/-30 av. J.-C. et que la conclusion liée aux ensembles principaux de la phase 4 est qu'ils ont été constitués « peu après la conquête » (Durand 2015, p. 259).

L'étude de mobiliers comportant des céramiques présentant des formes et des pâtes identiques à celles des ateliers précoces de Bais permet de situer leurs enfouissements au cours de la seconde moitié du I^{er} s. av. J.-C.

Les données des datations de laboratoire

Des prélèvements en vue d'une datation archéomagnétique ont été effectués sur le four F5000 (cf. annexe XXX). Au final, l'analyse et l'interprétation de ceux-ci permettent de situer la dernière cuisson dans une fourchette couvrant la période 277 av. J.-C. à 24 ap. J.-C. (proposition à 95%). Ces résultats n'offrent donc pas une contribution remarquable à la caractérisation des ateliers précoces, au moins ne contredisent-ils pas les données de l'étude archéologique proprement dite comme cela est le cas des analyses par le radiocarbone.

En effet, l'échantillon de bois issu du niveau de remplissage du four F5000 daté par Beta analytic offre comme proposition de fourchettes à 95% : 390-340 av. J.-C. et 325-205 av. J.-C. : IV^e et III^e s. av. J.-C. soit de la Tène Moyenne.

Le décalage avec les données archéologiques est donc particulièrement important.

Parmi les autres échantillons figurent deux résultats chronologiques similaires au précédent :

F5506 (four probablement domestique) dont le mobilier céramique se compose d'un petit lot de fragments de panse de céramique des ateliers précoces et quatre autres fragments exogènes,

F5514 (fosse située sous le four F5663) dont le mobilier céramique se compose d'un petit lot de fragments des ateliers précoces dont des formes 1b et 2b,

Et un dernier échantillon qui s'en démarque, mais qui demeure le plus incertain :

F5663 (four de potiers) avec trois fourchettes à 95% : l'une du IV⁺ s. et les autres des II^e et I^{er} s. av. J.-C., notamment 75-50 av. J.-C. et dont le mobilier céramique se compose d'un petit lot de fragments des ateliers précoces dont une forme 2a.

Si la présence exclusive de chêne et notamment d'arbres âgés dans le four F5000 peut expliquer ce décalage, l'assemblage anthracologique du four 5663 est composé, en revanche, principalement de charbons de gémistées de petit calibre (donc nécessairement « contemporains » de leur utilisation), mais aussi de près de 20% de chêne dont la nature demeure inconnue ainsi

que d'autres essences.

Les datations de laboratoire, au mieux n'apportent pas de résultats décisifs et au pire brouillent les pistes. Quelques exemples documentés et pertinents nous montrent toutefois que ces approches chronologiques, quelles qu'elles soient, ne constituent pas une panacée (cf. par exemple Ferdière et al. 2014) et ne permettent pas d'exclure définitivement toutes autres réflexions.

Conclusion

A l'issue de la confrontation des données, l'approche chronologique des ateliers de potiers précoces demeure dans le flou.

L'analyse archéologique permet d'envisager à titre d'hypothèse la fin des ateliers peu de temps avant la période augustéenne ; l'étude des terres cuites artisanales tisse plus de liens avec des exemples du monde romain qu'avec ceux du monde gaulois et l'étude de la céramique met en évidence l'homogénéité des mobiliers mais sans interprétation pertinente en terme de chronologique, même s'il semblerait qu'elle soit plus due à une production resserrée dans le temps qu'à une perdurance des répertoires et techniques de fabrication.

Quant aux analyses par le radiocarbone, elles contredisent ces propositions mais du fait d'incertitudes sur la fiabilité des échantillons, elles ne peuvent contribuer de manière efficiente à la discussion chronologique.

Il convient donc, avant tout, de garder en mémoire l'ensemble de ces données, notamment les plus probables, sans trancher la question. Il faut espérer, ainsi, que d'autres lots issus d'ateliers de potiers baiséens puissent fournir, à l'avenir, des arguments plus décisifs.

3.7. Étude de la céramique des contextes gallo-romains

par Richard Delage

3.7.1. Références typologiques utilisées

Ch. : Sellès (H.), *Céramiques gallo-romaines à Chartres et en Pays carnute, catalogue typologique*, Chartres, 2001 (Revue Archéologique du Centre de la France, Suppl. 16).

Co. : Ettliger (E.) *et alii*, *Conspectus formarum terrae sigillatae italico modo confectae*, Bonn, 1990.

Curle : Curle (J.), *A Roman Frontier Post and its People. The Fort of Newstead in the Parish of Melrose*, Glasgow, 1911.

Drag. : Dragendorff (H.), *Terra Sigillata*, *Bonn. Jahrb.*, 1896, p. 18-155 et 1897, p. 54-163.

Dr. : Dressel (H.), *Corpus Inscriptionum Latinarum*, XV, 2, Berlin, 1899.

G. : Laubenheimer (F.), *La production des amphores en Gaule Narbonnaise*, Paris, 1985.

Lez. : Bet (Ph.), Delor (A.), La typologie de la sigillée lisse de Lezoux et de la Gaule centrale du Haut-Empire, révision décennale, dans : SFECAG, *Actes du Congrès de Liboune*, 2000, p. 461-484.

M : Menez (Y.), *Les céramiques fumigées de l'ouest de la Gaule*, Quimper, 1985 (Cahiers de Quimper Antique, 2).

Pasc. : Pascual (R.), Centros de producción y difusión geográfica de un tipo de ánfora, *Congrès Nacional de Arqueologia*, VII, Barcelone, 1962, p. 334-345.

Quimp. (Antique) : Le Bihan (J.-P.) et Villard (J.-F.), dir., *Archéologie de Quimper. Matériaux pour servir l'Histoire, t. 2 : au temps de l'Empire romain*. Centre de recherche archéologique du Finistère-Éditions Cloître, 2012.

Ritt. : Ritterling (E.), *Das frühromische Lager bei Hofheim im Taunus*, Wiesbaden, 1913.

Ve. : Vernhet (A.), Création flavienne de six services de vaisselle à la Graufesenque, *Figlina*, 1, 1976, p. 13-27.

3.7.2. Abréviations utilisées

NMI : nombre minimum d'individus non pondéré

NMIp : nombre minimum d'individus pondéré

Le comptage en NMI repose sur la prise en compte des seuls critères de forme (identification des bords et des fonds). Celui en NMI pondéré (NMIp) est un dénombrement reposant sur tous les critères observables (formes, techniques, décors, estampilles, etc.)

NR : nombre de restes

3.7.3. Les catégories céramiques

Sigillée ITAL : céramique sigillée de type « italique » à savoir essentiellement des ateliers d'Arezzo ou de Pise pour ceux de la péninsule, mais aussi de Lyon pour la Gaule. Aucune attribution de centre de production, en l'absence d'estampille ou de formes suffisamment complètes, n'est proposée.

Sigillée SG : céramique sigillée du groupe du « Sud de la Gaule » issue principalement des ateliers de Millau-la Graufesenque (MLG), mais aussi parfois

de Montans. D'autres ateliers peuvent être ponctuellement concernés, mais hormis Banassac, il est délicat de proposer des attributions fiables. Une simple mention SG est alors proposée.

Sigillée CG : céramique sigillée du groupe du « Centre de la Gaule » principalement issue des ateliers de Lezoux (LEZ), mais aussi de manière secondaire des Martres-de-Veyre (MdV) ou d'un des ateliers de l'Allier (ALL) (Lubié LUB, Toulon-sur-Allier, Terre-Franche, etc.). Certains vases, en raison de leurs caractéristiques techniques atypiques, ne peuvent avec certitude être rattachés à un de ces centres de production et portent donc simplement la mention CG.

Sigillée COG : céramique sigillée de la vallée de la Vienne et du Clain, sans distinction de centre de production.

PFE : céramique dite « paroi fine engobée ». Le répertoire est essentiellement constitué de gobelets. Ces vases sont fabriqués un siècle durant à partir du milieu du I^{er} s. Ils proviennent majoritairement des ateliers du Centre la Gaule (CG), mais aussi de Lyon ou d'Aquitaine.

MET : céramique fine cuite en A, présentant un revêtement grésé noir ou métallescent. Ces productions proviennent des ateliers du Centre de la Gaule. On distingue celles de première génération, de la seconde moitié du II^e s., de celles de deuxième génération, du III^e s.

Fine A : catégorie céramique relativement marginale regroupant des productions en pâte très peu dégraissée cuites en mode A. le répertoire comporte essentiellement des pots, gobelets et couvercles, avec pour certaines pièces un engobe micacé.

Fine B Beuvray : céramique fine cuite en mode B dont le répertoire des formes et les décors correspondent à des productions particulières de la vallée de Loire dites « Beuvray ». Ces céramiques ont été utilisées à la fin du I^{er} s. av. et au cours des premières décennies du I^{er} s. ap.

Fine B TN : céramique fine de mode B de type « terra nigra ». Elle est la plus courante des vaisselles de table cuites en mode B. Les vases proviennent majoritairement des ateliers du Centre de la Gaule et des ateliers locaux et de manière secondaire d'Aquitaine, depuis les dernières décennies du I^{er} s. av. jusqu'à la fin du siècle suivant.

Mi-fine B : cette catégorie céramique regroupe des vaisselles de table, essentiellement des gobelets, dont la surface est lissée, mais dont la pâte présente une densité plus importante de dégraissants minéraux que les céramiques fines. Si les premières productions s'inscrivent dans la tradition des terra nigra, celles des siècles suivants (jusqu'au Bas-Empire) présentent un répertoire qui leur est propre.

Com A : céramique commune cuite en mode A. Il s'agit d'une catégorie générale qui regroupe des productions très diverses, la plupart du temps dépourvues de revêtement, mais qui peuvent également être recouvertes d'engobe blanc, rouge ou orange ou encore d'un engobe « micacé ». Le répertoire comporte essentiellement des formes fermées (à pâte très peu dégraissée) ainsi que des mortiers, et de manière secondaire des pots, jattes, marmites, plats ou couvercles.

Com B : céramique commune cuite en mode B. Comme ce sont des céramiques destinées au feu, la pâte est dégraissée, parfois fortement comme cela est le cas des productions de la première moitié du I^{er} s. Le répertoire comporte essentiellement des pots à cuire et de manière secondaire un corpus morphologique en commun avec les communes de mode A, ainsi que des bouilloires.

Modélée : céramique commune cuite de mode B, réalisée en partie ou en totalité sans usage du tour de potier. Ces vases sont la plupart du temps de couleur sombre avec une pâte très dégraissée. On distingue parmi cette catégorie, les productions dont le répertoire est celui des vases dit « Besançon », qu'elles comportent les caractéristiques techniques des vases importés ou celles des productions locales contemporaines de celles-ci. Cette catégorie est peu représentée, essentiellement à la fin du I^{er} s. et au cours des premières décennies du I^{er} s. ap.

Amphore Bétique : transport de l'huile d'olive (Dr. 20) et de manière secondaire de saumures (Dr. 7/11).

Amphore Tarraconaise : transport du vin (Pasc. 1).

Amphore Narbonnaise : transport du vin (G. 4).

Amphore Italique : transport du vin (Dr. 2/4).

Amphore régionale : originaire de la vallée de Loire, transportant probablement essentiellement du vin. Deux productions dominantes sont attestées : en pâte brune à cœur noir (BCG) dont les parois sont la plupart du temps aussi fines que celles des cruches ; en pâte orangée à rouge à cœur gris (OCG) correspondant à des conteneurs plus massifs.

3.7.4. Etudes des contextes

Str. 12

Catégorie	NR
Com-Bais?	1

Fragment vraisemblablement de l'atelier de Bais en pâte rouge.

Str. 16, surface (iso 1)

Catégorie	NR	NMI
Com-Proto	5	0

Fragments informes de céramique gauloise.

Str. 17 (iso 2)

Catégorie	NR	NMI
Com-Moderne	6	2

Fragments de deux vases de la période moderne.

Str. 21

Str. 21, sd. 10

Catégorie	NR	%NR	NMI	%NMI
Sigillée-CG	1	2.4%	1	16.7%
Fine B-TN	12	28.6%	2	33.3%
Com A	18	42.9%	0	0.0%
Com B	9	21.4%	2	33.3%
Com-Bais	1	2.4%	1	16.7%
Amphore-Régionale	1	2.4%	0	0.0%
Total	42	100%	6	100%

Un seul fragment de céramique sigillée est attesté : une assiette de forme indéterminée du Centre de la Gaule des premières décennies du II^e s. Le vase a partiellement subi l'action du feu.

Le lot des céramiques fines de mode B comporte essentiellement de tous petits fragments de panse. Seules formes identifiables, un bord de coupe à collerette M118 et un autre vraisemblablement de pot M146.

Les céramiques communes de mode A ont des caractéristiques techniques très variées (pâtes blanchâtre, orangée ou brune). Les fragments correspondent à des formes fermées, mais aucun bord ou fond n'est conservé.

La céramique commune de mode B est représentée par un bord de pot à

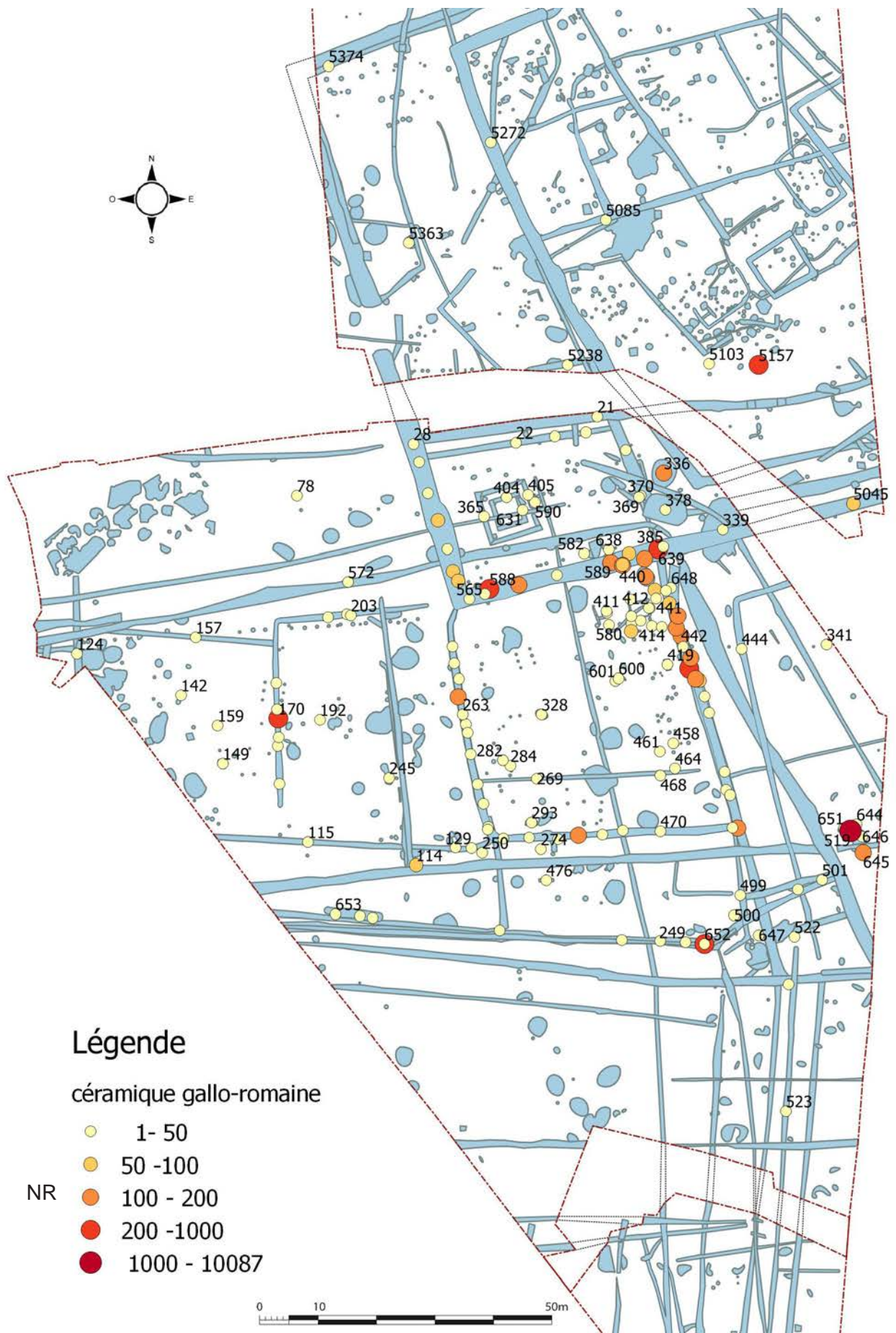


Fig. 553 : plan de localisation de la céramique gallo-romaine © J.-C. Durand

lèvre éversée, un fond de gobelet ainsi que de nombreux fragments de panse en pâte grise dégraissée ou non.

Est également attesté un fragment d'amphore régionale.

Un fond de jatte correspond à une forme de l'atelier de Bais (probablement de type 2b).

L'assise d'un chenet figure au sein des terres cuites de ce lot. L'argile est brune en surface et rouge au cœur, dépourvue de dégraissants visibles à l'œil nu. Comme cela est fréquemment le cas, des incisions ont été tracées sur la partie arrière pour figurer la crinière du bélier.

Datation : ensemble de mobiliers de la seconde moitié du I^{er} s. et des premières décennies du II^e s. scellé au cours du premier quart du II^e s.

Str. 21, iso 5

Catégorie	NR	NMI
Com B	2	1
Com-Bais	1	0
Total	3	1

Deux fragments de céramiques communes de mode B correspondant à un bord de plat à cuire. Egalement présent un fragment de vase de l'atelier de Bais.

Str. 21, sd. 29

Catégorie	NR	NMI
Com-Proto	2	0

Fragments de céramique gauloise.

Str. 21, sd. 30

Catégorie	NR	NMI
Com-Bais	9	1

Fragments de petites tailles de l'atelier de Bais dont un bord de vase de stockage de type 1.

Synthèse sur la str. 21

Seul le sondage 10 livre des éléments de datation pertinents à savoir du premier quart du II^e s.

Str. 22

Fragment de céramique fine de mode B sans caractérisation de forme. D'autres éléments correspondent à des communes de mode B gallo-romaines : pot, coupe. Un petit lot de parois de vase est attribuable à l'atelier de Bais.

Str. 22, iso 6

Catégorie	NR	%NR	NMI
Com-Bais	3	42.9%	2
Modelée-Gallo-romain	4	57.1%	1
Total	7	100%	3

Fragments de fond d'une céramique modelée gallo-romaine (pâte sombre, très dégraissée notamment de mica et surface régularisée). Trois autres

fragments de fond correspondent à deux vases de l'atelier de Bais.

Str. 22, sd. 6

Catégorie	NR	NMI
Com-Proto	1	0
Com-Bais	1	0
Total	2	0

Attribution probable : un fragment de l'atelier de Bais et une céramique gauloise exogène.

Str. 22, sd. 7

Catégorie	NR	NMI	NMIp
Com-Proto	3	1	1

Trois fragments d'un vase de la Tène finale.

Str. 22, sd. 8

Catégorie	NR	NMI
Com-Bais	2	0

Deux fragments de l'atelier de Bais.

Str. 22, sd. 25, US1

Catégorie	NR	%NR	NMI	%NMI
Fine B-TN	2	20.0%	1	33.3%
Com B	4	40.0%	1	33.3%
Com-Bais	4	40.0%	1	33.3%
Total	10	100%	3	100%

Présence de deux petits fragments du pied d'une forme fermée en céramique fine de mode B (terra nigra), mais aussi d'un pot en commune sombre dont la pâte noire, très dégraissée, comporte en interne des résidus de nature indéterminée.

Quatre fragments de l'atelier de Bais sont également attestés : un bord de jatte de type 3 grise en externe et rosée en interne ainsi trois autres fragments de panse.

Str. 22, sd. 25 (nettoyage mur)

Catégorie	NR	%NR	NMI	%NMI
Fine B-TN	4	8.0%	2	18.2%
Com A	5	10.0%	1	9.1%
Com B	28	56.0%	6	54.5%
Com-Bais	13	26.0%	2	18.2%
Total	50	100%	11	100%

Lot de quatre fragments de céramique fine de mode B dont deux fonds de forme ouverte.

La céramique commune de mode A est représentée par une anse trilobée en pâte orange vif et par des fragments de panse de grande cruche en pâte beige rosé à cœur gris clair. La céramique commune de mode B compte en plus de fragments de panse, des bords de pots et marmite à lèvre éversée en pâte grise, une coupe à lèvre en bandeau vertical soulignée d'une gorge et un bord vraisemblablement de plat. Un fond de gobelet en pâte grise homogène et un autre en pâte très dégraissée micacée comme le sont les productions précoces.

Un autre lot correspond à des céramiques de l'atelier de Bais. Un seul bord est conservé. Il appartient probablement à une forme de type 2. Certains

fragments de panse présentent en interne un caramel alimentaire abondant.
Datation : deuxième moitié du I^{er} s. – début du II^e s.

Str. 22, sd. 25

Catégorie	NR	NMI
Com B	8	1

Fragments d'un pot à la lèvre éversée en céramique commune de mode B. Les caractéristiques techniques du vase sont celles des productions précoces : pâte noire très dégraissée, notamment de mica.

Str. 28

Str. 28, sd. 34, US1

Catégorie	NR	%NR	NMI	%NMI
Com A	11	92%	0	
Com-Bais	1	8%	0	
Total	12	100%	0	100%

Fragment d'une forme fermée en céramique commune de mode A.
 Fragment d'un vase de l'atelier de Bais.

Str. 28, sd. 35, sommet

Catégorie	NR	%NR	NMI
Mi-fine B	2	12.5%	0
Com A	11	68.8%	1
Com B	1	6.3%	0
Com-Bais	1	6.3%	0
Amphore-Régionale	1	6.3%	0
Total	16	100%	1

Présence de deux petits fragments de céramique mi-fine de mode B ; d'un lot de céramique commune de mode A correspondant à une cruche dont seuls des éléments de panse et de fond sont conservés ; un fragment de panse de céramique commune de mode B en pâte grise ; ainsi qu'un autre d'amphore régionale (pâte rouge en externe et sombre au cœur).
 Attestation également d'une céramique de l'atelier de Bais.
Datation : deuxième moitié du I^{er} s.

Str. 28, sd. 37, US2

Catégorie	NR	NMI
Fine B-TN	1	1
Com B	3	0
Total	4	1

Un fragment de céramique fine de mode B, probablement un bord de pot M146 et trois fragments de panse de commune de mode B appartenant à des individus distincts.
Datation : deuxième moitié du I^{er} s.

Str. 28, sd. 37, US4

Catégorie	NR	%NR	NMI	NMIp
Fine B-TN	1	7.7%	1	1
Com A?-	1	7.7%	0	1
Com B	11	84.6%	1	3
Total	13	100%	2	5

Le lot de céramique comporte un petit fragment de fond d'une forme fermée en céramique fine de mode B, un fragment brûlé vraisemblablement de cruche en commune de mode A et un ensemble de fragments en commune de mode B dont un fond de pot en céramique grise très cuite et d'autres fragments de panse.

Datation probable : deuxième moitié du I^{er} s.

Str. 28, sd. 38, US4

Catégorie	NR	%NR	NMI
Com A	58	98.3%	1
Com B	1	1.7%	0
Total	59	100%	1

Céramique commune de mode A correspondant à une cruche de type Ch. 3408 en pâte blanchâtre. Un fragment de panse de commune de mode B.

Datation : deuxième moitié du I^{er} s.

Str. 28, sd. 39, sup

Catégorie	NR	%NR	NMI
Sigillée-CG	1	5.0%	1
Com A	10	50.0%	1
Com B	5	25.0%	0
Com-indét.	1	5.0%	0
Com-Bais	3	15.0%	0
Total	20	100%	2

Le seul fragment de sigillée attesté est une coupe cylindrique Lez. 84 du Centre de la Gaule des années 120/140. La céramique commune de mode A est représentée par des fragments de panse en pâte blanchâtre ou colorée, ainsi qu'un pot dont le bord de la lèvre massive comporte un revêtement noir (poix ?). La pâte est orangée avec un cœur noir. Quelques fragments de panse sans caractérisation de forme correspondent à des céramiques communes de mode B.

Trois autres fragments déterminent la présence de rares pièces de l'atelier de Bais.

Datation : deuxième quart du II^e s.

Str. 28, sd. 40, US5

Catégorie	NR	%NR	NMI	%NMI
Sigillée-CG	2	2.9%	2	20.0%
Com A	19	27.1%	2	20.0%
Com B	39	55.7%	4	40.0%
Com-Bais	9	12.9%	2	20.0%
Amphore-Régionale	1	1.4%	0	
Total	70	100%	10	100%

Le corpus de la céramique sigillée est représenté par deux fragments du Centre de la Gaule : un bord de coupe Drag. 37 dont l'altération ne permet guère d'identifier le décor mais dont l'ensemble des caractéristiques permet de proposer une datation fine au cours des années 130/150 et un bord d'assiette Lez. 45 du deuxième quart du II^e s.

La céramique commune de mode A est représentée par une anse bifide de cruche, relativement massive, en pâte blanchâtre, un fragment d'anse d'une cruche de taille nettement plus modeste et un ensemble d'éléments de panse en pâte blanchâtre ou orange vif.

Le lot de céramique commune de mode B comporte principalement des fragments de panse en pâte grise très cuite ou encore en pâte fortement dégraissée comme cela est également le cas pour la fosse F519. Un fragment de pot et un fond de gobelet sont les seuls éléments de caractérisation pour

cette catégorie auxquels s'ajoutent deux bords de pot raté de cuisson. La forme est identique à un autre raté de cuisson issu de la fouille de Bourg Saint Pair (Str. 797 ; Pouille 2011) à savoir un pot globulaire à lèvre éversée en bourrelet, comportant des parois relativement évasées. Dans les deux cas, la partie haute est déformée, la lèvre affaissée. Ces éléments témoignent de la présence d'un atelier de potiers de la fin du I^{er} s. ou de la première moitié du II^e s. dans le secteur (datation convergente entre ce contexte et celui cité précédemment).

Le lot des céramiques de l'atelier de Bais se compose principalement de fragments de panse sans caractérisation de forme. Seul un fond de jatte sous la forme d'un pied en bourrelet pourrait attester la présence d'une forme de type 2b par exemple.

Datation : deuxième quart du II^e s.

Str. 28, sd. 42, -20/100 cm

Catégorie	NR	%NR	NMI	%NMI
Com A	10	14.5%	0	
Com B	46	66.7%	3	42.9%
Com-Bais	13	18.8%	4	57.1%
Total	69	100%	7	100%

Lot de céramique ne comportant aucune céramique fine.

La céramique commune de mode A est représentée par des portions de panse d'une cruche en pâte blanchâtre. La céramique commune de mode B compte une coupe en pâte très peu dégraissée de couleur grise à surface noire. Il s'agit d'une forme apode à lèvre légèrement rentrante de petit gabarit. Des résidus de cuisson sont présents tant sur les parois interne qu'externe. Parmi les autres éléments de cette catégorie figurent un fond et un bord de pot en pâte brune très dégraissée dont les caractéristiques techniques sont très proches des productions de l'atelier de Bais. Pour le reste, sont attestés des fragments correspondant à plusieurs vases en pâte grise très cuite dont un fond et des bords de pot à lèvre de section triangulaire.

Au sein de ce contexte, le lot des céramiques de l'atelier de Bais en pâte majoritairement colorée est particulièrement important et plusieurs portions de parties supérieures de vase permettent de proposer une caractérisation morphologique. Trois individus ont des profils apparentés au type 2, tandis que le dernier correspond plutôt à une jatte de type 3.

Datation : deuxième moitié du I^{er} s. – première moitié du II^e s.

Synthèse sur le fossé str. 28

Le comblement de ce fossé est homogène. Les mobiliers antérieurs au milieu du I^{er} s. correspondent essentiellement à des pièces de l'atelier de Bais, à savoir en l'occurrence essentiellement des éléments redéposés. La céramique sigillée montre de manière nette que le comblement a été scellé au II^e s. plus particulièrement au cours du deuxième quart du II^e s. Mais d'autres mobiliers, tout particulièrement les céramiques fines de mode B ainsi que bon nombre des communes de mode A atteste également que les lots en usage au cours de la seconde moitié du I^{er} s. sont importants au sein des corpus de céramique des différents sondages.

Str. 57, US1

Catégorie	NR	NMI
Com-Bais	3	0

Sont présents, trois fragments de l'atelier de Bais sans caractérisation de forme. L'un est de couleur sombre avec un décor de bandes lissées verticales.

Str. 59

Catégorie	NR	NMI
Com-Bais	3	2

Lot de vases de l'atelier de Bais : deux fragments d'une coupe à profil en esse, en pâte colorée mais surface noire, parfaitement lissée et un fragment de la partie haute d'un pot B2, en pâte brune lui aussi parfaitement régularisé.

Str. 62

Catégorie	NR	NMI
Com-Bais	1	1

Présence d'un fond de pot de l'atelier de Bais.

Str. 78

Catégorie	NR	NMI
Com A?-	1	1
Com B	1	1
Total	2	2

Fragment de céramique brûlée correspondant certainement à l'origine à un pot cylindrique à petite lèvre horizontale en commune de mode A à l'image d'autres pièces notamment de la fosse F519. Présence également d'un pot en céramique commune de mode B à lèvre éversée.

Datation : deuxième moitié du I^{er} s. – début du II^e s.

Str. 113

Catégorie	NR	NMI
Com B	3	1
Com-Bais	1	0
Total	4	1

Fragments de céramique commune de mode B dont un bord de pot à lèvre triangulaire en gouttière et un fragment de l'atelier de Bais.

Datation : I^{er}-III^e s.

Str. 113, sd. 215, US1

Catégorie	NR	NMI
Sigillée-CG	1	1

Présence d'une assiette en sigillée du Centre de la Gaule de la seconde moitié du I^{er} s.

Datation : deuxième moitié du I^{er} s.

Str. 113, sd. 216, US1

Catégorie	NR	NMI
Sigillée-MLG	1	1

Une coupelle en sigillée de Millau-La Graufesenque des années 90/120.

Datation : fin du I^{er} s. – début du II^e s.

Str. 113, sd. 219, US1

Catégorie	NR	%NR	NMI
Com A	11	91.7%	2
Com B	1	8.3%	1
Total	12	100%	3

Deux individus sont attestés pour la céramique commune de mode A : une cruche en pâte blanchâtre à cœur rosé, une coupe en pâte orangée à cœur gris.

Un petit fragment de fond en commune de mode B complète ce modeste lot.
Datation : Deuxième moitié du I^{er} s. – II^e s.

Str. 114

Catégorie	NR	%NR	NMI	%NMI
Fine B-TN	1	1.6%	0	
Com B	53	86.9%	9	90.0%
Com-Moderne	1	1.6%	1	10.0%
Com-indét.	6	9.8%	0	
Total	61	100%	10	100%

Lot de céramique commune de mode B comportant des pièces des I^{er}-III^e s. et présence d'un ensemble de fragments plus récent donc un fond de pot moderne ou contemporain.

Datation : ensemble perturbé.

Str. 115 + str. 115 (iso 105)

Catégorie	NR	%NR	NMI
Com B	34	70.8%	1
Com-Bais	2	4.1%	1
Amphore-Régionale	12	25%	0
Total	48	100%	2

Céramique commune de mode B représentée pour l'essentiel par un fond de pot en pâte grise. D'autres fragments appartiennent à deux amphores régionales : pâte brune dégraissée avec partie plus sombre en interne et pâte brune très peu dégraissée avec cœur gris.

Deux autres fragments constituent un fond de jatte de l'atelier de Bais.

Datation : deuxième moitié du I^{er} s. – II^e s.

Str. 124 + 124 (décapage vignette)

Str. 124

Catégorie	NR	%NR	NMI
Com A	4	20.0%	1
Com B	9	45.0%	2
Com-Bais	5	25.0%	0
Amphore-Régionale	2	10.0%	0
Total	20	100%	3

Str. 124 décap.

Catégorie	NR	%NR	NMI
Com B	7	87.5%	0
Com-Bais	1	12.5%	0
Total	8	100%	0

La céramique commune de mode A est représentée par des portions d'un conteneur de grande taille en pâte orangée dégraissée à surface beige (amphore ?).

La céramique commune de mode B compte des fragments en pâte grise et la partie supérieure d'un pot à lèvres éversées épaissies en pâte et surface sombre, à la paroi particulièrement fine.

Deux fragments épais en pâte brune à cœur gris correspondent à une amphore régionale.

Quelques fragments sans caractérisation de forme de l'atelier de Bais figurent également parmi ces mobiliers céramiques.

Datation : deuxième moitié du I^{er} s.

Str. 124, US1, Sd. 260

Catégorie	NR	%NR	NMI
Com B	4	66.7%	0
Com-Bais	2	33.3%	0
Total	6	100%	0

Fragments de l'atelier de Bais en pâte sombre.

Str. 129, sd. 116

Catégorie	NR	NMI
Amphore-Tarraconaise	2	1

Fragments d'anse d'amphore Pasc. 1 de Tarraconaise.

Datation : deuxième moitié du I^{er} s. av. – début du I^{er} s. ap. J.-C.

Str. 129, sd. 199, US1

Catégorie	NR	%NR	NMI
Com A	1	14.3%	1
Com B	5	71.4%	1
Amphore-Tarraconaise	1	14.3%	1
Total	7	100%	3

Un fragment d'anse bifide de grande cruche en céramique commune de mode A et une portion très cuite (surcuite ?) d'un pot en commune de mode B. Ce dernier se compose d'un col étroit et d'une lèvre éversée plate. Ces productions pourvues, la plupart du temps, d'une anse, se rencontrent fréquemment au sein de la fosse F519.

Un fragment érodé d'amphore de Tarraconaise peut également être identifié, vraisemblablement une anse de Pasc. 1.

Datation : deuxième moitié du I^{er} s.

Str. 129, sd. 207, US3

Catégorie	NR	NMI
Com B	9	1

Fragments d'un pot en céramique commune de mode B à pâte orangée et surface gris/noir.

Datation : I^{er} s.

Str. 142

Catégorie	NR	%NR	NMI
Fine B?-	2	25.0%	1
Com A	5	62.5%	0
Com B	1	12.5%	0
Total	8	100%	1

Céramique aux caractéristiques techniques altérées. Pâte rouge à cœur gris et surface vraisemblablement sombre. Il s'agit probablement d'un fond de pot en céramique fine de mode B (terra nigra).

Présence également de fragments de céramique commune de mode A et B.

Datation : I^{er} s.

Str. 142, US1

Fragments de céramique commune de mode B.

Datation : Ier s.

Str. 149

Catégorie	NR	%NR	NMI
Fine B-TN	1	3.6%	0
Mi-fine B	1	3.6%	0
Com B	24	85.7%	4
Com-Bais	2	7.1%	1
Total	28	100%	5

Présence d'un fragment de céramique fine de mode B (terra nigra) et d'un autre en céramique mi-fine de mode B correspondant certainement à une petite coupe. La céramique commune de mode B comporte quelques fragments en pâte colorée et surface sombre, mais pour l'essentiel les éléments recueillis ont des pâtes grises bien cuites. On compte deux bords de pot à lèvre éversée, deux fonds et un lot de panse.

Deux autres éléments correspondent vraisemblablement à des productions de l'atelier de Bais.

Datation : deuxième moitié du Ier s.

Str. 155 (fanum : sondage central, fossé)

Catégorie	NR	NMI
Com-?	4	0

Présence d'un fragment atypique : pâte plutôt fine, pâte interne noire, frange beige, surface altérée (probablement sombre ?). Le fragment correspond à un bord de moins de 2 cm de haut. Difficile de ces conditions de caractériser la forme. Les caractéristiques techniques du vase ne permettent pas non plus d'associer de manière assurée ce fragment à une catégorie (terra nigra ?).

Str. 157, sd. 129, US1

Catégorie	NR	NMI
Com-Bais	2	1

Probable vase de l'atelier de Bais. Forme B-NT (type 10 ?) à savoir une coupe modelée non régularisée au tour. Surface externe grise, pâte brune à cœur gris, très dégraissée comme le sont bon nombre de celles des ateliers précoces.

Str. 157, sd. 130

Catégorie	NR	NMI
Com B	4	0
Com-Bais	1	0
Total	5	0

Fragments de céramique commune de mode B et d'une panse de vase de l'atelier de Bais en pâte sombre.

Str. 159

Catégorie	NR	NMI	NMIp
Mi-fine B	1	0	1

Fragment de céramique mi-fine de mode B (pâte grise).

Datation : I^{er} s.

Str. 165

Catégorie	NR	NMI
Com-Bais	35	1

Nombreux fragments appartenant à une forme de l'atelier de Bais (type 100) ainsi qu'un probable pot à anse. L'anse est complète, très plate, plus large aux extrémités qu'au centre. La pâte et la surface lissée sont brunes.

Str. 170

Str. 170 (iso 100)

Catégorie	NR	%NR	NMI	%NMI
Fine B-TN	20	7.0%	3	17.6%
Com A	26	9.1%	1	5.9%
Com B	229	80.1%	13	76.5%
Com-Bais	4	1.4%	0	
Amphore-Régionale	7	2.4%	0	
Total	286	100%	17	100%

Lot de céramique fine de mode B comportant essentiellement des fragments de panse mais aussi des bords de coupes M96 et M118 et de pot M137 à la paroi particulièrement fine.

La céramique commune de mode A compte également une majorité des petits fragments de panse en pâte rosée ainsi qu'un fond de cruche aux caractéristiques techniques identiques.

La céramique commune de mode B constitue l'essentiel du corpus. Quatre fonds différents sont attestés ainsi que de nombreux fragments de bords, majoritairement des pots de dimensions modestes à lèvre éversées, d'autres de plus grandes tailles à la lèvre en bourrelet, une marmite de grandes dimensions et un pot de forme cylindrique terminée par une lèvre en gouttière à peine marquée. Le répertoire morphologique aussi bien que les caractéristiques techniques de ces pièces sont identiques à ceux de la fosse 519, qui constitue pour la seconde moitié du I^{er} s. et le début du II^e s. le contexte de référence.

Des fragments de panse en pâte brune à cœur gris correspondent à des portions d'une amphore régionale.

Quelques fragments de céramique modelée en pâte colorée correspondent à un pot de stockage de l'atelier de Bais.

Str. 170 (iso 101)

Catégorie	NR	%NR	NMI
Com A	4	26.7%	0
Com B	11	73.3%	2
Total	15	100%	2

Fragments de communes de mode A et B. Pour cette dernière catégorie, le lot se compose, en plus des fragments de panse, d'un pied et d'une lèvre appartenant à un pot en pâte grise à lèvre éversée.

Str. 170 (iso 102)

Catégorie	NR	NMI
Com B	18	1

Commune de mode B : coupe à bandeau vertical souligné par une gorge. Ce vase archéologiquement complet présente une pâte grise très peu dégraissée aux parois peu épaisses.

Str. 170 (iso 103)

Catégorie	NR	%NR	NMI
Fine B-TN	9	56.3%	1
Com B	7	43.8%	2
Total	16	100%	3

La céramique fine de mode B (terra nigra) est représentée par la partie haute d'une coupe à collerette M118 de la seconde moitié du I^{er} s. et des éléments de panse d'une forme fermée indéterminée.

Le lot des céramiques communes de mode B comporte un bord de pot de petit format à la lèvre effilée, un fond et des fragments de panse.

Str. 170 (iso 109)

Catégorie	NR	NMI
Mi-fine B	1	0

Présence d'un fragment massif d'un grand plat en céramique mi-fine de mode B. La pâte est grise homogène avec très peu de dégraissants. Le bord et le pied font défaut. Un sillon circulaire ornait la partie interne à un peu plus de 6 cm du point central. Cette forme est atypique.

Str. 170 (iso 110)

Catégorie	NR	NMI
Com A	1	1
Com B	1	0
Total	2	1

Embouchure d'une cruche (ou amphore de petit format) en pâte brune à cœur gris dont la forme est proche du type G.5. Un fragment de commune de mode B en pâte grise homogène correspond certainement à la partie haute d'un mortier.

Str. 170, sd. 127, US1

Catégorie	NR	%NR	NMI
Com A	4	57.1%	1
Com B	3	42.9%	1
Total	7	100%	2

Fragment de commune de mode A (fond de cruche en pâte rouge sans dégraissant) et commune de mode B (fond de pot en pâte grise).

Str. 170, sd. 204, US1

Catégorie	NR	%NR	NMI
Com A	1	6.3%	0
Com B	15	93.8%	1
Total	16	100%	1

Un petit fragment de cruche poissée en interne.

Lot de commune de mode B : fragments d'une jatte à lèvre éversée en pâte grise et panses d'un pot à la paroi fine en pâte colorée et surface sombre.

Str. 170, Sd. 205, US1

Catégorie	NR	%NR	NMI
Fine B-TN	16	39.0%	0
Com B	25	61.0%	2
Total	41	100%	2

Nombreux fragments d'une forme fermée en céramique fine de mode B (pâte rouge et surface noire).

Deux individus en céramique commune de mode B sont attestés : un fond de pot en pâte colorée et surface grise très peu dégraissée ainsi que des fragments d'un récipient de petite taille (gobelet ?) en pâte grise.

Str. 170, sd. 248, US1

Catégorie	NR	NMI
Com B	1	0
Total	1	0

Fragments de commune de mode B (pâte colorée, surface grise).

Str. 170, sd. 259, US2

Catégorie	NR	%NR	NMI
Com A	35	92.1%	1
Com B	3	7.9%	2
Total	38	100%	3

La céramique commune de mode A est représentée par de nombreux fragments d'une cruche aux caractéristiques techniques fortement altérées en pâte brune (dans son état de conservation actuelle) très peu dégraissée. Son anse est bifide. L'absence de la lèvre ne permet pas une caractérisation fine. Autre attestation : un fond de conteneur de grandes tailles identique à celui de la str. 183 (pâte orangée à cœur gris).

La céramique commune de mode B est représentée par un fond et un bord de pot.

Présence également d'un nodule de terre cuite dont la surface est partiellement recouverte de verre occasionné par la fonte de l'argile.

Synthèse sur le fossé str. 170

Comblement homogène avec du mobilier céramique caractéristique de la seconde moitié du Ier s.

Str. 174

Catégorie	NR	NMI
Com-Bais	1	0

Fragment de céramique de l'atelier de Bais.

Str. 180, sd. 179, US1

Catégorie	NR	NMI
Com-Bais	1	0

Fragment de céramique de l'atelier de Bais.

Str. 183

Catégorie	NR	%NR	NMI	%NMI
Com A	6	40.0%	1	25.0%
Com B	7	46.7%	2	50.0%
Com-Bais	1	6.7%	1	25.0%
Amphore-Régionale	1	6.7%	0	
Total	15	100%	4	100%

Deux fragments fortement altérés de céramique fine de mode B, probablement la partie haute d'une coupe M96. Lot de céramique commune de mode A correspondant à un conteneur de grandes tailles à fond plat (identique à un autre fragment de la str. 170). Pâte orangée à cœur gris. La céramique commune de mode B comporte un bord de pot en pâte grise très cuite dont la lèvre est légèrement en gouttière, un fond (volontairement percé d'un orifice de 0,7 cm) de coupe dont la partie supérieure devait comporter un bandeau vertical. D'autres fragments en commune de mode B ne peuvent être caractérisés. Un fragment d'amphore régionale présente une pâte brune et un cœur gris. Un bord de jatte de type 3 de l'atelier de Bais est également attesté.
Datation : deuxième moitié du I^{er} s. – début du II^e s.

Str. 192

Catégorie	NR	NMI
Com B	1	0

Fragment de céramique commune de mode B (pâte gris bleuté, surface noire, très cuite).

Str. 203

Str. 203, iso 118

Catégorie	NR	NMI
Com-Bais	1	0

Fragment de panse d'un vase de l'atelier de Bais.

Str. 203, iso 119

Catégorie	NR	%NR	NMI
Mi-fine B	3	75.0%	1
Com-Bais	1	25.0%	1
Total	4	100%	2

Petits fragments de bord en céramique mi-fine de B correspondant certainement à une coupe. Un fragment de bord d'un pot de l'atelier de Bais.

Datation : deuxième moitié du I^{er} s.

Str. 203, sd. 243, US1

Catégorie	NR	%NR	NMI
Sigillée-MLG	1	2.9%	0
Com B	33	97.1%	2
Total	34	100%	2

Fragment de coupe Drag. 37 en céramique sigillée de Millau-La Graufesenque des années 80/100 (autre fragment appartenant au même individu présent dans le sondage 244). Deux pots en céramique commune de mode B : l'un archéologiquement complet avec une petite lèvre en gouttière et l'autre dont seul le fond est conservé.

Datation : fin du I^{er} s. – début du II^e s.

Str. 203, sd. 244, US1

Catégorie	NR	%NR	NMI
Sigillée-MLG	1	20.0%	0
Com B	3	60.0%	1
Com-Bais	1	20.0%	0
Total	5	100%	1

Présence d'une céramique sigillée correspondant au fond de la coupe Drag. 37 attestée au sein du sondage 243. Trois fragments de céramique commune de mode B dont un pot à lèvre en gouttière en pâte grise très cuite.

Un petit fragment vraisemblablement de l'atelier de Bais.

Datation : fin du I^{er} s. – début du II^e s.

Str. 203, sd. 246, US2

Catégorie	NR	NMI
Com-Proto	2	0

Deux fragments de céramique gauloise.

Synthèse sur le fossé Str. 203

La céramique sigillée de Millau -La Graufesenque des sondages 243 et 244 offre un TPQ à la fin du I^{er} s. Les autres céramiques, bien que peu nombreuses, ne démentent pas cette proposition. Mentionnons que le corpus comporte également comme cela est le cas de tous les comblements de fossé de l'établissement gallo-romain des pièces de l'atelier de Bais.

Str. 224 (fond palissade)

Catégorie	NR	NMI
Com-Proto	3	0

Trois fragments de céramique gauloise (La Tène).

Deux en pâte noire très dégraissée et surface rouge et un dernier à la paroi fine, très peu dégraissée à surface noire lissée.

Str. 248, sd. 207 (intersection avec str. 470)

Catégorie	NR	NMI
Com B	2	1

Deux fragments en pâte grise, fine, très peu dégraissée et peu cuite. La classification de ces éléments n'est pas évidente. Ils pourraient correspondre à des céramiques mi-fines de mode B. Mais les éléments de forme conservés indiquent clairement qu'il s'agit d'un récipient fermé dont l'embouchure n'est pas circulaire mais déformée avec une partie pincée. Il s'agirait ainsi d'une bouilloire. Une classification au sein des céramiques communes de mode B est de ce fait préférable.

Datation : I^{er}-III^e s.

Str. 249

Catégorie	NR	NMI
Com B	6	0

Lot de céramique commune de mode B aux caractéristiques techniques hétérogènes : gris/noir à pâte interne colorée, plus ou moins dégraissée. Aucune forme ne peut être identifiée.

Datation : I^{er}-II^e s.

Str. 245, US1

Catégorie	NR	NMI
Com B	2	0

Deux petits fragments de commune de mode B.

Datation : I^{er}-II^e s.

Str. 250, US2

Catégorie	NR	NMI
Com B	2	1

Un fond de pot de céramique commune de mode B en pâte grise très dégraissée.

Datation : I^{er} s.

Str. 255

Catégorie	NR	NMI
Com-Bais	1	0

Un fragment de l'atelier de Bais.

Str. 263

Str. 263

Catégorie	NR	%NR	NMI
Sigillée-CG	7	16.7%	1
Com A	24	57.1%	2
Com B	11	26.2%	2
Total	42	100%	5

Présence d'une céramique sigillée : une coupe Drag. 37 du Centre de la Gaule dont le décor est trop altéré pour être identifié. Les caractéristiques technique et morphologique de ce vase ainsi que les quelques poinçons encore identifiables militent en faveur d'une production de la seconde moitié du II^e s.

Le lot des céramiques communes de mode A comporte une jatte en pâte beige, à grosse lèvre en bourrelet qui devait être partiellement poissée, la lèvre éversée d'un pot ainsi que des fragments de panse en pâte orangée ou blanchâtre de forme fermée.

La céramique commune de mode B est représentée par des fragments d'un pot à lèvre éversée en pâte grise dont la paroi est fine ainsi qu'un mortier à la lèvre proéminente nettement détachée de la paroi et sans présence d'un petit bourrelet dans la partie supérieure. La pâte peut correspondre à une production locale des I^{er}-II^e s.

Datation : deuxième moitié du II^e s.

Str. 263, sd. 105

Catégorie	NR	NMI
Com A	5	0

Fragments de céramique commune de mode A.

Datation : I^{er} s.

Str. 263, sd. 207, US2

Catégorie	NR	NMI
Com B	19	2

Lot de céramique commune de mode B composé notamment de deux pots à

lèvre éversée en pâte grise.

Datation : deuxième moitié du I^{er} s.

Str. 263, sd. 209, US1

Catégorie	NR	%NR	NMI
Fine B-TN	1	11.1%	0
Com B	6	66.7%	1
Amphore-Régionale	2	22.2%	1
Total	9	100%	2

Fragments d'une céramique fine de mode B de forme indéterminée, de céramique commune de mode B en pâte grise et d'une anse bifide d'amphore régionale en pâte beige à cœur gris.

Datation : deuxième moitié du I^{er} s.

Str. 263, sd. 226, US1

Catégorie	NR	%NR	NMI
Fine B-TN	1	9.1%	1
Com B	10	90.9%	0
Total	11	100%	1

Lot comportant un fond de coupe en céramique fine de mode B (terra nigra), trois fragments de commune de mode B en pâte grise très cuite et d'autres fragments de même catégorie en pâte colorée et surface grise dont les caractéristiques sont celles des productions locales (des I^{er}-II^c s.).

Datation : deuxième moitié du I^{er} s.

Str. 263, sd. 227, US1

Catégorie	NR	%NR	NMI
Com A	1	7.7%	0
Com B	12	92.3%	1
Total	13	100%	1

Petit lot de céramique comportant essentiellement des communes de mode B en pâte grise ou dégraissée sandwichée ainsi qu'un petit fragment de commune de mode A en pâte rouge.

Datation : I^{er}-II^e s.

Str. 263, sd. 228, US1

Catégorie	NR	NMI
Com B	11	0

Lot de céramique commune de mode B.

Datation : I^{er}-II^e s.

Str. 263, sd. 229, US1

Catégorie	NR	%NR	NMI
Fine B-TN	1	1.1%	0
Com A	9	9.9%	3
Com B	81	89.0%	6
Total	91	100%	9

Présence d'un petit fragment de céramique fine de mode B.

Le corpus des céramiques communes de mode A se compose de fragments de cruche et de deux anses : l'une petite en pâte rouge et l'autre trifide de plus grandes dimensions en pâte blanchâtre, ainsi que le fond d'un mortier en pâte très cuite à cœur gris et surface beige.

La céramique commune de mode B compte principalement des vases en pâte grise : un pot à lèvre en gouttière à la paroi particulièrement fine

typique des productions de la seconde moitié du I^{er} s. et du début du II^e s., deux bords de pot dont un massif, témoignant de la présence d'un récipient de grandes dimensions, deux fonds et un lot de panse. En céramique à pâte colorée très dégraissée et surface grise est attesté un pot à lèvre éversée à la paroi fine et un fond de pot témoignant là encore d'un récipient de grandes dimensions.

Datation : deuxième moitié du I^{er} s.

Str. 263, sd. 229, US2

Catégorie	NR	%NR	NMI
Com A	46	57.5%	1
Com B	33	41.3%	1
Amphore-Régionale	1	1.3%	0
Total	80	100%	2

La céramique commune de mode A est représentée par de nombreux fragments d'un grand vase de stockage en pâte blanchâtre. D'autres éléments témoignent de la présence d'une cruche à la paroi particulièrement fine en pâte rouge.

Deux vases en céramique commune de mode B sont attestés : un pot dont la lèvre fait défaut en pâte colorée à surface grise et un autre pot à petite lèvre éversée.

Un fragment est lié certainement à une amphore régionale.

Deux petits fragments correspondent à une production de l'atelier de Bais.

Datation : I^{er} s. (probablement deuxième moitié du I^{er} s.).

Str. 263, sd. 230, US1

Catégorie	NR	%NR	NMI
Sigillée-CG	1	4.2%	1
Fine B-TN	1	4.2%	0
Com A	3	12.5%	0
Com B	17	70.8%	1
Com-Bais?	2	8.3%	0
Total	24	100%	2

Le seul fragment de céramique sigillée recueilli peut être attribué à la partie haute d'une coupe Drag. 37 du Centre de la Gaule de la seconde moitié du II^e s. Deux fragments de céramique fine de mode B (terra nigra) sont résiduels dans ce contexte.

La céramique commune de mode A compte une portion importante de la panse d'un vase de stockage dont la partie externe a subi une réduction accidentelle (couleur grise alors que la partie interne est blanchâtre). Un autre fragment est beige orangé à cœur gris.

La céramique commune de mode B ne compte que des fragments de panse à l'exception d'un fond. Les pâtes sont, la plupart du temps, grises.

Datation : deuxième moitié du II^e s.

Str. 263, sd. 231, US1

Catégorie	NR	%NR	NMI
Com A	12	44.4%	1
Com B	13	48.1%	3
Amphore-Régionale	2	7.4%	0
Total	27	100%	4

Lot de céramique commune de mode A composé de fragments en pâte blanchâtre ou orangé et parmi eux de l'embouchure d'une cruche poissée en interne dont la forme est proche de la série Ch. 3408.

Le lot des céramiques communes de mode B se compose quant à lui d'une petite coupe carénée à rebord oblique proche du type M55, d'un bord de pot et d'une anse de bouilloire. Les autres fragments correspondent pour

l'essentiel à des panses de pot.

Deux fragments de panse appartiennent certainement à une amphore régionale.

Datation : deuxième moitié du I^{er} s. – début du II^e s.

Str. 263, sd. 232, US1

Catégorie	NR	%NR	NMI
Com A	3	17.6%	0
Com B	14	82.4%	1
Total	17	100%	1

Le lot se compose de trois fragments sans caractérisation de forme en céramique commune de mode A et d'un lot de commune de mode B comportant des fragments de panse et deux portions de fond. Certains fragments en pâte grise sont particulièrement épais.

Datation : deuxième moitié du I^{er} – II^e s.

Synthèse concernant le fossé Str. 263

*Si on fait exception des lots sans réf. de sondage et des données du Sd. 230, US1 l'ensemble des mobiliers est homogène. Bien que les céramiques fines fassent pratiquement défauts, les caractéristiques techniques des céramiques communes et les quelques formes identifiées correspondent en grande partie à des productions de la **seconde moitié du I^{er} s. et du début du II^e s.** Les correspondances que l'on peut établir entre ces mobiliers et ceux d'autres fosses ou fossés du site le confirment largement.*

Str. 269, sd. 211, US1

Catégorie	NR	NMI
Com B	3	1

Céramique commune de mode B : un fond de plat à cuire en pâte blanchâtre et surface gris bleuté, un fragment de panse en pâte grise très cuite.

Datation : deuxième moitié du II^e s. – III^e s.

Str. 274, US1

Catégorie	NR	NMI
Com A	1	0
Com B	21	1
Total	22	1

La céramique se compose d'un petit fragment de commune de mode A, d'un fond de pot de grandes tailles en commune de mode B et d'un lot de fragments de panse d'une forme indéterminée appartenant également à cette dernière catégorie.

Datation : I^{er} s.

Str. 282 et Str. 282, US1

Catégorie	NR	NMI
Sigillée-CG	3	1
Fine A-Paroi fine?	2	1
Fine B-TN	1	1
Com A	9	0
Com B	18	8
Com-Bais	1	0
Total	34	11

Recollages attestés entre les pièces des deux lots.

Les vernis des céramiques sigillées ne sont pas conservés. Deux individus du Centre de la Gaule de la deuxième moitié du II^e s. : l'un de forme indéterminée (retailé ?) et l'autre de forme Drag. 33, une coupelle dont la forme peut être datée dans le cas présent du milieu du II^e s.

Deux autres fragments de céramique correspondent à des parois fines. Un pied de gobelet précoce et éventuellement un bord de coupe.

Un fragment de céramique fine de mode B appartient à une coupe M96.

La céramique commune de mode A ne compte que des éléments de panse : forme fermée ou vase de stockage en pâte dégraissée, orange en surface et gris au cœur.

La céramique commune de mode B est représentée essentiellement par des vases aux pâtes grises très cuites, presque dépourvus de dégraissants comme le sont souvent les pièces produites à partir du milieu du II^e s. On compte une coupe à bandeau supérieur vertical, une coupe ou une marmite tripode à petite lèvre rentrante, la partie supérieure d'une coupe hémisphérique ainsi que trois lèvres éversées de pot dont deux de petites tailles.

Un dernier fragment de céramique pourrait correspondre à un fond de l'atelier de Bais.

Datation : des éléments du I^{er} s. sont présents dans cet ensemble mais les pièces les plus récentes datent bel et bien de la seconde moitié du II^e s. ou du début du III^e s.

Str. 284, US1

Catégorie	NR	NMI
Com A	1	0
Com B	2	1
Total	3	1

Un petit fragment de céramique commune de mode A et deux fragments de commune de mode B à savoir un fond et un bord de gobelet en pâte grise très peu dégraissée.

Datation : I^{er}-II^e s.

Str. 293

Catégorie	NR	%NR	NMI
Fine B-TN	3	13.6%	2
Com B	19	86.4%	4
Total	22	100%	6

Les céramiques fines de mode B sont représentées par deux fonds de forme indéterminée. L'un à cœur gris, franges beiges et surface noire et l'autre à cœur coloré et surface noire.

Tous les autres fragments appartiennent à des récipients en céramique commune de mode B. Les caractéristiques techniques sont très variées. Parmi les formes identifiables se trouvent deux coupes à lèvre verticale soulignée d'une ou deux gorges, ainsi que les lèvres effilées de deux petits pots.

Datation : deuxième moitié du I^{er} s.

Str. 319, US1

Catégorie	NR	NMI
Com-Proto	3	0

Trois fragments de céramique gauloise (Tène finale).

Str. 323 (angle 28 et 565)

Catégorie	NR	%NR	NMI
Com A	11	55.0%	0
Com B	8	40.0%	2
Com-Bais	1	5.0%	0
Total	20	100%	2

Lot de céramique commune de mode A correspondant uniquement à des fragments de panse mais dont la variété des caractéristiques techniques indique la présence de quatre individus. Le corpus des céramiques communes de mode B compte deux bords de pot, l'un à petite lèvre éversée, l'autre à grosse lèvre en bourrelet.

Un unique fragment de panse de l'atelier de Bais est attesté.

Datation : I^{er}-II^e s.

Str. 328

Catégorie	NR	%NR	NMI
Com A	1	6.7%	0
Com B	8	53.3%	2
Com-Bais	6	40.0%	1
Total	15	100%	3

Un fragment de forme fermée en commune de mode A ; un lot de fragments de commune de mode B dont un bord de jatte à lèvre éversée en pâte grise et un lot de céramique de l'atelier de Bais dont un bord de pot.

Datation : seconde moitié du II^e s.

Str. 330

Catégorie	NR	NMI
Com-Bais?	1	0

Fragment probable de l'atelier de Bais.

Str. 336, sd. 14

Catégorie	NR	%NR	NMI	%NMI
Fine B-TN	6	3.8%	1	9.1%
Com A	77	49.4%	3	27.3%
Com B	72	46.2%	6	54.5%
Com-Bais	1	0.6%	1	9.1%
Total	156	100%	11	100%

Le lot des céramiques fines de mode B (terra nigra) se compose principalement de fragments de panse et de la partie haute d'un vase biconique M136 en pâte gris clair à surface gris foncé. Le corpus des céramiques communes de mode A comporte de nombreux fragments de panse de cruche en pâte beige. La partie haute d'une d'entre elles est conservée. Elle correspond au type Ch. 3408 attesté en territoire carnute au cours de la seconde moitié du I^{er} s. et le début du II^e s. En complément, se trouve un mortier de type Ch. 5305 en pâte rosée à cœur gris qui devait être recouvert d'un engobe blanc, ainsi que des fragments en pâte dégraissée notamment un petit pot à lèvre en gouttière.

La céramique commune de mode B comporte des vases en pâte grise dégraissée identiques à ceux présents dans la fosse 519. Il s'agit de jatte ou de pot à lèvre éversée.

Un petit fragment d'une statuette en terre blanche figure également dans ce lot (*cf. chapitre terre cuite*).

Un fragment de jatte de type 3 de l'atelier de Bais est également attesté.

Datation : tous les éléments indiquent clairement qu'il s'agit d'un lot de la seconde moitié du I^{er} s.

Str. 339/565

Catégorie	NR	%NR	NMI
Fine B-TN	1	20.0%	1
Com B	4	80.0%	1
Total	5	100%	2

Petit lot de céramique composé d'un bord d'assiette M8 en céramique fine de mode B (terra nigra) et d'un bord de jatte à lèvre éversée en commune de mode B (pâte grise).

Datation : I^{er} s.

Str. 341

Catégorie	NR	NMI
Com B	1	1

Fragment de pot en céramique commune de mode B : lèvre éversée en pâte grise.

Datation : I^{er} s.

Str. 365 (fanum, cella : sur mur O, recoupé par F155)

Catégorie	NR	%NR	NMI
Sigillée-CG	1	14.3%	0
Com B	4	57.1%	1
Com-Médiévale	1	14.3%	0
Com-indét.	1	14.3%	1
Total	7	100%	2

Un fragment de sigillée du Centre de la Gaule des années 160/190 : une assiette Lez. 45. Un fond massif de pot en commune de mode B vraisemblablement tardif. Un fragment de céramique médiévale ou moderne et un fond de vase de datation indéterminée.

Datation : perturbation médiévale ou moderne.

Str. 369, sd. 12, US5

Catégorie	NR	NMI
Com A	1	0

Petit fragment de céramique commune de mode A.

Datation : I^{er} s.

Str. 369, sd. 132

Catégorie	NR	NMI
Com A	2	1

Présence d'une céramique commune de mode A en pâte orangée à engobe blanc de la première moitié du I^{er} s. Elle était pourvue d'une anse parcourue par quatre sillons.

Datation : première moitié du I^{er} s.

Str. 370**Str. 370, sd. 12, US1**

Catégorie	NR	%NR	NMI
Sigillée-	1	4.5%	0
Com A	5	22.7%	1
Com B	10	45.5%	1
Com-Bais	6	27.3%	0
Total	22	100%	2

Fragment de céramique sigillée du I^{er} s. du Centre de la Gaule.

La céramique commune de mode A se compose de fragments de panse de forme fermée en pâte blanchâtre et d'une anse trifide en pâte orangée.

La céramique commune de mode B est représentée par un lot de fragments de panse en pâte grise dont certains sont très cuits et un bord de pot à la lèvre triangulaire.

Un lot de fragments de panse de l'atelier de Bais ne comporte aucun élément permettant de caractériser des formes.

Datation : I^{er} s

Str. 370, sd. 12, US2

Catégorie	NR	%NR	NMI
Com B	7	13.7%	0
Com-Bais	44	86.3%	4
Total	51	100%	4

Ensemble composé presque exclusivement de céramiques de l'atelier de Bais, hormis une série de petits fragments de panse d'une céramique commune de mode B en pâte noire très dégraissée de mica.

Le répertoire des pièces de l'atelier de Bais se compose de formes ayant conservées leur aspect de surface à savoir parfaitement lissées en externe avec des stries de tournage en interne et parfois des lissages ponctuels verticaux aussi bien en interne qu'en externe. Les pièces les mieux conservées montrent clairement que les petits vases ont été intégralement tournés.

Des jattes de type 2b et type 9 sont attestées mais aussi très certainement des fragments de pots de type 2 dont il manque la lèvre. On retrouve également un pot à profil en esse allongé qui correspond très clairement à un vase modelé. Cette forme est couramment attestée au sein du répertoire des céramiques modelées gallo-romaines, mais dans le cas présent, la pâte est celle des productions de Bais. De nombreux autres fragments de panse, sans caractérisation de forme sont attestés.

Datation : atelier de Bais ou gallo-romain précoce.

Str. 370, sd. 132

Catégorie	NR	%NR	NMI	%NMI
Com A	1	2.5%	0	
Com B	11	27.5%	2	50.0%
Com-Bais	21	52.5%	1	25.0%
Modelée-Gallo-romain	7	17.5%	1	25.0%
Total	40	100%	4	100%

Figure au sein de ce lot, un fragment de panse de céramique commune de mode A en pâte blanchâtre. La paroi est particulièrement fine comme le sont les pièces précoces.

La céramique commune de mode B est représentée, quant à elle, par des fragments de pot dont un en pâte noire très dégraissée de mica, similaire aux productions que l'on rencontre dans les niveaux gallo-romains précoces. Plusieurs fragments d'un pot en céramique modelée gallo-romaine précoce sont aussi attestés.

De nombreux éléments de l'atelier de Bais complètent ce corpus. Il s'agit pour l'essentiel de fragments de panse en pâte sombre mais aussi beige ou encore rouge parfois bien lissée et d'un pied de jatte.

Datation : il est possible que ce contexte s'inscrive dans l'horizon gallo-romain précoce du site, au moment de l'abandon des ateliers ou peu après : fin du I^{er} s. av. ou premières décennies du I^{er} s. ap.

Str. 370, sd. 137

Catégorie	NR	NMI
Com-Bais	22	2

Lot de fragments de l'atelier de Bais. Présence de deux fonds de pot.

Synthèse sur le fossé Str. 370

A l'exception du niveau supérieur du sondage 12 qui comporte des céramiques caractéristiques d'une occupation du I^{er} s. ap. plutôt d'ailleurs du milieu ou de la seconde moitié de celui-ci, l'ensemble des autres contextes livrent des mobiliers relatifs à l'atelier de Bais ou à la période immédiatement postérieure à son abandon à savoir la fin du I^{er} s. av. et les premières décennies du I^{er} s. ap.

Str. 374, sd. 19

Catégorie	NR	NMI
Com-Bais	1	1

Un fragment de bord d'une jatte de type 3 de l'atelier de Bais.

Str. 378, sd. 9

Catégorie	NR	NMI
Com A	1	0

Fragment de céramique commune de mode A.

Datation : I^{er} s.

Str. 385

Catégorie	NR	NMI
Sigillée-CG	2	1
Com B	2	1
Total	4	2

Un fond de sigillée du Centre de la Gaule : un mortier Curle 21 de la seconde moitié du II^e s. (vraisemblablement du troisième quart si l'on tient compte des particularités morphologiques de la pièce). Un vase en céramique commune de mode B en pâte grise très cuite, peu dégraissée. Lèvre en gros bourrelet.

Datation : seconde moitié du II^e s.

Str. 391 (fanum, cella : mur extérieur N)

Catégorie	NR	NMI
Com-Bais	33	3

Lot exclusivement composé, semble-t-il, de fragments de l'atelier de Bais. Les deux bords conservés correspondent à des pots massifs de type 2.

Str. 393 (fanum, cella : interne NO)

Catégorie	NR	NMI
Com-Bais	10	0

Fragments de l'atelier de Bais.

Str. 394 (fanum, cella : interne S0)

Catégorie	NR	NMI
Com-Bais	5	1

Fragments de l'atelier de Bais dont un bord de type 1.

Str. 395

Catégorie	NR	NMI
Com-Bais	1	0

Fragment de l'atelier de Bais.

Str. 400

Catégorie	NR	%NR	NMI	%NMI
Sigillée-CG	1	1.5%	1	7.7%
Fine B-TN	9	13.4%	3	23.1%
Mi-fine B	6	9.0%	1	7.7%
Com A	8	11.9%	2	15.4%
Com B	40	59.7%	5	38.5%
Modelée-Gallo-romain	2	3.0%	1	7.7%
Amphore-Tarraconaise	1	1.5%	0	
Total	67	100%	13	100%

La céramique fine est représentée par un fragment d'assiette Drag. 18 en sigillée du Centre de la Gaule des années 30/70, et un corpus de céramique fine de mode B (terra nigra) : coupe M95 avec décor ondé en pâte et surface sombres, coupe de petit format M96 et bord d'assiette M22.

Des fragments de céramique mi-fine de mode B de la seconde moitié du I^{er} s. sont également attestés mais seul un fond permet de caractériser la présence d'un pot.

La céramique commune de mode A est peu représentée : quelques fragments de panse de forme fermée, un fond de mortier en pâte orangée à cœur gris dégraissée et un bord de mortier issu des ateliers locaux en pâte brune dont un exemplaire similaire, presque complet, est connu dans la fosse str. 519.

La céramique commune de mode B constitue le lot dominant avec plusieurs pots attestés : un en pâte grise très cuite dont le fond est conservé et un autre à la paroi plutôt fine en pâte rouge à cœur et surface gris. Un autre pot, massif, est en pâte grise très peu dégraissée. Le corpus se compose également d'un bord de jatte dont la pâte évoque les productions locales et d'un bord de gros vase de stockage en pâte grise très dégraissée de mica. Un pot en céramique modelée est également attesté ainsi qu'un fragment d'une amphore de Tarraconaise.

Datation : ce lot présente des mobiliers du I^{er} s. depuis les premières décennies jusqu'à la fin de ce siècle. Les correspondances que l'on peut établir avec certaines céramiques de la fosse str. 519 incitent à dater cet ensemble à partir du dernier quart du I^{er} s.

Str. 404

Catégorie	NR	%NR	NMI
Com B	5	55.6%	1
Com-Proto	2	22.2%	0
Com-Bais	2	22.2%	0
Total	9	100%	1

Présence d'un vase en céramique commune de mode B en pâte grise dégraissée et d'un autre fragment en pâte grise également à la paroi très fine.

Le reste du corpus se compose de tous petits fragments. Un bord incomplet, éventuellement de type 2 de l'atelier de Bais et un autre fragment de même nature.

Deux fragments peuvent vraisemblablement être datés de La Tène finale.

Datation : I^{er} s.

Str. 405

Catégorie	NR	%NR	NMI
Fine B-proto TN?	1	9.1%	0
Com B	7	63.6%	2
Com-Proto	2	18.2%	0
Com-Bais	1	9.1%	1
Total	11	100%	3

Attestation de deux fragments de céramique commune de mode B en pâte grise dont un à la paroi épaisse.

Petit fragment de panse d'un vase « proto-terra nigra » en pâte rosée/beige, et surface noire lissée.

Fragment d'un petit pot en pâte sombre très dégraissée correspondant à une céramique vraisemblablement modelée gallo-romaine précoce (série évoluée de la forme Besançon).

Autre fragment en pâte noire dont la taille ne permet pas de proposer une caractérisation de forme.

Un fragment de l'atelier de Bais correspond à une jatte de type 3.

Deux autres fragments peuvent vraisemblablement être datés de La Tène finale.

Datation : fin du I^{er} s. av. et premières décennies du I^{er} s. ap.

Str. 405 sous angle NE, mur Fanum

Catégorie	NR	%NR	NMI
Com A	1	11.1%	0
Com-Proto	6	66.7%	3
Com-Bais	2	22.2%	0
Total	9	100%	3

Présence d'un fragment de cruche en céramique commune de mode A en pâte blanchâtre, d'un fragment de l'atelier de Bais et d'un lot de céramique de La Tène finale à savoir une jatte à lèvres en Y, un pot à lèvres massive éversée, une forme ouverte indéterminée et des fragments de panse.

Datation : incertaine ; le tesson gallo-romain est peut-être intrusif.

Str. 411

Catégorie	NR	%NR	NMI	%NMI
Sigillée-MLG	1	4.8%	1	11.1%
Fine B-TN	3	14.3%	1	11.1%
Com A	4	19.0%	1	11.1%
Com B	11	52.4%	5	55.6%
Amphore-Régionale	2	9.5%	1	11.1%
Total	21	100%	9	100%

Présence d'une assiette Drag. 18 en céramique sigillée issue des ateliers Millau-La Graufesenque des années 40/70.

Un vase en céramique fine de mode B correspond à un gobelet M141/144, à savoir une forme qui s'inspire du répertoire des parois fines engobées en vigueur au cours des dernières décennies du I^{er} s.

Un fond de cruche en pâte blanchâtre est également attesté pour la céramique commune de mode A.

Le répertoire de la céramique commune de mode B est un peu plus diversifié tant en ce qui concerne les formes que les pâtes : jatte à marli identique aux coupes Curle 11 en céramique sigillée, pots à lèvres épaissies ou rainurées et fond de coupe.

Deux fragments vraisemblablement d'amphore du Val de Loire correspondent à une panse et une lèvre d'une forme G.4.

Datation : deuxième moitié du I^{er} s. avec vraisemblablement un TPQ après 60.

Str. 411, sd. 41

Catégorie	NR	NMI
Com A	4	0

Fragment d'une céramique commune de mode A en pâte blanchâtre.

Datation : I^{er} - II^e s.

Str. 412

Catégorie	NR	NMI
Mi-fine B	1	0

Un fragment de céramique mi-fine de mode B.

Datation : deuxième moitié du I^{er} s.

Str. 414

Catégorie	NR	NMI
Com B	2	0

Deux fragments de céramique commune de mode B.

Datation : I^{er}-II^e s.

Str. 416

Catégorie	NR	%NR	NMI
Com A	8	61.5%	0
Com B	1	7.7%	0
Amphore?-Taraconnais	4	30.8%	0
Total	13	100%	0

Petit lot de céramique comportant des fragments de céramique commune de mode A partiellement brûlés appartenant à une forme fermée, un fragment de commune de mode B en pâte très dégraissée et vraisemblablement quelques fragments de panse d'un conteneur du Val de Loire en pâte brun foncé à cœur noir.

Datation : I^{er}-II^e s.

Str. 419

Catégorie	NR	%NR	NMI
Sigillée-MLG	3	33.3%	1
Fine B-TN	1	11.1%	0
Mi-fine B	1	11.1%	1
Com B	2	22.2%	0
Com-Bais	2	22.2%	1
Total	9	100%	3

Le lot de céramique se compose d'une assiette Ve. A2 de Millau-la Graufesenque des dernières décennies du I^{er} s., un fragment de panse en céramique fine de mode B, un fond de coupe en céramique mi-fine de mode B, deux fragments de panse de commune de mode B ainsi qu'un bord et un fond dont les caractéristiques techniques et morphologiques correspondent à ceux de l'atelier de Bais.

Datation : dernières décennies du I^{er} s.

Str. 419, US1 et 2

Catégorie	NR	%NR	NMI	%NMI
Fine B-TN	10	25.0%	2	33.3%
Com A	10	25.0%	1	16.7%
Com B	18	45.0%	3	50.0%
Com-Bais	2	5.0%	0	
Total	40	100%	6	100%

Lot de céramique fine de mode B composé essentiellement de fragments de panse et de deux pieds qui n'autorisent aucune attribution de forme. La céramique commune de mode A est représentée par une cruche en pâte blanchâtre de forme indéterminée en raison de la disparition de la partie supérieure de la lèvre. Le corpus des céramiques communes de mode B compte deux fragments de pot à lèvre éversée en pâte grise et un bord de coupe à lèvre verticale soulignée par une gorge en externe. Deux fragments peuvent vraisemblablement être rattachés aux productions locales précoces.

Datation : tous les éléments appartiennent aux productions du I^{er} s. La présence d'une coupe à lèvre oblique permet de situer le TPQ au cours de la seconde moitié du I^{er} s.

Str. 430

Catégorie	NR	NMI
Com-Bais	3	0

Petits fragments de céramique de l'atelier de Bais.

Str. 431

Catégorie	NR	NMI
Com-Bais	30	3

Présence exclusive de fragments de céramique de l'atelier de Bais. De nombreux éléments peuvent être attribués à un pot de stockage de type 1. La partie supérieure de la lèvre est lissée. Le décor situé à 3,5 cm sous la lèvre est à peine esquissé. Le registre ne comporte qu'une ligne de délimitation à la base et les ondulations ont été partiellement effacées lors de reprises. Pâte brune et surface grise. D'autres fragments de bord appartiennent à des céramiques de type 2 et 6. Le reste consiste en fragments de panse.

Str. 432

Catégorie	NR	NMI
Com-Bais	1	0

Petit fragment de céramique de l'atelier de Bais.

Str. 433

Catégorie	NR	NMI
Com-Bais	1	0

Petit fragment de céramique de l'atelier de Bais.

Str. 440

Catégorie	NR	%NR	NMI	%NMI
Sigillée-CG	5	4.5%	2	5.6%
PFE-CG	1	0.9%	1	2.8%
Fine B-TN	2	1.8%	0	
Mi-fine B	8	7.2%	3	8.3%
Com A	38	34.2%	10	27.8%
Com B	56	50.5%	19	52.8%
Modelée-Gallo-romain	1	0.9%	1	2.8%
Total	111	100%	36	100%

Le lot des céramiques sigillées se compose de trois individus. En premier lieu, une coupe Drag. 37 du Centre de la Gaule au décor en grande partie altéré. Les quelques poinçons conservés ainsi la forme du vase incitent

à attribuer cette pièce aux ateliers du Centre de la Gaule du milieu du II^e s. Un autre fragment de panse sans caractérisation de forme est vraisemblablement contemporain. Quant au dernier, il ne présente pas les caractéristiques techniques les plus typiques de Lezoux mais plutôt celles de Lubié. Le pied est celui d'un mortier de type Curle 21 de la seconde moitié du II^e s.

Le corpus de la céramique fine comporte également un bord de gobelet en paroi fine engobée du Centre de la Gaule ainsi que des fragments de panse de céramique fine de mode B (terra nigra) dont certainement la partie basse d'une coupe M96.

Le lot de la céramique mi-fine de mode B comporte des pièces typiques de la fin du I^{er} s. et de la première moitié du II^e s. mais aussi d'autres plus caractéristiques de l'horizon de la seconde moitié du II^e s. et du III^e s. Au sein du premier lot on compte une coupe à bord droit souligné d'une cannelure en externe (pâte grise et surface grise parfaitement lissée) et un bord de pot apparenté M146. Au sein du second figure notamment un gobelet à fond épais.

Le corpus des céramiques communes de mode A est relativement riche. Il comporte divers éléments de cruche en pâte blanchâtre correspondant à trois individus. Un fond, deux anses bifides différentes et un bord dont la lèvre est similaire au type Ch. 2816. Deux autres fragments de bord dont le diamètre est de 11 et 12 cm peuvent être apparentés à des lèvres de Gauloise 12, mais ne possèdent pas de cannelures sur le dessus. L'une et en pâte blanche et l'autre rosé à cœur gris.

D'autres formes sont attestées : un plat au rebord oblique de type Ch. 127 et un mortier de type Ch. 5305. Tous deux présentent les mêmes caractéristiques techniques que la grande cruche en pâte rosée à cœur gris et pourrait provenir du même atelier.

Deux fonds de vase cuit en mode A et fortement dégraissés sont atypiques. Ils pourraient être de production locale.

La céramique commune de mode B est très diversifiée comme le reste du mobilier et correspond aussi bien à des vases de la seconde moitié du I^{er} s. - début II^e s. qu'à des pièces du III^e s. Ces dernières sont représentées par des récipients à lèvre triangulaire ou grosse lèvre en bourrelet éversé, mais aussi à un plat altéré par le feu.

Parmi les autres formes on note la présence d'une coupe carénée et d'une coupelle de profil similaire à d'autres de la str. 519.

Une petite coupe hémisphérique de forme simple en pâte grise très cuite avec de nombreux dégraissants appartient à la catégorie des céramiques modelées vraisemblablement également tardives car ses caractéristiques techniques sont très différentes de celles des céramiques en usage sur le site au cours du I^{er} s.

*Datation : les mobiliers de la partie supérieure du comblement de cette fosse correspondent à deux grandes périodes : la seconde moitié du I^{er} s. - première moitié II^e s. avec des mobiliers similaires à ceux de la plupart des autres complements du site et des mobiliers du III^e s. relativement typiques. A titre d'hypothèse, on peut proposer que le comblement final de cette fosse est contemporain de celui des autres fossés à savoir du **deuxième quart ou milieu II^e s.**, mais que des rejets ponctuels ont été fait au **III^e s.** dans une portion au moins de la fosse.*

Catégorie	Sup.	Réf. typo.	Forme	NR	NMI
Sigillée	CG	D37	Coupe	3	1
Sigillée	CG		IND	1	0
Sigillée	CG		Mortier	1	1
PFE	CG		Gobelet	1	1
Fine B	TN	M096?	Coupe	1	0
Fine B	TN		Coupe	1	0
Mi-fine B			Coupe	3	1
Mi-fine B		M146?	Pot	2	1
Mi-fine B			Gobelet	3	1
Com A			Cruche	29	3
Com A			Amphore	2	2
Com A		Ch. 2816	Cruche	1	1

Catégorie	Sup.	Réf. typo.	Forme	NR	NMI
Com A		Ch. 0127	Plat	1	1
Com A		Ch. 5305	Mortier	1	1
Com A			IND	4	2
Com B			Pot	12	10
Com B			Pot	4	4
Com B			Jatte	3	1
Com B			Jatte	3	1
Com B			Coupe	1	1
Com B			Coupelle	1	1
Com B			Plat	1	1
Com B			IND	31	0
Modelée	Gallo-romaine		Coupe	1	1

Fig. 554 : inventaire détaillé de la céramique de la str. 440 © R. Delage

Str. 441

Catégorie	NR	NMI
Fine B-TN	1	1
Com A	1	1
Com B	1	0
Total	3	2

Lot de céramique comportant un plat à rebord oblique céramique fine de mode B fortement altérée, un fragment de cruche en pâte orangée et deux fragments de commune de mode B.

Datation : deuxième moitié du I^{er} s.

Str. 441, US2+3

Catégorie	NR	%NR	NMI
Sigillée-CG	2	4.9%	1
PFE-CG	8	19.5%	0
Fine B-TN	4	9.8%	0
Com A	4	9.8%	1
Com B	23	56.1%	3
Total	41	100%	5

Sigillée du Centre de la Gaule : assiette Ve. A2 des années 60/110.

Un vase en paroi fine engobée est fortement altéré. Il est probable toutefois qu'il provienne des ateliers du Centre de la Gaule. La forme correspond au gobelet à dépression, caréné sous la lèvre, Lez. 335/336. Une autre portion de paroi fine engobée se caractérise par un fragment de panse associé à un petit pied conique comme le sont les coupes Lez. 340.

Quelques fragments érodés et petites tailles appartiennent à un vase en céramique fine ou mi-fine de mode B.

La céramique commune de mode A est représentée par des fragments de forme fermée et une petite anse trifide en pâte beige. La céramique commune de mode B compte elle aussi de nombreux fragments de panse ne permettant pas de proposer des attributions typologiques. Trois bords seulement sont attestés : un pot à lèvre éversée, un petit gobelet et un vase cylindrique à lèvre plate.

Datation : l'ensemble des données permet de situer ce lot au cours du dernier quart du I^{er} s.

Str. 441, US3

Catégorie	NR	NMI
Fine B-TN	1	1

Plat en céramique fine de mode B de type M1. Pâte gris clair, surface gris foncé.

Datation : I^{er} s.

Str. 442

Collage entre sd. 158, US2 ; sd. 163 , US1 ; sd.157-158, US1 et sd. 161, US1.

Str. 442, sans mention

Catégorie	NR	NMI
Com-Bais	1	0

Fond de pot de l'atelier de Bais.

Str. 442, US4

Catégorie	NR	NMI
Com B	4	1

Trois fragments d'une coupe en céramique commune de mode B à pâte grise très cuite.

Str. 442, sd. 146, US3

Catégorie	NR	NMI
Com-Bais	8	1

Fragments d'un fond de pot de l'atelier de Bais.

Str. 442, sd. 148

Catégorie	NR	NMI
Fine B-TN	1	0
Com B	1	0
Total	2	0

Fragments de céramique fine de mode B et de commune de mode B.

Str. 442, sd. 153, US2

Catégorie	NR	%NR	NMI
Fine B-TN	6	42.9%	1
Com B	4	28.6%	1
Com-Bais	4	28.6%	0
Total	14	100%	2

Figurent parmi ce lot des fragments de céramique fine de mode B appartenant à deux individus définis par le biais de leurs caractéristiques techniques. L'un correspond à une assiette de type M7/9, l'autre est de forme indéterminée.

Sont également attestés des fragments d'un pot en céramique commune de mode B ainsi que quelques fragments de céramique de l'atelier de Bais.

Str. 442, sd. 156, US6

Catégorie	NR	%NR	NMI
Mi-fine B	5	11.1%	0
Com A	11	24.4%	0
Com B	21	46.7%	3
Com-Bais	6	13.3%	0
Amphore-Régionale	2	4.4%	1
Total	45	100%	4

Cinq fragments de panse d'une céramique mi-fine de mode B correspondent à une coupe à profil en « S » aux parois minces.

La céramique commune de mode A ne compte que des fragments de panse en pâte brune, beige ou orange.

La céramique commune de mode B est représentée par un bord de pot en pâte sombre aux parois minces, des fragments de panse ainsi que deux fonds (un de pot et un autre de coupe ou de jatte) essentiellement en pâte grise.

Complète ce lot de céramiques domestiques : un col d'amphore de type Ch. 3709/3710 en pâte orangée, vraisemblablement poissée dans la partie haute. En territoire carnute, ces conteneurs sont fabriqués et utilisés au cours de la seconde moitié du I^{er} s.

Sept petits fragments de céramique de L'atelier de Bais sont également attestés.

Str. 442, sd. 157, US2

Catégorie	NR	%NR	NMI	%NMI
Sigillée-MLG?	1	0.5%	1	4.0%
Fine B-TN	15	8.2%	4	16.0%
Mi-fine B	2	1.1%	1	4.0%
Com A	28	15.4%	1	4.0%
Com B	130	71.4%	16	64.0%
Com-Bais	4	2.2%	1	4.0%
Modélée-	2	1.1%	1	4.0%
Total	182	100%	25	100%

Un seul fragment de céramique sigillée est présent : un bord d'assiette Ve. F2, probablement du Sud de la Gaule, mais aux caractéristiques techniques plutôt atypiques (pâte calcaire, orangé, vernis rouge clair brillant).

L'examen de la pâte montre qu'elle ne peut correspondre à une production du II^e s. du Centre de la Gaule (Lezoux ou Martres-de-Veyre ; **Fig. 563, n°3**).

Le lot de céramique fine de mode B compte une coupe M96 archéologiquement complète en pâte colorée et surface grise (**Fig. 563, n°9**), une coupe M78/82 réoxydée (verniss rouge orangé, pâte beige ; **Fig. 563, n°8**), ainsi que deux autres formes dont les caractéristiques techniques sont similaires : cœur gris foncé, franges claires et surface grise. Il s'agit d'une coupe de type M69 (**Fig. 563, n°12**) et d'une forme fermée M130.

La céramique mi-fine de mode B compte une forme fermée de profil proche de M140 mais avec une panse cylindrique et non ovoïde (**Fig. 563, n°16**). Les parois sont particulièrement minces, colorées sur les franges avec un cœur gris tandis que la surface est gris noir.

La céramique commune de mode A comporte essentiellement des fragments de panse de forme fermée en pâte blanchâtre ou orangée dont quelques uns avec engobe blanc ou orangé. Sont également attestés la lèvre d'un pot en pâte dégraissée orangée (**Fig. 564, n°2**) et un mortier en pâte orangée à cœur gris dont la forme correspond classiquement au type Ch. 5305 (**Fig. 564, n°4**).

Le corpus de la céramique commune de mode B est riche de nombreuses formes dont les plus courantes sont les pots à simple lèvre éversée présentant souvent une à deux gorges entre la panse et le col (**Fig. 565, n°9, 13 ; Fig. 566, n°7, 11 ; Fig. 567, n°3, 8**). Les pâtes sont le plus souvent grises, très peu dégraissées.

En complément on trouve un pot miniature (**Fig. 567, n°9**), deux bords de jatte dont une en pâte sableuse très cuite (**Fig. 565, n°1, 2**), une coupe à bord droit parcouru de gorges (**Fig. 567, n°13**), un couvercle (**Fig. 567, n°16**) ainsi qu'une anse relativement massive de bouilloire.

Deux fragments de céramique modelée gallo-romaine (pâte et surface noire très dégraissée, très cuite) correspondent à un petit pot (**Fig. 567, n°18**).

Bord de coupe vraisemblablement de l'atelier de Bais (surface lissée).

Str. 442/648, sd. 158, US1

Catégorie	NR	%NR	NMI
Fine B-TN	6	16.2%	2
Com A	10	27.0%	2
Com A-amphore?	1	2.7%	0
Com B	20	54.1%	3
Total	37	100%	7

La céramique fine de mode B est représentée par un bord de coupe M96 et un fond d'assiette apode. La céramique commune de mode A l'est par un fond de cruche en pâte blanchâtre tandis que la céramique commune de mode B compte un pot en pâte rouge et surface brune, à paroi fine et petite lèvre éversée, un fond de pot et un ensemble de fragments de panse. En complément se trouve un fragment en pâte brune et cœur gris qui appartient vraisemblablement à une amphore.

Datation : les éléments chronologiques correspondent tous vraisemblablement à des productions du I^{er} s. ap. et plus particulièrement, pour la majorité d'entre eux, de la seconde moitié du I^{er} s.

Str. 442, sd. 158, US2

Catégorie	NR	%NR	NMI
Mi-fine B	8	11.3%	1
Com A	4	5.6%	1
Com B	59	83.1%	4
Total	71	100%	6

La céramique mi-fine de mode B correspond à deux individus : un vase de forme M96 en pâte grise avec dégraissants (Fig. 563, n°10) et des fragments d'une forme indéterminée en pâte gris clair et surface noire.

La céramique commune de mode A comporte des fragments d'un *dolium* à surface orangée et cœur gris dont la forme est proche de Ch. 1904 (un bord, une panse et vraisemblablement un fond). Recollage avec sd. 163, US1 ; sd. 157-158, US1 et sd. 161, US1 (Fig. 564, n°9)

La céramique commune de mode B est représentée, quant à elle, par un pot de profil simple archéologiquement complet aux parois minces et à la lèvre éversée (pâte grise dégraissée ; Fig. 566, n°8). D'autres fragments permettent de déterminer la présence de deux pots (Fig. 567, n°4, 6) et d'un fond de forme indéterminée.

Un gros fragment de panse appartient à un pot de stockage dont d'autres fragments ont été mis au jour au sein des différents lots du fossé : sd. 156-157, US1 et sd. 157-158, US1 (Fig. 566, n°1).

Str. 442, sd. 161, US1

Catégorie	NR	%NR	NMI
Fine B-TN	1	3.0%	0
Com A	17	51.5%	1
Com A-eng. blanc	2	6.1%	0
Com B	9	27.3%	1
Com-Bais	1	3.0%	0
Modélée-	3	9.1%	1
Total	33	100%	3

Présence d'un fragment de céramique fine de mode B appartenant à la même coupe M94 que celle de l'US2 (Fig. 563, n°13). Le lot de céramique commune de mode A est le plus riche. Il comporte de nombreux fragments de panse de cruche engobée blanc ou non ainsi qu'un fond et un col de cruche à anse trilobée dont la partie conservée ne permet pas de caractériser la lèvre.

Un fragment du fond du *dolium* qui figure dans de nombreux autres sondages du fossé (cf. Sd. 158 pour les références) est également présent (Fig.

564, n°3).

La céramique commune de mode B ne compte qu'un pot en pâte grise très cuite, à lèvre fine éversée (Fig. 566, n°10).

Figure également au sein de ce lot un fond massif de céramique non tournée gallo-romaine : pâte noire comportant un semis fin et abondant de minéraux (Fig. 567, n°17).

Un petit fragment de panse correspond certainement à une céramique de l'atelier de Bais.

Str. 442, sd. 161, US2

Catégorie	NR	NMI
Fine B-TN	10	4

Lot de céramique fine de mode B (terra nigra) : coupes M96 (vraisemblablement en deux exemplaires), M110 et M94. Les pâtes et surfaces sont grises à l'exception d'un fragment de panse de M96 qui présente une pâte brune et une surface noire.

Str. 442, sd. 161, décapage

Catégorie	NR	%NR	NMI
Fine B-TN	27	42.9%	3
Com B	36	57.1%	4
Total	63	100%	7

Lot de fragments de panse de céramique fine de mode B (terra nigra) en pâte grise dont le seul élément de bord conservé correspond à une coupe M96. D'autres fragments à cœur noir et surface grise appartiennent là encore à une coupe M96. Deux fragments en pâte colorée et surface grise constituent des éléments d'une forme fermée non caractérisée.

La céramique commune de mode B est représentée également par de nombreux fragments de panse ainsi que deux fonds, mais aussi surtout quatre bords différents : un pot à lèvre éversée (Fig. 567, n°2), une jatte (Fig. 565, n°11), un plat à lèvre légèrement rentrante (Fig. 567, n°12) et une coupe à lèvre éversée (Fig. 567, n°14).

Str. 442, sd. 163, US1

Catégorie	NR	%NR	NMI	%NMI
Fine B-TN	10	8.1%	2	16.7%
Com A	25	20.2%	2	16.7%
Com B	88	71.0%	8	66.7%
Com-Bais	1	0.8%	0	
Total	124	100%	12	100%

Le lot des céramiques fines de mode B se compose de bords d'une coupe M110 aux caractéristiques techniques partiellement altérées (probablement cœur noir et surface beige) ainsi que deux autres fragments de bord d'un petit gobelet.

De nombreux fragments de céramique commune de mode A figurent au sein de ce lot. Des pâtes beiges de cruche aux parois minces mais aussi des pâtes rouges faiblement dégraissées. Un fragment du bord et de la panse du vase stockage présent dans d'autres contextes de ce fossé sont également attestés, ainsi que deux fragments de bord d'un mortier en pâte blanchâtre (Fig 564, n°5).

Un fond correspond à un pot en pâte rouge très dégraissée.

La céramique commune de mode B est représentée par quelques fragments en pâte sombre très dégraissée et peu cuite et une majorité d'éléments en pâtes grises plus ou moins dégraissées souvent bien cuites. Les fonds et bords permettent de déterminer la présence de 7 individus appartenant à des jattes ou pots (Fig. 565, n°10 ; Fig. 566, n°2). Seul un fragment de bord de faible diamètre au col cylindrique évoque la présence d'une forme fermée

éventuellement avec anse (Fig. 567, n°10).

Str. 442, sd. 163, US2

Catégorie	NR	NMI
Com B	58	2

Présence d'un lot de céramique commune de mode B.

Un des vases se compose de 50 fragments. Les parois sont fines, rouges en interne et noires en surface (Fig. 566, n°6). Un autre est représenté par un fond aux caractéristiques techniques proches du précédent. Les deux fragments restant sont en pâte grise très cuite comme cela est le cas de la majorité des communes de mode B attestées au sein du comblement de ce fossé.

Str. 442, sd. 163, US3

Catégorie	NR	NMI
Com B	4	1

Lot de céramique commune de mode B : deux fragments de panse en pâte grise et deux autres fragments (un bord de pot et une panse) en pâte sombre très dégraissée.

Str. 442, sd. 170, US1 et 2

Catégorie	NR	%NR	NMI
Com A	23	59%	2
Com A-eng. blanc	1	2.5%	1
Com B	13	33.3%	3
Modelée-Gallo-romain	1	2.5%	1
Amphore-Régionale	1	2.5%	1
Total	39	100%	8

La céramique commune de mode A se compose de deux fonds de jatte et de pot en pâte rouge dégraissée et d'une série de fragments de panse de cruche en pâte orangée. Une portion d'anse atteste également la présence d'une cruche engobée blanc. La pâte est beige avec un cœur gris.

La céramique commune de mode B se compose d'un fond vraisemblablement de jatte en pâte grise très cuite et de fragments de panse. En pâte sombre fortement dégraissée sont attestés le bouton d'un couvercle ainsi que la partie basse d'une coupe carénée dont le bandeau supérieur devait être vertical. Ses caractéristiques techniques ont été altérées par un passage au feu.

Un fragment de céramique modelée à la finition particulièrement soignée est également présent. Il correspond à un fond de pot. Comme cela est couramment le cas, la pâte est de couleur sombre, très sableuse.

Un gros fragment d'amphore à fond plat présente les caractéristiques techniques des productions régionales : surface beige, pâte rosée à cœur gris.

Str. 442, sd. 171, US1

Catégorie	NR	NMI
Com B	5	0

Présence de cinq fragments de panse de commune sombre, trois en pâte grise très cuite et deux en pâte et surface sombres.

Str. 442, sd. 173, US3

Catégorie	NR	%NR	NMI	%NMI
Sigillée-MLG	1	0.9%	0	
Fine B-TN	4	3.5%	1	7.7%
Mi-fine B	28	24.3%	1	7.7%
Com A	9	7.8%	0	
Com A-eng. rouge	1	0.9%	1	7.7%
Com A-micacée	2	1.7%	1	7.7%
Com B	68	59.1%	8	61.5%
Amphore-Régionale	2	1.7%	1	7.7%
Total	115	100%	13	100%

La céramique fine compte un fragment sans caractérisation de forme d'une sigillée de Millau-la Graufesenque des années 40/80, ainsi que la partie haute d'une coupe M96 en céramique fine de mode B (terra nigra). D'autres fragments informes de terra nigra sont également attestés.

De nombreux fragments en pâte grise correspondent à une faisselle en céramique mi-fine de mode B. La forme est celle d'un récipient à lèvre éversée, panse carénée à savoir plutôt cylindrique dans la partie haute et conique dans la partie basse. Cette dernière comporte de nombreuses perforations.

La céramique commune de mode A est représentée par un lot en pâte orangée comportant des panses et un fond de cruche, un bord de cruche engobée rouge de type Ch. 3408 attesté en territoire carnute durant la seconde moitié du I^{er} s. et le début du II^e s. (Fig. 564, n°7) ainsi qu'un bord de pot à lèvre éversée en pâte beige et surface micacée.

La céramique commune de mode B comporte plusieurs formes attestées par le biais d'éléments caractéristiques. En pâte grise très cuite, on rencontre plusieurs bords de pot et jatte à lèvre éversée (Fig. 565, n°4, 9 ; Fig. 566, n°4), des pots à lèvre en gouttière et un fragment de panse avec départ d'anse d'un pot. En pâte rougeâtre à surface sombre sont attestés de nombreux fragments d'une jatte à profil en esse (Fig. 565, n°5).

Un col de cruche de type G.4 de petit format est issu d'un atelier régional (Val de Loire ; pâte beige à cœur noir).

Str. 442, sd. 263, US1

Catégorie	NR	%NR	NMI	%NMI
Sigillée-MLG	1	1.8%	1	11.1%
Fine B-TN	1	1.8%	0	
Mi-fine B	11	20.0%	1	11.1%
Com A	9	16.4%	2	22.2%
Com B	29	52.7%	5	55.6%
Com-Bais	4	7.3%	0	
Total	55	100%	9	100%

Présence d'un petit fragment de sigillée du Sud de la Gaule : un bord d'assiette Drag. 18 des années 40/80.

Un fragment de céramique fine de mode B correspond à une coupe, vraisemblablement de type M96 ou 110.

Trois vases en céramique mi-fine de mode B appartiennent à une forme fermée en pâte gris clair micacée et surface grise dont n'est conservé qu'un fragment de la panse, une petite coupe en pâte orangée de type M55 sans dégraissant visible et surface noire (Fig. 564, n°1), brûlée dans la partie haute et enfin à une coupe à collerette de type M118 en pâte colorée à cœur gris et surface largement altérée mais sans doute grise également.

La céramique commune de mode A comporte un fond de forme fermée, deux fragments très certainement du bouton d'un couvercle ainsi que des fragments de panse majoritairement en pâte beige.

La céramique commune de mode B est représentée par un pot archéologiquement complet en pâte et surface grises aux parois particulièrement fines (Fig. 566, n°9), d'autres bords de pot à lèvre éversée (Fig. 567, n°1) ainsi que le bord du grand conteneur présent dans d'autres ensembles : sd. 158, US2 et sd. 157/158, US1. D'autres fragments de panse témoignent d'une grande diversité de caractéristiques techniques : pâtes très dégraissées ou non, grises ou noires.

Quatre fragments correspondent à des productions de la fin de la période gauloise.

Str. 442, sd. 264, US1

Catégorie	NR	%NR	NMI	%NMI
Sigillée-COG	3	2.4%	1	5.9%
Sigillée-MLG	12	9.6%	1	5.9%
Fine B-TN	11	8.8%	3	17.6%
Mi-fine B	1	0.8%	1	5.9%
Com A	48	38.4%	5	29.4%
Com B	42	33.6%	5	29.4%
Com-Bais	1	0.8%	0	
Modelée-	7	5.6%	1	5.9%
Total	125	100%	17	100%

La céramique sigillée est représentée par des vases de plusieurs origines. Une assiette Drag. 18 des années 40/70 (Fig. 1, n° 1) ainsi que d'autres fragments sans caractérisation de forme sont issus des ateliers de Millau-la Graufesenque. Une coupe cylindrique Lez. 84 correspond, quant à elle, à une production des ateliers du Centre-ouest (Fig. 1, n° 4). Elle présente les traditionnels décors de registres guillochés en surface externe. La pâte est brune et le vernis rouge foncé mat. On considère traditionnellement que ces productions n'apparaissent pas en Armorique avant les années 90.

Le répertoire de la céramique fine de mode B (terra nigra) se compose d'une assiette M55 (Fig. 1, n° 5), d'une coupelle M89 (Fig. 1, n° 7), d'un vase biconique M134 ou 136 (Fig. 1, n° 14), mais aussi vraisemblablement d'une coupe de type M96 (fragment de panse uniquement). Les caractéristiques techniques de ces vases sont variées et parfois fortement altérées : pâte grise homogène ou rouge à cœur noir bien délimité.

La céramique mi-fine de mode B est représentée par le bord d'une coupe strictement identique à un exemplaire complet retrouvé lors de la fouille de Bourg Saint pair (Pouille 2011, p. 277, F.1291-1, contexte de la seconde moitié du I^{er} s. ; Fig. 1, n° 17).

La céramique commune de mode A compte de nombreux fragments de cruche sans caractérisation de forme (un fond et des fragments de panse) en pâte blanchâtre à rosée ainsi qu'un bord correspondant au type Ch. 3405 à savoir à ouverture évasée moulurée.

Des fragments du *dolium* présent dans les contextes sd. 163, US1 ; sd. 158, US2 et sd. 161, US1 sont également attestés ainsi que trois fragments de pot en pâte rouge dont un possédant une lèvre éversée.

Une forme de mortier archéologiquement complet, proche de Ch. 5305, figure également dans ce lot. Il est en pâte orangée, dégraissée, à cœur gris (Fig. 2, n° 6).

Un lot de quelques fragments en pâte dégraissée de couleur rouge ou orange est également attesté.

Le répertoire de la céramique commune de mode B compte des pièces dont les caractéristiques techniques sont également très variées. Certains fragments sont très dégraissés avec des pâtes présentant des couleurs beige foncé à noires. Peu de forme peut être identifiée : un petit pot à lèvre éversée aux parois peu épaisses (Fig. 3, n° 12), ainsi que des fonds. Un autre lot correspond à des récipients en pâte grise, lissée en surface, parfois très cuite. Trois bords de marmite ou de pot à lèvre éversée sont également présents (Fig. 4, n° 5 ; Fig. 5, n° 6).

La seule forme ouverte attestée est identique à l'assiette M55 du répertoire des céramiques fines de mode B. La pâte est dégraissée de couleur sombre en externe, grise en interne.

Un autre fragment de panse appartient au même conteneur que ceux attestés au sein des contextes sd. 156-157, US1 et sd. 158, US2.

Quelques autres fragments correspondent à de la céramique non tournée gallo-romaine (pâte noire avec des dégraissants fins et abondants).

Au moins un fond massif appartient à un vase de stockage de l'atelier de Bais.

Str. 442, sd. 265, US1

Catégorie	NR	%NR	NMI
Sigillée-CG	2	6.1%	0
Fine B-TN	9	27.3%	0
Com A	7	21.2%	0
Com B	14	42.4%	5
Com-Proto	1	3.0%	0
Total	33	100%	5

Présence de deux fragments d'une coupelle Drag. 24/25 en céramique sigillée du Centre de la Gaule. Les caractéristiques techniques correspondent à une production des années 40/70.

Un vase en céramique fine de mode B (terra nigra) est attesté : une coupe M96 dont toute la partie haute est conservée (Fig. 563, n°11). La pâte est grise homogène.

Des fragments de céramique commune de mode A (pâte beige rosé) correspondent peut-être à un mortier.

La céramique commune de mode B comporte deux bords de pot (en pâte grise très cuite et beige ; Fig. 566, n°12 ; Fig. 567, n°7) ainsi qu'un bord de marmite et un couvercle (Fig. 567, n°15). Les caractéristiques techniques de cette dernière forme se distinguent assez radicalement des autres pièces dans la mesure où la surface et le cœur sont gris tandis que les franges sont orangées.

Un gros fragment de mortier en pâte grise dégraissée très cuite est également attesté. Classiquement, la forme correspond au mortier Ch. 5305 (Fig. 567, n°11). Est également attesté, un fragment de céramique de la fin de la période gauloise.

Str. 442, sd. 266

Catégorie	NR	%NR	NMI	%NMI
Sigillée-MLG	6	2.0%	2	10.5%
Fine B-TN	29	9.9%	1	5.3%
Mi-fine B	44	15.0%	3	15.8%
Com A	70	23.9%	1	5.3%
Com B	144	49.1%	12	63.2%
Total	293	100%	19	100%

Quelques fragments de céramique sigillée figurent au sein de ce lot dont notamment un bord de coupe Ritt. 12 décorée à la barbotine de feuilles d'eau (Fig. 563, n°2). Il s'agit d'une production de Millau-La Graufesenque des années 40/70. Les autres éléments ne peuvent être caractérisés.

La céramique fine de mode B est représentée par une forme archéologiquement complète de coupe M72, dont la particularité est de posséder une petite lèvre en bourrelet (Fig. 563, n°15). La paroi est particulièrement fine, gris foncé et la surface, fortement altérée, devait être à l'origine noire.

D'autres récipients doivent plutôt être classés dans la catégorie des céramiques mi-fines, aux pâtes le plus souvent gris bleuté. Quelques bords et fonds sont conservés : pot à lèvre éversée, pot de type M146 et bord de coupe M96. De nombreux autres fragments correspondent à des panses. Lot de fragments de forme fermée en commune de mode A le plus souvent en pâte orangée à surface externe beige sans caractérisation de forme car dépourvue de bord. Un fragment de couvercle est en pâte rougeâtre très dégraissée (Fig. 564, n°8) tandis qu'un autre de bord de mortier est en pâte blanchâtre.

La céramique commune de mode B compte une majorité de bord caractérisée par une forme relativement similaire (lèvre éversée) et des caractéristiques techniques qui ne le sont pas moins (pâte grise bien cuite). Trois pièces se distinguent des autres par leur état de conservation : deux jattes dont la jonction col/panse est assurée par une ou deux gorges (Fig. 565, n°3, 7), ainsi qu'un pot (Fig. 566, n°3). D'autres bords appartiennent

également à des pots (Fig.4, n° 13, 14)

Un fragment d'amphore de Bétique Dr. 20 figure au sein de ce lot.

Str. 442, sd. 266, US1

Catégorie	NR	%NR	NMI
Sigillée-MLG	1	8.3%	0
Com A	3	25.0%	0
Com B	8	66.7%	0
Total	12	100%	0

Un fragment de céramique sigillée est attesté : assiette indéterminée de Millau-La Graufesenque.

Présence également de trois fragments de commune de mode A (cruche à pâte rosée et surface beige) et huit fragments de commune de mode B sans présence de bord correspondant à au moins trois individus.

Str. 442, sd. 267, US1

Catégorie	NR	%NR	NMI	%NMI
Com A	51	55.4%	4	33.3%
Com A-eng. blanc	1	1.1%	1	8.3%
Com B	35	38.0%	5	41.7%
Modelée-Gallo-romain	1	1.1%	1	8.3%
Amphore-Régionale	1	1.1%	1	8.3%
Amphore-Tarraconaise	3	3.3%	0	
Total	92	100%	12	100%

Le lot des céramiques communes de mode A se compose de trois fragments dont un fond d'une cruche en pâte blanche à engobe rouge et d'une série d'autres fragments en pâte beige foncé et orange appartenant à deux individus.

La céramique commune de mode B compte un lot de fragments en pâte grise dont un fond massif et un lot en pâte sombre dégraissée dont un bord de jatte.

Trois fragments de panse d'amphore de Tarraconaise complètent ce lot.

Synthèse sur le fossé St. 442.

Avec un lot de 1369 NR pour une évaluation de 143 NMI, le mobilier du fossé 442 constitue un des ensembles les plus remarquables du site. Les données chronologiques fournies par la céramique sigillée sont relativement homogènes. La plupart des fragments correspond à des productions de Millau-La Graufesenque de la seconde moitié du I^{er} s. et plus particulièrement si on s'en tient aux formes susceptibles de faire l'objet d'une caractérisation morphologique, du troisième quart du I^{er} s. La présence d'une sigillée du Centre de la Gaule contemporaine de cet ensemble majoritaire confirme cette proposition. Toutefois, quelques autres pièces sigillées montrent que le fossé n'a pas été scellé avant les années 90. Tel est le cas d'une pièce de Millau dont le TPQ est de 60, mais aussi surtout de deux autres vases : une assiette Ve. F2 attribuée au groupe du Sud de la Gaule sans plus de précision et surtout une coupe Lez. 84 attribuable au groupe du Centre-Ouest. Dans les deux cas, ces pièces ont un TPQ des années 90 et peuvent avoir été fabriquées au cours des premières décennies du II^e s.

Les données chronologiques que l'on peut tirer d'autres catégories céramiques confirment que vraisemblablement l'essentiel du mobilier du comblement date bel et bien du I^{er} s. Il en va ainsi de la céramique fine de mode B représentée par un corpus varié où dominent les formes de coupe M96/110, ou encore plus ponctuellement certaines formes de céramique commune de mode A et mi-fine de mode B.

Notons enfin que les céramiques communes présentent les mêmes caractéristiques que celles de la fosse str. 519 dont le mobilier particulièrement homogène date du dernier quart du I^{er} s. et du début du II^e s.

Datation : mobiliers de la deuxième moitié du I^{er} s. ; contexte scellé après 90.

Sondage	US	Catégorie	Info céram.	Réf. typo.	Forme	NR	NMI
265	1	Sigillée	CG	D24/25	Coupelle	2	0
266		Sigillée	MLG	R12	Coupe	4	1
266		Sigillée	MLG		IND	1	0
266		Sigillée	MLG		Assiette	1	1
266	1	Sigillée	MLG		Assiette	1	0
263	1	Sigillée	MLG	D18	Assiette	1	1
264	1	Sigillée	COG	L084	Coupe	3	1
264	1	Sigillée	MLG	D18	Assiette	9	1
264	1	Sigillée	MLG		IND	1	0
264	1	Sigillée	MLG		IND	1	0
264	1	Sigillée	MLG		IND	1	0
157	2	Sigillée	MLG?	VeF2	Assiette	1	1
173	3	Sigillée	MLG		IND	1	0
265	1	Fine B	TN	M096	Coupe	9	0
266		Fine B	TN	M072	Coupe	29	1
263	1	Fine B	TN	M96	Coupe	1	0
264	1	Fine B	TN	M055	Assiette	1	1
264	1	Fine B	TN	M089	Coupelle	1	1
264	1	Fine B	TN	M136	Pot	2	1
264	1	Fine B	TN	M096	Coupe	1	0
264	1	Fine B	TN		IND	6	0
148		Fine B	TN		IND	1	0
153		Fine B	TN	M007/9	Assiette	2	1
153		Fine B	TN		IND	4	0
157	2	Fine B	TN	M096	Coupe	5	1
157	2	Fine B	TN	M069	Coupe	3	1
157	2	Fine B	TN	M130	Coupe	2	1
157	2	Fine B	TN	M078/82	Coupe	5	1
161	décapage	Fine B	TN	M096	Coupe	1	1
161	décapage	Fine B	TN		IND	20	0
161	décapage	Fine B	TN	M096	Coupe	3	1
161	décapage	Fine B	TN		F. fermée	2	0
161	décapage	Fine B	TN		IND	1	1
161	1	Fine B	TN	M094	Coupe	1	0
161	2	Fine B	TN	M110	Coupe	3	1
161	2	Fine B	TN	M096	Coupe	2	2
161	2	Fine B	TN	M094	Coupe	5	1
163	1	Fine B	TN	M110	Coupe	6	1
163	1	Fine B	TN		Gobelet	2	1
163	1	Fine B	TN		IND	2	0
173	3	Fine B	TN		IND	2	0
173	3	Fine B	TN	M096	Coupe	2	1
266		Mi-fine B		M096	Coupe	2	1
266		Mi-fine B		M146	Pot	2	1
266		Mi-fine B			Pot	2	1
266		Mi-fine B			IND	38	0
263	1	Mi-fine B		M118	Coupe	5	0
263	1	Mi-fine B			F. fermée	1	0
263	1	Mi-fine B		M55	Assiette	5	1
264	1	Mi-fine B			Coupe	1	1
156	6	Mi-fine B			Coupe	5	0
157	2	Mi-fine B		M140v	Pot	2	1
158	2	Mi-fine B				3	0
158	2	Mi-fine B		M006	Assiette	5	1
173	3	Mi-fine B			Faisselle	28	1
267	1	Com A			F. fermée	2	1
267	1	Com A			F. fermée	22	0
267	1	Com A			Cruche	3	1
267	1	Com A			Jatte	2	1
267	1	Com A			Pot	2	1
267	1	Com A	eng. blanc		Cruche	1	1
267	1	Com A			IND	20	0
265	1	Com A			Mortier?	7	0
266		Com A			F. fermée	67	0
266		Com A			Couvercle	2	1
266		Com A			Mortier	1	0
266	1	Com A			F. fermée	3	0
263	1	Com A			F. fermée	7	1
263	1	Com A			Couvercle	2	1
264	1	Com A		Ch. 5305	Mortier	11	1
264	1	Com A		Ch. 3405	Cruche	1	1
264	1	Com A		Ch. 1904	Dolium	3	0
264	1	Com A			Cruche	24	1
264	1	Com A			Pot	3	1
264	1	Com A			Couvercle	1	1
264	1	Com A			IND	5	0
156	6	Com A			IND	11	0
157	2	Com A			Pot	1	1
157	2	Com A			F. fermée	27	0
158	2	Com A		Ch. 1904	Dolium	3	1

Sondage	US	Catégorie	Info céramo.	Réf. typo.	Forme	NR	NMI
158	2	Com A			IND	1	0
161	1	Com A	eng. blanc		Cruche	2	0
161	1	Com A			Cruche	6	0
161	1	Com A			Cruche	6	1
161	1	Com A			IND	2	0
161	1	Com A		Ch. 1904	Dolium	3	0
163	1	Com A		Ch. 5305	Mortier	2	1
163	1	Com A		Ch. 1904	Dolium	3	0
163	1	Com A			IND	19	0
163	1	Com A			Pot	1	1
173	3	Com A	micacée		Pot	2	1
173	3	Com A	eng. rouge		Cruche	1	1
173	3	Com A			Cruche	9	0
	4	Com B			Coupe	4	1
267	1	Com B			Pot	2	2
267	1	Com B			Pot	21	0
267	1	Com B			Couvercle	3	1
267	1	Com B			IND	5	1
267	1	Com B			Coupe	4	1
265	1	Com B		Ch. 5305	Mortier	1	1
265	1	Com B			Pot	7	3
265	1	Com B			Couvercle	3	1
265	1	Com B			IND	3	0
266		Com B			Jatte	32	1
266		Com B			Jatte	11	1
266		Com B			Pot	5	1
266		Com B			Pot	6	5
266		Com B			IND	58	0
266		Com B			Pot	1	0
266		Com B			Pot	10	4
266		Com B			IND	21	0
266	1	Com B			IND	8	0
263	1	Com B			Pot	1	1
263	1	Com B			Pot	3	2
263	1	Com B			Jatte	1	1
263	1	Com B			Pot	1	1
263	1	Com B			IND	23	0
264	1	Com B			Pot	10	0
264	1	Com B			Jatte?	2	1
264	1	Com B			Pot	3	0
264	1	Com B		M055	Assiette	1	1
264	1	Com B			Pot	8	3
264	1	Com B			Pot	17	0
264	1	Com B			Pot	1	0
148		Com B			Pot	1	0
153		Com B			Pot	4	1
156	6	Com B			Pot	2	1
156	6	Com B			IND	19	2
157	2	Com B			IND	80	0
157	2	Com B			IND	5	0
157	2	Com B			Coupe	1	1
157	2	Com B			Couvercle	2	1
157	2	Com B			Jatte	6	2
157	2	Com B			Pot	35	11
157	2	Com B			Bouilloire	1	1
158	2	Com B			Pot	39	1
158	2	Com B			Pot	18	2
158	2	Com B			Pot	1	0
158	2	Com B			Pot	1	1
161	décapage	Com B			Coupe	1	1
161	décapage	Com B			Jatte	1	1
161	décapage	Com B			Plat	1	1
161	décapage	Com B			Pot	4	1
161	décapage	Com B			IND	29	0
161	1	Com B			Pot	9	1
163	1	Com B			IND	69	0
163	1	Com B			Pot	9	5
163	1	Com B			Pot	9	2
163	1	Com B			F. fermée?	1	1
163	2	Com B			Pot	50	1
163	2	Com B			Pot	6	1
163	2	Com B			Pot	2	0
163	3	Com B			Pot	4	1
171	1	Com B			IND	5	0
173	3	Com B			Pot	3	1
173	3	Com B			Pot	3	3
173	3	Com B			Marmite	1	1
173	3	Com B			Pot à anse	1	1
173	3	Com B			IND	20	1
173	3	Com B			Jatte	39	1
173	3	Com B			Cruche	1	0
265	1	Com	Proto		IND	1	0
		Com	Bais		IND	1	0

Sondage	US	Catégorie	Info céramo.	Réf. typo.	Forme	NR	NMI
263	1	Com	Bais		IND	4	0
264	1	Com	Bais		IND	1	0
146	3	Com	Bais		Pot	8	1
153		Com	Bais		IND	4	0
156	6	Com	Bais		IND	6	0
157	2	Com	Bais		IND	3	0
157	2	Com	Bais		Coupe	1	1
161	1	Com	Bais		IND	1	0
163	1	Com	Bais		IND	1	0
267	1	Modelée	Gallo-romaine		Pot	1	1
264	1	Modelée			IND	7	1
157	2	Modelée			Pot	2	1
161	1	Modelée			IND	3	1
267	1	Amphore	Tarraconaise		Amphore	3	0
267	1	Amphore	Régionale		Amphore	1	1
156	6	Amphore	Régionale	Ch. 3709/10	Amphore	2	1
173	3	Amphore	Régionale	G.4	Amphore	2	1

Fig. 555 : inventaire détaillé des céramiques de la str. 442 © R. Delage

Str. 444, sd. 23, US1

Catégorie	NR	NMI
Com B	1	0

Fragment de commune de mode B.

Datation : I^{er} s.

Str. 458

Catégorie	NR	NMI
Com A	15	1

Lot de céramique commune de mode A correspondant à un ensemble de fragments de panse en pâte brun orangé dégraissée (probablement d'un pot) et de l'embouchure d'une cruche en pâte blanchâtre. La lèvre est en bourrelet proche du type Ch. 3408.

Datation : deuxième moitié du I^{er} s.

Str. 461

Catégorie	NR	%NR	NMI
Fine B-TN	1	20.0%	0
Com B	4	80.0%	2
Total	5	100%	2

Un fragment de céramique fine de mode B correspond à une coupe M96. La partie basse est pourvue d'un registre de fins guillochis. Pâte grise, franges claires et surface grise.

Lot de fragments de commune de mode B dont deux de fonds. Les caractéristiques techniques des pièces sont identiques à celles de la plupart des contextes de la fouille : deuxième moitié du I^{er} s. – II^e s.

Datation : deuxième moitié du I^{er} s.

Str. 464

Catégorie	NR	NMI
Com B	3	3

Deux individus en céramique commune de mode B : un pot à la paroi mince en pâte colorée et surface sombre et un mortier en pâte grise homogène dégraissée. La lèvre est nettement détachée de la paroi et ne retombe guère. Il s'agit de toute évidence d'une production relativement atypique. Également attestée, un lèvre éversée d'une jatte.

Datation : deuxième moitié du I^{er} s. – II^e s.

Str. 468

Catégorie	NR	%NR	NMI
Com A	1	11.1%	0
Com B	8	88.9%	0
Total	9	100%	0

Lot de céramique comportant un petit fragment de commune de mode A et un ensemble de fragments de commune de mode B majoritairement en pâte grise. Aucun bord ou fond n'est conservé.

Datation : I^{er}-II^e s

Str. 470**Str. 470, sd. 125, US1 et 2**

Catégorie	NR	%NR	NMI
Com A	4	40.0%	1
Com B	2	20.0%	1
Amphore-Bétique	4	40.0%	0
Total	10	100%	2

Présence d'une cruche en céramique commune de mode A en pâte orangée très dégraissée. Les vases présentant cette argile sont généralement cuits en mode B et non en mode A. Sont également attestés deux fragments en commune de mode B sans caractérisation de forme et des fragments de panse d'une amphore vraisemblablement Dr. 20 de Bétique.

Str. 470, sd. 125, US3

Catégorie	NR	%NR	NMI
Fine B-TN	4	22.2%	1
Com B	12	66.7%	1
Com-Bais	2	11.1%	1
Total	18	100%	3

Présence d'une coupe M118 en céramique fine de mode B (terra nigra) en pâte rouge à surface grise, de fragments de commune de mode B en pâte grise très cuite correspondant à un petit pot et de deux fragments d'un vase de l'atelier de Bais.

Str. 470, sd. 125, US4

Catégorie	NR	NMI
Com-Bais?	1	0

Petit fragment vraisemblablement de l'atelier de Bais ?

Str. 470, sd. 173, US5

Catégorie	NR	%NR	NMI
Fine B-TN	12	54.5%	1
Mi-fine B	3	13.6%	1
Com A	2	9.1%	1
Com B	5	22.7%	2
Total	22	100%	5

La céramique fine de mode B compte une coupe M96 de petit format dont seul le pied fait défaut. La pâte est rougeâtre avec un cœur gris et la surface gris noir. D'autres fragments en pâte grise ne peuvent être attribués à une forme donnée. En céramique mi-fine de mode B sont présents des fragments d'un manche vraisemblablement de patère. La surface altérée devait être gris clair tandis que la pâte est gris foncé.

La céramique commune de mode A compte un petit fragment de forme indéterminée et une portion de couvercle en pâte orangée dégraissée. La céramique commune de mode B est représentée par un fond de pot en pâte grise et surface lissée, très peu dégraissée, un bord de jatte à lèvres triangulaire et des fragments de panse.

Datation : deuxième moitié du I^{er} s.

Str. 470, sd. 195, US1

Catégorie	NR	%NR	NMI
Fine B-TN	4	18.2%	0
Com B	18	81.8%	2
Total	22	100%	2

Quelques fragments en céramique fine de mode B sans caractérisation de forme sont attestés ainsi qu'un lot de céramique commune de mode B comportant un bord de pot à lèvres éversées, un fond et des fragments de panse.

Str. 470, sd. 195, US2

Catégorie	NR	%NR	NMI
Com A	5	62.5%	1
Amphore-Régionale	3	37.5%	0
Total	8	100%	1

Présence d'un plat à rebord oblique en céramique commune de mode A. La pâte est orangée et la surface beige. Les fragments conservés ne présentent aucune trace de passage au feu. Ce vase est atypique.

Trois autres fragments correspondent certainement à des éléments de la panse d'une amphore régionale (pâte brune à cœur noir).

Str. 470, sd. 196, US1

Catégorie	NR	%NR	NMI
Fine B-TN	4	12.9%	1
Com A-amphore?	21	67.7%	1
Com B	6	19.4%	1
Total	31	100%	3

La céramique fine de mode B est représentée par une assiette M53 en pâte sombre et surface altérée, ainsi qu'un fragment de forme fermée indéterminée.

La céramique commune de mode A est représentée par des fragments de panse et de fond d'une cruche en pâte brune à cœur gris (peut-être s'agit-il d'une amphore de petit format ?).

La céramique commune de mode B compte un fond de pot en pâte grise pratiquement non dégraissée et d'autres fragments de panse.

Str. 470, sd. 196, US3

Catégorie	NR	NMI
Fine B-TN	2	0

Fragments de céramique fine de mode B sans caractérisation de forme, correspondant à deux individus, l'un en pâte sombre et l'autre colorée.

Str. 470, sd. 197, US1

Catégorie	NR	%NR	NMI	%NMI
Fine B-TN	8	7.3%	2	14.3%
Com A	6	5.5%	1	7.1%

Com B	96	87.3%	11	78.6%
Total	110	100%	14	100%

Le corpus des céramiques fines de mode B est représenté par un bord de pot M146, un fond de forme ouverte et une majorité de fragments de panse. La céramique commune de mode A compte des fragments en pâte beige, brune à cœur noir et orangée. Un fragment d'anse bifide permet de définir un individu.

Le lot des céramiques communes de mode B est en tout point identique à celui de la fosse Str. 519, tant en ce qui concerne le répertoire des formes que les caractéristiques techniques des vases. On compte un bord de coupe à bandeau supérieur vertical souligné d'une gorge à la base, une petite coupe hémisphérique qui a subi l'action du feu, un couvercle archéologiquement complet ainsi qu'une majorité de pot à lèvre éversée. Tous ces vases sont en pâte grise. Seuls quelques fragments présentent une pâte rouge et une surface noire notamment deux fragments de pot dont le bord comporte une lèvre éversée et une lèvre en gouttière ainsi qu'une jatte.

Str. 470, sd. 197, US2

Catégorie	NR	%NR	NMI
Com A	4	7.8%	0
Com B	41	80.4%	2
Amphore-Régionale	6	11.8%	0
Total	51	100%	2

Quelques fragments de céramique commune de mode A en pâte orangée ou brune.

Lot de céramique commune de mode B composé principalement de vases en pâte grise et de quelques pièces en pâte colorée à surface grise ou noire. Seuls des fonds sont attestés.

Lot également de fragments d'amphore régionale en pâte brune à cœur sombre, dégraissée.

Str. 470, sd. 198, US1

Catégorie	NR	NMI
Com B	4	1
Amphore-Régionale	2	1
Total	6	2

Présence d'un pot en commune de mode B à pâte grise bien cuite et de deux fragments d'amphore régionale : une panse en pâte orangée dégraissée et une anse bifide en pâte beige à cœur gris.

Str. 470, sd. 206, US1

Catégorie	NR	NMI
Com B	4	2
Com-Bais	1	0
Total	5	2

Lot de céramique commune de mode B : trois fragments de panse sans caractérisation de forme et un mortier en pâte grise très cuite avec très peu de dégraissants.

Un petit fragment de l'atelier de Bais est résiduel dans ce lot.

Str. 470, sd. 208, US1

Catégorie	NR	%NR	NMI
Mi-fine B	1	16.7%	0
Com B	5	83.3%	1
Total	6	100%	1

Le lot se compose d'un petit fragment de céramique mi-fine de mode B sans caractérisation de forme, de fragments en commune de mode B, des panses (pâte rouge et surface grise) et un fond (pâte grise).

Synthèse chronologique sur la str. 470

Peu de céramiques comportant une caractérisation chronologique fine figure au sein des différents sondages de ce fossé. Les vaisselles de table sont représentées par des formes de céramiques fines de mode B : un pot M146, relativement abondant dans les niveaux de la seconde moitié du I^{er} s. – début du II^e s. et une assiette M53, en usage au cours des deuxième et troisième quarts du I^{er} s. et qui constitue, dans le cas présent, la seule attestation au sein du vaisselier gallo-romain. La présence de céramique mi-fine de mode, de vases en commune de mode B en pâte grise bien cuite, mais aussi d'amphore régionale atteste de l'homogénéité des lots et de leur chronologie au cours de la **seconde moitié du I^{er} s.**

Sondage	US	Catégorie	Info. céramo.	Réf. Typo.	Forme	NR	NMI
197	1	Fine B	TN	M146	Pot	4	1
197	1	Fine B	TN		IND	4	1
196	1	Fine B	TN		F. fermée	1	0
196	1	Fine B	TN	M053	Assiette	3	1
195	1	Fine B	TN		IND	4	0
173	5	Fine B	TN	M096	Coupe	6	1
173	5	Fine B	TN		IND	6	0
125	3	Fine B	TN	M118	Coupe	4	1
196	3	Fine B	TN		IND	2	0
208	1	Mi-fine B			IND	1	0
173	5	Mi-fine B			Patère	3	1
197	1	Com A			F. fermée	6	1
196	1	Com A	amphore?		F. fermée	21	1
196	1	Com A			IND	1	0
195	2	Com A			Plat	5	1
197	2	Com A			F. fermée	4	0
125	1+2	Com A			Cruche	4	1
173	5	Com A			IND	1	0
173	5	Com A			Couvercle	1	1
197	1	Com B			Pot	1	1
197	1	Com B			Jatte	1	1
197	1	Com B			IND	11	0
197	1	Com B			Pot	9	4
197	1	Com B			Couvercle	1	1
197	1	Com B			Coupe	1	1
197	1	Com B			Coupe	3	1
197	1	Com B			Pot	3	2
197	1	Com B			IND	66	0
198	1	Com B			Pot	4	1
196	1	Com B			Pot	3	1
196	1	Com B			IND	3	0
208	1	Com B			IND	4	0
208	1	Com B			Pot	1	1
206	1	Com B		Ch. 5305	Mortier	1	1
206	1	Com B			IND	3	1
197	2	Com B			IND	40	2
195	1	Com B			Pot	2	2
195	1	Com B			IND	16	0
125	1+2	Com B			IND	2	1
173	5	Com B			Pot	1	1
173	5	Com B			Jatte	1	1
173	5	Com B			IND	3	0
197	2	Com B			IND	1	0
125	3	Com B			Pot	12	1
206	1	Com	Atelier Bais		IND	1	0
125	4	Com	Atelier Bais?		IND	1	0
125	3	Com	Atelier Bais		Pot	2	1
198	1	Amphore	Régionale		Amphore	2	1
195	2	Amphore	Régionale		Amphore	3	0
125	1+2	Amphore	Bétique	Dr.20?	Amphore	4	0
197	2	Amphore	Régionale		Amphore	6	0

Fig. 556 : inventaire détaillé des céramiques de la str. 470 © R. Delage

Str. 476, US5

Catégorie	NR	%NR	NMI
Fine B-TN	13	86.7%	1
Com B	2	13.3%	1
Total	15	100%	2

Nombreux fragments d'un grand vase globulaire en céramique fine de mode B. La partie basse est principalement conservée. Le pied est nettement marqué en externe et dans la partie inférieure à l'image par exemple de celui référencé M154. Un décor de guillochis simples apparaît à 6 cm du fond. Des fragments de la partie haute montrent que la panse présentait des renflements. La lèvre n'est pas conservée.

La céramique commune de mode B est représentée par une coupe à collerette, bandeau supérieur bombé et épaissi en pâte grise. Un autre fragment de panse est également attesté pour cette catégorie.

Datation : fin du I^{er} s. - II^e s.

Str. 498

Catégorie	NR	NMI
Com A	1	1

Pot en céramique commune de mode A (pâte orange et surface beige).

Datation : I^{er}-II^e s.

Str. 499, sd. 173, US1

Catégorie	NR	%NR	NMI
Com B	32	97.0%	2
Amphore-Régionale	1	3.0%	0
Total	33	100%	2

Lot de céramique commune de mode B composé principalement de petits fragments de panse aux caractéristiques techniques hétérogènes. Seuls deux fragments permettent de caractériser des formes : un pied cylindrique creux de marmite tripode en pâte sombre dégraissée et un bord de pot en pâte grise homogène.

Un fragment d'anse bifide appartient certainement à une amphore régionale (pâte beige et cœur gris).

Datation : deuxième moitié du I^{er} s. - II^e s.

Str. 500, US1

Catégorie	NR	NMI
Com B	1	0

Fragment de céramique commune de mode B.

Datation : I^{er}-II^e s.

Str. 501, sd. 124, US1

Catégorie	NR	NMI
Com B	2	0

Fragments de céramique commune de mode B.

Datation : deuxième moitié du I^{er} - II^e s.

Str. 501, sd. 134, US1

Catégorie	NR	NMI
Com B	5	0

Fragments de céramique commune de mode B.

Datation : deuxième moitié du I^{er} – II^e s.

Str. 506, sd. 83

Catégorie	NR	NMI
Com-Bais	5	1

Cinq fragments de l'atelier de Bais.

Str. 506, sd. 84

Catégorie	NR	NMI
Com-Bais	2	0

Deux fragments brûlés de l'atelier de Bais.

Str. 518, sd. 192

Catégorie	NR	NMI
Amphore-Narbonnaise	9	1

Amphore de Narbonnaise représentée par des fragments de panse de la partie basse associés à un pied complet. Pâte blanchâtre en surface et gris clair au cœur. De rares dégraissants et nodules de chamotte sont présents dans la pâte. Aucune attribution de forme n'est donc possible même s'il est vraisemblable que ce conteneur soit de type G.4.

Datation : deuxième moitié du I^{er} s. – II^e s.

Str. 519

Catégorie	NR	%NR	NMI
Sigillée-CG-LEZ	2		1
Sigillée-SG-MLG	3		2
PFE-CG	2		0
Fine/mi-fine B	369	3.7%	68
Com A	14	0.1%	3
Com A-engobe blanc	4		1
Com A/B	9687	96.1%	541
Amphore-Bétique	1		0
Amphore-régionale?	1		1
Total	10087	100%	617

Le mobilier recueilli au sein de la fosse str. 519 constitue un assemblage à bien des égards exceptionnel par rapport à ceux des autres contextes du site. A cela plusieurs raisons.

La première tient au nombre de fragments qui le compose, à savoir 10 087 NR, soit pas moins de 55% de la totalité du corpus céramique de l'occupation gallo-romaine.

Le deuxième aspect singulier de ce lot est lié aux caractéristiques techniques des céramiques communes qui représentent 96% des attestations. Il se compose, en effet, que très peu de groupes de pâte bien distincts les uns des autres. En simplifiant, on pourrait même considérer qu'il n'en existe que deux : celui des pâtes grises homogènes et bien cuites et celui des pâtes moins cuites, dégraissées, aux couleurs variées : noir, gris, beige, orangé. Sur 9619 fragments observés, 4013 NR et 262 NMI appartiennent à la première série soit 42% des NR et 48% des NMI. Les deux groupes ont donc une représentation à peu près similaire. Notons, par ailleurs, que la plupart des formes attestées appartient à l'un ou de l'autre de ces groupes

de manière indifférente (presque aléatoire).

La singularité de cet ensemble réside donc dans le fait que les céramiques communes ne constituent pas des catégories parfaitement identifiées par leur mode de cuisson, leur répertoire et leur usage comme cela est le cas des poubelles domestiques ordinaires.

Analyse du corpus

La fouille des occupations gauloise et gallo-romaine ayant livré près de 40 000 fragments de céramiques et terres cuites, il a fallu nécessairement à l'issue de celle-ci opérer des choix d'études. De ce fait, le remontage et la caractérisation fine des céramiques de cette fosse n'ont pas été menés dans leur intégralité. Un tri préliminaire, quelques recollages de pièces particulières (et donc aisément identifiables) ainsi que des quantifications basiques ont seulement été opérés. L'attribution des NMI repose uniquement sur les bords qui présentaient des caractères bien différents les uns des autres. Il s'agit donc au plein sens du terme d'un nombre minimal d'individus.

Pour cette présentation, nécessairement un peu différente de celle des autres notices, ont été distinguées les céramiques communes appartenant aux deux groupes techniques mentionnés plus haut, des catégories céramiques traditionnelles qui constituent, bien souvent, des importations. Même si, pour la plupart d'entre elles, seuls quelques individus sont attestés, elles constituent tout de même de précieux indices chronologiques pour caractériser la constitution de ce dépôt singulier.

Céramiques fines et d'importation

La céramique sigillée n'est représentée par quelques fragments de formes issues des ateliers de Millau-La Graufesenque et de Lezoux. Les vases de la première origine correspondent à un bord d'assiette Drag. 15/17, un pied dont les caractéristiques techniques sont plutôt celles des productions du milieu du I^{er} s. ainsi qu'un fragment de panse à décor moulé appartenant à une forme précoce de Drag. 37 à savoir des années 70/80.

Ceux de la seconde origine correspondent à un fragment de coupelle Drag. 27 et un bord de coupelle Ve. A1, tous deux en pâte non calcaire à vernis non grésé comme le sont les pièces du Centre de la Gaule du I^{er} s. La seconde coupelle est la plus récente avec une attribution chronologique au cours des dernières décennies du I^{er} s.

Sur la base de ce corpus, un TPQ de comblement de la fosse en 70 peut être proposé.

Cette proposition est confirmée par la présence de petits fragments de parois fines engobées du Centre de la Gaule sans caractérisation de forme.

La ou les catégories de céramiques fines ou céramiques mi-fines de mode B sont plus difficiles à caractériser. La plupart des productions sont en pâte grise fine comme le sont traditionnellement les vaisselles fines cuites en mode B de la deuxième moitié du I^{er} s. (des pâtes rouge ou beige à surface noire sont également attestées). Certaines sont visiblement altérées tandis que d'autres ne le sont pas. Le répertoire se compose de formes classiques pour la catégorie des céramiques fines de mode B et d'autres qui n'appartiennent pas à cette série et que l'on classe ordinairement sous l'appellation de « céramique mi-fine de mode B ».

Ces productions feront donc l'objet d'une présentation commune.

Elles constituent le deuxième groupe de céramique le mieux représenté après celui des céramiques communes avec 3,7% des NR et tout de même 11% des NMI.

Le répertoire est relativement diversifié avec des assiettes, des coupes et des

pots (Fig. 557 ; Fig. 580). La forme qui domine est la coupe M96 (Fig. 568, n°13-14). A cela rien d'étonnant puisque tel est le cas pour la plupart des sites gallo-romains régionaux de la deuxième moitié du I^{er} s. Deux autres formes sont bien représentées : les coupelles MfB5 (ou M55 ; Fig. 568, n°3 à 5) et les pots MfB1 (ou M130 ; Fig. 568, n°18-19) là encore en commun au répertoire des céramiques fines et mi-fines de mode B. D'autres vases sont plus singuliers comme l'assiette MfB31 présente en plusieurs exemplaires (Fig. 568, n°1-2) et sans équivalent strict dans le répertoire des céramiques fines de mode B ou encore les coupes MfB30 (Fig. 568, n°21) et MfB32 (Fig. 568, n°20) de grands formats dont la panse est guillochée. Ces dernières formes sont pourvues de caractéristiques techniques proches de certaines productions de céramique commune du groupe des pâtes grises (sans la présence de dégraissants). Une assiette MfB31 est recouverte d'un « lait » blanchâtre qui évoque un raté de production à l'image des céramiques fines de mode B mises au jour dernièrement dans les ateliers de Potiers de Corseul, La Mettrie.

Notons enfin la faible représentation d'une forme qui habituellement apparait au premier plan parmi les corpus de cette période : le pot ou gobelet M146 (Fig. 568, n°16-17). Dans le cas présent, seuls quelques exemplaires de bords sont conservés en pâte grise ou pâte rouge à surface noire dont l'ouverture est déformée.

Catégorie	NR	%NR	NMI	%NMI
M96	89	36.0%	22	35.5%
MfB30	31	12.6%	3	4.8%
MfB5	29	11.7%	8	12.9%
MfB31	28	11.3%	5	8.1%
MfB1	24	9.7%	10	16.1%
MfB32	21	8.5%	2	3.2%
MfB9	11	4.5%	5	8.1%
M146	6	2.4%	3	4.8%
M117	3	1.2%	2	3.2%
MfB34	3	1.2%	1	1.6%
MfB33	2	0.8%	1	1.6%
Total	247	100%	62	100%

Fig. 557 : quantifications des formes attribuées à un type donné pour les céramiques fines et mi-fines de mode B © R. Delage

A l'image de la sigillée, les amphores sont marginales au sein de ce lot puisque sont attestés un petit fragment de panse d'amphore de Bétique, vraisemblablement Dr. 20, dont la pâte, très dégraissée, correspond à une production du I^{er} s. ainsi qu'un bord brûlé d'une possible amphore régionale, dont la forme évoque les types G. 4/5.

Les céramiques communes

Parmi le corpus des céramiques communes, quelques exemplaires seulement comportent des caractéristiques techniques et des formes qui en font des pièces exogènes, tout à fait similaires à celles des poubelles domestiques ordinaires. Il s'agit de céramique commune de mode A dont un bord de pot CoA15 et des cruches : CoA7 couramment attestée dans les ensembles de la seconde moitié du I^{er} s. (Fig. 569, n°1) et de la première moitié du II^e s., CoA1 et assimilé à CoA13 (Fig. 569, n°2). En complément se trouve un fond de cruche engobée blanc appartenant à la série des lagènes du I^{er} s.

Le corpus des autres céramiques communes comporte une vingtaine de formes, dont la majorité n'est représentée que par quelques individus correspondant ainsi à une représentation de moins de 1% des formes attribuées (Fig. 558, n°24 ; Fig. 581). Avec près de 70% des NR de bords et plus de 50% des NMI, une forme ou plutôt deux dominent nettement ce répertoire. Il s'agit de récipients à la lèvre éversée, à col concave et panse convexe, marqués le plus souvent à la jonction entre les deux, par des décrochements ou gorges (Fig. 569, n°13 à 18 ; Fig. 570 ; Fig. 572, n°1 à 5 ; Fig. 573 ; Fig. 574, n°1 à 11). Le pot correspond à la forme CoB2 et la jatte à CoB8. Les

lèvres de ces deux formes étant identiques, il n'est guère possible dans le cas d'une étude préliminaire comme celle-ci de les distinguer, c'est pourquoi elles ont été classées ensemble dans les comptages. Leur représentation exceptionnelle est bien plus que le fruit de cette concaténation temporaire, puisque même en divisant théoriquement les lots en 60% de pot et 40% de jatte, elles constitueraient les attributions majoritaires. D'ailleurs, la fosse str. 519 n'est pas la seule où elles figurent au premier rang, puisque tel est également le cas, d'un point de vue général, des autres contextes contemporains du site ou encore, à titre d'exemple, sur un autre site de Bais comme Bourg Saint-Pair avec les contextes F707 ou F1086 (Pouille, p. 318 *et sq.*).

Catégorie	NR	%NR	NMI	%NMI
CoB2/8	888	69.7%	236	56.5%
CoB76	72	5.7%	42	10.0%
CoB65	53	4.2%	21	5.0%
CoB64	42	3.3%	24	5.7%
CoB39	38	3.0%	27	6.5%
CoB61	27	2.1%	9	2.2%
CoB77	26	2.0%	15	3.6%
CoB72	25	2.0%	2	0.5%
CoB74	13	1.0%	6	1.4%
CoB81	13	1.0%	1	0.2%
CoB29	10	0.8%	2	0.5%
CoB79	10	0.8%	3	0.7%
CoB71	8	0.6%	4	1.0%
CoB39v	7	0.5%	5	1.2%
CoB7	7	0.5%	1	0.2%
CoB67	6	0.5%	6	1.4%
CoB9	6	0.5%	4	1.0%
CoB41	5	0.4%	1	0.2%
CoB57	4	0.3%	1	0.2%
CoB6	4	0.3%	2	0.5%
CoB73	4	0.3%	2	0.5%
CoB63	3	0.2%	1	0.2%
CoB75	3	0.2%	3	0.7%
Total	1274	100%	418	100%

Fig. 558 : quantifications des formes attribuées à un type donné pour les céramiques communes © R.

Delage

Aussi bien dans le cas des pots (CoB2) que des jattes (CoB8), les productions présentent de nombreuses variantes et surtout des modules très divers depuis le gobelet (Fig. 572, n°7), jusqu'au pot massif de stockage (Fig. 572, n°3). Le gabarit majoritaire demeure toutefois celui des récipients traditionnels de cuisson. Notons également que les formes CoB77 qui comptent tout de même 15 NMI (Fig. 571, n°2 à 5) constituent de simples variantes de CoB8 avec une lèvre anguleuse et bien souvent une carène très prononcée.

Autre particularité de ce corpus : la part importante des formes fermées (bouilloire, cruche, vase de stockage ; Fig. 574 et 575) avec un peu de plus de 17% des individus au travers de 4 formes (CoB7, Fig. 575, n°6 à 8 ; CoB29, Fig. 576, n°1 ; CoB64, Fig. 575, n°9 à 11 et CoB76, Fig. 576, n°2 à 4). Parfois, l'attribution des lèvres à une forme plutôt qu'à une autre n'est pas toujours aisée en raison des nombreuses variantes recensées (par exemple Fig. 576, n°5) ou tout simplement de la proximité morphologique des types (comme par exemple CoB29 et CoB64). La plupart de ces formes fermées sont pourvues d'anses sauf les plus gros récipients (Fig. 575, n°9 et 10) qui doivent correspondre à des vases de stockage susceptibles d'être fermés en vue d'assurer la conservation des denrées qu'ils comportent.

Deux dernières formes se démarquent du corpus de celles dont la représentation est marginale : les coupes CoB39 avec 27 NMI (Fig. 569, n°8 à 10) et les couvercles CoB65 avec 21 NMI (Fig. 576, n°6 à 12). Les premières constituent une forme relativement courante pour la seconde moitié du I^{er} s. de même que leur variante caractérisée par un bord parcouru de plusieurs gorges. Cette dernière est toutefois absente du répertoire de la céramique commune alors qu'elle figure dans celui des céramiques fines (MfB9 ;

Fig. 568, n° 6 à 10). Quant aux couvercles, ils constituent des formes basiques à mettre en lien avec les pots à cuire CoB2. Notons qu'au sein des poubelles domestiques ordinaires, leur nombre est bien plus faible que dans le cas présent.

Parmi les autres formes se trouvent :

- des marmites : CoB67 (**Fig. 569, n°5 à 7**) dont certains exemplaires sont munis d'anses, CoB57 (**Fig. 571, n°6**), des pieds de marmites tripodes non identifiées, de forme quadrangulaire qui appartiennent à 3 individus ;
- des gobelets de forme simple : CoB73 (**Fig. 572, n°7**), CoB74 (**Fig. 572, n°8**), CoB78 (**Fig. 572, n°9**) ;
- des pots plutôt cylindriques avec des lèvres moulurées ou non : CoB61 (**Fig. 575, n°1 à 5**) ;
- divers autres pots ou coupes ainsi qu'une forme de couvercle profond (CoB75 ; **Fig. 576, n°13**) ;
- des fragments décorés d'une frise horizontale de croix incisées associée d'une part à un bord de type CoB81 (**Fig. 571, n°7**) et d'autre part à un fond pointu avec de nombreuses perforations. Il s'agit donc selon toute vraisemblance d'une forme de faisselle.
- un mortier à collerette dont la panse est ornée d'une baguette (CoB63 ; **Fig. 571, n°8**)
- *dolium* à ouverture plus faible que le diamètre de la panse dont la lèvre est parcourue de sillons et la panse ornée avec des cordons digités de différentes grosseurs (CoB72 ; **Fig. 569, n°3 à 4**).

Interprétation

La singularité de cet ensemble de céramique ne fait aucun doute. A cet égard, l'analyse pétrographique de quelques fragments parmi les plus caractéristiques du répertoire des céramiques communes liées aux deux groupes de pâtes mentionnés plus haut offre des résultats intéressants (**Fig. 559**).

Elle montre que les argiles qui composent ces vases sont de nature identique ou très proche à celles des productions de l'atelier précoce mis au jour sur le site. La majorité des vases de la fosse serait donc d'origine locale et la singularité de la composition du répertoire des formes pourrait être expliquée par le fait qu'il s'agit d'un dépotoir d'ateliers de potiers.

La quasi absence de productions surcuites ou franchement déformées, c'est à dire de ratés de cuisson, mais aussi d'éléments utilisés au sein des fours (comme des cales, boudins d'argile, etc.) n'incite pas toutefois à y voir un dépotoir primaire. Notons que l'absence d'éléments surcuits est également une des caractéristiques des dépotoirs de l'atelier précoce : les fragments venant combler les fossés de la ferme gauloise résultent avant tout du bri accidentel des vases ou de leur rejet en raison de cuissons n'ayant pas donné les résultats escomptés (mécuit, couleur inappropriée, etc.). Dans le cas du dépotoir de la fosse str. 519, les vases en « pâte colorée » pourraient correspondre à de telles altérations.

Réf. typo.	forme	NR	NMI	Type pâte	Inv. pétro.
CoB76	f. fermée	1	1	pâte colorée	CDV226
CoB2/8	pot	1	1	pâte colorée	CDV228
CoB39	coupe	1	1	pâte colorée	CDV222
CoB76	f. fermée	1	1	pâte grise	CDV224
CoB2/8	pot	1	1	pâte grise	CDV223
CoB2/8	pot	1	1	pâte grise	CDV227
CoB2/8	pot	1	1	pâte grise	CDV225

Fig. 559 : liste des échantillons d'analyse pétrographique © R. Delage

Synthèse chronologique sur la Str. 519.

Le corpus des céramiques sigillées et parois fines engobées offre un TPQ en 70. La présence en grand nombre de vaisselles en céramiques fine et mi-fine de mode B montre également que la part des mobiliers de la seconde moitié

du I^{er} s. est importante. Le lot des céramiques communes trouve par ailleurs de nombreuses correspondances au sein des autres contextes du site, ceux dont les datations couvrent les dernières décennies du I^{er} s. et les premières du II^e s.

Proposition : **dernier quart du I^{er} s. et début du II^e s.**

Str. 522, sd. 192

Catégorie	NR	NMI
Com B	1	1

Fond de pot en pâte grise et surface gris bleuté.

Datation : II^e-III^e s.

Str. 523 (intersection 523/524)

Catégorie	NR	NMI
Sigillée-CG	2	1

La céramique domestique n'est représentée que par deux fragments d'un mortier Curle 21 en céramique sigillée du Centre de la Gaule de la seconde moitié du II^e s.

Datation : Deuxième moitié du II^e s.

Str. 523, sd. 133

Catégorie	NR	NMI
Com B	5	0

Fig. 563 :

Fragments de céramique commune de mode B.

Datation : I^{er}-II^e s.

Str. 560, US1

Catégorie	NR	NMI
Com-Bais	34	3

Lot de céramique de l'atelier de Bais.

Parmi les formes identifiables se trouve une jatte de type 3 ainsi qu'une jatte de type 2 dont le bord est relativement massif (mais qui ne correspond pas à un pot de type 2 du fait de l'orientation de la partie conservée). Un autre fragment de bord relativement massif est difficile à caractériser.

Str. 560, US4

Catégorie	NR	NMI
Com-Bais	10	3

Lot de céramiques de l'atelier de Bais.

Parmi les formes identifiables, se trouve une jatte de type 3 presque complète de faibles dimensions, un bord de pot de type 2 et un fond de jatte de forme indéterminée. Celle-ci à une paroi fine lissée en externe avec une pâte rouge et une surface noire ne comportant qu'un dégraissant sableux fin.

Str. 563, sd. 16, US1

Catégorie	NR	%NR	NMI
Com A	11	22.4%	0
Com B	38	77.6%	2
Total	49	100%	2

Fragment d'un vase de forme indéterminée en commune de mode A. La pâte est rouge, dégraissée.

La céramique commune de mode B compte un vase archéologiquement complet en pâte grise : un petit pot à lèvre éversée. D'autres fragments de panse sont attestés.

Datation : I^{er} s.

Str. 563, sd. 16, US2

Catégorie	NR	NMI
Com-Bais	4	0

Petits fragments de céramique vraisemblablement de l'atelier de Bais.

Str. 565

St. 565, sans mention

Catégorie	NR	%NR	NMI	%NMI
Sigillée-CG	7	4.5%	2	8.0%
Fine B-TN	7	4.5%	1	4.0%
Mi-fine B	8	5.1%	1	4.0%
Com A	20	12.7%	2	8.0%
Com B	106	67.5%	18	72.0%
Amphore-Bétique	2	1.3%	1	4.0%
Amphore-Régionale	7	4.5%	0	
Total	157	100%	25	100%

Deux céramiques sigillées sont attestées. Il s'agit d'une assiette Lez. 32 du Centre de la Gaule dont les caractéristiques techniques et morphologiques correspondent à une production du troisième quart du II^e s. ainsi qu'une coupelle Lez. 42 de même provenance datée du milieu du II^e s.

Un petit lot de céramique fine de mode B est attesté : des parois de panse et un bord permettant deux identifications : des coupes M96 et M118.

Un autre petit lot de fragments peut être attribué à des céramiques mi-fines de mode B. Seul un fond de petit gobelet est conservé.

La céramique commune de mode A se compose d'une série de panses de cruche et un fond en pâte orangée ou beige, des parois de grands conteneurs en pâte blanche ou orangé (dégraissée dans ce dernier cas), ainsi qu'un fond plat de petite forme ouverte en pâte brune à cœur noir.

Le lot des communes de mode B comporte de nombreux fragments de bord et de fond.

Les pâtes grises bien cuites, parfaitement attestées au sein des contextes de la seconde moitié du I^{er} s. sont peu fréquentes dans celui-ci et l'essentiel constitue des pâtes brunes à noires dégraissées. Le répertoire des formes se compose majoritairement de pots à lèvre éversée. Quelques vases aux diamètres d'ouverture importants correspondent certainement à des marmites.

Un bord de lèvre épaissie, à l'oblique, témoigne de la présence d'un pot dont la forme est typique de la seconde moitié du II^e – III^e s. Un autre pot massif trouve des correspondances par exemple à Noyal-Chatillon dans les niveaux du III^e s. (Ferrette 2011, US2020).

Un petit bord correspond à un plat à bord rentrant et un fond de marmite tripode en pâte grise très cuite, dont seule l'empreinte des pieds est conservée, présente une forme en tout point identique à une autre figurant au sein du contexte F 1253 de Chavagne (Legall, Juhel 2013, p. 102) daté du premier quart du II^e s.

Présence d'une anse avec une pâte de Bétique correspondant à une amphore Halt. 70 de la période augustéenne. Un autre petit fragment sans caractérisation de forme correspond également à un conteneur de Bétique. Un lot de panse en pâte brune à cœur noir permet d'identifier l'existence

d'une amphore régionale.

Un seul fragment correspond à une production de la fin de la période gauloise.

*Datation : incontestablement ce lot de céramique recueillie en surface du fossé Str. 565 présente de grandes différences avec ceux des US des différents sondages de ce même fossé. En effet, la céramique sigillée, les caractéristiques techniques et morphologiques des vases en communes de mode A et B ainsi que les amphores régionales témoignent la présence d'un ensemble de la **seconde moitié du II^e s.** Quelques éléments paraissent sans aucun doute plus anciens, tel le fragment d'amphore Halt. 70 ou encore certaines céramiques communes sombres, mais la quasi absence de pièces de l'atelier de potiers précoce confirme bien qu'il existe une partition majeure dans le comblement du fossé.*

Str. 565, Sd. 47 (fosse 588)

Catégorie	NR	NMI
Com B?-	1	0

Fragment de céramique commune de mode B gallo-romaine ?

Str. 565, Sd. 47, US4

Catégorie	NR	NMI
Com-Bais	23	1

23 fragments de l'atelier de Bais dont une portion de fond.

Un fragment de terre cuite correspond peut-être à une section de « barre » composant la sole mobile des fours.

Str. 565, Sd. 54

Catégorie	NR	NMI
Com-Bais	1	0
Amphore-Italique	1	0
Amphore-Tarraconaise	2	0
Total	4	0

Présence de deux fragments d'amphore de Tarraconaise et d'un fragment d'amphore italique.

Un élément de panse correspond également à un conteneur de grande taille de l'atelier de Bais.

Str. 565, Sd. 54, 0 à -80 cm

Catégorie	NR	%NR	NMI	%NMI
Fine A-	4	2.6%	1	4.3%
Fine A-Beuvray ?	1	0.7%	0	
Fine B-TN	19	12.6%	5	21.7%
Com A	43	28.5%	4	17.4%
Com A-eng. rouge	2	1.3%	0	0.0%
Com B	80	53.0%	13	56.5%
Com-Bais	2	1.3%	0	0.0%
Total	151	100%	23	100%

La vaisselle de table est représentée par des fragments de céramique fine de mode B (terra nigra) : deux pots ovoïdes M146, deux coupes M96 associées à d'autres éléments de panse de même attribution et un fond d'assiette.

La céramique commune de mode A est représentée par un grand récipient en pâte beige à cœur gris et un lot de fragments de cruche aux couleurs variées : du blanc au rouge vif. Parmi ceux-ci on compte des fragments d'un col très mince et élancé en pâte blanchâtre de datation précoce, mais aussi la partie haute d'une forme apparentée au type Ch. 2816, attesté couramment en territoire carnute au cours de la seconde moitié du I^{er} s.

Au sein de cette catégorie se trouve également des fragments de fond et de panse d'un gobelet en pâte très fine. Les autres formes correspondent à des coupes à bords verticaux soulignés par une gorge, identiques aux nombreux exemplaires de la fosse 519 par exemple. Il s'agit de formes courantes dans la seconde moitié du I^{er} s. et les premières décennies du II^e s.

Les céramiques communes de mode B sont représentées principalement par des pots à lèvre éversée, de toutes tailles, gris à noir. Un fragment surcuit en pâte locale correspond à une bouilloire à anse.

Deux fragments seulement peuvent être rattachés aux productions de l'atelier de Bais.

Datation : la présence d'une forme M146, de la cruche Ch. 2816 et des coupelles en céramique commune de mode A, mais aussi du répertoire des céramiques communes de mode B indiquent clairement que ce niveau comporte un lot de mobiliers de la seconde moitié du I^{er} s. L'absence (ou presque) de pièces de l'atelier de Bais est remarquable.

Str. 565, Sd. 54, US13

Catégorie	NR	NMI
Com-Bais	25	3

Seuls des vases de l'atelier de Bais sont attestés. Trois individus : deux liés au type 2 et un fond indéterminé. L'un des premiers, noir avec des traces de suie, a été utilisé. Le second en revanche est de couleur claire tout comme le fond de vase. D'autres fragments de panse appartiennent à un autre récipient.

Str. 565, Sd. 55, US4

Catégorie	NR	%NR	NMI
Sigillée-ITAL	1	3.7%	0
Fine B-TN	2	7.4%	0
Com-Proto?	6	22.2%	1
Com-Bais	18	66.7%	1
Total	27	100%	2

Le lot de céramique comporte un petit fragment d'assiette en sigillée italique (-20/+20), ainsi qu'une céramique fine de mode B de forme M130 identique au vase des sd. 56, US3 et sd. 57, US5 et 8.

Le reste du mobilier correspond majoritairement à des productions de l'atelier de Bais notamment un pot de type 2 archéologiquement complet. Une autre forme de jatte de petite taille proche de la forme type 2 n'a probablement pas été produite dans l'atelier. La répartition des minéraux est différente et des micas dorés sont présents dans la pâte. Celle-ci est de couleur brune compacte et la surface est noire lissée avec en bas de panse, sur la partie externe, des bandes verticales lustrées.

Datation : la céramique sigillée constitue un marqueur chronologique précieux permettant de définir un TPQ à partir de -20.

Str. 565, Sd. 55, US5

Catégorie	NR	%NR	NMI
Fine B-TN	10	30.3%	1
Com B	8	24.2%	1
Com-Bais	11	33.3%	2
Modélée-Gallo-romain	4	12.1%	0
Total	33	100%	4

Présence d'une coupe M96 en céramique fine de mode B (terra nigra) et vraisemblablement de la partie basse d'une autre.

Quelques fragments de céramique commune de mode B et de céramique modelée gallo-romaine sont attestés. Les pièces de l'atelier de Bais sont représentées par une forme de type 9 archéologiquement complète dont

un des fragments est également présent au sein d'une autre US. D'autres fragments correspondent à un bord de type 2.

Str. 565, Sd. 56, US3

Catégorie	NR	%NR	NMI	%NMI
Fine B-TN	18	26.1%	4	36.4%
Com A	11	15.9%	1	9.1%
Com A-eng. rouge	9	13.0%	1	9.1%
Com B	20	29.0%	4	36.4%
Com-Bais	11	15.9%	1	9.1%
Total	69	100%	11	100%

La céramique fine de mode B (terra nigra) se compose d'un fragment de M₁₃₀ dont d'autres éléments sont attestés au sein des sd. 55, US₄ et 57, US₅ et US₈, un bord d'assiette M₃₀, une coupe M₉₆ de petit diamètre relativement atypique par son orientation et ses caractéristiques techniques ainsi que deux formes fermées vraisemblablement M₁₃₇ et M₁₄₆. Les autres fragments ne sont pas identifiables.

En céramique commune de mode A se trouve la partie haute d'un gobelet à petite lèvre effilée dont la pâte fine et la paroi mince l'apparente à une production de céramique fine. Un fond de cruche engobée rouge est également présent ainsi que des parois de cruche en pâte claire la plupart du temps.

Le lot des céramiques communes de mode B se compose d'un pot à lèvre éversée en pâte grise, un fond de pot en pâte grise très dégraissée de mica, ainsi que des fragments de panse aux caractéristiques techniques très diverses.

Un petit lot de fragments correspond à des productions de l'atelier de Bais. *Datation : les fourchettes chronologiques que l'on peut assigner aux pièces les plus caractéristiques permettent de situer ce lot au cours des premières décennies du I^{er} s. ap.*

Str. 565, Sd. 57

Catégorie	NR	%NR	NMI	%NMI
Fine B-TN	8	3.5%	3	10.7%
Com A	5	2.2%	1	3.6%
Com B	27	11.7%	4	14.3%
Com-Bais	180	77.9%	19	67.9%
Modélée-Gallo-romain	1	0.4%	1	3.6%
Modélée-Gallo-romain	10	4.3%	0	
Total	231	100%	28	100%

Lot de céramique sans mention d'US

Des collages sont attestés avec l'US₅ et l'US₈

La céramique fine de mode B (terra nigra) est représentée par une assiette M₄₂ archéologiquement complète, des fragments de panse de coupe M₁₂₆ dont les caractéristiques sont celles des productions précoces ainsi qu'un bord de coupe M₉₆.

Quelques fragments correspondent à des communes de mode A : trois de cruche en pâte beige ou orangé et deux autres de pot de forme indéterminée.

Une série de fragments s'apparente très certainement à des céramiques modelées gallo-romaines précoces. Les caractéristiques de ces vases sont différentes de celles des productions de l'atelier de Bais ou encore d'un point de vue général des céramiques gauloises.

La céramique commune de mode B est représentée par un petit pot à lèvre en amande sans col de couleur noire, un autre plus massif en pâte grise très cuite, à lèvre épaissie et col court, ainsi qu'une jatte à lèvre oblique et gorge interne en pâte grise très peu dégraissée.

Un petit pot présente des caractéristiques plus atypiques : surface noire et pâte brune très sableuse. Sans doute s'agit-il d'une production précoce. Les productions de l'atelier de Bais sont représentées par de nombreux

fragments aux pâtes essentiellement colorées (cuisson en mode A). Plusieurs formes sont attestées. Une jatte type 2b archéologiquement complète en pâte orangée, à surface noire ou colorée. Des stries de tournage sont visibles en interne. Une jatte type 2 en pâte orangée et surface grise. Deux fragments de jatte type 3, l'une grise et l'autre noire avec lèvre en Y. Quatre pots de type 2 à lèvre plus ou moins développée et la partie haute d'un pot à la surface lissée et lèvre droite de type 9.

Quelques fragments de la grande jatte type 2 dont les éléments figurent majoritairement dans l'US8, mais également dans l'US5 sont attestés.

Un fond de pot ovoïde de très grande taille est également conservé et présente des fragments en commun avec l'US5. Il s'agit probablement d'un pot type 2.

Quelques fragments de céramique correspondent certainement à de la céramique modelée gallo-romaine précoce. Parmi eux se trouve un bord massif de jatte en pâte noire, très cuite, avec de gros dégraissants minéraux. *Datation : les céramiques caractéristiques de l'atelier de Bais sont mélangées avec d'autres pièces dont la fabrication et l'utilisation couvrent les premières décennies du I^{er} s. après.*

Str. 565, Sd. 57, US3

Catégorie	NR	%NR	NMI
Fine B-TN	13	46.4%	3
Com A	8	28.6%	1
Com B	7	25.0%	0
Total	28	100%	4

Présence d'un lot assez riche de céramique fine de mode B (terra nigra) : des bords d'une coupe M103 en pâte gris foncé et surface gris clair, ainsi que deux éléments de coupe M96 aux caractéristiques techniques proches.

La céramique commune de mode A est représentée par six fragments qui appartiennent majoritairement à une grande cruche en pâte orangée et surface beige à anse plate bifide. Les autres correspondent à une forme fermée en pâte beige très fine et micacée ainsi qu'à un pot en pâte rouge dégraissée.

La céramique commune de mode B compte un fragment appartenant au même vase que d'autres recueillis au sein du sd. 57 (pâte très sableuse colorée et surface noire). Sept autres fragments en pâte noire, très micacée appartiennent très certainement à une production gallo-romaine précoce. Ce lot ne comporte aucun fragment de l'atelier de Bais.

Datation : premières décennies du I^{er} s.

Str. 565, Sd. 57, US4

Catégorie	NR	NMI
Com B-	2	1
Com-gallo précoce	6	0
Modelée Besançon	3	1
Com-Bais	10	4
Total	21	5

Deux fragments correspondent à des céramiques communes de mode B du I^{er} s.

Une autre série de fragments en pâte noire très micacée correspond à des productions précoces cuites également en mode B.

La céramique modelée gallo-romaine est représentée par un pot de type « Besançon » en pâte sombre (inv. étude pétrographique CDV216).

Quelques productions de l'atelier de Bais sont également attestées, dont deux fonds, l'un éventuellement d'une forme de type 2 et l'autre d'un grand pot ou d'une jatte. Des autres fragments correspondent à des bords de forme de type 2b et 9.

Datation : I^{er} s.

Str. 565, Sd. 57, US5

Catégorie	NR	%NR	NMI	%NMI
Fine B-TN?	7	8.6%	1	14.3%
Com-gallo précoce	1	1.2%	1	14.3%
Com-Bais	73	90.1%	5	71.4%
Total	81	100%	7	100%

Quelques fragments présentent une pâte rouge pratiquement dépourvue de dégraissants et une surface noire. Ils appartiennent à un vase en céramique fine de mode B qui peut correspondre à une terra nigra précoce sans doute atypique du fait d'un aspect de surface noir mat dépourvu d'un lissage poussé. Est conservée une large part du fond qui devait comporter un petit pied, ainsi qu'une portion de la lèvre composée d'un simple petit bourrelet. Cette forme pourrait correspondre au type M130. Trois autres fragments de ce vase figurent au sein des sondages 55, US4 ; 56, US3 et 57, US8.

Les fragments de l'atelier de Bais, en pâte colorée, sont nombreux. On compte deux pots de type 2 (inv. étude pétrographie CDV220) dont un pratiquement complet, une jatte également type 2 (inv. étude de pétrographie CDV221) ainsi que d'autres fragments de panse dont un avec des dimensions correspondant à un vase stockage type 1. Un fond de pot non caractérisé est également attesté.

Egalement présent un lot de fragments qui recolle avec un vase de l'US8 et autre lot comportant des bords de deux vases de type 2.

Un autre vase se démarque par ses caractéristiques car elles ne correspondent pas à celles de l'atelier de Bais. Il possède une pâte très dégraissée, très cuite et compacte noire sauf en interne où le cœur est plutôt gris. La finition au tour est marquée par des gorges très régulières et profondes particulièrement en haut de la panse ou encore sur la lèvre en interne. La forme est proche du type 2.

Datation : gallo-romain précoce.

Str. 565, Sd. 57, US8

Catégorie	NR	%NR	NMI	%NMI
Fine B-TN	2	2.3%	0	
Com-indét.	1	1.1%	1	14.3%
Com-Bais	85	96.6%	6	85.7%
Total	88	100%	7	100%

Présence d'un fragment de panse d'une céramique fine de mode B appartenant au même individu que d'autres éléments des sondages 55, 56 et 57.

Tous les autres, à une exception près, correspondent à des productions de l'atelier. Le vase le plus remarquable est une grande jatte de type 2 aux parois interne et externe lissées. Le fond interne est probablement usé car c'est la seule partie où ce traitement de surface est absent. A ce vase appartiennent également de nombreux fragments de l'US5 (Sd. 57) et du sd. 57 sans mention d'US.

Parmi les autres formes identifiables, se trouvent un vase de type 2 archéologiquement complet, une jatte de type 3 en pâte légèrement différente de la plupart des autres notamment parce que la densité des dégraissants y est plus importante. On compte également un bord de forme de type 2 (inv. étude pétrographique CDV215) et un bord de forme de type 2b de couleur rouge, à la surface parfaitement lissée et la lèvre bien marquée.

Un fond de grand pot et une série de panses jointives de très grandes tailles appartiennent probablement à une forme de type 1. Le reste ne consiste qu'en fragments de panse.

Un seul vase présente des caractéristiques différentes de celles des récipients de l'atelier : pâte rouge dégraissée presque exclusivement dégraissée de gros

minéraux et surface noire lissée.

Datation : gallo-romain précoce ?

Str. 565, Sd. 154, US12

Catégorie	NR	%NR	NMI
Com A	3	4.9%	1
Com B	3	4.9%	0
Com-Bais	54	88.5%	5
Amphore-Tarraconaise	1	1.6%	0
Total	61	100%	6

Le lot se compose d'une majorité de productions locales : de nombreux fragments de panse ainsi que des bords de types 1 et 2 de petits diamètres. D'autres fragments de bord sont trop fragmentés pour être caractérisés. Un fragment d'amphore de Tarraconaise est contemporain de ces derniers. D'autres mobiliers sont plus récents : en céramique commune de mode A, partiellement brûlée, une coupe équivalente de la forme M55 parfaitement attestée par ailleurs dans les niveaux de la seconde moitié du I^{er} s. et trois fragments de commune sombre appartenant à une forme indéterminée.

*Datation : ce niveau, bien que comportant de nombreux fragments de la période augustéenne n'a pas été scellé avant la **deuxième moitié du I^{er} s.***

Str. 565, Sd. 234, couche de rejet

Catégorie	NR	NMI	NMIp
Com-Bais	16	1	1

Fond de pot de l'atelier de Bais.

Str. 565, Sd. 234, US1

Catégorie	NR	%NR	NMI	%NMI
Mi-fine B	1	0.9%	1	11.1%
Com A	6	5.4%	2	22.2%
Com B	16	14.4%	2	22.2%
Com B?-	3	2.7%	1	11.1%
Com-indét.	5	4.5%	0	
Com-Bais	80	72.1%	3	33.3%
Total	111	100%	9	100%

Comme pour le sd. 154, le lot se compose majoritairement de fragments dont les caractéristiques techniques correspondent à celles des pièces de l'atelier précoce. Parmi les bords conservés, on note la présence de formes de type 2 dont l'une est tellement altérée qu'il ne reste plus rien de la surface originelle (inv. étude pétrographique CDV217 et CDV218).

En plus de ce lot, figurent quelques pièces plus récentes.

Trois fragments en pâte rouge dégraissée correspondant à un pot en céramique commune de mode A, un corpus non négligeable de fragments de commune de mode B, des fragments de panse, mais aussi deux bords de pot à lèvre éversée. Un autre vase à surface noire est plus difficile à caractériser (production précoce ou de la fin du I^{er} s. ?). Un bord droit à lèvre marquée doit être classé dans la céramique fine de mode B.

Quelques autres fragments ne peuvent être caractérisés.

Datation : les quelques éléments de céramique commune de mode B attestés correspondent à des productions similaires à celles des ensembles de référence de la seconde moitié du I^{er} s. L'assemblage des mobiliers céramiques de ce sondage est donc identique à celui du Sd. 154 de ce même fossé.

Str. 565, Sd. 234, US2

Catégorie	NR	%NR	NMI
Com-indét.	5	62.5%	0
Com-Bais	3	37.5%	0
Total	8	100%	0

Trois fragments de l'atelier de Bais et quatre autres fragments pouvant en être issu mais sans certitude.

Synthèse sur le fossé str. 565

L'analyse des mobiliers céramiques du comblement de ce fossé est emblématique des difficultés que l'on rencontre à caractériser, sur le plan chronologique, les différentes étapes de l'évolution de l'occupation.

Incontestablement, comme tous les autres fossés majeurs de la ferme gauloise, il a d'abord été comblé avec les rejets de l'atelier de potiers précoces. Dans le sondage 57, les US 6, 9, dans la partie basse du comblement, ne comportent que des mobiliers de cette activité.

Par la suite, ce comblement a été partiellement vidé à la période gallo-romaine précoce, comme l'attestent les US 3, 4, 5 et 8 du sondage 57. Des mobiliers caractéristiques de cette période de transition ont été trouvés au sein du comblement de cette nouvelle excavation : sigillée italique, céramiques communes en pâte très micacée mais aussi céramique modelée de type Besançon ou encore amphore de Tarraconaise. La présence massive de fragments de l'atelier au sein de ces strates s'explique aisément par le fait qu'à l'occasion du recréusement de nombreux résidus de l'atelier ont été exhumés. Les sondages 55 et 56 sont apparemment entièrement concernés par ce recréusement, qui n'est pas sans lien avec l'aménagement du sanctuaire. Pour le sondage 57, il s'agit d'une reprise partielle mais qui perfore pratiquement toutes les couches antérieures (sauf l'US 6).

Une troisième phase interviendrait à la fin du I^{er} s. et au cours de la première moitié du II^e s. Elle se caractérise par un nouveau curage (?) des fossés tout particulièrement du fossé 28 et de manière moins systématique du fossé 565.

Curieusement, les niveaux gallo-romains précoces se situent uniquement au sein des sondages 55 à 57 (à moins qu'ils aient disparu dans les autres ?) et sont sans lien stratigraphique avec ceux de la fin du I^{er} s. et du II^e s. ap. Ils sont en revanche fortement liés à ceux de l'atelier précoce et s'inscrivent vraisemblablement dans la continuité de ceux-ci.



Fig. 560 : propositions chronologiques liées du comblement des fossés 28 et 565 © R. Delage

Sondage	US	Catégorie	Info. céramo.	Réf. Typo.	Forme	NR	NMI
		Sigillée	CG	Lez. 32	Assiette	6	1
		Sigillée	CG	Lez. 42	Coupelle	1	1
055	4	Sigillée	ITAL		Assiette	1	0
054	0/-80 cm	Fine A			Gobelet	4	1
054	0/-80 cm	Fine A	Beuvray ?		IND	1	0
		Fine B	TN	M118	Coupe	1	1
		Fine B	TN	M096	Coupe	1	0
		Fine B	TN		IND	5	0
057		Fine B	TN	M042	Assiette	3	1
057		Fine B	TN	M096	Coupe	2	1
057		Fine B	TN	M126	Coupe	2	1
057		Fine B	TN		IND	1	0
057	3	Fine B	TN	M103	Coupe	5	1
057	3	Fine B	TN	M096	Coupe	2	1
057	3	Fine B	TN	M096	Coupe	6	1
055	4	Fine B	TN	M130	Coupe	2	0
057	8	Fine B	TN	M130	Coupe	2	0
055	5	Fine B	TN	M096	Coupe	10	1
054	0/-80 cm	Fine B	TN	M146	Pot	2	2
054	0/-80 cm	Fine B	TN	M096	Coupe	2	2
054	0/-80 cm	Fine B	TN	M096	Coupe	14	0
054	0/-80 cm	Fine B	TN		Assiette	1	1
056	3	Fine B	TN	M030	Assiette	1	1
056	3	Fine B	TN	M096	Coupe	4	1
056	3	Fine B	TN	M137	Pot	1	1
056	3	Fine B	TN	M146	Pot	1	1
056	3	Fine B	TN	M130	Coupe	1	0
056	3	Fine B	TN		IND	10	0
057	5	Fine B	TN?	M130	Coupe	7	1
		Mi-fine B			Gobelet	1	1
		Mi-fine B			IND	7	0
234	1	Mi-fine B			Coupe	1	1
		Com A			F. fermée	2	0
		Com A			Cruche	16	1
		Com A			IND	2	1
154	12	Com A		M055	Assiette	3	1
234	1	Com A			Pot	3	1
234	1	Com A			Pot	3	1
057		Com A			F. fermée	3	0
057		Com A			IND	2	1
057	3	Com A			Pot	1	0
057	3	Com A			Cruche	6	1
057	3	Com A			Cruche	1	0
057	12	Com A			F. fermée	2	0
054	0/-80 cm	Com A		Ch. 2816	Cruche	4	1
054	0/-80 cm	Com A			Coupe	3	2
054	0/-80 cm	Com A			F. fermée	1	1
054	0/-80 cm	Com A			F. fermée	32	0
054	0/-80 cm	Com A			IND	3	0
056	3	Com A			F. fermée	9	0
056	3	Com A			Gobelet	2	1
054	0/-80 cm	Com A	eng. rouge		F. fermée	2	0
056	3	Com A	eng. rouge		Cruche	9	1
		Com B			Marmite	1	1
		Com B			Plat	1	1
		Com B			Pot	16	12
		Com B			Pot	10	1
		Com B			Marmite	5	3
		Com B			IND	13	0
		Com B			IND	45	0
		Com B			IND	15	0
154	12	Com B			IND	3	0
234	1	Com B			Pot	5	1
234	1	Com B			Pot	1	1
234	1	Com B			IND	3	0
234	1	Com B			Pot	7	0
057		Com B			Pot	7	1
057		Com B			Coupe	13	1
057		Com B			Pot	1	1
057		Com B			Pot	6	1
057	3	Com B			Pot	6	0
057	3	Com B			Pot	1	0
055	5	Com B			IND	8	1

Sondage	US	Catégorie	Info. céramo.	Réf. Typo.	Forme	NR	NMI
054	0/-80 cm	Com B			Pot	9	8
054	0/-80 cm	Com B			Pot	14	5
054	0/-80 cm	Com B			Pot	57	0
056	3	Com B			Pot	1	1
056	3	Com B			Pot	12	0
056	3	Com B			Pot	7	3
057	4	Com B			jatte	1	1
057	4	Com B			IND	1	0
057	4	Com B			IND	6	0
234	1	Com B?			Pot	3	1
047		Com B?			IND	1	0
057	5	Com			Pot	1	1
234	1	Com	Indét.		IND	5	0
057	8	Com	Indét.		Coupe	1	1
234	2	Com	Indét.		IND	5	0
055	4	Com	Proto?	T10	Jatte	6	1
154	12	Com	Atelier Bais		IND	41	0
154	12	Com	Atelier Bais	T02	Pot	2	1
154	12	Com	Atelier Bais	T02?	Pot	1	1
154	12	Com	Atelier Bais		Pot	4	2
154	12	Com	Atelier Bais	T01	Stock	6	1
234	1	Com	Atelier Bais		IND	69	0
234	1	Com	Atelier Bais	T02	Pot	3	1
234	1	Com	Atelier Bais	T02	Pot	6	1
234	1	Com	Atelier Bais		Pot	2	1
057	8	Com	Atelier Bais	T02	Jatte	18	1
057	5	Com	Atelier Bais	T02	Jatte	25	0
057	5	Com	Atelier Bais	T02	Pot	13	1
057	5	Com	Atelier Bais		IND	28	1
057	9	Com	Atelier Bais	T02	Pot	12	1
057	9	Com	Atelier Bais		Pot	2	0
057	8	Com	Atelier Bais		IND	24	0
057	8	Com	Atelier Bais	T02	Jatte	1	1
057	8	Com	Atelier Bais	T03	Jatte	2	1
057	8	Com	Atelier Bais	T02b	Jatte	1	1
057	8	Com	Atelier Bais		Pot	2	1
057	8	Com	Atelier Bais	T01?	Stock	4	0
057		Com	Atelier Bais		IND	##	0
057		Com	Atelier Bais		IND	8	6
057		Com	Atelier Bais	T02	Pot	13	1
057		Com	Atelier Bais	T02	Pot	2	1
057		Com	Atelier Bais	T02b	Jatte	3	1
057		Com	Atelier Bais	T02	Pot	2	1
057		Com	Atelier Bais	T02	Pot	10	1
057		Com	Atelier Bais		IND	6	4
057		Com	Atelier Bais	T09	Jatte	5	1
057		Com	Atelier Bais	T02	Jatte	2	1
057		Com	Atelier Bais	T03	Jatte	2	2
057		Com	Atelier Bais		IND	1	0
057	5	Com	Atelier Bais	T02	Jatte	4	1
057	5	Com	Atelier Bais	T02	Pot	1	1
057	9	Com	Atelier Bais	T02	Pot	2	1
057	12	Com	Atelier Bais	T01	Stock	1	1
057	12	Com	Atelier Bais	T02	Pot	2	1
057	12	Com	Atelier Bais	T02	Pot	4	0
057	12	Com	Atelier Bais		IND	15	0
057	10	Com	Atelier Bais	T02	Jatte	14	1
057	10	Com	Atelier Bais	T02b	Jatte	1	1
055	4	Com	Atelier Bais	T02	Pot	9	1
055	4	Com	Atelier Bais		IND	9	0
057	5	Com	Atelier Bais		Pot	2	1
057		Com	Atelier Bais		Pot	8	0
057	8	Com	Atelier Bais	T02	Pot	33	1
055	5	Com	Atelier Bais	T09	Jatte	7	1
055	5	Com	Atelier Bais	T02	Pot	4	1
054	13	Com	Atelier Bais	T02	Pot	5	2
054	13	Com	Atelier Bais		Pot	13	1
054	13	Com	Atelier Bais		IND	7	0
054	0/-80 cm	Com	Atelier Bais		IND	2	0
056	3	Com	Atelier Bais		IND	11	1
234		Com	Atelier Bais		Pot	16	1
054		Com	Atelier Bais		Stock	1	0
047	4	Com	Atelier Bais		IND	23	1
234	2	Com	Atelier Bais		IND	3	0
057	4	Com	Atelier Bais	T02	jatte	1	1
057	4	Com	Atelier Bais		IND	2	1
057	4	Com	Atelier Bais	T09	Jatte	3	1
057	4	Com	Atelier Bais	T02b	pot	1	1
057	4	Com	Atelier Bais		IND	3	0
057	4	Modelée	Besançon		pot	3	1

Sondage	US	Catégorie	Info. céramo.	Réf. Typo.	Forme	NR	NMI
057		Modelée	Gallo-romaine		IND	1	1
055	5	Modelée	Gallo-romaine		IND	4	0
057		Modelée	Gallo-romaine?		IND	10	0
		Amphore	Bétique	Ha.70	Amphore	1	1
		Amphore	Bétique		Amphore	1	0
054		Amphore	Italique		IND	1	0
		Amphore	Régionale		Amphore	7	0
154	2	Amphore	Tarraconaise		Amphore	1	0
054		Amphore	Tarraconaise		IND	2	0

Fig. 561 : inventaire détaillé des céramiques de la str. 565 © R. Delage

Str. 570

Catégorie	NR	NMI
Com-Bais	2	0

Fragments de l'atelier de Bais.

Str. 572

Catégorie	NR	NMI
Com-Bais	1	0

Fragment probable de l'atelier de Bais.

Str. 572, sd. 50, US1

Catégorie	NR	%NR	NMI
Mi-fine B	1	10.0%	0
Com A	1	10.0%	1
Com B	7	70.0%	2
Com-Bais	1	10.0%	0
Total	10	100%	3

Un fragment de panse d'une céramique mi-fine de mode B et un autre en céramique commune de mode A correspondant probablement à un pot à lèvre déformée.

Le lot des céramiques communes de mode B compte un fond de pot en pâte grise très cuite et la partie haute vraisemblablement d'une coupe à bord rentrant.

Un probable fragment de l'atelier de Bais complète ce lot.

Datation : I^{er}-II^e s.

Str. 573

Catégorie	NR	%NR	NMI
Fine B-TN	2	3.3%	1
Mi-fine B	14	23.0%	0
Com A	1	1.6%	0
Com B	44	72.1%	2
Total	61	100%	3

Présence d'une forme en céramique fine de mode B, fortement altérée, de type M118. D'autres fragments en pâte noire à surface grise ou noire comportant de rares dégraissants correspondent à de grandes formes fermées. Les individus auxquels ils appartiennent doivent plutôt être classés dans la série des céramiques mi-fines de mode B (deux individus).

Le lot des céramiques communes de mode A ne compte qu'un seul fragment de panse. La céramique commune de mode B est représentée par de nombreux fragments de panse et le bord d'un pot en pâte gris bleuté très cuite très peu dégraissée. Un autre lot, exclusivement constitué de fragments de panse, présente des pâtes gris clair dégraissées.

Datation : La présence de la coupe M118 et des céramiques mi-fines de

mode B inciterait à situer ce corpus au cours de la seconde moitié du I^{er} s. et le début du II^e s. toutefois le pot en céramique commune de mode B en pâte gris bleuté ne correspond guère à une production antérieure au II^e s. Une datation large au cours du II^e s. peut donc être proposée à titre d'hypothèse.

Str. 576

Catégorie	NR	NMI
Com B-	1	1

Un fragment de pot en commune de mode B à pâte grise très cuite avec de nombreux dégraissants. La lèvre est de forme triangulaire rainurée en partie externe.

Datation : I^{er}-III^e s.

Str. 578

Catégorie	NR	NMI
Fine A-Beuvray	1	0

Un fragment de céramique fine de mode A (type Beuvray).

Datation : début du I^{er} s.

Str. 580, US1

Catégorie	NR	%NR	NMI
Com A	2	28.6%	0
Com A-eng. rouge	4	57.1%	0
Amphore-Tarraconaise	1	14.3%	1
Total	7	100%	1

La céramique de ce contexte se compose de quelques fragments de commune de mode A engobée rouge en pâte orangé, deux autres fragments de forme fermée en commune de mode A à pâte orangée et cœur gris et le culot d'une amphore Pascual. 1 de Tarraconaise.

Datation : I^{er} s.

Str. 582

Catégorie	NR	%NR	NMI
Mi-fine B	2	6.5%	0
Com A	8	25.8%	0
Com B	21	67.7%	1
Total	31	100%	1

Lot de céramiques composé essentiellement de petits fragments sans caractérisation de forme : céramique mi-fine de mode B, céramique commune de mode A et de mode B. Seul pour cette dernière catégorie peut être distingué un pot à lèvre éversée.

Deux petits fragments correspondent également à des productions de l'atelier précoce.

Un fragment argileux de terre cuite ou de céramique a chauffé au point d'être recouvert d'une croûte de verre.

Datation : I^{er} s.

Str. 583

Catégorie	NR	%NR	NMI	%NMI
Fine B-TN	4	5.6%	1	14.3%
Mi-fine B	1	1.4%	0	
Com A	5	7.0%	0	
Com B	61	85.9%	6	85.7%
Total	71	100%	7	100%

Trois fragments de panse en céramique fine de mode B correspondent à

une forme fermée de très faible épaisseur décorée en extérieur de registres guillochés. Il s'agit peut-être d'une forme M139/141. Un bord très altéré pourrait correspondre également à une production en terra nigra de forme M146.

Un fragment de panse en céramique mi-fine de mode B est également attesté.

Le lot de céramique commune de mode A ne compte que des fragments de panse en pâte beige ou orangé.

La céramique commune de mode B est représentée par des pots à lèvres éversées, des fonds, la partie haute d'un gobelet ainsi que des fragments de couvercle. Le lot majoritaire correspond à des fragments de panse de forme indéterminée.

Datation : deuxième moitié du I^{er} s.

Str. 585

Catégorie	NR	NMI
Com A	1	1
Com-Bais	1	1
Total	2	2

Partie supérieure d'un pot à grosse lèvre en bourrelet en commune de mode A.

Pâte orange vif.

Présence également d'un fond de pot de l'atelier de Bais ?

Datation : II^e-III^e s.

Str. 585 (fanum : partie SO de la galerie)

Catégorie	NR	NMI
Com A	1	0

Fragments de céramique de l'atelier de Bais. Partie haute d'une forme de type 2b à surface lissée et fragment de pot de forme indéterminée.

Str. 585 (fanum, cella : Galerie O)

Catégorie	NR	NMI
Com-Bais	28	3

Lot de céramiques de l'atelier de Bais : des jattes de type 2b et de type 6 ainsi que des fragments de panse.

Str. 585, US2 (Centre cella, contre 404)

Catégorie	NR	NMI
Com-Bais	30	1

Un vase de l'atelier de Bais (iso 135). Forme bien plus haute que large, pied balustre. Seule la partie basse est conservée. La panse est ornée en externe de bandes lissées plus ou moins verticales.

Str. 585, US2 (angle fanum F392)

Catégorie	NR	NMI
Com-Bais	22	3

Lot de fragments de l'atelier de Bais : un bord de pot de type 2 en pâte rouge et surface noire lissée, un fond de jatte et un fond de pot de forme indéterminée. Les autres éléments correspondent à des panses sans caractérisation de forme.

Str. 588

Catégorie	NR	%NR	NMI	%NMI
Sigillée-CG	2	0.5%	0	
Sigillée-MLG	3	0.8%	2	5.7%
Sigillée-MdV	1	0.3%	0	
Fine B-TN	38	10.0%	2	5.7%
Mi-fine B	5	1.3%	1	2.9%
Com A	130	34.1%	6	17.1%
Com B	201	52.8%	23	65.7%
Modelée-Gallo-romain	1	0.3%	1	2.9%
Total	381	100%	35	100%

Le lot de céramique sigillée se compose de vaisselles des groupes de production du Sud et du Centre de la Gaule.

Pour le premier sont attestées une coupe Drag, 37 des années 80/100, ainsi qu'une coupelle de la fin du I^{er} s. et du début du II^e s. Quant au second, il comporte un fragment de vase à décor moulé des ateliers des Martres-de-Veyres, des premières décennies du II^e s. et deux fragments, là encore sans caractérisation de forme, des ateliers de Lezoux de la première moitié du II^e s.

La céramique fine de mode B comporte des éléments caractéristiques des formes M146 et sans doute M138 (lèvre en bourrelet associée à une panse de faible épaisseur). Des éléments de panse guillochée avec un décrochement qui évoque la présence d'une coupe M72.

Quelques fragments appartiennent plutôt à des vases en céramique mi-fine de mode B dont un bord de pot.

La céramique commune de mode B est représentée, comme cela est souvent le cas, par de nombreux fragments de panse de forme fermée en pâte blanchâtre, orangé ou rouge.

Les éléments de caractérisation de forme sont peu nombreux. Une lèvre, dont le diamètre externe est de 10 cm et dont le profil est similaire aux formes d'amphore G. 4. La pâte diffère toutefois de celles des amphores importées ou encore de celles du Val de Loire (pâte beige et cœur gris clair). En pâte blanchâtre sont attestés un fond, deux anses différentes et un bord, le tout appartenant à au moins deux individus de taille modeste. Une anse massive composée de deux petits bourrelés aux extrémités et deux plus gros au centre témoigne également de l'existence de cruche de grande taille. Une lèvre aux caractéristiques techniques similaires (pâte orangée et surface beige) lui est associée. Elle est également de forme similaire à une amphore G.4 de petit diamètre. Deux mortiers complètent ce corpus. Tous deux présentent une forme de type Ch. 5305. L'un a des caractéristiques techniques conformes à celles des productions locales : pâte orangé, surface beige avec de nombreux dégraissants, épaisseur de paroi étonnamment fine pour un mortier. L'autre en revanche est très différent avec une surface brune et un cœur gris, une pâte très cuite avec en face externe de nombreuses stries de tournage.

Le corpus des céramiques communes de mode B comporte une majorité de pot à lèvre épaissie éversée, d'autres avec une gouttière plus ou moins prononcée sur la partie supérieure, des jattes à la lèvre également épaissie éversée. Parmi les formes plus marginales, on compte des pots à lèvre verticale, un pot globulaire sans col terminé par une lèvre plate, un plat à cuire à rebord bombé, des coupes à bandeaux verticaux soulignés par une gorge et enfin l'embouchure tréflée d'une bouilloire.

Un bord de pot en céramique modelée gallo-romaine est également attesté (pâte et surface noires très dégraissées de sable calibré).

Datation : premières décennies du II^e s.

Str. 589

Catégorie	NR	%NR	NMI	%NMI
Sigillée-CG	4	2.3%	3	9.4%
MET-Centre Gaule 1	2	1.1%	0	

Catégorie	NR	%NR	NMI	%NMI
Fine B-TN	19	10.9%	7	21.9%
Mi-fine B	13	7.5%	2	6.3%
Com A	35	20.1%	4	12.5%
Com B	99	56.9%	15	46.9%
Amphore-Régionale	2	1.1%	1	3.1%
Total	174	100%	32	100%

La céramique sigillée est représentée par quatre fragments. Deux appartiennent vraisemblablement à un même vase Drag. 18 du Centre de la Gaule des années 30/70. Deux autres constituent des céramiques de même provenance mais plus tardive : un fond d'assiette et un bord de coupe Drag. 37 des années 140/190. Ce dernier présente une perforation susceptible de recevoir une réparation.

Deux autres fragments de panse de céramique fine correspondent certainement à un gobelet en métallescente de première génération du Centre de la Gaule à savoir du troisième quart du II^e s.

La céramique fine de mode B ne compte qu'un lot de petits fragments résiduels : deux bords de pot M139, deux bords de coupe M96, trois fonds de forme indéterminée et des fragments de panse. D'autres vaisselles appartiennent plutôt à la catégorie des céramiques mi-fines de mode B. Là encore, les fragments de panse sont majoritaires avec seulement pour caractériser le NMI, un bord de coupe à bandeau vertical souligné par une gorge et ainsi que deux fragments de la lèvre d'un pot.

La céramique commune de mode A compte un gros fragment de mortier en pâte orange à rouge vif dégraissée pourvue d'une grosse lèvre à peine détachée de la paroi, strictement identique à une pièce trouvée à Chateaugiron au sein d'un contexte de la fin du II^e s. et du III^e s. (Aubry 2006, tr. 1570), une cruche en pâte blanchâtre (un fond et des fragments d'anse), un bord de cruche en pâte brune à cœur gris et un couvercle en pâte rosée brûlée. Le corpus se compose également de nombreux fragments de panse de forme fermée en pâte beige à rouge, ainsi qu'une panse de pot en pâte rouge dégraissée.

Le corpus de la céramique commune de mode B recèle, en plus d'un lot de panses conséquent, des bords de pot et marmite à lèvre éversée ainsi qu'une coupe à bandeau vertical souligné par une gorge présentant des traces d'utilisation au feu. Un lot de fonds témoigne également de la diversité des modules et des techniques, mais aussi de la fragmentation du lot.

Deux fragments peuvent correspondre à une amphore G.4 du Val de Loire : pâte brune et cœur noir (lèvre et panse).

*Datation : Les éléments les plus récents de ce contexte indiquent un comblement au cours de la **seconde moitié du II^e s.** vraisemblablement le dernier quart. Mais ce lot apparait comme hétérogène avec des pièces de la seconde moitié du I^{er} s. et de la première moitié du II^e s. en grand nombre.*

Str. 590

Catégorie	NR	NMI
Com B	4	0

Quatre fragments de commune de mode B (dont éventuellement de céramique fine de mode B ?)

Datation : I^{er} s.

Str. 591, nettoyage galerie Fanum

Catégorie	NR	%NR	NMI	%NMI
Fine B-TN	5	7.2%	2	22.2%
Com B	12	17.4%	2	22.2%
Com-Bais	52	75.4%	5	55.6%
Total	69	100%	9	100%

Quelques petits fragments de céramique fine de mode B sont attestés. Une

panse de coupe en pâte grise et surtout un bord de coupe M126 en pâte brune et surface noire.

Un lot de céramique commune de mode B en pâte grise ou noire avec des dégraissants de mica est également attesté. Un fond et un bord composé d'une petite lèvre en bourrelet constitue les seuls éléments d'attribution morphologique.

L'ensemble principal se compose de pièces de l'atelier de Bais. De nombreux fragments de panse ainsi que deux jattes de type 3, un bord de pot de stockage de type 1 constituant certainement un des plus petits modules fabriqués par les artisans locaux et des bords de pot proche du type 2.

Datation : probablement début du I^{er} s. ap.

Str. 596

Catégorie	NR	NMI
Com B	1	0

Un fragment de commune de mode B.

Datation : I^{er} s.

Str. 600

Catégorie	NR	%NR	NMI
Mi-fine B	16	38.1%	1
Com B	26	61.9%	3
Total	42	100%	4

Le lot de céramique se compose d'éléments en céramique mi-fine de mode B, des fragments de panse et un fond de gobelet. La céramique commune de mode B est représentée par un fond de pot en pâte grise dégraissée, un lot de bords et de panses d'une grande jatte en pâte grise plutôt fine très cuite dont la lèvre de forme triangulaire est massive comme le sont les pièces de la fin du II^e s. ou du III^e s. D'autres fragments appartenant à cette catégorie sont attestés dont le bord d'un petit pot.

Datation : fin II^e s.- III^e s.

Str. 601

Catégorie	NR	%NR	NMI
Com B	1	20.0%	0
Com B?-	4	80.0%	0
Total	5	100%	0

Fragment de céramique commune de mode B et probablement de petits fragments réoxydés appartenant également à cette catégorie céramique.

Datation : I^{er} s.

Str. 603+604 et 604

Catégorie	NR	%NR	NMI
Fine B-TN	56	87.5%	1
Com B	8	10.9%	0
Com-Bais	1	1.6%	0
Total	65	100%	1

Lot de 56 fragments de céramique fine de mode B en pâte grise et surface gris clair à blanchâtre due au lissage. La forme correspond à la coupe M96. D'autres fragments de cette catégorie présentent des caractéristiques techniques différentes. Ils ne peuvent faire l'objet toutefois d'une attribution typologique.

Présence également d'un petit lot de céramique commune de mode B et d'un fragment de l'atelier de Bais.

Datation : deuxième moitié du I^{er} s.

Str. 611

Catégorie	NR	NMI
Com B	2	0

Deux fragments de céramique commune de mode B précoce : un en pâte orangée à surface grise et l'autre, plus dégraissée, à surface sombre et partie interne rosé.

Datation : 1^{er} s.

Str. 613

Catégorie	NR	NMI
Com BA	1	0

Un fragment de commune de mode A.

Datation : 1^{er} s.

Str. 625, US1

Catégorie	NR	NMI
Com-Bais	3	1

Trois fragments de l'atelier de Bais dont un bord de jatte de type 2b.

Str. 628

Catégorie	NR	NMI
Com-Bais	2	1

Deux petits fragments de l'atelier de Bais dont un de pied.

Str. 629, US1

Catégorie	NR	NMI
Com-Bais	7	1

Lot de fragments de l'atelier de Bais : un fond massif de vase de stockage et des fragments de panse.

Str. 631, US2

Catégorie	NR	%NR	NMI
Com A	6	46.2%	0
Com-Proto	3	23.1%	1
Com-Bais	4	30.8%	1
Total	13	100%	2

Quatre fragments présentant les caractéristiques techniques de l'atelier de Bais notamment un bord de pot ou de jatte. Trois autres fragments de céramique modelée gauloise en pâte noire. Un dernier lot de six fragments correspond à des parois fortement altérées d'un vase tourné indéterminé vraisemblablement en commune de mode A.

Datation : 1^{er} s.

Str. 638, US1

Catégorie	NR	NMI
Fine B-TN	1	0

Un petit fragment de panse d'une forme indéterminée en céramique fine de mode B (terra nigra).

Datation : 1^{er} s.

Str. 639

Catégorie	NR	%NR	NMI	%NMI
Sigillée-CG	3	0.7%	1	2.3%
Sigillée-MLG	2	0.4%	1	2.3%
Fine A-	1	0.2%	0	
Fine B-TN	41	9.2%	6	13.6%
Mi-fine B	22	4.9%	5	11.4%
Com A	89	19.9%	6	13.6%
Com A-eng. blanc	1	0.2%	1	2.3%
Com B	252	56.4%	20	45.5%
Com-Bais	15	3.4%	2	4.5%
Modelée-Gallo-romain	3	0.7%	0	
Amphore-Régionale	17	3.8%	1	2.3%
Amphore-Tarraconaise	1	0.2%	1	2.3%
Total	447	100%	44	100%

La céramique sigillée se compose de productions Millau-La Graufesenque et de Lezoux.

Parmi les premières se trouvent un fond d'assiette probablement Ve. A2 (60/120) et un autre fragment d'assiette indéterminé (40/90). Les secondes sont représentées par deux fragments d'une assiette Drag. 18 des années 30/70 et un fragment de panse d'une coupe Drag. 37 des années 120/140. Un petit fragment de céramique fine de mode A correspond certainement à une paroi fine précoce. L'épaisseur est de l'ordre de 1 mm.

La céramique fine de mode B et se compose d'une majorité de fragments de panse. Les éléments identifiables correspondent à trois coupes M96 et une M110 et une autre M126 ainsi qu'un pot M130.

Un répertoire en céramique mi-fine de mode B est également attesté.

Il se compose de pièces en pâte et surface grises comportant quelques dégraissants, des vaisselles qu'il est parfois bien difficile de distinguer des céramiques fines de mode B. D'un point de vue général, elles constituent un prolongement de la terra nigra au cours de la seconde moitié du I^{er} s. et la première moitié du II^e s. reprenant le répertoire le plus tardif de ces dernières mais aussi proposant d'autres formes inspirées bien souvent du répertoire de la céramique sigillée.

Dans le cas présent, les pièces identifiables sont une coupe M118 archéologiquement complète, deux pots globulaires M146 ainsi que deux coupes M96 dont une de faible diamètre.

Le lot de céramique commune de mode A est riche de dizaine de fragments de panse de cruche en pâte beige à orangé. Peu d'élément permet de caractériser les formes : un fond au pied haut correspondant à une production précoce, une anse à cinq lobes, très haute (13 cm) et plate qui constitue une production de la première moitié du I^{er} s. Parmi les autres éléments figurent une collerette de coupe et trois fonds de mortier en pâte blanchâtre très dégraissée et en pâte orangée à paroi relativement fine. Un petit fragment de bord en pâte fine engobée blanc est très proche de la forme augustéenne Ch. 3402.

Le corpus de la céramique commune de mode B est relativement homogène et témoigne à l'image des lots de la grande fosse 519 de la présence d'un ensemble de mobilier principalement de la seconde moitié du I^{er} s. et des premières décennies du II^e s. Les pots à lèvre éversée dominent le répertoire avec des pièces de différents formats principalement en pâte grise. Quelques jattes sont également attestées ainsi qu'un ensemble de coupes à bandeau vertical souligné par une ou deux gorges suivant les cas. Quelques fragments appartiennent à des communes de mode B gallo-romaines précoces en pâte très micacée.

Un fragment correspond à une céramique non tournée gallo-romaine.

Le lot des amphores se compose principalement de productions régionales : des fragments et une anse plate massive en pâte brune à cœur gris et un autre lot en pâte orangée dégraissée composé uniquement de fragments de panse. La seule amphore du commerce à longue distance est un fragment

d'anse de Pasc. 1 de Tarraconaise.

Un petit lot correspond à des pièces de l'atelier de Bais : un fond de pot et un bord de type type 2b associés à de nombreux fragments sans caractérisation.

Datation : le TPQ est donné par la présence d'une sigillée du Centre de la Gaule des années 120/140. Mais comme cela est le cas pour d'autres contextes du site, les données chronologiques que l'on peut recueillir auprès des autres mobiliers montrent clairement que l'on est en présence d'un lot de céramique majoritairement fabriquée et utilisée au cours de la deuxième moitié du I^{er} s. et le début du II^e s.

Str. 642, US1

Catégorie	NR	NMI
Com-Bais	5	1

Présence d'une jatte de type 2, archéologiquement complète, de l'atelier de Bais.

Str. 644

Catégorie	NR	NMI
Com B	24	2

Lot de céramique commune de mode B : deux pots en pâte grise dégraissée peu cuite à lèvre éversée et des fragments d'un autre pot en céramique grise très cuite.

Datation : deuxième moitié du I^{er} s. – première moitié du II^e s.

Str. 645

Catégorie	NR	%NR	NMI	%NMI
Fine B-TN	8	4.9%	1	3.8%
Com A	6	3.7%	1	3.8%
Com B	149	91.4%	24	92.3%
Total	163	100%	26	100%

Présence d'un petit lot de céramique fine de mode B composé essentiellement de panses de forme indéterminée et d'un bord de coupe M96.

La céramique commune de mode A compte des fragments partiellement altérés par le feu d'une grande cruche représentée par des portions de panses et d'anses ainsi qu'un petit fragment en pâte orangée.

La céramique commune de mode B comporte des fragments aux caractéristiques techniques très diverses. Les bords correspondent à des pots à lèvre éversée, mais aussi un pot en pâte grise très cuite à lèvre triangulaire ainsi qu'un autre à lèvre en gouttière. La partie haute d'un petit gobelet en pâte colorée et surface grise est également attesté, ainsi que des bords de plusieurs jattes et une marmite carénée en pâte grise dont la lèvre est soulignée dans la partie supérieure par d'un petit ressaut. Une coupe archéologiquement complète présente un bandeau supérieur vertical souligné d'une gorge, des formes caractéristiques du vaisselier de la fin du I^{er} s. et de la première moitié du II^e s. D'autres fonds de coupe sans bord associé sont également présents.

Datation : ce lot apparaît relativement hétérogène avec des pièces du I^{er} s. et d'autres manifestation du II^e s., mais sans présence de fragments de l'ateliers précoc. Le TPQ peut vraisemblablement être situé au cours de la première moitié du II^e s.

Str. 646

Catégorie	NR	NMI
Com B	20	1

Lot de céramique commune de mode B. Le seul vase dont le bord est conservé correspond à un pot à la paroi très fine et petite lèvre éversée. Les caractéristiques techniques des fragments sont très diverses : pâte colorée ou grise avec surface grise à noire plus ou moins cuite.

Datation : deuxième moitié I^{er}-II^e s.

Str. 647

Catégorie	NR	%NR	NMI
Com A	7	36.8%	2
Com B	3	15.8%	0
Com-Proto?	7	36.8%	1
Com-indét.	2	10.5%	0
Total	19	100%	3

Ensemble de fragments de petites tailles n'autorisant guère, bien souvent, d'attributions fiables.

Le lot de céramique commune de mode A se compose de fragments en pâte blanchâtre parfois altérés par le feu dont un pied et un bord de mortier en pâte orangée à cœur gris dégraissée de nombreux minéraux. Il est probable qu'il s'agisse d'une production locale.

Trois fragments d'un pot en pâte grise très cuite sont également attestés et d'autres fragments correspondent peut-être à des productions de l'atelier de précoce mais sans certitude.

Datation : deuxième moitié I^{er}-II^e s.

Str. 648**Str. 648, sd. 156, US3**

Catégorie	NR	NMI
Com A	2	1

Fond d'un pot en céramique fine de mode A (pâte brun clair, cœur gris, avec très peu de dégraissants visibles). Il est probable qu'elle devait être recouverte d'un engobe micacé.

Str. 648, entre sd. 156 et 157, US4

Catégorie	NR	NMI
Com-Bais	4	1

Présence de fragments d'un vase de l'atelier de Bais.

Str. 648, entre sd. 161 et 163, US4

Catégorie	NR	%NR	NMI
Fine B-TN	1	7.1%	0
Com B	13	92.9%	3
Total	14	100%	3

Présence d'un fragment de céramique fine de mode B (terra nigra) précoce correspondant certainement à la partie haute d'une coupe carénée M96. Les autres vases du corpus présentent des caractéristiques techniques et des formes du répertoire précoce gallo-romain. Il s'agit de jattes à lèvre plus ou

moins épaissie éversée dont la pâte comporte dans deux cas un dégraissant sableux abondant et calibré et dans l'autre cas une plus grande variété de dégraissants dont des micas en abondance.

L'une de ces jattes a de très fortes affinités morphologique et technique avec d'autres fragments présents dans le fossé str. 565, sd. 57.

Synthèse sur le fossé Str. 648

Le corpus des céramiques présentes dans le comblement du fossé est relativement modeste. Toutefois toutes les pièces susceptibles de faire l'objet d'une caractérisation chronologique semblent être caractéristique des mobiliers en usage au cours des premières décennies du I^{er} s.

Str. 651, sd. 160

Catégorie	NR	%NR	NMI
Fine B-TN	1	8.3%	0
Com B	11	91.7%	2
Total	12	100%	2

Un fragment de céramique fine de mode B sans caractérisation de forme.

Un lot de commune de mode B, principalement des pâtes grises très cuites dont un bord de coupe à bandeau vertical souligné d'une gorge et une petite lèvre en gouttière vraisemblablement d'un pot cylindrique.

Datation : deuxième moitié du I^{er} s.

St. 652, sd. 213

Catégorie	NR	%NR	NMI	%NMI
Fine B-TN	3	1.5%	1	9.1%
Mi-fine B	1	0.5%	0	
Com A	80	40.6%	3	27.3%
Com B	113	57.4%	7	63.6%
Total	197	100%	11	100%

Trois fragments de céramique fine de mode B aux caractéristiques fortement altérées correspondant à une coupe carénée M96 ainsi qu'un petit fragment de panse de céramique mi-fine de mode B.

Le lot des céramiques communes de mode A comporte de nombreux tessons et, une fois n'est pas coutume, trois embouchures conservées. L'une, proche du type Ch. 3408, présente un poissage en interne, une autre en poulie et une dernière avec une lèvre en bourrelet similaire à celle des amphores G.4. Deux fonds dont un massif et une anse trifide accompagnent cette série. Les pâtes sont orangées à cœur et beiges en surface ou blanc beige homogène. La céramique commune de mode B compte de très nombreux fragments mais peu susceptibles de caractériser des formes. On compte un pot à lèvre oblique de faible diamètre, un autre de plus grandes dimensions à lèvre épaissie éversée et ainsi qu'un bord de marmite à lèvre en gouttière. Cinq fonds complètent ce lot. Comme cela est le cas de la plupart des contextes du site, les céramiques communes de mode B appartiennent à deux groupes de pâte : les grises très cuites avec peu de dégraissants et les brunes à noires, très dégraissées, cuites à basse température.

Mentionnons la présence d'un fragment de tuile taillée, de forme plus ou moins circulaire (6x5cm).

Datation : Deuxième moitié du I^{er} s.

Str. 652, sd. 213, US4

Catégorie	NR	NMI
Com A	80	0

Nombreux éléments d'une cruche en commune de mode A : un fond et des fragments de la panse et du col avec départ d'anse. L'embouchure fait

défaut. La pâte est beige clair.

Datation : I^{er} s.

St. 652, sd 213, US5

Catégorie	NR	NMI
Com B	10	2

Lot de céramique commune de mode B dont un fond massif qui recolle avec des fragments du sd. 213, un bord de pot ainsi qu'un probable fond de marmite en pâte grise très cuite.

Datation : Deuxième moitié du I^{er} s.

Str. 653

St. 653, sd. 223

Catégorie	NR	%NR	NMI
Fine B-TN	13	38.2%	2
Com B	21	61.8%	2
Total	34	100%	4

Des fragments de céramique fine de mode B correspondent à la présence de deux formes M96 en pâte gris clair et surface gris foncé.

La céramique commune de mode B est représentée par deux fonds de pot en pâte grise et des fragments de panse.

Str. 653, alvéole 1a, sd. 224

Catégorie	NR	NMI
Com-Bais?	4	1

Céramique surcuite de période indéterminée (atelier de Bais ?).

Fig.1

St. 653, sd. 224, fosse polylobée, alvéole 1B

Catégorie	NR	NMI
Com B	7	1

Lot de céramique commune de mode B : une coupe identique à la forme M55 dont la pâte est grise très cuite, complétée de deux fragments de panse sans caractérisation de forme.

St. 653, sd. 225

Catégorie	NR	NMI
Com A	1	1

Un fragment avec une très faible portion de l'assise d'une forme fermée de grande taille en céramique commune de mode A. Pâte rouge orangé, dégraissée.

Synthèse sur le fossé str. 653.

*Les rares mobiliers datants des différents sondages permettent de situer le comblement de la structure au cours de la **deuxième moitié du I^{er} s.***

Str. 819

Catégorie	NR	NMI
Com B	2	1

Partie basse d'un entonnoir en commune de mode B

Datation : I^{er} s.

Str. 5045, sond. 501

Catégorie	NR	%NR	NMI
Fine B-TN	1	1.5%	0
Com A	19	27.9%	1
Com B	15	22.1%	1
Com-Bais	24	35.3%	0
Modelée-	5	7.4%	1
Amphore-Tarraconaise	4	5.9%	0
Total	68	100%	3

Fragment d'une coupe M96 en céramique fine de mode B. La pâte est gris clair à surface gris foncé. Seul un fragment de la panse au niveau de la carène est conservé. Le lot des céramiques communes de mode A comporte essentiellement des fragments de panse. Ainsi qu'un fond vraisemblablement de gobelet. Les pâtes sont bien orangées sans dégraissant visible à l'œil nu. La céramique commune de mode B est représentée par le fond d'un vase en pâte sombre très dégraissée notamment de mica, des éléments de panse d'un vase en pâte grise plutôt fine et un bord de pot surcuit dont l'ouverture est déformée. Quelques fragments d'un pot en céramique modelée sont également attestés. La pâte est proche de celles des ateliers sans être équivalente. Il présente une forme plutôt cylindrique sans rupture de courbe et sans lèvre. Une vingtaine de fragments de panse peut être rattachée à l'atelier de Bais.

Quatre fragments d'amphore de Tarraconaise en pâte blanchâtre complète ce lot de céramique domestique.

*Datation : La pièce la plus récente de cet ensemble est incontestablement la pièce surcuite issue des ateliers locaux de la fin du I^{er} s. et des premières décennies du II^e s. La forme en céramique fine de mode B ainsi que la majorité des autres communes ne contredisent pas cette proposition. Seul le lot de l'atelier de Bais est franchement résiduel. Donc, **Fin I^{er} s. – début du II^e s.***

5048 (iso 2016)

Catégorie	NR	NMI
Com-Bais?	3	0

Fragments de céramique atypique. Un fond de coupe en pâte dense, très cuite, correspond peut-être à une production de l'atelier de Bais. Deux autres fragments ne sont pas caractérisables.

5066 (iso 2019)

Catégorie	NR	NMI
Com-Bais	13	2

Deux vases de l'atelier de Bais : une jatte type 2 en pâte orangée et surface marron bien cuite et une lèvre de coupe de type 2 aux caractéristiques similaires.

5085, sd. 602, US1

Catégorie	NR	NMI
Com-Bais	17	0
Amphore	3	1
Total	20	1

Quelques fragments d'une amphore Pasc. 1 de Tarraconaise en pâte blanchâtre typique des productions les plus anciennes.

Fragments en pâte claire d'un vase de l'atelier de Bais sans caractérisation

de forme.

5103, US1

Catégorie	NR	NMI
Com B	1	0

Fragment de céramique commune de mode B en pâte locale.

Str. 5157

Str. 5157, sans mention

Une amphore de Tarraconaise est présente au sein de plusieurs des référents archéologiques de la structure : US₂ et 3 ; ø/-40 cm ; -40 cm/fond. Elle constitue l'illustration la plus pertinente de la cohérence du comblement de cette fosse.

Str. 5157, Surface

Catégorie	NR	NMI
Modelée-	2	0
Modelée-Gallo-romain	1	1
Total	3	1

Deux fragments d'une céramique modelée en connexion avec d'autres fragments du contexte ø/-40 cm. Un fragment de fond d'un pot en céramique modelée gallo-romaine (pâte noire, très dégraissée).

Str. 5157, US1

Catégorie	NR	%NR	NMI
Com B	2	50.0%	1
Com-Bais	1	25.0%	0
Modelée-	1	25.0%	0
Total	4	100%	1

Deux fragments de commune de mode B. Un en pâte grise appartient à un vase tourné gallo-romain. L'autre correspond à une forme archéologiquement complète : une petite coupe en S dont la pâte est similaire à d'autres productions précoce (Fig. 577, n°12). Une forme très proche figure dans l'ensemble 2 de Corseul de la période augustéenne (Ferrette 2003, pl. 7, n°49).

D'autres fragments correspondent à une production non tournée indéterminée et à un récipient de grand format de l'atelier de Bais en pâte brune.

Str. 5157, US2

Catégorie	NR	%NR	NMI
Fine B-TN	1	10.0%	1
Com A	4	40.0%	1
Com B	4	40.0%	0
Com-Bais	1	10.0%	0
Total	10	100%	2

La céramique fine de mode B est représentée par une assiette M8 dont le profil est presque complet. La pâte est gris clair et la surface gris foncé

ardoisée (Fig. 577, n°1).

La céramique commune de mode A compte un fond et un bord de cruche en pâte blanchâtre à cœur rose pour le premier (Fig. 577, n°8). La lèvre moulurée correspond au type Ch. 3404 attesté au cours de la première moitié du I^{er} s. De petits fragments de panse de céramique commune de mode B figurent également dans cet ensemble. Les pâtes sont grises, plutôt fines, micacées. Un dernier fragment correspond certainement à une portion d'un grand vase de forme indéterminée de l'atelier de Bais.

Str. 5157, US2 et 3

Catégorie	NR	%NR	NMI
Fine B-TN	3	8.3%	2
Com A	2	5.6%	0
Com B	19	52.8%	2
Com-Bais	1	2.8%	0
Modelée-	8	22.2%	1
Amphore-Tarraconaise	3	8.3%	0
Total	36	100%	5

La céramique fine de mode B est représentée par la partie haute d'un calice en pâte et surface grises micacées (Fig. 577, n°5) dont la forme trouve une correspondance dans l'ensemble 1 de Corseul (Ferrette 2003, p. 42), ainsi que la partie supérieure d'un vase bobine vraisemblablement dans les variantes « ab », c'est à dire apode, si l'on tient compte des particularités de la lèvre (Fig. 577, n°3). La pâte est brune et la surface grise.

Un pot en céramique commune de mode A à revêtement micacé correspond à l'évolution en céramique tournée des vases Besançon (lèvre à double sillons). Le vase en pâte brune présente des traces de feu (Fig. 577, n°10). De manière surprenante un fragment de quartz de 0,9x0,7 cm est inclus dans la pâte au niveau de la lèvre. Deux autres fragments de commune de mode A en pâte blanchâtre à paroi fine correspondent à des éléments de cruche.

La céramique commune de mode B comporte trois pots à lèvre éversée (Fig. 577, n°13 ; Fig. 577, n°1 et n°3). L'un est en pâte sombre très dégraissée notamment de mica comme le sont les céramiques modelées. Les traces de tournage interne et externe mais aussi celles présentes sur le pied ne laisse aucun doute toutefois sur le mode de fabrication (Fig. 577, n°13). L'autre vase est bien différent. La pâte est orangée à cœur gris avec une surface grise. Si la partie externe est clairement régularisée au tour, la partie interne ne l'a pas été (Fig. 578, n°1).

Un petit lot de céramique modelée figure également au sein de cet ensemble. Certaines sont en pâte dégraissée micacée, d'autres plutôt fines comme le sont les céramiques modelées de la plupart des contextes de la fosse. Aucun bord ou fond n'est attesté.

Un petit fragment de panse présente les caractéristiques techniques les plus typiques des ateliers précoces de Bais.

Quelques fragments de l'amphore Pasc. 1 figurent également dans ce contexte dont une portion de la panse au niveau de la jonction avec le col qui comporte le départ de l'anse.

Str. 5157, US6

Catégorie	NR	%NR	NMI	%NMI
Fine B-TN	3	7.7%	1	10.0%
Com A	1	2.6%	0	
Com B	1	2.6%	0	
Modelée-	22	56.4%	7	70.0%
Modelée-Gallo-romain	6	15.4%	2	20.0%
Amphore-Tarraconaise	6	15.4%	0	x
Total	39	100%	10	100%

La céramique fine de mode B est représentée par un bord de forme ouverte M37 (Fig. 577, n°2) en pâte gris clair à surface ardoisée, ainsi que deux

fragments appartenant des individus recensés par ailleurs : M128 et Quimp. 165 de l'US7.

Un petit fragment de commune de mode A appartient lui aussi à un récipient recensé au sein d'une autre US en l'occurrence la cruche Ch. 3404 de l'US2.

Parmi le reste de la céramique, seul un fragment de panse correspond à une céramique tournée en commune de mode B. La pâte est grise très micacée. Le lot des céramiques modelées se compose de plusieurs fragments d'une jatte relativement massive en pâte gallo-romaine : couleur sombre très dégraissée et très cuite (Fig. 579, n°1), et de la partie haute d'un pot aux caractéristiques techniques identiques (Fig. 579, n°3).

D'autres pièces sont représentées par des bords. Certaines ont une surface parfaitement lissée et des pâtes plutôt fines : une coupe à lèvres éversées (Fig. 578, n°8), deux bords de pot et une petite coupe associée à un couvercle (Fig. 579, n°4). Ces derniers présentent des portions graffitées. D'autres fragments correspondent à des lèvres de pot dont au moins un présente les caractéristiques techniques les plus typiques des productions de l'atelier de Bais (Fig. 578, n°9). De nombreux fragments de panse figurent également au sein de cet ensemble.

Six fragments de l'amphore Pasc. 1 de Tarraconaise sont également attestés au sein de ce contexte.

Str. 5157, US7

Catégorie	NR	%NR	NMI	%NMI
Fine B-TN	2	3.5%	1	14.3%
Fine B-prototn	10	17.5%	1	14.3%
Com A	39	68.4%	2	28.6%
Com-Bais	3	5.3%	0	
Modelée-Besançon	1	1.8%	1	14.3%
Modelée-Gallo-romain	2	3.5%	2	28.6%
Total	57	100%	7	100%

Présence d'une céramique fine de mode B (proto terra nigra) dont la forme est celle d'une coupe à panse concave et col convexe de type Quimp. 165 (Fig. 577, n°7). La pâte est gris ardoisé et la surface noire lissée. Un fragment de la partie haute d'un calice M128 est également attesté (Fig. 577, n°6). La pâte est grise avec des franges orangées et la surface noire. Un fragment de panse correspond certainement à une céramique de cette catégorie réoxydée. La céramique commune de mode A compte deux individus. Il s'agit de pots en pâte orangée, l'un dépourvu de dégraissant alors que l'autre en comporte, dont la forme est similaire : pot à paroi très peu épaisse et lèvres éversées parcourue par un sillon sur la partie supérieure (Fig. 577, n°9 et n°11). Cette forme est fréquemment associée à des productions à engobe micacé précoce comme à Corseul par exemple (Ferrette 2003 : ens. 1, pl. 3, n°51-54 ; ens. 2, pl. 6, n°36-39).

Le reste du lot se compose de céramique non tournée. Trois fragments sans caractérisation de forme correspondent à des productions de l'atelier de Bais. Deux autres fragments présentent des pâtes sombres, très dégraissées et cuites : un fond de pot et un bord d'une jatte à lèvres oblique (Fig. 578, n°10). Un dernier fragment correspond à une production dite Besançon en pâte micacée, parcourue sur la partie sommitale par deux sillons (Fig. 578, n°5).

Str. 5157, 0/-30 cm

Catégorie	NR	%NR	NMI
Fine B-TN	4	19.0%	0
Com B	1	4.8%	1
Com-Bais	1	4.8%	1
Com-Bais?	1	4.8%	1
Modelée-	10	47.6%	0
Modelée-Gallo-romain	3	14.3%	1

Amphore-Tarraconaise	1	4.8%	0
Total	21	100%	4

Lot composé de quatre fragments de céramique fine de mode B sans caractérisation de forme. Il est possible que deux des fragments appartiennent à un fond ombiliqué de vase bobine, mais les éléments manquent pour l'affirmer.

Présence de la lèvre d'un gobelet à la paroi fine en céramique commune de mode B. La pâte est dégraissée comme le sont les productions précoces. Le reste du lot consiste en céramique modelée. Deux récipients ont des caractéristiques techniques apparentées aux productions de l'atelier de Bais : une jatte (**Fig. 578, n°4**) et un large bord d'un grand récipient de forme indéterminé (**Fig. 578, n°7**). Un autre pot à la paroi épaisse dont la forme est très proche des céramiques modelées gallo-romaines (**Fig. 579, n°2**). Ces caractéristiques techniques diffèrent quelques peu toutefois des plus classiques d'entre elles. D'autres fragments de céramique modelée sont attestés dont des pots en pâte relativement fine à surface lissée (**Fig. 579, n°5**) et des fragments de panse.

Un fragment de l'amphore de Tarraconaise présente dans de nombreux contextes de la fosse figure également au sein de cet ensemble.

Str. 5157, 0/-40 cm

Catégorie	NR	%NR	NMI
Fine B-TN	1	4.0%	1
Com B	2	8.0%	0
Modelée-	14	56.0%	3
Modelée-Gallo-romain	1	4.0%	1
Amphore-Italique	1	4.0%	0
Amphore-Tarraconaise	6	24.0%	0
Total	25	100%	5

Présence d'un fond de coupe en céramique fine de mode B (probablement une forme M96 ; **Fig. 579, n°4**).

Un petit fragment de panse appartient certainement à une céramique commune de mode B

Le reste du corpus se compose de céramiques modelées. Le groupe des pâtes noires très dégraissées notamment de mica, correspondant aux productions gallo-romaines est représenté par des fragments de panse, un fond massif et une grosse lèvre éversée appartenant à un récipient de grandes tailles (**Fig. 578 n°6**). Les céramiques peu dégraissée à surface lissée sont représentées par une jatte en esse (**Fig. 578, n°11**) et un pot à col oblique sans lèvre (**Fig. 579, n°6**).

La série des amphores compte des fragments de panse de l'amphore Pasc. 1 présente dans de nombreux autres contextes de la fosse ainsi qu'une panse de conteneur italique.

Str. 5157, -40 cm / fond

Catégorie	NR	%NR	NMI
Com A	1	5.3%	0
Com B	2	10.5%	0
Com-Bais?	1	5.3%	1
Modelée-Gallo-romain	1	5.3%	1
Modelée-Proto?	8	42.1%	0
Amphore-Tarraconaise	6	31.6%	0
Total	19	100%	2

Présence d'un petit fragment de commune de mode A en pâte orangée à la paroi particulièrement fine.

Les céramiques cuites en mode B sont représentées par un pot tourné en pâte noire très micacée (**Fig. 578, n°2**), un petit pot en céramique modelée en pâte gallo-romaine très dégraissée et très cuite (**Fig. 579, n°7**), un fond de céramique modelée présentant des caractéristiques proches de celles des

pièces de l'ateliers précoce et une série de fragments de panse également de céramique modelée, vraisemblablement de période gauloise.

Des fragments de l'amphore Pasc. 1 de Tarraconaise attestée au sein de plusieurs lots de la fosse complètent cet ensemble (six fragments de panse dont un au niveau de la carène ; Fig. 579, n°9).

Synthèse chronologique sur la fosse Str. 5157

Les céramiques fines se composent exclusivement de vaisselles cuites en mode B. On compte une production de « proto-terra nigra » précoce dont la forme se rencontre au sein de lots des dernières décennies avant J.-C. et d'un répertoire pour l'essentiel des premières décennies du I^{er} s. : M125, M126, M8, M37, M128.

Les céramiques communes de mode A sont peu nombreuses : représentées par une cruche à lèvre moulurée ainsi qu'une forme formée à revêtement micacé dont la présence au sein d'ensembles précoces est courant.

Que ce soit pour les céramiques modelées ou tournées cuites en mode B, les caractéristiques permettent de distinguer quatre grands groupes.

1. Les pâtes noires très dégraissées, notamment de mica, qui constituent des productions de la période gallo-romaine précoce. Le répertoire comporte essentiellement des pots à lèvre éversée de forme identique ;
2. les pâtes peu cuites, peu dégraissées, à la surface lissée, dont les formes correspondent plutôt à des productions de la fin de la Tène ou dans la tradition de celle-ci ;
3. Les productions de l'atelier de Bais qui sont relativement marginales au sein de ces lots ;
4. Les vases importées de type Besançon, en céramique modelée, représentés en l'occurrence par un unique exemplaire.

Quant aux datations assignées aux amphores, elles ne contredisent en rien les données des mobiliers précédents puisque cinq « référents » archéologiques livrent des fragments d'une même amphore Pasc. 1 de la fin du I^{er} s. av. et des décennies suivantes ainsi qu'un fragment d'italique vraisemblablement Dr. 1.

Ce contexte homogène doit donc être situé à la fin du I^{er} s. av. et au cours des premières décennies du I^{er} s. ap.

US	Compl. US	Catégorie	Info. céramo.	Réf. Typo.	Forme	NR	NMI
07		Fine B	TN	M128	Calice	1	1
07		Fine B	proto TN	Quimp. 165	Coupe	10	1
07		Fine B	TN		IND	1	0
06		Fine B	TN	Quimp. 165	Coupe	1	0
06		Fine B	TN	M128	Calice	1	0
06		Fine B	TN	M037	Assiette	1	1
02		Fine B	TN	M008	Assiette	1	1
	0/-30 cm	Fine B	TN		IND	4	0
	0/-40 cm	Fine B	TN	M096?	Coupe	1	1
2+3		Fine B	TN	M125	Coupe	2	1
2+3		Fine B	TN	M126	Coupe	1	1
07		Com A			Pot	9	1
07		Com A			Pot	30	1
	-40 cm/ fond	Com A			IND	1	0
06		Com A			IND	1	0
02		Com A		Ch. 3404	Cruche	4	1
2+3		Com A				2	0
	-40 cm/ fond	Com B			Pot	2	0
06		Com B			Pot	1	0
02		Com B			IND	4	0
01		Com B			Coupe	1	1
01		Com B			IND	1	0
	0/-30 cm	Com B			Gobelet	1	1
	0/-40 cm	Com B			IND	2	0
2+3		Com B			Pot	2	0
2+3		Com B			Pot	13	1
2+3		Com B			Pot	1	1

US	Compl. US	Catégorie	Info. céramo.	Réf. Typo.	Forme	NR	NMI
2+3		Com B			IND	3	0
07		Com	Atelier Bais		IND	3	0
	-40 cm/ fond	Com	Atelier Bais?		Pot	1	1
02		Com	Atelier Bais		IND	1	0
01		Com	Atelier Bais		IND	1	0
	0/-30 cm	Com	Atelier Bais	T03	Jatte	1	1
	0/-30 cm	Com	Atelier Bais?		Jatte	1	1
2+3		Com	Atelier Bais			1	0
07		Modelée	Besançon		Pot	1	1
07		Modelée	Gallo-romaine		Jatte	1	1
07		Modelée	Gallo-romaine		Pot	1	1
	-40 cm/ fond	Modelée	Gallo-romaine		Pot	1	1
	-40 cm/ fond	Modelée	Proto?		IND	8	0
06		Modelée	Gallo-romaine		Jatte	5	1
06		Modelée	Gallo-romaine		Pot	1	1
06		Modelée			Coupe	1	1
06		Modelée			Couvercle	1	1
06		Modelée			Coupe	1	1
06		Modelée			IND	1	1
06		Modelée			Pot	2	2
06		Modelée			IND	16	1
01		Modelée			IND	1	0
	0/-30 cm	Modelée	Gallo-romaine		Pot	3	1
	0/-30 cm	Modelée			IND	10	0
	surf	Modelée	Gallo-romaine		Pot	1	1
	surf	Modelée			Jatte	2	0
	0/-40 cm	Modelée	Gallo-romaine		Jatte	1	1
	0/-40 cm	Modelée			IND	6	1
	0/-40 cm	Modelée			Pot	1	1
	0/-40 cm	Modelée			Jatte	7	1
2+3		Modelée			IND	8	1
	-40 cm/ fond	Amphore	Tarraconaise	Pasc. 1	Amphore	6	0
06		Amphore	Tarraconaise	Pasc. 1	Amphore	6	0
	0/-30 cm	Amphore	Tarraconaise	Pasc. 1	Amphore	1	0
	0/-40 cm	Amphore	Tarraconaise	Pasc. 1	Amphore	6	0
	0/-40 cm	Amphore	Italique		Amphore	1	0
2+3		Amphore	Tarraconaise	Pasc. 1	Amphore	3	0

Fig. 562 : inventaire détaillé des céramiques de la str. 5157 © R. Delage

Str. 5166, sd. 641

Catégorie	NR	NMI
Com-Bais	2	0

Fragment de vase de l'atelier de Bais. La surface externe parcourue de bourrelets est parfaitement lissée. La surface interne en revanche n'a subi aucun traitement avec de nombreux dégraissants visibles. Bien que le fond et le bord manquent l'orientation de la portion conservée indique clairement qu'on se trouve en présence d'une forme fermée (type 100).

Str. 5167/5515, sd. 635

Catégorie	NR	NMI	NMIp
Com-Bais	5	1	1

Partie haute d'une coupe de type 2b de l'atelier de Bais de petit format.

Str. 5238, sd. 691

Catégorie	NR	NMI	NMIp
Com A	19	1	1

Fragment de la partie supérieure d'une cruche Ch. 3417 en pâte orangée à surface beige.

Datation : deuxième moitié du II^e s. – déb. du III^e s.

Str. 5363 (iso 2086)

Catégorie	NR	NMI
Fine B-TN	1	1
Com A	1	0
Com-Bais	2	0
Total	4	1

Présence d'une assiette en céramique fine de mode B de type M22. La pâte est gris clair et la surface gris foncé. Des bandes lissées sont présentes sur la panse externe à intervalles réguliers (1,4 cm environ). Un fragment de forme fermée en commune de mode A est également attesté ainsi que deux éléments présentant les caractéristiques de l'atelier de Bais. Un fragment de pot utilisé (partie interne noire à résidus) et portion d'un grand récipient.

Datation : premières décennies du I^{er} s.

Str. 5272

Catégorie	NR	%NR	NMI
Com B-	3	4.8%	1
Com-Bais	51	45.1%	4
Total	54	100	5

Présence de quelques fragments de céramique commune de mode B et d'une majorité de fragments de l'atelier de Bais.

Datation : I^{er} s.

Str. 5374

Catégorie	NR	%NR	NMI
Fine B-TN	16	25.8%	1
Com A	15	24.2%	1
Com B-	3	4.8%	1
Com-Bais	28	45.1%	6
Total	62	100	9

Le lot comporte une majorité de vases de l'atelier de Bais notamment des formes de type 2, 13 et potentiellement de type 8. La céramique gallo-romaine se compose de nombreux éléments d'une coupe M96, de fragments de commune de mode A appartenant à deux individus (une petite cruche en pâte blanchâtre et un fond en pâte orangée de conteneur de grande taille) ainsi que quelques fragments de commune de mode B.

Datation : I^{er} s.

Str. 5376

Catégorie	NR	NMI
Com-Bais	12	0

Éléments sans caractérisation de forme de céramiques de l'atelier de Bais.

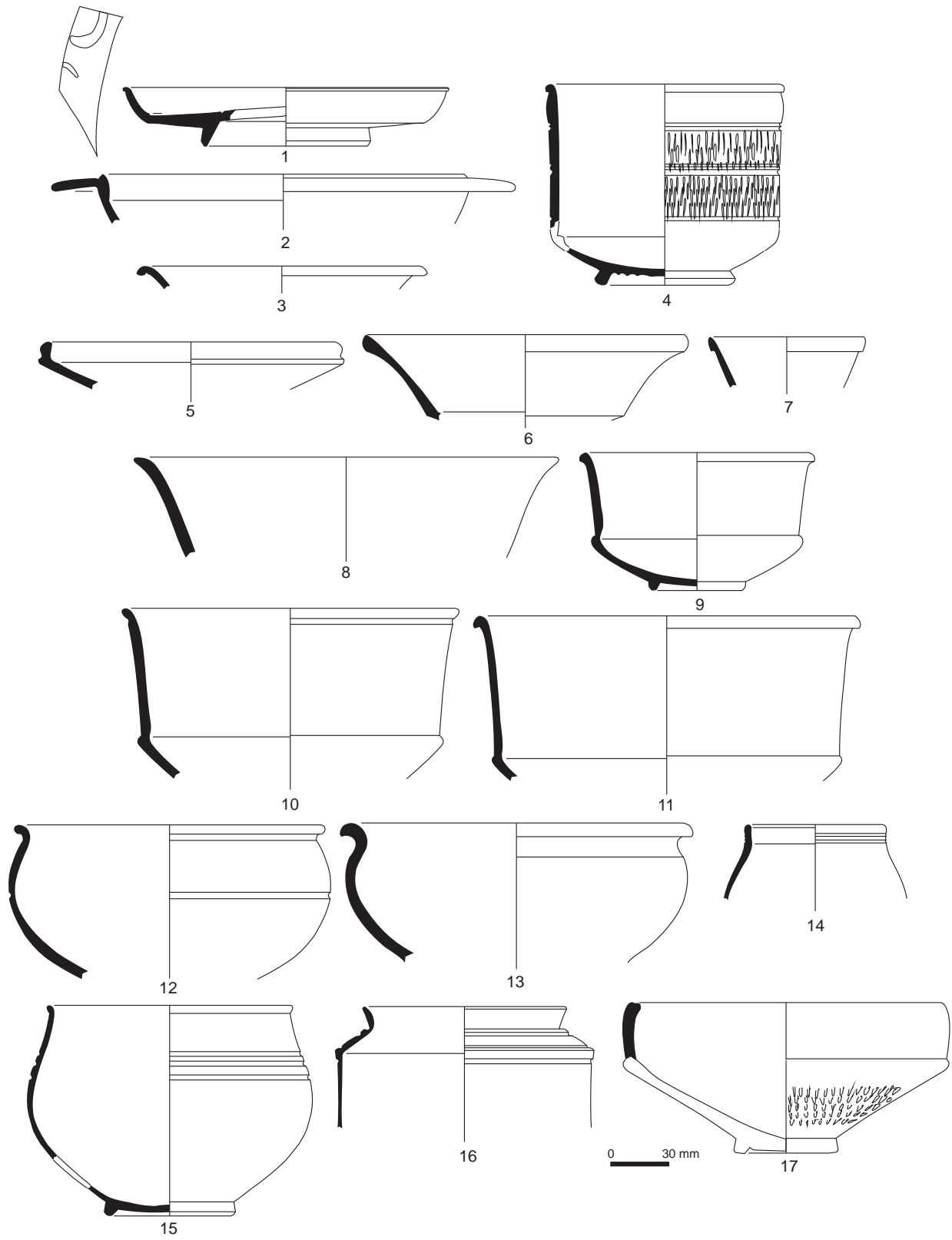


Fig. 563 : céramiques gallo-romaines de la str. 442 © R. Delage

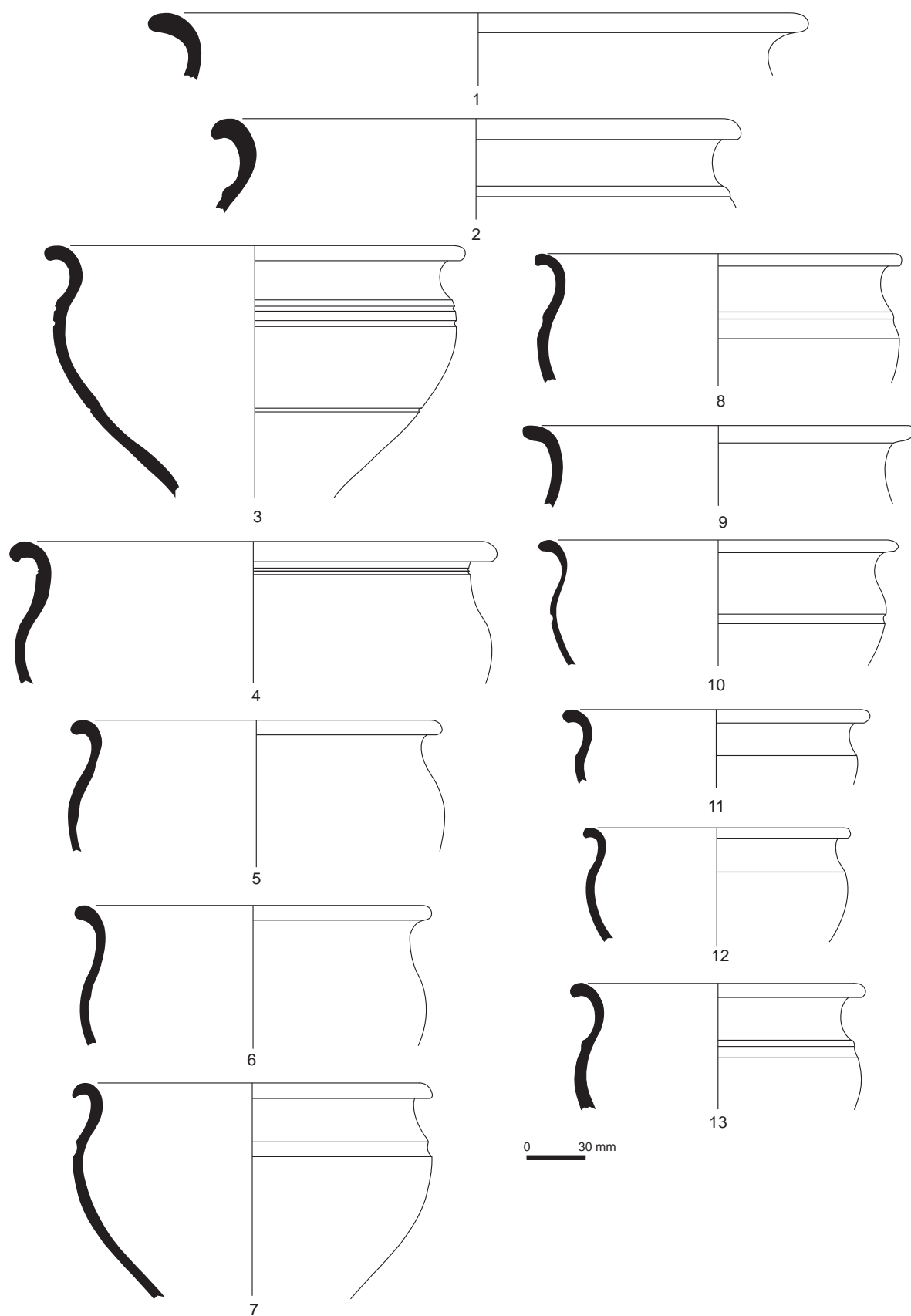


Fig. 564 : céramiques gallo-romaines de la str. 442 © R. Delage

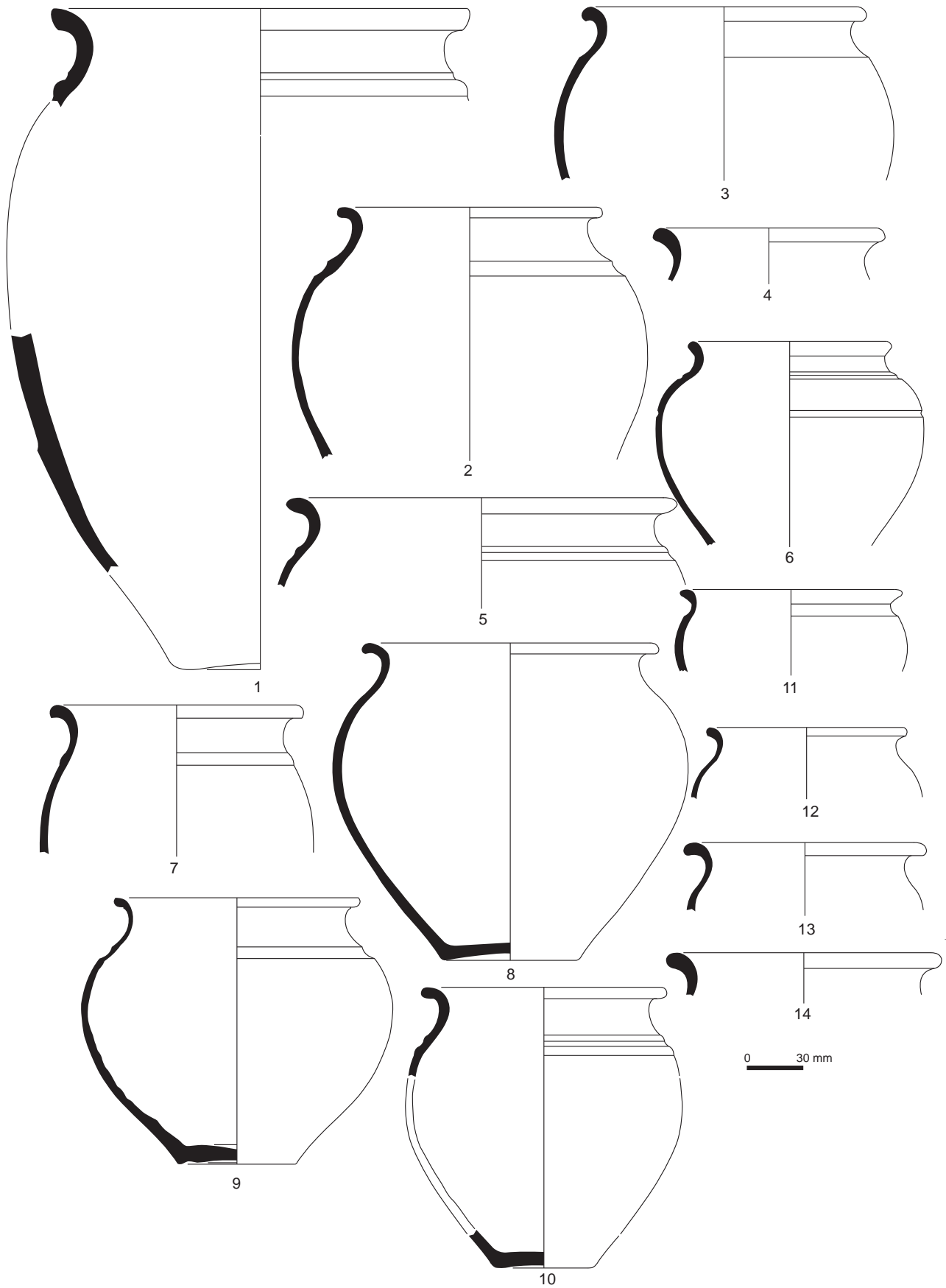


Fig. 565 : céramiques gallo-romaines de la str. 442 © R. Delage

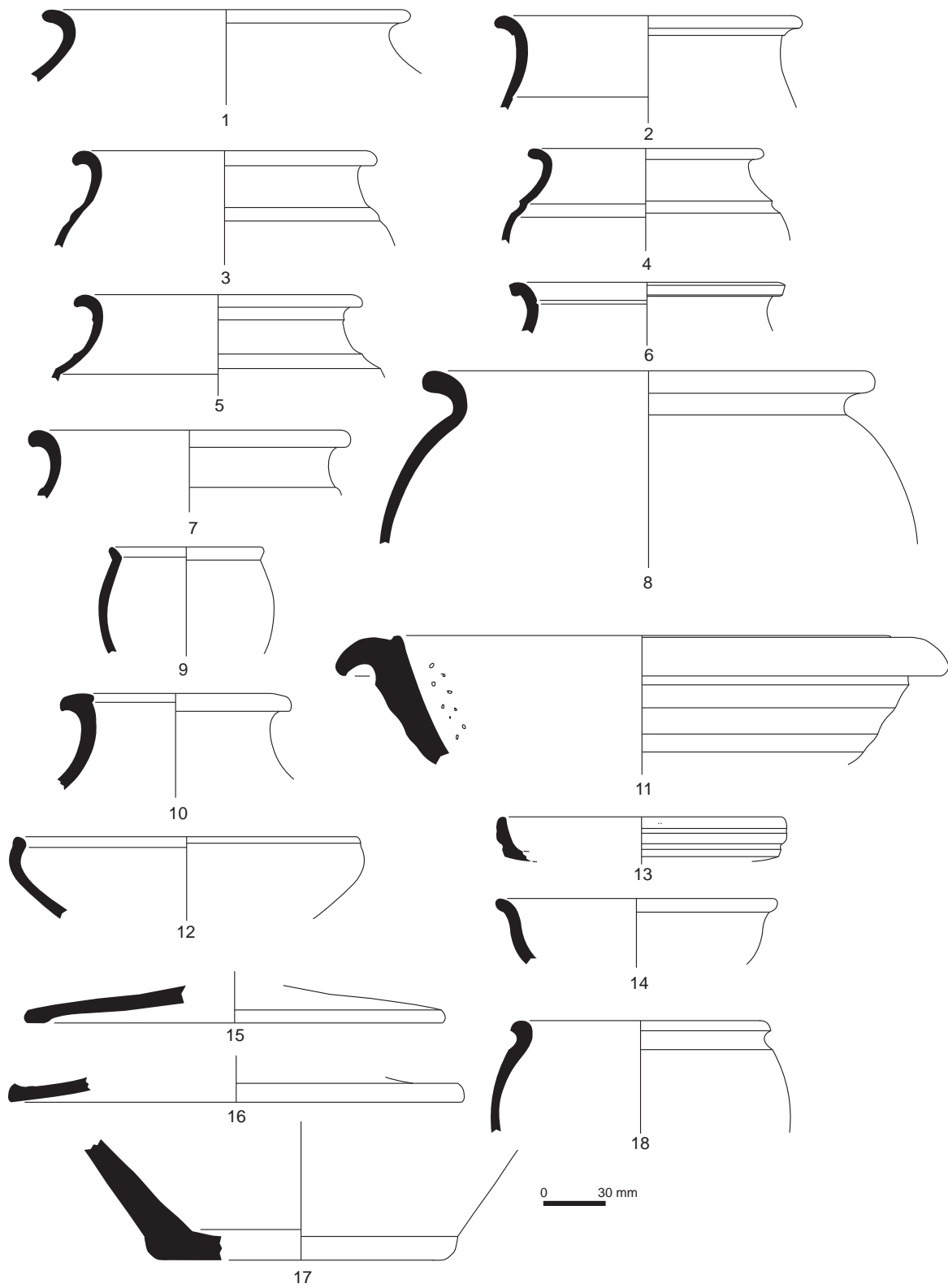


Fig. 566 : céramiques gallo-romaines de la str. 442 © R. Delage

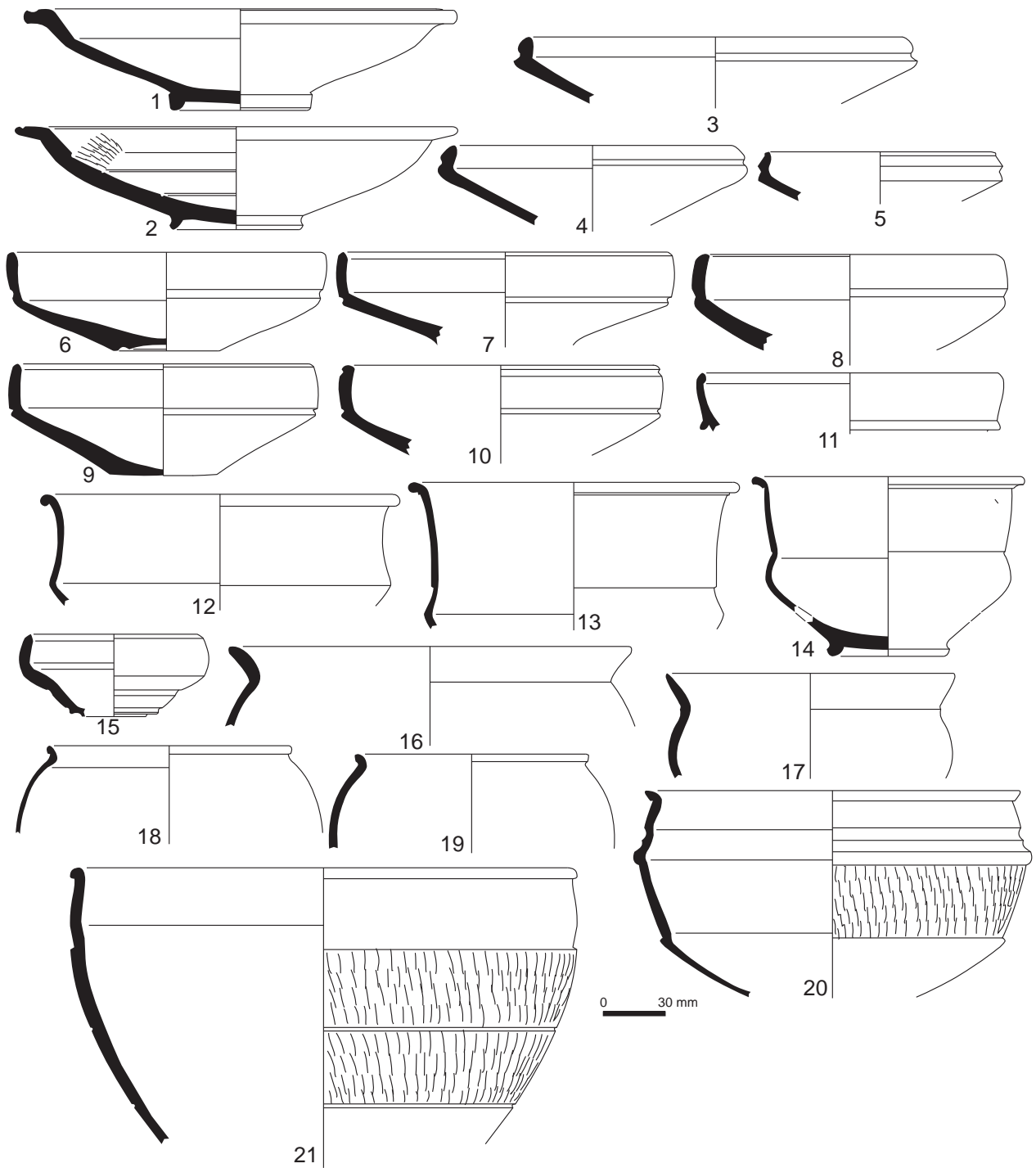


Fig. 567 : céramiques gallo-romaines de la str. 519 © R. Delage

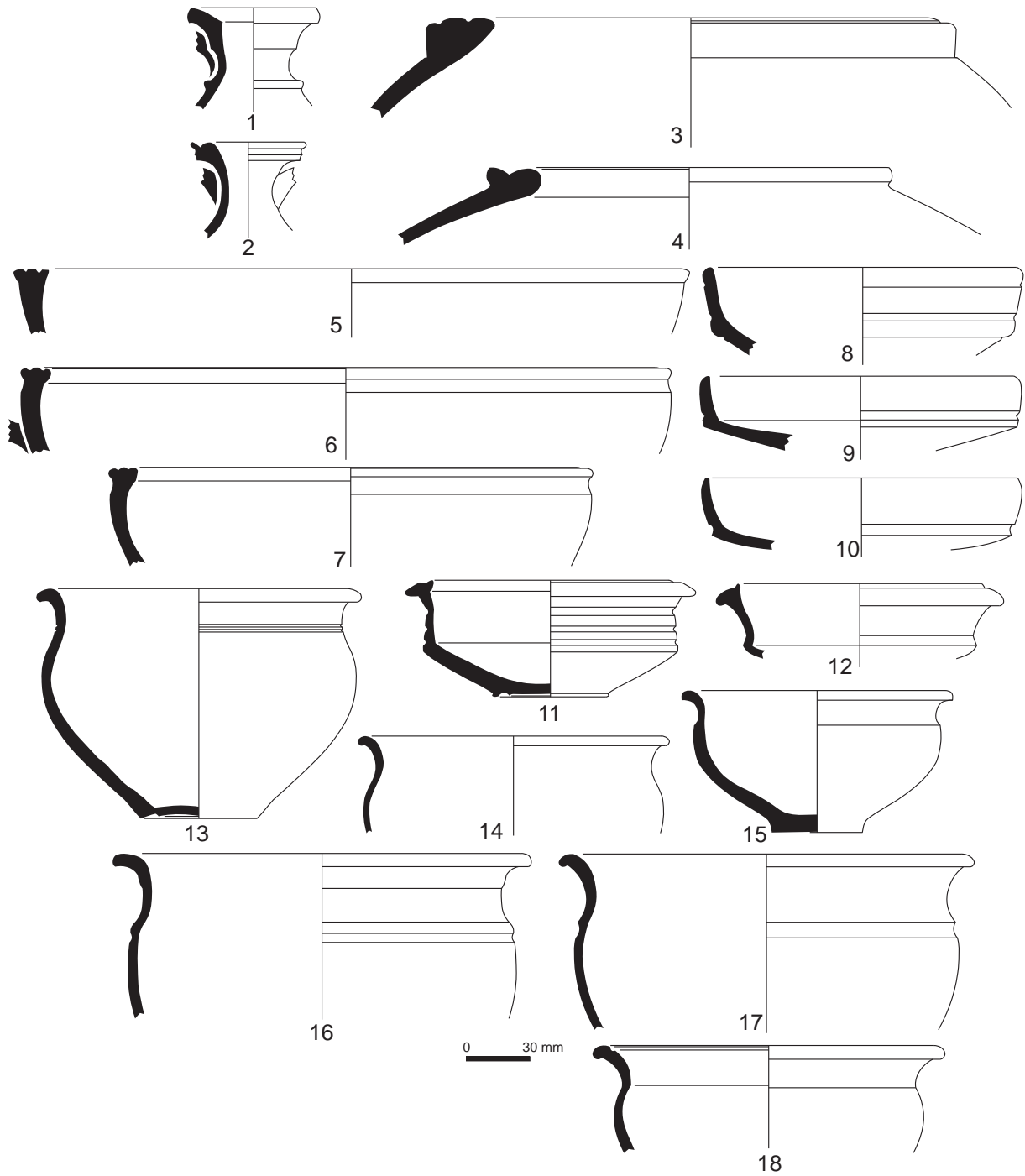


Fig. 568 : céramiques gallo-romaines de la str. 519 © R. Delage

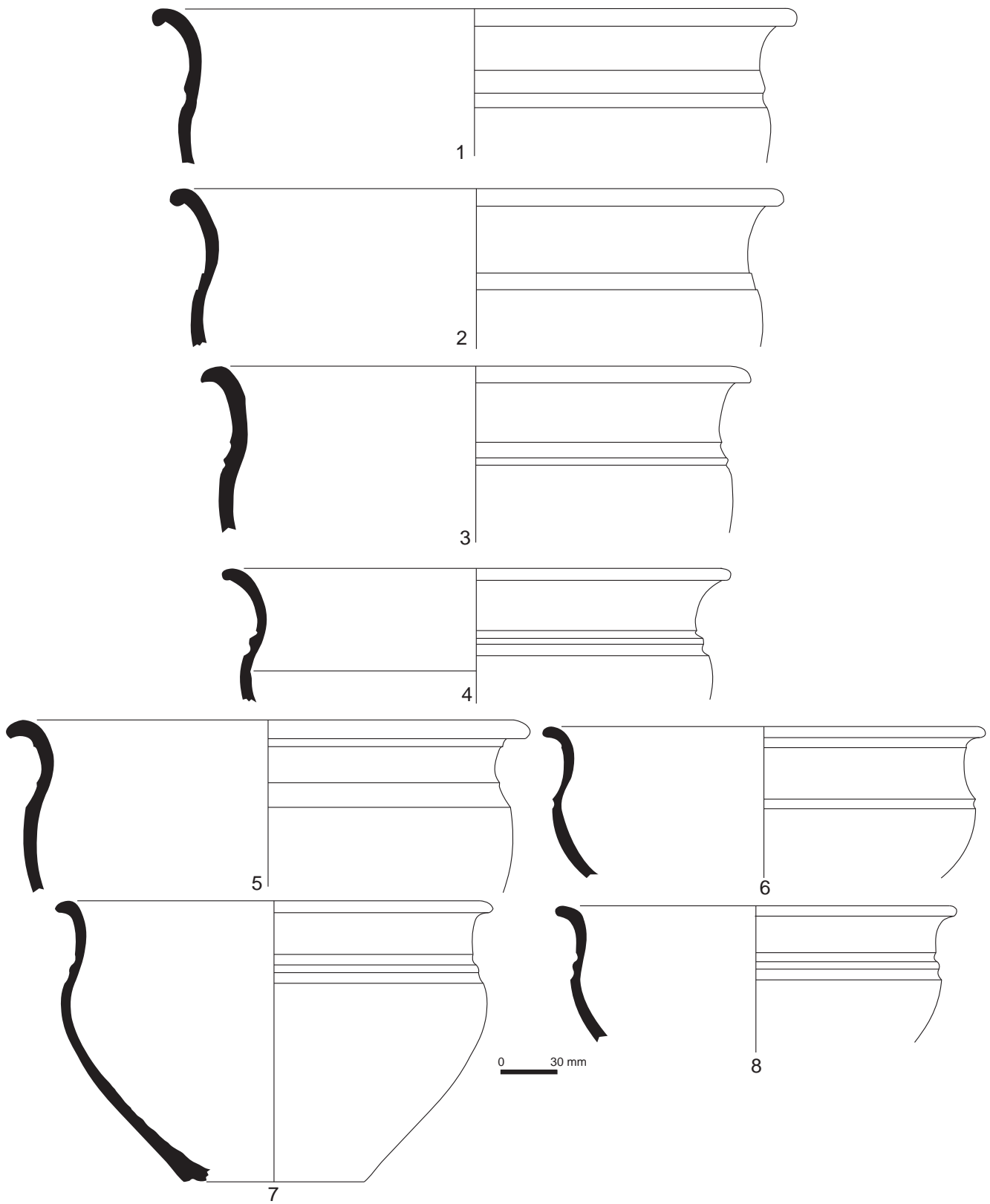


Fig. 569 : céramiques gallo-romaines de la str. 519 © R. Delage

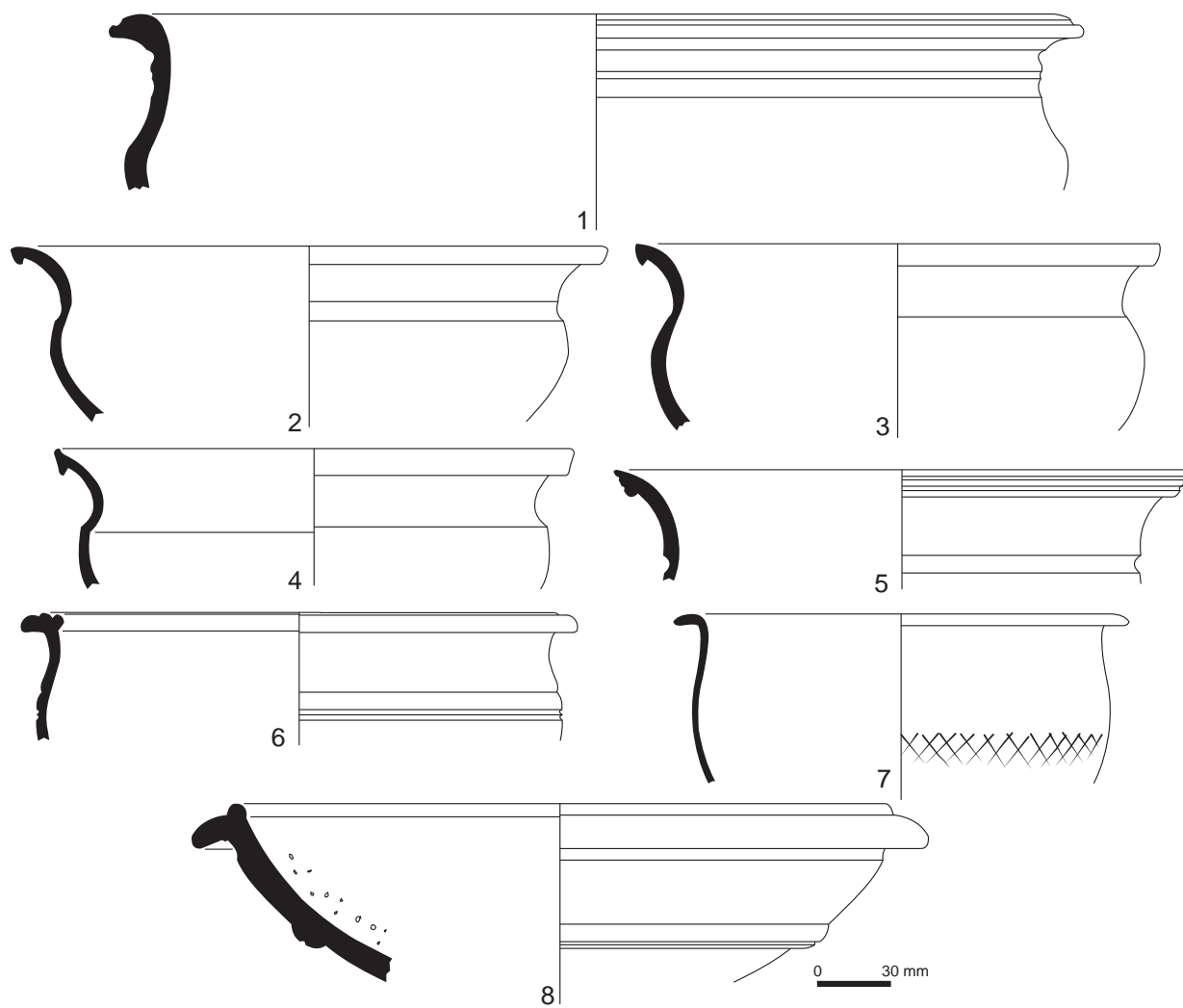


Fig. 570 : céramiques gallo-romaines de la str. 519 © R. Delage

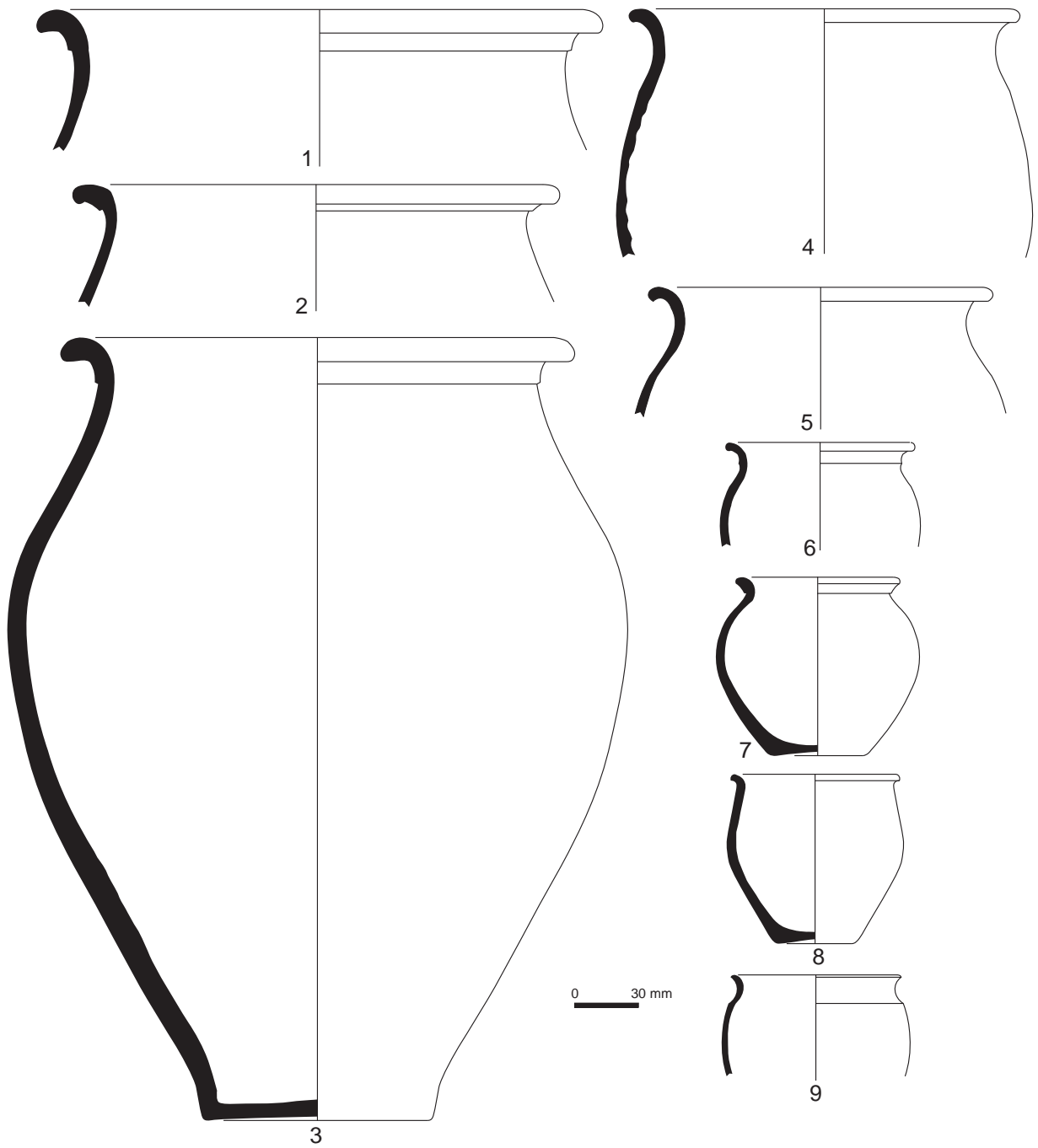


Fig. 571 : céramiques gallo-romaines de la str. 519 © R. Delage

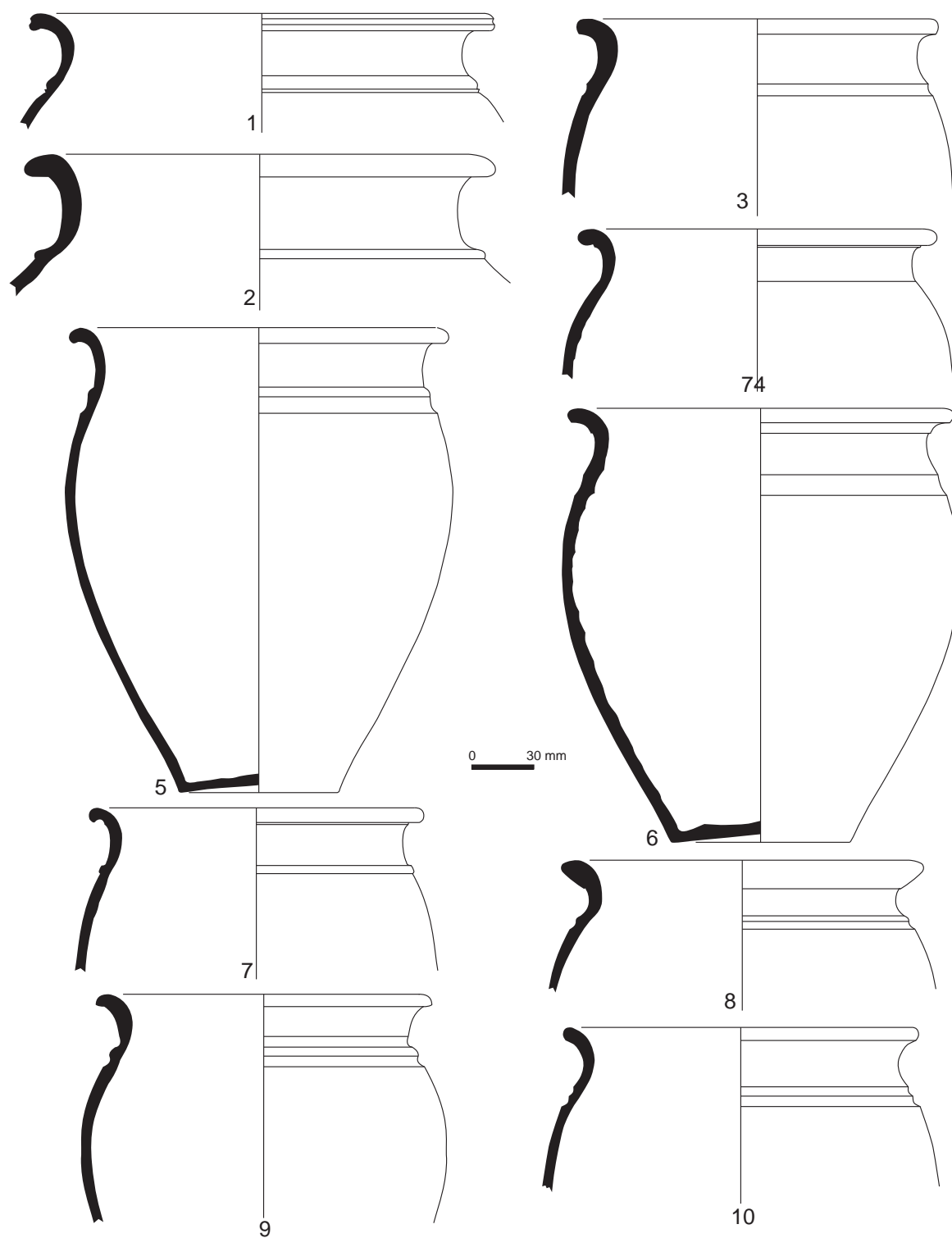


Fig. 572 : céramiques gallo-romaines de la str. 519 © R. Delage

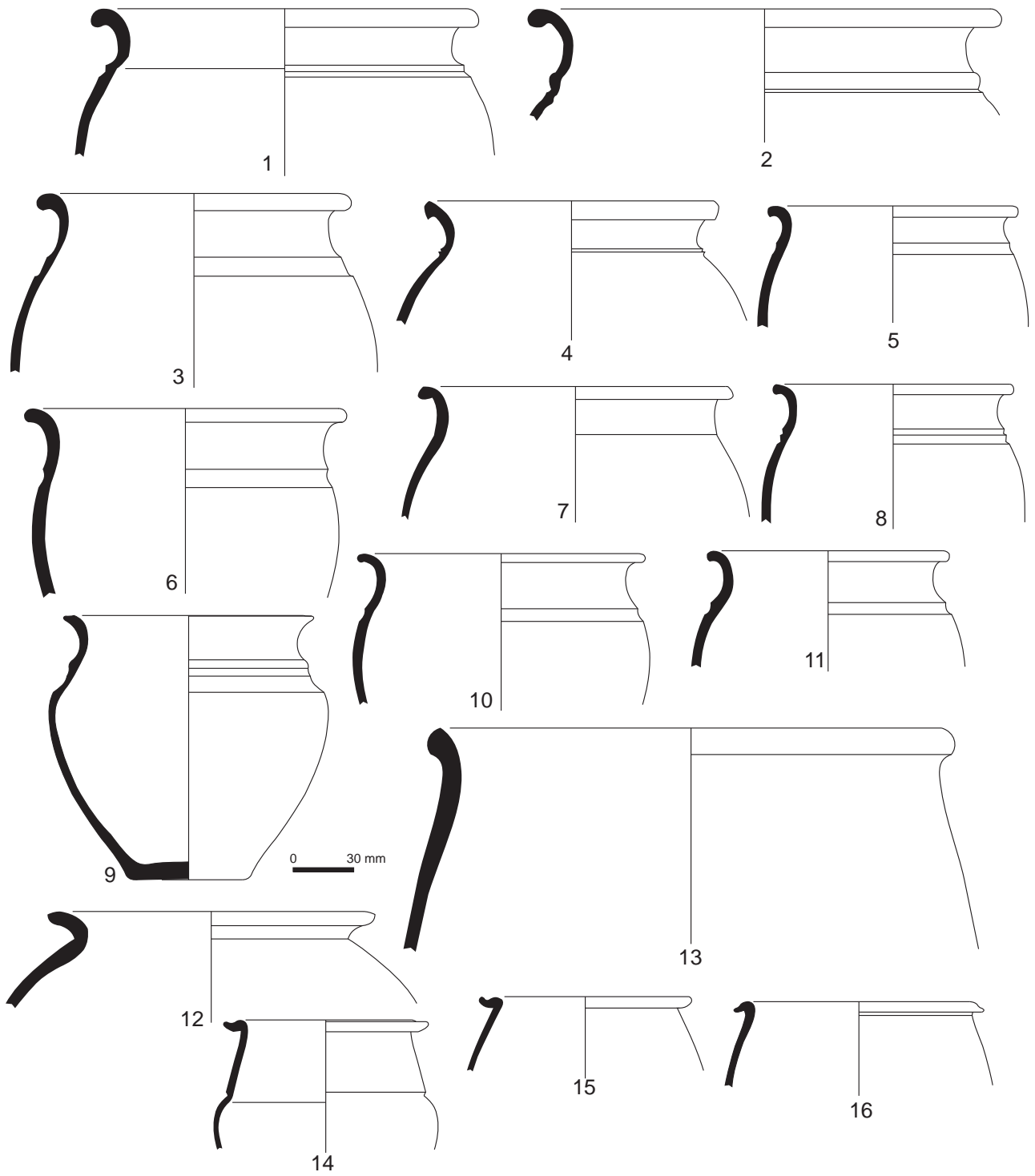
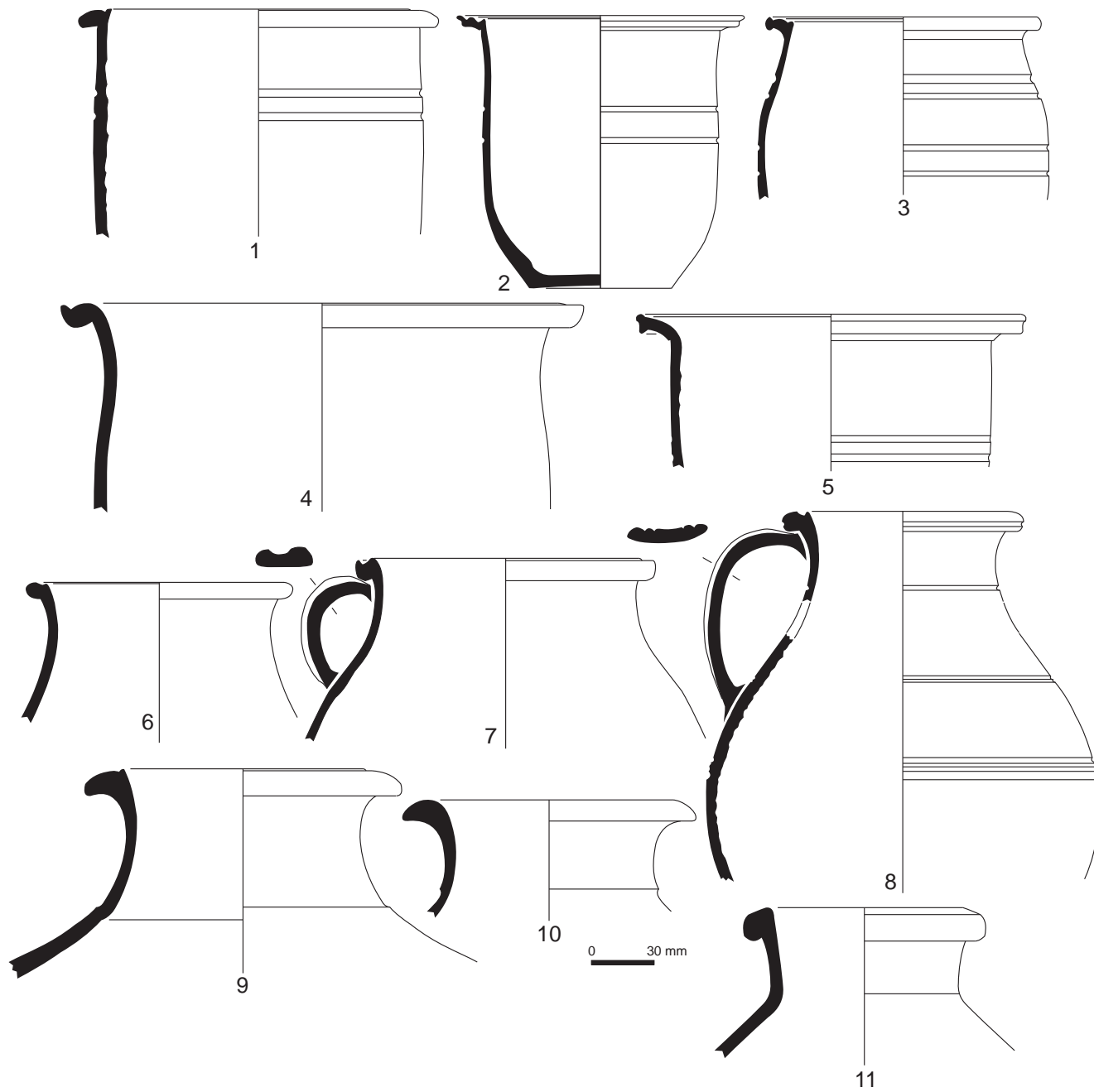


Fig. 573 : céramiques gallo-romaines de la str. 519 © R. Delage



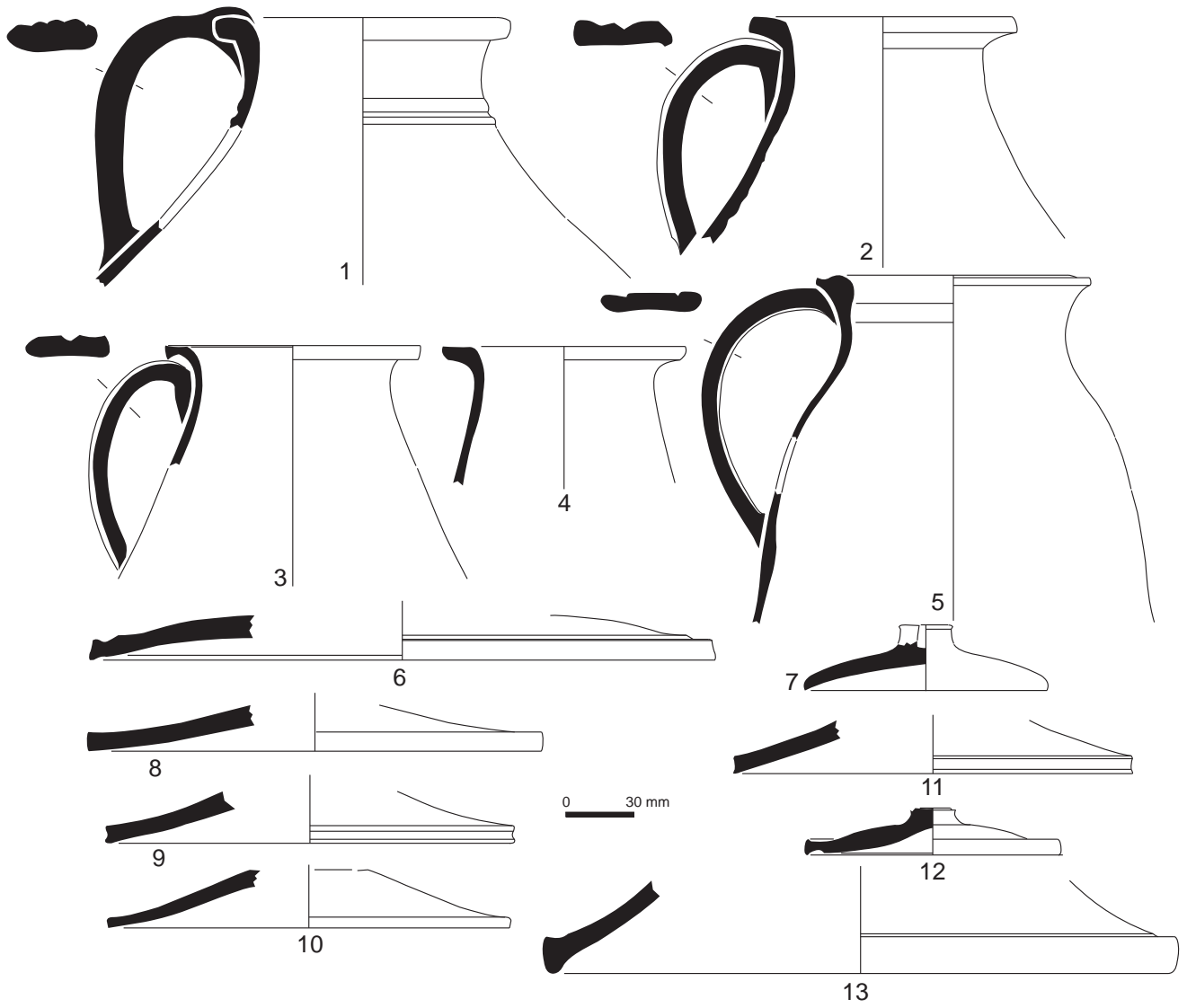


Fig. 575 : céramiques gallo-romaines de la str. 519 © R. Delage

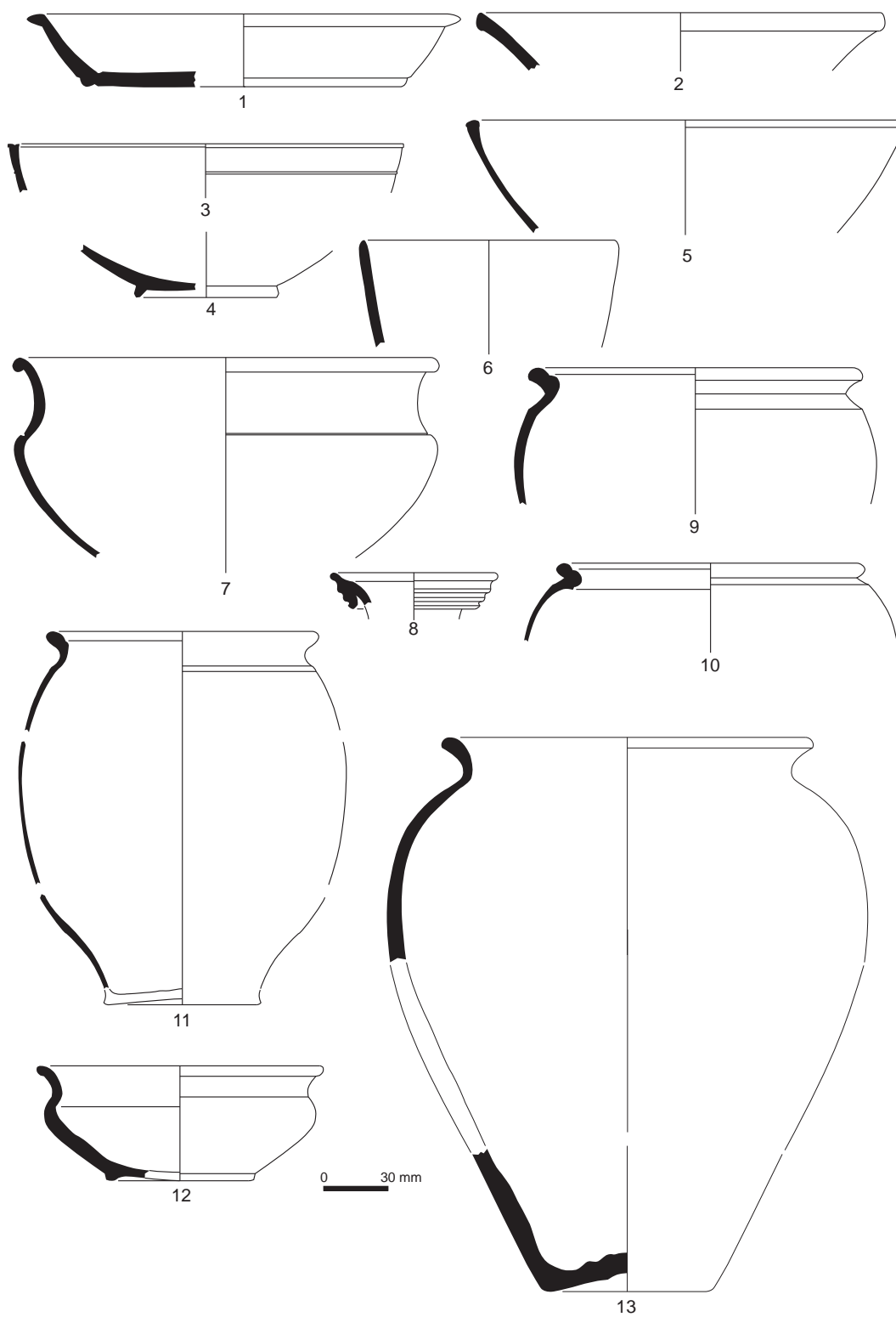


Fig. 576 : céramiques gallo-romaines de la str. 5157 © R. Delage

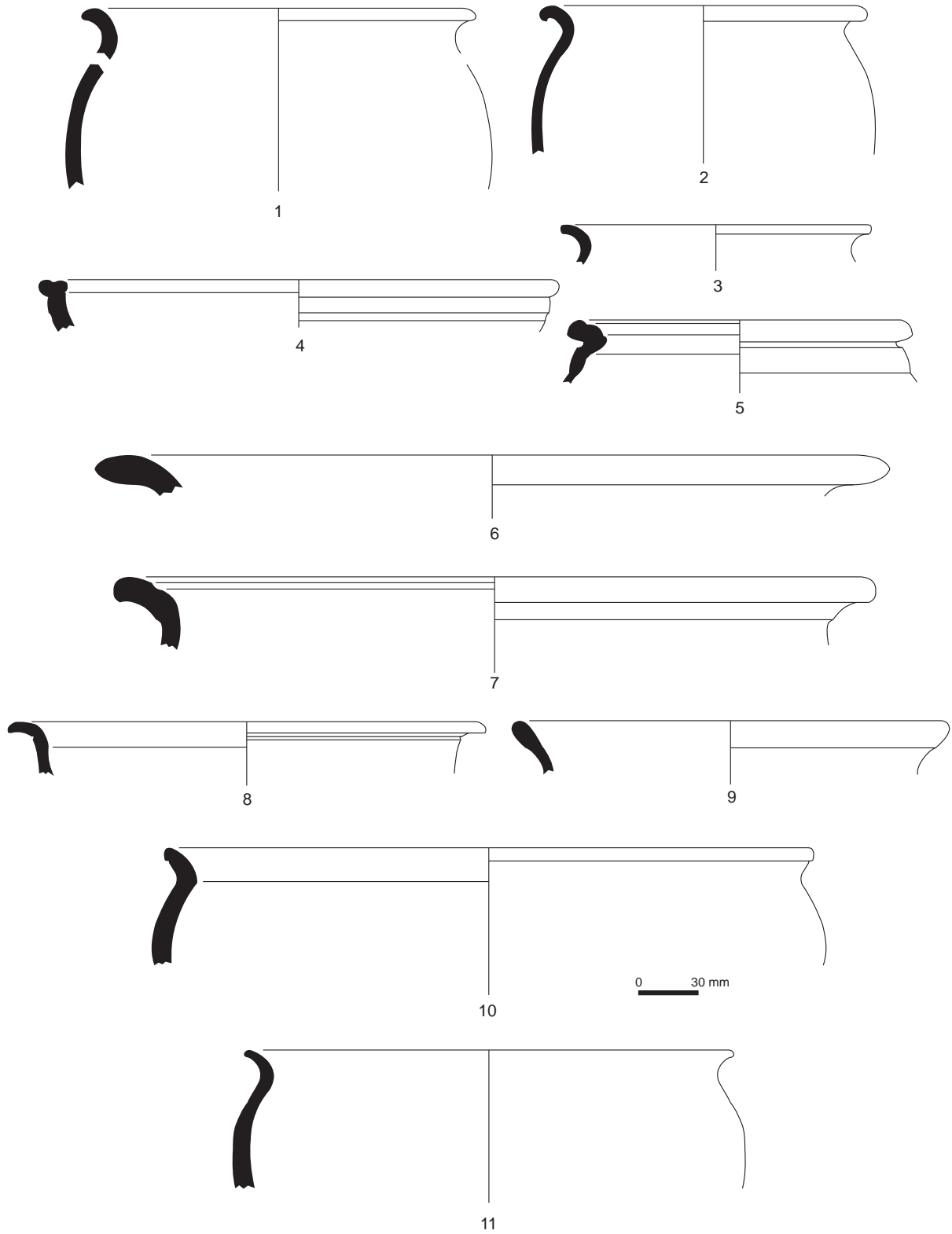


Fig. 577 : céramiques gallo-romaines de la str. 5157 © R. Delage

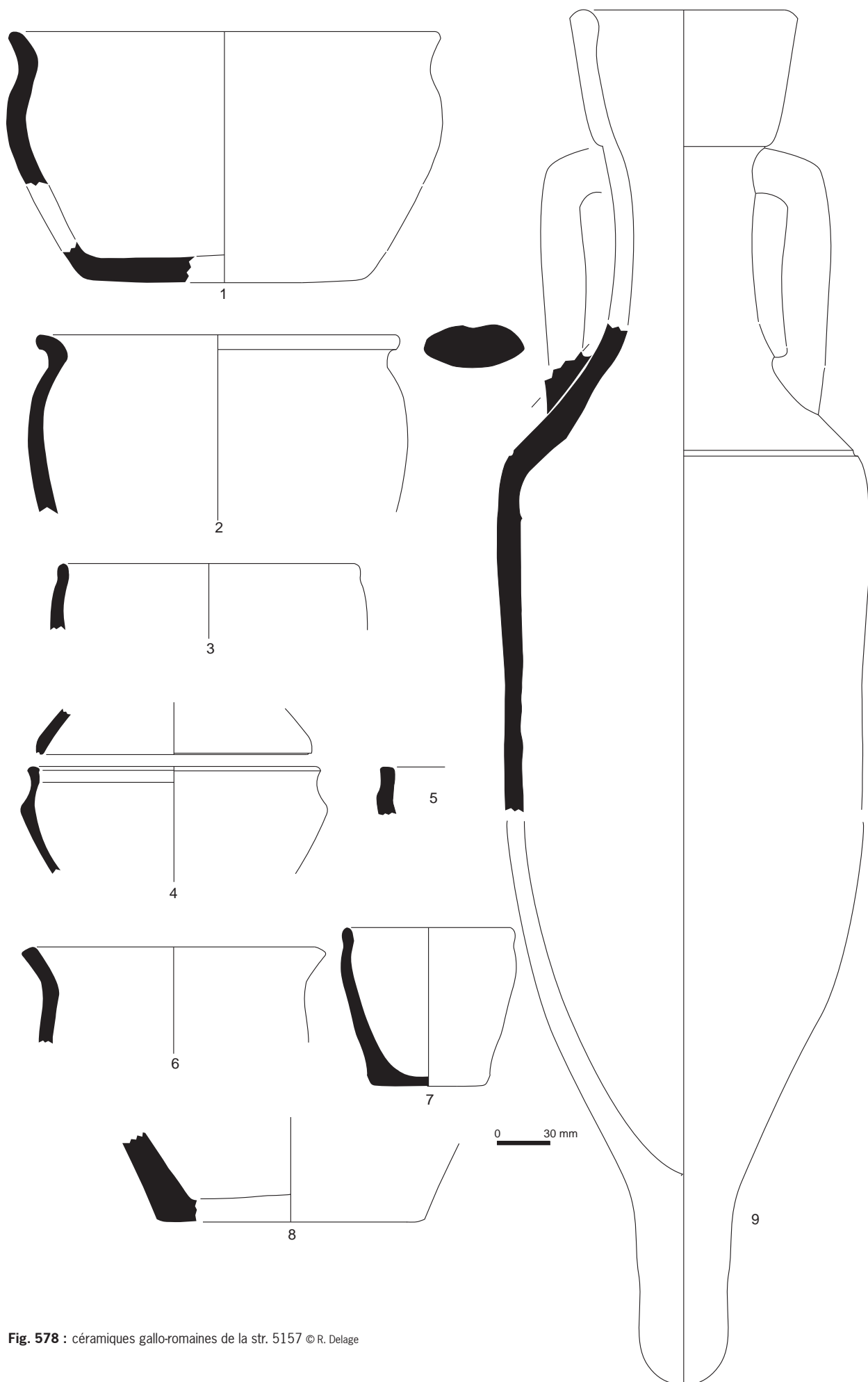


Fig. 578 : céramiques gallo-romaines de la str. 5157 © R. Delage

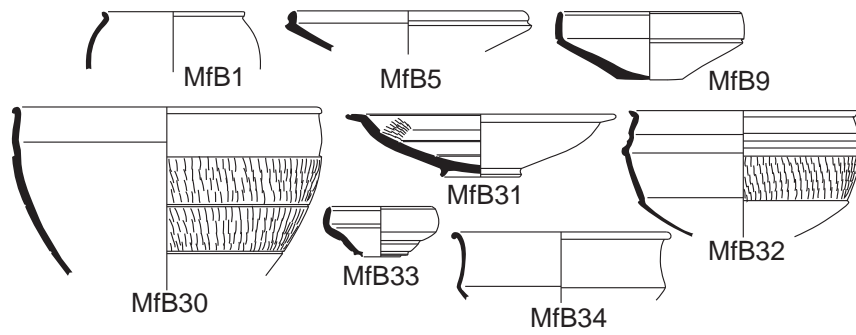


Fig. 579 : récapitulatif des principales formes de céramique mi-fine de mode B de F. 519 © R. Delage

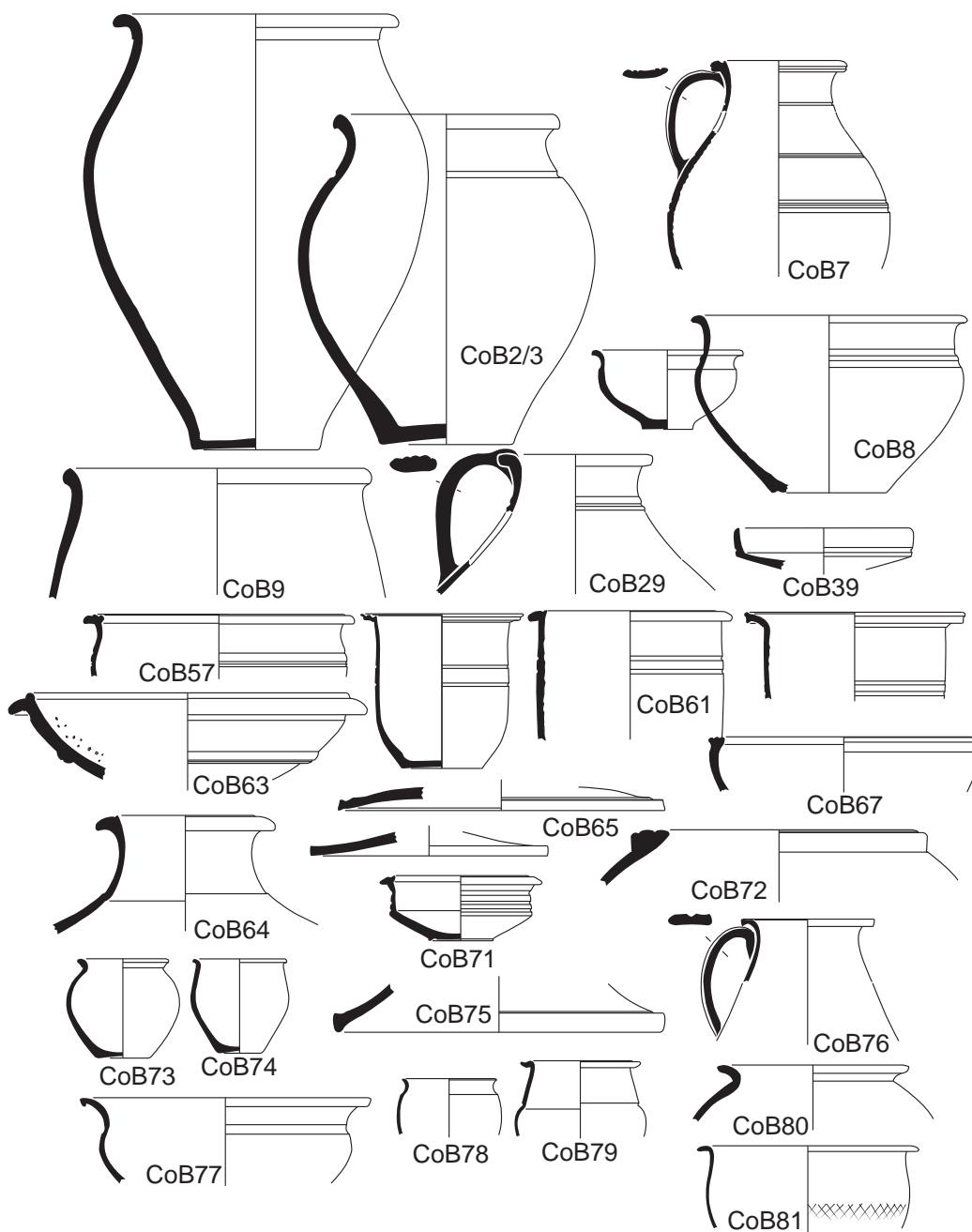


Fig. 580 : récapitulatif des principales formes de céramique commune de F. 519 © R. Delage

3.8. Terres cuites architecturales gallo-romaines par Richard Delage

3.8.1. Les tuiles

Un peu plus de 300 fragments de tuiles romaines a été prélevé lors de la fouille (fig. 584). Ils sont issus de nombreuses structures et de ce fait rares sont celles qui livrent plus que un ou deux individus (fig. 582). Seuls font exceptions les différents référents archéologiques du fossé 442 puisque au total, ils regroupent 95 NR pour 43 NMI soit 41% du corpus.

Les *tegulae* dominent nettement le lot dans son ensemble avec 77% des NMI, suivies des *imbrices* et briques dans des proportions à peu près similaires (autour de 10%). Tubulure et tuile en forme d'écaille constituent, quant à elles, des *unica*.

Type	NR	%NR	NMI	%NMI
Brique	37	12.2%	13	12.3%
<i>Imbrex</i>	56	18.4%	9	8.5%
<i>Tegula</i>	185	60.9%	82	77.4%
Tubulure	25	8.2%	1	0.9%
Tuile « écaille »	1	0.3%	1	0.9%
total	304	100%	106	100%

Fig. 582 : quantification des terres cuites architecturales © R. Delage

Le corpus des *tegulae* représente 185 NR pour 82 NMI.

Les éléments collectés, pour la plupart, sont des fragments ayant conservés une portion du bord mais aucune longueur ou largeur intégrale. Quatre exceptions à cela : deux tuiles complètes et deux autres ne présentant qu'une seule mesure (fig. 583).

Les deux tuiles complètes sont pourvues de dimensions bien différentes. La plus petite (fig. 596, n°5) est issue d'un fossé qui, dans son ensemble, peut être daté de la fin du Ier s. Des tuiles de dimensions semblables ont été trouvées sur la fouille de Noyal-Chatillon, îlot Floratrait (Simier 2016) dans un contexte de la première moitié du IIe s. (Fait 1030).

La plus grande (fig. 594, n°2) est issue d'un contexte non daté. Ses dimensions sont très proches, là encore, d'une série de tuiles utilisées pour l'aménagement du four 1024 de la fouille de Noyal (Simier 2016).

Contexte	NR	H rebord	Épaisseur	Long. (mm)	Larg. (mm)	Surcuite	Marque	Inv.
Str. 411-sd. 41	3	32	23	350	283	X	2 demi-cercles	Fig. 596, n°5
Str. 575-US5	2	40	22	378	306			Fig. 594, n°2
Str. 519	2	56	34		351	X	2 demi-cercles	Fig. 594, n°1
Str. 263-Surface	1	45	30	394 (déformée)		X	Patte animale	Fig. 599, n°16

Fig. 583 : références et dimensions des *tegulae* présentant une ou des dimensions complètes © R. Delage

Les mesures effectuées sur les épaisseurs et les hauteurs de rebord d'une

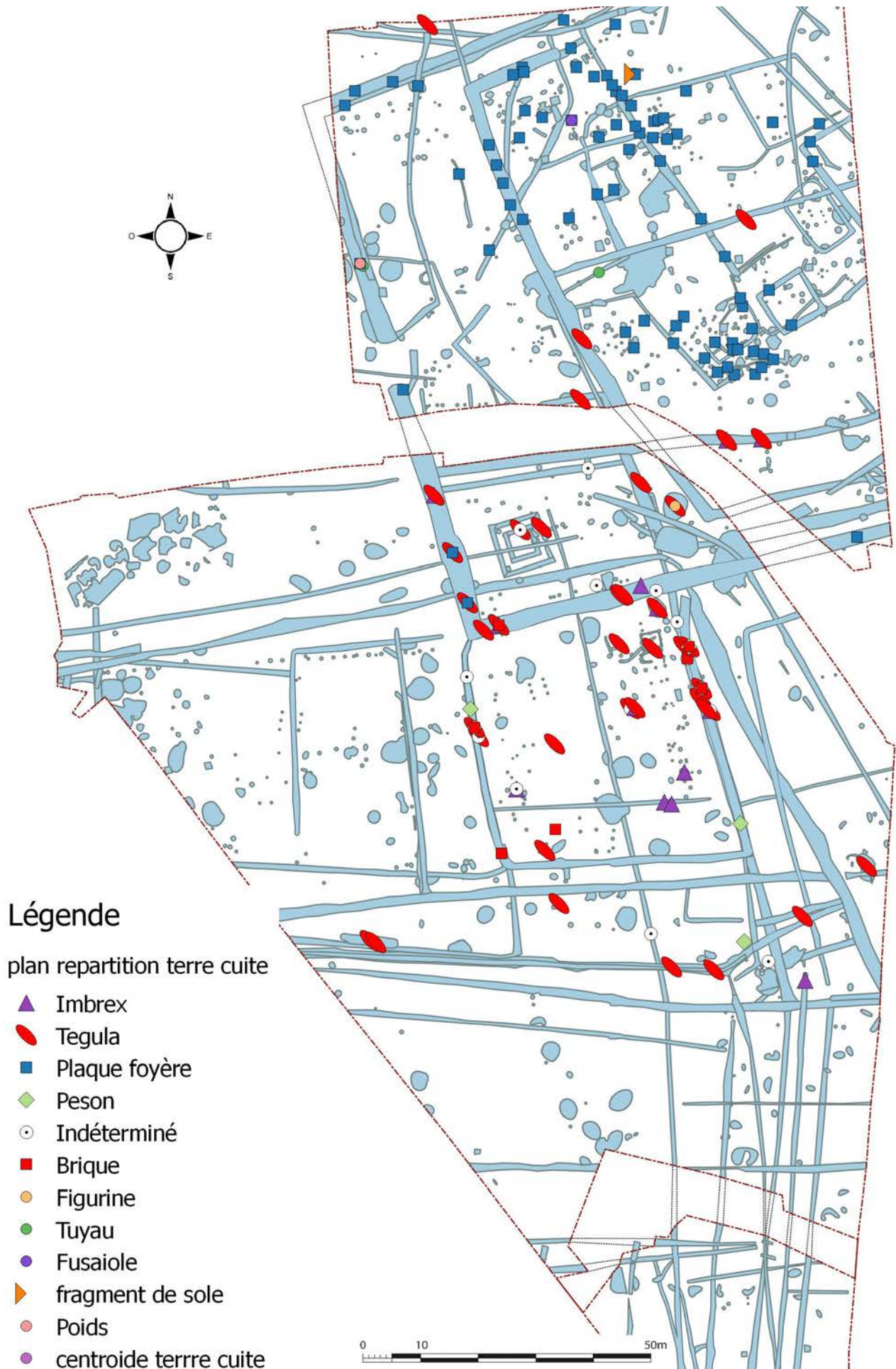


Fig. 584 : plan par type des terres cuites © J.-C. Durand

soixantaine de fragments (fig. 585) offrent là encore des résultats identiques à ceux du corpus des *tegulae* de Noyal (Simier 2016) avec une moyenne de hauteur de rebord de 42,63 mm et d'épaisseur de 24,13 mm (fig. 587).

Mesures	Amplitude	Moyenne	Ecart-type
Hauteur du rebord	27-59 mm	42,63 mm	6,24
Épaisseur	18-31 mm	24,13 mm	3,42

Fig. 585 : mesures effectuées sur les *tegulae* © R. Delage

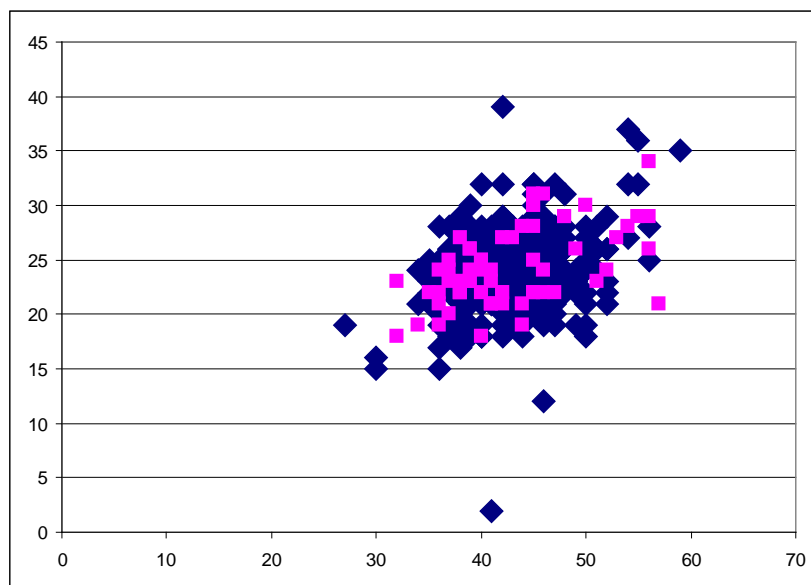


Fig. 586 : confrontation de la hauteur du rebord (en abscisse) et l'épaisseur (en ordonnée) des *tegulae* de Bais, carrière des Vallons, T. 2 (en rose) et de Noyal-Châtillon, îlot Floratrait (en bleu foncé) © R. Delage

Au sein du lot des *tegulae*, 54 NR et 32 NMI correspondent à des tuiles surcuites et déformées dont les caractéristiques ne résultent pas de l'incendie d'un bâtiment mais sont dues plutôt à une trop forte température de cuisson lors de la fabrication (Fig. 595 à 5). A cela rien d'étonnant. Les terres cuites architecturales sont presque toujours cuites dans des fours quadrangulaires de grandes dimensions qui nécessitent un feu nourri et de fortes températures pour permettre à l'ensemble de la fournée d'être viable. De ce fait, les tuiles en partie basse du laboratoire, aux contacts directs des flammes et gaz de combustion sortant des carneaux, sont fréquemment, au moins partiellement, surcuites. Lors du défournement et de la vérification de la qualité des pièces, celles présentant de tels défauts ne sont généralement pas diffusées et sont rejetées ou utilisées sur place. La fouille de la villa de Bais sise au lieu-dit « Bourg Saint-Pair » (Pouille 2011, p. 410 et sq.) a également livré un lot conséquent de tuiles plates comportant de telles caractéristiques (74 NR soit 11% du lot recueilli). Les éléments surcuits de la présente fouille ne constituent donc pas en soi une nouveauté dans le secteur. Ce corpus, toutefois se singularise par la découverte de « moutons » c'est à dire de tuiles collées les unes aux autres par la fonte de l'argile (Fig. 595, n°4 ; 597 et 5). Contrairement aux tuiles légèrement déformées, ces éléments sont inutilisables, lourds et parfois tranchants. Ils sont le fruit généralement non pas d'une trop forte cuisson « ordinaire » comme mentionnée plus haut, mais d'un accident de chauffe ayant altéré définitivement le four et la fournée. Le rejet de ces éléments sur place, même s'ils sont relativement peu nombreux (9 NMI), n'est

pas anodin. Ils sont vraisemblablement les indices de la présence dans l'environnement de la fouille d'un atelier de tuilier.

Notons que ces « moutons » ont été trouvés au sein du comblement des fossés gallo-romains de la fin du I^{er} s. et du début du II^e s.

Il existe par ailleurs, comme cela est également le cas sur la fouille de Bais Bourg Saint-Pair, des tuiles creuses et briques surcuites, mais en quelques exemplaires seulement et sans présence de « mouton ».

Fait	NR	Illus.
Str. 113-Sd.215	6	Fig. 597, n°8
Str. 249	1	Fig. 597, n°11
Str. 249	1	Fig. 597, n°12
Str. 440	1	Fig. 597, n°9
Str. 442	1	Fig. 598, n°14
Str. 442-Sd.161	1	Fig. 597, n°7
Str. 442-Sd.161	2	Fig. 595, n°4
Str. 442-Sd.163	2	Fig. 598, n°15
Str. 442-Sd.161/163	1	Fig. 597, n°10

Fig. 587 : origine des "moutons" de *tegulae* © R. Delage

Deux *tegulae* (fig. 599) présentent des empreintes animales.

Des marques digitées sont également attestées correspondant à deux, trois ou quatre demi-cercles (fig. 588).

Fait	NR	MNI	Inv.	Nb de Demi-cercle
Str. 336-Sd.14	1	1		4
Str. 475	1	0		3
Str. 336-Sd.14	1	1		3
Str. 28-Sd.42	2	0		3
Str. 411-Sd.41	3	1	Fig. 596, n°5	2
Str. 519	2	1	Fig. 594, n°1	2

Fig. 588 : *tegulae* avec marques digitées © R. Delage

Contexte	NR	%NR	NMI	%NMI
Str. -2093	1	0.5%	0	0.0%
Str. 113-Sd.215-US1	6	3.2%	1	1.2%
Str. 114	1	0.5%	0	0.0%
Str. 115-128	1	0.5%	0	0.0%
Str. 149	1	0.5%	0	0.0%
Str. 175	3	1.6%	1	1.2%
Str. 183	1	0.5%	1	1.2%
Str. 245-US1	2	1.1%	0	0.0%
Str. 249	2	1.1%	2	2.4%
Str. 249-N	1	0.5%	0	0.0%
Str. 263-Surface	1	0.5%	1	1.2%
Str. 263-Sd.105-US1	2	1.1%	0	0.0%
Str. 263-Sd.229-US1	3	1.6%	0	0.0%
Str. 28-Sd.34-US1	4	2.2%	2	2.4%
Str. 28-Sd.38	1	0.5%	1	1.2%
Str. 28-Sd.42	2	1.1%	0	0.0%
Str. 293	3	1.6%	1	1.2%
Str. 328-Epandage	1	0.5%	1	1.2%
Str. 336-Sd.14	8	4.3%	6	7.3%
Str. 370-Sd.12	3	1.6%	2	2.4%
Str. 404	1	0.5%	0	0.0%
Str. 405	2	1.1%	0	0.0%
Str. 411	10	5.4%	1	1.2%
Str. 411-Sd.41	3	1.6%	1	1.2%
Str. 440	2	1.1%	2	2.4%
Str. 442	3	1.6%	3	3.7%

Str. 442-Sd.156-US6	6	3.2%	2	2.4%
Str. 442-Sd.157	8	4.3%	4	4.9%
Str. 442-Sd.161-US1	39	21.1%	21	25.6%
Str. 442-Sd.161/163-US1	1	0.5%	1	1.2%
Str. 442-Sd.163	3	1.6%	2	2.4%
Str. 442-Sd.267-US1	1	0.5%	0	0.0%
Str. 475	1	0.5%	0	0.0%
Str. 501-Sd.124-US1	1	0.5%	0	0.0%
Str. 5035-Sd.613-US1	3	1.6%	1	1.2%
Str. 5035-Sd.614-US1	3	1.6%	2	2.4%
Str. 510-Sd.124-US1	2	1.1%	1	1.2%
Str. 519	3	1.6%	1	1.2%
Str. 519-Sd.160	1	0.5%	0	0.0%
Str. 5206*	1	0.5%	1	1.2%
Str. 523	1	0.5%	0	0.0%
Str. 5238-Sd.690	4	2.2%	4	4.9%
Str. 5252-Surface	2	1.1%	1	1.2%
Str. 565-Sd.154-US2	2	1.1%	0	0.0%
Str. 565-Sd.234-US1	1	0.5%	0	0.0%
Str. 565-Sd.348	9	4.9%	8	9.8%
Str. 575-US5	2	1.1%	1	1.2%
Str. 589	2	1.1%	0	0.0%
Str. 599	5	2.7%	2	2.4%
Str. 600	8	4.3%	2	2.4%
Str. 652-Sd.213	1	0.5%	0	0.0%
Str. 653-Sd.223	2	1.1%	0	0.0%
Str. 653-Sd.225	1	0.5%	0	0.0%
Iso 2096	1	0.5%	1	1.2%
Sd.28-US-Chablis	1	0.5%	0	0.0%
Sd.671-US1	1	0.5%	0	0.0%
Sd.673	1	0.5%	1	1.2%
total	185	60.7%	82	76.6%

Fig. 589 : origine des *tegulae* (* inv. étude pétrographique : 239) © R. Delage

Le lot des *imbrices* est en revanche des plus réduits puisque seuls 56 NR pour 9 NMI sont attestés. Aucune tuile ne présente de mesures complètes.

Contexte	NR	%NR	NMI	%NMI
Str. 263-Sd.105-US1	1	1.8%	1	11.1%
Str. 28-Sd.34-US1	5	8.9%	1	11.1%
Str. 282-US1	1	1.8%	1	11.1%
Str. 440	3	5.4%	1	11.1%
Str. 442-Sd.156-US6	15	26.8%	3	33.3%
Str. 442-Sd.161-US1	3	5.4%	0	0.0%
Str. 442-Sd.267-US1	4	7.1%	0	0.0%
Str. 458	1	1.8%	0	0.0%
Str. 465-Sd.072	3	5.4%	0	0.0%
Str. 468	1	1.8%	0	0.0%
Str. 5035-Sd.613-US1	1	1.8%	0	0.0%
Str. 5035-Sd.614-US1	1	1.8%	1	11.1%
Str. 523	12	21.4%	0	0.0%
Str. 565	3	5.4%	0	0.0%
Str. 583	1	1.8%	0	0.0%
Str. 599	1	1.8%	1	11.1%
total	56	18.4%	9	8.4%

Fig. 590 : origine des *imbrices* © R. Delage

Quant au corpus des *briques*, il n'est guère plus fourni que le précédent puisqu'il se compose de 37 NR pour 13 NMI (fig. 600). Les épaisseurs ont une amplitude de 36 à 70 mm. Une seule présente une épaisseur de 46 mm pour une largeur de 156 mm (fig. 600, n°19), dimensions que l'on retrouve à

l'identique à Noyal-Châtillon (Simier 2016) sur l'exemplaire D40 issu d'un contexte du III^e s., mais comportant de nombreux mobiliers des I^{er} et II^e s.

Contexte	NR	%NR	NMI	%NMI
Str. 183	1	2.7%	1	7.7%
Str. 263-Sd.207-US2	1	2.7%	0	0.0%
Str. 263-Sd.229-US1	1	2.7%	0	0.0%
Str. 313	20	54.1%	4	30.8%
Str. 400	1	2.7%	0	0.0%
Str. 442-Sd.157-US1	4	10.8%	3	23.1%
Str. 442-Sd.157/158	4	10.8%	1	7.7%
Str. 442-Sd.161-US	4	10.8%	3	23.1%
Str. 565-Sd.348	1	2.7%	1	7.7%
total	37	12.1%	13	12.1%

Fig. 591 : origine des briques

D'autres catégories de terre cuite ne sont représentées que par un exemplaire : une tuile en forme d'écaille (fig. 600 , n°21) servant à la couverture des toits pointus et une tubulure d'hypocauste (*non illustrée*).

3.8.2. Autres terres cuites gallo-romaines

Le corpus des autres terres cuites est des plus réduits puisqu'il comporte un jeu de peson et un fragment de figurine en terre blanche (fig. 592).

Type	NR	NMI
Figurine	1	0
Peson	14	6
total	15	6

Fig. 592 : quantifications des terres cuites non architecturales gallo-romaines © R. Delage

3.7.2. 1. Les pesons

Les pesons (fig. 601) sont de section carrée avec des dimensions maximales à la base de 92 à 100 mm. Ces données et le fait qu'ils présentent des caractéristiques techniques identiques en font un lot homogène.

Le seul exemplaire complet (Fig. 601 , n°22) est le plus petit de la série puisqu'il fait 148 mm de haut alors que tous les autres doivent dépasser 150 mm. La perforation est présente à 36 mm du sommet. Sur celui-ci, avant cuisson, a été gravée une marque en forme de « X ».

Contexte	NR	NMI	Illus.
iso103	2	2	Fig. 601, n°23 et 27
Str.500	9	1	Fig. 601, n°25
Str.442-Sd.157-US1	1	1	Fig. 601, n°26
Str.442-Sd.148-US2	1	1	Fig. 601, n°24
Str.263-Sd.230-US1	1	1	Fig. 601, n°22

Fig. 593 : origine des pesons © R. Delage

3.7.2. 2. La figurine

Le fragment de figurine est en pâte blanchâtre avec de rares inclusions de nodules de terre cuite rouge. Elle provient des ateliers de l'Allier. Une petite portion de la partie décorée est conservée : grandes stries correspondant à la fourrure ou aux plumes d'un animal. Il provient de la fosse 336 dont le comblement comporte des mobiliers homogènes de la seconde moitié du I^{er} s. Celle-ci est située à proximité du fossé 442 dont le comblement est contemporain mais aussi surtout du *Fanum*.



Fig. 594 : tegulae 1. str; 519, 2. str. 575 © R. Delage



Fig. 595 : tegulae surcuites et déformées n°3 et 4 str. 442 © R. Delage



Fig. 596 : tegulae surcutes 5. str. 411 et 6. str. 328 © R. Delage



Fig. 597 : tegulae surcuites et déformées 7 str. 442, 8. str. 113, 9. str. 440 et 10 str. 442 © R. Delage



Fig. 598 : tegulae surcuites et déformées 13, 14 et 15 str. 442 © R. Delage



▲
16
▼



▲
17
▶



Fig. 599 : tegulae avec empreintes animales 16 str. 263 et 17 str. 519 © R. Delage

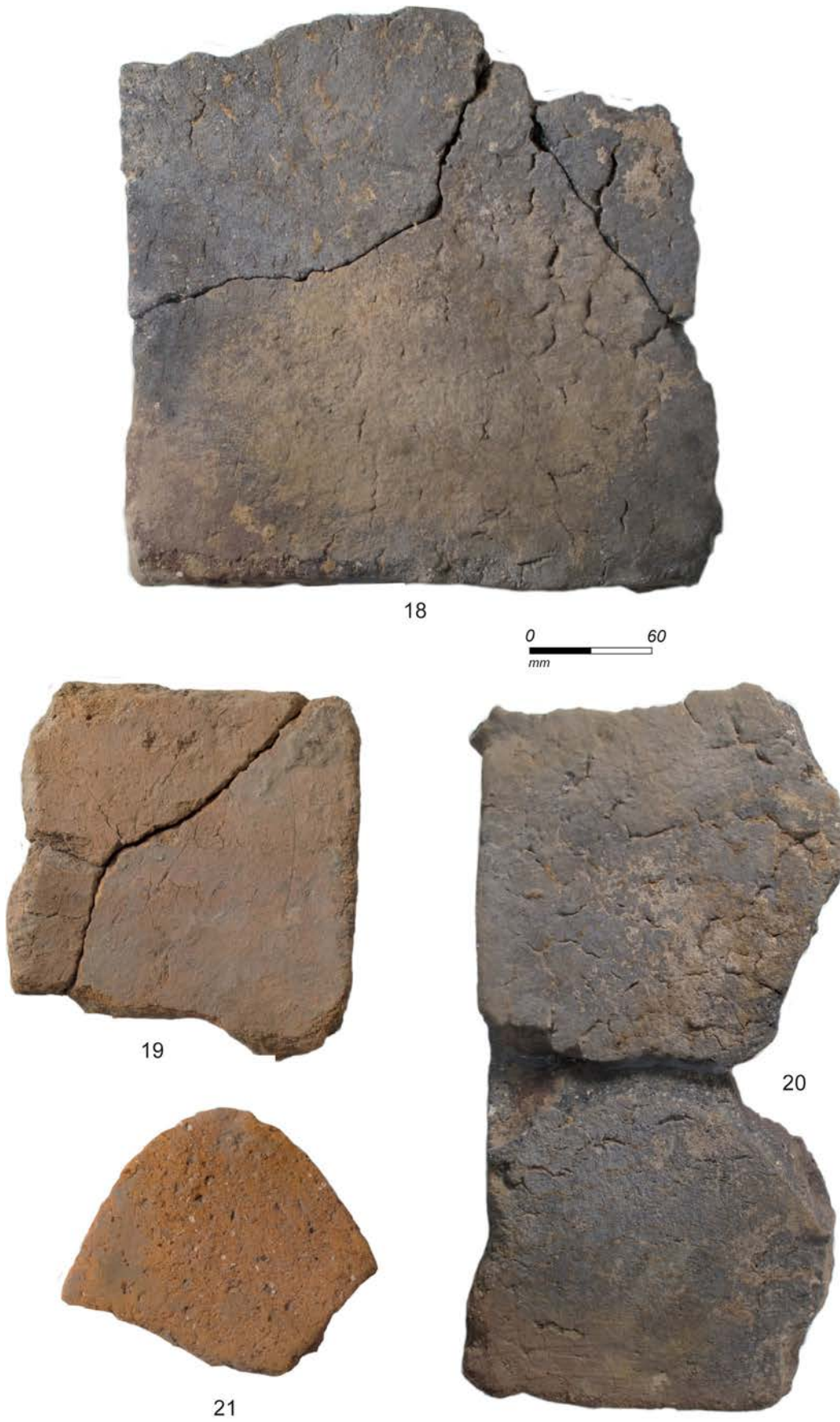


Fig. 600 : briques et tuiles en "écaille" 18 str. 442, 19 et 20 str. 313, 21 str. 600 © R. Delage

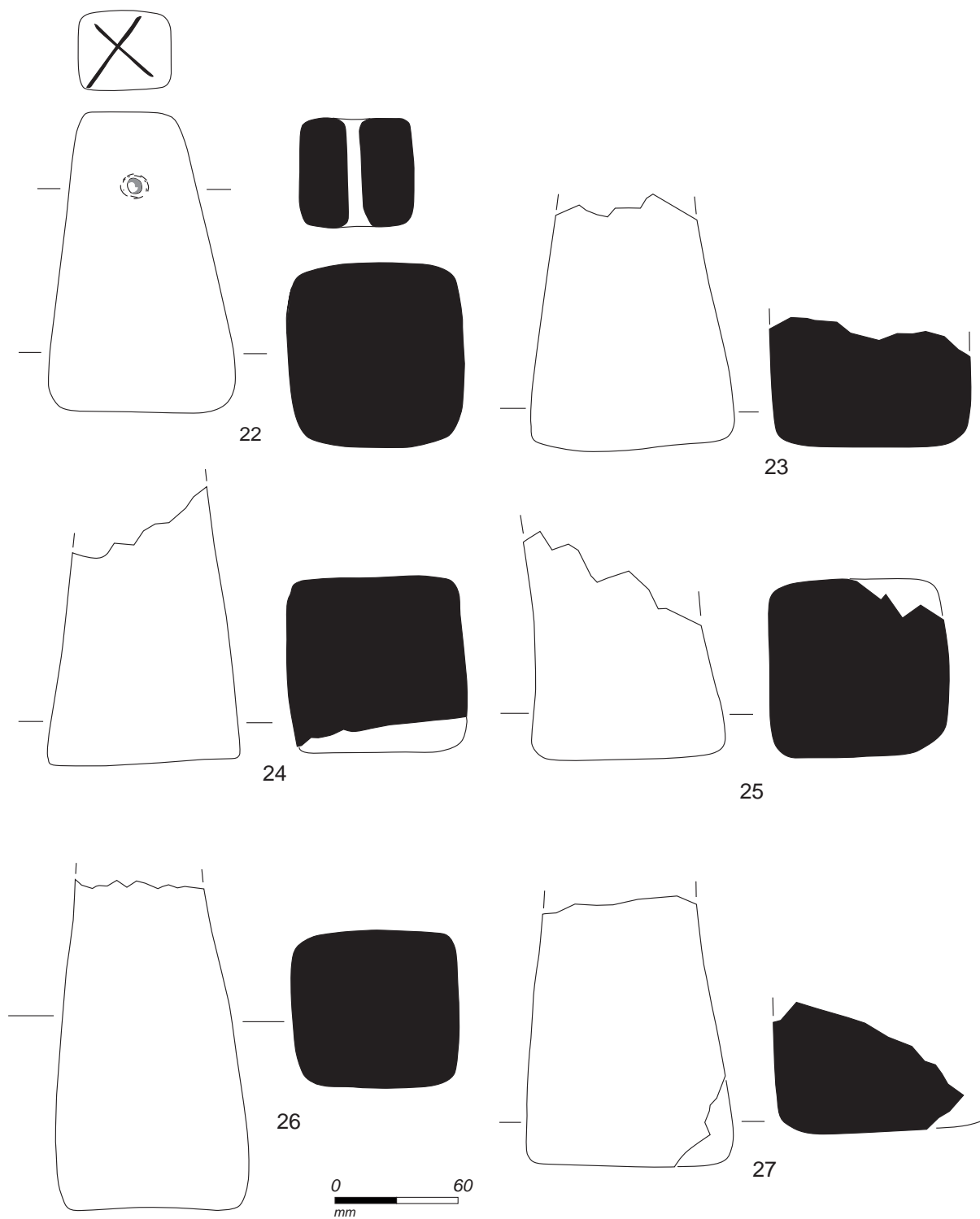


Fig. 601 : pesons en terre cuite 22 str. 263, 23 str. 170 (iso 103), 24 str. 442, 25 str. 500, 26 str. 442 et 27 str. 170 (iso 103) © R. Delage

Conclusion

Le site archéologique de Bais "Carrière des Vallons" a été occupé très anciennement comme le montrent les quelques artefacts céramique et lithique de la protohistoire ancienne. Suit une longue période sans implantation humaine identifiable puis est attestée une occupation matérialisée par trois enceintes qui peuvent être rattachées à la protohistoire récente. Si, dans un premier temps, un usage dans le cadre d'une exploitation rurale peut être retenu, dans un second, l'enceinte principale E3 sert de délimitation (foncière) à des ateliers de potiers. Les fossés qui n'étaient pas encore comblés servent alors de dépotoirs pour les ratés de cuisson. Quant aux autres, ils sont parfois mis à profit par les artisans qui installent leur fours dans les comblements supérieurs afin de bénéficier de la présence de sédiments meubles.

Du fait de la quasi absence de mobiliers (hors résidus de l'activité potière), il est particulièrement difficile de caractériser les nombreuses structures (fossés, fosses et bâtiments) mis en évidence au sein de cette zone. La présence de tranchées de fondation à parois curvilignes pour les ensembles B1, B3 et B4 pourrait laisser penser que ces bâtiments se rapportent à l'occupation antérieure aux ateliers de potiers, peut-être de la Tène moyenne comme le suggèrent les découvertes sur d'autres sites gaulois proches : Vitré "La Grande Haie bd de Laval", Brielles "La Massuère" ou même Cesson-Sévigné "La Samondière". Pour toutes les autres structures, l'incertitude est de mise. Ainsi, ce facteur combiné à l'état d'arasement du site a pour conséquence qu'il n'a pas été possible d'identifier la majeure partie des installations dont les potiers ont besoin dans le cadre de leur travail : depuis la préparation des matières premières jusqu'au stockage des produits finis.

Comme cela est bien souvent le cas, seuls quelques fours ont pu être étudiés. Il s'agit de structures de cuisson relativement modestes au sein desquels les potiers mettent en oeuvre une sole amovible composée de barres de terre cuite.

Cette activité artisanale cesse vraisemblablement à la fin du Ier siècle av. J.-C. et peu après (ou dans la continuité chronologique?) est édifié, dans la partie sud de l'enclos principal, un sanctuaire occupé par un fanum, délimité par un péribole et accessible par un porche. Cette construction marque le début de l'occupation d'une nouvelle zone, plus au sud, au cours des Ier et IIe s. de notre ère, marquée notamment par de nouvelles activités artisanales dans le domaine de la céramique et de la terre cuite. Les ateliers de potiers gallo-romains se situent toutefois hors emprise puisque seuls des fosses contenant les résidus de l'activité ont été retrouvées (notamment fosse 519).

Incontestable la découverte majeure est celle des ateliers de potiers précoces. Leur période de fonctionnement ainsi que celle de leur abandon ont fait l'objet de discussions approfondies. Des hypothèses plus que des certitudes ont été pu être proposées : au cours de la deuxième moitié du Ier s. av. J.-C. Un des problèmes rencontrés dans le cadre de cette caractérisation chronologique est dû au fait qu'il s'agit là d'une période encore mal connue en Bretagne, tout particulièrement en ce qui concerne la céramique dont les lots ne bénéficient comme dans d'autres régions de mobiliers d'importation aux datations éprouvées.

Notons que les ateliers de potiers de l'enclos E3 ne sont pas les seuls connus sur le territoire de Bais pour cette période de transition entre monde gaulois et gallo-romain. Le site de Champagné en porte également le témoignage. Celui-ci, distant d'environ 500 m de la présente opération archéologique, a été également fouillé dans le cadre de l'extension de la carrière par Serge Mentelé en 2008. La phase 3 de l'évolution du site comporte des mobiliers en tous points similaires à ceux de l'enclos E3 et ce concernant aussi bien les céramiques que les terres cuites artisanales. Par ailleurs, la fouille récente de l'ensemble 2 (2016), située également, à 500 m; a livré des dépotoirs d'ateliers contemporains dont l'étude reste à entreprendre.

L'attestation de ces différentes découvertes montrent qu'il existe une occupation importante et singulière à cette période qui devra faire l'objet de nouvelles recherches pour en comprendre la nature et la portée.

**CENTRE DE RECHERCHE EN PHYSIQUE APPLIQUÉE À L'ARCHÉOLOGIE**Institut de Recherche sur les ArchéoMATériaux (IRAMAT; Belfort / Bordeaux / Orléans)
UMR 5060, CNRS / Université Michel de Montaigne – Bordeaux 3Maison de l'Archéologie
Esplanade des Antilles, Domaine Universitaire, 33607 Pessac Cedex, France

Tél.: 33 (0)5 57 12 45 53

Fax : 33 (0)5 57 12 45 50

E-mail : crpaa@u-bordeaux3.fr

Archéomagnétisme - Rennes

*Rennes, le 4 février 2014**Réf. : REN-2013-38*

Louvigné-de-Bais (Ille-et-Vilaine)

Les Vallons

Ensemble 1 – Secteur 2

Four F5000

Analyse archéomagnétique

*par Ph. Lanos, Ph. Dufresne et L. Garnier***Résumé :**

Les données archéologiques indiquent qu'il s'agit d'un four de la période de la Tène Finale. L'analyse donne au site une inclinaison de 66,56° et une déclinaison de -7,70° pour 18 spécimens avec un α_{95} de 2,29° et un k de 229. La combinaison des datations obtenues à partir de l'inclinaison et la déclinaison fournit un intervalle [- 277 ; 24] AD à 95% de confiance.

Adresse postale :

Université Rennes 1
Géosciences - Rennes, bât. 15
Campus de Beaulieu, CS 74 205
35042 RENNES Cedex (FRANCE)
Fax : 02 23 23 60 97

Contact :

philippe.lanos@univ-rennes1.fr
Tél. : 02 23 23 56 39

philippe.dufresne@u-bordeaux3.fr
Tél. : 02 23 23 63 79

RENSEIGNEMENTS ARCHÉOLOGIQUES

Numéro d'analyse

REN-2013-38

Identification du lot étudié

Référence labo. : 35161A.AMP

Commune de Louvigné-de-Bais, Les Vallons, Ille-et-Vilaine (35), Bretagne

Site : Louvigné-de-Bais (35) - les Vallons - Four F5000

Coordonnées géographiques

WGS84 : Lat. : 48° 02' 15" Nord

Long. : -1° 19' 25" Est

Archéologues responsables

Jean-Claude DURAND

INRAP Grand d'Ouest

Tél. : 06 75 82 34 68

email : jean-claude.durand@inrap.fr

Type de l'opération

Fouille préventive INRAP

Opération de printemps 2013

Nature du matériel analysé

Datation présumée

Tène finale chronologie relative

Contexte et problématique archéologiques

Autres méthodes chronométriques envisagées

C14 prévu

Documents joints au dossier d'analyse

- Plan d'ensemble du four.

- Liste et situation de chaque échantillon

- diapos et photos prises lors des prélèvements en 2013



Photo 1 : vue de la structure avant prélèvements



Photo 2 : vue pendant le prélèvement

PRÉLÈVEMENT ET PRÉPARATION DES ÉCHANTILLONS

Description du prélèvement archéomagnétique

Type de prélèvement : en place au chapeau de plâtre.

Prélèvement : Ph. Lanos, L. Garnier, M. Thomas

Four prélevé les 2 et 3 mai 2013 ; Orientation au Soleil. 20 échantillons prélevés

Hypothèse : on suppose que la structure du four n'a pas bougé depuis la dernière chauffe et que la température est montée suffisamment sur les échantillons prélevés pour les « marquer ».

Échantillon	Horaire d'été le 3 mai 2013
1	9h08m30s
2	9h10m30s
3	9h11m30s
4	9h12m30s
5	9h13m25s
6	9h14m35s
7	9h15m50s
8	9h16m55s
9	9h18m10s
11	9h21m05s
12	9h21m55s
13	9h22m50s
14	9h23m50s
15	9h25m00s
16	9h25m50s
17	9h27m35s
18	9h28m25s
19	9h30m05s
20	9h31m05s

Tableau 1 : Horaire de prélèvement des échantillons

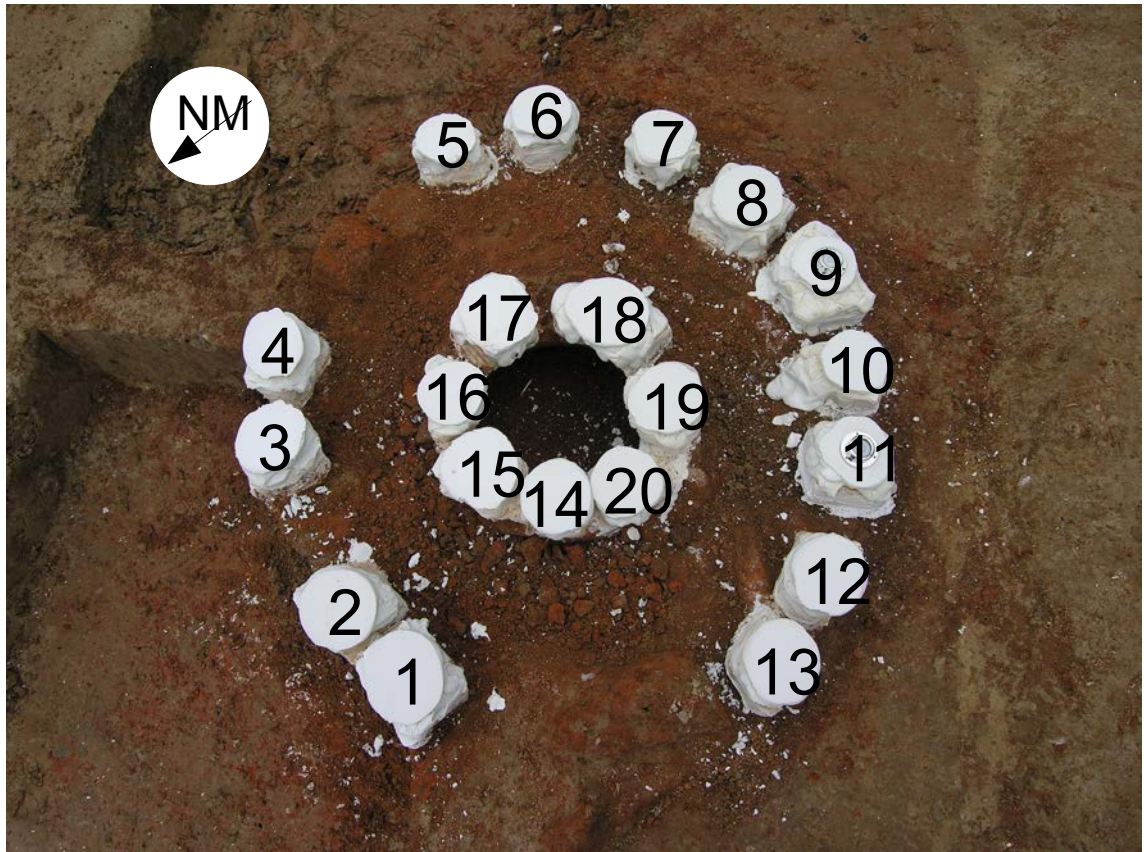


Figure 1 : localisation des prélèvements

Mode de préparation

1 – Chaque bloc a été induré, pour consolidation.

2.- Un cube a été prélevé sur chacun des 20 prélèvements au chapeau de plâtre.

3 - Repérage des cubes (repère noté Oxyz) :

Un trait de marquage est placé sur l'axe du cylindre, cet axe est ensuite repéré par rapport au soleil ou au NM.

4- La numérotation :

Ex : 18 PA1

18

n° du prélèvement, ici de 1 à 20.

A, B ou C

localisation de l'échantillon sur le bloc prélevé

P

pour en place.

1

le numéro du spécimen dans le prélèvement

ANALYSES MAGNÉTIQUES

Instrumentation

Les mesures des orientations et des amplitudes des aimantations rémanentes ont été réalisées à l'aide du magnétomètre Moispin.

Les désaimantations thermiques sous champ nul et les déterminations d'anisotropie d'ATR (Aimantation ThermoRémanente) ont été effectuées dans le four MMTD de "Magnetic Measurements"(modèle MMTD80).

Les mesures de susceptibilité magnétique ont été réalisées avec un susceptibilimètre MS2 de chez « Bartington instruments ».

Correction d'orientation / de repère de mesure

Lors des calculs, les corrections d'orientation sont effectuées automatiquement.

Mesures des ARN

La Figure 2, montre la dispersion des directions des ARN (Aimantation Rémanente Naturelle) avant tout traitement thermique et la position des spécimens sélectionnés pour le reste de l'analyse. Le Tableau 2 donne les valeurs des mesures de l'ARN

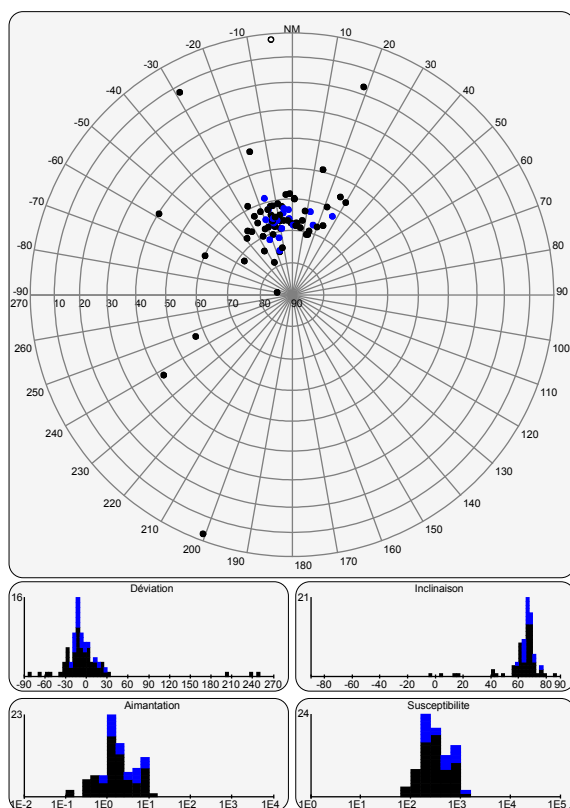


Figure 2 : diagramme Lambert des ARN, dans le repère géographique

Nom	Inc. (en degrés)	Dec. (en degrés)	ARN (en A/m)	Susceptibilité (en SI)
1PA1	70,78	13,58	8,02	790
1PA2	69,62	15,27	7,55	850
1PB1	49,37	14,19	4,15	831
1PB2	58,70	-15,97	2,38	646
2PA1	66,40	-1,79	6,10	659
2PA2	67,79	3,40	6,96	710
2PA3	67,82	4,46	4,61	536

2PB1	-2,92	-4,69	1,40	370
2PB2	41,83	237,67	1,84	386
3PA1	63,62	12,80	4,81	549
3PB1	2,93	200,26	4,26	533
3PB2	60,43	-65,98	0,28	162
4PA1	64,43	-3,58	4,77	588
4PA2	66,76	-6,11	3,11	473
4PB1	57,17	246,35	1,31	317
4PB2	12,71	-29,04	0,11	79
5PA1	63,73	9,11	0,93	192
5PA2	63,46	-2,26	2,33	288
5PB1	56,48	30,23	0,41	96
5PB2	55,90	26,44	3,70	408
6PA1	61,60	-13,68	3,19	410
6PA2	66,16	-10,23	3,32	406
6PB1	67,17	-15,61	3,62	478
6PB2	66,92	-9,16	8,94	915
7PA1	69,23	-9,75	0,45	132
7PA2	69,25	-8,56	0,65	177
7PB1	78,71	-28,71	0,38	144
7PB2	76,16	-15,74	2,13	331
8PA1	67,38	17,04	0,75	199
8PA2	70,76	14,91	0,47	127
8PB1	67,57	20,34	0,33	98
8PB2	85,42	-81,79	0,28	101
9PA1	68,08	-14,13	1,10	242
9PA2	70,51	-17,56	1,68	267
9PB1	72,11	-54,74	2,01	368
9PB2	42,70	-16,32	1,20	249
10PA1	65,46	-18,85	1,46	208
10PA2	62,42	-20,29	3,32	415
10PB1	65,95	-34,59	6,32	716
10PB2	62,91	-25,25	2,08	310
10PB3	68,29	-13,69	0,43	157

11PA1	72,00	-12,50	3,66	517	16PA1	60,26	1,73	0,61	133
11PA2	64,43	-14,63	1,11	286	16PA2	60,06	1,59	0,94	177
11PB1	40,39	-58,69	0,55	352	16PB1	63,03	-5,14	1,21	199
11PB2	59,25	-26,68	0,35	115	16PB2	58,52	-1,22	1,04	166
12PA1	62,57	27,68	6,65	759	17PA1	65,32	-25,47	1,03	194
12PA2	66,54	24,47	1,34	261	17PA2	66,29	-14,83	1,43	237
12PB1	60,52	22,21	5,39	860	17PB1	65,56	-13,86	1,27	206
12PB2	17,42	19,08	0,11	119	18PA1	62,65	-15,55	1,11	250
13PA1	75,91	-14,99	8,99	1002	18PA2	62,57	-15,73	1,27	241
13PA2	75,27	-11,68	7,81	978	18PB1	65,29	-12,19	1,72	264
13PB1	74,09	-32,52	2,47	501	18PB2	61,56	-12,26	1,15	194
13PB2	67,68	-38,57	1,22	246	19PA1	69,89	-26,29	1,57	254
14PA1	67,17	-14,11	7,24	703	19PA2	67,94	-22,17	1,13	241
14PA2	65,06	-8,58	7,43	772	19PB1	71,81	-21,78	1,80	279
14PA3	67,03	-3,10	7,47	806	19PB2	66,80	-32,36	1,95	270
14PB1	65,22	-12,42	1,24	256	19PB3	67,88	-19,06	1,37	210
14PB2	62,26	-6,54	1,83	316	20PA1	67,88	4,53	0,93	216
14PB3	67,75	-0,56	1,55	226	20PA2	69,09	7,24	0,79	185
15PA1	66,41	-11,18	5,44	687	20PB1	68,47	1,11	1,09	205
15PA2	65,91	-14,45	10,20	1036	20PB2	68,69	3,56	1,77	285
15PB1	61,30	-8,90	2,15	297	20PB3	66,61	8,35	1,57	249
15PB2	58,56	-3,59	2,23	295					

Tableau 2 : mesures des ARN, dans le repère géographique

Désaimantation thermique

Les 20 spécimens ont été désaimantés progressivement en champ magnétique nul, en respectant la séquence de température suivante : 100, 150, 200, 250, 300, 350, 400, 450, 500 et 550°C.

Le report en coordonnées cartésiennes des aimantations résiduelles calculées après chaque étape visualise, par des alignements de points, l'évolution des composantes partielles de l'aimantation.

Nous avons ici, pour 18 spécimens sur 20, une seule composante d'aimantation, correspondant à la dernière utilisation du four. Comme exemple le spécimen 12PA1 (Figure 3) qui possède une seule composante d'aimantation. Les spécimens 1PB2 et 6PB1 (Figure 3) possèdent encore la trace d'une ancienne aimantation.

Détermination des tenseurs d'anisotropie d'ATR

Au cours de la désaimantation thermique, à la température de 500°C, une détermination d'anisotropie d'ATR partielle a été réalisée, par application d'un champ de 60 μ T selon successivement les axes Oz, Ox, Oy et enfin Oz pour le bouclage (contrôle d'absence d'évolution minéralogique) sur les 20 spécimens. Les corrections d'anisotropie seront effectuées individuellement.

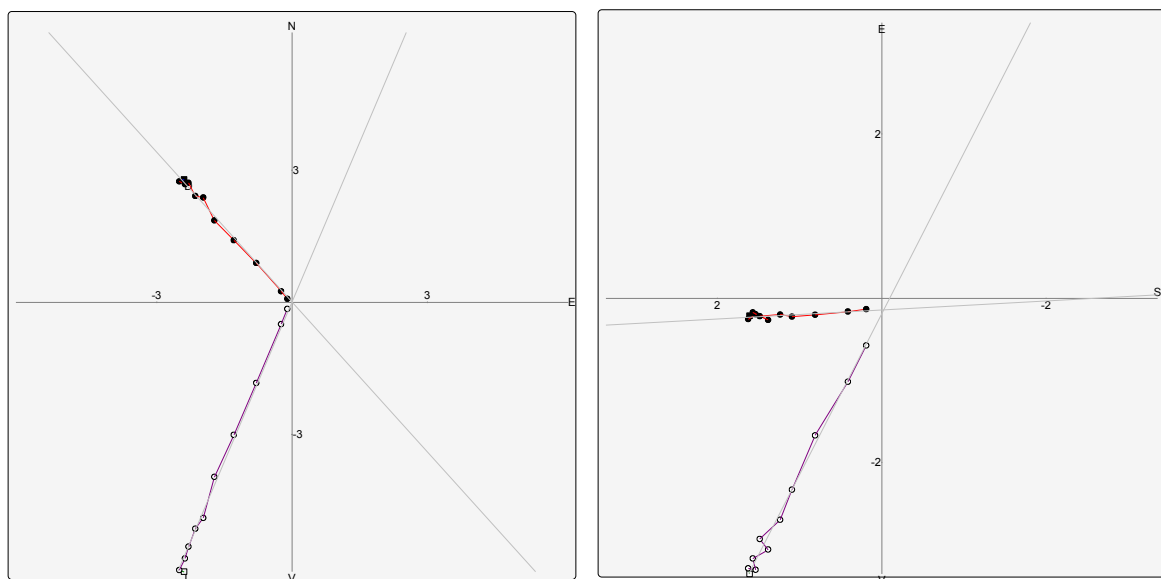


Figure 3 : diagramme de désaimantation de 12PA1 (à gauche) et 6PB1 (à droite)

ANALYSE ARCHÉOMAGNÉTIQUE

Séparation d'ATRP, d'unités stratigraphiques et d'unités AM

Pour la majorité, les directions déterminées sont cohérentes et caractéristiques d'une seule aimantation acquise lors de la dernière chauffe du four. Des traces d'une aimantation initiale existent seulement sur 1PB2 et 6PB1. Nous exploitons donc la seconde composante sur ceux-ci.

ANALYSE STATISTIQUE DE L'ATR CARACTÉRISTIQUE

Corrections magnétiques

Pas de correction d'effet de forme (champ démagnétisant) nécessaire. Aimantation faible et rapport de forme isotrope.

La correction d'anisotropie d'ATR a été appliquée individuellement.

Corrections de positionnement

Pas de correction de pendage ni de correction de pente appliquée.

Résultats des corrections

Le Tableau 3 suivant donne le résultat corrigé de l'inclinaison et de la déclinaison pour chaque spécimen. Les colonnes :

- **Temp1** et **Temp2** indiquent la fraction d'ATR utilisée.
- **L1**, **L2** et **L3** indiquent les valeurs propres du tenseur d'anisotropie obtenue.
- **%dérive** indique le pourcentage de dérive lors des étapes d'anisotropie.

Nous constatons que les spécimen 1PB2 et 12PA1 sont en dehors du cercle de dispersion à 95%, ils seront ignorés pour le reste des calculs.

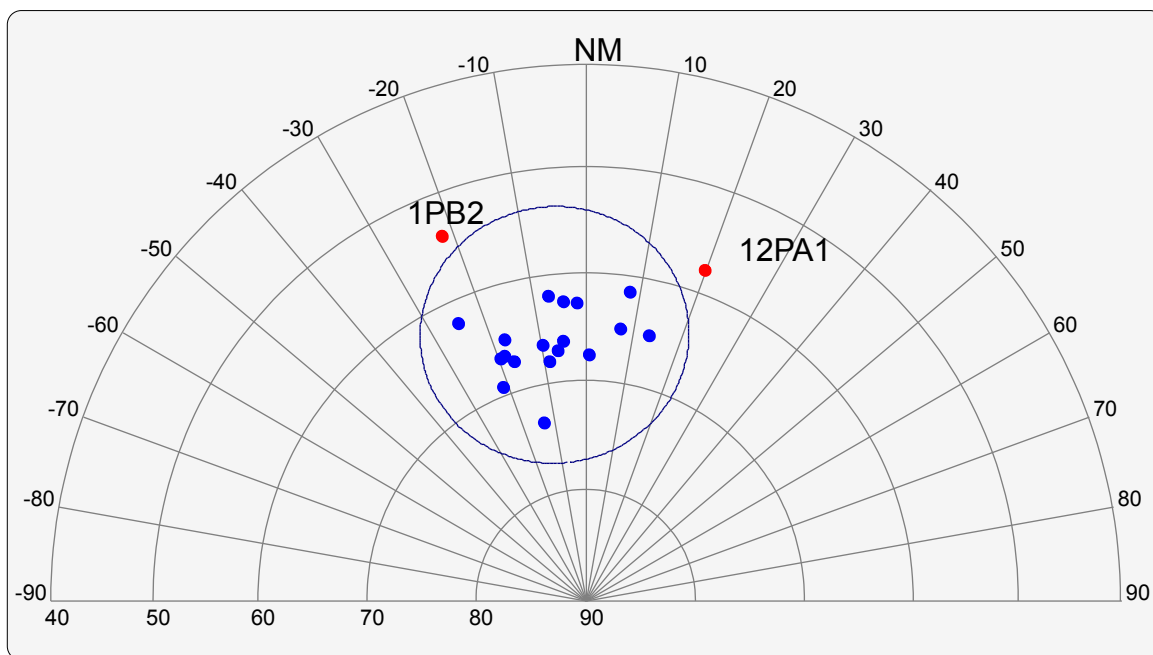


Figure 4 : diagramme Lambert des éléments, avec cercle de dispersion à 95%

Nom	Temp 1	Temp 2	% Dérive	L1	L2	L3	Inc. (en degrés)	Dec. (en degrés)
1PB2	100	500	3,96	1,04	1,02	0,94	54,16	-21,57
2PA1	200	550	5,97	1,09	0,99	0,92	65,15	7,55
3PA1	100	550	3,90	1,07	0,98	0,95	61,58	8,20
4PA1	100	550	2,75	1,07	0,99	0,95	62,72	-4,10
5PA2	100	550	3,98	1,07	1,00	0,93	62,06	-7,02
6PB1	100	550	6,29	1,08	1,04	0,88	62,91	-1,62
7PA2	200	550	1,36	1,07	0,99	0,93	66,57	-9,57
8PA1	100	550	1,35	1,06	0,99	0,95	65,27	13,51
9PA1	100	550	1,13	1,04	1,02	0,95	67,39	-16,73
10PA1	250	550	2,09	1,07	1,02	0,91	62,3	-24,61
11PA1	100	550	4,41	1,17	0,94	0,89	65,24	-17,08
12PA1	100	550	4,62	1,11	1,00	0,89	57,95	20,11
13PA1	100	550	6,53	1,10	0,98	0,92	73,54	-13,07
14PA1	100	550	4,34	1,06	1,01	0,93	66,38	-4,96
15PA1	100	550	4,83	1,06	0,97	0,97	68,16	-8,65
16PB1	100	550	0,61	1,09	1,05	0,86	67,19	-6,27
17PB1	100	550	1,21	1,09	0,99	0,92	66,63	-18,34
18PA1	100	550	0,02	1,10	1,00	0,90	66,82	-19,32
19PB1	250	550	1,78	1,05	0,98	0,97	69,42	-21,07
20PB1	400	550	0,84	1,08	1,01	0,91	67,8	0,94

Tableau 3 : résultats des corrections

Analyse statistique

En appliquant la statistique de Fisher, sur la sélection, nous trouvons :

$$I_{\text{Site}} = 66,32^{\circ}$$

$$D_{\text{Site}} = -7,56^{\circ}$$

$$n = 18 \text{ spécimens}$$

$$k_{\text{sans biais}} = 229$$

$$\alpha_{95 \text{ Fisher}} = 2,28^{\circ}$$

$$\Delta_{95} = 9,27^{\circ}$$

SOLUTION(S) CHRONOLOGIQUES(S)

Correction géographique

La valeur de l'inclinaison est réduite à Paris, site de référence pour la France, en utilisant le modèle du Pôle Géomagnétique Virtuel.

$$\begin{aligned}I_{\text{Paris}} &= 66,56^\circ \pm 2,29^\circ \\D_{\text{Paris}} &= -7,70^\circ \\ \alpha_{95}^{\text{Fisher}} &= 2,29^\circ\end{aligned}$$

Courbes de variation séculaire du CMT utilisées

Les points de référence pour la variation séculaire de l'inclinaison et de la déclinaison du CMT utilisées sont ceux publiés par M. Y. Gallet et al. en 2002 pour la France. Le lissage des données de référence est réalisé à l'aide de l'algorithme mis au point à Rennes, par Ph. Lanos (GAL2002_I.ref;GAL2002_D.ref).

Datation : Intervalles de date obtenus, avec densité de probabilité

Les Figure 5 et Figure 6 montrent la probabilité de date à 95%, donnée pour chaque paramètre inclinaison et déclinaison entre 999 BC et 1830 AD.

Les solutions chronologiques (Figure 7) sont déduites avec un total de 95% de confiance, par la combinaison des densités de probabilité obtenues avec l'inclinaison et la déclinaison.

Nous obtenons un intervalle :

[-277 ; 24] AD à 95% de confiance

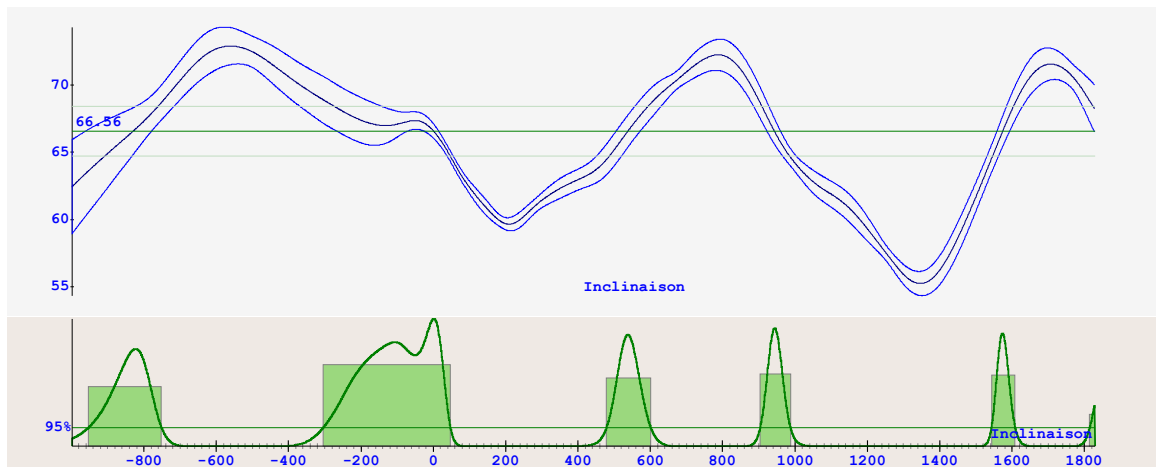


Figure 5 : Probabilité de date donnée par l'inclinaison seule sur toute la courbe

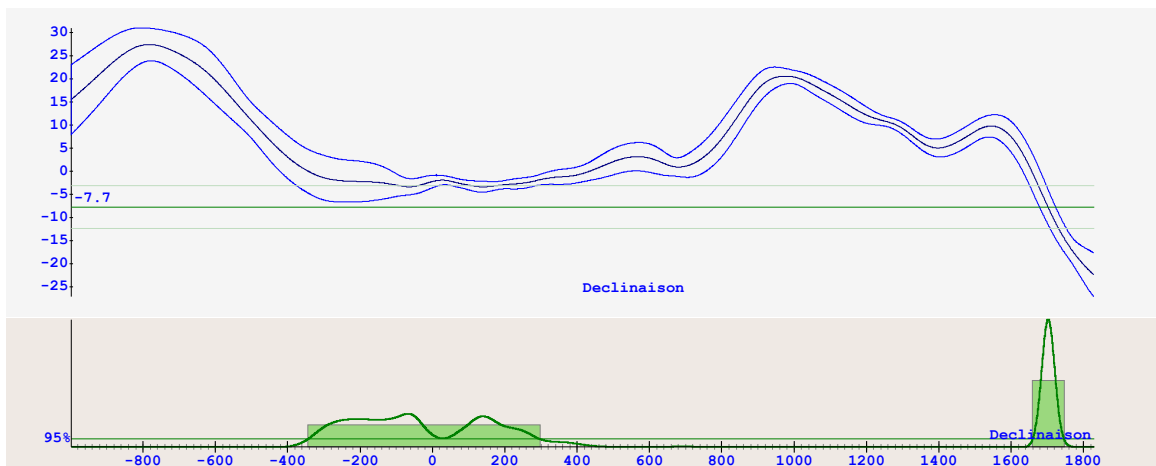


Figure 6 : Probabilité de date donnée par la déclinaison seule sur toute la courbe

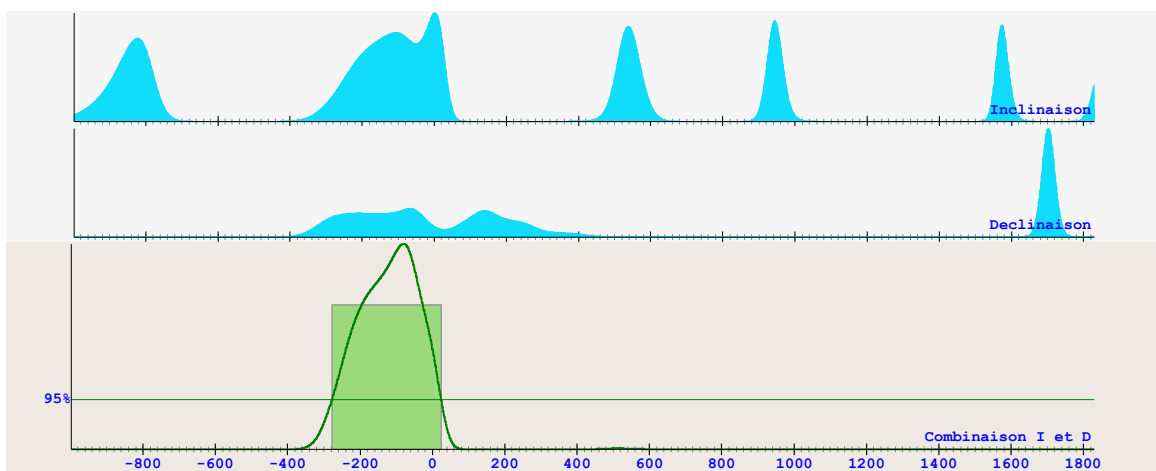


Figure 7 : Probabilité de date donnée par la combinaison de l'inclinaison et la déclinaison

Attention : Les densités de probabilité ont été représentées dans le même cadre que les courbes d'inclinaison. Seuls les axes des temps correspondent. Les coordonnées indiquées correspondent à des degrés. Les échelles en ordonnée des densités de probabilité n'ont pas de légende ici

Conclusion à l'analyse archéomagnétique

Cette datation archéomagnétique fournit deux intervalles de date calendaire [- 277 ; 24] AD à 95% de confiance pour la dernière chauffe du four.

NB : Des compléments d'information plus précis concernant le processus de l'analyse présenté ci-après sont données dans l'ouvrage « La datation en laboratoire », J. Evin, G.-N. Lambert, L. Langouët, Ph. Lanos et Ch. Oberlin, Collection « Archéologiques » dirigée par A. Ferdière, éditions errance, Paris, 2005, chap. Archéomagnétisme, p. 118-165

RÉALISATION

Travail réalisé par

Prélevé les 2 et 3 mai 2013 par Ph. Lanos, L. Garnier et M. Thomas.
Préparé au laboratoire du 22 octobre au 20 octobre 2013 par L. Garnier.
Mesures effectuées du 13 décembre au 7 janvier 2014 par L. Garnier.
Rédaction du rapport terminée le 4 février 2014.

Logiciels de calcul

Pour l'analyse des mesures : RenArMag version 3.6.0.5
Pour la datation : RenDateModel version 5.1.0.1
Pour la déclinaison locale : Geomag70 avec IGRF11
Fichiers de courbes de référence : GAL2002_I.ref ; GAL2002_D.ref

Publication des résultats

Le présent rapport d'analyse n'est pas publiable en l'état.

Bibliographie**Bibliographie fours**

Baigl 2000 : Baigl (J.-Ph.), - Barbezieux, Les Petis Clairons (Charente), un atelier de potier du deuxième âge du Fer, *Aquitania*, 17, 2000, p. 7-54.

Bunch, Corder 1954 : Bunch (B.), Corder (P.), - A Romano-British Pottery Kiln at Weston Favell near Northampton, *Antiquaries Journal*, 34, 1954, p. 218-225.

Coulon, Odier 1980 : Coulon (G.), Odier (Th.), - Un atelier de potiers de la Tène finale à Villedieu-sur-Indre (Indre), *Revue Archéologique du Centre de la France*, 19, 1980, p. 81-94.

Elizagoyen et al. 2010 : Elizagoyen (V.), Sergent (F.) et Sireix (Ch.), - Note sur la découverte de fours de potiers gaulois en Dordogne, à Prigonrieux et Saint-Germain-et-Mons, *Documents d'Archéologie et d'Histoire Périgourdines*, 25, 2010, p. 91-112.

Landreau et al. 2012 : Landreau (G.), Guitton (D.) et Hervé (G.), - Un atelier de potiers de la fin du second âge du Fer à Montmorillon (Vienne), in : *SFECAG*, Actes du Congrès de Poitiers, 2012, p. 415-424.

Le Dreff 2011 : Le Dreff (Th.), - Fours et ateliers de potiers au second âge du Fer dans l'isthme gaulois, *Aquitania*, 27, 2011, p. 19-59.

Menessier-Jouannet 1991 : Menessier-Jouannet (C.), - Un four de potier de la Tène Finale à Lezoux (Puy-de-Dôme), *Revue Archéologique du Centre de la France*, 30, 1991, p. 113-126.

Siriex 1990 : Siriex (Ch.), - Officine de potiers et production céramique sur le site protohistorique de Lacoste à Mouliets-et-Villemartin (Gironde),

Aquitania, 8, 1990, p. 45-97.

Swan 1984 : Swan (V.), - *The pottery kilns of Roman Britain* (avec 5 micro-fiches), 1984 (Royal Commission on Historical Monuments, Supplément 5).

Tyers 2001 : Tyers (P.A.), - *Camulodunum type 262*. Central gaulish coarse wares in Iron Britain. in : *Tuffreau-Libre M., Jacques A. dir., La céramique romaines : commerce, contacts et romanisation*, (Nord-Ouest Archéologie n°12), 2001, p. 87-106.

Woods 1974 : Woods (P. J.), - Types of Late Belgic and Early Romano-British Pottery Kilns in the Nene Valley, *Britannia*, 5, 1974, p. 262-281.

Bibliographie pétrographie

Arnal 1991 : Arnal (G.B.), - DURRENMATH G., GRIL C., 1991 - L'analyse d'image, méthode de convergence archéométrique. Technologique et datation absolue. *Revue d'archéométrie*, n° 15, p.103-115.

Arnal et al. 1987 : Arnal (G.B.), Gril (C.), Lalanne (J.F.), - Caractérisation des céramiques par l'étude du dégraissant. *Revue d'archéométrie*, no 11, p.53-61.

Aumasson 1979 : Aumasson (P.), 1979 - L'enceinte circulaire du XIIIe s. de la Saudrais (Pancé). *Archéologie en Bretagne*. n°20-21, p.77-80.

Barrat 1986 : Barrat (J.A.), - *Pétrologie des intrusions basiques tardi-cadomienne des régions de Saint-Brieuc et de Guingamp (Côtes du Nord)*. Rapport de maîtrise, Université de Rennes I, 84 p.

Bishop et al. 1982 : Bishop (R.L.), Rands (R.L.), Holley (G.P.), - Ceramic compositional analysis

in archaeological perspective. In M. B. Schiffer, ed., *Advances in archaeological method and theory*. Vol. 5, p.275-330.

Brongniart 1844-1877 : Brongniart (A.), - *Traité des arts céramiques ou des poteries*. Paris, 2 tomes et un atlas, XXXII, 760 p., 824 p., 86 p. et 71 pl.

Chevalier-Kervern 1935 : Chevalier-Kervern (M.R.), - Les poteries de Lanveur en Lannilis (Finistère). *Bulletin de la société archéologique du Finistère*. LXII, p.115-137.

Chevalier-Kervern 1956 : Chevalier-Kervern (M.R.), - Les poteries de Lanveur en Lannilis. *Les cahiers de l'Iroise*. III, 2, p.51-58.

Durand 1960 : Durand (S.), - *Le Tertiaire de Bretagne, étude stratigraphique, sédimentologique et tectonique*. *Mem de la Soc. Géologique et Minéralogique de Bretagne*, XII, 389 p.

Durand, Esteoule-Choux 1974 : Durand (S.), Esteoule-Choux (J.), - Le Néogène du Massif Armoricaïn. In : *Géologie de la France*, Paris, Doin, 1.

Echallier 1984 : Echallier (J.C.), - Eléments et technologie céramique et d'analyse des terres cuites archéologiques. *Documents d'Archéologie méridionale*. Méthodes et techniques, n° 3, 42p.

Echallier 1992 : Echallier (J.C.), - Les céramiques archéologiques sous le microscope. *Mémoire de la Société Géologique de France*, n.s., n° 160, p.67-74.

Echallier, Jehenne 1985 : Echallier (J.C.), Jehenne (F.), - Remarques méthodologiques à propos de deux études pétrographiques d'ensembles céramiques. *Documents et travaux de l'I.G.A.L.*, 9, *Etudes céramiques en Archéologie*, p.95 - 112.

- Esteoule-Choux 1970** : Esteoule-Choux (J.), - *Contribution à l'étude des argiles du Massif Armoricaïn. Mem de la Soc. Géologique et Minéralogique de Bretagne*, XIV, 319 p.
- Esteoule-Choux, Perret 1972** : Esteoule-Choux (J.), Perret (P.), - Etude des formations superficielles du Massif Armoricaïn : caractères distinctifs et passage des altérites et des dépôts tertiaires aux formations quaternaires. *Bull. de la Soc. Géologique et Minéralogique de Bretagne*, IV, 2, p.97 - 106
- Giot, Monnier 1983** : Giot (P.R.), Monnier (J.L.), - Caractérisation des céramiques de Saint-Jean-La-Poterie. *Société Polymatique du Morbihan*, p.v. 47-48 (112, 1985, p.v. 39).
- Giot, Morzadec 1989** : Giot (P.R.), Morzadec (H.) - Les céramiques à spicules de silicisponges. *Revue d'Archéométrie*, 13, p. 65-67.
- Giot, Querre 1986c** : Giot (P.R.), Querre (G.), - Les poteries armoricaines à spicules. *Les Dossiers du Centre régional archéologique d'Alet*, 14, p. 1-12.
- Henderson, ed., 1989** : Henderson (J.), - *Scientific analysis in archaeology*. Oxford University Committee for Archaeology. Monograph n° 19, Archaeological research Tools S, 313 p.
- Hodges 1963** : Hodges (H.W.M.), - The examination of ceramic materials in thin section. In E. Pyddoke, ed., *The scientist and archaeology*. Phoenix House, London, p. 101-110.
- Hodges 1964** : Hodges (H.W.M.), - *Artifacts an introduction to early materials and technology*. London, Baker, 248 p.
- Hulten 1982** : Hulten (B.), - Identification of clays and its application to investigations of ancient ceramics. *Pact*, 7, part 2, p.393-400.
- Middleton et al. 1985** : Middleton (A.P.), Freestone (. C.), Leese (M. N), - Textural analysis of ceramic thin sections evaluation of grain size sampling procedures. *Archaeometry*, vol. 27, part 1, p.64-74.
- Morzadec 1991** : Morzadec (H.), - The Armorican Fine Cordoned Potteries: a Petro-archaeological Synthesis starting with those from Hengistbury Head. *Oxford Journal of Archaeology*, 10.1, March 1991. p.75-94.
- Morzadec 1991** : Morzadec (H.), - Étude pétro-archéologique des céramiques du site de l'Homme Mort. In Leroux G. (dir.), Un établissement gaulois de Haute Bretagne. *Les Dossiers du Ce.R.A.A.*, suppl. 1991-n°N, p.77-86.
- Morzadec 1992** : Morzadec (H.), - La céramique proto-onctueuse, synthèse pétro-archéologique. *Documents et Travaux de l'I.G.A.L.*, n° 16, p.73-86.
- Morzadec 1995** : Morzadec (H.), - Étude pétro-archéologique des céramiques armoricaine du Néolithique à la fin de l'Age du Fer. *Trav. Labo. Anthropologie Rennes*, 41, 206p.
- Morzadec 1996** : Morzadec (H.), - Étude pétro-archéologique de la céramique du site de Le Boissanne. In Menez Y. (dir), *Une ferme de l'Armorique gauloise Le Boissanne à Plouer sur Rance (Côte d'Armor)*. Documents d'Archéologie Française.
- Morzadec 2005** : Morzadec (H.), - *Étude pétrographique des céramiques du site de Gabard (Nueil-sur-Argent, 79)*, rapport d'analyse, INRAP, 13 p.
- Morzadec 2006** : Morzadec (H.), - *Étude pétrographique des céramiques du site de La Rivaille (Verneuil-sur-Vienne, 87)*, rapport d'analyse, INRAP, 17 p.
- Morzadec 2007** : Morzadec (H.), - *Étude pétrographique des céramiques du site du Bois de Gouttemane (Parsac, 23)*, rapport d'analyse, INRAP, 20 p.
- Morzadec 2008** : Morzadec (H.), - *Étude pétrographique des céramiques du site des Epanours (Peyrat-de-Bellac, 87)*, rapport d'analyse, INRAP, 19 p.
- Morzadec 2009** : Morzadec (H.), - *Étude pétrographique des céramiques du site du Bois du Roi (Bellac, 87)*, rapport d'analyse, INRAP, 12 p.
- Morzadec 2013** : Morzadec (H.), - Étude pétrographique des céramiques du site de La Liberderie (Genes sur Seiche, 35), rapport d'analyse, INRAP, 17 p.
- Morzadec 2015** : Morzadec (H.), - Étude pétrographique des céramiques du site de La Primaudière (Noyal sur Vilaine, 35), rapport d'analyse, INRAP, 28 p.
- Morzadec 2015** : Morzadec (H.), - Étude pétrographique des céramiques du site de La Grande Maçonais (Torcé, 35), rapport d'analyse, INRAP, 17 p.
- Morzadec 2015** : Morzadec (H.), - Étude pétrographique des céramiques du site de Vassé (Torcé, 35), rapport d'analyse, INRAP, 17 p.
- Nelson 1985** : Nelson (B. A.), (ed), - *Decoding prehistoric ceramics*. Southern Illinois University Press, Carbondale, 441p.
- Oehlert et al. 1905** : Oehlert (D.P.), Bigot (A.), Matte (H.), - Carte géol. France (1/80 000) feuille de Laval (76), 1^{re} édition.
- Olin, Franklin 1982** : Olin (J.S.), Franklin (A.D.), (eds.), - *Archaeological ceramics*. Smithsonian Institution Press,

Washington, 256 p.

Peacock 1970 : Peacock (D.P.S.), -
The scientific analysis of ceramics.
World Archaeology, 1, p.375-
389.

Peacock 1972 : Peacock (D.P.S.),-
Petrology. *Proceedings of the
prehistoric Society*, 38, p.333.

Peacock 1973 : Peacock (D.P.S.),
- Petrology. *Archaeologia
Cambrensis*, 121, p.48.

Peacock 1977 : Peacock (D.P.S.),
- *Pottery and early commerce*.
Cambridge University Press,
Cambridge, 340 p.

Rice 1984 (ed.) : Rice (P.
M.), - Pots and potters
current approaches in ceramic
archaeology. *Institute of
Archaeology Monograph 24*,
University of California, Los
Angeles, 255 p.

Rice 1987 : Rice (P. M.),- *Pottery
analysis, A source Book*. The
University of Chicago Press/
Chicago and London, 559 p.

Rye 1981 : Rye (O. S.), - *Pottery
technology, Principles and
reconstruction*. Manuals on
Archaeology 4, Taraxacum
Washington, 150 p.

Shepard 1956 : Shepard (A. O.),
- *Ceramics for the archaeologist*.
Carnegie Institution, Washington,
414 p.

Sinopoli 1991 : Sinopoli (C. M.),
- *Approaches to archaeological
ceramics*. Plenum Press, New
York, 237 p.

Tite 1969 : Tite (M. S.), -
Determination of the firing
temperature of ancient ceramics
by measurement of thermal
expansion: a reassessment.
Archaeometry, vol. 11, p.13 1-143.

Trautmann, Clement 1997 :
Trautmann (F.), Clement (J.P.),
- *Carte géol. France (1/50 000),
feuille de La Guerche-de-Bretagne*

(354), Orléans : BRGM. Notice
explicative par Trautmann (F.),
Carn (A.), (1997), 65p.

Trautmann 2000 : Trautmann
(F.), PARIS F., - *Carte géol. France
(1/50 000), feuille de Rennes
(317)*, Orléans : BRGM. Notice
explicative par Trautmann (F.),
PARIS F., Carn (A.), (2000), 85p.

Velde, Druc 1999 : Velde (B.),
Druc (I.C.), - *Archaeological
ceramic materials, origin and
utilization*. Springer Verlag, 299p.

Vitali et al. 1984 : Vitali (V.),
Franklin (V.M.), Hancock (R. G.
V.), - La stabilité des céramiques
par rapport à l'environnement.
Revue d'Archéométrie, n° 8, p.41-
44

Wardle 1992 : Wardle (P.), 1992
- *Earlier prehistoric pottery
production and ceramic petrology
in Britain*. B.A.R., British Series
225, 152 p.

Whitbread 1986 : Whitbread
(I. K.), - The characterisation of
argillaceous inclusions in ceramic
thin sections. *Archaeometry*, vol
28, part 1, p.79-88.

Williams 1983 : Williams (D.E.),
- The petrology of ceramics. *In:
The petrology of archaeological
artefacts, Kempe DRC and
Harvey A.P., ed..* Oxford,
Clarendon Press, p.301-329.

Liste des figures

Fig. 210 : plan de localisation des fours de potiers des ateliers précoces	405
Fig. 211 : vue en plan et coupe des fours F 5663 et F 5000 © cliché : équipe de fouille, DAO J.-C. Durand	406
Fig. 212 : coupe est du four 5663 © équipe de fouille, DAO J.-C. Durand	407
Fig. 213: détail de la rubéfaction interne du pilier du four F 5663 © S. Bourne	408
Fig. 214: détail du pilier du four F 5663 après dégagement © S. Bourne	408
Fig. 215: coupe du four et du pilier du four F 5663 © S. Bourne	408
Fig. 216 : vue en plan du four F 5663, des fosses et des fossés avant fouille © H. Morzadec	409
Fig. 218: vue de la fosse de travail 5665 © équipe de fouille	410
Fig. 217 : sondage manuel dans la couche 5514 recouvrant le four © H. Morzadec	410
Fig. 219 : vue de la fosse 5293 © équipe de fouille	412
Fig. 220 : plan et coupe du four 5000 © équipe de fouille, DAO J.-C. Durand	413
Fig. 221 : vue en plan du four 5000 coupe de la fosse travail et du fossé 5272 © N. Ménez	414
Fig. 222 : vue en plan des indices de four dans le fossé 5651 © J.-C. Durand	415
Fig. 223 : vue du fragment possible de paroi de four dans le fossé 28 sondage 42 © J.-C. Durand	415
Fig. 224: position dans la coupe nord de la paroi de four dans le fossé 28 sondage 42 (partie orangée restante après démontage) © J.-C. Durand	416
Fig. 225 : coupe sud-ouest du fossé 5651 et de la fosse 5655 sondage 702 © J.-C. Durand	416
Fig. 226 : vue du sondage 42 du fossé 565 avec les deux soles de four 1 et 2 ainsi que les rejets de barres de four © J.-C. Durand	418
Fig. 227 : vue en plan et en coupe du four 5506, 1 : avant fouille, 2 : après fouille © cliché équipe de fouille, DAO J.-C. Durand	419
Fig. 228 : plan de localisation de la céramique des ateliers précoces © J.-C. Durand	422
Fig. 229 : plan de localisation de la céramique dite "exogène" (c'est à dire ne correspondant pas aux productions des ateliers précoces) © J.-C. Durand	423
Fig. 230 : exemples de pâtes caractéristique des productions baisesennes © N. Ménez	424
Fig. 231 : éléments morphologiques permettant la caractérisation des sous-types 1a, 1b et 1c © N. Ménez	425
Fig. 232 : planche de synthèse des récipients de type 1a, 1b et 1c © N. Ménez	426
Fig. 234 : tableau récapitulatif des diamètres d'ouverture des individus de type 1a © N. Ménez	427
Fig. 235 : histogramme récapitulatif des diamètres d'ouverture des individus de type 1a © N. Ménez	428
Fig. 236 : tableau récapitulatif des contextes de découverte des individus de type 1a © N. Ménez	428
Fig. 237: tableau récapitulatif des diamètres d'ouverture des individus de type 1b © N. Ménez	429
Fig. 238 : histogramme récapitulatif des diamètres d'ouverture des individus de type 1b © N. Ménez	429
Fig. 239 : tableau récapitulatif des contextes de découverte des individus de type 1b © N. Ménez	429
Fig. 240 : tableau récapitulatif des diamètres d'ouverture des individus de type 1c © N. Ménez	430
Fig. 241 : histogramme récapitulatif des diamètres d'ouverture des individus de type 1c	430
Fig. 242 : tableau récapitulatif des contextes de découverte des individus de type 1c © N. Ménez	431
Fig. 243 : éléments morphologiques permettant la caractérisation des sous-types 2a, 2b, 2c et 2d © N. Ménez	431
Fig. 244 : planche de synthèse des récipients de type 2a, 2b, 2c et 2d © N. Ménez	432
Fig. 245 : tableau synthétique des subdivisions du type 2 © N. Ménez	433
Fig. 246 : tableau récapitulatif des diamètres d'ouverture des individus de type 2a © N. Ménez	434
Fig. 247 : histogramme récapitulatif des diamètres d'ouverture des individus de type 2a © N. Ménez	434
Fig. 248 : tableau récapitulatif des contextes de découverte des individus de type 2a © N. Ménez	435
Fig. 249 : tableau récapitulatif des diamètres d'ouverture des individus de type 2b © N. Ménez	436
Fig. 250 : histogramme récapitulatif des diamètres d'ouverture des individus de type 2b © N. Ménez	436
Fig. 252 : tableau récapitulatif des diamètres d'ouverture des individus de type 2c © N. Ménez	437
Fig. 251 : tableau récapitulatif des contextes de découverte des individus de type 2b © N. Ménez	437
Fig. 253 : histogramme récapitulatif des diamètres d'ouverture des individus de type 2c © N. Ménez	438
Fig. 254 : tableau récapitulatif des contextes de découverte des individus de type 2c © N. Ménez	438
Fig. 255 : tableau récapitulatif des diamètres d'ouverture des individus de type 2d © N. Ménez	439
Fig. 256 : histogramme récapitulatif des diamètres d'ouverture des individus de type 2d © N. Ménez	439
Fig. 257 : tableau récapitulatif des contextes de découverte des individus de type 2d © N. Ménez	440
Fig. 258 : éléments morphologiques permettant la caractérisation des sous-types 3a et 3b © N. Ménez	441
Fig. 259 : tableau synthétique des subdivisions du type 3 © N. Ménez	441
Fig. 260 : tableau récapitulatif des diamètres d'ouverture des individus de type 3a © N. Ménez	442
Fig. 261 : histogramme récapitulatif des diamètres d'ouverture des individus de type 3a © N. Ménez	442
Fig. 262 : tableau récapitulatif des contextes de découverte des individus de type 3a © N. Ménez	443
Fig. 263 : tableau récapitulatif des diamètres d'ouverture des individus de type 3b © N. Ménez	443
Fig. 264 : histogramme récapitulatif des diamètres d'ouverture des individus de type 3b © N. Ménez	444
Fig. 265 : tableau récapitulatif des contextes de découverte des individus de type 3b © N. Ménez	444
Fig. 266 : tableau récapitulatif des diamètres d'ouverture des individus de type 4 © N. Ménez	445
Fig. 267 : histogramme récapitulatif des diamètres d'ouverture des individus de type 4 © N. Ménez	445

Fig. 268 : tableau récapitulatif des contextes de découverte des individus de type 4 © N. Ménez	445
Fig. 269 : tableau récapitulatif des diamètres d'ouverture des individus de type 5 © N. Ménez	446
Fig. 270 : histogramme récapitulatif des diamètres d'ouverture des individus de type 5 © N. Ménez	446
Fig. 271 : tableau récapitulatif des contextes de découverte des individus de type 5 © N. Ménez	446
Fig. 272 : éléments morphologiques permettant la caractérisation des sous-types 6a et 6b © N. Ménez	447
Fig. 273 : tableau synthétique des subdivisions du type 6 © N. Ménez	447
Fig. 274 : tableau récapitulatif des diamètres d'ouverture des individus de type 6a © N. Ménez	448
Fig. 275 : histogramme récapitulatif des diamètres d'ouverture des individus de type 6a © N. Ménez	448
Fig. 276 : tableau récapitulatif des contextes de découverte des individus de type 6a © N. Ménez	448
Fig. 277 : tableau récapitulatif des diamètres d'ouverture des individus de type 6b © N. Ménez	449
Fig. 278 : histogramme récapitulatif des diamètres d'ouverture des individus de type 6b © N. Ménez	449
Fig. 279 : tableau récapitulatif des contextes de découverte des individus de type 6b © N. Ménez	449
Fig. 280 : tableau récapitulatif des diamètres d'ouverture des individus de type 7 © N. Ménez	450
Fig. 281 : histogramme récapitulatif des diamètres d'ouverture des individus de type 7 © N. Ménez	450
Fig. 282 : tableau récapitulatif des contextes de découverte des individus de type 7 © N. Ménez	451
Fig. 284 : tableau synthétique des subdivisions du type 8 © N. Ménez	452
Fig. 285 : tableau récapitulatif des diamètres d'ouverture des individus de type 8a © N. Ménez	452
Fig. 286 : histogramme récapitulatif des diamètres d'ouverture des individus de type 8a © N. Ménez	452
Fig. 289 : histogramme récapitulatif des diamètres d'ouverture des individus de type 8b © N. Ménez	453
Fig. 287 : tableau récapitulatif des contextes de découverte des individus de type 8a © N. Ménez	453
Fig. 288 : tableau récapitulatif des diamètres d'ouverture des individus de type 8b © N. Ménez	453
Fig. 290 : tableau récapitulatif des contextes de découverte des individus de type 8b © N. Ménez	454
Fig. 292 : tableau récapitulatif des diamètres d'ouverture des individus de type 9 © N. Ménez	454
Fig. 293 : histogramme récapitulatif des diamètres d'ouverture des individus de type 9 © N. Ménez	455
Fig. 291 : planche de synthèse des récipients et individus de type 3, 4, 5, 6, 7 et 8 © N. Ménez	456
Fig. 296 : histogramme récapitulatif des diamètres d'ouverture des individus de type 10 © N. Ménez	457
Fig. 297 : tableau récapitulatif des contextes de découverte des individus de type 10 © N. Ménez	457
Fig. 298 : tableau récapitulatif des diamètres d'ouverture des individus de type 11 © N. Ménez	458
Fig. 299 : histogramme récapitulatif des diamètres d'ouverture des individus de type 11 © N. Ménez	458
Fig. 300 : tableau récapitulatif des contextes de découverte des individus de type 11	458
Fig. 302 : histogramme récapitulatif des diamètres d'ouverture des individus de type 12 © N. Ménez	459
Fig. 301 : tableau récapitulatif des diamètres d'ouverture des individus de type 12	459
Fig. 305 : histogramme récapitulatif des diamètres d'ouverture des individus de type 13 © N. Ménez	460
Fig. 303 : tableau récapitulatif des contextes de découverte des individus de type 12 © N. Ménez	460
Fig. 304 : tableau récapitulatif des diamètres d'ouverture des individus de type 13 © N. Ménez	460
Fig. 306 : tableau récapitulatif des contextes de découverte des individus de type 13 © N. Ménez	461
Fig. 307 : tableau récapitulatif des diamètres d'ouverture des <i>unica</i>	461
Fig. 308 : tableau récapitulatif des contextes de découverte des <i>unica</i> © N. Ménez	462
Fig. 309 : tableau de synthèse des comptages relatifs aux types et aux <i>unica</i> (type 100) recensés sur le site © N. Ménez	462
Fig. 311 : diagramme de corrélation entre diamètre d'ouverture et hauteur de formes complètes © N. Ménez	463
Fig. 310 : tableau de corrélation types/principaux contextes (en jaune, les types les mieux représentés au sein de chaque contexte) © N. Ménez	463
Fig. 312 : planche de synthèse des récipients et individus de type 9, 10, 11, 12, 13 et <i>unica</i> © N. Ménez	465
Fig. 313 : céramique découverte hors contexte © N. Ménez	469
Fig. 314 : céramique découverte hors contexte © N. Ménez	470
Fig. 315 : céramique découverte au sein du contexte F.28 Sd. 33 © N. Ménez	473
Fig. 316 : céramique découverte au sein du contexte F.28 Sd. 35 Us 13 © N. Ménez	474
Fig. 317 : céramiques découvertes au sein du contexte F. 28, Sd. 37, Us 8 © N. Ménez	476
Fig. 318 : céramiques découvertes au sein du contexte F. 28, Sd. 38 © N. Ménez	476
Fig. 319 : céramique découverte au sein du contexte F. 28, Sd. 39 © N. Ménez	477
Fig. 319 : céramique découverte au sein du contexte F. 5028 © N. Ménez	482
Fig. 320 : céramiques découvertes au sein du contexte F. 5032 © N. Ménez	484
Fig. 321 : <i>unicum</i> découvert au sein du contexte F. 5043, Us 1 © N. Ménez	485
Fig. 322 : céramique découverte au sein du contexte F. 5048 © N. Ménez	486
Fig. 323 : céramiques découvertes au sein du contexte F. 5050/F. 5236, Sd. 583 © N. Ménez	487
Fig. 324 : céramiques découvertes au sein du contexte F. 5059 © N. Ménez	489
Fig. 325 : céramique découverte au sein du contexte F. 5059, Us fond du four © N. Ménez	489
Fig. 326 : céramique découverte au sein du contexte F. 5066, Sd. 505, Us 1 © N. Ménez	490
Fig. 327 : céramique découverte au sein du contexte F. 5069 © N. Ménez	491
Fig. 328 : céramique découverte au sein du contexte F. 5083, Us 2 © N. Ménez	493
Fig. 329 : céramique découverte au sein du contexte F. 5083, Us 3 et 4 © N. Ménez	493

Fig. 330 : céramiques découvertes au sein du contexte F. 5083, Sd. 564 © N. Ménez	494
Fig. 331 : céramique exogène découverte au sein du contexte F. 5088 © N. Ménez	497
Fig. 332 : céramique découverte au sein du contexte F. 5088, Us de décapage © N. Ménez	497
Fig. 333 : céramiques découvertes au sein du contexte F. 5092, Sd. 515 © N. Ménez	499
Fig. 334 : céramique découverte au sein du contexte F. 5092, Sd. 540 © N. Ménez	500
Fig. 335 : céramique découverte au sein du contexte F. 5092, Sd. 542 © N. Ménez	501
Fig. 336 : céramique découverte au sein du contexte F. 5092, Sd. 544 © N. Ménez	502
Fig. 337 : céramique découverte au sein du contexte F. 5095, Us 1 © N. Ménez	504
Fig. 338 : céramique découverte au sein du contexte F. 5097 © N. Ménez	505
Fig. 339 : céramique découverte au sein du contexte F. 5098, Sd. 534 © N. Ménez	506
Fig. 340 : céramiques découvertes au sein du contexte F. 5099 © N. Ménez	507
Fig. 341 : céramique découverte au sein du contexte F. 5104, Sd. 530 © N. Ménez	508
Fig. 342 : céramiques découvertes au sein du contexte F. 5107 © N. Ménez	512
Fig. 343 : céramiques découvertes au sein du contexte F. 5110 © N. Ménez	513
Fig. 344 : céramiques découvertes au sein du contexte F. 5114 © N. Ménez	514
Fig. 345 : céramiques découvertes au sein du contexte F. 5119 sd moitié est © N. Ménez	515
Fig. 346 : céramiques découvertes au sein du contexte F. 5174 sd 577 Us 3 © N. Ménez	517
Fig. 347 : céramiques découvertes au sein du contexte F. 5141 © N. Ménez	519
Fig. 348 : céramiques découvertes au sein du contexte F. 5145 Us 1 © N. Ménez	519
Fig. 349 : céramique découverte au sein du contexte F. 5162 © N. Ménez	520
Fig. 350 : céramique découverte au sein du contexte F. 5167 de 0 à - 0,1 m © N. Ménez	522
Fig. 351 : céramique découverte au sein du contexte F. 5178 © N. Ménez	522
Fig. 352 : céramique découverte au sein du contexte F. 5179 sd 622 © N. Ménez	523
Fig. 353 : céramique découverte au sein du contexte F. 5181 sd 595 © N. Ménez	524
Fig. 354 : céramiques découvertes au sein du contexte F. 5190 sd 592 © N. Ménez	526
Fig. 355 : céramique découverte au sein du contexte F. 5192 © N. Ménez	527
Fig. 356 : céramique découverte au sein du contexte F. 5201/5442 sd 585 © N. Ménez	528
Fig. 357 : céramiques découvertes au sein du contexte F. 5234 sd 546 © N. Ménez	533
Fig. 358 : céramiques découvertes au sein du contexte F. 5234 sd 546 © N. Ménez	534
Fig. 359 : céramiques découvertes au sein du contexte F. 5236 sd 504 © N. Ménez	536
Fig. 360 : céramiques découvertes au sein du contexte F. 5236 sd 582 © N. Ménez	537
Fig. 361 : céramiques découvertes au sein des contextes F. 5236 sd 601 Us 1 et F. 5136 sd 600 © N. Ménez	540
Fig. 362 : céramiques découvertes au sein du contexte F. 5272 © N. Ménez	543
Fig. 363 : céramiques découvertes au sein du contexte F. 5272 Us 5 © N. Ménez	544
Fig. 364 : céramiques découvertes au sein du contexte F. 5272 sd 616 © N. Ménez	547
Fig. 365 : céramiques découvertes au sein du contexte F. 5272 sd 674 Us 4 © N. Ménez	549
Fig. 366 : céramiques découvertes au sein du contexte F. 5272 sd 674 Us 5 © N. Ménez	550
Fig. 367 : céramique découverte au sein du contexte F. 5272 sd 674 Us 6 © N. Ménez	551
Fig. 368 : céramique découverte au sein du contexte F. 5272 sd 675 © N. Ménez	552
Fig. 369 : céramique découverte au sein du contexte F. 5272 sd 676 © N. Ménez	553
Fig. 370 : céramique découverte au sein du contexte F. 5272 sd 677 © N. Ménez	554
Fig. 371 : céramique découverte au sein du contexte F. 5272 sd 685 © N. Ménez	555
Fig. 372 : céramique découverte au sein du contexte F. 5272 sd 688 © N. Ménez	556
Fig. 373 : céramique découverte au sein du contexte F. 5272 sd 695 Us 3 © N. Ménez	557
Fig. 375 : céramique découverte au sein du contexte F. 5272 sd 725 © N. Ménez	559
Fig. 376 : céramique découverte au sein du contexte F. 5275 Us 1 © N. Ménez	560
Fig. 377 : céramique découverte au sein du contexte F. 5275 Us 2 © N. Ménez	560
Fig. 379 : céramique découverte au sein du contexte F. 5300 sd 589 © N. Ménez	564
Fig. 378 : céramique découverte au sein du contexte F. 5300 © N. Ménez	564
Fig. 380 : céramique découverte au sein du contexte F. 5308 © N. Ménez	565
Fig. 381 : céramiques découvertes au sein du contexte F. 5320 © N. Ménez	567
Fig. 382 : céramiques découvertes au sein du contexte F. 5320 © N. Ménez	568
Fig. 383 : céramiques découvertes au sein du contexte F. 5320 © N. Ménez	569
Fig. 384 : céramiques découvertes au sein du contexte F. 5320 sd 539 © N. Ménez	570
Fig. 385 : céramiques découvertes au sein du contexte F. 5320 sd 550 Us 5 © N. Ménez	571
Fig. 386 : céramiques découvertes au sein du contexte F. 5320 sd 551 © N. Ménez	572
Fig. 387 : céramiques découvertes au sein du contexte F. 5320 sd 551 © N. Ménez	573
Fig. 388 : céramiques découvertes au sein du contexte F. 5320 sd 552 © N. Ménez	575
Fig. 389 : céramiques découvertes au sein du contexte F. 5320 sd 554 © N. Ménez	576
Fig. 390 : céramique découverte au sein du contexte F. 5327 © N. Ménez	578


Fig. 391 : céramique découverte au sein du contexte F. 5329 Us 1 © N. Ménez	579
Fig. 392 : céramiques découvertes au sein du contexte F. 5329 Us 2 © N. Ménez	579
Fig. 393 : céramiques découvertes au sein du contexte F. 5329 Us 3 © N. Ménez	580
Fig. 394 : céramiques découvertes au sein du contexte F. 5330 sd 507 Us 1 © N. Ménez	581
Fig. 395 : céramiques découvertes au sein du contexte F. 5343 sd 512 © N. Ménez	584
Fig. 396 : céramiques découvertes au sein du contexte F. 5343 sd 513 © N. Ménez	584
Fig. 397 : céramiques découvertes au sein du contexte F. 5350 sd 725 © N. Ménez	587
Fig. 398 : céramiques découvertes au sein du contexte F. 5350 sd 725 © N. Ménez	588
Fig. 399 : céramiques découvertes au sein du contexte F. 5361 sd 679 © N. Ménez	589
Fig. 400 : céramiques découvertes au sein du contexte F. 5366 © N. Ménez	589
Fig. 401 : céramiques découvertes au sein du contexte F. 5371 sd 586 © N. Ménez	590
Fig. 402 : céramiques découvertes au sein du contexte F. 5374 © N. Ménez	591
Fig. 403 : céramiques découvertes au sein du contexte F. 5374 sd 692 © N. Ménez	593
Fig. 404 : céramiques découvertes au sein du contexte F. 5374 sd 692 © N. Ménez	594
Fig. 405 : céramiques découvertes au sein du contexte F. 5374 sd 692 Us 2 © N. Ménez	595
Fig. 406 : céramiques découvertes au sein du contexte F. 5374 sd 692 © N. Ménez	597
Fig. 407 : céramiques découvertes au sein du contexte F. 5374 sd 693 © N. Ménez	598
Fig. 408 : céramiques découvertes au sein du contexte F. 5374 sd 693 Us 3 et 4 © N. Ménez	599
Fig. 409 : céramiques découvertes au sein du contexte F. 5374 sd 693 Us 6 © N. Ménez	600
Fig. 410 : céramiques découvertes au sein du contexte F. 5375 © N. Ménez	601
Fig. 411 : céramiques découvertes au sein du contexte F. 5375 sd 531 © N. Ménez	602
Fig. 412 : céramiques découvertes au sein du contexte F. 5407 sd 524 © N. Ménez	605
Fig. 413 : céramiques découvertes au sein du contexte F. 5418 sd 540 © N. Ménez	606
Fig. 414 : céramiques découvertes au sein du contexte F. 5420 Us 1 © N. Ménez	607
Fig. 415 : céramique découverte au sein du contexte F. 5422 © N. Ménez	608
Fig. 416 : céramique découverte au sein du contexte F. 5429 sd 564 © N. Ménez	609
Fig. 417 : céramique découverte au sein du contexte F. 5444 sd 718 © N. Ménez	612
Fig. 418 : céramique découverte au sein du contexte F. 5448 Us 1 © N. Ménez	612
Fig. 419 : céramique découverte au sein du contexte F. 5454 sd 647 © N. Ménez	613
Fig. 420 : céramique découverte au sein du contexte F. 5459 sd 648 et sd 712 © N. Ménez	615
Fig. 421 : céramiques découvertes au sein du contexte F. 5468 sd 606 © N. Ménez	616
Fig. 422 : céramique découverte au sein du contexte F. 5469 sd 612 Us 3 © N. Ménez	617
Fig. 423 : céramiques découvertes au sein du contexte F. 5507 sd 622 © N. Ménez	620
Fig. 424 : céramiques découvertes au sein du contexte F. 5509 sd 626 © N. Ménez	621
Fig. 425 : céramiques découvertes au sein du contexte F. 5521 © N. Ménez	622
Fig. 426 : céramiques découvertes au sein du contexte F. 5529 © N. Ménez	624
Fig. 428 : céramiques découvertes au sein du contexte F. 5536 sd 721 © N. Ménez	625
Fig. 427 : céramiques découvertes au sein du contexte F. 5535 © N. Ménez	625
Fig. 429 : céramiques découvertes au sein du contexte F. 5564 sd 708 Us 1 © N. Ménez	626
Fig. 430 : céramiques découvertes au sein du contexte F. 5618 sd 722 © N. Ménez	628
Fig. 431 : céramiques découvertes au sein des contextes F. 5088, F. 5627/F. 5622, sd 706 Us 2 © N. Ménez	629
Fig. 432 : céramiques découvertes au sein du contexte F. 5651, sd 701 © N. Ménez	631
Fig. 433 : céramiques découvertes au sein du contexte F. 5651 sd 701 © N. Ménez	632
Fig. 434 : céramiques découvertes au sein du contexte F. 5651 sd 701 © N. Ménez	633
Fig. 435 : céramiques découvertes au sein du contexte F. 5651, sd 702 © N. Ménez	634
Fig. 436 : céramiques découvertes au sein du contexte F. 5651 sd 702 © N. Ménez	635
Fig. 437 : céramiques découvertes au sein du contexte F. 5665 sd 696 © N. Ménez	637
Fig. 438 : céramique découverte au sein du contexte F. 5666 sd 697, Us 3 et 4 © N. Ménez	638
Fig. 439 : céramique découverte au sein du contexte F. 5667 Us 1 © N. Ménez	638
Fig. 440 : céramique découverte au sein du contexte F. 5374 et 5366 © N. Ménez	639
Fig. 441 : tableau récapitulatif du nombre minimum d'individus (NMI) mis au jour dans les principaux contextes © N. Ménez	640
Fig. 441 bis : plan de répartition de la céramique par types © J.-C. Durand	641
Fig. 442 : photographie des deux fours en cours de fouille © H. Morzadec	643
Fig. 443 : aspect de la pâte : macroscopiquement (A) et en lame mince (B et C en LPA), (C en LPNA), Gr x32 © H. Morzadec	644
Fig. 444 : extrait de la carte géologique de La Guerche-de-Bretagne (BRGM, 1997) avec localisation du site	644
Fig. 445 : aspect de la pâte : macroscopiquement (A) et en lame mince (B et C en LPA), (C en LPNA), Gr x32 © H. Morzadec	645
Fig. 446 : aspect de la pâte : macroscopiquement (A) et en lame mince (B en LPA), (C en LPNA), Gr x32 © H. Morzadec	645
Fig. 447 : aspect de la pâte macroscopiquement (A) et en lame mince (B en LPA), (C, D, E et F en LPNA), Gr x32 © H. Morzadec	645
Fig. 449 : aspect de la pâte macroscopiquement (A) et en lame mince (C, E et F en LPA), (A et D en LPNA), Gr x32 © H. Morzadec	646
Fig. 450 : aspect de la pâte macroscopiquement (A) et en lame mince (B, D et E en LPA), (C en LPNA), Gr x32 © H. Morzadec	646

Fig. 448 : vue de détail de la texture dendritique des nodules ferrugineux dans l'échantillon CDV240 © H. Morzadec	646
Fig. 451 : fragments de barres de fours dans le comblement du fossé F565 © H. Morzadec	647
Fig. 452 : barre irrégulière, échantillon CDV231 © H. Morzadec	647
Fig. 453 : aspect de la pâte macroscopiquement (A) et en lame mince (B, C et E en LPA), (D et F en LPNA), Gr x32 © H. Morzadec	648
Fig. 454 : aspect de la pâte macroscopiquement (A) et en lame mince (B et D en LPA), (C et E en LPNA), G x32 © H. Morzadec	648
Fig. 455 : barre ronde, échantillon CDV236 © H. Morzadec	648
Fig. 458 : barre rectangulaire, échantillon CDV232 © H. Morzadec	649
Fig. 456 : aspect de la pâte macroscopiquement (A) et en lame mince (B, D et E en LPA), (C en LPNA), G x32	649
Fig. 457 : aspect de la pâte macroscopiquement (A) et en lame mince (C et D en LPA), (B et E en LPNA), G x32 © H. Morzadec	649
Fig. 459 : aspect de la pâte macroscopiquement (A) et en lame mince (B et F en LPA), (C, D et E en LPNA), G x32 © H. Morzadec	650
Fig. 460 : aspect de la pâte macroscopiquement (A) et en lame mince (B et D en LPA), (C, E et F en LPNA), G x32 © H. Morzadec	650
Fig. 461 : aspect de la pâte macroscopiquement (A) et en lame mince (B, C et E en LPA), (D et F en LPNA), G x32 © H. Morzadec	651
Fig. 462 : aspect de la pâte macroscopiquement (A) et en lame mince (B, D et F en LPA), (C et E en LPNA), G x32 © H. Morzadec	651
Fig. 463 : aspect de la pâte macroscopiquement (A) et en lame mince (B, D et E en LPA), (C et F en LPNA), G x32 © H. Morzadec	652
Fig. 464 : aspect de la pâte macroscopiquement (A) et en lame mince (B, D, E et F en LPA), (C en LPNA), G x32 © H. Morzadec	652
Fig. 465 : aspect de la pâte macroscopiquement (A) et en lame mince (C et D en LPA), (B, E et F en LPNA), G x32 © H. Morzadec	652
Fig. 466 : échantillon CDV244, résidus de fusion dans la pâte, Gr x32 © H. Morzadec	653
Fig. 467 : tableau de synthèse des éléments architecturaux par type de matériaux	653
Fig. 468 : décompte par structure des échantillons prélevés et des lames minces fabriquées dans les céramiques © H. Morzadec	654
Fig. 469 : aspect de la pâte macroscopiquement (A) et en lame mince (B, D, E et F en LPA), (C et G en LPNA), Gr x32 © H. Morzadec	655
Fig. 470 : aspect de la pâte macroscopiquement (A) et en lame mince (en LPA et en LPNA), Gr x32 © H. Morzadec	656
Fig. 471 : aspect de la pâte macroscopiquement (A) et en lame mince (en LPA et en LPNA), Gr x32 © H. Morzadec	657
Fig. 472 : aspect de la pâte macroscopiquement (A) et en lame mince (B, D et F en LPA et C, E et G en LPNA), Gr x32 © H. Morzadec	658
Fig. 473 : aspect de la pâte macroscopiquement (A) et en lame mince (en LPA et en LPNA), Gr x32 © H. Morzadec	658
Fig. 474 : CDV68, détail du repli de pâte pour la constitution du bord, Gr. X 10 © H. Morzadec	659
Fig. 475 : aspect de la pâte macroscopiquement (A) et en lame mince (en LPA et en LPNA), Gr x32 © H. Morzadec	660
Fig. 476 : aspect de la pâte macroscopiquement (A) et en lame mince (en LPA et en LPNA), Gr x32 © H. Morzadec	660
Fig. 477 : aspect de la pâte macroscopiquement (A) et en lame mince (en LPA et en LPNA), Gr x32 © H. Morzadec	661
Fig. 478 : aspect de la pâte macroscopiquement (A) et en lame mince (en LPA et en LPNA), Gr x32 © H. Morzadec	662
Fig. 479 : aspect de la pâte macroscopiquement (A) et en lame mince (en LPA et en LPNA), Gr x32 © H. Morzadec	663
Fig. 480 : aspect de la pâte macroscopiquement (A) et en lame mince (en LPA et en LPNA), Gr x32 © H. Morzadec	663
Fig. 481 : aspect de la pâte macroscopiquement (A) et en lame mince (en LPA et en LPNA), Gr x32 © H. Morzadec	664
Fig. 482 : aspect de la pâte macroscopiquement (A) et en lame mince (en LPA et en LPNA), Gr x32 © H. Morzadec	664
Fig. 483 : aspect de la pâte macroscopiquement (A) et en lame mince (en LPA et en LPNA), Gr x32 © H. Morzadec	665
Fig. 484 : aspect de la pâte macroscopiquement (A) et en lame mince (en LPA et en LPNA), Gr x32 © H. Morzadec	665
Fig. 486 : aspect de la pâte macroscopiquement (A) et en lame mince (en LPA et en LPNA), Gr x32 © H. Morzadec	666
Fig. 485 : aspect de la pâte macroscopiquement (A) et en lame mince (en LPA et en LPNA), Gr x32 © H. Morzadec	666
Fig. 487 : aspect de la pâte macroscopiquement (A) et en lame mince (en LPA et en LPNA), Gr x32 © H. Morzadec	667
Fig. 488 : aspect de la pâte macroscopiquement (A) et en lame mince (B, D, E et F en LPA et C et G en LPNA), Gr x32 © H. Morzadec	667
Fig. 489 : aspect de la pâte macroscopiquement (A) et en lame mince (en LPA et en LPNA), Gr x32 © H. Morzadec	668
Fig. 490 : aspect de la pâte macroscopiquement (A) et en lame mince (B, D, E et F en LPA et C et G en LPNA), Gr x32 © H. Morzadec	668
Fig. 491 : aspect de la pâte macroscopiquement (A) et en lame mince (B, D, E et F en LPA et C en LPNA), Gr x32 © H. Morzadec	669
Fig. 492 : aspect de la pâte macroscopiquement (A) et en lame mince (B, C, D et F en LPA et E en LPNA), Gr x32 © H. Morzadec	669
Fig. 493 : aspect de la pâte macroscopiquement (A) et en lame mince (en LPA et en LPNA), Gr x32 © H. Morzadec	670
Fig. 494 : échantillon CDV115 craquelures dans des cristaux de quartz. Gr x50 © H. Morzadec	670
Fig. 495 : aspect de la pâte macroscopiquement (A) et en lame mince (en LPA et en LPNA), Gr x32 © H. Morzadec	671
Fig. 496 : aspect de la pâte macroscopiquement (A) et en lame mince (B, C et E en LPA et D et F en LPNA), Gr x32 © H. Morzadec	671
Fig. 497 : aspect de la pâte macroscopiquement (A) et en lame mince (B, C, E, F et G en LPA et D en LPNA), Gr x32 © H. Morzadec	672
Fig. 498 : aspect de la pâte macroscopiquement (A) et en lame mince (en LPA et en LPNA), Gr x32 © H. Morzadec	673
Fig. 499 : aspect de la pâte macroscopiquement (A) et en lame mince (en LPA et en LPNA), Gr x32 © H. Morzadec	674
Fig. 500 : aspect de la pâte macroscopiquement (A) et en lame mince (en LPA et en LPNA), Gr x32 © H. Morzadec	674
Fig. 501 : aspect de la pâte macroscopiquement (A) et en lame mince (en LPA et en LPNA), Gr x32 © H. Morzadec	675
Fig. 502 : aspect de la pâte macroscopiquement (A) et en lame mince (en LPA et en LPNA), Gr x32 © H. Morzadec	676
Fig. 503 : aspect de la pâte macroscopiquement (A) et en lame mince (en LPA et en LPNA), Gr x32 © H. Morzadec	677
Fig. 504 : tableau des groupes de pâtes pour la structure F5272 © H. Morzadec	677
Fig. 505 : aspect de la pâte macroscopiquement (A) et en lame mince (en LPA et en LPNA), Gr x32 © H. Morzadec	678
Fig. 506 : aspect de la pâte macroscopiquement (A) et en lame mince (en LPA et en LPNA), Gr x32 © H. Morzadec	679
Fig. 507 : aspect de la pâte macroscopiquement (A) et en lame mince (en LPA et en LPNA), Gr x32 © H. Morzadec	680
Fig. 508 : aspect de la pâte macroscopiquement (A) et en lame mince (en LPA et en LPNA), Gr x32 © H. Morzadec	681
Fig. 509 : aspect de la pâte macroscopiquement (A) et en lame mince (en LPA et en LPNA), Gr x32 © H. Morzadec	682

Fig. 510 : aspect de la pâte macroscopiquement (A) et en lame mince (en LPA et en LPNA), Gr x32 © H. Morzadec	683
Fig. 511 : aspect de la pâte macroscopiquement (A) et en lame mince (en LPA et en LPNA), Gr x32 © H. Morzadec	684
Fig. 512 : aspect de la pâte macroscopiquement (A) et en lame mince (en LPA et en LPNA), Gr x32 © H. Morzadec	685
Fig. 513 : aspect de la pâte macroscopiquement (A) et en lame mince (en LPA et en LPNA), Gr x32 © H. Morzadec	685
Fig. 515 : aspect de la pâte macroscopiquement (A) et en lame mince (en LPA et en LPNA), Gr x32 © H. Morzadec	686
Fig. 514 : vue de la céramique en place dans le pilier du four © H. Morzadec	686
Fig. 516 : aspect de la pâte macroscopiquement (A) et en lame mince (en LPA et en LPNA), Gr x32 © H. Morzadec	687
Fig. 517 : aspect de la pâte macroscopiquement (A) et en lame mince (en LPA et en LPNA), Gr x32 © H. Morzadec	688
Fig. 518 : tableau de croisement des données pétrographiques et typologique d'après N. Menez cf supra . En vert dégraissant d'origine micro-dioritique en violet dégraissant issu des altérites argilo-sableuse, en bleu dégraissant d'origine limoneux © H. Morzadec	689
Fig. 519 : aspect de la pâte macroscopiquement (A) et en lame mince (B, D et F en LPA), (C et E en LPNA), G x32 © H. Morzadec	690
Fig. 520 : aspect de la pâte macroscopiquement (A) et en lame mince (B, D et F en LPA), (C et E en LPNA), G x32 © H. Morzadec	690
Fig. 521 : aspect de la pâte macroscopiquement (A) et en lame mince (B, C et E en LPA), (D et F en LPNA), G x32 © H. Morzadec	691
Fig. 522 : aspect de la pâte macroscopiquement (A) et en lame mince (B, D et E en LPA), (C et F en LPNA), G x32 © H. Morzadec	691
Fig. 523 : aspect de la pâte macroscopiquement (A) et en lame mince (D et E en LPA), (B, C et F en LPNA), G x32 © H. Morzadec	691
Fig. 524 : aspect de la pâte macroscopiquement (A) et en lame mince (C et D en LPA), (B, E et F en LPNA), G x32 © H. Morzadec	692
Fig. 525 : aspect de la pâte macroscopiquement (A) et en lame mince (B et D en LPA), (C, E et F en LPNA), G x32 © H. Morzadec	692
Fig. 526 : quantifications des barres de four © R. Delage	695
Fig. 527 : barres de four entières ou pratiquement complètes © R. Delage	696
Fig. 528 : quantifications des barres de four par séries morphologiques © R. Delage	696
Fig. 529 : Diamètres des barres de four de la série morphologique 1 (* ¹ inv. étude pétro. 233 ; * ² inv. étude pétro. 237) © R. Delage	696
Fig. 530 : origine des barres de four de la série morphologique 1 © R. Delage	697
Fig. 531 : diamètres des barres de four de la série morphologique 2 © R. Delage	697
Fig. 532 : origine des barres de four de la série morphologique 2 © R. Delage	698
Fig. 533 : diamètres des barres de four de la série morphologique 4 © R. Delage	698
Fig. 534 : origine des barres de four de la série morphologique 4 © R. Delage	699
Fig. 535 : confrontation du diamètre médian (abscisse) et de ceux des extrémités (ordonnée) pour les barres des séries morphologiques 1, 2 et 4. Les rectangles de couleur délimitent l'amplitude potentielle des mesures. Les cercles noirs permettent de visualiser les groupes homogènes de barre	700
© R. Delage	700
Fig. 536 : origines des barres de four © R. Delage	701
Fig. 537 : catalogue des dessins © R. Delage	704
Fig. 538 : barres de type 2 F. 565 © R. Delage	705
Fig. 539 : barres de type 2 et 4 F. 565 © R. Delage	706
Fig. 540 : barres de type 1 F. 565 © R. Delage	707
Fig. 541 : barres de type 1 et 4 F. 565 © R. Delage	708
Fig. 542 : barres de type 2 F. 28; 1 et 4 F. 565; 1 F. 5236 © R. Delage	709
Fig. 543 : barres de type 1 F. 5236 © R. Delage	710
Fig. 544 : barres de type 1-3 et 4 F. 5655 © R. Delage	711
Fig. 545 : barres de type 1 F. 565 et 1 et 2 F. 5651 © R. Delage	712
Fig. 546 : barres de type 1 F. 5666 et 2 et 4 F. 565 © R. Delage	713
Fig. 547 : barres de type 2 et 4 F. 565 et 1 F. 5666 © R. Delage	714
Fig. 548 : barres de type 2 F. 5083; 1 F. 5313; 1 F. 5662; 1 F. 5663 © R. Delage	715
Fig. 549 : barres de type 1 et 2 F. 5272 © R. Delage	716
Fig. 550 : barres de type 2 F. 5270; 2 F. 5272 © R. Delage	717
Fig. 551 : plan de répartition des barres par NR © J.-C. Durand	718
Fig. 552 : plan de répartition des barres par types © J.-C. Durand	719
Fig. 553 : plan de localisation de la céramique gallo-romaine © J.-C. Durand	730
Fig. 554 : inventaire détaillé de la céramique © R. Delage	759
Fig. 555 : inventaire détaillé des céramiques de la str. 442 © R. Delage	771
Fig. 556 : inventaire détaillé des céramiques de la str. 470 © R. Delage	775
Fig. 557 : quantifications des formes attribuées à un type donné pour les céramiques fines et mi-fines de mode B © R. Delage	779
Fig. 558 : quantifications des formes attribuées à un type donné pour les céramiques communes © R. Delage	780
Fig. 559 : liste des échantillons d'analyse pétrographique © R. Delage	781
Fig. 560 : propositions chronologiques liées du comblement des fossés 28 et 565 © R. Delage	790
Fig. 561 : inventaire détaillé des céramiques de la str. 565 © R. Delage	793
Fig. 562 : inventaire détaillé des céramiques de la str. 5157 © R. Delage	811
Fig. 563 : céramiques gallo-romaines de la str. 442 © R. Delage	813
Fig. 564 : céramiques gallo-romaines de la str. 442 © R. Delage	814

Fig. 565 : céramiques gallo-romaines de la str. 442 © R. Delage	815
Fig. 566 : céramiques gallo-romaines de la str. 442 © R. Delage	816
Fig. 567 : céramiques gallo-romaines de la str. 519 © R. Delage	817
Fig. 568 : céramiques gallo-romaines de la str. 519 © R. Delage	818
Fig. 569 : céramiques gallo-romaines de la str. 519 © R. Delage	819
Fig. 570 : céramiques gallo-romaines de la str. 519 © R. Delage	820
Fig. 571 : céramiques gallo-romaines de la str. 519 © R. Delage	821
Fig. 572 : céramiques gallo-romaines de la str. 519 © R. Delage	822
Fig. 573 : céramiques gallo-romaines de la str. 519 © R. Delage	823
Fig. 574 : céramiques gallo-romaines de la str. 519 © R. Delage	824
Fig. 575 : céramiques gallo-romaines de la str. 519 © R. Delage	825
Fig. 576 : céramiques gallo-romaines de la str. 5157 © R. Delage	826
Fig. 577 : céramiques gallo-romaines de la str. 5157 © R. Delage	827
Fig. 578 : céramiques gallo-romaines de la str. 5157 © R. Delage	828
Fig. 579 : récapitulatif des principales formes de céramique mi-fine de mode B de F. 519 © R. Delage	829
Fig. 580 : récapitulatif des principales formes de céramique commune de F. 519 © R. Delage	829
Fig. 582 : quantification des terres cuites architecturales © R. Delage	831
Fig. 583 : références et dimensions des tegulae présentant une ou des dimensions complètes © R. Delage	831
Fig. 584 : plan par type des terres cuites © J.-C. Durand	832
Fig. 585 : mesures effectuées sur les <i>tegulae</i> © R. Delage	833
Fig. 586 : confrontation de la hauteur du rebord (en abscisse) et l'épaisseur (en ordonnée) des <i>tegulae</i> de Bais, carrière des Vallons, T. 2 (en rose) et de Noyal-Châtillon, îlot Floratrait (en bleu foncé) © R. Delage	833
Fig. 587 : origine des "moutons" de <i>tegulae</i> © R. Delage	834
Fig. 588 : <i>tegulae</i> avec marques digitées © R. Delage	834
Fig. 589 : origine des <i>tegulae</i> (* inv. étude pétrographique : 239) © R. Delage	835
Fig. 590 : origine des <i>imbrices</i> © R. Delage	835
Fig. 591 : origine des briques	836
Fig. 592 : quantifications des terres cuites non architecturales gallo-romaines © R. Delage	836
Fig. 593 : origine des pesons © R. Delage	836
Fig. 594 : tegulae 1. str; 519, 2. str. 575 © R. Delage	837
Fig. 595 : tegulae surcuites et déformées n°3 et 4 str. 442 © R. Delage	838
Fig. 596 : tegulae surcuites 5. str. 411 et 6. str. 328 © R. Delage	839
Fig. 597 : tegulae surcuites et déformées 7 str. 442, 8. str. 113, 9. str. 440 et 10 str. 442 © R. Delage	840
Fig. 598 : tegulae surcuites et déformées 13, 14 et 15 str. 442 © R. Delage	841
Fig. 599 : tegulae avec empreintes animales 16 str. 263 et 17 str. 519 © R. Delage	842
Fig. 600 : briques et tuiles en "écaille" 18 str. 442, 19 et 20 str. 313, 21 str. 600 © R. Delage	843
Fig. 601 : pesons en terre cuite 22 str. 263, 23 str. 170 (iso 103), 24 str. 442, 25 str. 500, 26 str. 442 et 27 str. 170 (iso 103) © R. Delage	844

Annexe : datations

	<p>BETA ANALYTIC INC. DR. M.A. TAMERS and MR. D.G. HOOD</p>	<p>4985 S.W. 74 COURT MIAMI, FLORIDA, USA 33155 PH: 305-667-5167 FAX:305-663-0964 beta@radiocarbon.com</p>
---	--	--

REPORT OF RADIOCARBON DATING ANALYSES

Mr. Jean-Claude Durand

Report Date: 5/16/2016

INRAP

Material Received: 5/6/2016

Sample Data	Measured Radiocarbon Age	d13C	Conventional Radiocarbon Age(*)
Beta - 436975 SAMPLE : Bais Carriere des Vallons F5000 ANALYSIS : AMS-Standard delivery MATERIAL/PRETREATMENT : (charred material): acid/alkali/acid 2 SIGMA CALIBRATION : Cal BC 390 to 340 (Cal BP 2340 to 2290) and Cal BC 325 to 205 (Cal BP 2275 to 2155)	2250 +/- 30 BP	-25.9 o/oo	2240 +/- 30 BP
Beta - 436976 SAMPLE : Bais Carriere des Vallons F5506 ANALYSIS : AMS-Standard delivery MATERIAL/PRETREATMENT : (charred material): acid/alkali/acid 2 SIGMA CALIBRATION : Cal BC 395 to 345 (Cal BP 2345 to 2295) and Cal BC 320 to 205 (Cal BP 2270 to 2155)	2240 +/- 30 BP	-24.1 o/oo	2250 +/- 30 BP
Beta - 436977 SAMPLE : Bais Carriere des Vallons F5514 ANALYSIS : AMS-Standard delivery MATERIAL/PRETREATMENT : (charred material): acid/alkali/acid 2 SIGMA CALIBRATION : Cal BC 400 to 355 (Cal BP 2350 to 2305) and Cal BC 285 to 230 (Cal BP 2235 to 2180)	2260 +/- 30 BP	-23.7 o/oo	2280 +/- 30 BP
Beta - 436978 SAMPLE : Bais Carriere des Vallons F5663 ANALYSIS : AMS-Standard delivery MATERIAL/PRETREATMENT : (charred material): acid/alkali/acid 2 SIGMA CALIBRATION : Cal BC 345 to 320 (Cal BP 2295 to 2270) and Cal BC 205 to 85 (Cal BP 2155 to 2035) and Cal BC 75 to 55 (Cal BP 2025 to 2005)	2110 +/- 30 BP	-23.9 o/oo	2130 +/- 30 BP

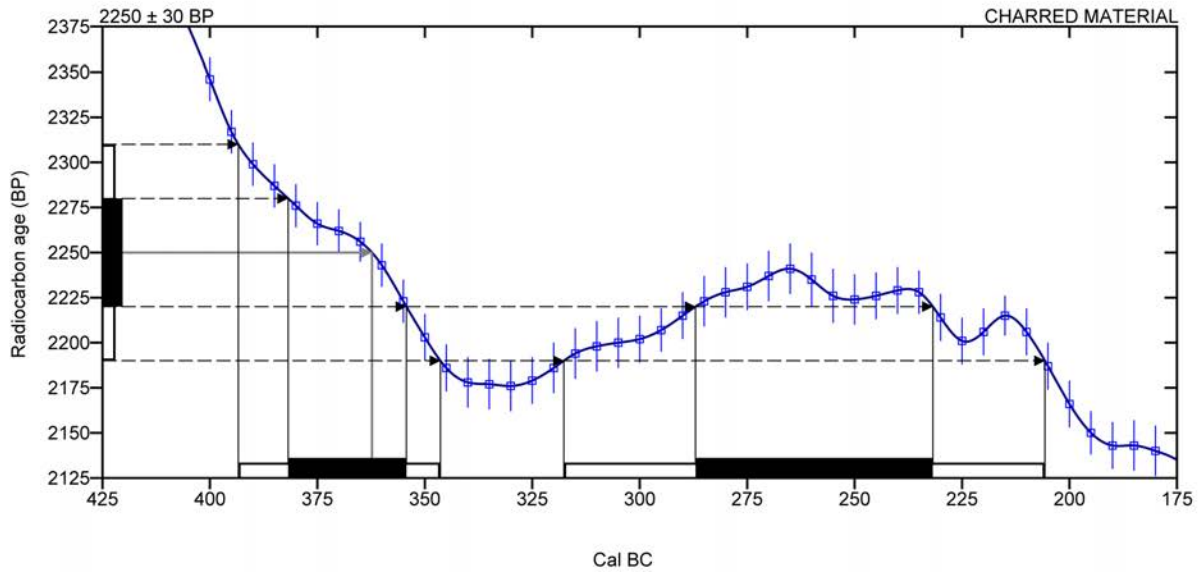
Dates are reported as RCYBP (radiocarbon years before present, "present" = AD 1950). By international convention, the modern reference standard was 95% the 14C activity of the National Institute of Standards and Technology (NIST) Oxalic Acid (SRM 4990C) and calculated using the Libby 14C half-life (5568 years). Quoted errors represent 1 relative standard deviation statistics (68% probability) counting errors based on the combined measurements of the sample, background, and modern reference standards. Measured 13C/12C ratios (delta 13C) were calculated relative to the PDB-1 standard.

The Conventional Radiocarbon Age represents the Measured Radiocarbon Age corrected for isotopic fractionation, calculated using the delta 13C. On rare occasion where the Conventional Radiocarbon Age was calculated using an assumed delta 13C, the ratio and the Conventional Radiocarbon Age will be followed by "**". The Conventional Radiocarbon Age is not calendar calibrated. When available, the Calendar Calibrated result is calculated from the Conventional Radiocarbon Age and is listed as the "Two Sigma Calibrated Result" for each sample.

CALIBRATION OF RADIOCARBON AGE TO CALENDAR YEARS

(Variables: C13/C12 = -24.1 ‰ : lab. mult = 1)

Laboratory number	Beta-436976 : BAIS CARRIERE DES VALLONS F5506
Conventional radiocarbon age	2250 ± 30 BP
Calibrated Result (95% Probability)	Cal BC 395 to 345 (Cal BP 2345 to 2295) Cal BC 320 to 205 (Cal BP 2270 to 2155)
Intercept of radiocarbon age with calibration curve	Cal BC 360 (Cal BP 2310)
Calibrated Result (68% Probability)	Cal BC 380 to 355 (Cal BP 2330 to 2305) Cal BC 285 to 230 (Cal BP 2235 to 2180)



Database used
INTCAL13

References

- Mathematics used for calibration scenario**
A Simplified Approach to Calibrating C14 Dates, Talma, A. S., Vogel, J. C., 1993, Radiocarbon 35(2):317-322
- References to INTCAL13 database**
Reimer PJ et al. IntCal13 and Marine13 radiocarbon age calibration curves 0–50,000 years cal BP. Radiocarbon 55(4):1869–1887., 2013.

CALIBRATION OF RADIOCARBON AGE TO CALENDAR YEARS

(Variables: C13/C12 = -23.7 ‰ : lab. mult = 1)

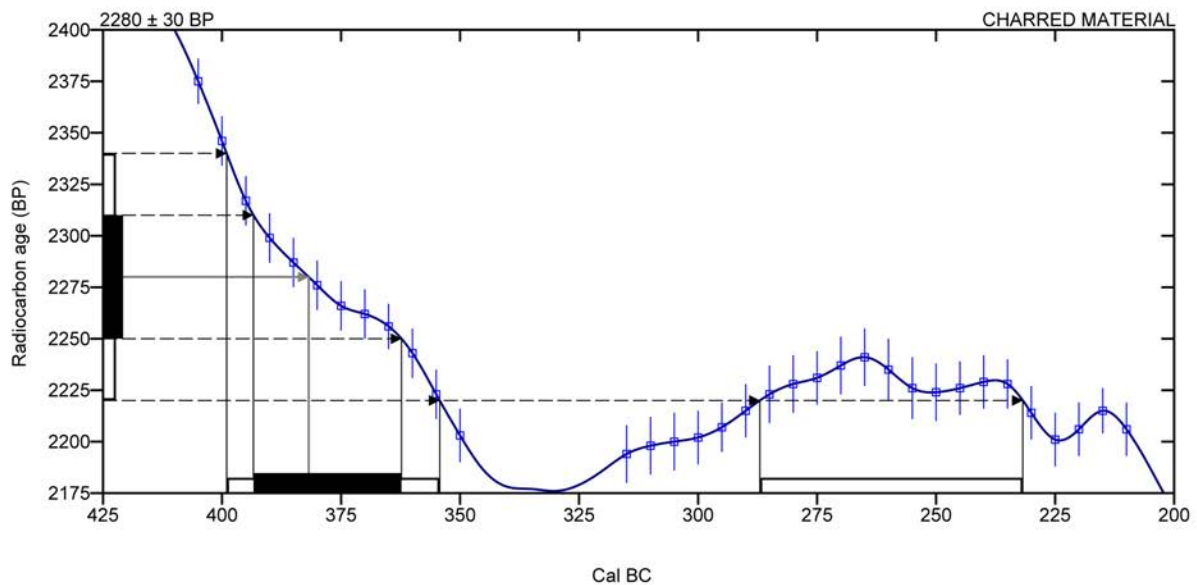
Laboratory number **Beta-436977 : BAIS CARRIERE DES VALLONS F5514**

Conventional radiocarbon age **2280 ± 30 BP**

Calibrated Result (95% Probability) **Cal BC 400 to 355 (Cal BP 2350 to 2305)**
Cal BC 285 to 230 (Cal BP 2235 to 2180)

Intercept of radiocarbon age with calibration curve **Cal BC 380 (Cal BP 2330)**

Calibrated Result (68% Probability) **Cal BC 395 to 360 (Cal BP 2345 to 2310)**



Database used
INTCAL13

References

Mathematics used for calibration scenario

A Simplified Approach to Calibrating C14 Dates, Talma, A. S., Vogel, J. C., 1993, Radiocarbon 35(2):317-322

References to INTCAL13 database

Reimer PJ et al. IntCal13 and Marine13 radiocarbon age calibration curves 0–50,000 years cal BP. Radiocarbon 55(4):1869–1887., 2013.

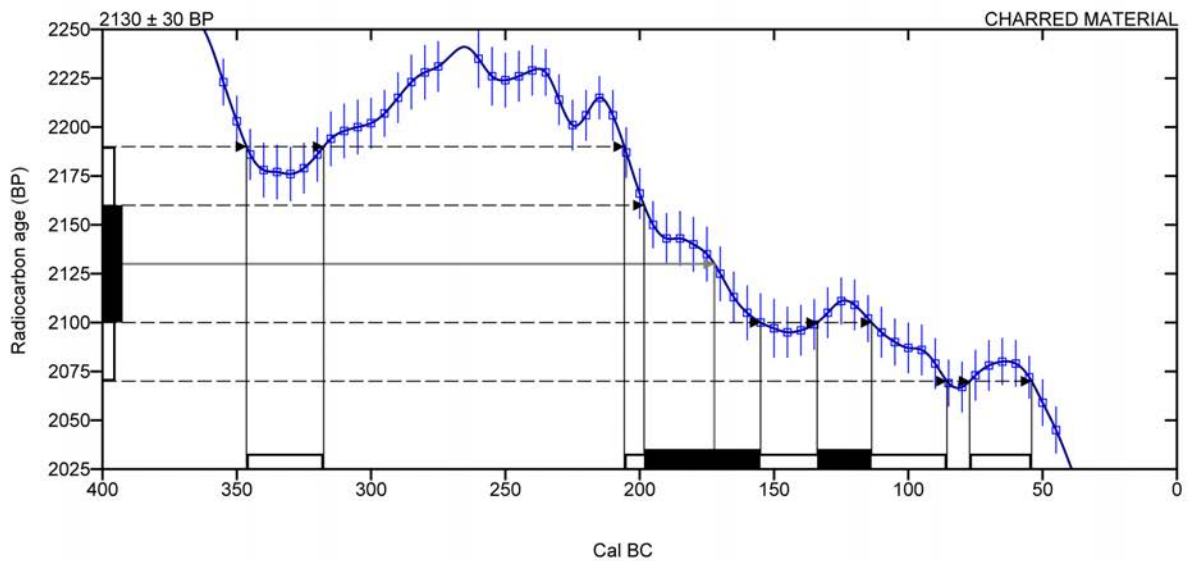
Beta Analytic Radiocarbon Dating Laboratory

4985 S.W. 74th Court, Miami, Florida 33155 • Tel: (305)667-5167 • Fax: (305)663-0964 • Email: beta@radiocarbon.com

CALIBRATION OF RADIOCARBON AGE TO CALENDAR YEARS

(Variables: C13/C12 = -23.9 o/oo : lab. mult = 1)

Laboratory number	Beta-436978 : BAIS CARRIERE DES VALLONS F5663
Conventional radiocarbon age	2130 ± 30 BP
Calibrated Result (95% Probability)	Cal BC 345 to 320 (Cal BP 2295 to 2270) Cal BC 205 to 85 (Cal BP 2155 to 2035) Cal BC 75 to 55 (Cal BP 2025 to 2005)
Intercept of radiocarbon age with calibration curve	Cal BC 170 (Cal BP 2120)
Calibrated Result (68% Probability)	Cal BC 200 to 155 (Cal BP 2150 to 2105) Cal BC 135 to 115 (Cal BP 2085 to 2065)



Database used
INTCAL13

References

Mathematics used for calibration scenario

A Simplified Approach to Calibrating C14 Dates, Talma, A. S., Vogel, J. C., 1993, Radiocarbon 35(2):317-322

References to INTCAL13 database

Reimer PJ et al. IntCal13 and Marine13 radiocarbon age calibration curves 0–50,000 years cal BP. Radiocarbon 55(4):1869–1887., 2013.

Beta Analytic Radiocarbon Dating Laboratory

4985 S.W. 74th Court, Miami, Florida 33155 • Tel: (305)667-5167 • Fax: (305)663-0964 • Email: beta@radiocarbon.com

III. Inventaires techniques

Inventaire Terre cuite

Famille	NR
Céramique	43313
Terre cuite artisanale	268
Terre cuite	1061
total	44642

Inventaire céramique de l'atelier et gallo-romaine

Structure	Sondage	US	Compl. US	Période	NR
				gallo-romaine	10
			2093	gallo-romaine	1
			entre 440 et 385 nord	ateliers précoces	2
			iso 103	gallo-romaine	2
			iso0124	gallo-romaine	2
			iso0599	gallo-romaine	4
			iso0600	gallo-romaine	4
			iso2094	ateliers précoces	3
				ateliers précoces	1
			Fanum: cella: centre	ateliers précoces	1
				protohistorique	1
			Fanum: cella: centre	ateliers précoces	29
				ateliers précoces	770
			2096	gallo-romaine	1
			Décapage	ateliers précoces	10
		1		gallo-romaine	4
		36		ateliers précoces	1
		36		gallo-romaine	4
	28		Chablis	gallo-romaine	1
	671	1		gallo-romaine	1
	673			gallo-romaine	1
	673			gallo-romaine	1
	701			ateliers précoces	910
0012				ateliers précoces	1
0016			iso0001	Protohistorique	5
0017			iso0002	Moderne	6
0021			iso0005	ateliers précoces	1
0021			iso0005	gallo-romaine	2
0021				protohistorique	1
0021	010			ateliers précoces	1
0021	010			gallo-romaine	23
0021	029			Protohistorique	2
0021	030			ateliers précoces	9
0022			iso0006	ateliers précoces	3
0022			iso0006	gallo-romaine	4
0022				protohistorique	2
0022	006			ateliers précoces	1
0022	006			Protohistorique	1
0022	007			Protohistorique	3
0022	008			ateliers précoces	2
0022	025			gallo-romaine	8
0022	025		Mur 25, nettoy.	ateliers précoces	13
0022	025		Mur 25, nettoy.	gallo-romaine	37
0022	025	1		ateliers précoces	4
0022	025	1		gallo-romaine	6
0028				ateliers précoces	1
0028	010			gallo-romaine	18
0028	033			protohistorique	4
0028	033			ateliers précoces	1129
0028	034		-1 m	protohistorique	1

Structure	Sondage	US	Compl. US	Période	NR
0028	034		-1 m	ateliers précoces	215
0028	034	1		ateliers précoces	1
0028	034	1		gallo-romaine	11
0028	034	1		gallo-romaine	9
0028	035		sommet	ateliers précoces	1
0028	035		sommet	gallo-romaine	15
0028	035	13		ateliers précoces	173
0028	037	2		gallo-romaine	4
0028	037	2	0 à -10 cm	ateliers précoces	2
0028	037	4		gallo-romaine	13
0028	037	7	-50 à -60 cm	ateliers précoces	13
0028	037	8		ateliers précoces	197
0028	038			gallo-romaine	1
0028	038			gallo-romaine	1
0028	038			ateliers précoces	74
0028	038	4		gallo-romaine	59
0028	039		sup	ateliers précoces	3
0028	039		sup	gallo-romaine	16
0028	039		sup	Indét.	1
0028	039			ateliers précoces	75
0028	040	5		ateliers précoces	9
0028	040	5		gallo-romaine	61
0028	042			gallo-romaine	2
0028	042		Côté Est	ateliers précoces	27
0028	042	-20/100 cm		ateliers précoces	13
0028	042	-20/100 cm		gallo-romaine	56
0030				ateliers précoces	2
0047				ateliers précoces	6
0057		1		ateliers précoces	3
0059				ateliers précoces	3
0062				ateliers précoces	1
0078				gallo-romaine	2
0102				ateliers précoces	5
0105				ateliers précoces	1
0113	207		inter 248/470	gallo-romaine	2
0113	214	1		ateliers précoces	1
0113	214	1		gallo-romaine	3
0113	215	1		gallo-romaine	7
0113	216	1		gallo-romaine	1
0113	219	1		gallo-romaine	12
0114				gallo-romaine	55
0114				Indét.	6
0114				Moderne	1
0115				ateliers précoces	2
0115				gallo-romaine	35
0115			128	gallo-romaine	1
0115			iso0105	gallo-romaine	11
0121				ateliers précoces	2
0124				ateliers précoces	5
0124				gallo-romaine	15
0124			décapage	ateliers précoces	1
0124			décapage	gallo-romaine	7
0124	260	1		ateliers précoces	2
0124	260	1		gallo-romaine	4
0129	116			gallo-romaine	2
0129	199	1		gallo-romaine	7
0129	207	3		gallo-romaine	9
0142				gallo-romaine	8
0149				ateliers précoces	2

Structure	Sondage	US	Compl. US	Période	NR
0149				gallo-romaine	27
0155			Fanum fossé central	ateliers précoces	4
0157	129	1		ateliers précoces	2
0157	130			ateliers précoces	1
0157	130			gallo-romaine	4
0159				gallo-romaine	1
0165				ateliers précoces	35
0170			iso0100	ateliers précoces	4
0170			iso0100	gallo-romaine	282
0170			iso0101	gallo-romaine	15
0170			iso0102	gallo-romaine	18
0170			iso0103	gallo-romaine	16
0170			iso0109	gallo-romaine	1
0170			iso0110	gallo-romaine	2
0170	127	1		gallo-romaine	7
0170	204	1		gallo-romaine	16
0170	205	1		gallo-romaine	41
0170	248	1		gallo-romaine	1
0170	259	2		gallo-romaine	38
0174				ateliers précoces	1
0175				gallo-romaine	3
0180	179	1		ateliers précoces	1
0183				ateliers précoces	1
0183				gallo-romaine	16
0192		1		gallo-romaine	1
0203			iso0118	ateliers précoces	1
0203			iso0119	ateliers précoces	1
0203			iso0119	gallo-romaine	3
0203	243	1		gallo-romaine	34
0203	244	1		ateliers précoces	1
0203	244	1		gallo-romaine	4
0203	246	2		Protohistorique	2
0224		1	fond pliss	Protohistorique	3
0245		1		gallo-romaine	4
0249				gallo-romaine	8
0249			N	gallo-romaine	1
0250		2		gallo-romaine	2
0255				ateliers précoces	1
0263				gallo-romaine	42
0263			Surface	gallo-romaine	1
0263	105			gallo-romaine	5
0263	105	1		gallo-romaine	3
0263	207	2		gallo-romaine	20
0263	209	1		gallo-romaine	9
0263	226	1		gallo-romaine	11
0263	227	1		gallo-romaine	13
0263	228	1		gallo-romaine	11
0263	229	1		gallo-romaine	95
0263	229	2		gallo-romaine	80
0263	230	1		ateliers précoces	2
0263	230	1		gallo-romaine	23
0263	231	1		gallo-romaine	27
0263	232	1		gallo-romaine	17
0269	211	1		gallo-romaine	3
0274		1		gallo-romaine	22
0282				gallo-romaine	4
0282		1		ateliers précoces	1
0282		1		gallo-romaine	30
0284				gallo-romaine	1

Structure	Sondage	US	Compl. US	Période	NR
0284		1	1/2 O	gallo-romaine	2
0293				gallo-romaine	25
0313				gallo-romaine	20
0319		1		Protohistorique	3
0323			iso0133 ; inter 28/565	ateliers précoces	1
0323			iso0133 ; inter 28/565	gallo-romaine	19
0328				ateliers précoces	6
0328				gallo-romaine	9
0328			Epan dage	gallo-romaine	1
0330				ateliers précoces	1
0336	014			ateliers précoces	1
0336	014			gallo-romaine	164
0339			-565	gallo-romaine	5
0341				gallo-romaine	1
0365			Cella sur mur O (coupé par 155)	gallo-romaine	5
0365			Cella sur mur O (coupé par 155)	Indét.	1
0365			Cella sur mur O (coupé par 155)	Médiévale	1
0369	012	5		gallo-romaine	1
0369	132			gallo-romaine	2
0370	012			ateliers précoces	6
0370	012			gallo-romaine	15
0370	012	1		ateliers précoces	44
0370	012	1		gallo-romaine	7
0370	012	2		gallo-romaine	4
0370	12			gallo-romaine	3
0370	132			ateliers précoces	21
0370	132			gallo-romaine	19
0370	137			ateliers précoces	22
0374	019			ateliers précoces	1
0378	009			gallo-romaine	1
0385				gallo-romaine	4
0391			Cella sur mur N	ateliers précoces	30
0391			cella sur mur N	ateliers précoces	3
0393			Cella int NO	ateliers précoces	10
0394			Cella int SO	ateliers précoces	5
0395				ateliers précoces	1
0400				gallo-romaine	68
0404				ateliers précoces	2
0404				gallo-romaine	6
0404				Protohistorique	2
0405				ateliers précoces	1
0405				gallo-romaine	10
0405				Protohistorique	2
0405			sous angle	ateliers précoces	2
0405			sous angle	gallo-romaine	1
0405			sous angle	Protohistorique	6
0411				gallo-romaine	31
0411	041			gallo-romaine	7
0412				gallo-romaine	1
0414				gallo-romaine	2
0416				gallo-romaine	13
0419				ateliers précoces	2
0419				gallo-romaine	7
0419		1+2		ateliers précoces	2
0419		1+2		gallo-romaine	38
0430				ateliers précoces	3
0431				ateliers précoces	30
0431				gallo-romaine	1
0432				ateliers précoces	1

Structure	Sondage	US	Compl. US	Période	NR
0433				ateliers précoces	1
0440				gallo-romaine	116
0441				gallo-romaine	3
0441		2		gallo-romaine	1
0441		2+3		gallo-romaine	41
0441		3		gallo-romaine	1
0442				ateliers précoces	1
0442				gallo-romaine	3
0442		4		gallo-romaine	4
0442	146	3		ateliers précoces	8
0442	148			gallo-romaine	2
0442	148	2		gallo-romaine	1
0442	153	4		ateliers précoces	4
0442	153	4		gallo-romaine	10
0442	156	6		ateliers précoces	6
0442	156	6		gallo-romaine	60
0442	157			gallo-romaine	8
0442	157	1		gallo-romaine	5
0442	157	2		ateliers précoces	4
0442	157	2		gallo-romaine	178
0442	157/158			gallo-romaine	4
0442	158	2		gallo-romaine	71
0442	161		décapage	gallo-romaine	63
0442	161	1		ateliers précoces	1
0442	161	1		gallo-romaine	78
0442	161	2		gallo-romaine	10
0442	161/163	1		gallo-romaine	1
0442	163			gallo-romaine	3
0442	163	1		ateliers précoces	1
0442	163	1		gallo-romaine	123
0442	163	2		gallo-romaine	58
0442	163	3		gallo-romaine	4
0442	170	1/2		gallo-romaine	38
0442	171	1		gallo-romaine	5
0442	173	3		gallo-romaine	115
0442	263	1		ateliers précoces	4
0442	263	1		gallo-romaine	51
0442	264	1		ateliers précoces	1
0442	264	1		gallo-romaine	124
0442	265	1		gallo-romaine	32
0442	265	1		Protohistorique	1
0442	266			gallo-romaine	293
0442	266	1		gallo-romaine	12
0442	267	1		gallo-romaine	97
0442+	158	1	442/648	gallo-romaine	37
0444	023	1		gallo-romaine	1
0458				gallo-romaine	16
0461				gallo-romaine	5
0464				gallo-romaine	4
0465	072			gallo-romaine	3
0468				gallo-romaine	10
0470	125	1+2		gallo-romaine	10
0470	125	3		ateliers précoces	2
0470	125	3		gallo-romaine	16
0470	125	4		ateliers précoces	1
0470	173	5		gallo-romaine	22
0470	195	1		gallo-romaine	22
0470	195	2		gallo-romaine	8
0470	196	1		gallo-romaine	32

Structure	Sondage	US	Compl. US	Période	NR
0470	196	3		gallo-romaine	2
0470	197	1		gallo-romaine	110
0470	197	2		gallo-romaine	51
0470	198	1		gallo-romaine	6
0470	206	1		ateliers précoces	1
0470	206	1		gallo-romaine	4
0470	208	1		gallo-romaine	6
0475				gallo-romaine	1
0476		5		gallo-romaine	15
0498				gallo-romaine	3
0499	173	1		gallo-romaine	33
0500				gallo-romaine	9
0500		1		gallo-romaine	1
0501	124	1		gallo-romaine	3
0501	134	1		gallo-romaine	5
0506	083			ateliers précoces	5
0506	084			ateliers précoces	2
0510	124	1		gallo-romaine	2
0514	577	1		ateliers précoces	14
0518	192			gallo-romaine	9
0519				gallo-romaine	10053
0519		3		gallo-romaine	20
0519		4		gallo-romaine	5
0519		6		gallo-romaine	9
0519	160			gallo-romaine	1
0523				gallo-romaine	15
0523	133			gallo-romaine	5
0523/0524				gallo-romaine	4
0560		1		ateliers précoces	34
0560		4		ateliers précoces	10
0563	016	1		gallo-romaine	49
0563	016	2		ateliers précoces	4
0565				gallo-romaine	160
0565	047		f. 588	gallo-romaine	1
0565	047	4		ateliers précoces	23
0565	047	4		gallo-romaine	1
0565	054			ateliers précoces	1
0565	054			gallo-romaine	3
0565	054	0/-80 cm		ateliers précoces	2
0565	054	0/-80 cm		gallo-romaine	149
0565	054	13		ateliers précoces	25
0565	055	4		ateliers précoces	18
0565	055	4		gallo-romaine	3
0565	055	4		Protohistorique	6
0565	055	5		ateliers précoces	11
0565	055	5		gallo-romaine	22
0565	056	3		ateliers précoces	11
0565	056	3		gallo-romaine	58
0565	057			ateliers précoces	180
0565	057			gallo-romaine	65
0565	057	10		ateliers précoces	15
0565	057	12		ateliers précoces	22
0565	057	12		gallo-romaine	2
0565	057	3		gallo-romaine	28
0565	057	4		ateliers précoces	10
0565	057	4		gallo-romaine	11
0565	057	5		ateliers précoces	73
0565	057	5		gallo-romaine	7
0565	057	5		Indét.	1

Structure	Sondage	US	Compl. US	Période	NR
0565	057	8		ateliers précoces	85
0565	057	8		gallo-romaine	54
0565	057	8		Indét.	1
0565	057	9		ateliers précoces	16
0565	154	2		ateliers précoces	54
0565	154	2		gallo-romaine	43
0565	234		Couche de rejet	ateliers précoces	16
0565	234		Couche de rejet	ateliers précoces	18
0565	234	1		ateliers précoces	80
0565	234	1		gallo-romaine	27
0565	234	1		Indét.	5
0565	234	2		ateliers précoces	3
0565	234	2		Indét.	5
0565	234	2		ateliers précoces	8
0565	348			gallo-romaine	10
0565	47	4		ateliers précoces	23
0565	54	13		ateliers précoces	28
0565	57	10		ateliers précoces	20
0565	57	12		ateliers précoces	24
0565	57	7		ateliers précoces	11
0565	57	9		ateliers précoces	18
0570				ateliers précoces	2
0572		1		ateliers précoces	1
0572	050	1		ateliers précoces	1
0572	050	1		gallo-romaine	9
0573		1		gallo-romaine	61
0575		5		gallo-romaine	2
0576				gallo-romaine	1
0578				gallo-romaine	1
0580		1		gallo-romaine	7
0582				gallo-romaine	31
0583				gallo-romaine	72
0585				ateliers précoces	1
0585				gallo-romaine	1
0585			Fanum galerie SO	gallo-romaine	1
0585			Fanum (gal. O)	ateliers précoces	28
0585		2		ateliers précoces	22
0585		2	Cella (contre 404)	ateliers précoces	30
0588				gallo-romaine	381
0589				gallo-romaine	176
0590				gallo-romaine	4
0591			nett gal fanum	ateliers précoces	52
0591			nett gal fanum	gallo-romaine	17
0596				gallo-romaine	1
0599				gallo-romaine	6
0600				gallo-romaine	51
0601				gallo-romaine	5
0603+			603/604	ateliers précoces	1
0603+			603/604	gallo-romaine	64
0611				gallo-romaine	2
0625		1		ateliers précoces	3
0628				ateliers précoces	2
0629		1		ateliers précoces	7
0631		2		ateliers précoces	4
0631		2		gallo-romaine	6
0631		2		Protohistorique	3
0638		1		gallo-romaine	1
0639				ateliers précoces	15
0639				gallo-romaine	432

Structure	Sondage	US	Compl. US	Période	NR
0642		1		ateliers précoces	5
0644				gallo-romaine	24
0645				gallo-romaine	163
0646				gallo-romaine	20
0647				gallo-romaine	10
0647				Indét.	2
0647				Protohistorique	7
0648	156	3		gallo-romaine	2
0648	156/157	4		ateliers précoces	4
0648	161/163	4		gallo-romaine	14
0651	160			gallo-romaine	12
0652	213			gallo-romaine	198
0652	213	4		gallo-romaine	80
0652	213	5	fond	gallo-romaine	10
0653	223			gallo-romaine	37
0653	224		alvéole 1a	ateliers précoces	4
0653	224		fosse 1B	gallo-romaine	7
0653	225			gallo-romaine	2
0722				ateliers précoces	89
0819				gallo-romaine	2
5009				ateliers précoces	3
5010				protohistorique	1
5012				ateliers précoces	6
5013	604	1		gallo-romaine	25
5014				ateliers précoces	2
5014			Surface	ateliers précoces	30
5014	500	1		ateliers précoces	1
5015				ateliers précoces	4
5015		1		ateliers précoces	18
5016		1		ateliers précoces	19
5016		2		ateliers précoces	2
5017				ateliers précoces	2
5017		1	Voir Iso 2002	ateliers précoces	8
5017		2		ateliers précoces	1
5018				ateliers précoces	6
5019				ateliers précoces	17
5019	599	1		ateliers précoces	6
5026				ateliers précoces	1
5028				ateliers précoces	1
5031				ateliers précoces	2
5032				protohistorique	1
5032				ateliers précoces	71
5032		2		ateliers précoces	73
5032		3		ateliers précoces	6
5034	645			ateliers précoces	28
5035	613	1		gallo-romaine	4
5035	614	1		gallo-romaine	4
5035	614	1		ateliers précoces	1
5035	615	1		ateliers précoces	1
5043		1	0 à -20 cm	ateliers précoces	8
5043	502	2	Au fond	ateliers précoces	10
5045	501			ateliers précoces	24
5045	501			gallo-romaine	44
5045	501	2		ateliers précoces	1
5048				gallo-romaine	1
5048			iso2016	ateliers précoces	3
5048				ateliers précoces	46
5049				ateliers précoces	3
5050/5236	583			ateliers précoces	55

Structure	Sondage	US	Compl. US	Période	NR
5052			demi Est	ateliers précoces	23
5053				ateliers précoces	14
5056				ateliers précoces	22
5059				gallo-romaine	1
5059			Fond du four	ateliers précoces	3
5059				ateliers précoces	211
5061	540			ateliers précoces	14
5061	547			ateliers précoces	4
5062	545			ateliers précoces	38
5066			iso2019	ateliers précoces	13
5066				protohistorique	6
5066	505	1		ateliers précoces	13
5068				ateliers précoces	4
5069				ateliers précoces	4
5070				ateliers précoces	2
5075				ateliers précoces	17
5076				ateliers précoces	5
5078				ateliers précoces	1
5078	612			ateliers précoces	99
5083				ateliers précoces	6
5083		2		gallo-romaine	2
5083		2		ateliers précoces	78
5083		3 et 4		ateliers précoces	38
5083	554			ateliers précoces	53
5083	564			protohistorique	4
5083	564			ateliers précoces	114
5084				ateliers précoces	13
5085				ateliers précoces	5
5085	503	1		ateliers précoces	3
5085	602	1		ateliers précoces	17
5085	602	1		gallo-romaine	3
5085	604	1		ateliers précoces	2
5085	605	1		ateliers précoces	2
5085	611			ateliers précoces	4
5087				ateliers précoces	15
5087		1		ateliers précoces	10
5088				protohistorique	1
5088				ateliers précoces	116
5088			Décapage	ateliers précoces	491
5088		décap.		gallo-romaine	2
5090/5092				ateliers précoces	2
5091				ateliers précoces	3
5092				ateliers précoces	54
5092	508			ateliers précoces	44
5092	514			ateliers précoces	99
5092	515			ateliers précoces	151
5092	516			ateliers précoces	16
5092	517			ateliers précoces	3
5092	518			ateliers précoces	2
5092	540			ateliers précoces	42
5092	542			ateliers précoces	129
5092	543			ateliers précoces	41
5092	544			ateliers précoces	208
5092	565			ateliers précoces	17
5092	566			ateliers précoces	13
5092	567			ateliers précoces	13
5092	569			ateliers précoces	18
5092	570			ateliers précoces	42
5092	572			ateliers précoces	30

Structure	Sondage	US	Compl. US	Période	NR
5092	573			ateliers précoces	13
5092	574			ateliers précoces	33
5093		2		ateliers précoces	22
5095		1		ateliers précoces	60
5095		2		protohistorique	13
5097				ateliers précoces	52
5098			Surface	ateliers précoces	10
5098	532			ateliers précoces	45
5098	533			ateliers précoces	37
5098	534			ateliers précoces	56
5099				ateliers précoces	82
5100				ateliers précoces	2
5103		1		gallo-romaine	1
5104				ateliers précoces	64
5104	530			ateliers précoces	24
5105			Surface	ateliers précoces	27
5106				ateliers précoces	31
5106	636			ateliers précoces	29
5106	637			ateliers précoces	38
5106	639			ateliers précoces	6
5107				ateliers précoces	440
5110				ateliers précoces	250
5110		1		ateliers précoces	3
5111				ateliers précoces	3
5111	643	1		ateliers précoces	5
5111	644			ateliers précoces	3
5113	12 Est	1		ateliers précoces	16
5114				protohistorique	3
5114				ateliers précoces	154
5115				ateliers précoces	3
5117				ateliers précoces	3
5117	12 Ouest	3		ateliers précoces	16
5119	12 Est			protohistorique	1
5119	12 Est			ateliers précoces	26
5119	12 Ouest	1		ateliers précoces	10
5119	12 Ouest	2		ateliers précoces	5
5119	540			ateliers précoces	2
5121	634			ateliers précoces	1
5122				ateliers précoces	2
5124				ateliers précoces	6
5126				ateliers précoces	14
5132	633			ateliers précoces	2
5134		3		ateliers précoces	14
5134	503	1		ateliers précoces	3
5134	577	3		ateliers précoces	33
5134	580			ateliers précoces	16
5136	600			ateliers précoces	76
5141				ateliers précoces	4
5141			Surface	ateliers précoces	34
5145		1		ateliers précoces	35
5147				ateliers précoces	1
5157			-40 cm/fond	ateliers précoces	1
5157			-40 cm/fond	gallo-romaine	18
5157			0/-30 cm	ateliers précoces	2
5157			0/-30 cm	gallo-romaine	19
5157			0/-40 cm	gallo-romaine	25
5157			surf	gallo-romaine	3
5157		01		ateliers précoces	1
5157		01		gallo-romaine	3

Structure	Sondage	US	Compl. US	Période	NR
5157		02		ateliers précoces	1
5157		02		gallo-romaine	9
5157		06		gallo-romaine	39
5157		07		ateliers précoces	3
5157		07		gallo-romaine	54
5157		2+3		ateliers précoces	1
5157		2+3		gallo-romaine	35
5159			Décapage	ateliers précoces	1
5162				ateliers précoces	24
5166			Décapage	ateliers précoces	8
5166	641		iso 2023	ateliers précoces	2
5167			de 0 à -10 cm	protohistorique	2
5167			de 0 à -10 cm	ateliers précoces	27
5167	530		-35 cm à -85 cm	ateliers précoces	6
5167	530		Ouest	ateliers précoces	6
5167	530		-60 cm	ateliers précoces	28
5167	530?		Est	ateliers précoces	17
5167+	635		+5515	ateliers précoces	5
51675104				ateliers précoces	14
5173			Décapage	ateliers précoces	3
5178				ateliers précoces	15
5179				ateliers précoces	21
5179	622			ateliers précoces	21
51795180				ateliers précoces	22
5180			Surface décapage	ateliers précoces	5
5181				ateliers précoces	1
5183	607			ateliers précoces	3
5185				ateliers précoces	4
5187	632			ateliers précoces	13
5189	609			ateliers précoces	5
5190			Surface	protohistorique	1
5190				ateliers précoces	2
5190			Surface	ateliers précoces	16
5190	592			ateliers précoces	65
5190	595			ateliers précoces	14
5191				ateliers précoces	2
5192				ateliers précoces	7
5201			Surface	ateliers précoces	27
5201	581			ateliers précoces	14
52015442	585			ateliers précoces	15
5206				gallo-romaine	1
5210				ateliers précoces	13
5211				ateliers précoces	5
5211	562			ateliers précoces	4
5212?	661			ateliers précoces	1
5215		1		ateliers précoces	2
5216				ateliers précoces	1
5219				ateliers précoces	21
522	192			gallo-romaine	1
5221				ateliers précoces	6
5222				ateliers précoces	4
5223			Surface décapage	protohistorique	3
5224				ateliers précoces	23
5224		10		ateliers précoces	5
5224		7		protohistorique	3
5224		7		ateliers précoces	11
5225				ateliers précoces	2
5227				ateliers précoces	4
5228				ateliers précoces	4

Structure	Sondage	US	Compl. US	Période	NR
5229				ateliers précoces	1
5229			Décapage	ateliers précoces	3
5230			Limon gris foncé	protohistorique	1
5230				ateliers précoces	3
5230			Corolle ext. gris	ateliers précoces	25
5230			Limon gris foncé	ateliers précoces	107
5230	554			protohistorique	1
5230	554			ateliers précoces	11
5234	546			protohistorique	1
5234	546			ateliers précoces	188
5234	596			ateliers précoces	2
5234	597	1		ateliers précoces	4
5235			Incineration B	ateliers précoces	1
5235			Incineration C	ateliers précoces	1
5235			Incineration D	ateliers précoces	1
5235			Incineration E	ateliers précoces	1
5235			Urne?	ateliers précoces	7
5235		2	Incineration?	ateliers précoces	14
5236				ateliers précoces	149
5236	504			ateliers précoces	500
5236	582			gallo-romaine	2
5236	582			ateliers précoces	226
5236	600			ateliers précoces	120
5236	601			ateliers précoces	197
5236	601	1		gallo-romaine	1
5236	601	1		ateliers précoces	91
5236	602	1		gallo-romaine	3
5238				ateliers précoces	6
5238	690			gallo-romaine	4
5238	691			gallo-romaine	10
5240	681	1		ateliers précoces	26
5252			Surface	gallo-romaine	2
5252				protohistorique	1
5252				ateliers précoces	43
5252	606			gallo-romaine	1
5252	606			ateliers précoces	8
5261		1		ateliers précoces	4
5262		1		ateliers précoces	1
5263		1		ateliers précoces	7
5264		1 et 2	Quart SE	ateliers précoces	17
5268				ateliers précoces	14
5270	694	1		gallo-romaine	1
5270	694	1		ateliers précoces	78
5271				ateliers précoces	1
5272				ateliers précoces	51
5272				gallo-romaine	3
5272				ateliers précoces	254
5272		5		ateliers précoces	67
5272	527		Au fond	ateliers précoces	2
5272	527	2		ateliers précoces	38
5272	527	3		ateliers précoces	7
5272	529	2 et 3		ateliers précoces	241
5272	529	5		ateliers précoces	45
5272	529	6		ateliers précoces	7
5272	529	7		ateliers précoces	14
5272	555		Surface	ateliers précoces	8
5272	616			gallo-romaine	2
5272	616			ateliers précoces	280
5272	616	4		ateliers précoces	2

Structure	Sondage	US	Compl. US	Période	NR
5272	616	8		ateliers précoces	120
5272	617			ateliers précoces	697
5272	626			ateliers précoces	3
5272	674	2		gallo-romaine	25
5272	674	3		gallo-romaine	2
5272	674	3		ateliers précoces	53
5272	674	4		ateliers précoces	38
5272	674	5		ateliers précoces	96
5272	674	6		ateliers précoces	36
5272	675		- 50 cm à – 80 cm	ateliers précoces	7
5272	675			ateliers précoces	48
5272	676		-50 cm	ateliers précoces	17
5272	676		Sous -50 cm	ateliers précoces	30
5272	676	8		ateliers précoces	5
5272	677			gallo-romaine	3
5272	677			protohistorique	4
5272	677			ateliers précoces	149
5272	678			gallo-romaine	1
5272	685			gallo-romaine	4
5272	685			ateliers précoces	227
5272	688			gallo-romaine	6
5272	688		0-15 cm	ateliers précoces	14
5272	688		Fond	ateliers précoces	25
5272	688		Couche rejet	ateliers précoces	603
5272	695	3		ateliers précoces	112
5272	696	1 ou 3		ateliers précoces	24
5272	724			gallo-romaine	2
5272	724			ateliers précoces	295
5272	725			gallo-romaine	1
5272	725			protohistorique	1
5272	725			ateliers précoces	412
5272/5013			Décapage	ateliers précoces	22
5274	506	1		ateliers précoces	10
5275		1		ateliers précoces	69
5275		2		ateliers précoces	11
5277		1		ateliers précoces	4
5278		1		ateliers précoces	15
5279	509	1		ateliers précoces	3
5281		1		ateliers précoces	1
5282		1		ateliers précoces	1
5286	689			ateliers précoces	5
5292 ?				ateliers précoces	5
5293		1		ateliers précoces	18
5293		2		ateliers précoces	3
5294				ateliers précoces	6
5294	628			ateliers précoces	16
5294	629	1		ateliers précoces	6
5295		1		gallo-romaine	2
5295		1		ateliers précoces	13
5300				ateliers précoces	29
5300	389			ateliers précoces	21
5305				gallo-romaine	1
5305	682			ateliers précoces	2
5308			Décapage	ateliers précoces	103
5313				gallo-romaine	1
5317				ateliers précoces	1
5320			Ext. NE	ateliers précoces	49
5320				ateliers précoces	488
5320	537			ateliers précoces	28

Structure	Sondage	US	Compl. US	Période	NR
5320	539			ateliers précoces	80
5320	550			ateliers précoces	192
5320	550	5		ateliers précoces	127
5320	551		-70 cm	ateliers précoces	14
5320	551			ateliers précoces	434
5320	551	5		gallo-romaine	1
5320	552			ateliers précoces	29
5320	554			ateliers précoces	1
5320	554			ateliers précoces	38
5320	554		Surface	ateliers précoces	62
5320 + 5391	538		Ext. Est	ateliers précoces	19
53205274				ateliers précoces	26
5322		2		ateliers précoces	5
5323				ateliers précoces	6
5324				ateliers précoces	1
5327				ateliers précoces	70
5329		1		ateliers précoces	166
5329		2		ateliers précoces	115
5329		3		ateliers précoces	56
5330	507	1		ateliers précoces	6
5330	507	2		ateliers précoces	3
5330	Quart NO	1		ateliers précoces	6
5330	Quart NO	3		ateliers précoces	3
5330	Quart SO	2		ateliers précoces	3
5332		1		ateliers précoces	4
5334		1		ateliers précoces	8
5335			Nettoyage surface	ateliers précoces	20
5335		2		ateliers précoces	148
5335		3		gallo-romaine	1
5335		4		ateliers précoces	116
5337			Surface	ateliers précoces	1
5338				ateliers précoces	3
5340				ateliers précoces	2
5343	511			ateliers précoces	4
5343	512			ateliers précoces	13
5343	513			ateliers précoces	10
5343/5093	514			ateliers précoces	43
5350				ateliers précoces	33
5350	725	5		gallo-romaine	2
5350	725	5		ateliers précoces	3151
5352				ateliers précoces	1
5354				ateliers précoces	4
5359	680	1		ateliers précoces	8
5361				ateliers précoces	5
5361	591			ateliers précoces	13
5361	679			ateliers précoces	24
5363			iso2086	ateliers précoces	2
5363			iso2086	gallo-romaine	2
5366				ateliers précoces	4
5366	526		Surface	ateliers précoces	11
5367				ateliers précoces	2
5368				ateliers précoces	1
5368				protohistorique	2
5371	586			ateliers précoces	3
5372				ateliers précoces	1
5373				ateliers précoces	2
5374				ateliers précoces	28
5374				gallo-romaine	35
5374				ateliers précoces	7

Structure	Sondage	US	Compl. US	Période	NR
5374			de - 100 au fond	ateliers précoces	57
5374	691		-1 m	ateliers précoces	21
5374	692		Surface-50 cm	ateliers précoces	14
5374	692		-50/100 cm	ateliers précoces	56
5374	692		de - 100 au fond	ateliers précoces	57
5374	692		-100 cm au fond	ateliers précoces	247
5374	692	2		ateliers précoces	26
5374	693			ateliers précoces	18
5374	693	3 et 4		ateliers précoces	366
5374	693	3-4		gallo-romaine	8
5374	693	6		gallo-romaine	1
5374	693	6		ateliers précoces	163
5375				ateliers précoces	22
5375	531			ateliers précoces	98
5376				ateliers précoces	12
5380	523			ateliers précoces	2
5383				ateliers précoces	1
5384				ateliers précoces	5
5385		1		ateliers précoces	5
5387				ateliers précoces	2
5388				ateliers précoces	5
5389			Surface	ateliers précoces	1
5389		1		ateliers précoces	4
5390	548			ateliers précoces	2
5390	548		Surface	ateliers précoces	9
5390	548	4		ateliers précoces	6
5394		1	Surface	ateliers précoces	3
5395				ateliers précoces	1
5399		1		ateliers précoces	1
5407	524			ateliers précoces	4
5407	524			protohistorique	5
5409		1		ateliers précoces	3
5413			Surface	ateliers précoces	2
5418	540			ateliers précoces	45
5420		1		ateliers précoces	42
5422				ateliers précoces	1
5422				protohistorique	2
5426	555			ateliers précoces	12
5429	564			gallo-romaine	2
5429	564			ateliers précoces	179
5431	554			ateliers précoces	5
5435				ateliers précoces	10
5436				ateliers précoces	1
5441	590			ateliers précoces	4
5444	718			ateliers précoces	99
5446		1		ateliers précoces	8
5448		1		ateliers précoces	71
5453	619	1		ateliers précoces	4
5454	646			ateliers précoces	23
5454	647			ateliers précoces	26
5454	655			ateliers précoces	7
5456				ateliers précoces	1
5457			Décapage	ateliers précoces	6
5457	624	1		ateliers précoces	3
5458				ateliers précoces	1
5459	648			ateliers précoces	6
5459	712			ateliers précoces	141
5461	642	1		ateliers précoces	17
5468	606			ateliers précoces	41

Structure	Sondage	US	Compl. US	Période	NR
5469	612	3		ateliers précoces	118
5470	609			ateliers précoces	1
5471	623	2		ateliers précoces	2
5472 (ou 5471 ou 547	665			ateliers précoces	24
5477				ateliers précoces	24
5482				ateliers précoces	3
5488		1		ateliers précoces	2
5491				ateliers précoces	4
5492		2		ateliers précoces	2
5505				ateliers précoces	1
5506				protohistorique	4
5506				ateliers précoces	53
5507	622			ateliers précoces	71
5508	625			ateliers précoces	27
5509	626			protohistorique	5
5509	626			ateliers précoces	18
5514				gallo-romaine	3
5514				ateliers précoces	4
5514			Cendrier	ateliers précoces	18
5514		cendrier		gallo-romaine	1
5515	635			ateliers précoces	4
5518				ateliers précoces	6
5521				ateliers précoces	5
5522		1		ateliers précoces	13
5522		2		ateliers précoces	11
5527				ateliers précoces	1
5528				protohistorique	1
5529			Décapage	protohistorique	1
5529				ateliers précoces	68
5535				ateliers précoces	4
5535				protohistorique	58
5536	721	1		ateliers précoces	43
5537	654			protohistorique	2
5546				ateliers précoces	6
5550	678			gallo-romaine	2
5550	678			ateliers précoces	21
5556				ateliers précoces	12
5557				ateliers précoces	13
5564	708	1		ateliers précoces	5
5583	707	1		ateliers précoces	48
5583	708	1		ateliers précoces	4
5622/5444	719			ateliers précoces	23
56275622	706	2		protohistorique	1
56275622	706	2		ateliers précoces	117
5647	767			ateliers précoces	72
5648		1		ateliers précoces	11
5649				ateliers précoces	32
5651			Fond	ateliers précoces	6
5651				ateliers précoces	17
5651	701			gallo-romaine	12
5651	702			gallo-romaine	6
5651	702			ateliers précoces	157
5655	702			gallo-romaine	25
5655	702			ateliers précoces	79
5660	695	1		gallo-romaine	5
5660	695	1		ateliers précoces	66
5662		2		gallo-romaine	2
5663		surface		gallo-romaine	13
5663	9999		Dans fosse	ateliers précoces	102

Structure	Sondage	US	Compl. US	Période	NR
5665	696	1		gallo-romaine	10
5665	696	1		ateliers précoces	77
5665	696	2		ateliers précoces	59
5666	697			ateliers précoces	17
5666	697	2		gallo-romaine	17
5666	697	3 et 4		ateliers précoces	23
5667		1		ateliers précoces	74

Terre cuite artisanale (ateliers de potier précoces)

Structure	Sondage	Us	Type	NR
			barre de four de type 1	7
			barre de four de type 2	1
			barre de four de type 4	2
0028	038		barre de four de type 4	1
0370	012	2	barre de four de type 4	3
5048			barre de four de type 2	1
5083		2	barre de four de type 2	2
5088		décap.	barre de four de type 2	2
5236	582		barre de four de type 1	1
5236	582		barre de four de type 2	1
5236	601	1	barre de four de type 1	1
5236	602	1	barre de four de type 1	3
5252	606		barre de four de type 4	1
5270	694	1	barre de four de type 2	1
5272	616		barre de four de type 1	1
5272	616		barre de four de type 2	1
5272	674	2	barre de four de type 1	2
5272	674	2	barre de four de type 2	23
5272	674	3	barre de four de type 2	2
5272	677		barre de four de type 2	3
5272	678		barre de four de type 1	1
5272	685		barre de four de type 1	1
5272	688		barre de four de type 1	1
5272	688		barre de four de type 2	3
5272	688		barre de four de type 4	1
5272	724		barre de four de type 1	1
5272	724		barre de four de type 4	1
5272	725		barre de four de type 1	1
5295		1	barre de four de type 1	2
5305			barre de four de type 2	1
5313			barre de four de type 1	1
5320	551	5	barre de four de type 2	1
5350	725	5	barre de four de type 2	1
5350	725	5	barre de four de type 4	1
5374			barre de four de type 1	1
5374	693	3-4	barre de four de type 1	6
5374	693	3-4	barre de four de type 5	2
5374	693	6	barre de four de type 1	1
5429	564		barre de four de type 4	2
5514			barre de four de type 1	1
5514			barre de four de type 2	2
5514		cendrier	barre de four de type 1	1
5550	678		barre de four de type 4	2
0565	057		barre de four de type 2	3
0565	057		barre de four de type 4	8
0565	057	8	barre de four de type 1	21
0565	057	8	barre de four de type 2	20
0565	057	8	barre de four de type 4	5
0565	154	2	barre de four de type 1	15
0565	154	2	barre de four de type 2	12
0565	154	2	barre de four de type 4	5
5651	701		barre de four de type 1	7
5651	701		barre de four de type 2	3

Structure	Sondage	Us	Type	NR
5651	701		barre de four de type 4	1
5651	702		barre de four de type 4	1
5655	702		barre de four de type 1	20
5655	702		barre de four de type 2	1
5655	702		barre de four de type 3	2
5655	702		barre de four de type 4	2
5660	695	1	barre de four de type 1	1
5660	695	1	barre de four de type 2	4
5662		2	barre de four de type 1	2
5663		surface	barre de four de type 1	13
5665	696	1	barre de four de type 1	9
5665	696	1	barre de four de type 2	1
5666	697	2	barre de four de type 1	17
0653	223		barre de four de type 1	1

Terre cuite architecturale et utilitaire

Structure	Sondage	US	Info. Archéo.	Type	Période	NR
			iso 103	Peson	gallo-romaine	2
			2093	Tegula	gallo-romaine	1
			2096	Tegula	gallo-romaine	1
				Plaque foyère	ateliers précoces (ou pér. proto.)	13
	028		Chablis	Tegula	gallo-romaine	1
	542			Plaque foyère	ateliers précoces (ou pér. proto.)	4
	554			Plaque foyère	ateliers précoces (ou pér. proto.)	7
	642	1		Plaque foyère	ateliers précoces (ou pér. proto.)	3
	655			Plaque foyère	ateliers précoces (ou pér. proto.)	2
	671	1		Tegula	gallo-romaine	1
	673			Tegula	gallo-romaine	1
	693	6		Plaque foyère	ateliers précoces (ou pér. proto.)	7
	701			Plaque foyère	ateliers précoces (ou pér. proto.)	2
0028	034	1		Imbrex	gallo-romaine	5
0028	034	1		Tegula	gallo-romaine	4
0028	038			Tegula	gallo-romaine	1
0028	038			Plaque foyère	ateliers précoces (ou pér. proto.)	2
0028	042			Tegula	gallo-romaine	2
0028	042			Plaque foyère	ateliers précoces (ou pér. proto.)	1
0113	215	1		Tegula	gallo-romaine	6
0114				Tegula	gallo-romaine	1
0115			128	Tegula	gallo-romaine	1
0149				Tegula	gallo-romaine	1
0175				Tegula	gallo-romaine	3
0181	107			Indét.	gallo-romaine	3
0183				Brique	gallo-romaine	1
0183				Tegula	gallo-romaine	1
0231				Plaque foyère	ateliers précoces (ou pér. proto.)	1
0245		1		Tegula	gallo-romaine	2
0249				Tegula	gallo-romaine	2
0249			N	Tegula	gallo-romaine	1
0263			Surface	Tegula	gallo-romaine	1
0263		1		Indét.	gallo-romaine	1
0263	105	1		Imbrex	gallo-romaine	1
0263	105	1		Tegula	gallo-romaine	2
0263	207	2		Brique	gallo-romaine	1
0263	229	1		Brique	gallo-romaine	1
0263	229	1		Indét.	gallo-romaine	4
0263	229	1		Tegula	gallo-romaine	3
0263	230	1		Peson	gallo-romaine	1
0263	232	1		Indét.	gallo-romaine	1
0282		1		Imbrex	gallo-romaine	1
0282		1		Indét.	gallo-romaine	1

Structure	Sondage	US	Info. Archéo.	Type	Période	NR
0293				Tegula	gallo-romaine	3
0313				Brique	gallo-romaine	20
0328			Epan dage	Tegula	gallo-romaine	1
0336	014			Figurine	gallo-romaine	1
0336	014			Tegula	gallo-romaine	8
0370	012			Tegula	gallo-romaine	3
0400				Brique	gallo-romaine	1
0400				Indét.	gallo-romaine	1
0404				Indét.	gallo-romaine	1
0404				Tegula	gallo-romaine	1
0405				Tegula	gallo-romaine	2
0411				Tegula	gallo-romaine	10
0411	041			Tegula	gallo-romaine	3
0440				Imbrex	gallo-romaine	3
0440				Tegula	gallo-romaine	2
0442				Tegula	gallo-romaine	3
0442	148	2		Peson	gallo-romaine	1
0442	156	6		Imbrex	gallo-romaine	15
0442	156	6		Tegula	gallo-romaine	6
0442	157			Tegula	gallo-romaine	8
0442	157	1		Brique	gallo-romaine	4
0442	157	1		Peson	gallo-romaine	1
0442	157/158			Brique	gallo-romaine	4
0442	161		décapage	Indét.	gallo-romaine	1
0442	161	1		Brique	gallo-romaine	4
0442	161	1		Imbrex	gallo-romaine	3
0442	161	1		Tegula	gallo-romaine	39
0442	161/163	1		Tegula	gallo-romaine	1
0442	163			Tegula	gallo-romaine	3
0442	264	1		Indét.	gallo-romaine	9
0442	267	1		Imbrex	gallo-romaine	4
0442	267	1		Indét.	gallo-romaine	5
0442	267	1		Tegula	gallo-romaine	1
0442/648	158	1		Indét.	gallo-romaine	1
0443				Indét.	gallo-romaine	1
0458				Imbrex	gallo-romaine	1
0465	072			Imbrex	gallo-romaine	3
0468				Imbrex	gallo-romaine	1
0475				Tegula	gallo-romaine	1
0495				Indét.	gallo-romaine	1
0500				Peson	gallo-romaine	9
0501	124	1		Tegula	gallo-romaine	1
0510	124	1		Tegula	gallo-romaine	2
0519				Tegula	gallo-romaine	3
0519	160			Tegula	gallo-romaine	1
0523				Imbrex	gallo-romaine	12
0523				Tegula	gallo-romaine	1
0564	018			Indét.	gallo-romaine	2
0565				Imbrex	gallo-romaine	3
0565	057	12		Indét.	gallo-romaine	2
0565	154	2		Tegula	gallo-romaine	2
0565	234	1		Tegula	gallo-romaine	1
0565	348			Brique	gallo-romaine	1
0565	348			Tegula	gallo-romaine	9
0575		5		Tegula	gallo-romaine	2
0582				Indét.	gallo-romaine	1
0583				Imbrex	gallo-romaine	1
0589				Tegula	gallo-romaine	2
0599				Imbrex	gallo-romaine	1

Structure	Sondage	US	Info. Archéo.	Type	Période	NR
0599				Tegula	gallo-romaine	5
0600				Tegula	gallo-romaine	8
0600				Indét.	gallo-romaine	1
0647				Indét.	gallo-romaine	3
0652	213			Tegula	gallo-romaine	1
0653	223			Tegula	gallo-romaine	2
0653	225			Tegula	gallo-romaine	1
5013	604	1		Tuyau	gallo-romaine	25
5018			décapage	Plaque foyère	ateliers précoces (ou pér. proto.)	1
5026				Plaque foyère	ateliers précoces (ou pér. proto.)	1
5032				Plaque foyère	ateliers précoces (ou pér. proto.)	9
5035	613	1		Imbrex	gallo-romaine	1
5035	613	1		Tegula	gallo-romaine	3
5035	614	1		Imbrex	gallo-romaine	1
5035	614	1		Tegula	gallo-romaine	3
5045	501			Plaque foyère	ateliers précoces (ou pér. proto.)	2
5052			demi Est	Plaque foyère	ateliers précoces (ou pér. proto.)	1
5052	540			Plaque foyère	ateliers précoces (ou pér. proto.)	20
5059				Fusaïole	gallo-romaine	1
5059				Plaque foyère	ateliers précoces (ou pér. proto.)	6
5062	545			Plaque foyère	ateliers précoces (ou pér. proto.)	6
5066	505			Plaque foyère	ateliers précoces (ou pér. proto.)	5
5075				Plaque foyère	ateliers précoces (ou pér. proto.)	1
5076				Plaque foyère	ateliers précoces (ou pér. proto.)	4
5090				Plaque foyère	ateliers précoces (ou pér. proto.)	2
5092	514			Plaque foyère	ateliers précoces (ou pér. proto.)	23
5092	515			Plaque foyère	ateliers précoces (ou pér. proto.)	7
5092	516			Plaque foyère	ateliers précoces (ou pér. proto.)	1
5092	544			Plaque foyère	ateliers précoces (ou pér. proto.)	4
5092	565			Plaque foyère	ateliers précoces (ou pér. proto.)	3
5092	568			Plaque foyère	ateliers précoces (ou pér. proto.)	1
5092	574			Plaque foyère	ateliers précoces (ou pér. proto.)	1
5095	556			Plaque foyère	ateliers précoces (ou pér. proto.)	7
5097				Plaque foyère	ateliers précoces (ou pér. proto.)	1
5098	532			Plaque foyère	ateliers précoces (ou pér. proto.)	8
5098	533			Plaque foyère	ateliers précoces (ou pér. proto.)	4
5098	534			Plaque foyère	ateliers précoces (ou pér. proto.)	10
5099		1		Plaque foyère	ateliers précoces (ou pér. proto.)	9
5107				Plaque foyère	ateliers précoces (ou pér. proto.)	13
5110				Plaque foyère	ateliers précoces (ou pér. proto.)	24
5110		1		Plaque foyère	ateliers précoces (ou pér. proto.)	6
5114				Plaque foyère	ateliers précoces (ou pér. proto.)	4
5115				Plaque foyère	ateliers précoces (ou pér. proto.)	6
5117		7		Plaque foyère	ateliers précoces (ou pér. proto.)	7
5119				Plaque foyère	ateliers précoces (ou pér. proto.)	24
5119		3		Plaque foyère	ateliers précoces (ou pér. proto.)	21
5121	632			Plaque foyère	ateliers précoces (ou pér. proto.)	1
5134		3		Plaque foyère	ateliers précoces (ou pér. proto.)	3
5141				Plaque foyère	ateliers précoces (ou pér. proto.)	11
5145		1		Plaque foyère	ateliers précoces (ou pér. proto.)	1
5148		1		Plaque foyère	ateliers précoces (ou pér. proto.)	1
5161				Plaque foyère	ateliers précoces (ou pér. proto.)	11
5165				Plaque foyère	ateliers précoces (ou pér. proto.)	2
5167				Plaque foyère	ateliers précoces (ou pér. proto.)	3
5167			Décapage	Plaque foyère	ateliers précoces (ou pér. proto.)	1
5179				Plaque foyère	ateliers précoces (ou pér. proto.)	5
5179			Décapage	Plaque foyère	ateliers précoces (ou pér. proto.)	10
5179	622			Plaque foyère	ateliers précoces (ou pér. proto.)	22
5179	622			Plaque foyère	ateliers précoces (ou pér. proto.)	5

Structure	Sondage	US	Info. Archéo.	Type	Période	NR
5189	609			Plaque foyère	ateliers précoces (ou pér. proto.)	2
5189	610			Plaque foyère	ateliers précoces (ou pér. proto.)	3
5190			Surface	Plaque foyère	ateliers précoces (ou pér. proto.)	1
5190	592			Plaque foyère	ateliers précoces (ou pér. proto.)	1
5190	595			Plaque foyère	ateliers précoces (ou pér. proto.)	5
5206				Tegula	gallo-romaine	1
5214				Plaque foyère	ateliers précoces (ou pér. proto.)	1
5224		2		Plaque foyère	ateliers précoces (ou pér. proto.)	6
5230				Plaque foyère	ateliers précoces (ou pér. proto.)	80
5230	551			Plaque foyère	ateliers précoces (ou pér. proto.)	3
5236	504			Plaque foyère	ateliers précoces (ou pér. proto.)	3
5238	690			Tegula	gallo-romaine	4
5252			Surface	Tegula	gallo-romaine	2
5261		1		Plaque foyère	ateliers précoces (ou pér. proto.)	1
5272	529			Plaque foyère	ateliers précoces (ou pér. proto.)	19
5272	616			Plaque foyère	ateliers précoces (ou pér. proto.)	11
5272	617			Plaque foyère	ateliers précoces (ou pér. proto.)	7
5272	674	5		Plaque foyère	ateliers précoces (ou pér. proto.)	6
5274	629	1		Plaque foyère	ateliers précoces (ou pér. proto.)	1
5275		1		Plaque foyère	ateliers précoces (ou pér. proto.)	9
5275		2		Plaque foyère	ateliers précoces (ou pér. proto.)	2
5300	587			Plaque foyère	ateliers précoces (ou pér. proto.)	1
5320				Plaque foyère	ateliers précoces (ou pér. proto.)	21
5320	550			Plaque foyère	ateliers précoces (ou pér. proto.)	10
5329		1		Plaque foyère	ateliers précoces (ou pér. proto.)	24
5329		2		Plaque foyère	ateliers précoces (ou pér. proto.)	9
5329		3		Plaque foyère	ateliers précoces (ou pér. proto.)	9
5332		1		Plaque foyère	ateliers précoces (ou pér. proto.)	2
5335		2		Plaque foyère	ateliers précoces (ou pér. proto.)	4
5335		3		Frag. sole	gallo-romaine	1
5350	725	5		Plaque foyère	ateliers précoces (ou pér. proto.)	1
5374				Plaque foyère	ateliers précoces (ou pér. proto.)	1
5374		2		Plaque foyère	ateliers précoces (ou pér. proto.)	18
5374	692		-100 cm à fond	Plaque foyère	ateliers précoces (ou pér. proto.)	4
5374	692		0 à -50 cm	Plaque foyère	ateliers précoces (ou pér. proto.)	2
5375	531			Plaque foyère	ateliers précoces (ou pér. proto.)	6
5385		1		Plaque foyère	ateliers précoces (ou pér. proto.)	2
5393	521			Plaque foyère	ateliers précoces (ou pér. proto.)	13
5407	524			Plaque foyère	ateliers précoces (ou pér. proto.)	11
5431	554			Plaque foyère	ateliers précoces (ou pér. proto.)	10
5459	648			Plaque foyère	ateliers précoces (ou pér. proto.)	1
5493				Plaque foyère	ateliers précoces (ou pér. proto.)	1
5507	622			Plaque foyère	ateliers précoces (ou pér. proto.)	20
5508	625			Plaque foyère	ateliers précoces (ou pér. proto.)	1
5529			décapage	Plaque foyère	ateliers précoces (ou pér. proto.)	1
5542				Plaque foyère	ateliers précoces (ou pér. proto.)	1
5651	701			Poids?	gallo-romaine	1
5651	702			Tuyau	gallo-romaine	5
5660	695	1		Plaque foyère	ateliers précoces (ou pér. proto.)	2

Échantillons pour pétrographie

n° lame	ref échantillon	observation
CDV1	F5272 sd724 ext N et S	
CDV2	F5272 sd724 ext N et S	
CDV3	F5272 sd724 ext N et S	
CDV4	F5272 sd688 couche de rejet	
CDV5	F5272 sd695 us3	
CDV6	F5272 sd617	
CDV7	F5272 sd616	
CDV8	F5272 sd616	
CDV9	F5272 us5	
CDV10	F5272 us5	
CDV11	F5272 sd617	
CDV12	F5335 us4	
CDV13	F5272 sd616 us8	
CDV14	F5272 sd616 us8	
CDV15	F5272 sd616 us8	
CDV16	F5272 sd616 us8	
CDV17	F5272 sd616 us8	
CDV18	F5272 sd617	
CDV19	F5272 sd617	
CDV20	F5272 sd617	
CDV21	F5234 sd546	
CDV22	F5234 sd546	
CDV23	F5272 sd529 us2+3	
CDV24	F5272 sd529 us2+3	
CDV25	F5272 sd529 us2+3	
CDV26	F5272 sd529 us2+3	
CDV27	F5272 sd529 us2+3	
CDV28	F5335 us2 1/2Est	
CDV29	F5235 inciB	
CDV30	F5272 sd529 us7	
CDV31	F5272 sd529 us7	
CDV32	F5272 sd529 us7	
CDV33	F5272 sd529 us7	
CDV34	F5236 sd582	
CDV35	F5236 sd582	
CDV36	F5230 sd554	
CDV37	F5335 us4	
CDV38	F5335 us4	
CDV39	F5335 us4	
CDV40	F5236 sd601 us1	
CDV41	F5236 sd601 us1	
CDV42	F5236 sd600	
CDV43	F5236 sd600	
CDV44	F5201/5442 sd585	
CDV45	F5230 us limon gris foncé	
CDV46	F5230 us limon gris foncé	
CDV47	F5230 us limon gris foncé	
CDV48	F5230 us limon gris foncé	
CDV49	F5092 sd572	
CDV50	F5167/5104	
CDV51	F5167/5104	
CDV52	F5167/5104	
CDV53	F5019 iso2000	
CDV54	F5092 sd515 inci?	
CDV55	F5092 sd516	

n° lame	ref échantillon	observation
CDV56	F5088 décap	
CDV57	F5088 décap	
CDV58	F5088 décap	
CDV59	F5088 décap	
CDV60	F5088 décap	
CDV61	F5088 décap	
CDV62	F5088 décap	
CDV63	F5088 décap	
CDV64	F5092 sd544	
CDV65	F5092 sd544	
CDV66	F5092 sd544	
CDV67	F5106	
CDV68	F5088	
CDV69	F5088	
CDV70	F5088	
CDV71	F5092 sd542 entre sd514 et 515	
CDV72	F5092 sd542 entre sd514 et 515	
CDV73	F5092 sd542 entre sd514 et 515	
CDV74	F5110	
CDV75	F5110	
CDV76	F5110	
CDV77	F5110	
CDV78	F5092 sd514	
CDV79	F5092 sd514	
CDV80	F5092 sd514	
CDV81	F5092 sd514	
CDV82	F5092 sd514	
CDV83	F5092 sd514	
CDV84	F5092 sd514	
CDV85	F5167 sd530?	
CDV86	F5107	
CDV87	F5107	
CDV88	F5107	
CDV89	F5032	
CDV90	F5032	
CDV91	F5032	
CDV92	F5167 sd530 us -0,85m	
CDV93	F5167 sd530 us -0,85m	
CDV94	F5059	
CDV95	F5059	
CDV96	F5059	
CDV97	F5059	
CDV98	F5059	
CDV99	F5059	
CDV100	F5059	
CDV101	F5059	
CDV102	F5059 fond du four	
CDV103	F5166 décap	
CDV104	F5166 décap	
CDV105	F5190 sd592	
CDV106	F5190 sd592	lame faite?
CDV107	F5190 sd592	
CDV108	F5032 us2	
CDV109	F5032 us2	
CDV110	F5275 us1	
CDV111	F5275 us1	
CDV112	F5275 us1	
CDV113	F5275 us1	
CDV114	F5240 sd681 us1	

n° Lame	ref échantillon	observation
CDV115	F5274 sd506 us1	
CDV116	F5295 us1	
CDV117	F5272 sd674 us4	
CDV118	F5272 sd674 us4	
CDV119	F5272 sd674 us4	
CDV120	F5329 us3	
CDV121	F5330 sd507 us1	
CDV122	F5320 iso2088	
CDV123	F5320 iso2088	
CDV124	F5320 extrémité N.E	
CDV125	F5374 sd693 us6	
CDV126	F5374 sd691 us - 1m	
CDV127	F5329 us1	
CDV128	F5329 us1	
CDV129	F5329 us1	
CDV130	F5329 us1	
CDV131	F5329 us1	
CDV132	F5272 sd626	
CDV133	F5272 sd626	
CDV134	F5272 sd626	
CDV135	F5374 us de -1m au fond	
CDV136	F5374 us de -1m au fond	
CDV137	F5329 us2	
CDV138	F5329 us2	
CDV139	F5320 sd550 us5	
CDV140	F5320 sd550 us5	
CDV141	F5320 sd550 us5	
CDV142	F5374 sd693 us3 et 4	
CDV143	F5374 sd693 us3 et 4	
CDV144	F5374 sd693 us3 et 4	
CDV145	F5374 sd693 us3 et 4	
CDV146	F5374 sd693 us3 et 4	
CDV147	F5320 sd539	
CDV148	F5320 sd539	
CDV149	F5320 sd551	
CDV150	F5320 sd551	
CDV151	F5320 sd551	
CDV152	F5320 sd551	
CDV153	iso2065	
CDV154	iso2065	
CDV155	iso2065	
CDV156	iso2065	
CDV157	F5061 sd540	
CDV158	F5320 iso2078	
CDV159	F5320 iso2078	
CDV160	F5320 iso2078	
CDV161	F5374 sd692 us -0,5 à -1m	
CDV162	F5374 sd692 us -0,5 à -1m	
CDV163	F5374 sd692 us -0,5 à -1m	
CDV164	iso2023	
CDV165	F5374 sd692 us-1m au fond	
CDV166	F5374 sd692 us-1m au fond	
CDV167	F5374 sd692 us-1m au fond	
CDV168	F5083 sd554	
CDV169	F5083 sd554	
CDV170	F5083 us2	
CDV171	F5068	
CDV172	F5083 sd564	
CDV173	F5098 sd534	

n° lame	ref échantillon	observation
CDV174	iso2059	
CDV175	iso2059	
CDV176	iso2059	
CDV177	iso2059	
CDV178	F5083 us3 et 4	
CDV179	F5097	
CDV180	F5099 suite iso2035 1/2 Ouest	
CDV181	F5099 suite iso2035 1/2 Ouest	
CDV182	F5099 suite iso2035 1/2 Ouest	
CDV183	F5099 suite iso2035 1/2 Ouest	
CDV184	F5097 iso2034	idem CDV179
CDV185	F5098 sd534	
CDV186	F5098 sd534	
CDV187	F5098 sd534	
CDV188	F5098 sd572	
CDV189	iso2056	
CDV190	iso2056	
CDV191	iso2056	
CDV192	iso2056	
CDV193	iso2056	
CDV194	iso2056	
CDV195	iso2056	
CDV196	F5350 sd725 us5	
CDV197	F5350 sd725 us5	
CDV198	F5350 sd725 us5	
CDV199	F5350 sd725 us5	
CDV200	F5350 sd725 us5	
CDV201	F5350 sd725 us5	
CDV202	F5350 sd725 us5	
CDV203	F5350 sd725 us5	
CDV204	F5350 sd725 us5	
CDV205	F5350 sd725 us5	
CDV206	F5350 sd725 us5	
CDV207	F5350 sd725 us5	
CDV208	F5350 sd725 us5	
CDV209	F5350 sd725 us5	
CDV210	F5350 sd725 us5	
CDV211	F5350 sd725 us5	
CDV212	F5350 sd725 us5	
CDV213	F5350 sd725 us5	
CDV214	F5350 sd725 us5	
CDV215	F565 sd57 us8	
CDV216	F566 sd57 us4	type Besançon
CDV217	F565 sd234 us1	
CDV218	F565 sd234 us1	
CDV219	F565 sd57 us10	grand vase archéo complet
CDV220	F565 sd57 us5	lame ratée
CDV221	F565 sd57 us5	
CDV222	F519	gallo-romain
CDV223	F519	gallo-romain
CDV224	F519	gallo-romain
CDV225	F519	gallo-romain
CDV226	F519	gallo-romain
CDV227	F519	gallo-romain
CDV228	F519	gallo-romain
CDV229	F5295 us1	barre rectangulaire
CDV230	F5660 sd695 us1	barre ronde
CDV231	F5272 sd688 couche de rejet	barre irrégulière
CDV232	F5666 sd697	barre rectangulaire
CDV233	F565 sd57 us8 n°13	barre rectangulaire

n° lame	ref échantillon	observation
CDV234	F5119	torchis
CDV235	F519	torchis
CDV236	F565 sd57 us8 n°5	barre ronde
CDV237	F565 sd57 n°17	barre rectangulaire
CDV238	F565 sd154 us2	barre irrégulière
CDV239	F5206	tégulae
CDV240	F313	plaque foyère
CDV241	sd693 us6	plaque foyère
CDV242	sd693 us6	plaque foyère
CDV243	HS	tégulae
CDV244	HS	tégulae
CDV245		lithique
CDV246		lithique
CDV247		lithique
CDV248	F5663 sd9997	vase pilier du four

**Ille-et-Vilaine, Bais/Louvigné-de-Bais, Carrière des Vallons, Etang de Daniel -
Ensemble 1 Vol. 2 - Les productions des ateliers de potiers précoces (deuxième
moitié du 1^{er} s. av. J.-C.)
- Céramiques et terres cuites gallo-romaines**

Chronologie

Néolithique
âge du Bronze
âge du Fer (Tène
finale)
Antique (I^{er} au II^e
siècle)
Moderne

Sujet et thèmes

fossé, fosses, four de
potier, bâtiment, trou
de poteau, enclos,
parcellaire, grenier,
grange

Mobilier

céramique, métal,
monnaie, scorie,
amphore, verre, terre
cuite, barre de four
en terre cuite, plaque
foyère, meule, char-
bons de bois,

En 2013 a été réalisée une fouille archéologique sur les communes de Louvigné-de-Bais et Bais, dans le cadre de l'extension de La Carrière des Vallons de la SA PIGEON.

Cette intervention porte une superficie de 27 000 m². Elle a permis la mise au jour d'une occupation fossoyée gauloise (non datée avec précision), suivie à La Tène finale/gallo-romain précoce, de l'installation d'un atelier de potier. Cette activité est attestée par la présence d'au moins deux fours conservés et la découverte de très nombreux vases de rebuts de cuisson.

Le riche mobilier céramique provenant de l'atelier devrait permettre d'établir une typologie précise pouvant servir de référence pour l'étude des contextes similaires du bassin rennais. En effet de nombreuses fermes indigènes fouillées dans un rayon de 50 km, présentent les mêmes formes ainsi que le même type de pâte, sachant que l'argile de fabrication des céramiques de Bais a été extraite sur place.

A la fermeture de l'atelier, première moitié du I^{er} s. ap. J.-C., est édifié un sanctuaire avec un *fanum* et prend place une occupation gallo-romaine allant jusqu'à la fin du II^e s. ap. J.-C. avec, notamment, une activité de forge importante. Des enclos fossoyés, des bâtiments ainsi que du parcellaire caractérisent cette nouvelle phase d'occupation. Le site est ensuite abandonné puis traversé à la période moderne par un nouveau parcellaire et des chemins.

Il faut également noter une présence humaine ancienne sur le site plus sporadique, dès la protohistoire ancienne, sous la forme de céramique et d'outil en silex de l'âge du Bronze et même du Néolithique. Le mobilier est regroupé dans la partie ouest de l'emprise dans ce qui s'apparente à des chablis ou/et des fosses d'extraction.